

بِسْمِ اللَّهِ الرَّحْمَنِ الرَّحِيمِ





دانشگاه فردوسی مشهد

انتشارات دانشگاه فردوسی (مشهد)، شماره ۱۲۳

## مباحث بنیادی

# پلهای پتنی<sup>۹</sup>

تألیف و ترجمه:

سید محمود حسینی

گروه سازه - بخش عمران - دانشکده مهندسی دانشگاه فردوسی

فهرستنويis پيش از انتشار توسط کتابخانه مرکزی و مرکز اسناد.

حسيني، محمود، گرداورنده و مترجم

مباحث بنیادی پلهای بتنی / تاليف و ترجمه  
محمود حسینی . -مشهد : دانشگاه فردوسی مشهد ، ۱۳۷۱

پازده ، ۳۸۵ ص. : مصور ، جدول ، نمودار . - ( انتشارات  
دانشگاه فردوسی مشهد ؛ ۱۲۳ )  
كتابنامه : ص. ۳۸۵

۱. پلهای بتنی - طرح و ساختمان . الف . عنوان .

TG ۴۴۰

۶۲۴/۳۵

**مشخصات :**

نام کتاب : مباحث بنیادی پلهای بتنی

تأليف و ترجمه : سید محمود حسیني

ناشر : انتشارات دانشگاه فردوسی (مشهد)

تعداد : ۳۰۰۰ نسخه

تاریخ انتشار : اردیبهشت ماه ۱۳۷۱

چاپ و صحافی : مؤسسه چاپ و انتشارات دانشگاه فردوسی (مشهد)

قیمت : ۱۷۶۰ ریال

## فهرست ممنوعات

عنوان	صفحه
مقدمه مؤلف	۰
فصل اول - ناریخچه پل‌سازی	۱
۱- تاریخ باستان	۱
۲- قرون وسطی	۵
۳- دوره رنسانس	۵
۴- عصر انقلاب صنعتی	۲
۵- پلهای آهنی و فولادی اولیه	۹
۶- پلهای فولادی معلق	۱۵
۷- بوجود آمدن بتن آرمی	۱۹
۸- پلهای بتن آرمی	۲۰
۹- بوجود آمدن بتن پیش تبیده	۲۱
۱۰- دوره بعد از جنگ جهانی و زمان حاضر	۲۲
فصل دوم - آشنایی با انواع پلها	۲۹
۱- فرمهای سازه‌ای پلها	۲۹
۲- فرمهای سازه‌ای عبورگاههای بتنی	۳۹
۳- روشهای ساخت و اجرای عبورگاه پل	۴۲
۴- انتخاب نوع پل	۵۶

۶۳	فصل سوم - بارگذاری پلهای
۶۳	۱-۳ بارهای وارد بر سازه پل
۷۰	۲-۳ بارگذاری آئین نامه آشتو
۸۱	۳-۳ بارگذاری آئین نامه ایران
۸۴	۴-۳ بارگذاری آئین نامه بی اس کشور انگلستان
۹۱	فصل چهارم - بارهای متخرگ و خطوط تأثیر
۹۱	۱-۴ مقدمه
۹۱	۲-۴ رسم خط تأثیر یک تابع در دهانه ساده
۹۲	۳-۴ طرز کاربرد خطوط تأثیر
۹۵	۴-۴ حداقل مطلق لنگر خمی در دهانه ساده
۹۸	۵-۴ معنی پوش در دهانه ساده
۱۰۳	۶-۴ خطوط تأثیر آمده برای دهانه های یکسره
۱۱۳	۷-۴ معنی پوش برای دهانه های یکسره
۱۱۷	فصل پنجم - تحلیل عبورگاه پل
۱۱۷	۱-۵ مقدمه
۱۲۱	۲-۵ روش ساده پخش عرضی بار
۱۳۲	۳-۵ روش کوربن
۱۳۸	۴-۵ روش آئین نامه آشتو
۱۴۳	۵-۵ روش تشابه سازی عبورگاه به یک صفحه معادل (ماسونت، موریس و لتیل)
۱۹۳	۶-۵ روش تشابه سازی عبورگاه به یک شبکه معادل
۲۴۸	۷-۵ آشنائی با روش های کامپیووتری
۲۶۱	فصل ششم - تحلیل اثرات ثانوی در عبورگاه
۲۶۱	۱-۶ مقدمه
۲۶۲	۲-۶ اثرات موضعی بار چرخ بر روی عبورگاه
۲۸۸	۳-۶ اثر جابجایی تکیه گاهها
۲۹۸	۴-۶ اثر تغییرات درجه حرارت در سطح مقطع عبورگاه

۳۲۳	فصل هفتم - تحلیل پایه‌های کناری پل
۳۲۳	۱-۷ مقدمه
۳۲۵	۲-۷ بارهای وارد بر پایه کناری پل
۳۲۷	۳-۷ تحلیل پایه‌های کناری کنسولی
۳۳۷	ضمیمه (الف) - تئوری صفحات ارتوتروپیک
۳۴۶	ضمیمه (ب) - کاربرد روش نیرو - تغییرمکان در تحلیل سازه‌ها
۳۵۶	مسائل ضمیمه و حل آنها
۳۸۵	منابع اصلی کتاب



## مقدمه مؤلف

طبق تعریف یک پل عبارت است از سازه‌ای که عبور آسان از یک بردگی طبیعی، چون رودخانه یا دره، را بدون بسته شدن مسیر زیرین آن امکان‌پذیر می‌سازد. از این نوع سازه "ممولا" برای عبور قطار، وسایل نقلیه، افراد پیاده، انتقال آب و غیره استفاده می‌شود. از این رو نقش حیاتی پلهای در بهبود امور سیاسی، نظامی، اقتصادی و جامعی یک کشور کاملاً آشکار است.

با توجه به اینکه اجرای یک پل از پر هزینه‌ترین قسمت یک پروژه<sup>۱</sup> راه آهن یا بزرگراه می‌باشد، شناخت صحیح این گونه سازه‌ها همواره ضروری به نظر می‌رسد. در دهه‌های اخیر عوامل زیادی باعث شده‌اند تا پلهای بتنی به عنوان یکی از متداول‌ترین نوع پلهای، مخصوصاً برای بزرگراه‌ها، مورد استفاده قرار گیرند. دو عامل اصلی در رایج شدن پلهای بتنی یکی اقتصاد و دیگری زیبائی طرح می‌باشد. تهیه<sup>۲</sup> بتن با مقاومت فشاری بالا، ساخت فولاد با مقاومت جاری شدن زیاد و بکارگیری روش‌های اجرایی مدرن امکان استفاده از پلهای بتنی را در دهانه‌های بلند، نسبت به سایر پلهای، مقرن بصرفه کرده است. همچنین با توجه به شکل‌پذیری آسان و دیگر خواص بتن مزیت این‌گونه پلهای، از نظر زیبائی، نسبت به سایر پلهای کاملاً آشکار است.

اولین کاربرد بتن آرمه در سازه پلهای توسط شخصی بنام هنوبیک<sup>۳</sup> صورت گرفت. یکی از پروژه‌های قابل توجه وی پلی است بتنی به دهانه ۵۵ متر که در سال ۱۹۰۵ در بلژیک ساخته شد. افراد دیگری چون رابرت میلارت<sup>۴</sup> سویسی، که پلهای قوسی بتنی سه مفصله را رایج کرد، و نیز فریسینت<sup>۵</sup> فرانسوی، که استفاده از بتن پیش تنیده را در ساخت پلهای معمول کرد، از پیش گامان مهندسی پل‌سازی مدرن محسوب می‌شوند.

1 . Hennebique

3 . Freyssinet

2 . Robert Maillart

امروزه درکشور ما با توجه به توسعه، روز افزون راههای ارتباطی و نیاز به استفاده از وسایل حمل و نقل سنگین و سریع، ایجاد پلهای عظیم و مدرن را ضروری ساخته است. یکی از عوامل مؤثر در اینمی پلهای ایجاد شده از یک طرف واقعیت آنها از طرف دیگر، تحلیل و طرح صحیح آنها می‌باشد که هدف اصلی این کتاب است. در میان آثار موجود به زبان فارسی در این زمینه کمتر کتابی را می‌توان پیدا کرد که به تحلیل اصولی پلهای پرداخته باشد. لذا در این کتاب روش‌های متعددی جهت تحلیل پلهای بتنی به انضمام مسائل حل شده زیادی ارائه شده است (فصلهای ۵، ۶ و ۷) که امید است مورد توجه علاقه‌مندان به این رشته از جمله فارغ‌التحصیلان رشته مهندسی عمران قرار گیرد.

این کتاب که حاصل تجربه، تحصیلی اینجانب در رشته مهندسی پل‌سازی و نیز تجربه تدریس چندین ساله خود در دانشگاه می‌باشد، در هفت فصل و دو ضمیمه به قرار زیر تنظیم شده است:

فصل اول درمورد تکامل تاریخی پلهای بطور کلی می‌باشد. در این مورد از تصاویر رنگی پلهای معروف قدیمی و مدرن به تعداد زیاد استفاده شده است.

در فصل دوم خواننده با نوع، نحوه اجرا و انتخاب پلهای بتنی مدرن آشنا می‌شود. با توجه به اینکه امروزه اجرای پلهای عظیم با استفاده از روش‌های اجرائی سنتی مقرن به صرفه نمی‌باشد، کاربرد روش‌های اجرائی جدید می‌تواند در اقتصاد پل نقش بهسزایی داشته باشد. فصل سوم، که یکی از فصول پایه‌ای این کتاب است، مبحث بارگذاری پلهای بزرگ‌راها می‌باشد. آشنا می‌باشد. در صورت شناخته نشدن، قادر است باعث گسیختگی پل گردد، از اهمیت خاصی برخوردار است. در این فصل پس از بحث بارهای وارد بر پل، بارگذاری آئین نامه‌های پل‌سازی سه کشور آمریکا، ایران و انگلستان مورد بررسی قرار می‌گیرد.

فصل چهارم در مورد بارهای متحرک و خطوط تأثیر می‌باشد که به دلیل اهمیت خاص آن در تحلیل پلهای در این کتاب آمده است. بطور خلاصه تخلیل پلهای بدون استفاده از خطوط تأثیر غیر ممکن است.

در فصل پنجم روش‌های تحلیل سازه، فوقانی پلهای بزرگ‌راها برای بار مرده، بار زنده و بار ضربه تشرییح می‌شوند که در این میان روش ماسونت و تحلیل شبکه جامع ترین آنها می‌باشند. در این فصل علاوه بر روش‌های اصولی تحلیل سازه، فوقانی پلهای، روش‌های مدرن کامپیوتربنی و نیز روش آئین نامه‌ای تحلیل پلهای مورد بحث قرار گرفته است.

فصل ششم در حقیقت ادامه فصل پنجم بوده که در آن تحلیل اثرات ثانوی وارد به سازه، فوقانی پلهای مورد بررسی قرار گرفته است. اثرات بحث شده شامل اثر موضعی بازچرخ

بر روی عبورگاه، اثر نشست و یا چرخش تکیه‌گاهها و اثر تغییرات درجه حرارت می‌باشند.  
فصل هفتم در مورد تحلیل پایه‌های کناری پلها می‌باشد.  
در ضمیمه ۱ تئوری صفحات ارتوتروپیک، که در تحلیل عبورگاه پل بهروش ماسونت  
مورد استفاده قرار می‌گیرد آمده است.  
ضمیمه ۲ شامل آشنایی با روش تحلیلی نیرو- تغییر مکان برای حل مسائل نامعین  
می‌باشد.

سید محمود حسینی  
بخش سازه گروه عمران  
دانشگاه فردوسی



# فصل اول

## تاریخچه پل‌سازی

### ۱ - تاریخ باستان

انسان از قدیم به ساخت پل علاقه داشته است چه سوای اهمیت نظامی و غیر نظامی آنها، پلها به عنوان نشانه‌ای از کارهای بزرگ مهندسی شناخته شده بود. اگر چه ابتدای تاریخ پل‌سازی قدری مبهم است ولی تکامل تاریخی انواع مختلف پلها احتفالاً به بیش از ۵۰۰۰ سال پیش برآورد می‌گردد. بطور کلی از نظر فرم‌سازهای پلهای ساخته شده را می‌توان به سه دستهٔ مجزا تقسیم کرد. نوع تیر یا دال که در قدیم با استفاده از تنه درخت یا تخته سنگها ساخته می‌شد، نوع قوسی که با استفاده از لاشه سنگها و بالاخره نوع معلق که با استفاده طنابهای ساخته شده از الیاف گیاهی انجام می‌شد. پلهای مدرن امروزی در واقع از نظر سازه‌ای بطور کلی از سه فرم فوق تبعیت می‌کنند هرچند که از نظر مصالح بکار رفته خیلی پیشرفت‌تر از آن ایام می‌باشد.

قدیمی‌ترین پل ثبت شده دنیا در تاریخ پلی است که در حدود ۲۶۵۰ سال قبل از میلاد مسیح توسط منس<sup>۱</sup>، اولین پادشاه مصر، بر روی رودخانه نیل بنا گردید. اجزایی این پل اطلاع دقیقی در دست نیست. پل دیگری از نوع عبورگاه چوبی با پایه‌های سنگی در حدود ۴۵۰۰ سال پیش بر روی رود فرات در بابل قدیم ساخته شد. پلهای معلق ابتدائی شامل یک طناب ساخته شده از نی هندی یا الیاف گیاهی دیگر بود که عابر بوسیلهٔ دست از طرفی به‌طرف دیگر عبور می‌کرد. اولین پل معلق واقعی مت Shank از سه طناب موازی بود که یکی از آنها در تراز پائینتر جهت جای پای عابر و دو نای دیگر در تراز بالاتر به‌منظور دستگیره و حفظ تعادل شخص بکار برده می‌شد (شکل ۱-۱). قدیمی‌ترین پل معلق ساخته شده از زنجیرهای فلزی که تا کنون بجای مانده است، پلی است بر روی رودخانه چین چین<sup>۲</sup> در کشور چین. در کشور هندوستان نیز آثاری از این نوع پلهای وجود دارد. بالغ زیشن تعداد



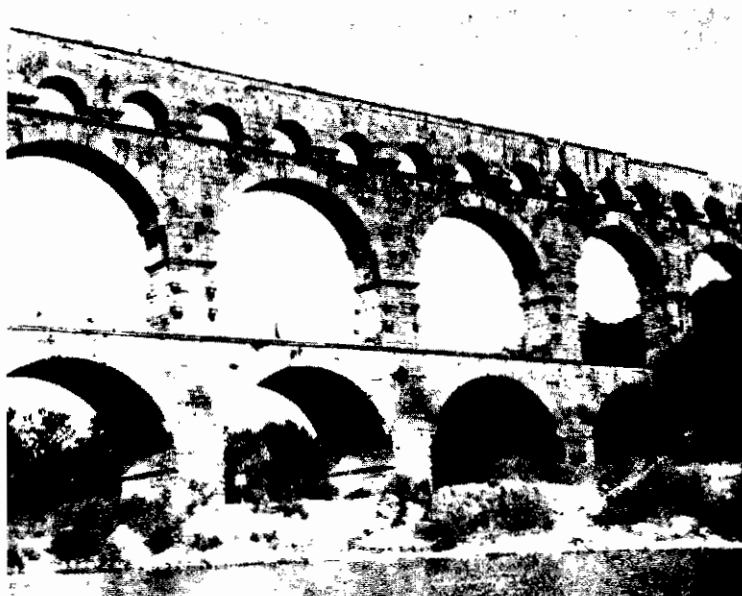
شکل (۱ - ۱) - پل معلق اولیه

کابل‌های طولی در پلهای معلق این نوع سازه کاملتر گردید (شکل ۱-۲). نوع دیگر از پلهای بتُنی که در قدیم زیاد مرسوم بوده پلهای ساخته شده از تیرهای چوبی بود که برای عبور از رودخانه بر روی فونداسیونهای معلق در آب تکمیل شده و اساس پلهای موقت امروزی را تشکیل می‌دهند.



شکل (۱ - ۲)- پل معلق تکامل یافده

تکامل فرم سازهٔ قوسی برای بناها و پلها با استفاده از مصالح سنگ و آجر به دوره‌های کلدانیان و آشوریان بر می‌گردد. با توجه به نوع سقفهای قوسی کشف شده از مقبره‌های موجود در مصر که از حدود ۱۸۵۵ سال قبل از میلاد مسیح بجای مانده است نشان می‌دهد که احتمالاً "برای اولین بار سازه‌های قوسی در مصریکار بردۀ شد. یونانیان قدیم تئوری مقدماتی استاتیک را توسعه داده و ارشمیدس (۲۱۲ الی ۲۸۷ قبل از میلاد مسیح) از وضعیت تعادل اجسام آگاهی داشت هرچند که این اصول ظاهراً" در ساخت سازه‌ها بکار بردۀ نمی‌شد. رومیها در ساخت قوسها تجربه زیادی کسب کردند بطوری که بعضی از سازه‌های قوسی آنها حتی نا به امروز پا بر جاست. از جمله اینها پلی است بنام پانت دگارد<sup>۳</sup> شاهکار شخصی بنام آگریپا<sup>۴</sup> که به سال ۱۹ قبل از میلاد مسیح در جنوب فرانسه<sup>۵</sup> فعلی ساخته شد. این پل که شامل یک قوس سه طبقه به ارتفاع حداقل ۴۷ متر از سطح رودخانه و شعاع هر قوس ۲۲/۴ متر می‌باشد، حدود ۲۰۰۰ سال قدمت دارد، (شکل ۳-۱).



شکل (۱ - ۳) - پل پانت دگارد در فرانسه

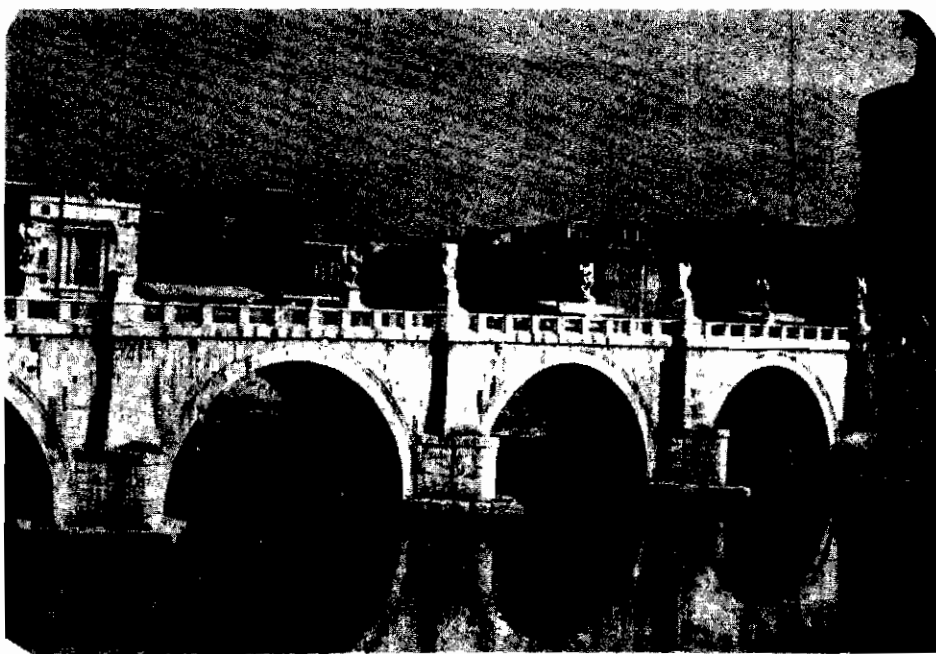
## مباحث بنیادی پلهای بتی

یونانیها و رومیها از مصالح چوب برای سازه‌های موقت استفاده می‌کردند و پلهای پایه خرپائی چوبی مخصوصاً برای امور نظامی توسعه یافت. اولین پل چوبی بر روی رودخانهٔ تیمز<sup>۵</sup> در لندن ساخته شد.

یکی از مهمترین کشف سازندگان رومی را می‌توان کشف سیمان طبیعی دانست که از یک نوع سنگ آتشفستان بدست می‌آمد و در اثر اضافه کردن آب به آن سفت می‌شد که پیش رو سیمان جدید می‌باشد.

پیشرفت کند پل‌سازی در قرون گذشته دلیل بر نبودن تشریک مساعی بین سازندگان و به‌اصطلاح فیلسوفان یا معماران آن زمان بوده است. با ایجاد جدائی بین تئوری و عمل، ساخت یک سازهٔ مهندسی و اصولی هیچگاه میسر نبود.

از نمونهٔ پلهای باقیمانده از قرن دوم میلاد مسیح پل زیبای آنجل<sup>۶</sup> می‌باشد که در سال ۱۳۶ پس از میلاد بر روی رودخانه‌ای در روم ساخته شد، (شکل ۱-۴).



شکل (۱ - ۴) - پل قوسی آنجل در روم

## ۱ - ۲ قرون وسطی

در طی قرون وسطی اطلاعات مهندسی سازه‌ای جمع آوری شده توسط رومیها ناپدید گشت بطوری که در این دوران هیچ‌گونه پیشرفت و خلاقیت چشمگیری در زمینه ساخت سازه‌ها ایجاد نگردید. اما هنر ساخت بطور گسترده‌ای در اروپا رواج یافت. پلهای چوبی که در چین در حدود قرن ده میلادی ساخته شدند هنوز پا بر جا هستند. از پیشرفت و کاربرد اطلاعات فنی کسب شده در این دوران اطلاعی در دست نیست.

## ۱ - ۳ دوره رنسانس

با تجدید نظر افرادی چون لئونارد داوینچی<sup>۷</sup> (۱۴۵۲ الی ۱۵۱۹) در هنرها و علوم پیشرفت چشمگیری در علوم مهندسی مخصوصاً "طرح پل‌ها در دوره رنسانس بوجود آمد. وی با استفاده از تئوری و تجربه پیشینیان در ساخت سازه‌ها پیش رو پلهای مدرن محسوب می‌شود. از آن پس سازندگان با تجربه عملی در پل‌سازی اجباراً از نظرات طراحان آگاه استفاده می‌کردند. کلیه افراد مهندسی که در آن دوران در فن پل‌سازی نقش بسزایی داشتند کسانی بودند که تجربه و تئوری را باهم بکار می‌بردند.

پلهای مهندسی که با استفاده از تئوری و تجربه در این عصر ساخته شد عبارتند از پل سانتاترینیتا<sup>۸</sup> در فلورانس، پل ریالتو<sup>۹</sup> که بر روی کانال بزرگ شهر و نیز ساخته شده، پل نتردام<sup>۱۰</sup> و پل نیوف<sup>۱۱</sup> در پاریس.

لئونارد داوینچی با محاسبه و نتایج آزمایشگاهی ثوانست پروفیل خط فشار را برای قوسها تحت هرباروارده تعیین نماید. وی نیز با انجام آزمایشاتی موفق شد مقاومت مصالحی چون کابل‌های آهنی را تعیین کند. روش کار مجازی نیز جهت محاسبه سیستم‌های مختلف قرقره‌ها و اهرم‌ها بکار گرفته شد. او آزمایشاتی نیز بر روی تیرها و ستونها انجام داد.

کالیله<sup>۱۲</sup> (حدود سال ۱۶۰۰ بعد از میلاد) تلاش زیادی در تعیین روابطی بین ابعاد تیر و مقاومت داخلی آن تحت اثر بارهای خارجی انجام داد و به نتیجه مهم زیر نایل آمد: "برای اینکه سازه‌های عظیمی چون کشتی‌ها، قصرها و مقبره‌ها را طوری بسازیم که در مقابل بارهای وارد مقاوم باشند، باید ابعاد اعضای آنها را خیلی بزرگ انتخاب کنیم که

7 . Leonardo da vinci

10. Notre Dame

8 . Santa trinita

11. Neuf

9 . Rialto

12. Galileo

## مباحث بنیادی پلهای بتی

از نظر عملی همواره میسر نیست بنایراین راه حل دیگر آنست که اعضای مربوطه را با ابعاد کوچکتر ولی ساخته شده از مصالح قوی تری انتخاب کنیم .  
او بر مزیت اعضای توالی آگاه بود و مفهوم اساسی تش را درک کرد اما مسئله ای در رابطه با مقاومت داخلی تیرها حل نکرد .

آکادمی علوم در سال ۱۵۶۰ میلادی در ایتالیا شروع بکار کرد . در قرن هفدهمیلادی در کشورهای دیگری چون انگلستان ، فرانسه و آلمان نیز پیشرفت های علمی پدید آمد .  
دانشی که بعدا "بنام علم مقاومت مصالح شناخته شد در قرن هفده پیشرفت قابل -  
توجهی پیدا کرد و افرادی چون رابت هوک<sup>۱۲</sup> (۱۶۳۵-۱۷۰۳) ، که کشف مهم وی قانون هوک در مقاومت مصالح می باشد ؛ ماریوت<sup>۱۳</sup> (۱۶۲۰-۱۶۸۴) برای مطالعاتش در رابطه با تئوری خمش ؛ جاکوب<sup>۱۴</sup> (۱۶۵۴-۱۷۰۵) و جان برنولی<sup>۱۵</sup> (۱۶۶۷-۱۷۴۸) ، دو برادر مشهوری که تئوری خیز در تیرها را از اده دادند و نیز اصل کار مجازی را تعیین کردند ؛ دانیال برنولی<sup>۱۶</sup> (۱۷۰۰-۱۷۸۲) ، پسر جان برنولی که مطالعاتی در رابطه با شکل منحنی ایجاد شده در اثر کمانش میله ای را ارجاعی تحت اثر انواع بارگذاریها انجام داد و معادلات مربوط به لرزش جانبی میله های با مقطع منشوری را تعیین کرد و لعنوارد اولر<sup>۱۷</sup> (۱۷۰۲-۱۷۵۳) که کار دانیال برنولی را ادامه داده و فرمول مشهور بار بحرانی کمانش را برای اعضای تحت اثر بار محوری فشاری تعیین کرد ، را می توان به عنوان پیشگامان این علم نام برد .

در قرن ۱۸ علوم مهندسی توسعه یافته در صد سال قبل از آن ، راه خود را به کارهای عملی پیدا کرد . کتابهای زیادی در این مورد نوشته شد و از ریاضیات به عنوان یک وسیله ؛ مفید مهندسی استفاده شد .

در سال ۱۷۱۳ ، پارت<sup>۱۸</sup> (۱۶۶۶-۱۷۱۶) دو اثر مهم خود را منتشر کرد که در آن او برای اولین بار محل تارخنی در مقطع اعضا را مشخص کرد و نیز تنشهای داخلی تیر را بدست آورد .

اولین مجتمع (دانشکده ) مهندسی در دنیا در سال ۱۷۱۶ در پاریس بوجود آمد و در این زمان بود که اولین کتب در رابطه با مهندسی سازه منتشر شدند .

دانشمند مشهور کولمب<sup>۱۹</sup> (۱۷۳۶-۱۸۰۶) نیز در این عصر نقش مهمی را در پیشرفت

13. Robert Hooke

17. Daniel Bernoulli

14. Mariotte

18. Leonard Euler

15. Jacob

19. Purent

16. John Bernoulli

20. C.A. Coulomb

علوم که دامنه وسیعی داشت بازی کرد . کار عمده وی در مهندسی سازه‌شامل تحلیل و آزمایش در رابطه با خمش تیرها ، پیچش میله‌ها ، پایداری دیوارهای حائل و تئوری قوسها بوده است . در این دوران کارهای آزمایشگاهی در رابطه با خواص مکانیکی مصالح پیشرفت خوبی داشت .

#### ۱ - ۴ عصر انقلاب صنعتی

در دهه آخر قرن ۱۸ اولین آثار انقلاب صنعتی در انگلستان پدیدار گشت . اولین پل آهنی در دنیا بنام پل کلبروکdale<sup>۲۱</sup> در آنجا ساخته شد . این پل شامل یک قوس نیم- دایره به دهانه ۳۵/۵ متر بوده که بر روی رودخانه سورن<sup>۲۲</sup> توسط شخصی بنام آبراهام داربی<sup>۲۳</sup> که احتمالاً بر اساس طرح توماس پریچارد<sup>۲۴</sup> و جان ویلکینسون<sup>۲۵</sup> بوده است در سال ۱۶۶۹ کامل شد . اولین پل آهنی در آمریکا<sup>۲۶</sup> سال پس از آن ساخته شد .

در اوایل قرن ۱۹ پیشرفت قابل توجهی در تئوری مقاومت مصالح توسط شخصی بنام ناویر<sup>۲۷</sup> (۱۷۸۵ - ۱۸۳۶) انجام گرفت ، اما چند دهه بطول انجامید تا مهندسین این مطالب را بخوبی درک کرده و نتایج آنرا بکار برداشتند . کار وی در واقع مقدمه‌ای بر تحلیل سازه‌های مدرن بهشمار می‌آید . ناویر اولین کسی بود که روش کلی حل سازه‌های نامعین را ابداع کرد . کار وی بعداً "توسط ریاضی دانان و مهندسین ادامه یافت و بدین ترتیب اساس مهندسی سازه‌های مدرن بوجود آمد .

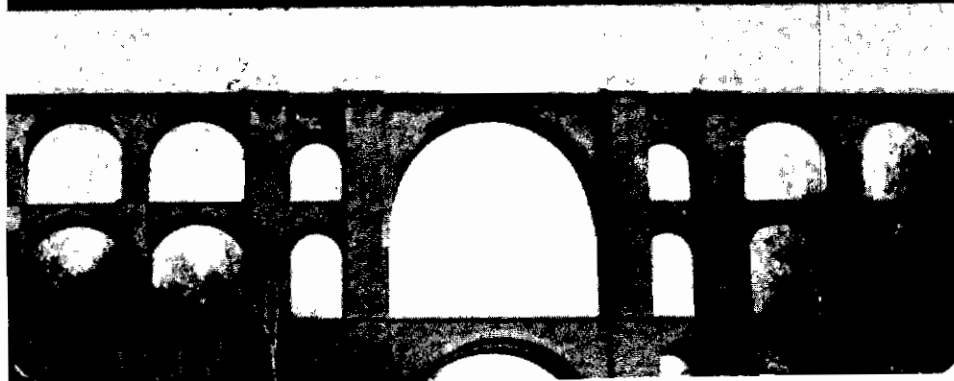
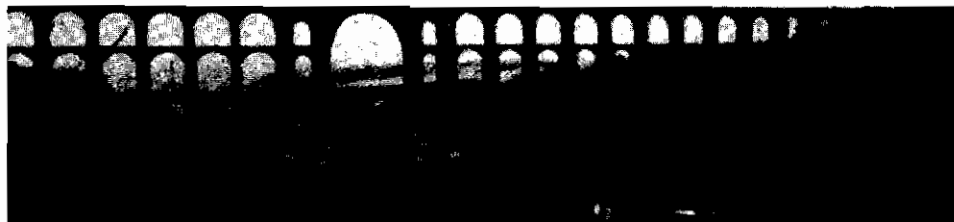
در دوران احداث راه‌هن پلهای مهمی ساخته شدند . یکی از آنها که در واقع به عنوان عجایب دنیا بحساب می‌آید پل قوسی چهارطبقه سنگی گلتزاشتال<sup>۲۸</sup> در آلمان می‌باشد که در سال ۱۸۵۱ کامل شد . دهانه کلی این پل ۵۷۸ متر و ارتفاع حداقل آن از سطح رودخانه به ۷۸ متر می‌رسد . این پل توسط شخصی بنام شوبرت<sup>۲۹</sup> در طی شش سال ساخته شد (شکل ۱-۵) . دو پل قوسی که از این دوران تا کنون پا بر جاست یکی پل هیدلبرگ<sup>۳۰</sup> در آلمان می‌باشد که در سال ۱۷۸۹ ساخته شد (شکل ۱-۶) و دیگری پل معروف گلن فینان<sup>۳۱</sup> در اسکاتلند است شکل (۱-۲) .

- 21. Coalbrookdale
- 22. Severn
- 23. Abraham Darby
- 24. T.Pritchard
- 25. J.wilkinson

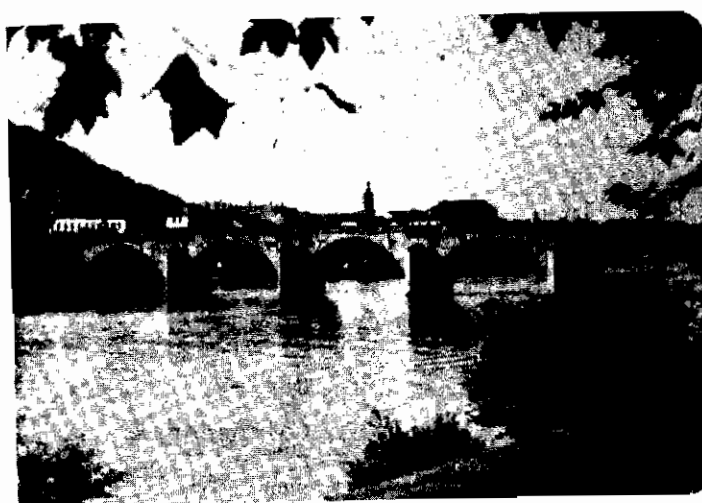
- 26. Navier
- 27. Goltzschtal
- 28. Schubert
- 29. Heidelberg
- 30. Glenfinnan

## مباحث بنیادی پلهای پتنی

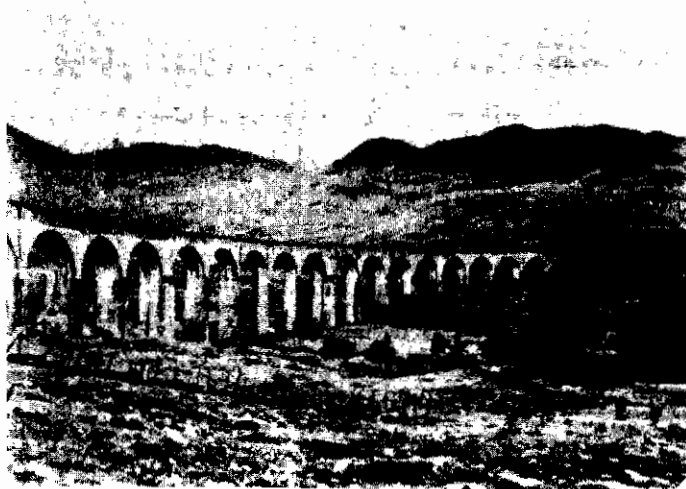
در ایران نیز پلهای قوسی ساخته شده از آجر جهت عبور قطار ساخته شدند که از آن جمله می‌توان پل قوسی نوده در گرگان و پل قوسی دیگری در راه آهن میانه را نام برد.



شکل (۱-۵)-پل کلتراشتال در آلمان



شکل (۱-۶)-پل هیدلبرگ در آلمان



شکل (۱-۲)- پل گلن فینان در اسکاتلند

## ۱ - ۵ پلهای آهنی و فولادی اولیه

قرن ۱۹ را سرگاز رشد پلهای فلزی، مخصوصاً در انگلستان، می‌توان به حساب آورد. طرح‌های اولیه که توسط افرادی چون وات<sup>۳۱</sup>، تلفورد<sup>۳۲</sup>، استنسون<sup>۳۳</sup>، برونل<sup>۳۴</sup>، و دیگران ارائه شدند عمدتاً "با استفاده از مصالح آهن بود که از نظر ظاهر جلوهٔ جالبی نداشتند. طرح یک پل قوسی آهنی بدنهٔ ۱۸۳ متر توسط تلفورد در این زمان داده شده که بدلایل اشکالات اجرائی هرگز این طرح عملی نگردید. در سال ۱۸۱۴، پس از انجام آزمایشاتی که بر روی آهن چکش خوار یا نرم انجام شد، تلفورد طرحی را برای پل معلقی بدنهٔ اصلی ۲۰۵ متر و دو بدنهٔ کناری هر کدام ۱۵۲ متر تهیی کرد. وی این ایده را نیز برای پل مشهوری که بر روی تنگهٔ منای<sup>۳۵</sup> بدنهٔ ۱۷۷ متر ساخته شد بکاربرد. این پل در سال ۱۹۳۸ توسط کابل تقویت شد. اکثر پلهای معلقی که در این دوره ساخته شدند بدلایلی که بعداً ذکر می‌شود نه کنون از بین رفته‌اند.

پلهایی که در این زمان ساخته می‌شدند اکثراً فقط برای تحمل بارهای حاصل از وسایط نقلیه اسبدار آن دوره طرح می‌شدند. بار باد و اثرات دینامیکی حاصل از حرکت

31. Watt

34. Brunel

32. Telford

35. Menai

33. Stephensons

بر روی پل از نظر طراحان تقریباً "ناشناخته بود و بدین دلیل ، مخصوصاً" در پلهای معلق ، در اثر حرکت نوسانات شدیدی در پل ایجاد میگردید که باعث دلهره عابرین میشد . از این بابت خرابیهای زیادی نیز برای پلهای معلق بسیار آمد ، نمونه ای از این خرابیها مربوط به پل زنجیری برافتون<sup>۳۶</sup> در منچستر میباشد که در سال ۱۸۲۱ اتفاق افتاد . این پل در اثر عبور دسته جمعی تعدا ذی سریاز و ایجاد نوسانات حاصل از آن خراب شد . تعدادی نیز در اثر عواملی چون طوفان و باد شدید در انگلستان ، فرانسه و آلمان خراب شدند که از جمله پل زنجیری برایتون<sup>۳۷</sup> در انگلستان به سال ۱۹۳۳ را میتوان نام برد . اولین پل معلق که برای عبور قطار از روی آن طرح گردید در سال ۱۸۳۵ توسط آقای ساموئل براون<sup>۳۸</sup> بر روی رودخانه تیز<sup>۳۹</sup> در انگلستان ساخته شد . دهانه این پل حدود ۸۶ متر بود . اما عاقبت در اثر عبور قطارهای سنگین از روی آن تغییر شکل بیش از حد در آن ایجاد شده که نهایتاً در اثر عامل خستگی<sup>۴۰</sup> خراب شد . از این خرابیها و خرابیهای متعدد مشابه دیگر که برای پلهای معلق اتفاق افتاد سازندگان این نوع پلهای ضرورت ایجاد صلبیت بیشتر در این پلهای را حس کردند . مثالی از راه حل های ارائه شده ، طرح اولیه رابت استتنفسون<sup>۴۱</sup> برای پل معروف بریتانیا<sup>۴۲</sup> بر روی تنگه منای بود که شامل چهار دهانه معتقد به طولهای ۱۴۰، ۲۵۰، ۱۴۵ و ۷۵ متر می شد . طرح اولیه پل شامل لوله های بزرگ آهنی ، جهت عبور قطار از میان آنها بود که توسط کابل های به صورت معلق نگهداری می شد ، براساس روش های تحلیلی و انجام آزمایشاتی که توسط شخصی بنام فیربرین<sup>۴۳</sup> بر روی ماکتی از این پل صورت گرفت معلوم شد که لوله ها به تنهایی قادر به حمل بار قطار بوده و احتیاجی به تقویت آنها توسط کابل های نمی باشد . این پل در واقع سرآغاز پلهای فلزی ساخته شده از ورق بود . پل مذکور در سال ۱۸۵۵ مورد استفاده قرار گرفت اما با آتش سوزی که در سال ۱۹۷۵ در داخل آن اتفاق افتاد پل صدمه فراوان دید و نهایتاً با جایگزین کردن لوله ها توسط قوس فولادی این پل بازسازی و مورد استفاده قرار گرفت . وی نیز پل سلطنتی آلبرت<sup>۴۴</sup> در سال تاش ۱۸۵۹ را در سال ۱۸۵۹ اتکمیل کرد . دودهانه اصلی این پل هریک بطول ۱۳۹ متر بود که در سازه آن از ترکیب قوس و کابل معلق استفاده شده بود . قوس ساخته شده از نوع لوله های عظیم آهنی

36. Broughton

41. Robert Stephenson

37. Brighton

42. Britania

38. Sir Samuel Brown

43. Fairbrain

39. Tees

44. Albert

40. Fatigue

45. Saltash

بود. او همچنین پل معلق کالیفتون<sup>۴۶</sup> را به دهانه ۲۱۴ متر که پس از مرگش در سال ۱۸۶۴ تکمیل شد طرح کرد.

در این دوره، بدلیل استفاده از قطار به عنوان وسیله نقلیه پل‌سازی رونق زیادی پیدا کرد، بطوری که به عنوان مثال در کشور انگلستان در طی ۷۰ سال بیش از ۲۵۰۰۰ پل بدین منظور ساخته شد. با توجه به وزن سنگین قطار و اثر شدید دینامیکی آن پلهای با صلابت بیشتر از پلهای معلق مورد نیاز بود.

در نیمه دوم قرن ۱۹ با بکارگیری مصالح فولاد بجای مصالح آهن سازه‌های فلزی مدرن امروزی پایه‌گذاری شدند. پلهای فولادی عظیمی در این دوره ساخته شدند که پکی از مشهورترین آنها پل قوسی فولادی سنت لویس<sup>۴۷</sup> می‌باشد که بر روی رودخانه می‌سی سی بی در آمریکا به سال ۱۸۷۳ ساخته شد. این پل متشكل از سه قوس می‌باشد که دهانه میانی آن ۱۵۸ متر است و توسط جی‌سی‌اچ<sup>۴۸</sup> طرح و بروش جدید طریقه ساخته شد. در سال ۱۸۷۹ در اثر طوفان شدید تراژدی سقوط پل<sup>۴۹</sup> تی اتفاق افتاد. این حادثه به دلیل نداشتن پایه‌داری کافی در مقابل بار باد بوقوع ہیوست و باعث عدم اعتماد مهندسین با تجربه از طریق‌های خود گشت. این نشان می‌دهد که در آن زمان اطلاع کافی از مقدار و نوع بار باد و عکس العمل سازه پل در مقابل آن در دست نبود. بدین ترتیب به علت کمبود اطلاعات در این زمینه مهندسین قادر به استفاده از تجربیات قبلی خود و یا دیگران نبودند.

در این دوره علاوه بر اینکه دستیابی به مصالح قویتر امکان پذیر شده بود، روش‌های تحلیل و درک رفتار سازه‌ها نیز پیشرفت قابل توجیهی پیدا کرد. از افرادی چون ناویر<sup>۵۰</sup>، کوشی<sup>۵۱</sup> (۱۷۸۹ – ۱۸۵۲)، پویزون<sup>۵۲</sup> (۱۷۸۱ – ۱۸۴۰)، لامه<sup>۵۳</sup> (۱۷۹۵ – ۱۸۲۰)، کلپیرون<sup>۵۴</sup> (۱۷۹۹ – ۱۸۶۴) و سنت و نان<sup>۵۵</sup> (۱۷۹۷ – ۱۸۸۶) به عنوان صاحب نظران اولیه تصوری ارجاعی می‌توان نام برد. روش‌های تحلیلی بکار گرفته شده توسط این افراد منجر به روش‌های مدرن تحلیل سازه‌ها گردید که امروزه از آنها استفاده می‌شود. افراد دیگری چون اتون هادکینسون<sup>۵۶</sup>، ویزبان<sup>۵۷</sup> نیز کارهای آزمایشگاهی را با اصول و نظم خاصی رونق

46. Clifton

52. Poisson

47. St. Louis

53. Lame

48. J.B. Eads

54. Clapeyron

49. Tay

55. Saint-Venant

50. Navier

56. Eaton Hodgkinson

51. Cauchy

57. Weisbach

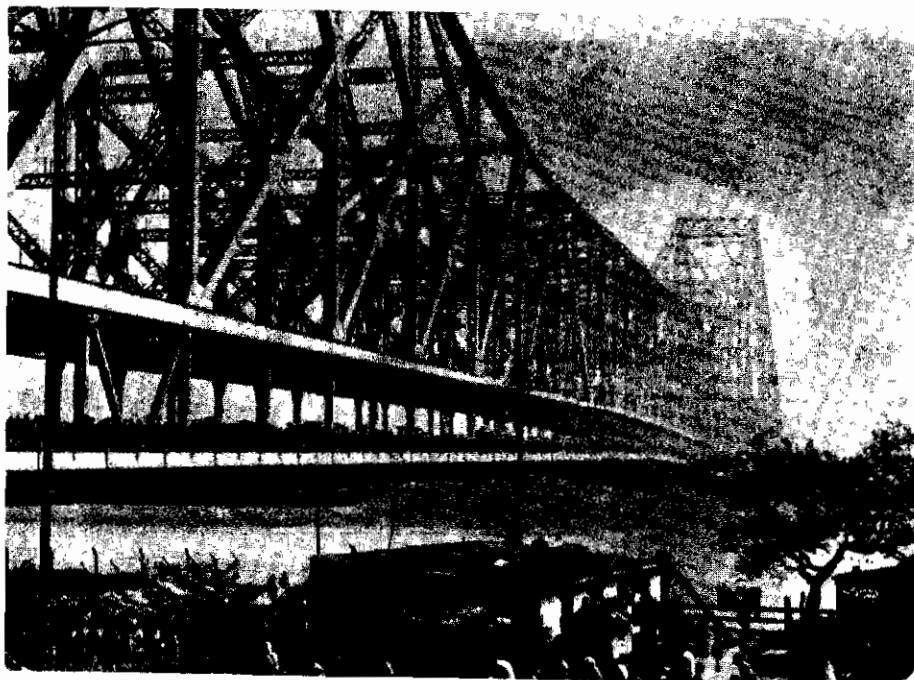
دادند . توسعه علم تحلیل سازه‌ها توسط افراد دیگری چون کلرک ماسکول<sup>۵۸</sup> (۱۸۲۱-۱۸۷۹)، کارل کلمن<sup>۵۹</sup> (۱۸۲۱-۱۸۸۱) و بنجامین بیکر<sup>۶۰</sup> ادامه یافت . قدرت تحلیل سازه‌ها به حدی رسیده بود که در سال ۱۸۸۰ آقای بنجامین بیکر پل عظیم خریائی فورت<sup>۶۱</sup> را با استفاده از محاسبه تنها طرح کرد . البته وی جهت آگاهی از عملکرد آن در مقابل بار باد مجبور به استفاده از روش‌های آزمایشگاهی نیز شد .

پل فورت که در سال ۱۸۸۲ مورد استفاده قرار گرفت در واقع سر آغاز عصر پلهای خریائی کنسولی با دهانه زیاد می‌باشد . این پل که توسط آقای بنجامین بیکر و با همکاری آقای جان فاولر<sup>۶۲</sup> طرح گردید ، شامل دو دهانه اصلی هر کدام بطول ۵۲۱ متر می‌باشد که از دو بازوی کنسولی ۲۰۷ متری و یک دهانه ساده ۱۲۵ متری تشکیل شده‌بود ، اعضای اصلی فشاری این خرپای فلزی از لوله‌های فولادی ساخته شده‌اند .

پس از ساخت پل فورت پلهای عظیم دیگری از نوع خرپای فلزی ساخته شدند که از جمله پل کوئینزبرو<sup>۶۳</sup> بر روی رودخانه ایست<sup>۶۴</sup> در نیویورک با دهانه اصلی ۳۶۰ متری سال ۱۹۰۹، پل راه آهن کیوبک<sup>۶۵</sup> با دهانه اصلی ۵۴۹ متر بر روی رودخانه سنت لورنس<sup>۶۶</sup> در کانادا به سال ۱۹۱۸ و پل کنسولی هاوار<sup>۶۷</sup> با دهانه اصلی ۴۵۷ متر بر روی رودخانه هوقلی<sup>۶۸</sup> در کلکته به سال ۱۹۴۵ (شکل ۱-۸) را می‌توان نام برد .

بعد از عملکرد موفقیت‌آمیز پل فولادی قوسی سنت لویس که در سال ۱۸۲۳ ساخته شد ، تعداد زیادی پل قوسی فولادی دیگر از آن پس ساخته شد . مهمترین آنها شامل پل ویکتوریا فالز<sup>۶۹</sup> بر روی رودخانه زامبزی<sup>۷۰</sup> که توسط آقای رالف فریمن<sup>۷۱</sup> و زیرنظر جی‌آها بسون<sup>۷۲</sup> ساخته شد ، دیگری پل هل گیت<sup>۷۳</sup> بر روی رودخانه ایست در نیویورک به دهانه ۲۹۸ متر است که توسط جی ال لیندنشتال<sup>۷۴</sup> و آج آمان<sup>۷۵</sup> طرح گردید و در سال ۱۹۲۱ مورد

- |                        |                       |
|------------------------|-----------------------|
| 58. Clark-Maxwell      | 67. Hawrah            |
| 53. Karl culman        | 68. Hooghly           |
| 60. Sir Benjamin Baker | 69. Victoria Falls    |
| 61. Forth              | 70. Zambezi           |
| 62. Sir John Fowler    | 71. Sir Ralph Freeman |
| 63. Gueensboro         | 72. G.A.Hobson        |
| 64. East               | 73. Hell Gate         |
| 65. Quebec             | 74. G.L.Lindenthal    |
| 66. St.lawrence        | 75. O.H.Ammann        |



شکل (۱-۸)-پل‌هاوارا در کلکته

استفاده قرار گرفت . پل بندر سیدنی<sup>۷۶</sup> در استرالیا به دهانه<sup>۵۵۳</sup> متر که با مطالعات دکتر براد فیلد<sup>۷۷</sup> از روی پل هل گیت و طرح و محاسبه آقای رالف فرینمن در سال ۱۹۳۲ ساخته شد (شکل ۱-۹) . آقای رالف فرینمن پل قوسی دیگری را بنام پل بیرچنافز<sup>۷۸</sup> به دهانه<sup>۳۲۹</sup> متر طرح کرد که بر روی رودخانه سابی<sup>۷۹</sup> در زیمبابوه به سال ۱۹۳۵ تکمیل شد . پل آخری از ظرافت و زیبایی خاصی برخوردار می‌باشد . وی برای اولین بار آزمایش تونل بادرا بر روی ماکت پل جبهت مطالعه اثرات ناشی از باد بر سازه واقعی انجام داد . فرینمن پل دیگری از نوع معلق بنام پل اتوپیت<sup>۸۰</sup> به دهانه<sup>۳۲۵</sup> متر را نیز طرح کرد که در سال ۱۹۳۹ کامل گشت .

ساخت خرپاهای فولادی تا عصر حاضر ادامه داشته است . شکل (۱۰-۱) نوع دیگری

76. Sydney Harbour

79. Sabi

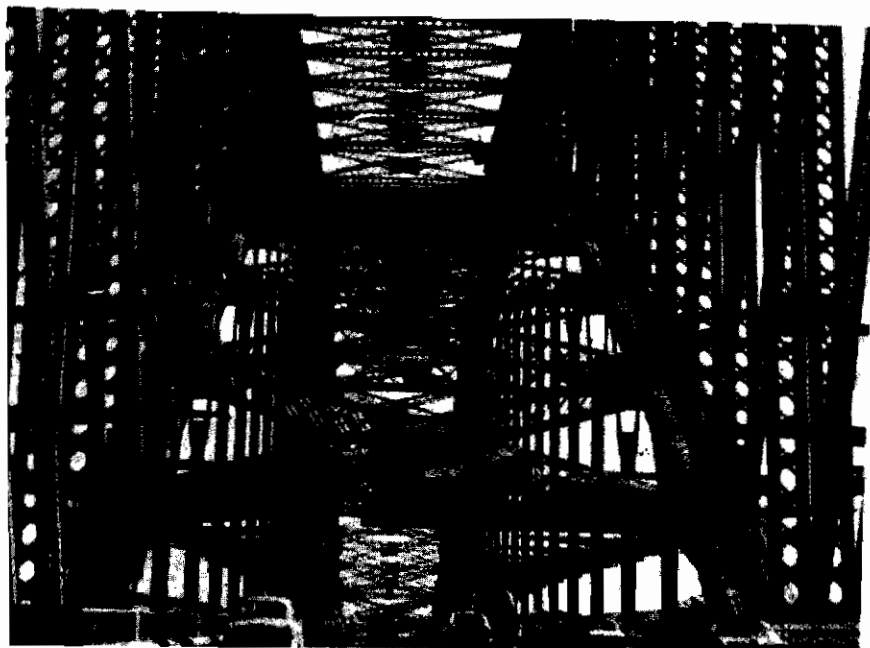
77. Dr.J.J.C.Bradfield

80. Otto Beit

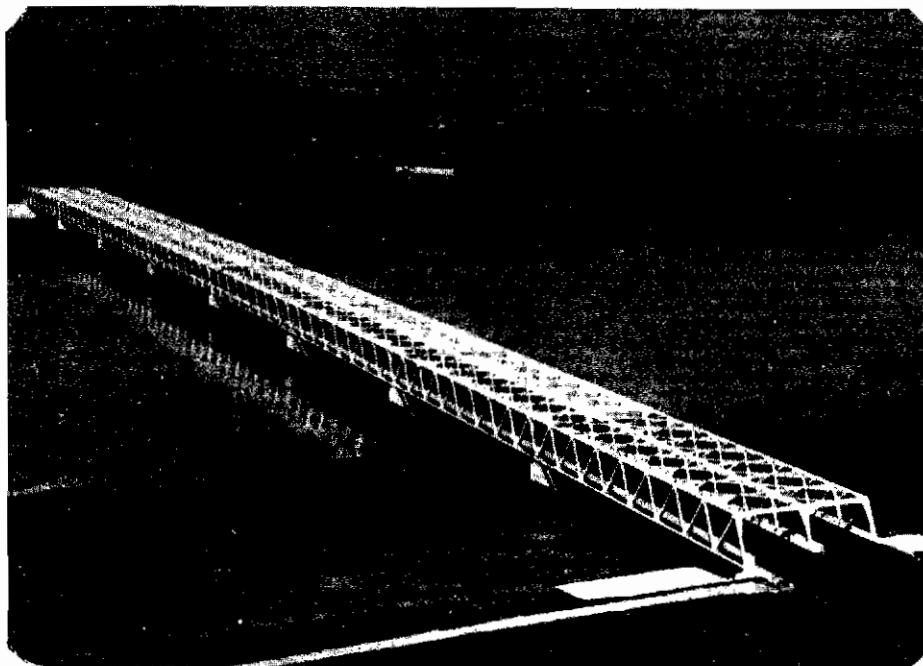
78. Birchenoughs



شکل (۱ - ۹) - الف - نمای پل بندر سیدنی در استرالیا



شکل (۱ - ۹) - ب - داخل پل بندر سیدنی



شکل (۱ - ۱۰) - پل تانگاوا در ژاپن

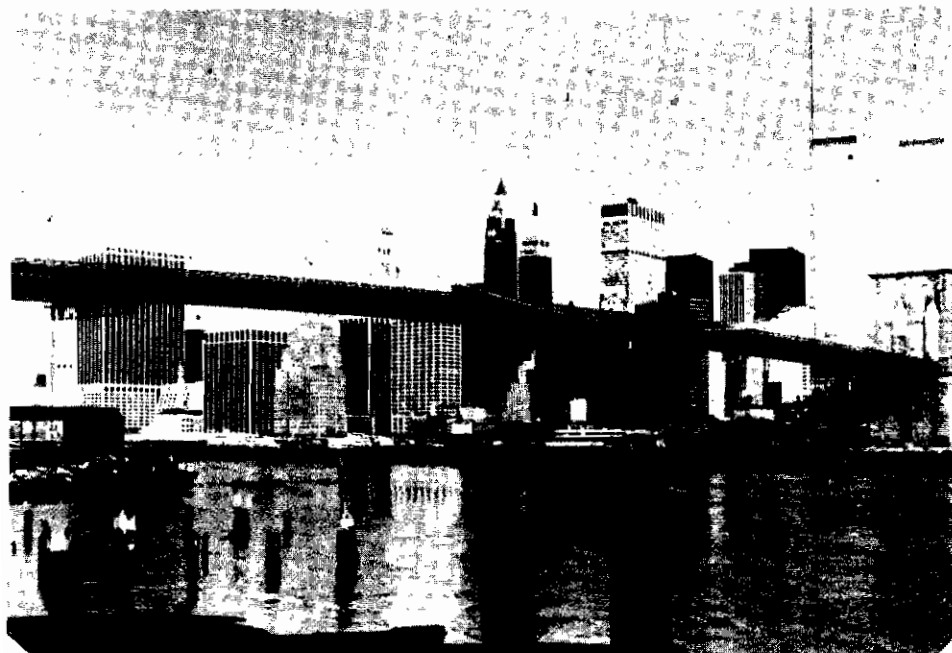
از پل خرپائی فولادی را نشان می‌دهد که در آن از خرپایی تخت بجای خرپایی قوسی استفاده شده است. این پل بنام پل تانگاوا<sup>۸۱</sup> می‌باشد که بر روی رودخانه تانگاوا در مسیر راه اصلی یوتوكیو در ژاپن به سال ۱۹۷۲ ساخته شد.

اکثر پلهای ساخته شده در راه شوسه کناره شمال ایران از نوع پل خرپائی تخت فولادی می‌باشند. تعدادی دیگر از این نوع پلهای عبارتند از پل لشکرک، پل حسینیه در لرستان، پل ماشالک در نزدیکی نوشتر در راه کناره شمال، پل سفیدرود در گیلان و پل راه شوše در زفول.

#### ۱ - پلهای فولادی معلق

"پیشرفت مهندسی پل‌سازی مخصوصاً" در آمریکا را باید مدیون تلاش شخصی بنام جان آ. روبلینگ<sup>۸۲</sup> (۱۸۰۶ - ۱۸۶۹) دانست. وی به عنوان مخترع پلهای معلق بادهانه زیاد

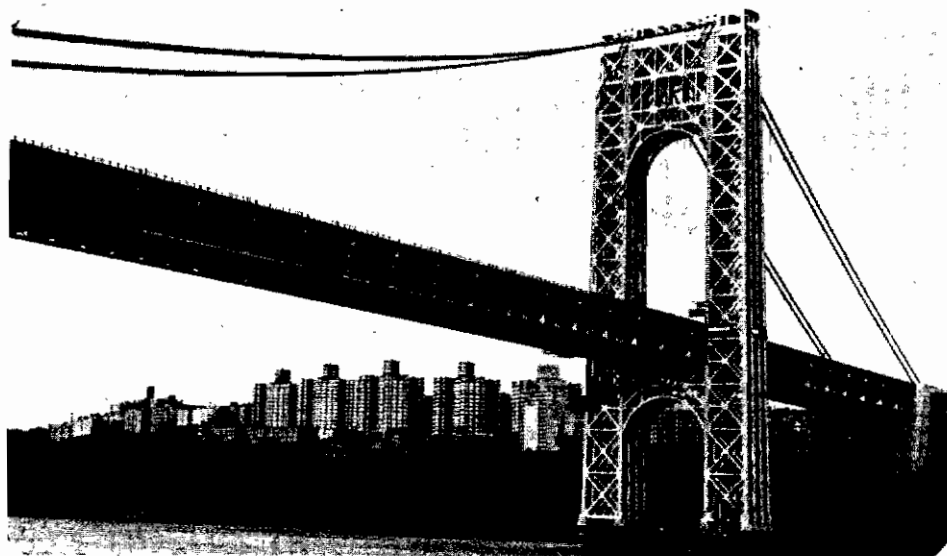
شناخته شده است . پل معروف بروکلین<sup>۸۳</sup> که در سال ۱۸۸۳ با دهانه ۴۸۶ متر ساخته شد در واقع یکی از شاهکارهای عصر خود بشمار می‌آمد . بدلیل فوت نابهنجام وی این پل در سال ۱۸۸۳ توسط پرسش کامل شد (شکل ۱۱-۱) .



شکل (۱-۱۱)-پل بروکلین در آمریکا

بدنبال عملکرد موفقیت آمیز این پل و اعتقاد به نفسی را که در مهندسین بوجود آورد از آن پس پلهای معلق مشهور و عظیمی ساخته شدند . از آن جمله پلهای معروف جرج - واشنگتن<sup>۸۴</sup>، گلدن گیت<sup>۸۵</sup>، و رازانا<sup>۸۶</sup> و هامربر<sup>۸۷</sup> را می‌توان نام برد . پل معلق جرج واشنگتن با دهانه اصلی ۱۰۶۲ متر در سال ۱۹۳۱ توسط او اچ آمان<sup>۸۸</sup> طرح و بر روی رودخانه هاد سون<sup>۸۹</sup> در آمریکا ساخته شد (شکل ۱-۱۲) . پل معلق گلدن گیت با دهانه

- |                       |                 |
|-----------------------|-----------------|
| 83. Brooklyn          | 87. Humber      |
| 84. George washington | 88. O.H. Ammann |
| 85. Golden Gate       | 89. Hudson      |
| 86. Verrazano Narrows |                 |



شکل (۱۲-۱) الف - نمای پل جرج واشنگتن در آمریکا



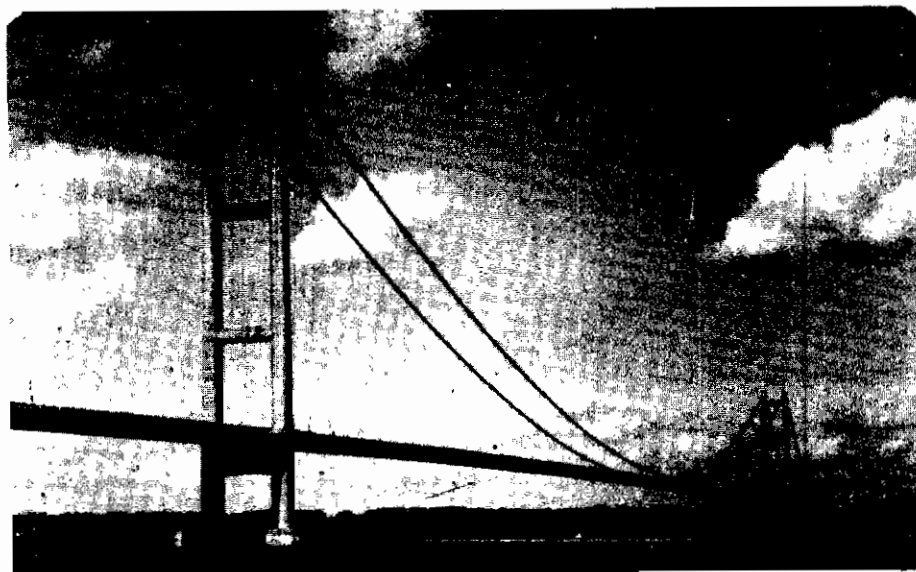
شکل (۱۲-۱)-ب - داخل پل جرج واشنگتن

۱۲۸۵ متر در سال ۱۹۳۷ کامل شد (شکل ۱۲-۱) و پل معلق و رازانبا با دهانه اصلی ۱۲۹۸ متر بیست هشت سال پس از ساخت پل گلدن گیت مورد استفاده قرار گرفت . پل معلق هامبر در انگلستان با دهانه ۱۴۱۰ متر و ارتفاع حداقل پایه‌ها ۱۵۲ متر در سال ۱۹۸۰ ساخته

شد که در زمان خود بزرگترین دهانه پل معلق در دنیا بوده است (شکل ۱۴-۱).



شکل (۱-۱۳)-پل معلق گلدن گیت در آمریکا



شکل (۱-۱۴)-پل معلق هامبر در انگلستان

## ۱ - ۷ بوجود آمدن بتن آرمه

کاربرد بتن آرمه در ساخت پلها اولین بار در اوایل قرن نوزده صورت گرفت . اگرچه استفاده از بتن به فرم‌های مختلف در خرابه‌های باقی مانده از روم مشهود است اما این ایده برای قریب به هیجده قرن مسکوت مانده بود تا بالاخره در سال ۱۷۵۵ شخصی بنام اسمیتون<sup>۹۰</sup> آزمایشاتی را برروی بتن انجام داد . لویس جوزف ویکت<sup>۹۱</sup> (۱۷۸۶-۱۸۶۱) نیز مطالعاتی بر روی ملات سیمان در قبیل از سال ۱۸۱۸ انجام داد و جوزف آسپدین<sup>۹۲</sup> (۱۷۷۹-۱۸۵۵) کشف سیمان پر تلند را در سال ۱۸۲۴ به ثبت رسانید . جی . رال . لامبوت<sup>۹۳</sup> در سال ۱۸۴۸ قایقی را با استفاده از مصالح بتن و میله‌های آهنی ساخت . اگرچه در سال ۱۸۵۲ فرانکویس کویگنانت<sup>۹۴</sup> اولین ساختمان مرکب بتن و آهن را ساخت اما ابداع کننده سازه‌های بتن آرمه به سبک امروزی را باید مدیون زحمات شخصی بنام تادیوس هایت<sup>۹۵</sup> (۱۸۱۶-۱۹۰۱) دانست که با انجام آزمایشاتی در سال ۱۹۵۵ تیر بتن آرمه را ساخت . وی در سال ۱۸۷۷ کتابی در رابطه با آزمایشات خود منتشر کرد که در آن به یکسان بودن ضریب انبساطی بتن و میله‌های آهنی داخل آن اشاره شده و ضریب تعدیل را ۲۵ فرض کرده است .

توسعه سازه‌های بتن آرمه در اوایل قرن نوزده در فرانسه توسط افرادی همچون هنوبیک<sup>۹۶</sup> ادماند کویگن<sup>۹۷</sup> ، ان دی تدسو<sup>۹۸</sup> و آرماند کانزیدر<sup>۹۹</sup> فراهم آمد . افتخار اصلی بفکار گیری مصالح بتن آرمه در صنعت متعلق به جوزف مونیر<sup>۱۰۰</sup> می‌باشد ، ویلکینسون<sup>۱۰۱</sup> در سال ۱۸۵۴ اولین سقف بتن آرمه را در انگلستان به‌اجرا در آورد ولی ایده وی در آن زمان چندان مورد استقبال قرار نگرفت .

در سال ۱۸۷۰ پل هومرزفیلد<sup>۱۰۲</sup> در ساگولک<sup>۱۰۳</sup> انگلستان توسط سقف بتن آرمه‌ای از نوع دال و تیر به دهانه ساده پانزده متر ساخته شد . ویز<sup>۱۰۴</sup> آلمانی اولین کسی بود که

- |                 |                     |
|-----------------|---------------------|
| 90. Smeaton     | 98. N.D. Tedesco    |
| 91. L.J.Wicat   | 99. A.Considere     |
| 92. J.Aspdin    | 100. J.Monier       |
| 93. J.L.Lambot  | 101. W.B. Wilkinson |
| 94. F. Coignant | 102. Homersfield    |
| 95. T. Hyat     | 103. Suffolk        |
| 96. Hennebique  | 104. Wayss          |
| 97. E. Coignet  |                     |

محاسبات قطعات بتون آرمه را انجام داد . وی با همکاری فریتاك<sup>۱۰۵</sup> در طی ده سال ۱۸۸۱ تا ۱۸۹۱ حدود ۳۲۵ عدد پل قوسی بتونی با سدهانه ۵۰، ۴۰ و ۴۰ متری را طراحی محاسبه و به اجرا در آوردند . کونن<sup>۱۰۶</sup> در سال ۱۸۸۶ رفتار و تحلیل یک تیر بتون آرمه را به چاب رسانید . هنبیک در سال ۱۹۱۳ پل ریزور گیمنتو<sup>۱۰۷</sup> در روم را از نوع قوس بتون آرمه با دهانه صدمتر که بزرگترین دهانه از نوع خود به شمار می آمد ساخت .

### ۱ - پلهای بتون آرمه

از آنجاییکه از مصالح فولاد برای ساخت پلهای با دهانه بزرگ استفاده می شد، کاربرد مصالح بتون آرمه محدود به پلهای با دهانه کوتاه شده بود . با این حال از مصالح بتون آرمه در ساخت پلهای زیاد استفاده می شد بطوری که در سال ۱۹۰۰ هنبیک به تنهایی مسئولیت ساخت بیش از صد پل بتونی را عهدهدار شد . در آلمان شرکت ویس و فریتاغ<sup>۱۰۸</sup> اولین کتاب درسی در رابطه با جنبه های اساسی طرح و محاسبه قطعات بتون آرمه را که توسط پروفسور مارش<sup>۱۰۹</sup> تهیه شده بود منتشرداد . پس از سه سال از آن تاریخ یعنی در سال ۱۹۰۳ اولین آین نامه سازه های بتون آرمه توسط انجمن مهندسین و معمار سویس منتشر یافت . از آن پس دیگر کشورها نیز در صدد تهیه آین نامه های مربوطه برآمدند .

گسترش هرچه بیشتر استفاده از مصالح بتون آرمه بجای فولاد در ساخت پلها نتیجه تلاش افرادی چون میلارت<sup>۱۱۰</sup> ( ۱۸۷۲ - ۱۹۴۰ ) از کشور سویس و هنبیک از فرانسه می باشد . این دو با طرح و اجرای پلهای زیبا و کم نظری از مصالح بتون آرمه علاقه مهندسین پل ساز را به استفاده از این مصالح در ساخت پلها چند برابر کردند .

تا قبل از سال ۱۹۴۳ انواع مختلف پلهای بتون آرمه قوسی با دهانه های ۱۴۵ الی ۱۹۲ متر در اروپا ساخته شدند . در سال ۱۹۴۳ پل قوسی مشهور ساندو<sup>۱۱۱</sup> بر روی رودخانه<sup>۱۱۲</sup> نگرمن<sup>۱۱۳</sup> در سوئد با دهانه ۲۶۴ متر توسط هاگبوم<sup>۱۱۴</sup> طرح و ساخته شد ( شکل ۱-۱۵ ) . بیست سال پس از آن پل قوسی بتون آرمه آرابیدا<sup>۱۱۵</sup> در پرتغال با دهانه بزرگتر از پل ساندو ساخته شد و بدین ترتیب پلهای با دهانه بزرگ با استفاده از مصالح بتون آرمه توسعه یافت .

105. Frettag

110. R.maillart

106. M.Koenen

111. Sando

107. Risorgimento

112 Angerman

108. Wayss + Freitag

113. S. Hoggbom

109. Prof.E. Marsch

114. Arrabida



شکل (۱ - ۱۵) - پل قوسی ساندو در سوئد

## ۱ - ۹ بوجود آمدن بتن پیش تنیده

اگرچه ایده پیش تنیده کردن سازه‌های وزنی و بتُنی از خیلی قبل وجود داشته است ولی پیشرفت آن در حقیقت زمانی میسر گردید که فولاد با مقاومت کششی زیاد ساخته شد. مهندس مشهور فرانسوی فرسینه<sup>۱۱۵</sup> (۱۸۷۹ - ۱۹۶۲) را پدر بتن پیش تنیده نامیده‌اند چه او یکی از پیشگامان در ابداع و توسعه سیستم موئری که بطور وسیع برای سازه‌های بتُنی بکار گرفته می‌شود می‌باشد. وی این ابتکار را اولین بار بصورت پس تنیدگی با اتصال پایه‌های یک قوس آزمایشی بدنه<sup>۱۱۶</sup> ۵۵ متر توسط یک قطعه کششی انجام داد، اما سال‌ها بطول انجامید تا مهندسین در خود اعتماد بنفس در رابطه با این روش ایجاد نمایند. این روش زمانی مورد قبول قرار گرفت که وی برای نجات ساختمان یک ترمینال جدید از فرو ریختن، در اثر نشت پایه‌ها در سال ۱۹۳۴، از روش پس تنیده کردن آن استفاده نمود. وی مهندسی کار کرده با تجربه عملی خیلی زیاد بود، در اجرای پلهای خود نظارت نزدیک داشته و از جزئیات آن‌گاهی کامل داشت. پلهای ساخته شده وی همچون پلهای میلارت، عصر تازه‌ای از پل‌سازی را بوجود آورد که تا کنون نیز ادامه دارد. یکی از پلهای معروف وی در اولی

با دهانه<sup>۱۱۷</sup> ۵۳ متر که در سال ۱۹۵۹ ساخته شد در حال حاضر نیز از جلوه‌ای خاص برخوردار است.

افرادی کم‌سهم بسازی در پیشرفت تئوری و اجرای روش پیش‌تبیه‌گی داشتند عبارتند از مکنل<sup>۱۱۸</sup> از بلزیک، فینسترووالدر<sup>۱۱۹</sup> از آلمان و هویر<sup>۱۲۰</sup> از آلمان که شخص اخیر روش تولید کارخانه‌ای قطعات پیش‌تبیه را توسعه داد.

#### ۱-۱۰- دورة بعد از جنگ جهانی و زمان حاضر

بعد از جنگ جهانی دوم تلاش گسترده‌ای جهت بازسازی بناها و پلهای آسیب دیده آغاز گردید. با توجه به بمبود وضع اقتصادی کشورهای جنگ زده، اتوپنهای درن همراه با پلهای زیادی احداث گردید که برای دهانه‌های کوتاه تا متوسط از پلهای بتی آرمه و بتی-پیش‌تبیه استفاده شد. علاوه بر این، پلهای جدیدی از نوع خرپائی کتسولی فولادی برای دهانه<sup>۱۲۱</sup> ۳۰۵ الی ۵۱۸ متر ساخته شد. اولین پل از نوع قوس صلب با استفاده از مصالح سبک آلومینیوم در آرویدای<sup>۱۲۰</sup> کانادا به دهانه<sup>۱۲۲</sup> ۸۸ متر ساخته شد.

فرم دیگری از پلهای معلق، که از جایگزین کردن کابل‌های آویز مثلثی شکل حاصل می‌گردد، برای دهانه<sup>۱۲۳</sup> ۹۰۰ الی ۱۵۰۰ متر، پیشرفت چشمگیری داشت. این فرم پل معلق اولین بار توسط مهندس انگلیسی بنام فریمن<sup>۱۲۱</sup> ابداع گردید و اولین بار در ساخت پل معلق سورن<sup>۱۲۲</sup> در سال ۱۹۶۶ در انگلستان بکار برده شد (شکل ۱-۱۶). پلهای بسفر<sup>۱۲۳</sup> در ترکیه که به سال ۱۹۷۳ کامل شد و پل عظیم هامبر، در انگلستان بادهانه<sup>۱۲۴</sup> ۱۴۱۰ متر که به سال ۱۹۸۱ تکمیل گردید، هردو از این نوع می‌باشد.

عبورگاه ساخته شده از تیر حمال قوطی یا تیر حمال I شکل فولادی از نظر زیبائی و اقتصاد راه حل مناسبی برای پلهای با دهانه<sup>۱۲۵</sup> ۸۰ الی ۳۰۰ متر بشمار می‌آمد. در کشورهای اروپائی که صنعت فولاد پیشرفت کرده بود کاربرد این نوع پلهای رواج یافت. در آلمان پلهایی که بر روی رودخانه راین<sup>۱۲۶</sup> ساخته شدند اکثر آنها بودند که مهمترین آنها عبارتند از پل کوبلنت<sup>۱۲۷</sup> با دهانه<sup>۱۲۸</sup> ۲۳۵ متر، پل ویز بادن شیرستین<sup>۱۲۹</sup> با دهانه<sup>۱۲۰</sup> ۲۰۵ متر و پل

117. G.Magnel

122. Severn

118. U.Finsterwalder

123. Bosporus

119. E.Hoyer

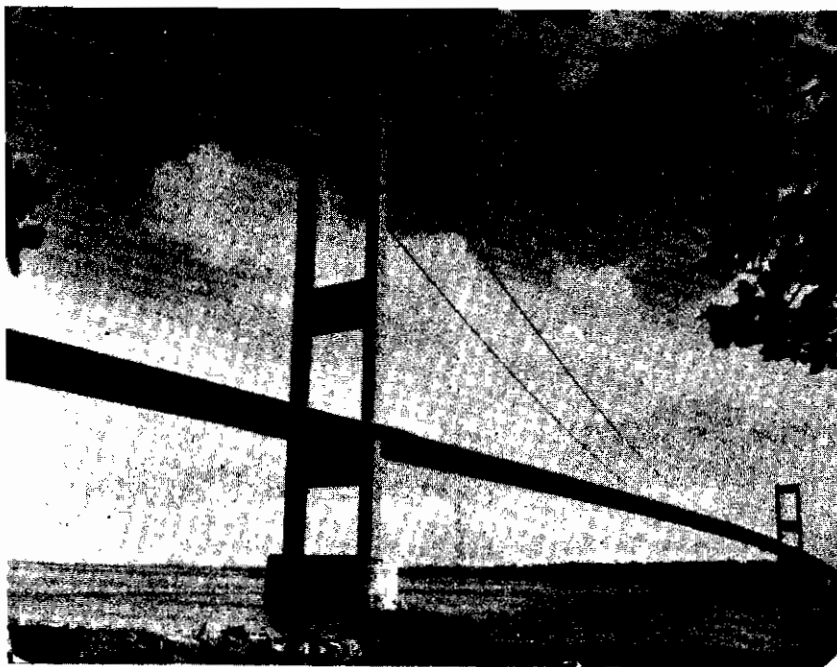
124. Rhine

120. Arvida

125. Koblenz

121. Freeman

126. Wiesbaden-schierstein

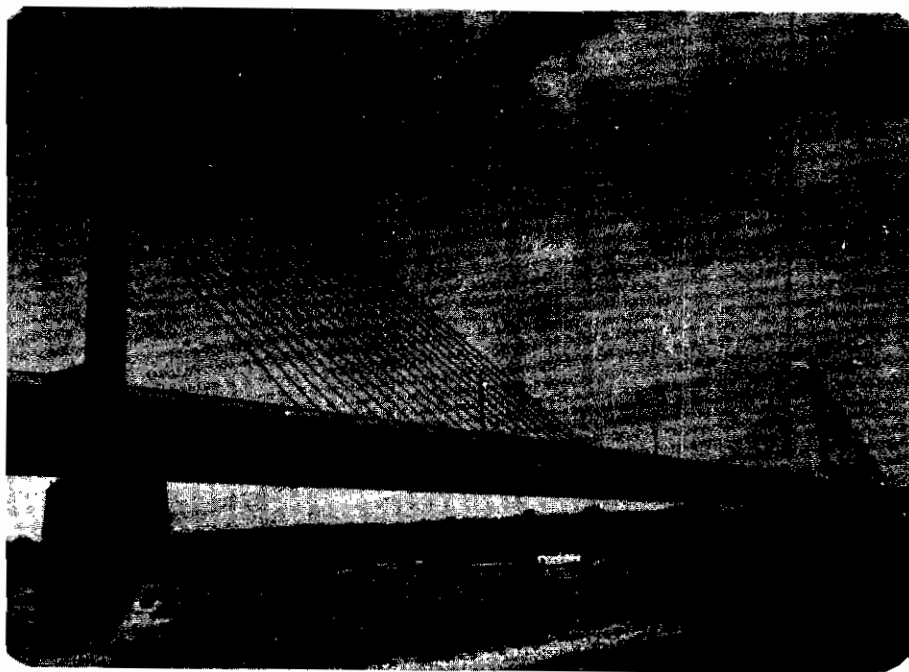


شکل (۱۶-۱) - پل سوون در انگلستان

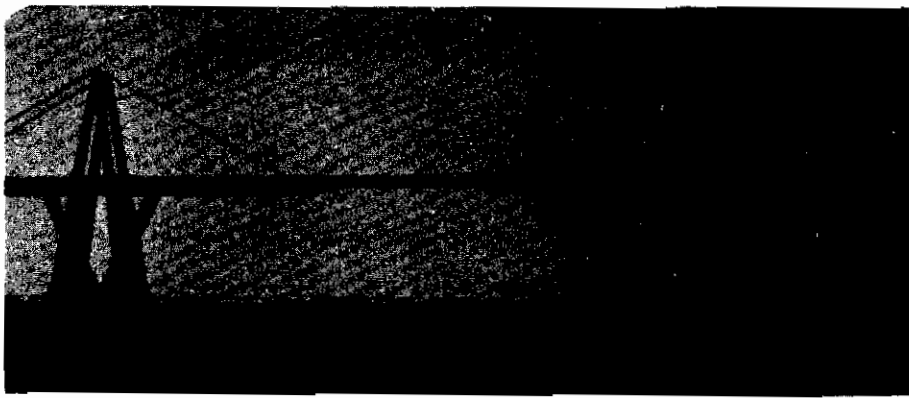
کلن دیوتز<sup>۱۲۷</sup> با دهانه ۱۸۵ متر، یکی از پلهای عظیمی از این نوع که تا کنون ساخته شده است پل نیتروی<sup>۱۲۸</sup> در برزیل می‌باشد. در این زمان در کشورهای پیشرفته تولید فولادهایی با مقاومت نهائی تا ۱۸۶ مگاپاسکال شروع شد که از نظر ساخت پلهای با دهانه زیاد از اهمیت زیادی برخوردار بود.

فرم دیگر استفاده از تیرهای فولادی حمال در ساخت عبورگاههای مرکب فولاد و بتن می‌باشد. این نوع عبورگاهها که از تیرهای حمال فولادی، اتصالات برشی فولادی و کف بتی ساخته می‌شند در این دوره توسعه یافت.

نوع دیگر از پلهای کابلی پلهای ترکمای می‌باشد که در آنها با استفاده از کابلهای آویز موازی یا متقارب و مایل نسبت به پایه‌های عبورگاه استفاده می‌شود. نمونه‌ای از این نوع پل را در آلمان است (شکل (۱۷-۱)). اشکال (۱۸-۱) و (۱۹-۱) فرم‌های زیبای دیگری از همین نوع پل می‌باشد.

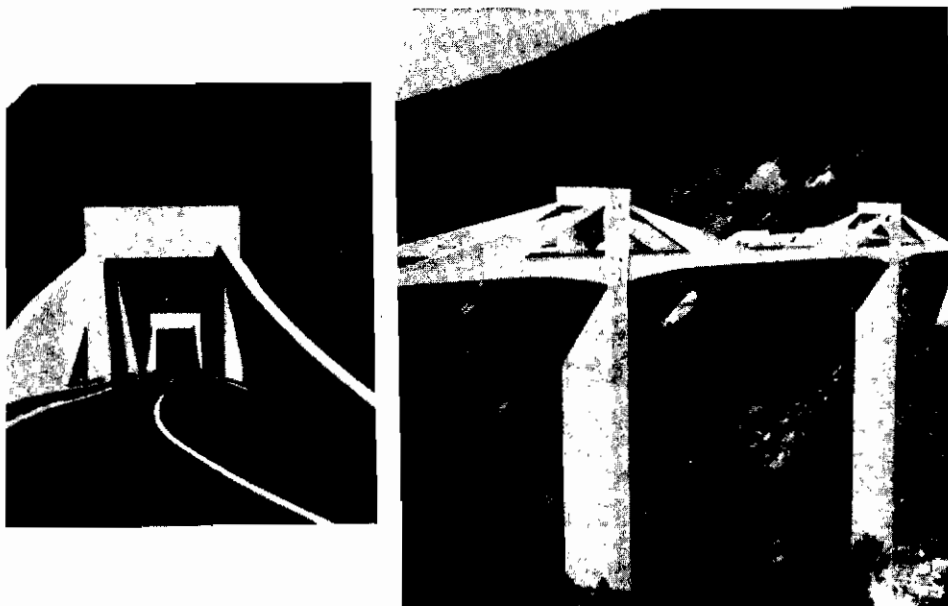


شکل (۱۷-۱) - پل راین در آلمان



شکل (۱۸-۱) پل معلق بتُنی

پیشرفت عمدۀ پل‌سازی در سالهای بعد از جنگ جهانی یکارگیری مصالح بتن آرمۀ و بتن پیش‌تنیده در ساخت پلهای بوده است. پلهای زیادی از نوع تیرهای حمال پیش‌تنیده و نیز سازه‌های مرکبی مشکل از بتن آرمۀ و بتن پیش‌تنیده مورد استفاده قرار گرفتند.



شکل (۱-۱۹) پل معلق بتنی

روش اجرایی طریق آزاد در ساخت پل‌های پیش‌تنیده اولین بار در سال ۱۹۵۰ برای ساخت پل لان ریور<sup>۱۲۹</sup> در آلمان بکار گرفته شد. دو سال بعد این روش در ساخت پلی بر روی رودخانه راین در آلمان با دهانه اصلی ۱۱۴ متر مورد استفاده قرار گرفت. از آن پس بیش از صد پل پیش‌تنیده با مقاطع قوطی ساخته شدند. از جمله آنها پل مدیو<sup>۱۳۰</sup> در انگلستان با دهانه اصلی ۱۵۲ متر و پلی بر روی رودخانه راین در بندر<sup>۱۳۱</sup> رفته با دهانه اصلی ۲۰۸ متر را می‌توان نام برد. سازه‌های مهم دیگر از این نوع که در ژاپن ساخته شدند یکی پل یوراتو<sup>۱۳۲</sup> به سال ۱۹۷۲ و دیگری پل هاماانا چاسی<sup>۱۳۳</sup> با دهانه ۲۴۰ متر که در سال ۱۹۷۷ کامل شد را می‌توان نام برد. اولین پل مهم پیش‌تنیده ساخته شده در آمریکا پل والنات لین<sup>۱۳۴</sup> با دهانه میانی ۴۹ متر در فیلادلفیا می‌باشد که توسط یک مهندس بلژیکی طرح گردید، با اجرای این پل بتن پیش‌تنیده جای پای خود را در آمریکا جهت ساخت پل‌ها باز کرد.

129. Lahn River

132. Urato

130. Medway

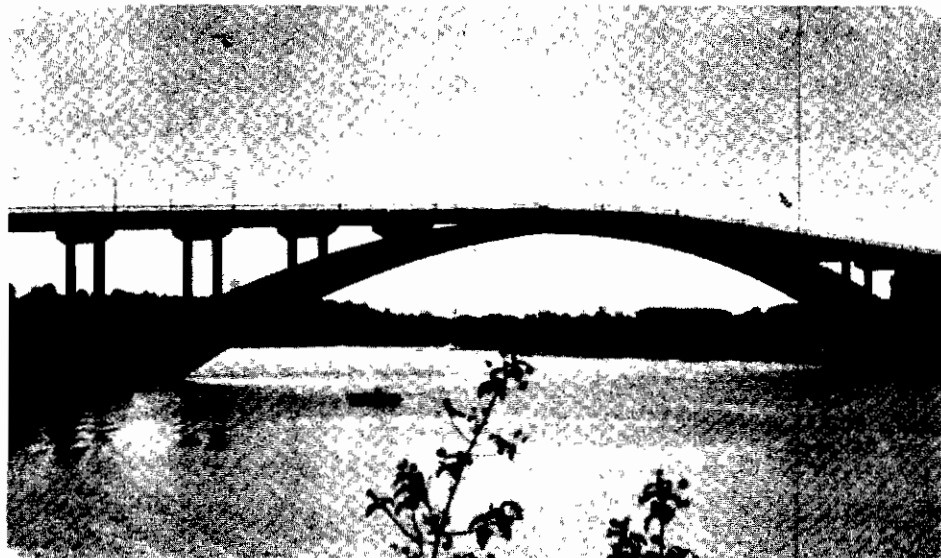
133. Hamana-chasi

131. Bendorf

134. Walnut lane

عبورگاه اکثر پل‌های معلق مدرن با استفاده از مصالح بتن پیش‌تنیده ساخته می‌شود که دلیل این امر یکی بخاطر روش‌های نوین اجرایی این نوع عبورگاهها می‌باشد که نسبت به انواع دیگر برتری دارد.

پس از ساخت پل ساندو پل‌های قوسی بتن آرمه با دهانه‌های بزرگتری ساخته شدند. یکی از آنها پل قوسی بهدهانه<sup>۱۳۵</sup> ۳۹۵ متر در یوگسلاوی می‌باشد که به ووش طره‌ای آزاد ساخته شده است. دیگری پل بلوکرانز<sup>۱۳۶</sup> در آفریقای جنوبی با دهانه ۲۷۲ متر می‌باشد. روش‌های جدید اجرای پل‌های قوسی بار دیگر این نوع پل‌ها را در رقابت با انواع دیگر پل‌ها قرارداد. پل بتن آرمه قوسی گلدسویل<sup>۱۳۷</sup> با دهانه ۳۰۵ متر که در سال ۱۹۶۴ در استرالیا کامل شد نمونه‌ای دیگر از این نوع است (شکل (۲۰-۱)). خرابی پل‌ها حتی تا زمان حاضر نیز ادامه داشته، از آن جمله خرابی ناگهانی پل معلق تاکوما ناروز<sup>۱۳۸</sup> با دهانه ۸۵۳ متر می‌باشد که در اثر ناپایداری آزاده‌نامیکی ناگهان فرو ریخت. این حادثه و خرابی‌های نظیر آن نشان می‌دهد که مهندسین پل از نیروهای وارد بر سازه و عکس العمل پل در مقابل آنها اطلاع کافی نداشته و احتیاج به کارهای آزمایشگاهی بیشتر می‌باشد.



شکل (۱ - ۲۰) - الف نمای پل گلدسویل در استرالیا

135. Bloukrans

136. Gladesville

137. Tacoma Narrows

مروری بر تکامل تاریخی سازه‌ها از جمله پل‌ها نشان می‌دهد که بوجود آمدن مصالح جدید رل اساسی در پیشرفت سیر تکاملی سازه‌ها داشته است . بدین منظور امروزه مهندسین "در کاربرد هر مصالح چون فولاد ، بتن آرمه و بتن پیش تبیده تخصص پیدا کرده و نتیجتاً" پیشرفت سریعتری را در امر مهندسی سازه‌ها بوجود می‌ورند . در این مورد البته لازم است که ارتباط بین این متخصصین همواره برقرار باشد .



شکل (۱-۲۰) ب - پل گلدسویل از نزدیک



## فصل دوم

### آشنائی با انواع پلها

#### ۲-۱ فرم‌های سازه‌ای پلها

اگرچه انواع مختلف پلها بیشمارند اما بطور کلی از نظر سیستم سازه‌ای باربر اولیه آنها را می‌توان به انواع اصلی زیر تقسیم کرد:

- ۱- پل‌های تخت که مقاومت داخلی آنها به صورت خمش، برش و پیچش می‌باشد.
- ۲- پل‌های خرپائی با مقاومت داخلی فشار یا کشش ساده در اعضا.
- ۳- پل‌های قوسی که مقاومت داخلی آنها عمدتاً فشار ساده است.
- ۴- پل‌های کابلی معلق که تحمل نیرو به صورت کشش ساده می‌باشد.
- ۵- ترکیبی از انواع بالا.

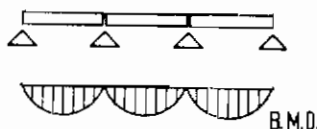
بطور کلی قسمتهای اصلی باربر یک پل

- ۱- سازه روبه‌ا که به آن قسمت از پل اطلاق می‌گردد که بار زنده اصلی را تحمل می‌کند و بنام عبورگاه یا تابله یا عرشه پل نیز معروف است.
- ۲- سازه زیرین<sup>۱</sup> که شامل پایه‌های پل می‌گردد و در پل‌های صفحه‌ای عمل انتقال بار واردہ را از عبورگاه به فونداسیونها انجام می‌دهند.
- ۳- فونداسیونها<sup>۲</sup> که معمولاً در تراز زیر سطح زمین قرار داشته و بار پایه‌هارا به زمین انتقال می‌دهند.

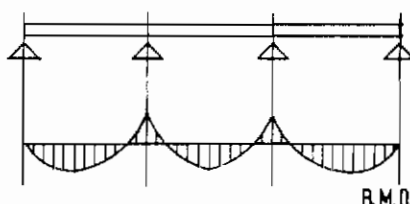
پل‌های تخت

عبورگاه این پلها معمولاً از انواع دال تخت، دال و تیرو یا تیر تنها ساخته می‌شود.

مقطع عبورگاه در طول دهانه ممکن است ثابت یا متغیر باشد. از نظر استاتیکی عبورگاه بصورت دهانه ساده یا یکسره بر روی چند دهانه و یا ممکن است در یک یا چند دهانه بصورت ساده کنسولی ساخته شود (شکل ۱-۲). این نوع پلها برای دهانه کوتاه تا متوسط بکار برده می‌شوند.



(الف) دهانه ساده.



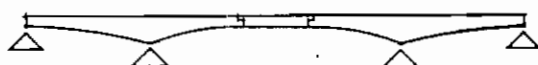
(ب) دهانه ممتد.



(ج) قاب صلب.



(د) کنسول مفصل دار.



(ه) کنسول دوبله و دهانه ساده.

شکل (۱-۲) - انواع پل‌های تخت.

عبورگاه با دهانه ساده بر روی چند تکیه‌گاه احتیاج به درز انبساط داشته که اگر بقدت ساخته شود گرانقیمت خواهد بود و در غیر اینصورت به مرور زمان در اثر عبور و مرور وسایل

نقشه برروی پل ناهمواریهای در سطح جاده در محل درز انساط ایجاد می‌گردد . برای عبورگاه مشخصی با استفاده از دهانه، یکسره بجای دهانه ساده می‌توان طول دهانه را افزایش داد . در دهانه‌های یکسره معمول است که طول دهانه‌های کاری حدوداً ۸۵٪ طول دهانه‌های میانی انتخاب گردد . این نوع سازه نسبت به سازه با دهانه ساده از ضریب اطمینان بالاتری در مقابل خرابی برخوردار است . سیستم عبورگاه با دهانه ممتد در مقابل عامل تغییرات نشست تکیه‌گاهی خیلی حساس می‌باشد و بدین منظور اثرات مربوطه با بدقت بررسی شوند .

### پلهای خریائی

این نوع پلهای را "معمول" از اعضای فولادی می‌سازند که تحمل فشار و کشش پیکسانی را داشته باشند . خریاها درجهت طولی پل به تعداد معمولاً دو عدد بکار گرفته می‌شوند که در واقع عمل تیز حمال را انجام می‌دهند و هر وارد به عبورگاه را به پایه‌ها انتقال می‌دهند . مقاومت داخلی اعضای خریا عمدها "فشار و یا کشش ساده" می‌باشد .

### پلهای قوسی

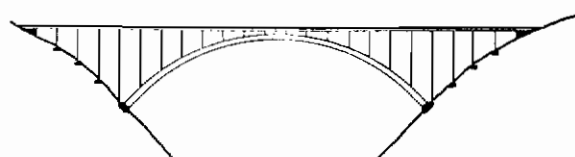
در صورت مناسب بودن شرایط فونداسیون محل احداث پل، برتری پل قوسی نسبت به سایر انواع پل از قدیم تشخیص داده شده است . با انتخاب مناسب پروفیل طولی یک قوس نیزی داخلی ایجاد شده در سازه در اثر اعمال بارهای خارجی از جمله بار مرده وزن سازه "عمدها" فشار ساده می‌باشد . با توجه به مقاومت فشاری بالای مصالح بتن، این مصالح برای ساخت پلهای قوسی آیده‌آل می‌باشد . در صورتیکه اثرات، بار نامتقارن، تغییر درجه حرارت انقباض و خزش بتن در نظر گرفته شود علاوه بر نیروی فشاری، نیروی کششی و لنگر خمشی نیز در سازه ایجاد می‌گردد . برای مقابله با این نیروها در صورت لزوم می‌توان از مصالح بتن آرمه استفاده کرد . چون نیروی اصلی داخلی در قوسها فشاری می‌باشد بنابراین مصرف میگردهای فولادی در این نوع سازه "معمول" کمتر از انواع دیگر سازه‌های بتن آرمه می‌باشد . عملکرد مفید یک قوس تحت اثربار اصلی ثقلی در صورتی میسر است که امکان دورشدن دو انتهای پل وجود نداشته باشد . این کار با انتخاب زمین مقاوم مناسب برای ساخت سازه و یا با مهار کردن دو پایه توسط عضو کششی علی می‌باشد . در سازه‌های قوسی نسبت طول افقی قوس به ارتفاع فائم آن از اهمیت خاصی برخوردار است بطوریکه این نسبت رفتار و نیز اقتصاد سازه را کنترل می‌نماید که برای هر محل باید بدقت بررسی شود . برای پوشش دهانه‌های کوتاه می‌توان از قوس با پروفیل طولی قسمتی از دایره، بیضی

و یا سهمی استفاده کرد. از نظر اقتصادی بهتر است که پروفیل طولی قوس مناسب با پروفیل بدست آمده از خط فشار سازه باشد در این صورت نیروی داخلی ایجاد شده در قوس فشار ساده خواهد بود، اما در عمل برای حفظ زیبائی پل معمولاً "شکل ظاهر قوس را منطبق بر پروفیل خط فشار قوس انتخاب نمی‌شود، که در این صورت در محلهای ایجاد کشش می‌توان از میله‌گرد استفاده کرد. قوسها بستگی به شرایط تکیه‌گاهی ممکن است بصورت قوس صلب یا قوس دو مفصله و یا سه مفصله ساخته شوند.

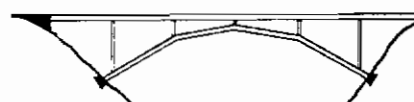
از نظر تراز قرارگیری عبورگاه نسبت به قوس عبورگاه این نوع پلها را می‌توان به سه قسم تقسیم کرد. نوع اول که بیشتر معمول است عبورگاه در بالا بوده که تمامی قوس در زیر عبورگاه واقع می‌شود. نوع دوم عبورگاه در میان و نوع سوم عبورگاه در زیر می‌باشد که در حالت اخیر قوس در قسمت بالای عبورگاه واقع است. قوسهای واقعی را می‌توان به انواع پنجگانه زیر تقسیم کرد (شکل ۲-۲).



(الف) جان پر.



(ب) جان باز.



(ج) چند ضلعی



(د) کش دار



(ه) قاب با پایه‌های مورب

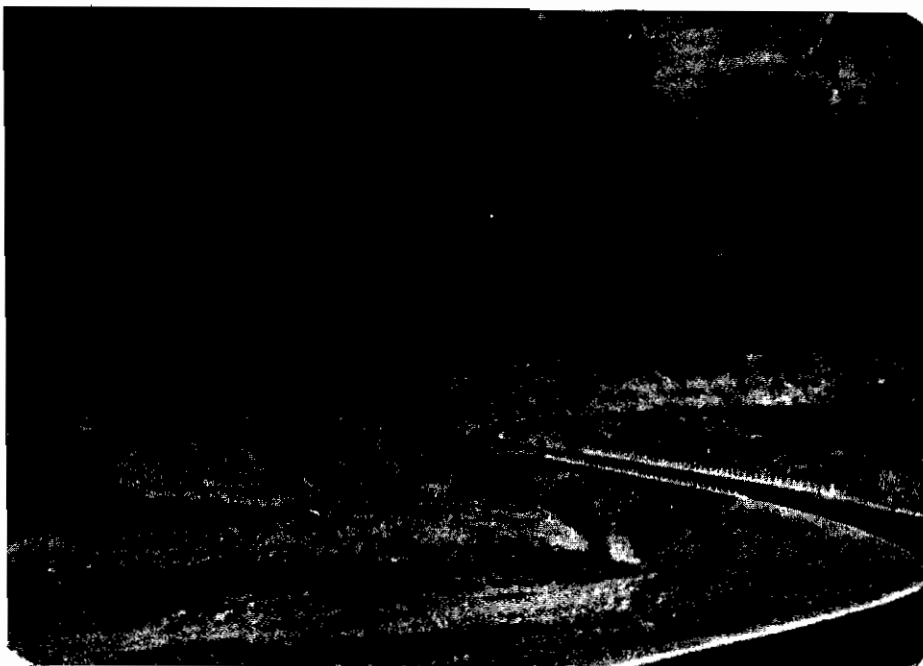
شکل (۲-۲) – انواع قوسها

## فصل دوم- آشنایی با انواع پلها

۴۳

- ۱- قوسهای با جان پر<sup>۴</sup>.
- ۲- قوسهای با جان باز<sup>۵</sup>.
- ۳- قوسهای کش دار<sup>۶</sup>.
- ۴- چند ضلعی ها<sup>۷</sup>.

۵- قاب با پایه مورب<sup>۸</sup> که سازه نسبت داده شده به قوس می باشد .  
 قوسهای با جان پر امروزه بیشتر برای دهانه های کوتاه بخصوص در اینهای فنی راهها مورد استفاده قرار می گیرد . در قدیم این نوع سازه زیاد بکار برده می شد . مزیت این نوع سازه آنست که با استفاده از مصالح بنائی نیز می توان آن را ساخت (شکل ۲-۲) .



شکل (۲ - ۳)- پل قوسی با جان پر در ایران

قوسهای با جان باز امروزه با استفاده از مصالح بتن آرمه ، بتن پیش تییده و یا فولاد

---

4 . Solid spandrel	7 . Funicular
5 . Open spandrel	8 . Strut-frame
6 . Bow string	

تا دهانه ۳۵۰ متر ساخته می‌شود. عبورگاه این نوع پل‌ها در قسمت بالا قرار داشته و از آن در ساخت پل‌های بر روی دره‌های عمیق می‌توان استفاده کرد (شکل ۲-۴).



شکل (۲-۴)-پل قوسی با جان باز در ایران

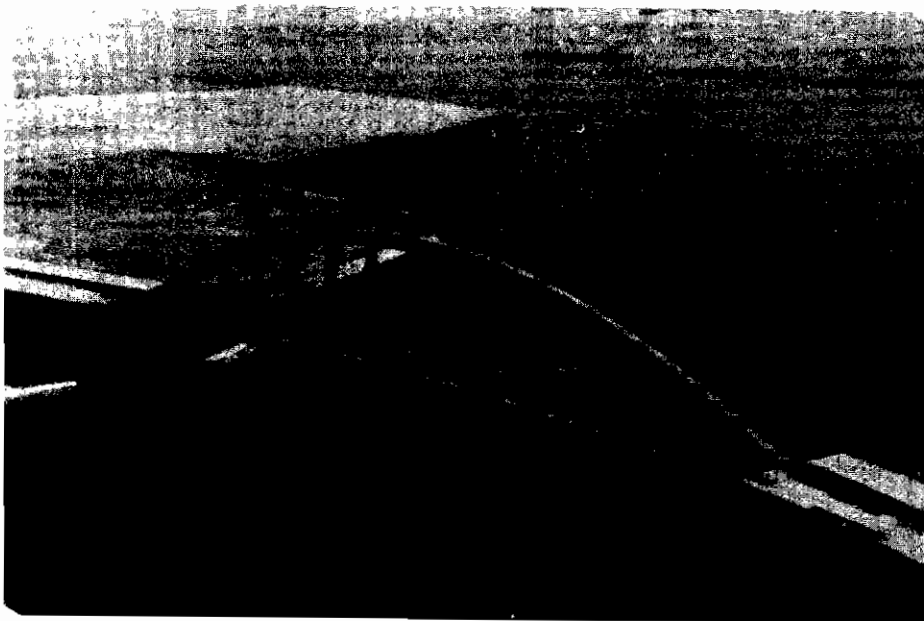
قوس‌های کشدار را در شرایطی که وضعیت فونداسیون‌ها مناسب نباشد و نیز حداکثر فضا در زیر پل مورد نیاز باشد می‌توان بکار برد. عبورگاه این نوع پل‌ها معمولاً "در قسمت پائین قوس اصلی قرار داشته که از دید عابرین می‌کاهد. دهانه معمول برای این نوع پل‌ها ۱۰۰ الی ۲۰۰ متر می‌باشد. ساخت این نوع سازه با استفاده از مصالح فولاد بیشتر رایج است (شکل ۲-۵).

قوس‌های متشكل از پروفیل طولی چند ضلعی کمتر مورد استفاده قرار می‌گیرند و این شاید بدليل شکل ظاهری آن باشد.

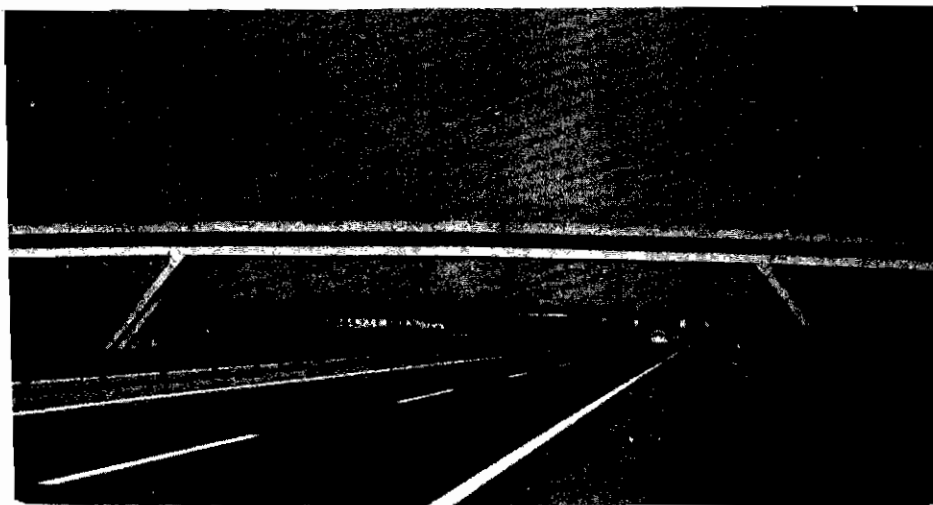
تابه‌ها با پایه‌های مایل امروزه در ساخت پل‌های بر روی جاده‌های پر رفت و آمد و اتوبانها خیلی معمول شده است. این یکی بدليل نداشتن پایه وسط و دیگری زیبائی ظاهری آن می‌باشد. چون پروفیل طولی این سازه قوس کامل نمی‌باشد بنابراین در عبورگاه نیروهای برشی و لنگر خمشی و لنگر پیچشی نیز ایجاد می‌گردد (شکل ۲-۶ و ۲-۷).

فصل دوم - آشنایی با انواع پلها

۲۵



شکل (۲ - ۵) - پل ایزومی اتسو<sup>۹</sup> در ژاپن



شکل (۲ - ۶) - پل قابی با پایه‌های مورب بر روی اتوبان



شکل (۲ - ۲)- پل قوسی در ایران

پلهای بتنی کابلی معلق

انواع مختلف این پلهای شامل .

۱ - پلهای معلق <sup>۱۰</sup>.

۲ - پلهای ترکهای <sup>۱۱</sup>.

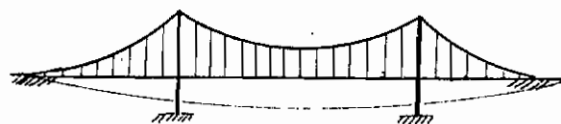
۳ - ترکیبی از پلهای معلق و ترکهای

پلهای معلق مدرن با کابلهای آویز ثانوی قائم یا مثلثی برای دهانه‌های بیش از ۳۰۰ متر اقتصادی هستند . اگر از عبورگاه فلزی که سبکتر از نوع بتنی می‌باشد استفاده شود مقرنون بصره‌تر خواهد بود . اخیراً " طرحی برای پلی بدنه" ۳۰۰۰ متر از نوع پل معلق داده شده است که قرار هست بر روی تنگه مسینا <sup>۱۲</sup> بین ایتالیا و سیسیل ساخته شود . حالت کلی این نوع سازه در شکل (۸-۲) ملاحظه می‌گردد .

10. Suspension

12. Messina

11. cable stayed



شکل (۲-۸)- پل معلق

پلهای ترکهای پا کابلی با عبورگاه بتُنی برای دهانه‌های ۱۰۰ الی ۷۰۰ متر اقتصادی بوده و با استفاده از عبورگاه فولادی می‌توان دامنه دهانه اقتصادی را افزایش داد. انواع مختلف این نوع سازه‌ها در شکل (۹-۲) نشان داده شده است. پل وادی کاف در لیبی و پل



(الف) تکی.



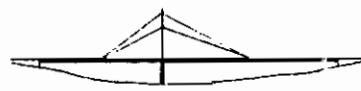
(ب) شعاعی.



(ج) متساوی.



(د) پنکمای.



(ه) ستاره‌ای.



(ئ) شعاعی نامتقارن

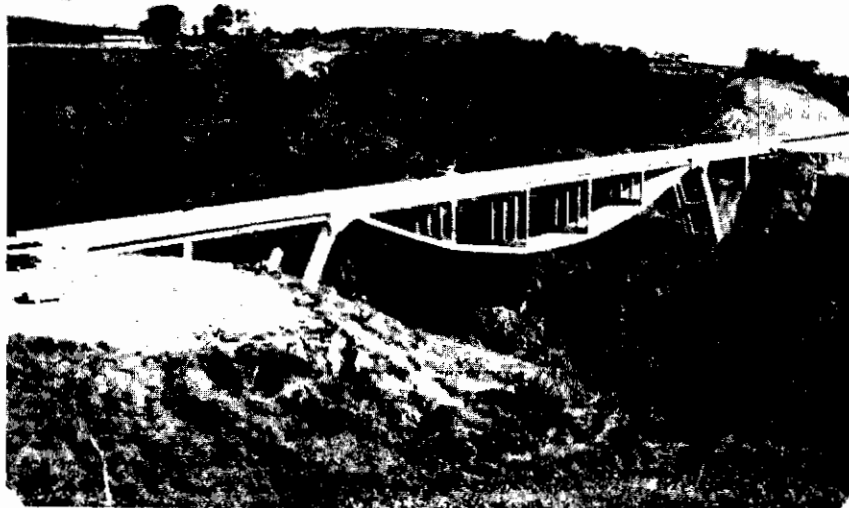
شکل (۲-۹)- انواع پلهای ترکهای

راین در آلمان غربی نمونه‌هایی از این نوع سازه بشمار می‌روند.

### انواع ترکیبی

این گونه پله را با استفاده از ترکیب دو و یا چند سیستم ذکر شده در بخش‌های قبلی می‌توان ساخت. نکته مهم در بکارگیری این پله‌ها توجه به طرح ظاهری آن می‌باشد. نمونهٔ موفقی از آن پل ریوکلرادو<sup>۱۳</sup> در کاستاریکا<sup>۱۴</sup> می‌باشد که در سال ۱۹۷۲ ساخته شد (شکل ۲-۱۰). این پل متشکل از ترکیب سیستم‌های ۲۰۱، ۲۰۴ می‌باشد. این پل از مصالح بتن پیش‌تندیده ساخته شده است که بظاهر همانند یک پل معلق با عبورگاه در بالا عمل می‌کند. پایه‌های مایل اصلی پل عمل قاب با پایه‌های مایل را انجام داده و بالاخره عبورگاه که بر روی تکیه‌گاه‌های قائم قراردارد به اندازه کافی صلبیت داشته و همانند یک پل صفحه‌ای مقاوم خواهد بود.

نوع دیگر ترکیبی از سیستم‌های ۲ و ۳ یعنی استفاده از خرپا در قوسها می‌باشد که "معمولًا" با استفاده از مصالح فولاد انجام می‌گیرد.



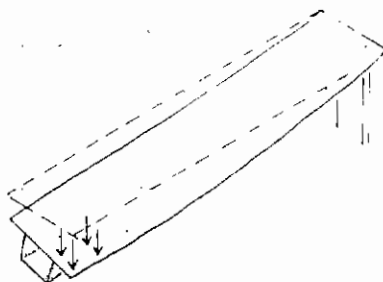
شکل (۲-۱۰)-پل ریوکلرادو

## ۲ - فرم‌های سازه‌ای عبورگاه‌های بتنی

### عبورگاه‌های تیری

رفتار یک عبورگاه را در صورتی می‌توان همانند یک تیر فرض کرد که نسبت طول دهانه عبورگاه به عرض آن زیاد باشد بطوری که بارهای خمشی و پیچشی وارد به عبورگاه ایجاد تغییر شکل در سطح مقطع‌ها را نکرده بلکه فقط باعث جابجایی آنها شود.

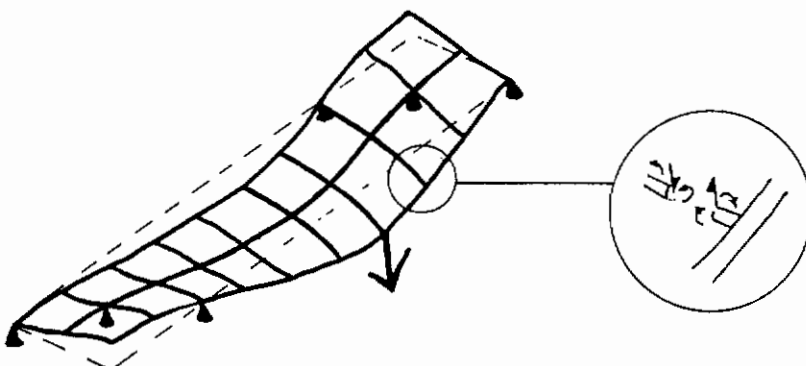
اکثر عبورگاه‌های پلهای پیاده‌زرو ساخته شده از مصالح فولاد، بتون آرمه و یا بتون پیش تنیده را می‌توان از نوع تیری در نظر گرفت. این عبورگاه‌ها معمولاً "بر روی دو و یا چند پله به صورت یکسره می‌باشند. به علاوه پلهای فلزی با مقطع قوطی را برای تعیین توزیع لنگرهای خمشی طولی و پیچشی و نیروهای برشی می‌توان تیری فرض کرد. در پل بریتانیا و نیز پلهای مدرن فلزی با مقطع قوطی که دارای دهانه زیاد می‌باشند بارهای اصلی وارد تغییر "تصویری" متفاوت را مقاطعه می‌کنند. متفاوت با مجموعه عبورگاه وارد شده و بتا برای تغییر شکل مقطع در اثر بارهای خارج از مرکز اثر نسبتاً ناچیزی را بر روی تنشهای اصلی خمشی دارند (شکل ۲-۱۱).



شکل (۲ - ۱۱) - خمش و پیچش عبورگاه تیری بدون تغییر شکل سطح مقطع

### عبورگاه‌های شبکه‌ای

عضو سازه‌ای اصلی یک عبورگاه شبکه‌ای عبارت است از یک شبکه متداخل از دو یا چند تیر طولی و تیرهای عرضی (دیا فراکم‌ها) که دال رویه بر روی آنها فرار می‌گیرد. بسیار وارد به عبورگاه توسط خمش و پیچش تیرهای عرضی بین تیرهای اصلی طولی پخش می‌گردد. با توجه به مشکلات اجرایی ساخت تیرهای عرضی این نوع عبورگاه کمتر معمول است و بجای آن عبورگاه دال یا دال و تیر بدون تیرها یا دیا فراکم‌های عرضی مورد استفاده قرار می‌گیرد. شکل (۲-۲) پخش بار در این نوع عبورگاه را نشان می‌دهد.



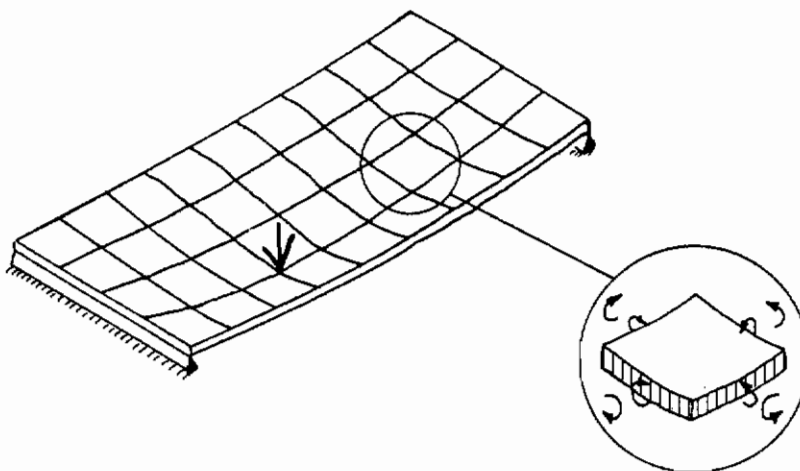
شکل (۲ - ۱۲) - پخش بار در عبورگاه شبکهای توسط خمش و پیچش اعضای تیزی

### عبورگاههای صفحهای یا دال

یک عبورگاه دال همانند صفحهای که از نظر سازه‌ای برای انتقال نیروهای داخلی در تمام جهات واقع در سطح صفحه‌متمد می‌باشد عمل می‌کند. وقتی که یک بار متوجه به قسمتی از دال وارد شود، دال تغییرشکل موضعی همانند یک بشقاب را در محل بار از خود نشان می‌دهد که باعث ایجاد نیروهای داخلی در آن محل و انتقال آنها به منواحی اطراف محل بار که مستقیماً تحت اثر بار وارد نمی‌باشند می‌شود. یک دال را "ایزوتروپیک" گویند اگر سختی‌های آن در تمام جهات صفحه، دال یکسان باشد. دال "ارتوتروپیک" در مقایسه به دالی گفته می‌شود که سختی‌های آن در دو جهت عمود برهم در صفحه، دال مساوی نباشند. عبورگاههای دال تخت بتی را برای دهانه‌های کمتر از ۱۵ متر مورداً استفاده قرار می‌دهند. اگر عبورگاه در جا ریخته شود در عمل آنرا بصورت یک دال ایزوتروپیک می‌توان فرض کرد، حتی اگر در صد فولادها در دو جهت طولی و عرضی دال یکسان نباشد.

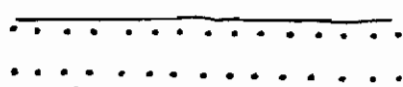
هناکامی که بکاربردن داریست برای ساخت عبورگاه میسر نباشد در این صورت عبورگاه بصورت مرکب مشکل از قطعات پیش ساخته بتی و یا فولادی همراه با بتون درجا ساخته می‌شود که در این صورت عبورگاه حاصله همانند یک دال ارتوتروپیک خواهد بود. در شکل (۲-۱۳) پخش بار در عبورگاه از نوع دال توسط خمش و پیچش در دو جهت نشان داده شده است.

برای دهانه‌های بزرگتر از ۱۵ متر، بار ایجاد شده در اثر وزن مصالح دال توپر بیش از حد خواهد بود که در این شرایط برای سینک کردن وزن دال حفره‌های طولی به شکل استوانه



شکل (۲ - ۱۳) - پخش بار در عبورگاه دال توسط خمش و پیچش در دو جهت

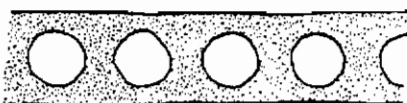
با به مقطع مربع مستطیل در نزدیکی محور عبورگاه ایجاد می‌گردد . اگر ارتفاع و عرض مقطع حفره‌ها کمتر از  $6\text{ cm}$  در صدارت فاعلی سازه باشد ، اثر آنها بر روی سختی دال ناچیز خواهد بود و عبورگاه عمل "عولا" همانند یک صفحه عمل خواهد کرد . عبورگاه‌های دال حفره‌ای "معمولان" با استفاده از قالب‌های دائمی و بتن درجا ، یا تیرهای قوطی شکل پیش ساخته پیش تهیید که برای پیوستگی درجهت عرضی پس تهیید می‌گردند ساخته می‌شوند . اگر اندازه حفره بیش از  $6\text{ cm}$  در صدارت فاعل عبورگاه باشد در اینصورت بطور کلی عبورگاه از نوع توالی با خواص متفاوتی خواهیم داشت (شکل ۲-۱۴) .



(الف) توبیر



(ب) مرک متشکل از تیرهای پیش ساخته  
و بتن درجا



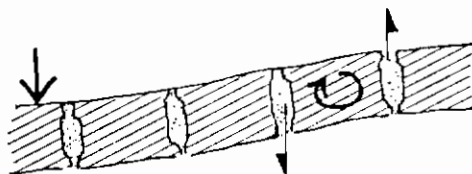
(ج) حفره‌ای



(د) حفره‌ای متشکل از تیرهای قوطی پیش ساخته پس تهیید بصورت عرضی .

شکل (۲ - ۱۴) - عبورگاه‌های دال

یک نوع از عبورگاه که بصورت کامل در تقسیم‌بندی انواع اصلی عبورگاه‌ها قرار نمی‌گیرد عبورگاه با اتصال برشی می‌باشد. این نوع عبورگاه با استفاده از تیرهای پیش ساخته، توپر یا توخالی که در امتداد طولانی توسط بتن درجا ریخته شده بهم متصل می‌گردند بصورت مرکب ساخته می‌شود. بدلیل اینکه عبورگاه در جهت عرضی پس تنیده نمی‌گردد بترا برای این لنگر خمشی عرضی پیوسته نمی‌باشد. کاربرد اصلی این نوع عبورگاه در موافقی است که پلی بر روی جاده و یا راه آهن پر ترافیکی مورد نیاز باشد که در اینصورت امکان جایگذاری تیرهای پیش ساخته در شب هنگام میسر بوده و سپس اتصالات را با استفاده از بتن درجا ریخته شده می‌توان کامل کرد بدون اینکه لطمه‌ای به عبور و مرور زیر پل وارد شود. اگرچه سختی خمشی عرضی این نوع عبورگاه‌ها ناچیز است ولی سختی خمشی و پیچشی تیرهای پیش ساخته و نیز انتقال نیروی برشی از طریق زایده‌های برشی امکان پخش بار را در عبورگاه تا حدی مقدور می‌سازد. تغییرشکل این نوع عبورگاه را می‌توان در شکل (۱۵-۲) ملاحظه کرد.



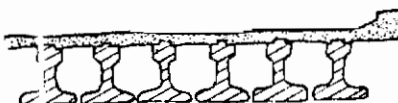
شکل (۱۵-۲)- تغییرشکل نسبی تیرهای طولی در عبورگاه با زایده برشی  
توسط پیچش تیرها مقاومت می‌شود.

### عبورگاه‌های دال و تیر

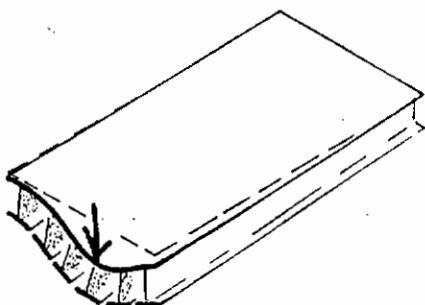
عبورگاه دال و تیر متشکل از تعدادی تیرهای اصلی طولی بوده که از قسمت بالاتوسط یک سازه دال یکسره آنها بهم متصل می‌شوند. در انتقال بار واردۀ از عبورگاه، در جهت طولی بدپایه‌ها دال به عنوان بال بالائی تیرها عمل می‌کند. از طرفی بار واردۀ درجهت عرضی دال را تغییرشکل داده و بدین ترتیب این بار در جهت عرضی بین تیرهای طولی پخش می‌گردد. گاهی اوقات پخش عرضی بار توسط چند دیافراگم یا تیر عرضی کمک می‌شود کمتر! این صورت عبورگاه همانند یک عبورگاه شبکه‌ای می‌باشد. اما استفاده از این دیافراگم‌ها خیلی کم مرسوم است هم بدلیل مشکلات اجرایی و نیز بدلیل اینکه در اثر سختی زیاد دیافراگم‌ها عمدۀ نیروها در آنها تجمع کرده و در نتیجه مسئله تمرکز تنفس را در آن محلها بوجود می‌آورند. عبورگاه دال و تیر برای یک دهانه خاص نسبت به عبورگاه دال سبکتر

می‌باشد و در نتیجه در دهانه‌های بزرگتر از ۱۵ متر می‌توان آنرا بکار برد که اکثراً به صورت پیش ساخته مورد استفاده قرار می‌گیرد. نرمی آن در جهت عرضی گاهی اوقات جزو مزایای این نوع عبورگاه بحساب می‌آید، به عنوان مثال، در پلهای اریب در اثر بار واردہ به عبورگاه تیرهای طولی به راحتی تغییر شکل خمی و برخی از خود نشان می‌دهند که در نتیجه تکیه‌گاه نزدیک به محل اعمال بار تحت فشار بیش از حد نخواهد بود و نیز تکیه‌گاه دورتر از محل اعمال بار از جا بلند نمی‌شود.

عبورگاه‌های دال و تیر را می‌توان به دو گروه اصلی تقسیم کرد: در گروه اول تیرهای طولی در تماس نزدیک یا تماس کامل با هم می‌باشند و در گروه دوم تیرهای طولی عمدتاً از هم فاصله دارند. انواع مرسوم عبورگاه‌های گروه اول متشکل از تیرهای طولی پیش‌تنیده، پیش ساخته از نوع  $\text{I}$  بر عکس می‌باشند که توسط دال بتنی به ضخامت حدود  $200 \text{ mm}$  بهم پیوسته می‌گردند. در اثر اعمال بار به عبورگاه، دال بصورت یکنواختی تغییر شکل می‌دهد بطوری که برای پخش بار رفتار آن را می‌توان همانند رفتار یک دال ارتوتروپیک همراه با سخت کنده‌های طولی در نظر گرفت (شکل ۲-۱۶).

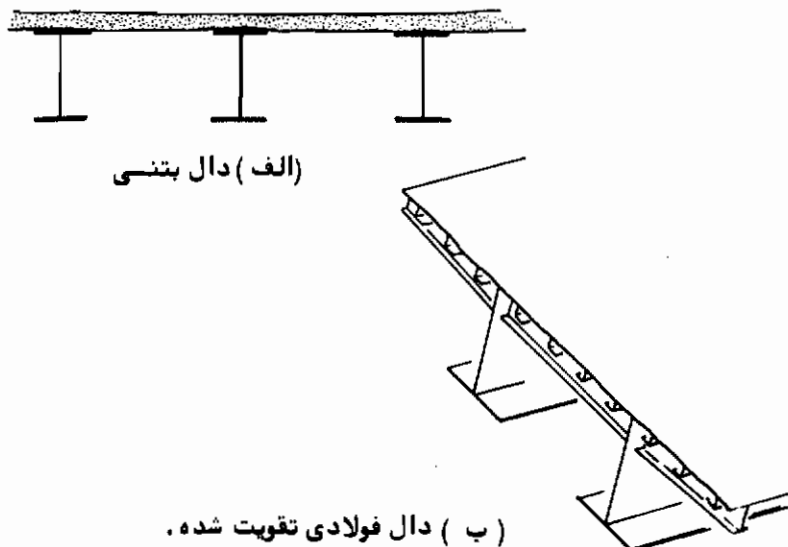


(الف) عبورگاه دال و تیر گروه تیرهای در تماس



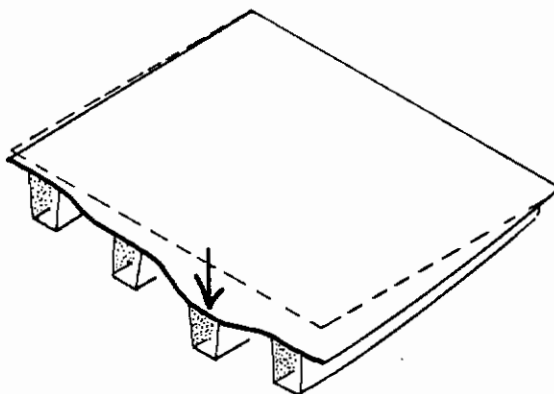
(ب) تغییر شکل یکنواخت این گروه از عبورگاه.

در عبورگاههای متشکل از تیرهای طولی فاصله‌دار تیرهای طولی معمولاً "بفاصله عرضی مرکز نا مرکز حدود ۲m قرار داده می‌شوند. عبورگاه با استفاده از تیرهای طولی بتنی بهیش ساخته پیش تئیده و یا تیرهای طولی فولادی همراه با دال روی آنها ساخته می‌شود. دال روی تیرهای طولی ممکن است بصورت پیش ساخته بکار برده شود که حداقل بتن در جابرای اتصالات را لازم داشته باشد و یا تماماً "از بتن درجا ریخته شده استفاده شود. گاهی اوقات دال روی تیرهای فولادی از صفحات تقویت شده فولادی به ضخامت ۱۲ mm ساخته می‌شود (شکل ۱۷-۲). هرگاه بار متوجه کری به دال این نوع عبورگاهها بین تیرهای طولی وارد شود تغییرشکل عرضی دال بین تیرها بصورت غیر پکتواخت متشکل از چند موج خواهد بود. این وضعیت مخصوصاً "در عبورگاههایی که از تیرهای طولی با سختی بیچشی زیاد تشکیل شده، مثل تیرهای قوطی که تیرهای طولی به مقدار کم دوران داشته و در نتیجه دال روی آنها بصورت غیر پکتواخت چند موجی تغییر شکل عرضی پیدا می‌کند وجود دارد (شکل ۱۸-۲).



شکل (۲ - ۱۷) - عبورگاه با تیرهای طولی فاصله‌دار.

فرم حدی عبورگاههای دال و تیرهای فاصله‌دار عبارت است از عبورگاهی که دارای دو تیر اصلی طولی بفاصله عرضی مرکز تا مرکز بیش از ۱۲ متر باشد. عبورگاه دال و تیر با عرض بیش از ۷ متر متشکل از یک تیر طولی توپر بهمندرت ساخته می‌شود، اما عبورگاه دال و تیر بتنی با دو تیر طولی و یا عبورگاههای با یک تیر طولی توخالی معمول است. هرچند که



شکل (۲ - ۱۸) - تغییر شکل غیر یکنواخت چند موجی عبورگاه متشکل از تیرهای طولی فاصله دار.

عملکرد خمی و پیچشی هر یک از تیرهای طولی توخالی باید بررسی گردد اما پخش بار بین تیرهای طولی بطور کلی همانند عبورگاههای دال و تیر می باشد.

#### عبورگاههای حفره‌ای (جعبه‌ای)

قطع عرضی یک عبورگاه توخالی یا قوطی متشکل از تعدادی دالهای نازک و جانهای نازک یا ضخیم بوده که تعدادی حفره یا خانه را محصور می‌کنند. این فرم سازه‌ای پیچیده برای دهانه‌های بیش از ۳۵ متر بیشتر از عبورگاههای دال و تیر مورد استفاده قرار می‌گیرد زیرا علاوه بر حجم کم مصالح مصرفی، وزن کم و سختی خمشی طولی زیاد، این عبورگاههای دارای سختی پیچشی بالائی بوده که به آنها پایداری و خواص پخش بار بهتری را می‌دهد. در عین حال بعضی از طرح‌ان استفاده زیاد از این نوع عبورگاهها را بدليل عمومیت داشتن آنها می‌دانند. در سالهای اخیر استفاده از عبورگاههای قوطی برای دهانه‌های زیاد بسیار معمول شده است بهخصوص که این نوع عبورگاه را می‌توان با روش طهای آزاد و بدون استفاده از داریست معمولی اجرا کرد. این نوع روش اجرا برای عبورگاههای دال و تیر زیاد مرسوم نبوده زیرا خرپاهای عظیم موقت جهت تحمل عبورگاه نیمه تمام لازم است. برای شرح رفتار عبورگاههای توخالی بهتر است آنها را بدون نوع دالهای حفره‌ای و تیرهای حمال قوطی تقسیم کنیم.

دالهای حفره‌ای عبورگاههای کم عمقی با تعداد زیادی حفره یا خانه می‌باشند. با توجه به شکل مقطع عرضی در ساخت آنها از مصالح بتن درجا یا تیرهای قوطی پیش ساخته

متصل بهم استفاده می‌شود.

برای دهانه‌های تا  $36\text{ m}$ ، قسمت خالی عبورگاه بتنتی از حفره‌های استوانه‌شکل بزرگی که قطر آنها از  $6\text{ m}$  درصد عمق سازه‌ای عبورگاه تجاوز می‌کند تشکیل می‌شود. اگر دهانه‌بیش از  $36\text{ m}$  باشد این نوع عبورگاه وزن زیادی را خواهد داشت که در این صورت شکل حفره‌های استوانه‌ای را می‌توان به مکعب مستطیل تبدیل کرد و در نتیجه عبورگاه "عمدتاً" مشکل از دو دال یکی در بالابهضخامت  $200\text{ mm}$  و دیگری در پائین بهضخامت  $150\text{ mm}$  و نیز تعدادی دال قائم که این دو دال را بهم متصل می‌سازند می‌باشد. بار واردہ بهقسمتی از عبورگاه با توجه به سختی پیچشی و سختی خمشی عرضی زیاد عبورگاه در سطح زیادی پخش می‌شود. پخش بار البته بخوبی یک دال تخت توپر نمی‌باشد چه در دال حفره‌ای، دال قسمت بالا و پائین در انتقال نیروی برشی بین جانها بطور تقریباً "مستقل عمل می‌نمایند و مقطع عرضی همانند یک خرپای ویریندل تغییرشکل پیدا می‌کند. این تغییرشکل را می‌توان با اجرای دیافراگم‌های عرضی تا حدی از بین برد اما همانگونه که قبل از توضیح داده شد استفاده از دیافراگم‌های عرضی معمول نیست مگر در محل تکیه‌گاهها (شکل ۱۹-۲).



شکل (۲-۱۹) - تغییرشکل حفره‌ها در عبورگاههای چند خانه‌ای (چند حفره‌ای)

عبورگاههای از نوع قوطی در سطوح مقطع عرضی دارای یک و یا چند خانه (یا حفره) بزرگ می‌باشند، خانه کناری مثلث شکل بوده بطوری که ضلع خارجی آن مورب است. معمولاً عرض دال بالائی بزرگتر از عرض قوطی بوده که در دو طرف عبورگاه به صورت کنسولهای عرضی ظاهر می‌شوند. پیچش بیش از حد واردہ به عبورگاه در اثر اعمال بارهای خارج از مرکز توسط سختی پیچشی زیاد مقطع تحمل می‌شود. عبورگاههای با دهانه کوتاه تا متوسط پلهای بتنتی با مقطع قوطی با استفاده از مصالح بتون بصورت درجا ریخته شده یا با استفاده از قطعات پیش ساخته به روش قطعات متواالی که بر روی داربست ثابت بهم وصل شده و سپس کل عبورگاه پس تنیده گشته ساخته می‌شوند. دهانه‌های بزرگ پلهای با مقطع قوطی معمولاً با روش قطعات متواالی طرهای آزاد با استفاده از بتون درجا و یا بتون پیش تنیده که در آخر پس تنیده می‌گردد اجرا می‌شوند. عبورگاههای با تیرهای حمال قوطی فولادی را نیز می‌توان با

استفاده از روش قطعات متواالی طرهای آزاد نصب کرد و یا اینکه آنها را در طول زیادتر گارگاه آمده کرده و سپس در محل نصب کرد . پس از نصب تیرهای طولی دال فولادی و یا بتنی بر روی تیرها اجرا می شود .

## ۲ - ۳ روشهای ساخت و اجرای عبورگاه پل

باید به این نکته توجه داشت که روش ساخت و اجرای پل در انتخاب نوع پل برای محل خاص موئثر می باشد . بنابراین در این بخش روشهای اصلی ساخت و اجرای پلهای بتنی که بقرار زیر می باشند شرح داده می شوند .

- بطور کلی سه روش اصلی برای ساخت پلهای بتنی وجود دارد که عبارتند از :
- ۱ - ریختن بتن در محل با استفاده از قالب .
  - ۲ - روش استفاده از قطعات پیش ساخته و نصب آنها در محل .
  - ۳ - ترکیبی از روش ۱ و ۲ .

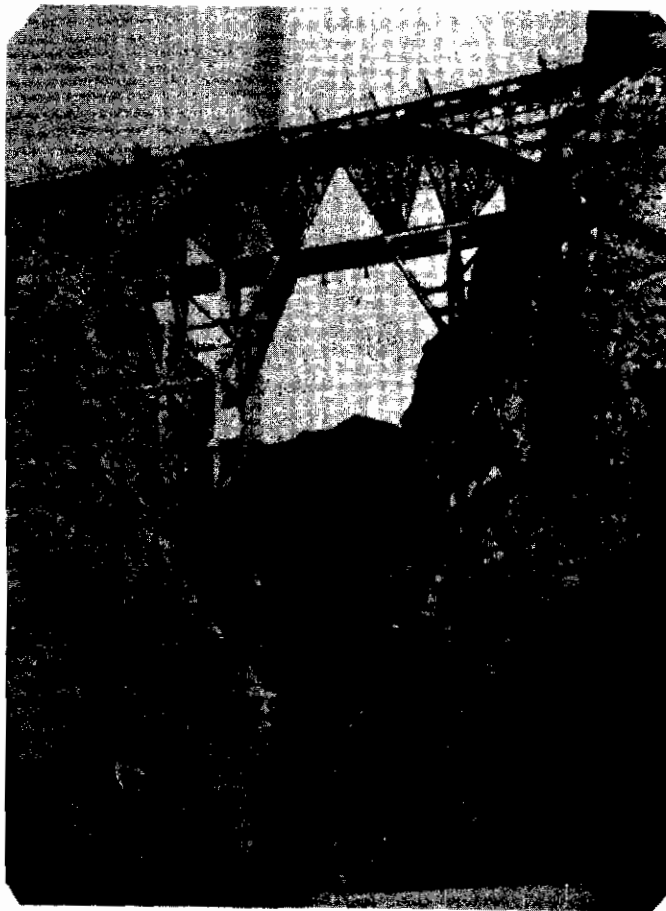
### روشهای اجرای پلهای بتنی عبارتند از ،

- ۱ - با استفاده از داربست ثابتی که مستقیماً بر روی زمین نصب گردد .
- ۲ - بکار بردن داربست متحرک .
- ۳ - روش طرهای آزاد .
- ۴ - روش هل دادن .
- ۵ - روش استفاده از جراحتقال متحرک .

### داربست ثابت

این روش با ریختن بتن در قالبهایی که توسط داربست ثابت نگهداری می شوندانجام گرفته و احتمالاً قدیمی ترین روش ساخت سازه های بتنی می باشد . از نظر اقتصادی هرچند که دستمزد کارگر و امکانات لازم برای اجرای این روش از یک کشور تا کشور دیگر متفاوت است ولی رویهم رفته برای دهانه های کوتاه تا متوسط (تا دهانه ۳۰۰ متر و ارتفاع حداقل ۱۵ متر) مقرر بصره بنظر می رسد (شکل ۲۵-۲) . در قدیم ساخت قالبها با استفاده از ارخته های چوبی صورت می گرفت اما امروزه بجای چوب از صفحات فلزی استاندارد استفاده می شود . مسئله مهمی که در حین اجرای بتن ریزی باید به آن توجه شود ، در نظر گرفتن تکمیله گاه مناسب برای قالبها ، جهت تحمل بارهای مرده ثقلی و نیز بارهای افقی دیگر ، می باشد . این تکمیله گاهها باید ظوری انتخاب شوند که از نشت نامتقارن آنها و نیز کمانش جانبی و یا

قائم قالبها جلوگیری شود .



شکل (۲۰) - اجرای پل ورسک توسط داربست ثابت در ایران .

بعضی از مزایای این روش عبارتند از :

- ۱ - برپا کردن و جمع کردن داربست پس از پایان کار را می‌توان ، با نظارت ، توسط افراد غیر فنی انجام داد .
- ۲ - این نوع داربست جهت ساخت عبورگاه با اشکال پیچیده قابل اجرا می‌باشد .
- ۳ - قطعات بکار برده شده استاندارد بوده و می‌توان از آنها بار دیگر در سازه‌های بعدی استفاده کرد .

## فصل دوم- آشنائی با انواع پلها

۴۹

۴- قطعات با اندازه‌های محدودی که دارند به آسانی قابل حمل و نقل می‌باشد.

معایب این سیستم عبارتند از:

۱- بر پاکردن سیستم کند انجام می‌شود و از این جهت امکان تأخیر در اجرا وجود دارد.

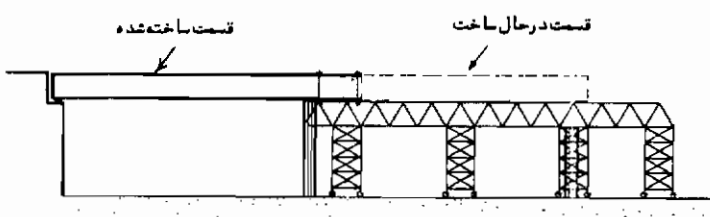
۲- فونداسیون و یا محل تکیه‌گاه سیستم باید از مقاومت فشاری خوبی برخوردار باشد و بنابراین در هر محل نمی‌توان به آسانی از آن استفاده کرد از جمله در رودخانه‌ها، بخصوص اگر احتمال سیلاب وجود داشته باشد.

۳- در جائی که پل مورد نظر بر روی جاده‌ای ساخته می‌شود بکاربردن این سیستم باعث اختلال در وضع ترافیک مسیر زیرین خواهد شد و همواره احتمال برخورد و سایپا نقلیه با پایه‌های داریست وجود دارد. در صورت انحراف ترافیک نیز این روش ممکن است در همه‌جا نقرن به صرفه نباشد.

این روش را بیشتر در موقع استفاده از بتن درجا ریخته شده بکار می‌برند، اما برای نصب قطعات پیش ساخته نیز می‌توان از این روش استفاده کرد.

### داربست متحرک

بعضی از معایبی را که در روش قبلی وجود دارد می‌توان با استفاده از روش داربست متحرک برطرف کرد (شکل ۲۱-۲). برای اجرای این روش زمین مقاوم با سطح نسبتاً همواره لازم است.



شکل (۲-۲۱). مراحل داربست متحرک

اگر وضعیت سطح زمین برای داربست مناسب نباشد یا عبورگاه از سطح زمین ارتفاع زیادی داشته باشد در اینصورت، با بکاربردن تیر مرکبی، که به پایه‌های ساخته شده پل و یا قسمتی از عبورگاه که ساخته شده است متصل می‌گردد، می‌توان از این روش استفاده کرد.

این تیر مرکب را می‌توان در تراز زیر عبورگاه یا بالای عبورگاه و یا در هردو تراز بکار برد . تیر حمال نشان داده شده در شکل (۲۲-۲) برای ساخت پل بتنی ممتدی که هردهانه آن ۴۵ متر می‌باشد بکار برد شده است . تیر مرکب بکار برد شده مشتمل از چهار خریسای فولادی بوده که دو خریسای میانی ضعیفتر از دو خریسای کناری می‌باشند . طول کلی این تیر مرکب حدود ۹۳ متر است و وزنی برای ۱۹۰ تن را دارا می‌باشد . دو خریسای کناری به پایه‌های ساخته شده بطور جابجای بصورت موقت اتصال دارد . همانگونه که ملاحظه می‌شود این تیر مرکب در زیر عبورگاه قرار دارد .



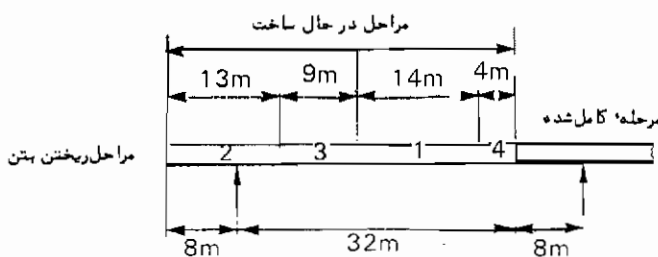
شکل (۲-۲)-داربست متحرک

روش تیر حمال برای دهانه‌های ۳۰ الی ۶۰ متر مقرر بصره است .  
مزایای این روش عبارتند از :

- ۱ - ساخت عبورگاه بدون توجه به وضعیت زمین و موانع موجود در آن می‌تواند انجام گیرد .
- ۲ - سرعت عمل در ساخت نسبتاً بالا می‌باشد .
- ۳ - با استفاده از پوشش مناسب برای تیرهای حمال ، عبورگاه را می‌توان با دقت تمام ساخت .

معایب این روش عبارتند از:

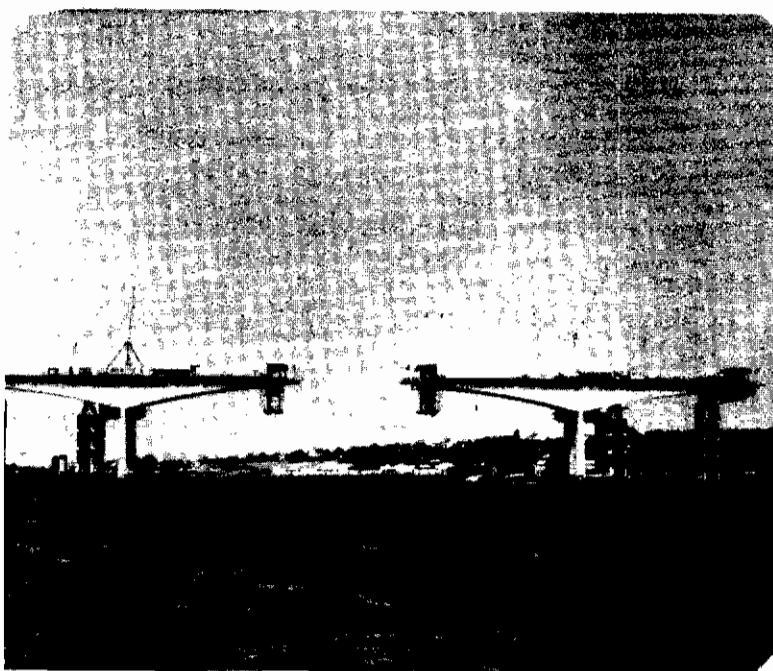
- ۱ - مخارج تهیه و ساخت تیرهای حمال نسبتاً بالا می‌باشد بخصوص اینکه تیر حمال ساخته شده برای پل خاصی را ممکن است نتوان برای پل دیگر استفاده کرد.
- ۲ - در صورت وجود انحنا در عبورگاه از این روش اجرا سختی می‌توان استفاده کرد.
- ۳ - مسئله تغییرشکل تیرهای حمال در اثر بارهای وارد به آن و نیز تأثیر تغییرات درجه حرارت و غیره را باید با دقت بررسی کرد. مراحل اجرائی باید طوری انتخاب گردند که به بتن نازه ریخته شده صدمه‌ای وارد نگردد. یک نمونه عملی آن در شکل (۲۳-۲) نشان داده شده است.



شکل (۲-۲) - مراحل اجرائی با استفاده از داربست متحرک

### روش طرمای آزاد جهت بتن درجا

این روش برای اولین بار در سال ۱۹۵۰ جهت ساخت پل بتن آرمه با دهانه زیاد در آلمان غربی استفاده شد. بطور کلی طرز اجرا همانند شکل (۲۴-۲) می‌باشد. ساخت عبورگاه پس از تکمیل پایه‌های پل شروع می‌شود. ابتدا قسمتی از عبورگاه متصل به پایه بطول مساوی و بصورت کنسولی همزمان در طرفین پایه ساخته می‌شود بطوری که ممان حاصل از هر کنسول توسط کنسول طرف مقابل خنثی شده و در نتیجه به پایه ممانی وارد نگردد. این مرحله تا کامل شدن نصف دهانه پل ادامه می‌یابد. طول قطعاتی را که در هر بار قالبندی شده و بتن ریزی می‌گردد بستگی به عوامل اقتصادی از جمله مقدار بتن آمده برای هر بار ریختن و امکانات حمل و نقل دارد. قطعات بطول ۳ الی ۵ متر بیشتر معمول می‌باشد. پس از سخت شدن بتن هر قطعه، آن قطعه به قطعات قبلی تا پایه توسط کابلهای طوری پس -



شکل (۲ - ۲۴) - روش طرمای آزاد

تنیده می‌گردد که تحمل لنگر منفی ایجاد شده از کنسول یک طرف پایه را داشته باشد. این کار برای پایه مجاور بطور همزمان و یا پس از پایان مرحله ذکر شده تکرار گشته تا اینکه دهانه پل کامل گردد. قبل از اینکه آخرین قطعه جهت اتصال دو کنسول ریخته شود، دو قسمت توسط روشهای خاصی بهم نقل می‌گردند بطوریکه صدمه‌ای به بتن سخت شده وارد نگردد. پس از تکمیل پک دهانه و سخت شدن بتن، کابل‌های جهت تحمل لنگر ثبت دهانه در عبورگاه جا داده شده و عبورگاه طی مراحلی پس تنیده می‌گردد. بدین ترتیب عملیات از یک دهانه به دهانه دیگر ادامه یافته و سازه یکسره می‌گردد. مزیت عمدی این روش با استفاده از بتن درجا یکرده بودن میلگردها در محل اتصال قطعات می‌باشد. این روش با موفقیت برای ساخت پلهای تا دهانه ۴۵ متر بکار برده شده است، بطور مثال پل هامانا-چاسی<sup>۱۵</sup> در زاین را می‌توان نام برد.

در مراحل اولیه ساخت جهت پایداری کنسول عبورگاه ایجاد شده لازم است که

گیرداری کافی با پایه ایجاد گردد . اگر ارتفاع پایه مناسب باشد برای این منظور می توان پایه و عبورگاه را بصورت یکپارچه ساخت . در غیر اینصورت عبورگاه کنسولی را باید به پایه های موقت دیگر متصل کرد . راه حل دیگر برای حفظ تعادل کنسول با استفاده از تیز حمالی است که به پایه ها نصب می گردد و در آن تکیه گاه های موقت برای عبورگاه تعییه می شود . ضمناً از تیز حمال برای حمل و نقل وسایل و عبور نیز می توان استفاده کرد . پلهای قوسی و یا پلهای با پایه های مورب را نیز می توان با استفاده از روش طرمه ای آزاد ساخت . در ساخت این نوع پله از کابل های کششی به عنوان تکیه گاه های موقت استفاده می شود . شکل (۲۵-۲) ساخت پل بتُنی قوسی بلوکرانز  $^{16}$  در آفریقای جنوبی را نشان می دهد .



شکل (۲-۲۵)- اجرای روش طرمه ای آزاد

روش طرمه ای آزاد برای پلهای با قطعات پیش ساخته

این روش اولین بار در فرانسه بکار گرفته شد . نحوه اجرا شبیه روش قبلی بوده با

تفاوت‌های اصلی زیر: عبورگاه به قطعاتی که امکان ساخت و حمل و نقل آن مقدور باشد تقسیم شده و هر قطعه در کارگاه بصورت پیش ساخته تهیه می‌شود. قطعات سهی به محل پل حمل شده و در آنجا نصب می‌گردند. روش نصب باید از قطعه متصل به پایه و بصورت متقاضی نسبت به آن شروع شده و نصف دهانه بصورت کنسولی ساخته شود. برای اتصال قطعات به یکدیگر از یکی از دو روش زیر استفاده می‌شود:

۱ - اتصال توسط میلگردهای از پیش کار گذاشته شده در قطعات و بتین درجا برقرار می‌شود.

۲ - بدون استفاده از میلگرد اتصال، دو قطعه را توسط چسب مخصوص می‌توان بهم متصل کرد. معمول است که مقاومت چسب در محاسبه مقاومت نهایی عبورگاه بحساب نیاید. وظایفی که ماده چسب انجام می‌دهد عبارتند از:

الف - با استفاده از چسب در وله اول دو سطح صیقلی بوجود آمده که کار هم قرار دادن دوقطعه را ساده‌تر می‌نماید.

ب - ناهمواریهای ناخواسته در مقطع اتصال هر قطعه را که در اثر انقباض و یا خش بتن یا عوامل دیگر ایجاد شده پر می‌نماید.

ج - اتصال بوجود آمده صلب و غیر قابل نفوذ می‌باشد.  
پس از اینکه دهانه کامل شد باید از روش پس تنیدگی استفاده شود تا عبورگاه پیکره قابل استفاده باشد. مزیت عمده این روش در سرعت عمل ساخت عبورگاه می‌باشد. در هردو روش طریق آزاد برای بتن درجا و یا بتن پیش ساخته، تغییر شکل حاصل از عواملی چون بارگذاری، انقباض و خش بتن و نیز تغییرات درجه حرارت باید بدقت بررسی شوند تا از نظر سازه‌ای و یا شکل ظاهر مسئله‌ای را بوجود نهادهند.

### روش هل دادن

این روش که ابتدا توسط لئونارد<sup>۱۷</sup> و بار<sup>۱۸</sup> ابداع گردید عبارت است از ساخت عبورگاه هل بصورت مرحله‌ای و هل دادن تدریجی آن بر روی پایه‌ها. قطعات ۱۵ الی ۳۰ متری در محلی در تراز بالای پایه‌های هل ساخته شده و پس از اینکه مقاومت کافی کسب کردند برای مرحله حرکت پیش تنیده می‌گردند. وقتی قطعه‌ای به‌این ترتیب آمده گشت این قطعه بر روی پایه‌های هل به‌جلو رانده شده و ساخت قطعه بعدی آغاز می‌گردد. اگر دهانه بزرگ‌تر از قطعه ساخته شده باشد در اینصورت می‌توان از پایه‌های مؤقت استفاده کرد. در طرح قطعات

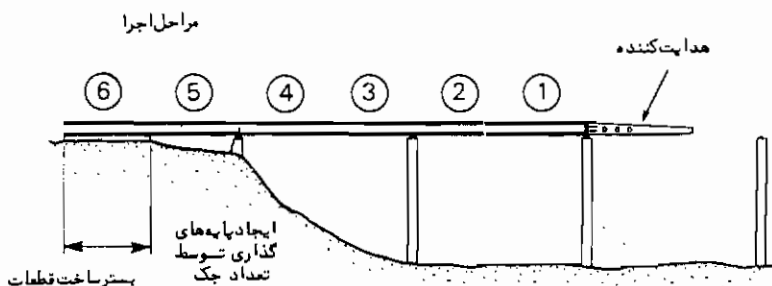
باید به این نکته مهم توجه شود که این قطعات تحت تنشی‌های معکوس حاصل از وزن خود قرار می‌گیرند چون با حرکت، هر قطعه از حالت کنسولی شروع شده و سپس بر روی دو تکیه‌گاه قرار گرفته و برای دهانه بعدی این مرحله تکرار می‌گردد. استفاده از این روش در صورتی مقدور است که عبورگاه اینجا نداشته باشد.

بدلیل معکوس شدن تنها در طی حرکت عبورگاه، عبورگاه‌های با مقطع متقارن مثل قوطی برای اجرا با این روش مناسب‌ترند. برای اینکه قطعات تحمل بارهای واردۀ افقی حاصل از حرکت را داشته باشند مقطع "معمولًا" بصورت محوری نیز پس تنیده می‌گردد.

شکل (۲۶-۲) اجرای پل بتتنی با روش هل دادن را نشان می‌دهد. اولین قطعه در قسمت پشت پایه‌های کاری برروی بستری هموار و مقاوم برروی قالب بتتن ریزی می‌شود. کنترل دقیق کف عبورگاه در این روش مهم است. برای اطمینان از حرکت پکواخت عبورگاه در اثر هل دادن کف آن باید صاف و هموار باشد. در صورت زیاد بودن دهانه جهت کاهش ممان ایجاد شده در کنسول بوجود آمده در اثر هل دادن، می‌توان قطعهٔ فولادی با طول مناسب به‌ابتدای عبورگاه متصل کرد. با اتصال کابل‌هایی به‌این قطعهٔ فولادی می‌توان بجای هل دادن آنرا کشید. برای ایجاد حرکت پکواخت عبورگاه برروی پایه‌ها از سیستم تکیه‌گاهی لغزان استفاده می‌شود بطوری که در جهت افقی و عمود بر دهانه عبورگاه نتواند حرکت کند. اگر شیب طولی عبورگاه بیش از ۲٪ باشد باید از سیستم ترمز نیز استفاده گردد بطوری که از حرکت شدید ناخواسته عبورگاه بتوان جلوگیری کرد.

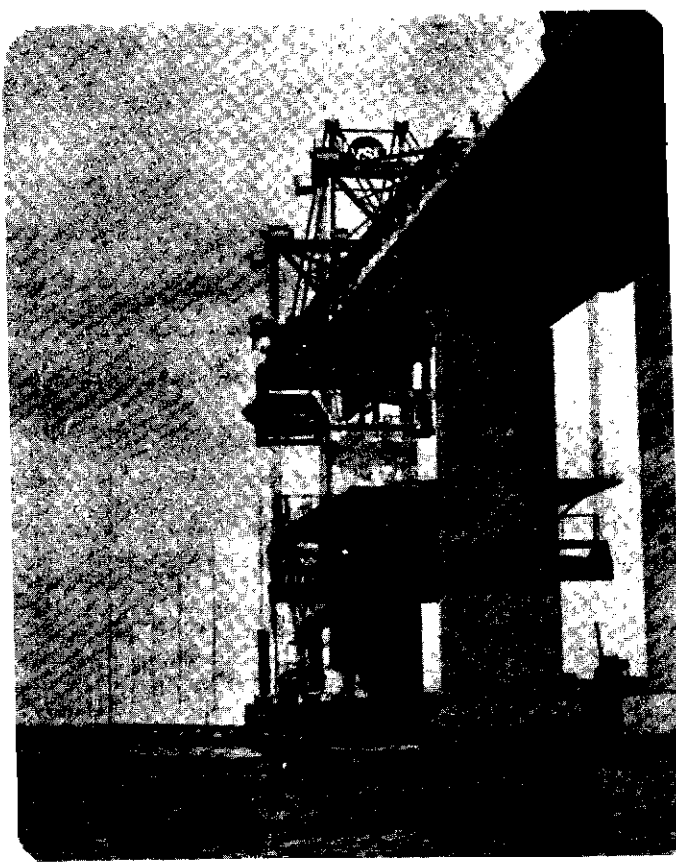
### روش بلند کردن و جابجا کردن

در این روش از جراثقالهای پایه بلند استفاده می‌شود که با آن قطعات را از سطح زمین تا ارتفاع عبورگاه بلند کرده و در محل خواسته شده قرار می‌دهند. فرم دیگری از روش



شکل (۲-۲۶)-روش هل دادن

بلند کردن در شکل (۲۷-۲) نشان داده شده که هر قطعه مربوط به یک دهانه می‌باشد و سیستم بالابر بر روی پایه نصب گردیده است. پل نشان داده شده پل سون مایل<sup>۹</sup> در فلوریدای آمریکا می‌باشد که در سال ۱۹۸۱ تکمیل گردید.



شکل (۲۷-۲)- روش بلند کردن اجرای پل

#### ۴-۴ انتخاب نوع پل

عوامل اصلی مؤثر در انتخاب نوع پل عبارتند از: محل پل، کاربرد آن، تعداد و مقدار دهانه‌ها، نوع مصالح مصرفی، نوع فونداسیون و تکیه‌گاهها، نوع عبورگاه، اقتصاد پل، زیبائی آن، امکانات اجرایی و نحوه ساخت وغیره....

## بررسی و انتخاب محل پل

"معمولاً" با توجه به طرح کلی راه شوسه، راه قطار و یا مسیر عبور آب محل تقریبی احداث پل مورد نظر مشخص می‌گردد که در این صورت باید بهترین محل را در محدوده طرح کلی راه انتخاب کرد، البته حالت عکس این هم تا کنون انجام شده است. بدین ترتیب که با تعیین محل مناسبی برای پل، طرح مسیر راه مربوطه نیز برآن مبنای تعیین گشته است. وضعیت اخیر در رابطه با عبور از رودخانه پا دره‌ها که ممکن است فقط چند محل مناسب جهت احداث پل وجود داشته باشد معمول تر است. در عین حال در انتخاب و طرح پل، سازه‌پل باید به عنوان جزئی از سیستم کلی طرح راه در نظر گرفته شود. درجهت تأثیر و یا رد یک محل خاص برای احداث پل باید ابتدا بررسی‌های زیر انجام شود:

### الف - کسب اطلاعات اولیه

این اطلاعات شامل موارد زیر می‌باشند:

- ۱ - نقشه‌های راه مورد طرح و راههای موجود مجاور آن.
- ۲ - نقشه‌های توپوگرافی محل شامل نقشه هواشنی آن محدوده.
- ۳ - اطلاعات و نقشه‌های مربوط به جنس خاک و نوع آب و هوای اقلیمی آن منطقه، از جمله آثار سیلاب در محل.
- ۴ - موقعیت پلهای موجود بر روی رودخانه پا دره، مربوطه و اطلاعات مربوط به زمان و مقدار سیلاب.
- ۵ - اطلاعات مربوط به وجود معادن متروکه و یا موجود در محدوده محل.
- ۶ - وضعیت امکانات موجود.
- ۷ - اطلاعاتی در رابطه با خاکریزها، پایداری کانال و یخبدان.
- ۸ - اطلاعات مربوط به عالکیت زمینهای اطراف محل احداث پل.

### ب : بررسی محل

مقدار بررسیهای جزئی که برای محل احداث یک پل لازم است عمدتاً "بستگی به نوع پل و وضعیت طبیعی محلهای که در اختیار می‌باشد دارد. بررسیها را می‌توان با روش حذف کردن، با استفاده از اطلاعات کسب شده، و انتخاب محلهای مناسب ادامه داد. این چنین مطالعاتی احتیاج به تجربه کافی داشته که شخص بتواند از اطلاعات موجود به نحو احسن استفاده نماید. البته در بعضی موارد می‌توان از تخصصهای مربوطه موجود کمک گرفت.

### ج : بررسی و بازدید از محل

در این مرحله مهندس باید ایدهٔ خوبی از محل انتخاب شده و سازه‌های انتخابی خود برای آن محل داشته باشد . با توجه به این موضوع در بازدید از محل می‌توان اطلاعات مفیدی کسب کرد که در انتخاب نهائی نوع پل مؤثر خواهد بود .

در بازدید از محل مطالب زیر باید لیست برداری شوند :

۱ - تپوگرافی - طبیعت راههای ورودی و خروجی محل ، فاصله‌ای که باید با پل پوشانده شود ، موقعیت مناسب فونداسیونها و پایه‌های پل و امکان دسترسی به آنها .

۲ - نوع و مقدار پوشش گیاهی محل در صورت موجود بودن .

۳ - خصوصیت رودخانه و سیلاب (ترازهای ثبت شدهٔ سیلابهای قبلی ، جهت جریان آب ، تعامل رودخانه به پیچ و خم وغیره . . . ) .

۴ - وضعیت امواج در صورت موجود بود .

۵ - زمین‌شناسی سطحی شامل انواع صخره و خاک ، عدم اتصال طبقات صخره و در نظر گرفتن پایداری آنها ، سطح تراز آب زیر زمینی وغیره ، با حفر حداقل یک چاه در محل هر پایه .

۶ - هر اطلاع مربوط به وجود زلزله در محل .

۷ - موانع مصنوعی چون سازه‌ها ، لوله‌ها ، کابل‌های زیر زمینی و هوایی .

۸ - وضعیت آب و هوا در رابطه با شدت و جهت باد ، باران ، برف ، بین زدگی و درجه خورندگی جو .

۹ - امکانات موجود چون برق ، آب ، ارتباطی ، راه شوسه ، راه قطار ، رسیدن به محل و موقعیت‌های مناسب برای تجهیز کارگاه وغیره . . .

۱۰ - دسترسی به مصالح مورد نهاز جهت ساخت پل .

بررسی و تعبیر نتایج زمین‌شناسی سطحی نیاز به اطلاعات جامع از مهندسی زمین‌شناسی دارد که معمولاً در این مرحله از متخصصین مربوطه می‌توان کم گرفت .

پس از پایان این مرحله مقدماتی ، مهندس احتمالاً در وضعیت خواهد بود که تواند بهترین محل برای احداث پل مورد نظر را انتخاب کند که در این صورت باید بررسی‌های جزئی تراز محل بعمل آید .

بررسی جزئیات محل باید با دقت کافی انجام گیرد تا از انجام دوباره کاری جلوگیری شود . این بررسی شامل اطلاعات حاصل از نقشه برداری ، مطالعات هیدرولوژی و هیدرولیکی و بررسی سطح زیر فونداسیون و مطالعهٔ منابع تهییهٔ مواد اولیه ساخت بتن که در بعضی از

موارد فوق می‌توان از متخصصین مربوطه کمک گرفت.

### کاربرد پل

نوع پل، عرض عبورگاه، ارتفاع و بارگذاری آن باید طوری انتخاب گردد که احتیاجات کاربردی پل مورد نظر را برآورده سازد. پلهای ممکن است برای مصارف مختلفی ساخته شوند که از آن جمله پلهای پیاده‌رو، انتقال آب، عبور و مرور وسایط نقلیه و عبور و مرور قطار می‌باشند. علاوه براین با احداث پل نباید لطمی‌ای به عبور و مرور فعلی در صورت موجود بودن وارد آید. به عنوان مثال اگر پلی بر روی رودخانه‌ای ساخته می‌شود عبور کشته در صورت موجود بودن از زیر پل باید مقدور باشد و یا اگر پلی بر روی اتوبانی ساخته می‌شود ارتفاع و دهانه پل باید جواہگوی ترافیک زیر پل نیز باشد.

### دهانه پل

در صورتیکه دهانه و ارتفاع زیر پل از جهت عبور وسایط نقلیه زیر پل تعیین کننده نباشد در اینصورت طرح پلی اقتصادی خواهد بود که مخارج سازه "روبه" پل با مخارج سازه زیرین آن تقریباً" مطابقت داشته باشد. این بدان معنی است که اگر طول دهانه پلی را زیاد انتخاب کنیم مخارج عبورگاه بالا رفته ولی با توجه به مصرف تعداد کمتر پایه‌ها مخارج سازه زیرین کمتر می‌شود و بالعکس با کاهش طول دهانه پل مخارج عبورگاه کم شده ولی در عوض مخارج پایه‌ها که بر تعداد شان افزوده می‌گردد افزایش پیدا خواهد کرد.

از نظر انتخاب تعداد دهانه باید بهاین نکته توجه شود که پلی با تعداد دهانه "زوج مثلاً" دو یا چهار دهانه، معمولاً" ارزانتر از پلی با همان طول کلی ولی با تعداد فرد دهانه مثلاً" یک یا سه دهانه، می‌باشد. از طرفی با معلوم بودن طول دهانه انتخاب نوع پل ساده‌تر می‌گردد. برای دهانه بیش از ۳۵۰ متر بار مرده حاصل از وزن عبورگاه قابل توجه بوده و در اینصورت پلهای کابلی معلق راه حل مناسبی خواهد بود. پلهای قوسی را تا دهانه ۴۰۰ متر می‌توان بکار گرفت و در دهانه‌های متوسط می‌توان از پلهایی با تیر حمال طولی استفاده کرد و بالاخره برای دهانه‌های کوتاه تا متوسط پلهای دال مقرر نهاده باشند.

### نوع مصالح مصرفی

انتخاب مصالح مصرفی برای ساخت پل بهتر استگی به امکانات محلی موجود دارد. شرایط جوی نیز در این انتخاب مؤثرند. در محیط مرطوب مصالح بتون مناسبتراز مصالح فولاد می‌باشد. مصالح بتون درجا ریخته شده در شرایط عادی ارزانتر از بتون پیش ساخته

می‌باشد . اشکال غیر منظم را با بتن درجا براحتی می‌توان ساخت .

### نوع فونداسیون و تکیه‌گاهها

در زمینهای با مقاومت فشاری کم از سازه قوسی بهتنهای نمی‌توان استفاده کرد . برای یک پل با دهانه ساده ، پی گستردۀ ارزانتر از پی با استفاده از شمعهای فرو رفته در زمین می‌باشد .

### اقتصاد پل

از نظر اقتصادی در انتخاب نوع پل بهتر است که دو نکته زیر همواره در نظر گرفته شود :

۱ - استفاده از حداقل تعداد اعضاء

۲ - کاربرد حداقل مقدار مصالح

البته در استفاده از دو نکته فوق ضریب اطمینان کافی برای پل باید در نظر گرفته شود .

### بررسی شکل ظاهر و زیبائی پل

در دوران قدیم ساخت پلهای سنگی قوسی از نظر معماری از همان دقت ساخت بناهای مهم برخوردار بود . پلهای زیبائی که از آن دوران بجای مانده است بیانگر این موضوع می‌باشد . در یکی از آثار مایکل آنجلو ۲۵۰ مده است که : " یک پل باید با همان دقیقی ساخته شود که یک مکان مذهبی ساخته می‌شود ". اهمیت این اظهار نظر با توجه به اینکه یک پل سازه برجسته و نمودار می‌باشد و از نظر شکل ظاهر حاکم بر محیط اطراف خود بوده بهتر درک می‌گردد .

آشکار است که جدائی مهندسی پل‌سازی از هنر معماری آن در عصر انقلاب صنعتی اثر منفی بر روی طرح پلهای آن دوره گذاشته است . بعضی از پلهای آنی عظیم طرح شده در اوخر قرن ۱۹ که ظاهری بد منظر داشتند نمایانگر این گفته می‌باشند . حتی امروزه نیز به معماری پل در مقایسه با بناها چندان اهمیتی داده نمی‌شود . معماری پل برای افراد شناخته شده نیست . این امر شاید بدلیل جدائی رشته‌های تحصیلی معماری و مهندسی در این زمینه بوده که در نتیجه یک مهندس امکان آموزش کافی در رابطه با معماری پل را ندارد . این موضوع مخصوصاً در عصر حاضر که تخصصهای زیادی در رشتۀ پل‌سازی بوجود آمده و انتظار

## فصل دوم - آشنائی با انواع پلها

۶۱

کارفرما از یک مهندس پل‌سازکه فقط تهیه یک طرح مهندسی واقع‌تباری بوده تشدید می‌گردد . زیبایی، موضوعی است که به هنر و خلاقیت فردی بستگی داشته و اصولاً "با جنبهٔ فنی و مهندسی مدرن سازگار نمی‌باشد . بنابراین شناخت زیبایی و اهمیت دادن به آن ممکن است به صورت طبیعی در بعضی از مهندسین وجود نداشته باشد . خوشبختانه بعضی افراد بدليل داشتن این طبیعت و بکاربردن آن در امور مختلف می‌توانند افراد موفقی بشوند . مهندس مشهور قرن حاضر، میلارت در طرح‌های زیبایی که تا کنون اجرا کرده است از طرح افراد دیگری که تقلید نکرده است بلکه هنر شخصی خود را بکار گرفته است . در آثار وی سه اصل مهم زیر مشاهده می‌گردد : اول اینکه وی مصالح جدید بتن آرمه را در سازه‌های پل بکار برد ، اصل دوم بکاربردن سلیقهٔ شخصی خود در طرح‌هایش و سومین اصل رعایت اقتصاد سازهٔ پل بوده است .



## فصل سوم

### بارگذاری پلها

#### ۳ - ۱ بارهای وارد بر سازه پل

در طرح سازه پل با توجه به نوع و موقعیت آن کلیه نیروهایی را که احتمال وارد آمدن بر سازه پل می‌رود باید در نظر گرفته شود . بارهای وارد بر سازه پل عبارتند از:

#### ۱ - بار مرده

بار مرده، یک پل شامل وزن سازه به اضافه وزن هر وسیله متصل به آن می‌باشد . بعضی از پلها جهت انتقال آب یا انتقال سرویس‌های موردنیاز عموم بکار برده می‌شوند که ممکن است وزن قابل ملاحظه‌ای را داشته باشد . در طرح اولیه لازم است که بار مرده برآورده گردد . وزن واقعی سازه پس از طرح را می‌توان محاسبه کرد و با وزن برآورده مقایسه کرد . معمولاً این دو وزن با یکدیگر توازن نخواهد گردید که در این صورت برا اساس بار مرده جدید دوره طرح تکرار می‌گردد . اگر در پایان دوره دوم طرح اندازه اعضا تغییر کند در این شرایط بار مرده باید مجدداً محاسبه گردد . اینگونه تکرر محاسبات باید آنقدر ادامه باید تا بار مرده منظور شده در محاسبات عملاً برابر وزن سازه و متعلقات آن گردد . البته یک مهندس با تجربه ممکن است که در طی دو دوره طرح به مقدار واقعی بار مرده برسد . ضمناً "اگر برنامه کامپیوتری برای این منظور مورد استفاده قرار گیرد ، در این صورت در طی زمان کوتاهی با تکرار چند مرحله طرح می‌توان به جواب نهائی رسید .

رسیدن به یک مقدار نهائی بار مرده یک قسمت از سازه قبل از اینکه قسمت شکیه‌گاهی آن طرح گردد امکان پذیر است . به عنوان مثال ، سیستم سقف را می‌توان قبلاً از طرح تیرهای حمال اصلی یا خرپاها طرح کرد و وزن نهائی کل سازه را می‌توان قبلاً از شروع به طرح سازه زیرین تعیین کرد . بنابراین تعیین بار مرده مقدماتی قسمتی از سازه چندان دشوار نمی‌باشد . بطور کلی مطالعه پلهای مشابه ساده‌ترین و مطمئن‌ترین روش برای تخمین بار

مردهٔ مقدماتی به شمار می‌آید.

در صورتیکه بتن مورد استفاده در برابر فرسایش مقاوم باشد، وسایل نقلیه می‌توانند مستقیماً از روی دال بتی عبور نمایند. در مناطقی که از لاستیک یخ شکن یا زنجیر چرخ استفاده می‌شود پوشش جداگانه‌ای باید برای پل در نظر گرفته شود. اگر وزن روکشها می‌که در آینده (احتمالاً) روی پل قرار خواهد گرفت در بررسی اولیه پل در نظر گرفته شوند، لزومی به بررسی و تجدید نظر در محاسبات، هنگامیکه پوشش اضافه می‌شود، نخواهد بود.

## ۲- بار زنده

طراحی پلهای راه شوسه باید به نحوی صورت گیرد که پل برای کلیه وسایل نقلیه‌ای که احتمالاً از روی آن عبور خواهد کرد مطمئن و ایمن باشد. چون طراح دقیقاً نمی‌داند چه ماشین‌هایی در آینده از روی سازه عبور می‌کنند و همچنین عمر سرویس‌دهی نیز معلوم نیست، از این رو برای حصول اطمینان بیشتر مقاومت سازه کمی بیشتر در نظر گرفته می‌شود. لازم به تذکر است که در بعضی حالات لازم است با وضع مقررات راهنمایی از عبور وسایل نقلیه بسیار سنگین از روی بعضی از پلهای جلوگیری شود.

بدلیل تغییرات زیادی که در وزن و فاصلهٔ محورهای وسایل نقلیه وجود دارد، آئین نامه‌های پل‌سازی تعدادی بار استاندار به قرار زیر را برای طرح پلهای پیشنهاد می‌کنند:

- بار کامیون یا کامیونهای استاندارد با وزن و ابعاد معلوم.
- بار گستردهٔ هموار همراه با یک یا دو بار متتمرکز که در عمل بیانگر وضعیتی است که تمام دهانهٔ پل در اثر ترافیک مملو از وسایل نقلیه معمولی گشته و احیاناً یک یا دو محور سنگین تر در میان آنها وجود داشته باشد.
- بار تانک ارتشی استاندارد که به منظور احتمال عبور تانک ارتشی از روی پل در نظر گرفته می‌شود.
- بار چرخ منفرد با وزن معلوم که برای طرح موضعی قسمتهای نازک عبورگاه به کار برده می‌شود.

## ۳- اثر دینامیکی چرخها (ضریب)

این موضوع کاملاً "شناخته شده است که وسیلهٔ نقلیه در حال حرکت تنش‌هایی بیش از همان وسیلهٔ نقلیه ساکن ایجاد می‌کند. این افزایش را اثر دینامیکی می‌نامند. البته این پدیده در بین طراحان پل به "ضریب" موسوم است. این تعبیر از نظر علمی شاید صحیح نباشد زیرا مفهوم برخورد دو جسم را دارد، که ناشی از افتادن چرخهای وسیله

نقلیه در پستی و بلندیهای پل می‌باشد . اما منظور از ضربه در اینجا علاوه بر مورد ذکر شده، به اثرات ناشی از اعمال بار زنده در فاصله زمانی کوتاه نیز گفته می‌شود .

با انجام محاسبات ساده و استفاده از تئوری‌های دینامیک می‌توان نشان داد ، باری که در زمان کوتاه بهتیری وارد گردد تنشهای دو برابر بار استاتیکی با همان مقدار ایجاد می‌کند . البته بار زنده بر روی پل‌ها هیچ وقت لحظه‌ای وارد نمی‌شود بلکه در مدت زمان محدودی اعمال می‌گردد . لازم به تذکر است که اثر دینامیکی ناشی از بارهای ناگهانی برای همه اعضای سازه‌ای پل پکسان نیست .

علاوه بر اثرات ضربه واقعی و بارهای ناگهانی اثر سومی نیز وجود دارد که ناشی از ارتعاش وسیله نقلیه بر روی فنرهایش می‌باشد که در راههای ناهموار بیشتر به چشم می‌خورد ارتعاش وسیله نقلیه بر روی فنرهایش ، سازه را نیز دچار ارتعاش می‌کند . اندازه تنشهای بوجود آمده به نسبت جرم‌های وسیله نقلیه و پل ، فرکانس طبیعی سازه و مشخصات استهلاکی پل مربوط است .

مطالعه مستقیم اثر دینامیکی یک وسیله نقلیه بخصوص بر روی یک پل معین چون احتیاج به اندازه‌گیری‌هایی در مورد خواص سازه دارد کاری مشکل و حتی غیر عملی است . به این دلیل در آئین نامه‌های پل‌سازی روش معمول برآنست که یک مقدار تقریبی برای اثر دینامیکی بار زنده منظور شده و بنام ضریب ضربه می‌باشد .

#### ۴ - نیروهای افقی

در هنگام ترمز گرفتن یا شتاب گرفتن وسیله نقلیه روی پل ، نیروهای طولی از طریق چرخهای وسیله نقلیه به عرشه منتقل می‌گردند که مقدار آنها بستگی به مقدار شتاب افزایش دهنده یا کاهش دهنده وسیله نقلیه دارد . حداکثر نیروی طولی از ترمز ناگهانی وسیله نقلیه ایجاد می‌گردد . در این حالت مقدار نیرو به وزن وسیله نقلیه ، سرعت وسیله نقلیه در لحظه شروع ترمز و فاصله زمانی که به ایستادن کامل منجر می‌گردد ، بستگی دارد . مقدار این نیرو از رابطه زیر محاسبه می‌گردد .

$$W = \text{وزن وسیله نقلیه}$$

$$g = \text{شتاب نقل}$$

$$\Delta t = \text{تفییر سرعت در زمان} \Delta t$$

به عنوان مثال اگر کامیونی به وزن ۴۵ تن و سرعت ۷۰ کیلومتر در ساعت بطور ناگهانی

ترمز کند، مقدار نیرویی که این وسیله را از آن سرعت به سرعت صفر می‌آورد در مدت زمان  
ع ثانیه به قرار زیر است:

$$F = \left( \frac{45 \times 9.81}{9.81} \right) \left( \frac{70 \times \frac{1000}{3600}}{6} \right) = 145.8 \text{ KN}$$

از آنجائی که ضریب اصطکاک لاستیک روی جاده خشک تقریباً "برابر ۲۵/۰" می‌باشد این  
نیروی افقی تقریباً "بطور کامل به پل منتقل می‌گردد. ضمناً" اگر تعدادی کامیون در یک  
جهت حرکت کنند و بطور همزمان ترمز کنند نیروی فوق چند برابر خواهد بود.

### ۵ - نیروی گریز از مرکز

این نیرو در پلهای که در سطح افق انحنای دارند در اثر حرکت یک وسیله نقلیه بر  
روی پل بوجود می‌آید که در امتداد شعاع انحنای پل و عمود بر جهت حرکت وسیله نقلیه  
می‌باشد. مقدار این نیرو از رابطه زیر داده می‌شود:

$$F = \frac{W}{g} \left( \frac{V^2}{r} \right)$$

که       $W$  = وزن وسیله نقلیه  
 $g$  = شتاب نقل  
 $V$  = سرعت وسیله نقلیه  
 $r$  = شعاع انحنای مسیر پل

### ۶ - نیروهای باد

محاسبه نیروهای باد بر روی سازه پل بسیار پیچیده است و این موضوع برای طراحان  
همیشه مطرح بوده است. نیروهای باد طبق آنچه که در آئینه نامه آمده است، برای هر  
سازه بطور تقریبی محاسبه می‌شود. مسئله باد برای یک سازه خاص بسیار پیچیده است زیرا  
عوامل زیادی چون شکل و اندازه پل، زاویه وزش باد، اثرات جنس لایه‌های زمین و تغییرات  
سرعت باد بر حسب زمان در محاسبه نیروی باد بسیار مؤثرند. باید توجه داشت که نیروی  
باد یک نیروی دینامیکی است زیرا ممکن است سرعت باد در مدت کوتاهی به مقدار حد اکثر  
خود بر سر و برای مدتی هم ادامه پیدا کند یا به سرعت قطع شود (تندباد). اگر مدت زمان  
به حد اکثر رسیدن سرعت باد مساوی یا بزرگتر از پریود طبیعی سازه باشد نیروی باد را می‌توان  
به صورت یک نیروی استاتیکی به اندازه فشار حد اکثر باد در نظر گرفت. این شرایط برای اکثر  
پلهای صادق است.

فشار باد برای یک جسم صلب در معرض باد از رابطه زیر محاسبه می شود .

$$P = C_D \rho \frac{V^2}{2}$$

که  $C_D$  = ضریب مکش  
 $\rho$  = چگالی هوا  
 $V$  = سرعت باد

کل نیروی باد وارد بر یک سازه برابر است با فشار ضریب در سطح موثر . سطح موثر  $(A_T)$  سطحی است که در تصویر قائم دیده می شود ضریب ضریب  $C_A$  (ضریب سطح) . مقدار  $C_A$  بستگی به زاویه وزش باد ، نوع پل و کف سازه و فاصله بین تیرها یا تیرهای باربر بستگی دارد . عامل دیگر ،  $C_\Psi$  است که بر کل نیروی افقی اثر می کند و به زاویه انحراف معروف است . زاویه انحراف عبارت است از زاویه بین جهت باد با خط عمود بر صفحه بخش فوقانی پل در صفحه افق . کل نیروی افقی بصورت زیر بیان می گردد .

$$H = C_D C_A C_\Psi A_T \rho \frac{V^2}{2}$$

#### ۷ - نیروی زلزله

تا چندی پیش در طرح پلها اثرات ناشی از زلزله کمتر در نظر گرفته می شد و یا اینکه فقط اثرات آن بر روی پیهای مطالعه می گردید ، تا اینکه پلها متعددی در اثر زلزله فرو ریختند . مطالعات مختلف نشان داده است که علت این خرابیها یکی از دلایل زیر بوده است :

۱ - لرزش قسمت فوقانی و در نتیجه سقوط سازه .

۲ - شکست پایه ها .

۳ - واژگونی پایه ها در اثر حرکات بزرگ زمین .

۴ - کم شدن مقاومت خاک زیر پیه ها در اثر ارتعاشات زمین .

مسئله مهم در طرح پلها پابرجا ماند آنها بعداز بروز زلزله است تا وسایل نقلیه کمک رسانی از قبیل آمبولانس و ماشینهای آتش نشانی بتوانند وظایف خود را انجام دهند . اثرات ناشی از یک زلزله بر روی یک سازه بستگی به رفتار ارتعاشی آن سازه و نحوه توزیع نیروی وزن دارد . مطالعه دقیق رفتار سازه تحت نیروهای زلزله احتیاج به مطالعه رفتار دینامیکی سازه دارد که کار مشکلی است ، علاوه بر آن برای تحلیل دینامیکی سازه در اثر نیروی دینامیکی زلزله لازم است که حرکات زمین در زیر پیه ها مشخص باشد . ولی عموما برای در نظر گرفتن اثرات نیروی زلزله خیلی ساده فرض می شود که نیروی زلزله به صورت نیروهای جانبی در جهات مختلف در مرکز ثقل سازه اعمال شود و مقدار آن درصدی از وزن

کل سازه، و یا قسمتی از سازه تحت مطالعه باشد. سپس این نیروهای جانبی بصورت بارهای استاتیکی به سازه اعمال می‌گردد و سرانجام تحلیل سازه بصورت استاتیکی انجام می‌شود. یکی از مسائل مهمی که در طراحی پل‌ها در رابطه با اثرات زلزله باید در نظر گرفته شود اثرات آب بر روی پایه‌های پل در اثنای زمین لزره می‌باشد. مطالعاتی که بر روی برجهای غوطه‌ور در آب انجام شده است نشان می‌دهد که برای مطالعه نیروهای زلزله باید یک جرم اضافی علاوه بر وزن پایه‌ها در نظر گرفته شود. مقدار این جرم اضافی به نسبت شعاع ستون بغارتفاع آب بستگی دارد و مقدار آن بر این جرم آب جابجا شده توسط پایه‌ها می‌باشد. بطور کلی در مناطق فعال زلزله و مخصوصاً هنگامی که پایه‌ها در آب غوطه‌ور باشند باید یک مطالعه دقیق دینامیکی صورت گیرد.

#### ۸- فشار جریان آب

در مناطقی که جریان آب وجود دارد بتوانند در مقابل فشار آب مقاومت کنند. این فشار می‌تواند باعث لغزش و یا واژگونی پایه‌ها شود. علاوه بر آن جریان آب قادر است تحت شرایطی باعث شسته شدن اطراف پایه‌ها شود که بسیار مهم است و باید در نظر گرفته شود. بطور کلی برای طرح پلهایی که از زیر آنها جریان آب می‌گذرد مطالعات دقیقی در باره سرعت جریان آب بسیار ضروری است. این قبیل اطلاعات برای رودهای بزرگ در کشورهای پیشرفته تهیه شده‌اند و از روی آنها سرعت‌هایی را که رودهای مختلف می‌توانند داشته باشند بدست می‌آید. در صورتیکه این اطلاعات بدلا لایل گوناگون در دسترس نباشند، باید سعی شود که به کمک اطلاعات موجود بهترین تخمین در رابطه با سرعت جریان آب زده شود.

فشار آب وارد بر یک سطح صلب را می‌توان از رابطه زیر تعیین کرد:

$$P = KV^2$$

که  $P$  = واحد فشار

$V$  = حد اکثر سرعت ممکن آب

$K$  = ثابتی است که بستگی به وزن آب و شکل پایه دارد که توسط آئین نامه تعیین می‌گردد.

هر چند که فشار آب متناسب با عمق آب می‌باشد اما بصورت تقریبی می‌توان فشار را در عمق آب ثابت فرض کرد.

## ۹- فشار یخ شناور

در مناطق سرد سیر یخهای شناور می‌توانند نیروهای زیادی را به پایه‌های پل وارد سازند. بعضی از پلها در اثر فشار یخ کاملاً "فرو ریخته‌اند".

## ۱۰- نیروی ناشی از تغییرات درجه حرارت

انبساط و انقباض حاصل از تغییرات درجه حرارت باعث ایجاد حرکات و پایتیشهای قابل توجهی در سازه پل می‌گردد که باید در طرح پل مورد بررسی قرار بگیرد. نیروهای داخلی حاصل از تغییرات درجه حرارت مخصوصاً "در سازه‌های نامعین از اهمیت بیشتری برخوردار می‌باشد".

## ۱۱- نشست و یا چرخش تکیه‌گاهها

در مناطقی که زمین زیر پایه‌ها از مقاومت یکسانی برخوردار نباشد نشست نا متقاضن یا چرخش تکیه‌گاهها ایجاد خواهد شد که در سازه نامعین نیروهای داخلی قابل توجهی را ایجاد خواهد کرد.

## ۱۲- فشار خاک

اثر فشار جانبی خاک و در صورت لزوم فشار وسایط نقلیه قبل از رسیدن به پل ها پس از عبور از آن بصورت رانش افقی بر پایه‌های کناری پل باید در محاسبات منظور گردد.

## ۱۳- نیروی غوطه‌وری

هرگاه قسمتی از سازه پل در آب بحالت شناور درآید، اثر نیروی غوطه‌وری باید در طرح پل در نظر گرفته شود.

## ۱۴- پارهای موقت

تعام نیروهای موقتی که در زمان ساخت و اجرای پل به اعضای سازه وارد می‌گردد در محاسبات طرح پل باید منظور گرددند.

## ۱۵- نیروهای برخورد

در صورتیکه ستونها و قطعاتی از پل در معرض برخورد وسایط نقلیه باشند، این نیروها

باید در نظر گرفته شوند.

#### ۱۶- سایر نیروها

نیروهای دیگری را که احتمال وارد آمدن به سازه پل در طول عمر آن می‌رود، از جمله اثرات انقباض و خزش بتن و غیره، باید در طرح پل منظور گردند.

#### ۱۷- ترکیب بارها

تام یا قسمتی از پل ممکن است بطور همزمان تحت اثر چند بار قرار گیرد. مهندس مسئول باید انواع بارها و مقدار آنها را که ممکن است بطور همزمان به سازه پا قسمتی از آن وارد می‌شود تعیین نماید و از روی آن سازه را طرح کد.

در بخش‌های بعدی، بارگذاری آئین نامه آشتو<sup>۱</sup> (کشور آمریکا)، دستور فنی شماره ۱۱<sup>۲</sup> (کشور ایران) و بی‌اس<sup>۳</sup> (کشور انگلستان) مورد بررسی قرار می‌گیرند. با توجه به اینکه بار اصلی وارد بارهای شامل بار مرده، بار زنده و ضریب می‌باشد از قید سایر بارها صرف نظر می‌شود و علاقه‌مندان برای اطلاعات بیشتر به آئین نامه‌های مربوطه رجوع داده می‌شوند.

در اجرای سربار حاصل از وسایل نقلیه (بار زنده)، عرضی از عبورگاه پل که یک بار استاندارد اشغال می‌کند معمولاً<sup>۴</sup> ۳ متر در نظر گرفته می‌شود. کل عرض خالص سواره رو بین جدولها به تعدادی خطوط عبور طرح تقسیم می‌گردد و سپس بار استاندارد در موقعیتی بر روی یک خط عبور طرح طوری قرار داده می‌شود تا نامساعدترین وضع را از نظر ایجاد تنداشتها در اجزا پل تولید کند.

#### ۳- ۲ بارگذاری آئین نامه آشتو

قسمتهاي زير از اين آئين نامه بررسی می‌شوند.

- ۱ - خط عبور طرح.
- ۲ - بار زنده حاصل از وسایل نقلیه شامل بارهای استاندارد و ضریب ضریبه.
- ۳ - بار زنده حاصل از عبور عابرین پیاده در قسمت پیاده رو پل:
- ۴ - ترکیب بارها.

---

۱ . American Association of state Highways and Transportation officials (AASHTO).

۲- آئین کاربردی شماره ۵۱۹

3 . British standards (BS 5400: Part:2).

### خط عبور طرح

تعداد خطوط عبور طرح طبق این آئین نامه را می‌توان از جدول (۱-۳) بدست آورد .  
پک سیستم بار استاندارد باید در پهنهای هر خط عبور طرح طوری قرار داده شود که حداکثر تنشها را در اجزاء پل ایجاد نماید . عرض کمتر از ۱۰ متر به عنوان پک خط عبور طرح محسوب می‌شود .

ن. تعداد خطوط طرح	عرض $W_c$ سواره رو بر حسب مترا	مترا	عرض $W_c$	مترا
2	9.15	تا	6.10	تا
3	12.81	تا	9.15	تا
4	16.47	تا	12.81	تا
5	20.13	تا	16.47	تا
6	23.79	تا	20.13	تا
7	27.45	تا	23.79	تا
8	31.11	تا	27.45	تا
9	34.77	تا	31.11	تا
10	38.43	تا	34.77	تا

(جدول ۱-۳) - تعداد خطوط عبور طرح

وقتی که پک عضو بهوسیله سه خط ترافیک یا بیشتر بارگذاری می‌گردد ، مقدار بارزنده بوسیله ضریبی بنام ضریب احتمالات کاهش پیدا می‌کند که برای یک یا دو خط صد درصد ، برای سه خط نود درصد و برای چهار خط یا بیشتر ۷۵ درصد در نظر گرفته می‌شود .

### بار زنده استاندارد

در این آئین نامه اثر استاتیکی بارهای زنده حاصل از وزن وسایل نقلیه که از روی پل عبور خواهند کرد توسط تعدادی بار استاندارد جانشین می‌گردد و اثر دینامیکی حاصل از حرکت وسایل نقلیه بر روی پل توسط ضریبی بنام ضریب ضریب محاسبه می‌شود . سیستمهای مختلف بارگذاری طبق آئین نامه آشتوکه برای طرح پل‌های راه شوسه باید در نظر گرفته

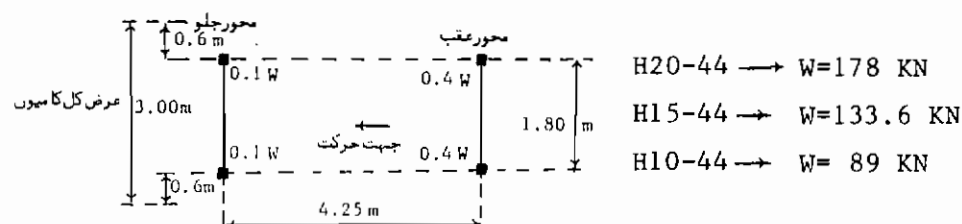
شوند بقرار زیر می‌باشد.

- ۱ - سیستم بارگذاری کامیون H (در هر خط برای تمام طول پل در محل لازم یک سیستم).
- ۲ - سیستم بارگذاری کامیون HS (در هر خط یکی برای تمام طول پل در محل لازم).
- ۳ - سیستم باراصلحی بی . بی . آ . ر .<sup>۴</sup> (در هر خط یکی برای تمام طول پل در محل لازم).
- ۴ - سیستم بار خطی معادل (برای هر خط یکی در طولهای لازم).
- ۵ - اثر ضربه.
- ۶ - بار زنده پیاده رو.

طبق این آئین نامه پهنانعی که یک سیستم بارگذاری اشغال می‌کند باید برابر با سه متر در نظر گرفته شود. اینطور فرض می‌گردد که یک سیستم بارگذاری می‌تواند در هر وضعیتی از پهنانی خط عبور طرح قرار داده شود بطوری که تولید حداکثر تنشها را در سازه پل بیناید

### سیستم بارگذاری کامیون H

این سیستم شامل یک کامیون دو محوره بفاصله ۴/۲۵ متر و فاصله عرضی مراکز چرخها ۱/۸۰ متر می‌باشد (شکل ۱-۳). همانطور که در شکل نشان داده شده است بارگذاری راهها به رده‌های متعددی تقسیم‌بندی شده است. عدد اول از سمت چپ که هموار حرف H مده نشان دهنده وزن کل کامیون بر حسب تن آمریکائی می‌باشد (یک تن آمریکائی برابر ۹۵۸ کیلوگرم است). عدد بعدی یعنی ۴ نشان دهنده سال بوجود آمدن این بار یعنی ۱۹۴۴ می‌باشد. از این نوع بارگذاری برای طرح پلهای در جمدو به غیر از پلهای بزرگ‌راه‌ها استفاده می‌شود. طبق آئین نامه مربوطه فاصله حداقل مرکز چرخ کامیون از لبه پیاده رو در عبور-گاههای بتی از نوع دال برابر ۳ متر و برای عبور گاههای بتی از نوع دیگر ۶ متر باید در نظر گرفته شود. دو کامیون از نظر عرضی اگر چسبیده بهم در نظر گرفته شوند فاصله مرکز چرخهای نزدیک بهم آنها ۱/۲ متر خواهد بود.

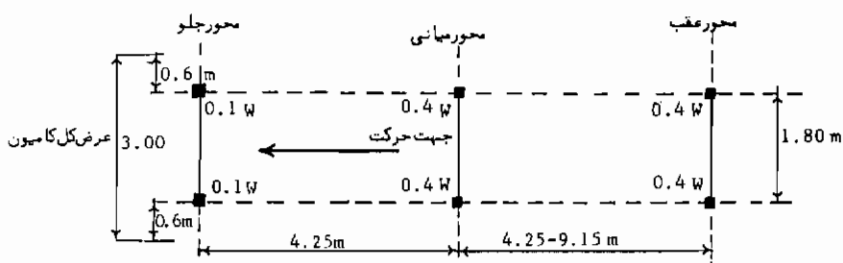


شکل ۱-۳)- انواع کامیون H

### سیستم بارگذاری کامیون HS

سیستم بارگذاری کامیون HS شامل یک کامیون سه محوره می‌باشد (شکل ۲-۳) که فاصله دو محور جلو و میانی از یکدیگر برابر ۴/۲۵ متر و فاصله دو محور میانی و عقب از یکدیگر متغیر از ۲۵ بر ۹/۱۵ متر تا ۴ متر در نظر گرفته شده است. این فاصله متغیر برای محاسبه ممان خمشی ماکریم در پلهای یکسره، که با توجه به خط تأثیر آن تعیین می‌گردد، بسیار مؤثر می‌باشد. وزن دو محور میانی و عقب با هم برابرند و وزن مجموع دو محور جلو و میانی در برابر با وزن کل کامیون H معادل می‌باشد. نسبت وزن هر یک از محورهای جلو و میانی در کامیون HS همان نسبت محور جلو و عقب ذر کامیون H می‌باشد.

طبق این آئینه نامه پلهای مهم برای بارگذاری ۴۴ - HS20 - ۴۴ محاسبه می‌شوند. کمترین سربار در نظر گرفته شده برای پلهای بزرگراهها سیستم ۴۴ - HS15 می‌باشد.



$$\text{HS20-44} \rightarrow W = 178 \text{ KN}$$

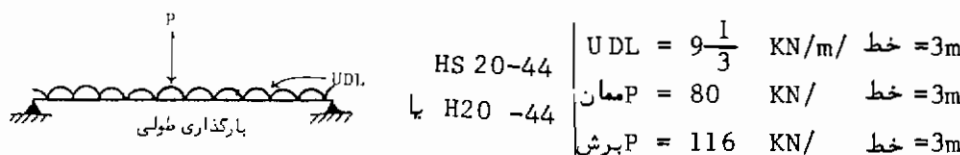
$$\text{HS 15-44} \rightarrow W = 133.6 \text{ KN}$$

شکل (۲-۳) - انواع کامیون HS

### سیستم بار خطی معادل

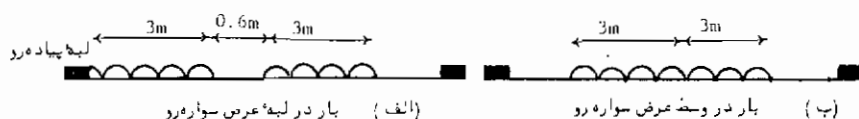
در پلهای طویل که امکان قرار گرفتن تعداد زیادی وسیله نقلیه روی پل می‌باشد و احتفالاً در اثر کندی ترافیک وسایل نقلیه پشت سرهم روی پل قرار می‌گیرند یک سربار معادل مطابق شکل (۲-۳) که شامل یک بارگذاری و یک بار متصرکز است بجای سربارهای کامیون در نظر گرفته می‌شود. این نوع بارگذاری معمولاً در دهانه‌های بزرگ حاکم بر طرح می‌باشد. در دهانه‌های یکسره جهت پیدا کردن لنگر خمشی منفی حداکثر یک بار متصرکز دیگر با همین مقدار باید در دهانه دیگر تیر یکسره قرار داده شود که محل آن را با استفاده

از خطوط تأثیر می‌توان تعیین کرد . بار گسترده UDL در عرض ۳ متر و طولی که توسط خط تأثیر بدست می‌آید قرار می‌گیرد . بار متمرکز در حقیقت بصورت لبه‌ای در نظر گرفته می‌شود یعنی باری که در نقطه‌ای از طول تأثیر که توسط خط تأثیر تعیین می‌گردد اعمال شده ولی در عرض ۳ متر مثل بار گسترده پخش می‌گردد . برای محاسبه لنگر خمشی و نیروی برشی مقدار نیروی  $P$  مطابق شکل (۳-۳) متفاوت می‌باشد .



شکل (۳-۳)-مشخصات بار خطی معادل  $HS20$  پا  $H20$  پا

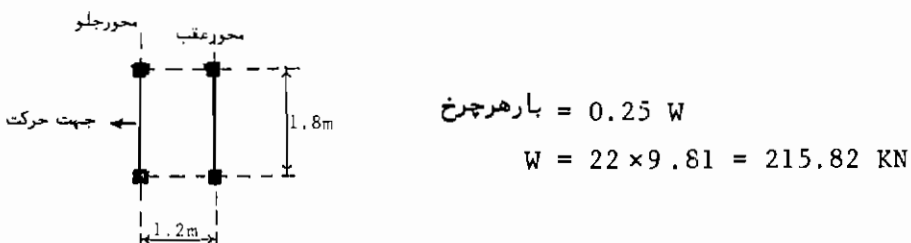
با تناسب می‌توان بار خطی معادل  $44 - H15$  که مساوی  $44 - HS15$  می‌باشد و نیز بار خطی معادل  $44 - H10$  که برابر  $44 - HS10$  است محاسبه کرد .  
دو وضعیت بحرانی از نظر بارگذاری عرضی برای بار خطی معادل مطابق شکل (۳-۳) می‌باشد .



شکل (۳-۴)-بارگذاری عرضی بار خطی

### سیستم بار اصلاحی بی پی آر

اداره راههای ملی آمریکا (بی.پی.آر) بار اصلاحی بجای بار کامیون  $44 - HS20$  معرفی نموده است . این بار اصلاح شده دو محور ۱۱ تنی (تن بین المللی) می‌باشد که مفاصله آنها از هم  $1/20$  متر است (شکل ۵-۳) . بار اصلاح شده در دهانه‌های کوچکتر از ۱۰ متر اندکی بر لنگر خمشی حاصل از بار  $44 - HS20$  می‌افزاید .



شکل (۳-۵)- بار اصلاح شده بی پی آر

اثر خوب

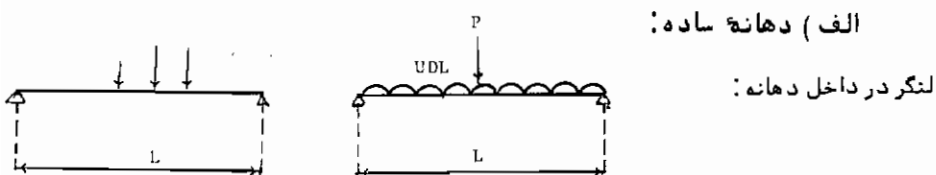
ضریب ضربه طبق آئین نامه آشتواز رابطه  $(L+38)/15 = I$  محاسبه می شود که در آن  $L$  بر حسب متر، طولی از دهانه بارگذاری شده می باشد که توسط خط تأثیر جهت محاسبه حداقل لنجر خمی یا نیروی برشی تعیین می گردد. با توجه به فرمول ضربه مشخص می گردد که اثر ضربه در دهانه های کوچکتر بحرانی تر می باشد. حداقل ضربه طبق آئین نامه  $3/0$  می باشد. در طراحی سازه پل اثر ضربه برای قسمتهایی از سازه که در زیر آمده است محاسبه می گردد:

- ۱ - عبورگاه پل.
  - ۲ - پاییزهای پل ت
  - ۳ - آن قسمت از

به عبورگاه پل متصل شده است

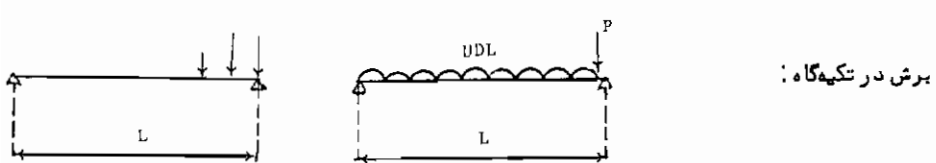
طول آن از عبورگاه را که در محاسبه ضریب ضربه باید در نظر گرفته شود با توجه به محل بارگذاری کامپیون یا خطی معادل مطابق اشکال زیر در نظر گرفته می‌شود (شکل ۳-۶).

**الف) دهانة ساده:**

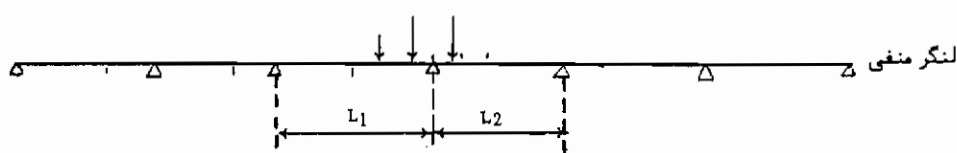
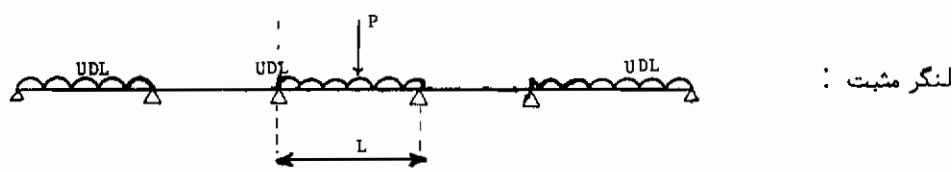
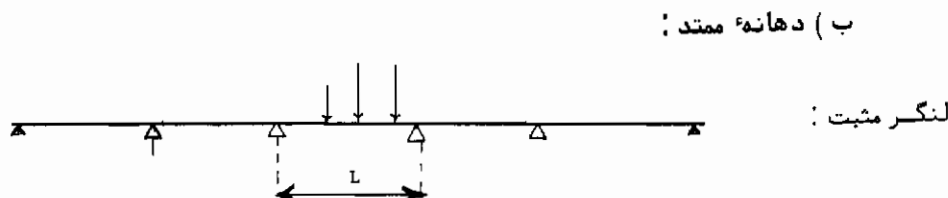
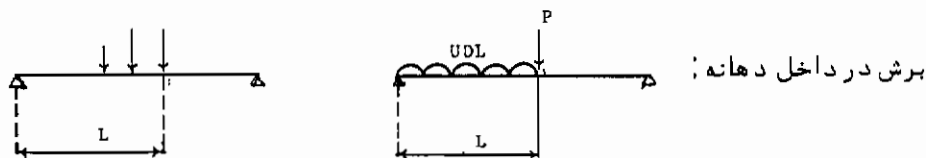


لنگر در داخل دهانه:

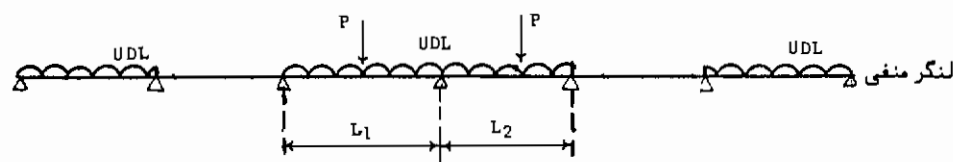
پرس در تکیه‌گاه:



شکل (۳-۶) - تعیین طول L برای ضریب ضربه

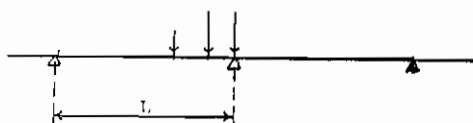


$$L = (L_1 + L_2)/2$$

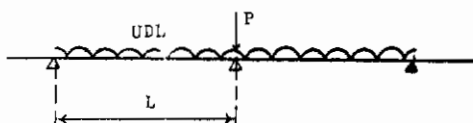


$$L = (L_1 + L_2)/2$$

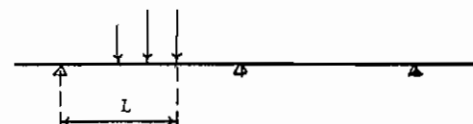
ادامه شکل (۳ - ۶) - تعیین طول L برای ضریب ضربه



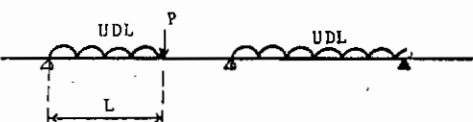
برش در تکیهگاه



برش در تکیهگاه

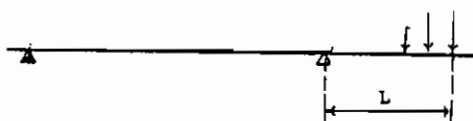


مقطعی را که در آن برش را می‌خواهیم.



مقطعی را که در آن برش را می‌خواهیم.

### ج - کنسول



لنگر در بازوهای طرهای.

ادامه شکل (۳ - ۶) - تعیین طول L برای ضریب ضربه

بار زنده پیاده رو

بار زنده واردہ بر پیاده روی پل، بارگستردۀ همواری به شدت ۴۵۰ کیلوگرم بر متر مربع می‌باشد که در محاسبه اجزاء سازه‌ای خود پیاده رویکار خواهد رفت. سریار منتقله از

پیاده رو در محاسبه قطعات اصلی پل (مانند شاهتیرهای طولی ، پایه‌ها و غیره) ۳۰۰ کیلو گرم بر متر مریع می‌باشد .

در صورتیکه احتمال رفتن چرخ ماشین بر روی پیاده رو موجود باشد ، شریار محاسبه پیاده رو عبارت خواهد بود فقط از یک بار مرکز معادل ۵ تن ، بدون در نظر گرفتن اثر ضربه و موقعیت آن طوری در نظر گرفته می‌شود که نامساعدترین وضع را از لحاظ تنشهای ساختهای پیاده رو بوجود آورد .

### ترکیب بارها

تمام یا قسمتی از پل ممکن است تحت اثر چندین بار بصورت همزمان قرار گیرد . آئین نامه پل‌سازی آشتو ترکیب بارهای را که احتمال وارد آمدن آنها بر سازه پل بطور همزمان می‌رود مشخص نموده است . برای بعضی از ترکیبات ، تنشهای مجاز معمولی را می‌توان افزایش داد ، که در عمل بدین معنی است که فقط درصدی از جمع حداکثر اثرها در نظر گرفته می‌شوند زیرا احتمال اینکه مقدار حداکثر این حوادث در یک زمان اتفاق بیفتند خیلی کم است ؛ به عنوان مثال ، وقتی بار مرده ، بارهای فشار خاک ، اثرات شناوری ، جریان رودخانه و باد همزمان اعمال می‌گردد تنشهای مجاز می‌توانند ۱۲۵٪ تنشهای مجاز معمولی باشند . این معادل آنست که فرض کنیم فقط ۸۰٪ حداکثر مقادیر این بارها با یکدیگر عمل می‌کنند . در تجدید نظر ۱۹۷۷ آئین نامه پل‌سازی آشتو طرح بروش مقاومت نهائی تهیه شده است . این روش البته بجای روش تنشهای مجاز نبوده ، بلکه برای تکمیل آن می‌باشد . معادله کلی ترکیب بارها بصورت زیر داده شده است .

$$N = \gamma [\beta_D \cdot D + \beta_L \cdot (L+I) + \beta_c \cdot CF + \beta_E \cdot E + \beta_B \cdot B + \beta_S \cdot SF$$

$$+ \beta_W \cdot W + \beta_{WL} \cdot WL + \beta_{LF} \cdot LF + \beta_F \cdot F + \beta_R \cdot (R+S+T)$$

$$+ \beta_{EQ} \cdot EQ + \beta_{ICE} \cdot ICE]$$

$D$  = بار مرده .

$L$  = بار زنده .

$E$  = فشار زمین .

$B$  = شناوری .

$W$  = نیروی باد بر روی سازه .

$WL$  = بار باد بر روی بار زنده .

$LF$  = بار افقی حاصل از بار زنده .

= نیروی گریز از مرکز.

F = نیروی افقی در اثر اصطکاک سیستم تکیه‌گاهی یا برش.

$R = \text{كتابها، اعضاؤها (قوسها يا قابها)}.$

انقاضیتیں

$T =$  نیرو در اثر تغییرات درجه حرارت.

زنگنه = EQ

= فشار حیاتی رودخانه.

فشار بخ = ICE

$N =$  شعوه کوه یارگذاوی.

۲۰۱۳

٣٦ = ضرب

مقادیر ضریب بار (۲) و ضرایب (B) (جدول ۳-۲ و ۳-۳) بستگی به گروه‌گذاری و روش طرح، تنش مجاز یا مقاومت نهایی، دارد. برای طرح پل‌ها آئین نامه نهگروه مختلف بارگذاری را منظور گرده است. گروه‌های I-II به سازه‌های رویه و سازه زیرین پل اعمال می‌گردد. گروه‌های VI-VII برای قوسها و قابها مناسب است. سه گروه بعدی نیز برای طرح سازه زیرین مورد باشند.

### جدول (۳ - ۲) جدول ضرایب ۲ و ۳ برای طراحی پروژه‌های تنشی‌های مجاز

اصل گروههای بارگذاری براساس این است که کدام بارها ممکن است همزمان عمل کنند. در روش طرح تنشهای مجاز برای بعضی از گروههای بارگذاری یک افزایش در تنش مجاز اجازه داده شده است. هدف از این افزایش اینست که مقداری حد اکر همزمان اتفاق بیفتد (تعداد دفعات کمی در طول عمر سازه) ضریب اطمینان را می‌توان کاهش داد.

در استفاده از روش طرح ضریب بار، تنش نهائی معمولاً "تنش جاری شدن فولاد می‌باشد و مقاومت نهائی معمولاً" درصدی از مقاومت فشاری ۲۸ روزه بتن است.

جدول (۳-۳) جدول ضرایب  $\gamma$  و  $\beta$  برای طراحی به روش مقاومت نهائی

کروه	$\gamma$	$\beta_D$	ضرایب													٪
			1	2	3	4	5	6	7	8	9	10	11	12	13	
I	1.3	$\beta_D$	1.67	1.0	$\beta_E$	1	1	0	0	0	0	0	0	0	0	۰
IA	1.3	2.20	0	0	0	0	0	0	0	0	0	0	0	0	0	۰
II	1.3	0	0	$\beta_E$	1	1	1	0	0	0	0	0	0	0	0	۰
III	1.3	۱	۱	۱	۱	۰.۳	۱	۱	۰	۰	۰	۰	۰	۰	۰	۰
IV	1.3	۱	۱	۱	۱	۰	۰	۰	۰	۱	۰	۰	۰	۰	۰	۰
V	1.25	۰	۰	۱	۱	۱	۰	۰	۰	۱	۰	۰	۰	۰	۰	۰
VI	1.25	۱	۱	۱	۱	۰.۳	۱	۱	۱	۰	۰	۰	۰	۰	۰	۰
VII	1.3	۰	۰	۱	۱	۰	۰	۰	۰	۰	۰	۰	۰	۰	۰	۰
VIII	1.3	۱	۱	۱	۱	۰	۰	۰	۰	۰	۰	۰	۰	۰	۰	۰
IX	1.20	$\beta_D$	۰	۰	$\beta_E$	۱	۱	۱	۰	۰	۰	۰	۰	۰	۰	۰
X	1.50	۱	1.67	۰	$\beta_E$	۰	۰	۰	۰	۰	۰	۰	۰	۰	۰	۰

### برای طرح بروش تنشهای مجاز

% (ستون ۱۴) = درصدی از تنش مجاز پایه.

برای اعضا یا اتصالاتی که فقط بارهای باد را تحمل می‌نمایند هیچگونه افزایشی در تنشهای مجاز پایه اجازه داده نمی‌شود.

$\beta_E = ۷۵\%$  برای مجاز آبرو زیرزمینی جعبه‌ای از بتن مسلح، برای دیگر مجاز آبرو  $۸۳/۰$  %

$\beta_E = ۱۰/۵\%$  برای بارهای عرضی واردہ به قابهای صلب (هردو بارگذاری باید کنترل می‌گردد).

### برای طراحی بروش مقاومت نهائی

$\beta_E = 1/3$  برای فشار جانبی خاک و  $\beta_E = 5$  برای کنترل لنگرهای مثبت در قابهای صلب.  
 $\beta_E = 1/0$  برای فشار قائم خاک.

$\beta_D = 7/5$  وقتی اعضا برای حداقل بار محوری و حدکتر لنگر خمثی یا حد اکثر خروج از مرکز برای طرح ستون کنترل می‌گردند.

$\beta_D = 1/0$  وقتی عضوی برای حد اکثر بار محوری و حداقل لنگر خمثی برای طرح ستون کنترل می‌گردد.

$\beta_D = 1/0$  برای اعضای خمثی و کششی

$\beta_E = 1/0$  مجاری آبرو زیرزمینی صلب

$\beta_E = 1/62$  مجاری آبرو زیرزمینی شکل پذیر

### ۳ - ۳ بارگذاری آئین نامه ایران

قسمتهای مربوطه به خط عبور طرح، بار زنده، استاندارد، سربار پیاده رو و ترکیب بارها از آئین نامه بررسی می‌شود.

### خط عبور طرح

آئین نامه راهسازی کشور ایران عرض راههای مختلف شوشه را طبق جدول (۳ - ۴) تعیین نموده است.

مجموع به متر	عرض پیاده رو در هر طرف	عرض جاده به متر	نوع راه
۱۱ - ۱۲	۲	۷ - ۸	راههای درجه ۱
۱۰	۲	۶	راههای درجه ۲
۸	۱/۵	۵	راههای درجه ۳

جدول (۳ - ۴) - خطوط عبور طرح

با به دستور فنی شماره ۳ آئین نامه در پلهای که طول آنها بیش از ۶ متر می‌باشد عرض کلی پل باید یک متر بیشتر از عرض سواره رو جاده باشد و پیاده روها مرتفع تر ساخته شوند. در پلهای با طول کمتر از ۶ متر عرض کلی پل و سواره رو را می‌توان برابر

انتخاب کرد.

### بار زنده استاندارد

بنا بدستور فنی شماره ۱۱ این آئین نامه بار زنده واردہ به پل شامل موارد زیرمی باشد:

۱ - بار کامیون ۴۵ تنی استاندارد.

۲ - بار خطی معادل استاندارد.

۳ - بار تانک ارتشی ۷۵ تنی استاندارد.

۴ - بار منفرد استاندارد.

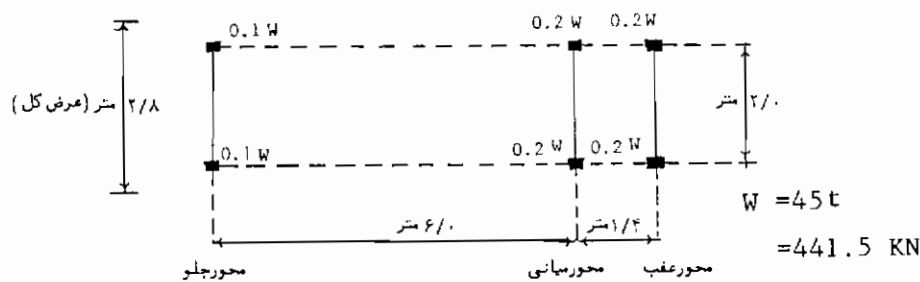
۵ - ضریب ضربه.

۶ - بار زنده پیاده رو.

طبق این آئین نامه پهنانی از پل را که یک سیستم بارگذاری از انواع بالا می‌تواند اشغال کند برابر با ۳ متر می‌باشد و سیستم بار استاندارد می‌تواند در هر وضعیتی در پهنانی خط ترافیک طرح طوری قرار گیرد که تولید حداکثر تنشها را بتنماید. اگر تعداد خطوط عبور بیش از دو خط باشد در اینصورت دو خط کامل بارگذاری شده و بقیه خطوط با ۵۰٪ بار معادل بارگذاری می‌شود.

### کامیون ۴۵ تنی

این سیستم بار شامل یک کامیون سه محوره می‌باشد که وزن محور جلو ۹ تن، وزن محور میانی و عقب مساوی هریک برابر ۱۸ تن می‌باشد. وزن کل کامیون ۴۵ تن است. فاصله دو محور جلو و میانی ۶ متر و فاصله دو محور میانی و عقب برابر ۱/۱ متر می‌باشد (شکل ۳-۲).



شکل (۳-۲)-مشخصات کامیون ۴۵ تنی

ابعاد سطح تماس چرخ جلو با عبورگاه  $0/20$  متر در جهت حرکت و  $0/25$  متر در جهت عکس  
عمود بر حرکت و ابعاد سطح تماس چرخهای میانی یا عقب  $0/20$  متر در جهت حرکت و  $0/27$   
متر در جهت عمود بر حرکت فرض می‌گردد. طول کل کامیون  $15$  متر و عرض آن  $2/80$  متر  
در نظر گرفته می‌شود. فاصله عرضی حداقل بین دو کامیون  $0/5$  متر که این فاصله از مرکز  
چرخهای کناری دو کامیون  $1/30$  متر خواهد شد. حداقل فاصله مرکز چرخهای کناری از لبه  
پیاده رو  $0/35$  متر فرض می‌گردد.

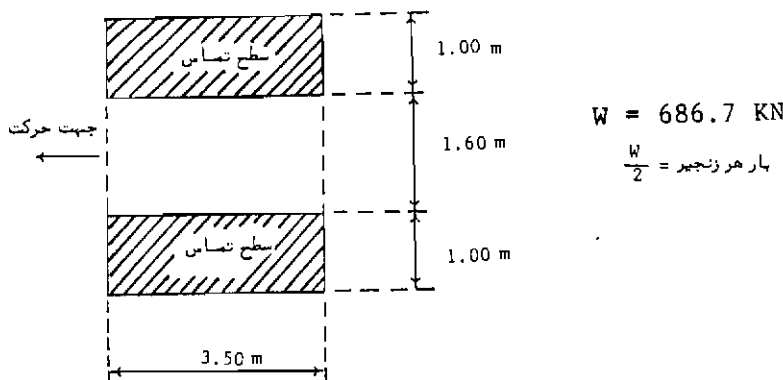
### بار خطی معادل

این بار مشابه با بار خطی معادل آئین نامه آشتوبوده که در دهانه‌های بزرگتر از  $21$   
متر حاکم بر طرح می‌باشد. این بار شامل بار گسترده بکواخت بهشت  $1$  تن بر متر بر عرض  
خط همراه با یک متر  $27$  تن برای خمس پا  $31$  تن برای برش می‌باشد.

در هر خط عبور در طول پل یک سیستم بار خطی معادل در طولهای لازم قرار داده  
می‌شود. در محاسبه لنگر حداقل منفی دوبار متمرکز همراه با بار گسترده به عبورگاه اعمال  
می‌گردد.

### تانک ارتشی استاندارد

بار تانک ارتشی استاندارد  $20$  تنی (شکل ۸-۳) فقط به تعداد یکی در تمام طول پل  
در نظر گرفته می‌شود. این بار احتیاج به ضریب ضربه ندارد.



شکل (۸-۳) - مشخصات تانک ارتشی استاندارد

### بار منفرد

در هر نقطه از سطح عبورگاه پل می‌توان یک بار منفرد برابر ۹ تن را در نظر گرفت، ضریب ضربه برای این بار مقدار حداقل  $\frac{2}{3}$  فرض می‌گردد که در نتیجه این بار منفرد ۱۱/۲ تن می‌گردد که باید برروی مستطیلی به ابعاد ۲۵ سانتی متر در جهت طول پل در ۰/۷ سانتی متر در جهت عرضی پل پخش گردد.

### اثر ضربه

ضریب ضربه را می‌توان با استفاده از رابطه زیر تعیین نمود که در آن  $L$  طول دهانه برحسب متر می‌باشد. طول  $L$  را می‌توان مطابق آئین نامه آشتون انتخاب کرد و حداقل ضریب ضربه  $\frac{3}{5}$  فرض می‌گردد.

$$I = \frac{6}{10+L} \leq 0.3$$

ضریب ضربه برای بار کامیون استاندارد و بار خطی معادل بار منفرد مورد نیاز می‌باشد.

### سربار پیاده رو

پیاده‌روهای پل را باید برای بار یکتواخت معادل ۴۰۵ کیلوگرم بر متر مربع محاسبه نمود. همچنین پیاده‌رو باید بتواند چرخی بوزن  $4/5$  تن (بدون ضربه) را که روی پیاده‌رو آمده و در هرجای آن ممکن است قرار گیرد تحمل کند (این بار روی سطحی به ابعاد ۲۵×۷۰ سانتی متر اثر می‌کند). در حالیکه سربار کامیون یا معادل آن نیز روی پل قرار داده شود باید یک بار یکتواخت به اندازه ۲۵۵ کیلوگرم بر متر مربع روی پیاده رو قرار گیرد. سربار پیاده‌رو احتیاجی به ضریب ضربه ندارد.

### ترکیب بارها

بارهای را که ممکن است به پل وارد شوند مطابق آئین نامه محاسبه کرده و می‌توان آنها را طبق آئین نامه آشتون ترکیب کرد.

### ۳ - ۴ بارگذاری آئین نامه بی اس کشور انگلستان

آئین نامه پل‌سازی کشور انگلستان بنام BS ۵۴۰۰ بوده که در ده قسمت تنظیم شده

است . قسمت دوم این آئین نامه در رابطه با بارگذاری پلها می باشد ، بخش های خط عبور طرح ، بار زنده استاندارد ، سر برآ پیاده رو ، طرز استفاده بار زنده استاندارد و ترکیب بارها از این آئین نامه توضیح داده می شود .

### خط عبور طرح

طبق این آئین نامه تعداد خطوط عبور طرح را می توان از جدول (۵-۳) تعیین کرد . عرض کمتر از ۴/۶ متر را به عنوان یک خط عبور می توان در نظر گرفت و حداقل عرض هر خط باید ۲/۳ متر در نظر گرفته شود .

### بار زنده استاندارد

در این آئین نامه اثر ضربه بصورت جداگانه حساب نمی شود و بارهای استاندارد را بدون ضریب ضربه می توان در نظر گرفت . موارد زیر از آئین نامه بی اس بررسی می شوند .

عرض سواره رو عبورگاه به متر	تعداد خطوط عبور طرح
4.6 - 7.6	2
7.6 - 11.4	3
11.4 - 15.2	4
15.2 - 19.00	5
19.0 - 22.8	6

جدول (۳ - ۵) - تعداد خطوط عبور طرح

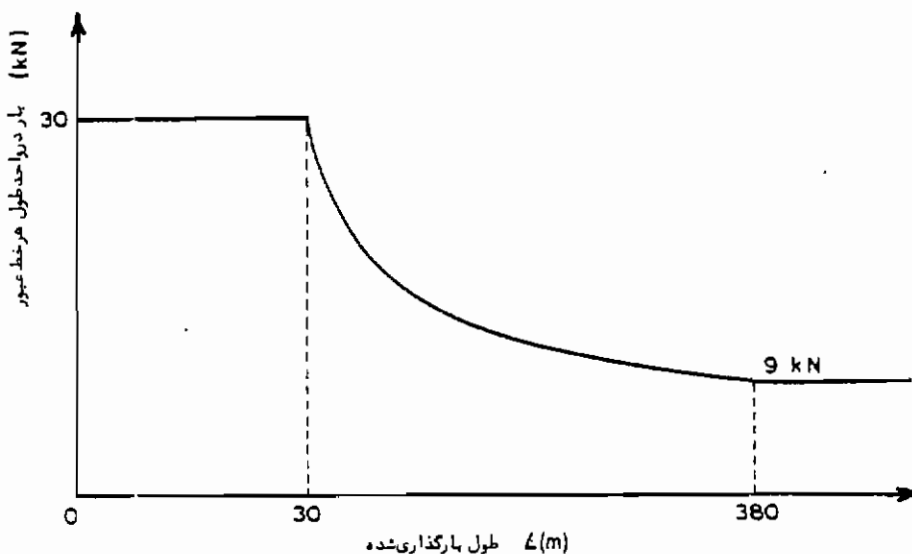
- ۱ - بار عادی استاندارد HA .
- ۲ - بار غیر عادی کامیون استاندارد HB
- ۳ - بار تک چرخ استاندارد .
- ۴ - بار پیاده رو .

نحوه کلی طراحی پلها به این ترتیب است که ابتدا اجزاء پل برای بار عادی استاندارد طرح شده و سپس برای بار غیر عادی کامیون استاندارد HB کنترل می شوند .

### بار عادی استاندارد

این سیستم بار استاندارد مشابه بار خطی معادل آئین نامه آشتو با آئین نامه ایران می‌باشد که شامل یک بار گسترده پکواخت (UDL) و یک بار متراکز لبه‌ای (KEL) می‌باشد. این سیستم بار در دالهای تخت بدون توجه به عرض خط عبور طرح در عرض ۳ متر بارگذاری می‌شود ولی در عبورگاه با تپیرهای حمال طولی در صورتیکه عرض خط عبور از ۳ متر بیشتر باشد بار HA در عرض واقعی خط عبور طرح بارگذاری می‌شود ولی اگر عرض خط عبور کوچکتر و با مساوی ۳ متر باشد همانند دالهای تخت اجرا می‌شود.

مقدار بار لبه‌ای (KEL) که برای هر خط فقط یکی بکار برده می‌شود برابر  $KN = 120$  می‌باشد که در عرض بارگذاری پخش می‌گردد. اما مقدار بار گسترده (UDL) که در طولهای لازم از یک خط قرار داده می‌شود متغیر بوده و بستگی به طول بارگذاری شده دارد، مقدار این بار گسترده را می‌توان توسط نصودار شکل (۹-۳) و با جدول آمده (در آئین نامه) تعیین کرد. برای طول بارگذاری کوچکتر یا مساوی ۳۵ متر مقدار شدت بار UDL ثابت بوده و مساوی ۳۵ کیلو نیوتون بر متر طول بر عرض بارگذاری شده می‌باشد. برای طول بارگذاری شده بیش از ۳۸۰ متر مقدار بار گسترده UDL ثابت و مساوی ۹ کیلو نیوتون بر متر طول بر عرض بارگذاری شده فرض می‌گردد. در فرمول زیر طول بارگذاری شده  $L$  بر حسب مترمی باشد،



شکل (۹-۳)-نمودار بار UDL

بارگستردۀ یکنواخت (UDL) بار HA را می‌توان به صورت زیر نیز خلاصه کرد.

$$L \leq 30 \text{ m}$$

$$UDL = 30 \text{ KN/m/}$$

$$30 \text{ m} < L < 380 \text{ m}$$

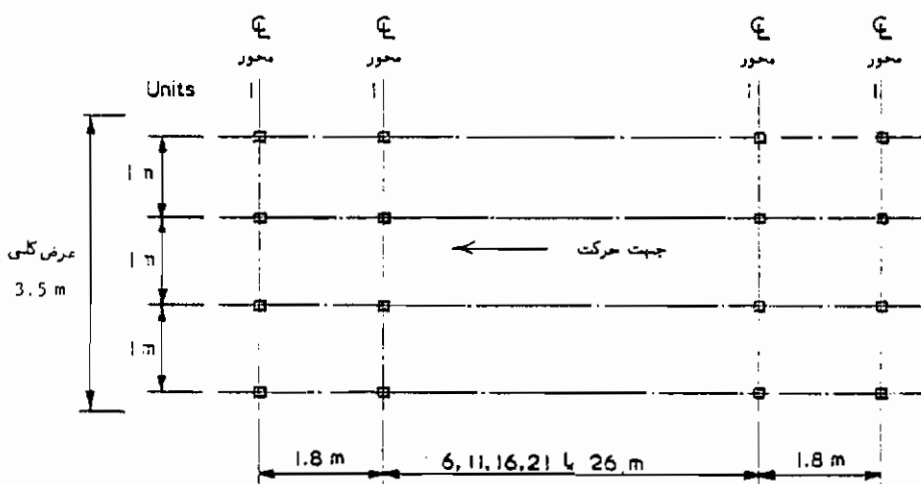
$$UDL = 151 \left( \frac{1}{L} \right)^{0.475}$$

$$380 \text{ m} \leq L$$

$$UDL = 9 \text{ KN/m/ خط}$$

### بار غیر عادی کامیون HB

ابعاد این کامیون شامل چهار محور و چهار ردیف چرخ می‌باشد (شکل ۳-۱۰). وزن آن بستگی به نوع پل مورد طرح متغیر بوده که بطور مساوی بین شانزده چرخ تقسیم می‌گردد. یک واحد HB طبق تعریف عبارت است از کامیون HB که وزن کل آن ۴۰ کیلو نیوتن یا وزن هر محور ۱۰ کیلو نیوتن باشد. حداقل تعداد واحد HB برای طرح پلهای کم اهمیت ۲۵ و حداقل واحد HB برای طرح پلهای مهم ۴۵ فرض می‌گردد. فاصلهٔ دو محور میانی از عتمتر تا ۲۶ متر قابل تغییر است. سطع تعاس هر چرخ کامیون HB با عبورگاه به شکل دایره‌یا مربع طوری فرض می‌گردد که فشار واردۀ از آن چرخ بر عبورگاه برابر ۱/۱ مگاپاسکال باشد. طول کل کامیون مجموع فاصلهٔ محورها به اضافهٔ ۰/۴ متر فرض می‌گردد.



شکل (۳-۱۰) - مشخصات کامیون

### بار تک چرخ

هر نقطه از سطح عبورگاه را می‌توان با یک بار منفرد به مقدار ۱۰۰ کیلو نیوتن بار-گذاری کرد. سطح تماس این بار با عبورگاه طوری در نظر گرفته می‌شود که فشار ایجاد شده از آن بر سطح عبورگاه  $1/1$  مکاپاسکال باشد.

### سربار پیاده روها

طبق این آئین نامه تا دهانه  $35$  متر سربار عبارت است از بار گستردۀ یکنواختی بهشت  $4 \text{ KN/m}^2$  و برای دهانه‌های بالاتر از رابطه مقدار شدت UDL بار HA برای طول بارگذاری شده تقسیم بر  $35$  بدست می‌آید.

### نحوه کاربرد بار زنده استاندارد

طبق این آئین نامه بار زنده استاندارد HA و HB را می‌توان به یکی از سه صورت زیر بکار برد:

۱- بار HA تنها، دو خط عبور با بار کامل HA و بقیه خطوط با  $\frac{1}{3}$  بارگذاری می‌شود.

۲- کامیون HB تنها، در جایی قرار داده می‌شود که نا مساعدترین وضعیت را ایجاد نماید.

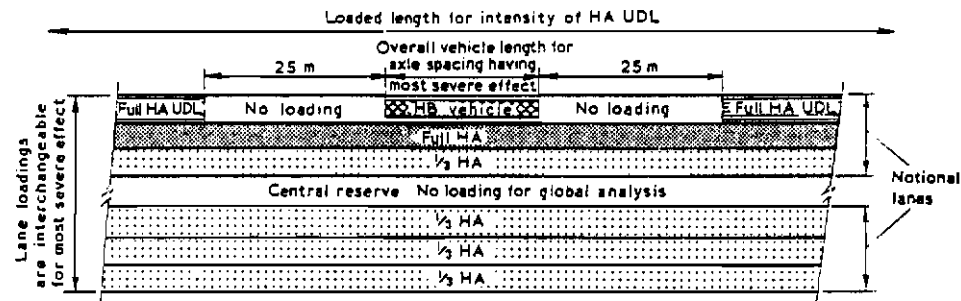
۳- بار HA همراه با کامیون HB.

### بار HA همراه با کامیون HB

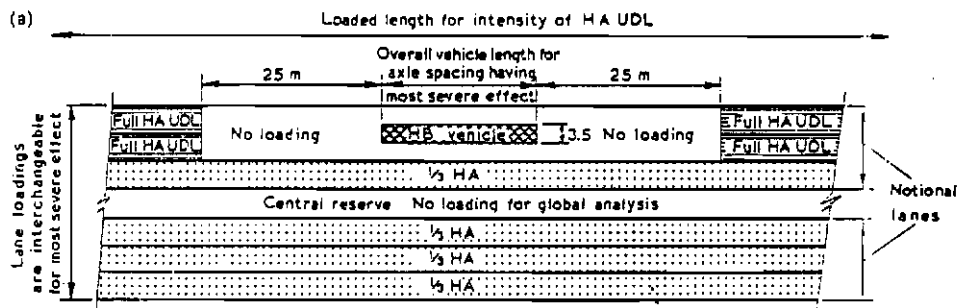
این نوع بارگذاری معمولاً برای عبورگاه‌های پهن مورد استفاده قرار می‌گیرد و حالات زیر را می‌توان در نظر گرفت.

الف - کامیون HB را در یک خط قرار داده بطوری که  $25$  متر جلو کامیون و  $25$  متر عقب کامیون در آن خط خالی از هرگونه بار باشد و بقیه طول آن خط با بار گستردۀ HA یعنی UDL تنها بدون بار لبه‌ای آن یعنی KEL بارگذاری شود. خط مجاور آن تماماً با HA کامل (UDL و KEL) و خطوط دیگر با  $\frac{1}{3}$  بارگذاری شود (شکل ۱۱-۳).

ب - کامیون HB در دو خط عبور قرار داده شود، جلو و عقب آن تا فاصله  $25$  متری خالی از بار و بقیه آن دو خط با بار گستردۀ (UDL) HA بارگذاری می‌شود. بقیه خطوط هریک با  $\frac{1}{3}$  بارگذاری شوند مطابق شکل (۱۲-۳).

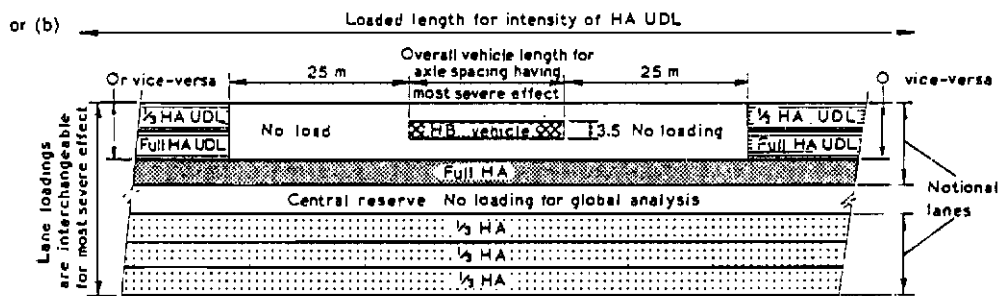


شکل (۱۱-۲)- نوع اول استفاده از HB و HA



شکل (۱۲-۲)- نوع دوم استفاده از HB و HA

ج - کامیون HB در دو خط عبور قرار داشته، جلو و عقب آن تا ۲۵ متری خالی از بار و بقیه آن دو خط یکی با  $\frac{1}{3}$  HA (UDL) و دیگری با تمام (UDL) HA بارگذاری شده، خط بعدی با تمام HA و بقیه خطوط با  $\frac{1}{3}$  HA بارگذاری می‌شوند مطابق شکل (۱۲-۳).



شکل (۱۲-۳)- نوع سوم استفاده از HB و HA

### ترکیب بارها

در این آئین نامه پنج ترکیب مختلف بارگذاری را باید در طرح پلهای جاده‌ای بکار برد . در صورت استفاده از روش تنشهای مجاز ضرایب بارها برابر واحد فرض می‌گردد و در غیر این صورت باید مطابق آئین نامه مربوطه ضرایب بار اعمال گردد . پنج ترکیب بارگذاری عبارتند از :

#### ترکیب ۱

این ترکیب شامل بارهای مرده، دائمی همراه با بار زنده، اصلی واردہ بر پل می‌شود .

#### ترکیب ۲

این ترکیب مشتمل است بر بارهای ترکیب ۱، بارهای باد و بارهای موقت حاصل از نصب سازه.

#### ترکیب ۳

شامل ترکیب ۱ همراه با بارهای حاصل از تغییرات درجه حرارت و نیز بارهای موقت نصب می‌باشد .

#### ترکیب ۴

شامل بارهای مرده، دائمی و بار زنده، ثانوی همراه با بار زنده، اصلی مربوطه است.

#### ترکیب ۵

شامل بارهای دائمی همراه با بارهای حاصل از اصطکاک ایجاد شده در سیستم تکیه - گاهی بیل می‌باشد .

## فصل چهارم

### بارهای متحرک و خطوط تأثیر

#### ۴ - ۱ مقدمه

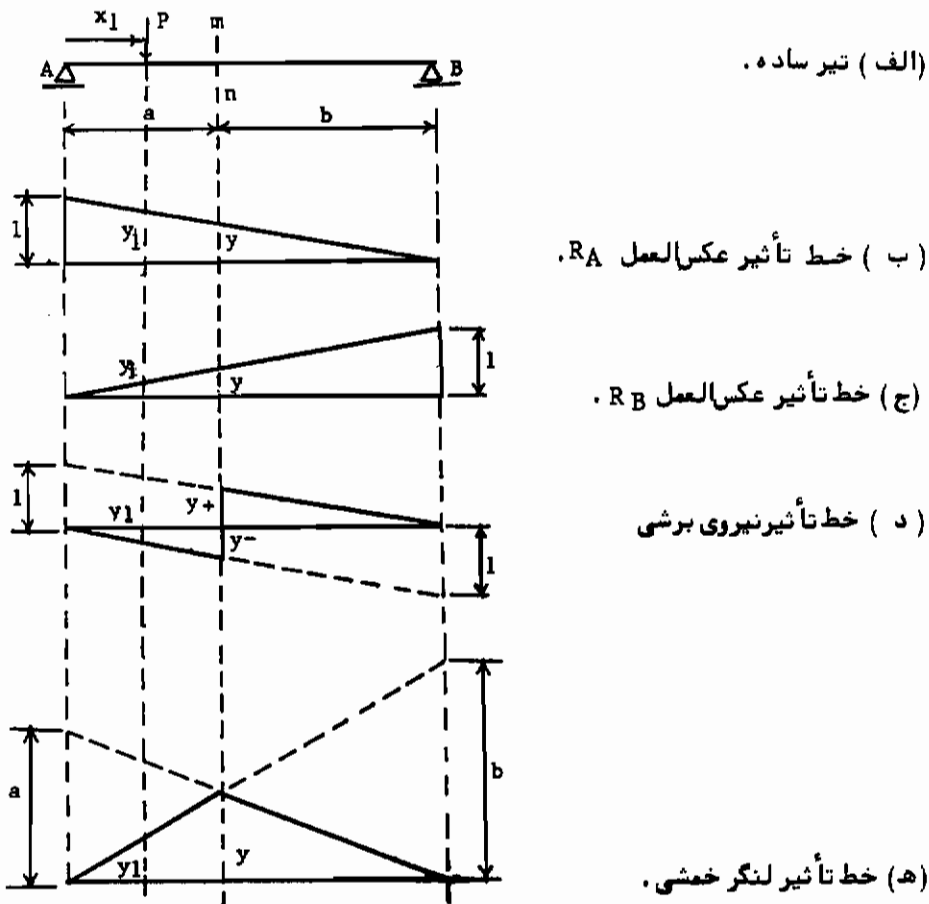
یک مسئله اصلی که معمولاً "یک مهندس پل با آن مواجه است تعیین موقعیت بارزنده بر روی عبورگاه پل برای ایجاد حداکثر لنگر خمی، نیروی برشی، عکس العمل، تغییر شکل و غیره در یک مقطع می‌باشد. این کار با استفاده از خطوط تأثیر انجام می‌گیرد.

اگر کامپیوونی بخواهد از روی پلی بهدهانه ساده AB از چپ به راست عبور کند، این کامپیون در حین عبور از روی پل نیروهای را به تمام موقعیتهای معکنه عبورگاه وارد می‌نماید. به عنوان مثال قبل از اینکه کامپیون وارد دهانه پل شود عکس العمل تکیه‌گاهی سمت چپ صفر خواهد بود، زمانی که کامپیون وارد دهانه پل می‌شود این عکس العمل مقدار حداکثری را خواهد داشت و همچنانکه کامپیون در دهانه پل از چپ به راست در حال پیشروی می‌باشد عکس العمل تکیه‌گاهی سمت چپ از مقدار حداکثر قبلی تا مقدار صفر کاهش می‌یابد. نیروهای داخلی تیز نیز با توجه به موقعیت کامپیون نسبت به تکیه‌گاهها در حال تغییراند.علاوه بر این اگر جاده ناصاف باشد یا انحنای افقی و یا قائم داشته باشد نیروهای دینامیکی نیز به سازه وارد می‌شود.

#### ۴ - ۲ رسم خط تأثیر یک تابع در دهانه ساده

بنا به تعریف خط تأثیر یک تابع مثل لنگر خمی، نیروی برشی، عکس العمل، تغییر شکل و غیره عبارتست از مکان هندسی مقدار آن تابع حاصل از حرکت یک بار متحرک واحد در طول سازه، لذا ارتفاع منحنی خط تأثیر در هر نقطه از طول تیزی عبارت است از مقدار آن تابع وقتی که بار واحد در آن نقطه قرار گیرد. بنابراین برای رسم خط تأثیر یک تابع باید نیروی موئر واحدی را در موقعیتهای مختلفی بر روی تیز قرار داده و برای هر موقعیت مقدار آن تابع را در مقطع مورد نظر تعیین نماییم و مقدار بدست آمده را بصورت مختصات

۷ محل تأثیر نیرو در روی نمودار محور تیز در نظر بگیریم و از وصل کردن نقاط به دست آمده خط تأثیر تابع مورد مطالعه را در مقطع مورد نظر بدست آوریم .  
خط تأثیر نیروهای عکس العمل تکمیل گاهی ، نیروی برشی و لنگر خمشی برای تیز ساده AB در مقطع دلخواهی مثل n m را می توان مطابق شکل (۱-۴) در نظر گرفت .



شکل (۱-۴) - رسم خط تأثیر توابع مختلف

#### ۴ - ۳ طرز کاربرد خطوط تأثیر

اگر در شکل (۱-۴) بار متغیر P در فاصله  $x_1$  از تکمه گاه سمت چپ قرار داشته باشد

## فصل چهارم - بارهای متغیر و خطوط تأثیر

۹۳

مقدار هریک از توابع رسم شده در مقطع  $m n$  برابر خواهند بود با حاصلضرب مقدار نیروی  $P$  در مقدار ارتفاع خط تأثیر در محل تأثیر بار  $y_1$  . به عنوان مثال اگر  $P=50\text{KN}$  و  $X_1=L/4$  فرض گردد در مقطع دلخواه  $m n$  "مثلاً" وسطدهانه تأثیر مقدار هریک از توابع رسم شده در بالا عبارتند از :

$$\begin{aligned} R_A : X_1 &= \frac{L}{4} \rightarrow y_1 = 0.75 \rightarrow R_A = Py_1 = 50 \times 0.75 = 37.5 \text{ KN} \\ R_B : X_1 &= \frac{L}{4} \rightarrow y_1 = 0.25 \rightarrow R_B = Py_1 = 50 \times 0.25 = 12.5 \text{ KN} \\ V : X_1 &= \frac{L}{4} \rightarrow y_1 = -0.25 \rightarrow V = Py_1 = 50 \times (-0.25) = -12.5 \text{ KN} \\ M : X_1 &= \frac{L}{4} \rightarrow y_1 = 0.125 L \rightarrow M = Py_1 = 50 \times 0.125L = 6.25L \text{ KN.m} \end{aligned}$$

در روابط بالا  $R_A$  عکس العمل در تکیه‌گاه A ،  $R_B$  عکس العمل در تکیه‌گاه B ،  $V$  نیروی برشی و  $M$  لنگر خمشی در مقطع  $m n$  می‌باشد . برای عمارت لنگر واحد  $L$  متر انتخاب شد . برای بدست آوردن حداکثر مقدار تابعی در مقطع مورد نظر در اثریک بار متغیر  $P$  باید بار  $P$  را در محلی قرار داد که ارتفاع خط تأثیر آن تابع  $y_1$  در آن محل حداکثر باشد . در شکل (۱-۴) حداکثر نیروی عکس العمل تکیه‌گاهی سمت چپ در صورتی بدست می‌آید که بار در نقطه A قرار داده شود . حداکثر نیروی عکس العمل تکیه‌گاه B زمانی حاصل می‌شود که نیروی متغیر در نقطه B قرار گیرد . حداکثر نیروی برشی مثبت زمانی است که بار در تکیه‌گاه A قرار گیرد و نیز نیروی برشی حداکثر برش مثبت وقتی حاصل می‌شود که بار در نقطه B قرار داشته باشد اما در مقطع  $m n$  حداکثر برش مثبت وقتی اتفاق می‌افتد که بار متغیر جزئی بسمت راست قرار داده شود و حداکثر برش منفی در همین مقطع برای بار P جزئی بسمت چپ  $m n$  می‌باشد و بالاخره حداکثر لنگر خمشی در مقطع  $m n$  وقتی اتفاق می‌افتد که بار متغیر در مقطع  $m n$  قرار داده شود .

اگر بار گستردگی داشت  $w$  بروی قسمتی از سازه وارد گردد ، اثر آنرا با استفاده از ارتفاعات خط تأثیر در مقطع مورد نظر می‌توان حساب کرد . شکل (۲-۴) قسمتی از خط تأثیر تابعی را نشان می‌دهد . اگر بار متغیر جزئی  $dx$  .  $w$  را در ارتفاع خط تأثیر تابع در آن نقطه ضرب کنیم مقدار تابع در مقطع مورد مطالعه حاصل می‌گردد . فرض شود F تابع مورد نظر باشد در اینصورت خواهیم داشت .

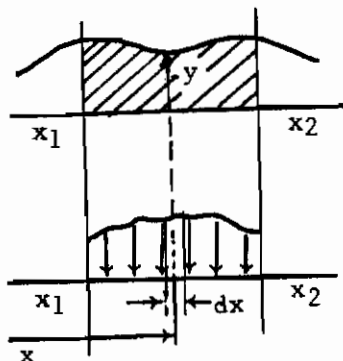
$$dF = y \cdot w \cdot dx \longrightarrow F = \int_{x_1}^{x_2} dF = \int_{x_1}^{x_2} y \cdot w \cdot dx$$

که در رابطه بالا فرض می‌گردد بار بین  $x_1$  و  $x_2$  قرار داشته باشد و اگر بار گستردگی شد  
ثابت اعمال گردد.

$$F = \omega \int_{x_1}^{x_2} y \cdot dx = \omega \times (x_2 - x_1)$$

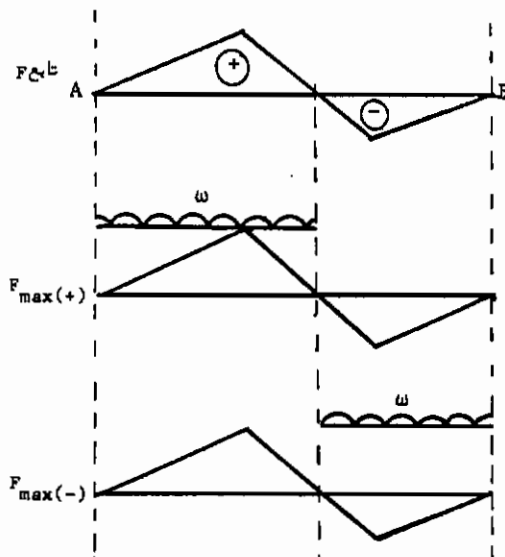
( مساحت زیر منحنی خط تأثیر تابع بین  $x_2, x_1$  )

اگر مقدار حداکثر مثبت و یا منفی یک تابع در مقطع مورد نظر در اثر بار گستردگی  
پکتواخت با طول متغیر لازم باشد باید بار مربوطه را به ترتیب در محلهای مثبت و  
منفی ترسیمه خط تأثیر قرارداد یعنی برای محاسبه حداکثر مثبت تابعی باید بار  
گستردگی را در تمام قسمتهای مثبت ترسیمه خط تأثیر قرار داد و برای حداکثر منفی  
تابعی باید بار گستردگی را در تمام طولهایی که ترسیمه خط تأثیر منفی می‌باشد قرار  
داده شود. مثلاً "اگر خط تأثیر تابعی همانند شکل (۳-۴) باشد برای تعیین حداکثر  
مثبت و منفی تابع باید تیر مربوطه مطابق شکل بارگذاری شود .



شکل (۲-۴)

خط تأثیر برای بار گستردگی



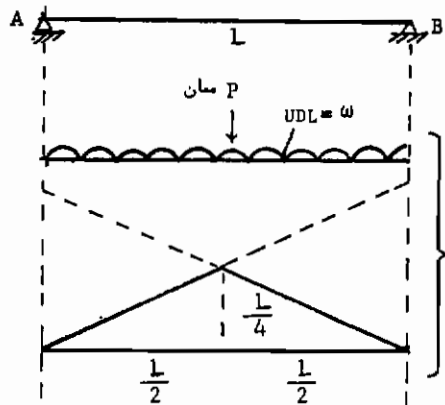
شکل (۴-۳)- نحوه بارگذاری بار زنده

مثال:

مطلوب است محاسبه لنجر خمشی حداکثر و نیروی برشی حداکثر در عبور گاهی بدنه  
در اثر بار خطی معادل .

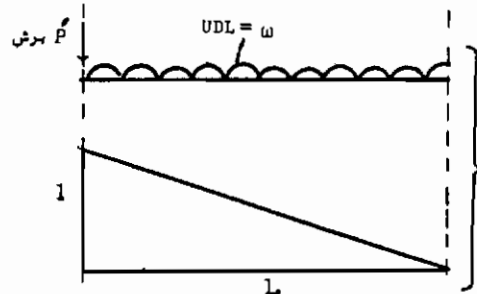
حل: با توجه به شکل (۴-۴) خواهیم داشت:

$$\begin{aligned} M_{\max.} &= w \left( \frac{1}{2} \times \frac{1}{4} \times L \right) + P \left( \frac{1}{4} \right) \\ &= 0.125 w L^2 + 0.25 P L \end{aligned}$$



(الف) خط تأثیر لنگر در وسط دهانه و نحوه بارگذاری.

$$\begin{aligned} V_{\max.} &= w \left( \frac{1}{2} \times 1 \times L \right) + P'(1) \\ &= 0.5 w L + P' \end{aligned}$$



(ب) خط تأثیر برش در تکیدگاه A و نحوه بارگذاری

شکل (۴-۴)

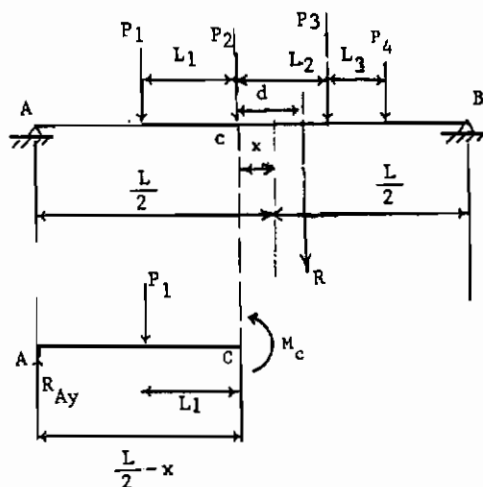
#### ۴ - حداقل مطلق لنگر خمشی در دهانه ساده

در دهانه ساده برای یک بار متغیر لنگر خمشی زمانی ماکزیمم مطلق خواهد بود که بار متغیر در وسط دهانه قرار گیرد. مقدار این حداقل نیز در مقطع وسط دهانه می‌باشد. همچنین برای بارگسترهای پکنواخت لنگر خمشی در وسط دهانه زمانی حداقل خواهد بود که تمام دهانه با بارگسترهای پوشیده شود.

اگر تعدادی بار متغیر متحرک به تیری با دهانه ساده وارد شوند لنگر خمشی ایجاد شده شامل تعدادی خطوط مستقیم با شیب متفاوت بوده که در نقاط تأثیر نیروهای متغیر متقطع می‌باشند. لذا نتیجه می‌شود که لنگر خمشی حداقل در نقطه اشر پکی از نیروهای

متمرکز ایجاد می‌شود . برای پیدا کردن محل اثر نیروی که لنگر خمشی در آن نقطه مدادکثر باشد باید از روش آزمون و خط استفاده کرد اما موقعیت بارهای متمرکز در روی تیر را جهت ایجاد لنگر خمشی حداقل مطلق می‌توان مطابق زیر تعیین کرد .

در شکل (۵-۴) تعداد چهار بار متمرکز به تیر ساده AB وارد می‌شوند . در صورتی که لنگر خمشی حداقل در نقطه C محل اثر بار  $P_2$  فرض کردد و فاصله  $P_2$  از وسط تیر را  $x$  و فاصله  $P_2$  از محل برآیند چهار بار را d فرض کنیم خواهیم داشت .



شکل (۵-۴)

$$\sum M_B = 0 \longrightarrow R_{Ay} = \frac{R(\frac{L}{2} - (d-x))}{L}$$

$$R_{Ay} = \frac{R}{L}(\frac{L}{2} + x - d)$$

$$M_c = R_{Ay} (\frac{L}{2} - x) - P_1 (L_1)$$

$$= \frac{R}{L}(\frac{L}{2} + x - d)(\frac{L}{2} - x) - P_1 L_1$$

$$= \frac{R}{L}(\frac{L^2}{4} - \frac{L}{2}x + \frac{L}{2}x - \frac{x^2}{2}L + dx) - (P_1 L_1)$$

$$M_c = \frac{R}{L}(-x^2 + dx + \frac{L^2}{4} - \frac{L}{2}d) - P_1 L_1$$

$$\frac{dM_c}{dx} = 0 \rightarrow \frac{R}{L} (-2x + d) = 0$$

شرط حد اکثر  $M_c$  :

$$x = \frac{d}{2}$$

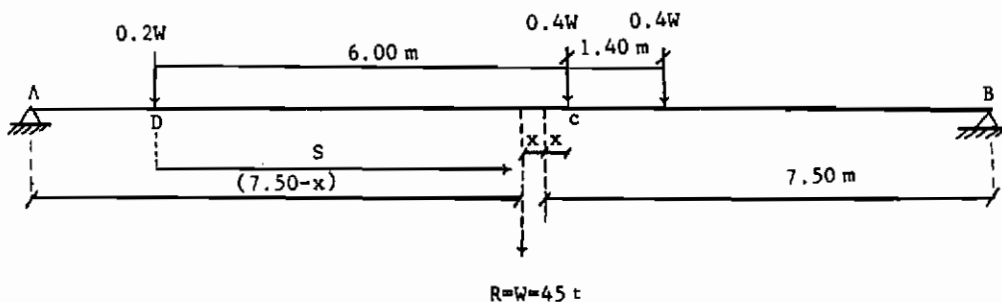
پس

بنابراین می‌توان نتیجه‌گرفت که حد اکثر لنگر در نقطه اثر یکی از سری نیروهای متغیرکرزا مؤثر بر یک تیر ساده، هنگامی رخ می‌دهد که مرکز تیر کاملاً "در وسط نیروی متغیرکر" مورد نظر و منتجه نیروهای مؤثر بر تیر قرار گیرد.

مثال:

مطلوبست محاسبه حد اکثر مطلق لنگر خمشی واردہ به عبورگاهی به دهانه ساده ۱۵/۰۰ متر در اثر اعمال باریک کامیون ۴۵ تنی ایران.

حل:



شکل (۴ - ۶) الف

با توجه به شکل (۴ - ۶ الف) - خواهیم داشت:

$$\vec{M}_D = \sum \vec{M}_{D\text{ها}} \quad \text{برآیند}$$

$$(S)(W) = (6)(0.4W) + (1.40)(0.4W)$$

$$S = 0.4 \times 13.40 = 5.36 \text{ m}$$

$$= 6.00 - 2x = 5.36$$

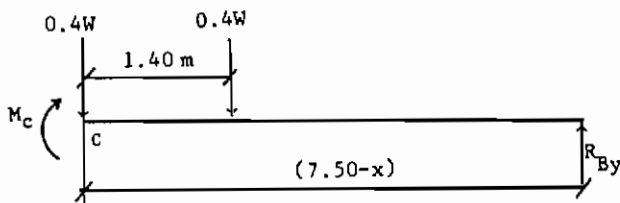
$$2x = 0.64 \text{ m} \rightarrow x = 0.32 \text{ m}$$

اما

لنگر ماکزیمم مطلق زیر محور میانی یعنی نقطه C خواهد بود که با برش زدن در مقطع C بدست می‌آید (شکل ۴-۶ ب).

محاسبه عکس العمل در B :

$$\sum M_A = 0 \rightarrow R_{By} = \frac{W(7.5-x)}{15}$$



شکل (۴-۶) ب

$$M_{max.} = M_c = (R_{By})(7.5-x) - (0.4 W)(1.40)$$

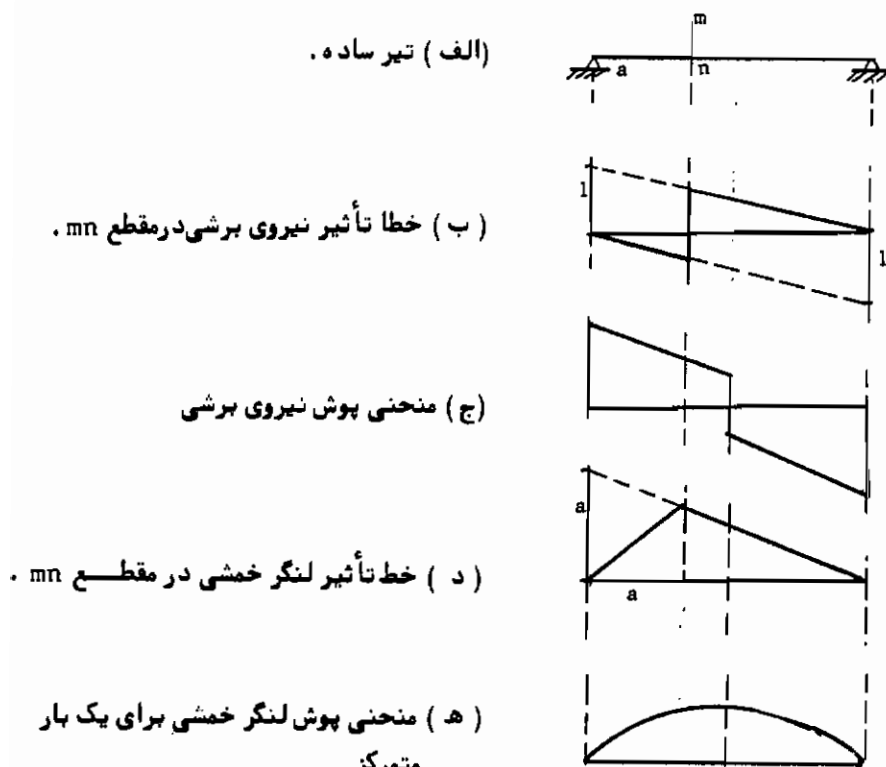
$$= \frac{W(7.5-x)^2}{15} - 0.56 W = \left[ \frac{(7.5-0.32)^2}{15} - 0.56 \right] W$$

$$M_{max.} = 2.8768 W = 129.457 = 1269.975 \text{ KN}$$

#### ۴-۵ منحنی پوش در دهانه ساده

اطلاعاتی را که یک خط تأثیر در رابطه با یک با چندبار متحرک بما می‌دهد در رابطه با یک مقطع خاص که خط تأثیر آن رسم شده است می‌باشد. بنابراین با استفاده از تنها یک خط تأثیر نمی‌توان اثرات ماکزیمم در تیر را بدست آورد مگر آنکه موقعیت‌های بحرانی در تیر قبلاً تعیین شده باشند، اما با رسم تعدادی خط تأثیر برای چند نقطه از طول تیر و انتخاب ماکزیمم‌ها برای آن مقطع می‌توان یک منحنی پوش از ماکزیمم‌ها را بدست آورد، برای تعیین مشخصات سطح مقطع یک عضو تحت اثر بار متحرک معمولاً از این ترسیمه‌ها استفاده می‌شود.

شکل (۷-۴) منحنی پوش نیروی برشی و منحنی پوش لنگر خمشی را برای تیر ساده AB در اثر یک بار متغیر متحرک نشان می‌دهد. از این دو منحنی می‌توان نتیجه گرفت که اثرات ماکزیمم در چه موقعیت از بار بر روی تیر ایجاد می‌گردد. برای برش حد اکثر بار در تکیه‌گاهها و برای لنگر حد اکثر بار در وسط دهانه تیر باید قرار داده شود. پوش لنگر



شکل (۴ - ۲)

خمشی برای تیری با دهانه ساده در اثر یک بار متغیر یک منحنی درجه دو کامل می‌باشد ولی برای چندبار متغیر متحرك این منحنی درنواحی وسط تیر سهمی نبوده و حداکثر لنگر نیز در نزدیکی وسط دهانه اتفاق می‌افتد . اما برای کارهای عملی می‌توان این منحنی را نیز سهمی کامل فرض کرده و لنگر خمشی حداکثر را در وسط دهانه در نظر گرفت . بدین ترتیب با استفاده از روش محاسبه لنگر خمشی حداکثر مطلق می‌توان ابتدا  $M_{max}$  را حساب کرد و سپس با استفاده از معادله منحنی پوش مقدار لنگر حداکثر در هر نقطه از طول تیر را تعیین کرد .

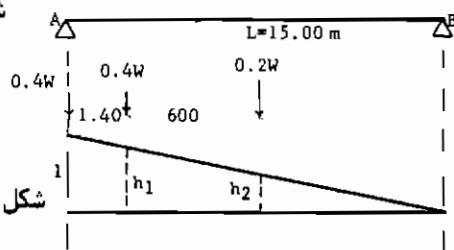
**مثال:**

منحنی پوش نیروی برشی و لنگر خمشی مثال بخش ۴-۴ (قبلی) را بدست آورده و مقادیر آنها را در فواصل  $\frac{1}{3}$  طول دهانه بر حسب  $W$  (وزن کل کامیون) تعیین نمایید .

حل:

(الف) پوش نیروی برشی: ابتدا خط تأثیر در مقاطع  $A$  ،  $\frac{L}{4}$  و  $\frac{L}{2}$  رسم شده و مقادیر نیروی برشی حساب می‌گردد.

شکل (۸-۴) الف - تیر ساده

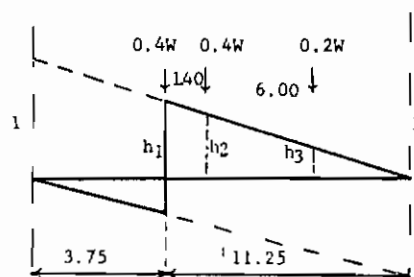


شکل (۸-۴) ب - خط تأثیر برش در تکیه‌گاه A

$$v_{+A} = 0.4 W (1) + 0.4 W (h_1) + 0.2 W (h_2)$$

$$= 0.4 W (1) + 0.4 W \left( \frac{13.60}{15.00} \right) + 0.2 W \left( \frac{7.60}{15.00} \right)$$

$$= 0.864 W$$

شکل (۸-۴) ج - خط تأثیر برش در  $\frac{L}{4}$ 

$$v_{+ \frac{L}{4}} = 0.4 W (h_1) + 0.4 W (h_2) + 0.2 W (h_3)$$

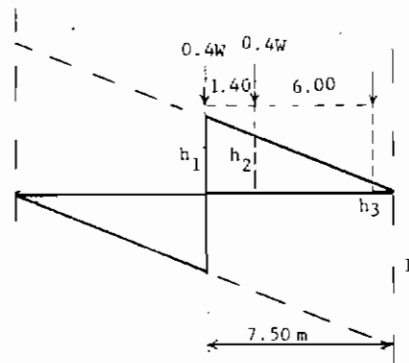
$$= 0.4 W \left( \frac{11.25}{15} \right) + 0.4 W \left( \frac{9.85}{15} \right) + 0.2 W \left( \frac{3.85}{15} \right)$$

$$= 0.614 W$$

## فصل چهارم - بارهای متغیر و خطوط تأثیر

۱۰۱

شکل (۸-۴) د - خط تأثیر برش در  $\frac{L}{2}$

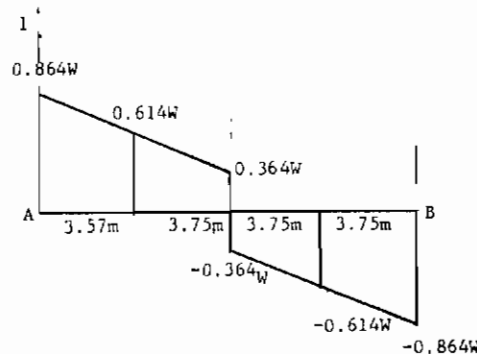


$$V + \frac{L}{2} = 0.4W(h_1) + 0.4W(h_2) + 0.2W(h_3)$$

$$= 0.4W(0.5) + 0.4W\left(\frac{6.10}{15.00}\right) + 0.2W\left(\frac{0.10}{15.00}\right)$$

$$= 0.364W$$

شکل (۸-۴) ه - منحنی پوش برش



با استفاده از تقارن داریم :

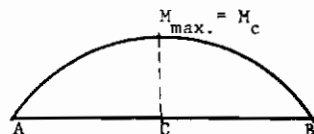
$$V_{-B} = -0.864W$$

$$\frac{V}{-\frac{3L}{4}} = -0.614W$$

$$V_{-\frac{L}{2}} = -0.364W$$

( ب ) پوش لنگر خمی

چون معادله پوش برای چند بار متغیر، سهی می فرض می گردد ، مقدار لنگر خمی حداقل مطلق در سطح دهنده واقع است معادله آن را می توان بصورت زیرنوشت (شکل ۸-۴) داشت .



شکل (۸-۴) ی - منحنی پوش لنگر خمی.

$$\begin{array}{|l} x = 0 \\ M = 0 \end{array} \longrightarrow c = 0$$

$$\begin{array}{|l} x = L \\ M = 0 \end{array} \longrightarrow 0 = aL^2 + bL \longrightarrow aL + b = 0 \longrightarrow b = -aL$$

$$\begin{array}{|l} x \approx \frac{L}{2} \\ M = M_c \end{array} \longrightarrow M_c = a \frac{L^2}{4} + b \frac{L}{2} = a \frac{L^2}{4} - a \frac{L^2}{2} = a \left( \frac{L^2}{4} - \frac{L^2}{2} \right)$$

$$a \left( -\frac{L^2}{4} \right) = M_c \longrightarrow a = -\frac{4M_c}{L^2} \longrightarrow b = \frac{4M_c}{L}$$

پس معادله پوش لنگر بصورت کلی زیر در می‌آید.

$$M_{\max.} = \left( -\frac{4M_c}{L^2} \right) x^2 + \left( \frac{4M_c}{L} \right) x$$

اما  $M_c = 2.8768W$ ,  $L = 15$  اما از مثال بخش ۴-۴ محاسبه گردید پس :

$$M_{\max} = -(0.0511 W)x^2 + (0.7671 W)x$$

$$\begin{array}{|l} x = \frac{L}{4} = 3.75 \text{ m} \\ M_{\max} = 2.1580W \end{array}$$

$$\begin{array}{|l} x = \frac{3L}{4} \\ M_{\max} = 2.1580 W \end{array}$$

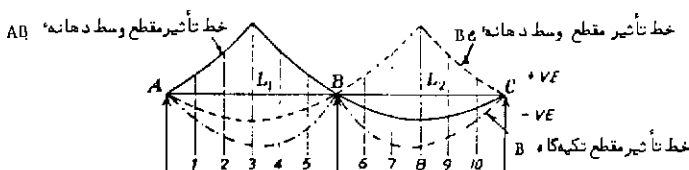
#### ۴ - خطوط تأثیر آماده برای دهانه‌های یکسره

خطوط تأثیر برای دهانه‌های ممتد را می‌توان با روش‌های تحلیلی مختلف از جمله روش بار واحد، روش پخش ممان و نیز با استفاده از اصل مولر بر سلا و تعیین کرد. خطوط تأثیر استاندارد آماده برای تیرهای یکسره با معان اینترسی ثابت نیز وجود داشته که از آنها می‌توان مستقیماً استفاده کرد.

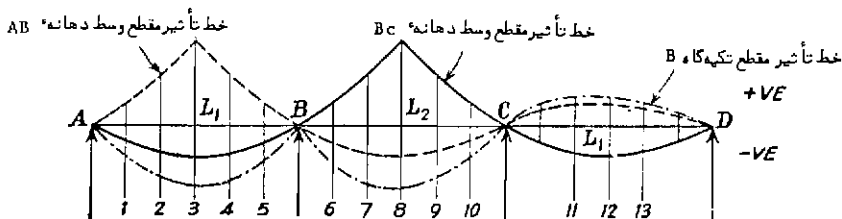
خطوط تأثیر برای لنگر خمشی در تکیه‌گاه و داخل دهانه برای تیرهای یکسره شامل دو سه و چهاردهانه با نسبت دهانه‌های متفاوت در اشکال (۹-۶) (الی ۱۲-۴) و جداول (۱-۴) (الی ۴-۴) نشان داده شده‌اند. مختصات قائم نقاط میانی را که در جداول نیامده است می‌توان با تناسب خطی تعیین کرد. در استفاده از خطوط تأثیر آماده باید توجه شود که ارتفاع این خطوط تأثیر بدون بعد می‌باشد و اگر  $S$  مساحت زیر منحنی خط تأثیر برش یا لنگر را بدون بعد حساب کنیم در این صورت خواهیم داشت:

$$V = \omega \cdot sL + P.y$$

$$M = \omega \cdot s \cdot L^2 + P.y \cdot L$$



شکل (۴ - ۹) - دو دهانه



شکل (۴ - ۱۰) - سه دهانه

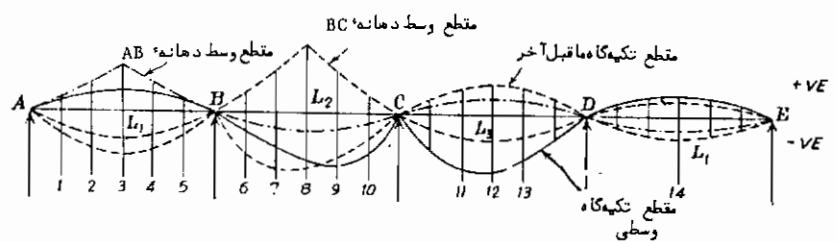
## مباحث بنیادی پلهای بتی

نسبت دهانهها $L_1 : L_2$		ارتفاع های خطأ شیر در مقاطع									
		1	2	3	4	5	6	7	8	9	10
طبقه دهانه AB	1 : 1	0.063	0.130	0.203	0.121	0.052	0.032	0.046	0.047	0.037	0.020
	1 : 1½	0.067	0.137	0.213	0.130	0.058	0.058	0.083	0.084	0.067	0.037
	1 : 2	0.070	0.142	0.219	0.136	0.062	0.085	0.124	0.125	0.099	0.054
طبقه دهانه B	1 : 1	0.041	0.074	0.094	0.093	0.064	0.064	0.093	0.094	0.074	0.041
	1 : 1½	0.032	0.059	0.075	0.074	0.051	0.115	0.167	0.169	0.133	0.073
	1 : 2	0.027	0.049	0.063	0.062	0.042	0.170	0.247	0.250	0.198	0.108
طبقه دهانه BC	1 : 1	0.020	0.037	0.047	0.046	0.032	0.052	0.121	0.203	0.130	0.063
	1 : 1½	0.016	0.030	0.038	0.037	0.025	0.067	0.167	0.291	0.163	0.058
	1 : 2	0.014	0.025	0.031	0.031	0.021	0.082	0.210	0.375	0.235	0.113

جدول ( ۱-۴ ) - مربوط به شکل ( ۹-۴ )

نسبت دهانهها $L_1 : L_2 : L_3$		ارتفاع های خطأ شیر در مقاطع											
		1	2	3	4	5	6	7	8	9	10	11	12
طبقه دهانه AB	1 : 1 : 1	0.062	0.127	0.200	0.117	0.050	0.029	0.040	0.038	0.027	0.013	0.012	0.010
	1 : 1½ : 1	0.066	0.134	0.209	0.126	0.056	0.051	0.070	0.065	0.046	0.021	0.012	0.010
	1 : 2 : 1	0.068	0.139	0.215	0.132	0.060	0.075	0.102	0.084	0.065	0.029	0.012	0.009
طبقه دهانه B	1 : 1 : 1	0.043	0.079	0.100	0.099	0.068	0.057	0.079	0.075	0.054	0.026	0.025	0.020
	1 : 1½ : 1	0.036	0.065	0.082	0.081	0.056	0.102	0.139	0.136	0.092	0.042	0.024	0.023
	1 : 2 : 1	0.030	0.056	0.070	0.069	0.048	0.151	0.204	0.188	0.129	0.058	0.023	0.023
طبقه دهانه BC	1 : 1 : 1	0.016	0.030	0.058	0.037	0.025	0.042	0.100	0.175	0.100	0.042	0.037	0.030
	1 : 1½ : 1	0.013	0.023	0.029	0.028	0.020	0.053	0.135	0.245	0.135	0.053	0.028	0.023
	1 : 2 : 1	0.010	0.019	0.023	0.023	0.016	0.063	0.167	0.313	0.167	0.063	0.023	0.019

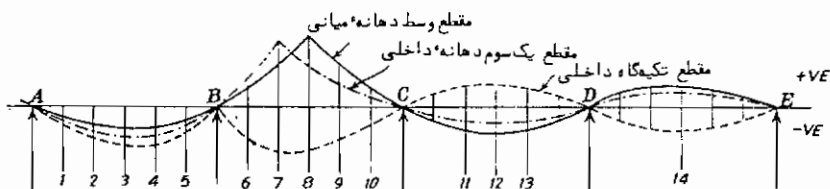
جدول ( ۲-۴ ) - مربوط به شکل ( ۱۰-۴ )



شکل (۱۱-۴) - چهار دهانه

		ارتفاع های خط تأثیر در مقاطع													
نیزهای دهانه ها		۱	۲	۳	۴	۵	۶	۷	۸	۹	۱۰	۱۱	۱۲	۱۳	۱۴
مقطع وسط AB-BC	$L_1, L_2, L_3, L_4$	۰·۰۶۲	۰·۱۲۷	۰·۲۰۰	۰·۱۱۷	۰·۰۴۹	۰·۰۲۶	۰·۰۳۹	۰·۰۳۷	۰·۰۲۷	۰·۰۱۳	۰·۰۱۱	۰·۰۱۰	۰·۰۰۷	۰·۰۰۳
	$1 : 1\frac{1}{2} : 1\frac{1}{2} : 1$	۰·۰۶۶	۰·۱۳۵	۰·۲۰۹	۰·۱۳۶	۰·۰۵۶	۰·۰۵۲	۰·۰۷۴	۰·۰۶۷	۰·۰۴۸	۰·۰۳	۰·۰۱۰	۰·۰۱۷	۰·۰۱۲	۰·۰۰۳
	$1 : 2 : 2 : 1$	۰·۰۶۳	۰·۱۴۰	۰·۲۱۶	۰·۱۳۳	۰·۰۶۰	۰·۰۷۷	۰·۱۰۶	۰·۱۰۰	۰·۰۷۲	۰·۰۳۴	۰·۰۲۷	۰·۰۲۵	۰·۰۱۷	۰·۰۰۳
مقطع تکیه گاه D	$1 : 1 : 1$	۰·۰۴۳	۰·۰۷۹	۰·۱۰۰	۰·۰۹۹	۰·۰۶۸	۰·۰۵۷	۰·۰۷۸	۰·۰۷۴	۰·۰۵۳	۰·۰۲۵	۰·۰۲۱	۰·۰۲۰	۰·۰۱۵	۰·۰۰۷
	$1 : 1\frac{1}{2} : 1\frac{1}{2} : 1$	۰·۰۳۵	۰·۰۶۵	۰·۰۸۲	۰·۰۸۱	۰·۰۵۵	۰·۱۰۳	۰·۱۴۲	۰·۱۳۴	۰·۰۹۶	۰·۰۴۶	۰·۰۳۷	۰·۰۳۵	۰·۰۲۳	۰·۰۰۷
	$1 : 2 : 2 : 1$	۰·۰۳۰	۰·۰۵۴	۰·۰۶۹	۰·۰۶۸	۰·۰۴۷	۰·۱۵۵	۰·۲۱۳	۰·۲۰۰	۰·۱۴۳	۰·۰۶۸	۰·۰۵۵	۰·۰۵۰	۰·۰۳۵	۰·۰۰۶
مقطع وسط BC	$1 : 1 : 1 : 1$	۰·۰۱۰	۰·۰۲۰	۰·۰۳۷	۰·۰۳۰	۰·۱۲۵	۰·۰۴۱	۰·۰۰۰	۰·۱۷۳	۰·۰۹۸	۰·۰۴۰	۰·۰۳۸	۰·۰۳۰	۰·۰۲۲	۰·۰۱۰
	$1 : 1\frac{1}{2} : 1\frac{1}{2} : 1$	۰·۰۱۳	۰·۰۲۴	۰·۰۳۰	۰·۰۲۹	۰·۰۲۰	۰·۰۵۴	۰·۱۳۸	۰·۲۵۰	۰·۱۴۰	۰·۰۵۷	۰·۰۴۳	۰·۰۴۱	۰·۰۲۹	۰·۰۰۷
	$1 : 2 : 2 : 1$	۰·۰۱۱	۰·۰۲۰	۰·۰۲۳	۰·۰۲۵	۰·۰۱۷	۰·۰۶۶	۰·۱۷۵	۰·۳۲۵	۰·۱۸۰	۰·۰۷۳	۰·۰۵۴	۰·۰۵۰	۰·۰۳۵	۰·۰۰۶
مقطع تکیه گاه C	$1 : 1 : 1 : 1$	۰·۰۱۲	۰·۰۲۱	۰·۰۲۷	۰·۰۲۷	۰·۰۱۸	۰·۰۲۸	۰·۰۵۸	۰·۰۹۰	۰·۰۸۵	۰·۰۶۱	۰·۰۵۵	۰·۰۵۰	۰·۰۵۸	۰·۰۲۶
	$1 : 1\frac{1}{2} : 1\frac{1}{2} : 1$	۰·۰۱۰	۰·۰۱۷	۰·۰۲۲	۰·۰۲۲	۰·۰۱۵	۰·۰۳۸	۰·۰۸۲	۰·۱۱۶	۰·۱۲۴	۰·۰۹۱	۰·۱۲۴	۰·۱۱۶	۰·۰۸۲	۰·۰۲۲
	$1 : 2 : 2 : 1$	۰·۰۰۸	۰·۰۱۵	۰·۰۱۰	۰·۰۱۹	۰·۰۱۳	۰·۰۱۶	۰·۱۰۴	۰·۱۵۰	۰·۱۶۳	۰·۱۲۱	۰·۱۶۳	۰·۱۵۰	۰·۱۰۴	۰·۰۱۹

جدول (۳-۴) - مربوط به شکل (۱۱-۴)



شکل (۴-۱۲) - پنج یا بیشتر دهانه تقریباً مساوی

قطعه	ارتفاع‌های خط تأثیر													
	۱	۲	۳	۴	۵	۶	۷	۸	۹	۱۰	۱۱	۱۲	۱۳	۱۴
وسط دهانه میانی	۰.۰۱۰	۰.۰۲۱	۰.۰۲۹	۰.۰۳۱	۰.۰۲۲	۰.۰۳۹	۰.۰۹۶	۰.۱۷۱	۰.۰۹۶	۰.۰۳۹	۰.۰۳۱	۰.۰۲۹	۰.۰۲۱	۰.۰۰۸
پنجم دهانه میانی	۰.۰۱۶	۰.۰۳۳	۰.۰۴۶	۰.۰۴۹	۰.۰۳۵	۰.۰۶۲	۰.۱۴۷	۰.۰۸۷	۰.۰۴۵	۰.۰۱۷	۰.۰۱۳	۰.۰۱۲	۰.۰۰۹	۰.۰۰۳
تکیه‌گاه داخلی	۰.۰۲۷	۰.۰۵۷	۰.۰۷۹	۰.۰۸۴	۰.۰۶۱	۰.۰۶۱	۰.۰۵۴	۰.۰۷۹	۰.۰۵۷	۰.۰۲۷	۰.۰۲۳	۰.۰۲۱	۰.۰۱۵	۰.۰۰۶
وسط دهانه کاری														
تکیه‌گاه ماقبل آخر														

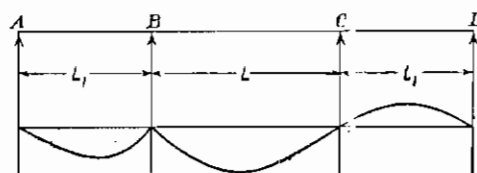
ضرایب داده شده برای چهاردهانه مساوی را با تقریب خوب می‌توان بکاربرد.

جدول (۴-۴) - مربوط به شکل (۱۲-۴)

در صورت معلوم بودن خط تأثیر لنگر خمی در تکیه‌گاه، خط تأثیر عکس العملها را می‌توان مطابق زیر تعیین کرد. تیر ممتد نشان داده شده در شکل (۱۲-۴) را در نظر ممی‌گیریم. زمانی که بار واحد در دهانه BC یا CD قرار گیرد عکس العمل در تکیه‌گاه A توسط رابطه زیر بدست می‌آید.

$$R_A = \frac{M_B}{L_1}$$

که در آن  $M_B$  لنگر خمی در تکیه‌گاه B می‌باشد. بنابراین خط تأثیر برای  $R_A$  برای موقعیت بار هرجا بین B و D از تقسیم خط تأثیر  $M_B$  بر  $L_1$  بدست می‌آید.



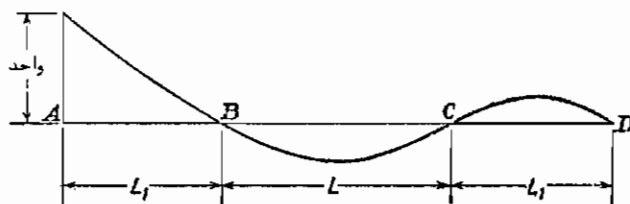
شکل (۱۳-۴)

زمانی که بار واحد در دهانه AB قرار گیرد، مثلاً در فاصله  $x$  از A برابر است

با :

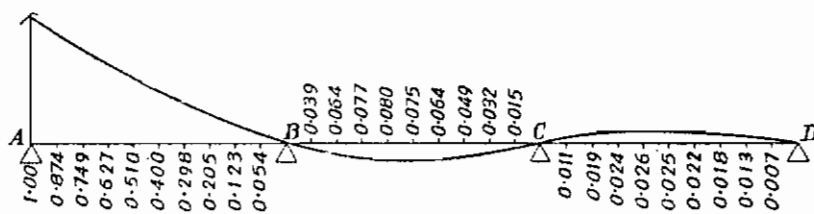
$$R_A = \frac{(L_1 - x)}{L_1} + \frac{M_B}{L_1}$$

و خط تأثیر برای  $R_A$  با استفاده از مجموع جبری خط تأثیر  $\frac{L_1-x}{L_1}$  و خط تأثیر  $\frac{M_B}{L_1}$  حاصل می‌گردد. این خط تأثیر در شکل (۱۴-۴) نشان داده شده است.

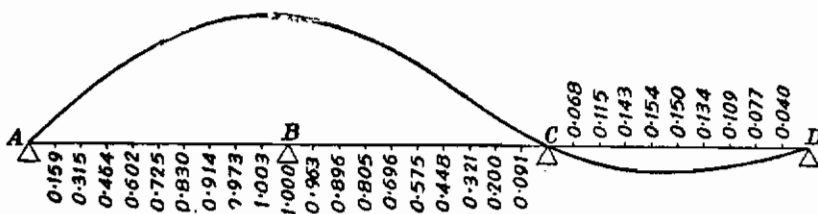


شکل (۱۴-۴)

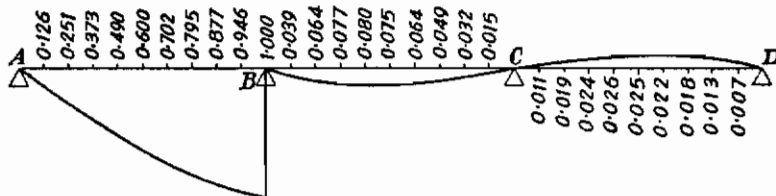
خطوط تأثیر برای  $R_C$ ،  $R_B$  و  $R_D$  را بطور مشابه می‌توان رسم کرد. با مشخص بودن این خطوط تأثیر، خط تأثیر برای نیروی برشی در هر مقطع را می‌توان بدست آورد. در اشکال (۱۵-۴) الی (۲۷-۴) خطوط تأثیر نیروی برشی و لنگر خمی در مقاطع مختلف تیر پیکره با سه دهانه مساوی بطول هریک L متر رسم شده‌اند. برای پیدا کردن لنگر خمی در اثر اعمال بار مرکزی P به این تیر باید ارتفاع خط تأثیر مربوطه در PL ضرب گردد.



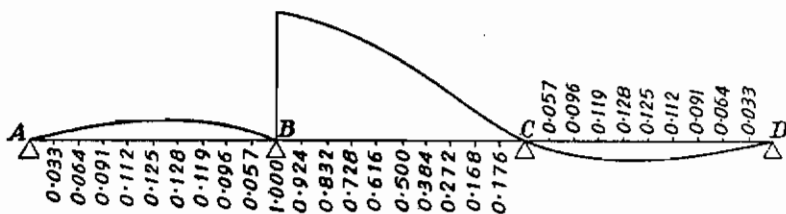
شکل (۱۵-۴) - خط تأثیر عکس العمل در A و نیروی برشی در

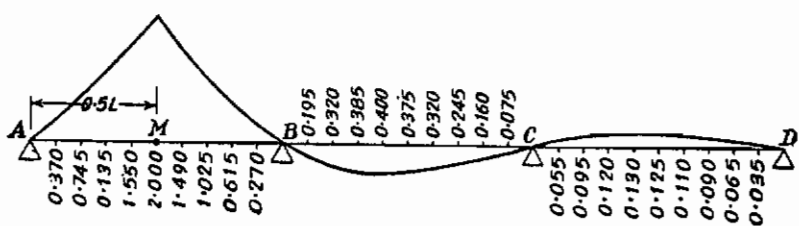


شکل (۴ - ۱۶) - خط تأثیر عکس العمل در B

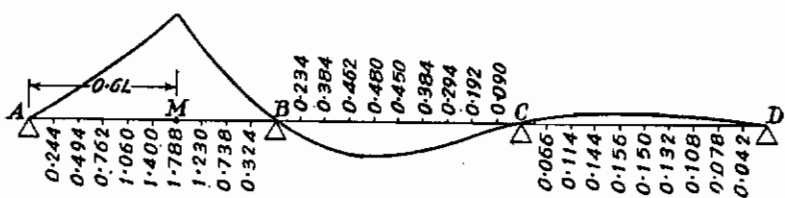


شکل (۴ - ۱۷) - خط تأثیر نیروی برشی در تکیه گاه B (سمت چپ مقطع)

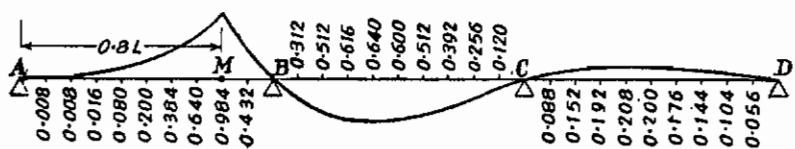




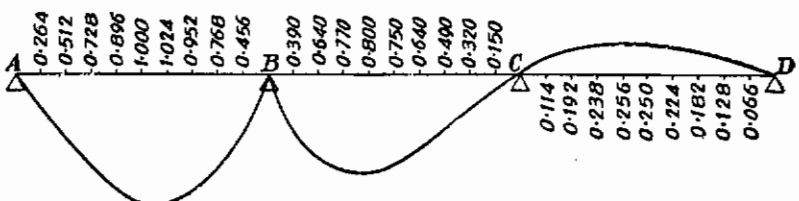
شکل (۴ - ۲۱) - خط تأثیر لنگر خمی در مقطع  $0.5L$



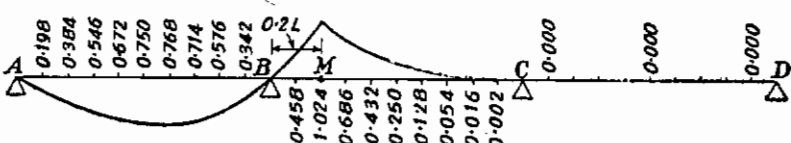
شکل (۴ - ۲۳) - خط تأثیر لنگر خمی در مقطع  $0.6L$



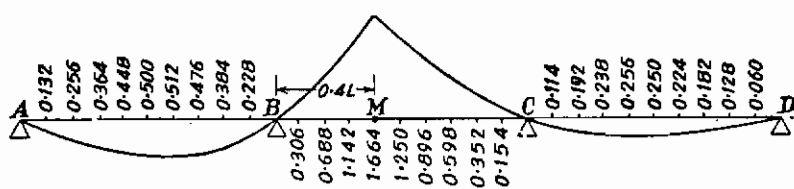
شکل (۴ - ۲۲) - خط تأثیر لنگر خمی در مقطع  $0.8L$



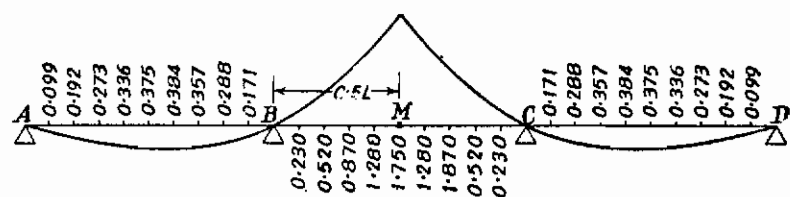
شکل (۴ - ۲۴) - خط تأثیر لنگر خمی در تکیه‌گاه B



شکل (۴ - ۲۵) - خط تأثیر برای لنگر خمی در  $0.2L$  دهانه وسطی



شکل (۴ - ۲۶) - خط تأثیر لنگر خمی در مقطع  $0.4L$  دهانه وسطی



شکل (۴ - ۲۷) - خط تأثیر لنگر خمی در مقطع  $0.5L$  دهانه وسطی

مثال :

عبورگاه دو دهانه مطابق شکل (۲۸-۴) ساخته شده از دال تخت توپر مفروض است. مطلوبست محاسبه حداکثر لنگر خمی مثبت در وسط دهانه AB و وسط دهانه BC و سیز حداکثر لنگر خمی منفی در تکیه گاه B برای عرض واحد از عبورگاه در اثر اعمال بار زنده خطی معادل ایران.

حل :

ابتدا بار خطی معادل وارد بر عرض یک متر از عبورگاه را جساب کرده و سپس با استفاده از جدول (۱-۴) و با توجه به اینکه نسبت دهانه ها  $L_1 : L_2 = 1 : 1 \frac{1}{2}$  می باشد خط تأثیر لنگر خمی در مقطع وسط دهانه AB و سیز حداکثر در تکیه گاه B همراه با محل بارگذاری مطابق شکل (۲۸-۴) رسم می گردد و سپس محاسبات لازم انجام می شود . بار خطی معادل ایران عبارت است از :

$$\text{UDL} = 1 \text{ t/m} = \text{خط } 3\text{m}$$

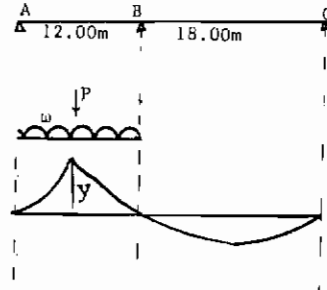
$$\text{KEL} = 27 \text{t/m} = \text{خط } 3\text{m}$$

بنابراین برای یک متر عرض از خط خواهیم داشت :

$$\omega = \frac{1}{3} t/m = 3.27 \text{ KN/m} \quad \text{بار گسترده}$$

$$P = \frac{27}{3} = 9t = 88.29 \text{ KN} \quad \text{بار مرکزی}$$

شکل (۲۸-۴) الف - تیر ساده



شکل (۲۸-۴) ب - خط تأثیر مقطع وسط  
دهانه AB و بارگذاری آن

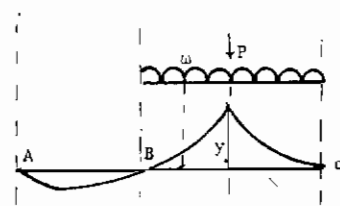
با توجه به شکل (ب) داریم :

$$y = + 0.213$$

$$S_1 = + \frac{1}{6}(0.067+0.137+0.213+0.130+0.058) = + 0.1008$$

$$S_2 = - \frac{1}{6}(0.058+0.083+0.084+0.067+0.037) = - 0.0548$$

شکل (۲۸-۴) ج - خط تأثیر مقطع وسط  
دهانه BC و بارگذاری آن.

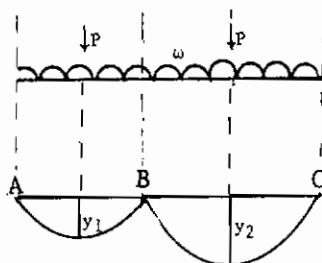


با توجه به شکل (ج) داریم :

$$y = + 0.291$$

$$S_1 = - \frac{1}{6}(0.016+0.030+0.038+0.037+0.025) = - 0.0245$$

$$S_2 = + \frac{1}{6}(0.067+0.167+0.291+0.183+0.088) = + 0.1327$$



شکل (۲۸-۴) د - خط تأثیر مقطع تکیه‌گاه و بارگذاری آن

با توجه به شکل (د) داریم :

$$y_1 = -0.075 \quad , \quad y_2 = -0.169$$

$$S_1 = -\frac{1}{6} (0.032 + 0.059 + 0.075 + 0.074 + 0.051) = -0.0485$$

$$S_2 = -\frac{1}{6} (0.115 + 0.167 + 0.169 + 0.133 + 0.073) = -0.1095$$

لنگر خمشی با استفاده از خطوط تأثیر در اثر اعمال بارگستردۀ و بار متumerکز برابر است با :

$$M = \omega S L^2 + P y L$$

که در آن  $L$  طول دهانه‌ای می‌باشد که لنگر لازم است.

$$\begin{aligned} \text{AB} \quad \text{و سطح دهانه} \quad M_{\max,+} &= 3.27(+0.1008)12^2 + 88.29(+0.213)12 \\ &= 273.134 \quad \text{KN.m} \end{aligned}$$

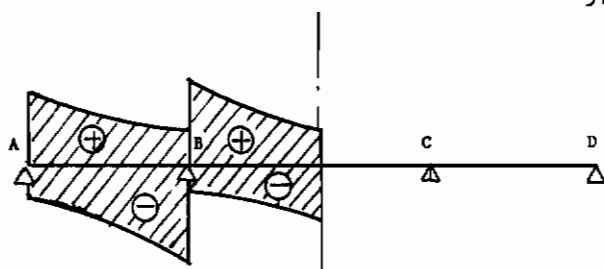
$$\begin{aligned} \text{BC} \quad \text{و سطح دهانه} \quad M_{\max,+} &= 3.27(+0.1327)18^2 + 88.29(0.291)18 \\ &= +603.056 \quad \text{KN.m} \end{aligned}$$

$$\begin{aligned} \text{B} \quad \text{تکیه‌گاه} \quad M_{\max,-} &= 3.27(-0.0485)12^2 + 3.27(-0.1095)18^2 \\ &+ 88.29(-0.075)12 + 88.29(-0.169)18 \\ &= -486.890 \quad \text{KN.m} \end{aligned}$$

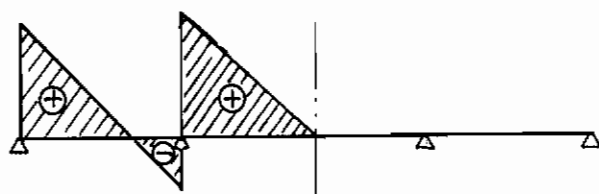
## ۴ - ۷ منحنی پوش برای دهانه‌های یکسره

بدلیل اینکه بار عده وارده بر عبورگاه یک پل عبارت است از بار مرده و بار زنده بهمراه اثر ضربه بنابراین منحنی پوش برش و لنگرخمشی بار مرده و بار زنده در این بخش مورد بررسی قرار می‌گیرد. درخشش (۲۹-۴) در رابطه با منحنی‌های پوش برش و لنگرخمشی در دهانه ساده بحثی از ترکیب بارها نشده چون در دهانه ساده علامت نیروی برشی و لنگرخمشی حاصل از بار زنده و مرده یکی می‌باشد و "الزاما" برای محاسبه پوش نهائی باید مقادیر حاصل از بار مرده و بار زنده با هم جمع گردند. اما در حالت دهانه یکسره به این ترتیب نمی‌باشد. برای توجیه این مطلب فرض شود که منحنی پوش برش بار زنده برای یک پل سدهانه مطابق شکل (۲۹-۴) الف محاسبه شده باشد و منحنی نیروی برشی حاصل از بار مرده نیز مطابق شکل (۲۹-۴) ب باشد.

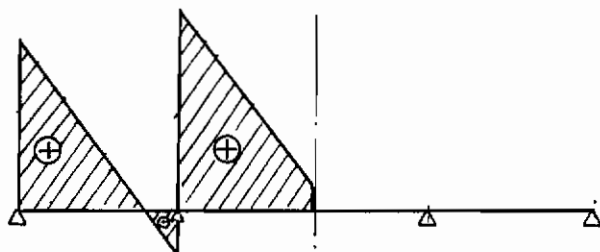
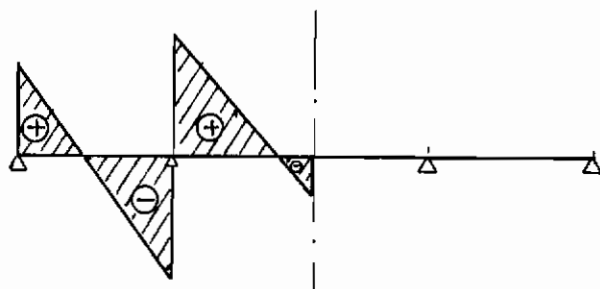
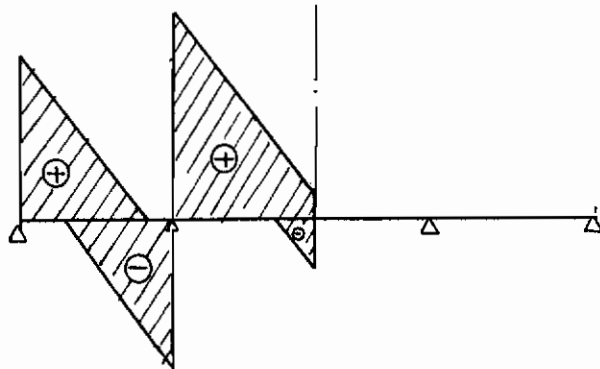
در این صورت برای محاسبه منحنی پوش نهائی نیروی برشی ابتدا باید منحنی نیروی برشی مجموع بار ثابت و نیروی برشی مثبت بار زنده را تعیین کرد، شکل (۳۰-۴) الف و سپس منحنی نیروی برشی مجموع بار ثابت و نیروی برشی منفی بار زنده را بدست آورد، شکل (۳۰-۴) ب و در آخر نیروهای برشی حداکثر مثبت را از شکل (۳۰-۴) الف و حداکثر منفی را از شکل (۳۰-۴) ب بصورت جداگانه مطابق شکل (۳۰-۴) ج تعیین کرد که در این صورت شکل بدست آمده بحرانی‌ترین منحنی پوش نیروی برشی حاصل از ترکیب بار مرده و بار زنده خواهد بود.



شکل (۴-۲۹) الف - پوش برش بار زنده ( $v_L^+$  و  $v_L^-$ )



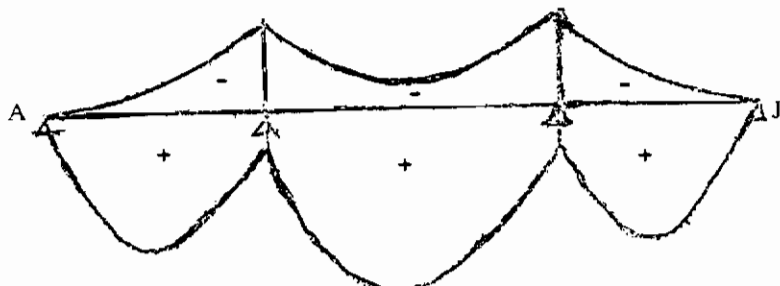
شکل (۴-۲۹) ب . منحنی نیروی برشی بار مرده ( $v_D$ )

شکل (۴ - ۳۰) الف  $(V_{+L} + V_D)$ شکل (۴ - ۳۰) ب  $(V_{-L} + V_D)$ 

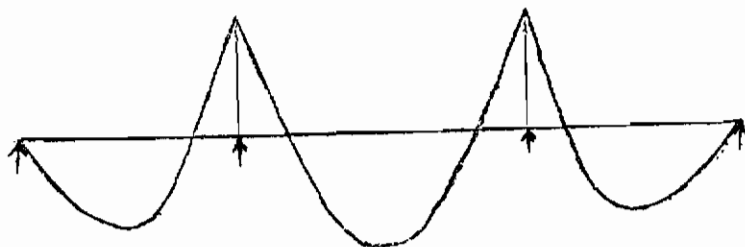
شکل (۴ - ۳۰) ج - پوش برش نهائی

در رابطه با تعیین پوش لنگر خمشی نهائی نیز مطابق پوش برش باید عمل شود . ابتدا پوش لنگر خمشی بار زنده برای حداکثرهای مثبت و منفی تعیین می گردد . شکل (۳۱-۴) الف . سپس منحنی لنگر خمشی بار مرده رسم می شود شکل (۳۱-۴) ب . اکنون منحنی حاصل از پوش مثبت بار زنده و لنگرخمشی بار ثابت را تعیین می کنیم شکل (۳۲-۴) الف . بعد منحنی حاصل از پوش منفی بار زنده و لنگر خمشی بار ثابت محاسبه می گردد ، شکل (۳۲-۴) ب ; و

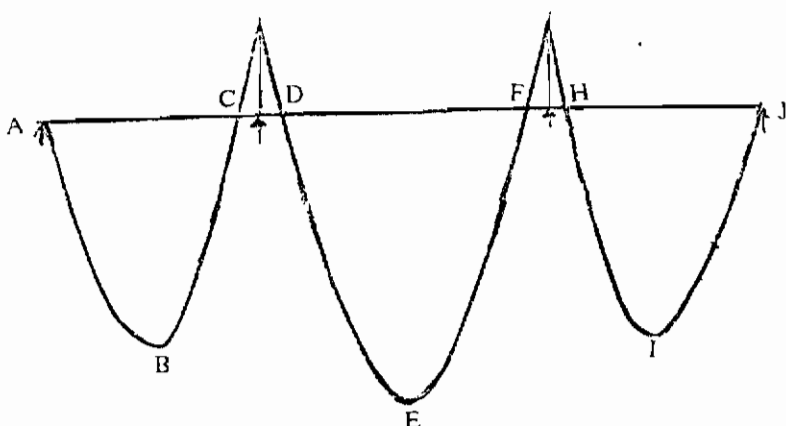
در آخر مقادیر لنگر خمی مثبت حداکثر و منفی حداکثر در شکل اخیر بصورت جداگانه مطابق شکل (۳۲-۴) ج تعیین می‌گردد تا منحنی پوش لنگر خمی بحرانی حاصل از ترکیب بار مرده و زنده بدست آید.



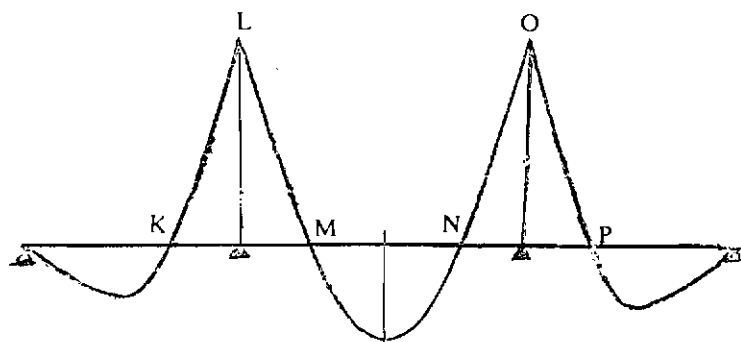
شکل (۴ - ۳۱) الف - پوش مثبت و منفی لنگر خمی بار زنده ( $M_{-L}$ ,  $M_{+L}$ )



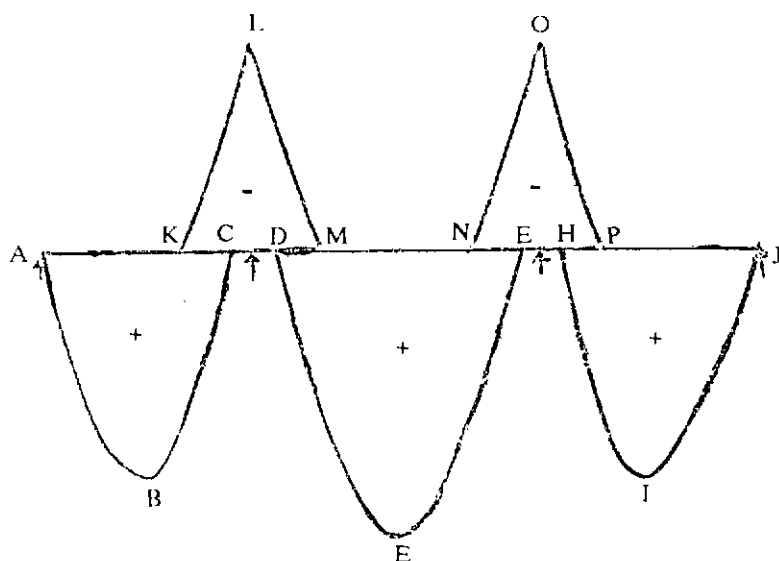
شکل (۴ - ۳۱) ب - لنگر خمی بار مرده ( $M_D$ )



شکل (۴ - ۳۲) الف - ( $M_{+L} + M_D$ )



شکل (۲۲ - ۴) - ب (۲۲ - ۴)



شکل (۲۲ - ۴) ج - پوش نهائی لنگر خمسی بار مرده وزنده

## فصل پنجم

### تحلیل عبورگاه پل

#### ۱ - مقدمه

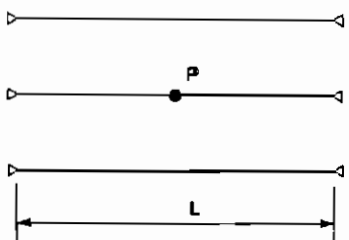
کلمه تحلیل به معنی جداسازی کل بجزاء، جهت درک بهتر رفتار سازه می‌باشد. در متن مهندسی سازه واژه تحلیل به معنی تحلیل نیروها بکاربرده می‌شود، عملیاتی که در طی آن اثرات توزیع نیروها و اکنشاهای چون تغییرشکلها و لنگرهای خمشی، در اعضای مختلف سازه تعیین می‌گردد.

در متن مهندسی پل سازی، عبارت پخش بار معمولاً "به جای کلمه تحلیل بکار برده می‌شود که در اینجا به بررسی معنی آن می‌پردازیم.

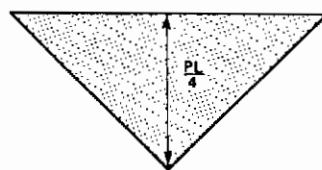
بعنوان وسیله‌ای برای تشریح پخش بار، سه تیر هریک بطول  $L$  را که به موازات یکدیگر بر روی دهانه ساده قرار دارند مطابق شکل (۱-۵) در نظر می‌گیریم. بار متتمرکز  $P$  را عمود بر صفحه سه تیر به وسط تیر میانی وارد می‌کیم. اگر اتصال عرضی بین این سه تیر وجود نداشته باشد واضح است که تمامی بار  $P$  توسط تیر میانی تحمل می‌گردد. بنابراین ترسیمه لنگر خمشی در تیر میانی مثلثی با مقدار حداقل  $\frac{PL}{4}$  در محل زیر بار خواهد بود و لنگر خمشی در دو تیر کناری در اثر بار  $P$  برابر صفر است.

اگر اکنون سه تیر طولی بوسیله یک تیر عرضی در وسط دهانه آنها بهم متصل شوند، در این صورت، همانطورکه در شکل (۲-۵) نشان داده شده است، یکبخشی از بار  $P$  توسط تیرهای کناری تحمل می‌گردد. اینکه چه درصدی از بار خارجی وارد به تیر میانی وارد می‌شود و چه درصدی به تیرهای کناری انتقال پیدا می‌کند بستگی به سختی تیرها، طسول دهانه و فاصله تیرهای طولی از هم دارد. اگر سختی خمشی تیر عرضی کسر کوچکی از سختی

تیرهای طولی باشد و فاصله تیرهای طولی از یکدیگر نسبتاً زیاد باشد، در این صورت به سختی باری به تیرهای کناری، که مستقیماً بارگذاری نشده‌اند، انتقال پیدامی کند. از طرف دیگر اگر تیر عرضی بکار برده شده صلبیت زیادی را دارا باشد تغییر شکل هرسه تیر طولی، در اثر اعمال بار  $P$  به تیر وسطی، تقریباً مساوی خواهد بود یعنی هر تیر بهیک نسبت بار وارد را تحمل می‌کنند و سهم هر تیر طولی از کل بار وارد  $P$  برابر  $\frac{P}{3}$  خواهد بود.



(الف) پلان.

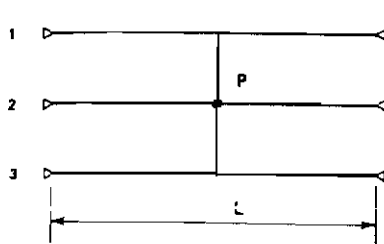


(ب) ترسیمه لنگر خمشی تیر میانی.

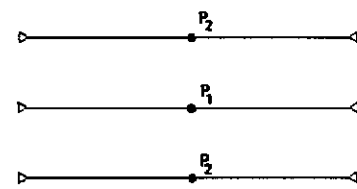
شکل (۵ - ۱) حالت تیرهای بدون اتصال به یکدیگر

اگر بار تحمل شده توسط هریک از تیرهای طولی متقارن خارجی  $P$  باشد در این صورت ترسیمه‌های لنگر خمشی برای هریک از تیرهای طولی مطابق شکل (۲-۵ ج) خواهد بود. مسلماً انتقال بار از تیر طولی که مستقیماً تحت اثر بار خارجی قرار گرفته است به تیرهای طولی دیگر به‌این دلیل است که آن تیر تعایل به تغییر شکل بیشتری از تیرهای طولی مجاورش از خود نشان می‌دهد و وجود تیر عرضی این تفاوت تغییر شکل در تیرهای طولی را کاهش می‌دهد، مجموعه تیرهای طولی و عرضی را می‌توان به عنوان مدل ریاضی پلهای دال و تیر در نظر گرفت که در آن تیرهای طولی بیانگر تیرهای حمال طولی واقعی و تیر عرضی بیانگر دال تخت روی تیرهای طولی می‌باشد. این عمل انتقال بار از تیر تحت اثر بار خارجی به تیرهای دیگر، که مستقیماً بار خارجی به آنها وارد نمی‌شود، را پخش بار می‌نامند. اگر در پلهای تیری که به آن بار خارجی وارد می‌شود قسمت اعظم بار را خود تحمل کند و فقط بخش کوچکی از آن را به تیرهای طولی دیگر انتقال دهد آن پل

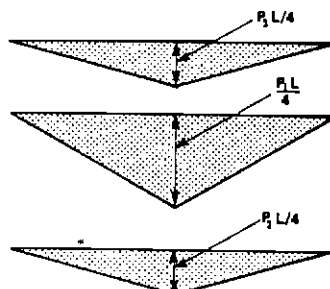
دارای خصوصیت پخش بار اندک می‌باشد. بنابراین پلهای با خصوصیت پخش بار خوب آنهایی هستند که بار خارجی واردہ به سازه را بین تمام اعضاء بخوبی پخش کنند. پخش بار باعث کاهش شدت بار واردہ به عضو تحت اثر بار خارجی می‌گردد که در پلهای با دهانه کوتاه تا متوسط از اهمیت زیادی برخوردار است چه در این دهانه‌ها بار زنده نسبت به بار مرده حاکم بر طرح می‌باشد.



(الف) پلان.



(ب) پخش بار.



(ج) لنگر خمی در تیرهای طولی.

شکل (۵-۲) پخش بار در تیرهای طولی متصل شده با یک تیر عرضی.

انواع مختلف فرم‌های سازه‌ای عبورگاه پل، که در بخش (۲-۲) مورد بحث قرار گرفت، خاصیت پخش بار پیکسانی را دارا نمی‌باشند. به عنوان مثال مقطع قوطی نسبت به مقطع دال بر روی تیرهای طولی I شکل فولادی از نظر پیچشی قوی‌تر می‌باشد. در این صورت اگر هر دو نوع مقطع دارای دهانه، عرض و سختی‌های خمی پیکسانی باشند پخش عرضی بار در نوع مقطع قوطی نسبت به مقطع دیگر خیلی یکنواخت‌تر خواهد بود.

شکل (۳-۵) دو نوع مقطع پل با عرض، دهانه و سختی خمی پیکسان را نشان می‌دهد. پل (الف) با استفاده از دال تخت بر روی سه تیر طولی قوطی شکل ساخته شده ولی پل (ب)

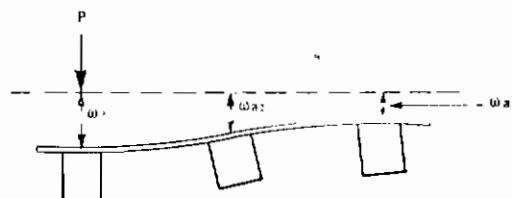
مشکل از دال تخت و سه تیر طولی I شکل فولادی می‌باشد. همچنین فرض می‌گردد که تیر کناری در هر یک از دو مقطع پل تحت اثر بار خارجی متغیر یکسان P قرار داشته باشد. در صورت صرفنظر کردن از اختلاف کوچک در انحنای دو طرفه حاصل از تأثیر ضربه پواسیون، تغییرشکل کل سه تیر حمال در هر مقطع دلخواه از طول پل برای مقطع (الف) و (ب) بدليل یکسان بودن سختی خمشی کلی دو مقطع برابر خواهد بود، یعنی:

$$\omega_{a1} + \omega_{a2} + \omega_{a3} = \omega_{b1} + \omega_{b2} + \omega_{b3}$$

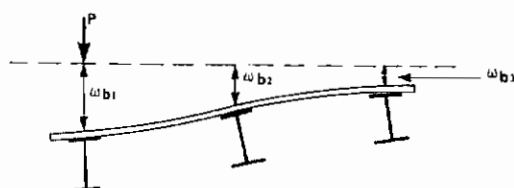
که  $\omega$  تغییرشکل، اندیس a و b بهترتبیب برای نوع پل (الف) و (ب) و شماره‌ها برای شماره تیر بکار رفته است. تغییرشکل غیر یکنواخت تیرهای طولی، که مشخصه پخش عرضی بار است، باعث چرخش تیرها می‌شود. تیرهای پل (الف) بدليل سختی پیچشی بیشتر نسبت به پل (ب) در مقابل چرخش بوجود آمده مقاومت می‌کنند که باعث یکنواخت شدن تغییرشکل تیرها در پل (الف) نسبت به پل (ب) می‌گردد، یعنی:

$$\frac{\omega_{a1}}{\omega_{a1}} < \frac{\omega_{b1}}{\omega_{b2}}$$

پس بطور کلی پل با سختی پیچشی بیشتر دارای خاصیت پخش عرضی بار یکنواخت تری خواهد بود.



(الف) پل با مقطع قوطی.



(ب) پل با مقطع دال بر روی تیرهای فولادی I شکل.

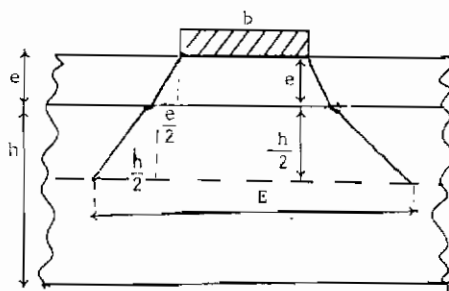
شکل (۵-۳) اثر سختی پیچشی تیرهای طولی در پخش بار.

## ۵ - ۲ روش ساده پخش عرضی بار

## الف) عبورگاه دال تخت

برای محاسبه بار وارد بر نواری به عرض واحد از دال می‌توان این روش را بکار برد. در اجرای این روش سطح تماس واقعی بار مرکز (مثلاً چرخ کامیون) با جاده در خاتمه مصالح مقطع عبورگاه پخش می‌گردد و از پخش طولی بار صرفنظر می‌شود. پخش عرضی بار را می‌توان بهیکی از سه فرم زیر انجام داد.

۱- طبق آئین نامه بی اس پخش بار در مصالح غیر سازه‌ای (سفالت رویه) با شیب ۱ افقی و ۲ قائم و در مصالح سازه‌ای (بتن) با شیب ۱ افقی و ۱ قائم تا محل تارخنثای مقطع انجام می‌گیرد. عرض حاصل از پخش عرضی بار در تراز تارخنثای مقطع را عرض مؤثر E می‌نامند. اگر بار مرکز بر عرض مؤثر تقسیم گردد بار وارد بر عرض واحد از دال بدست می‌آید، (شکل ۴-۵).



شکل (۵ - ۴) پخش مستقیم بار.

$$E = b + 2\left(\frac{e}{2}\right) + 2\left(\frac{h}{2}\right) = b + e + h$$

۲- روش معمول دیگر آنست که پخش بار در مصالح غیر سازه‌ای و سازه‌ای یکسان و تحت زاویه ۴۵ درجه فرض گردد که در این صورت عرض مؤثر در تراز تارخنثی از رابطه زیر حاصل می‌گردد.

$$E = b + 2e + h$$

۳- و اگر عرض مؤثر در قسمت تحتانی دال بیان گردد در این صورت پخش بار در مصالح غیر سازه‌ای تحت شیب ۱ قائم و در مصالح سازه‌ای ۲ قائم و افقی فرض می‌شود که در این صورت عرض مؤثر برابر است با:

$$E = b + 2e + h$$

در اجرای پخش بار بالاین روش در اثر اعمال یک یا چند کامیون به عبورگاه باید به این نکته توجه داشت که عرض مؤثر همواره برای یک ردیف چرخ کامیون در نظر گرفته می‌شود. در بعضی موارد که ردیف چرخها بهم نزدیک باشند و ضخامت مؤثر بین زیاد باشد در این صورت امکان تداخل شدت بارها وجود دارد و شدت بار نهایی عبارت است از حاصل جمع شدت بارها در محل تداخل آنها این روش پخش عرضی بار را نیز برای دالهای حفره‌ای می‌توان مطابق آنچه در بالا توضیح داده شد بکار برد به شرطی که ضخامت یا قطر حفره‌ها کمتر از ۶۰ درصد ضخامت دال باشد.

#### مثال:

عبورگاه دال تخت تولیدی به دهانه ساده  $L = 12 \text{ m}$  مفروض است. اگر ضخامت متوسط سفالت  $10 \text{ cm}$  و عمق مؤثر دال بتنی  $80 \text{ cm}$  فرض گردد، در اثر اعمال بار یک کامیون  $45 \text{ cm}$  تنتی استاندارد ایران و با استفاده از روش ساده پخش عرضی بار برای نواری به عرض واحد از عبورگاه محاسبات زیر را انجام دهید.

(الف) – عرضهای مؤثر بار وارد از چرخ جلو، میانی و عقب کامیون را در قسمت تحتانی دال عبورگاه (با استفاده از روش سوم) محاسبه نمایید.

(ب) – محاسبه برش حداکثر و لنگر خمی حداکثر مطلق در دال در اثر بار کامیون، آنچه تعداد کامیون در محاسبات این قسمت مؤثر می‌باشد؟

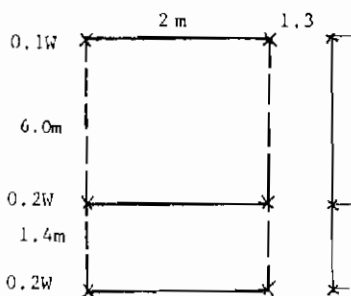
(ج) – منحنی‌های برش نیروی برشی و لنگر خمی نواری به عرض واحد از دال با ذکر مقادیر در مقاطع  $0$  و  $\frac{L}{4}$ ،  $\frac{L}{2}$  و  $L$  رسم نمایید.

(د) – اگر اثر ضربه به بار استاتیکی کامیون اضافه شود مقادیر جدید قسمت (ج) را محاسبه نمایید.

$$E = b + h + 2e \quad \text{حل الف) -}$$

$$E = 0.25 + 0.80 + 2 \times 0.1 = 1.25 \text{ m} \quad \text{چرخ جلو}$$

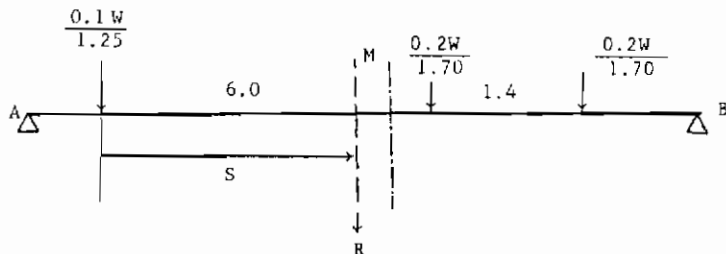
$$E = 0.70 + 0.80 + 2 \times 0.1 = 1.70 \text{ m} \quad \text{چرخ میانی یا عقب}$$



شکل (۵-۵) الف مشخصات کامیون ایران

حل ب ) -

$$\text{برای یک کامیون:} \quad P_{\text{عقب}} = \frac{0.2 \text{ W}}{1.70} \quad \text{و} \quad P_{\text{جلو}} = \frac{0.1 \text{ W}}{1.25}$$



شکل (۵-۵) ب - بارگذاری نواری به عرض واحد برای لنگر خمی طولی حد اکثر مطلق

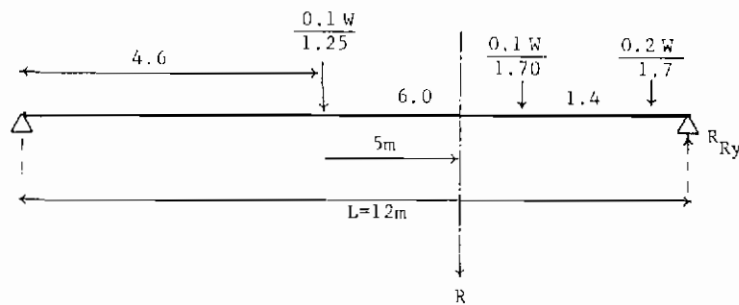
$$S = 5 \text{ m}$$

$$S + 2x = 6 \longrightarrow x = 0.5 \text{ m}$$

$$\sum M_A = 0 \longrightarrow R_{By} = 63.793 \text{ KN/m}$$

$$M_{\text{max.}} = M_c = 278.152 \text{ KN.m/m}$$

$$= 28.354 \text{ t m/m}$$

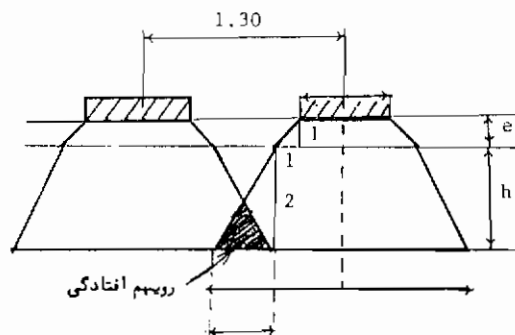


شکل (۵ - ۵)ج – بارگذاری طولی نواری به عرض واحد برای برش حداکثر

$$V_{\max} = R_{By} = \frac{R \times 9.6}{12} = 0.2522W = 11.35 \text{ t/m}$$

$$= 111.349 \text{ KN/m}$$

با توجه به شکل زیر برای دو کامیون خواهیم داشت :



شکل (۵ - ۵)د – پخش عرضی بار

$$\text{فاصله بین دو کامیون} = 1.30 < 1.70$$

پس چرخهای میانی و عقب دو کامیون روی هم افتادگی دارند.

$$1.30 > 1.25$$

اما چون

پس چرخهای جلو روی هم افتادگی ندارند.

بنابراین برای دو کامیون داریم

$$P = \frac{0.2W}{1.70} \times 2 \quad \text{عقب یا میانی} \quad P = \frac{0.1W}{1.25}$$

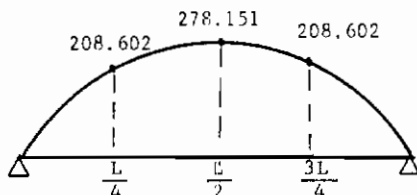
یعنی روی هم رفته تعداد کامیون موثر می‌باشد

حل ج:

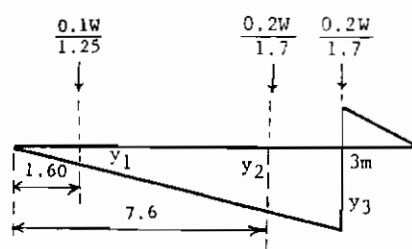
$$\begin{aligned} M &= ax^2 + bx + c && \text{معادله پوششی لنگر خمی} \\ \left| \begin{array}{l} x = 0 \rightarrow C = 0 \\ M = 0 \\ x \approx 6m \\ M = M_c = 278.152 \end{array} \right. & \left| \begin{array}{l} x = 12m \rightarrow 0 = 144 + 12b \\ M = 0 \\ 278.152 = 36a + 6b \end{array} \right. & \left. \begin{array}{l} a = -7.726 \\ b = 92.712 \end{array} \right. \end{aligned}$$

$$M = -7.726x^2 + 92.712x$$

$$x = \frac{L}{4} = 3m \quad M = 208.602 \quad \text{KNm/m} = M_x = \frac{3L}{4}$$

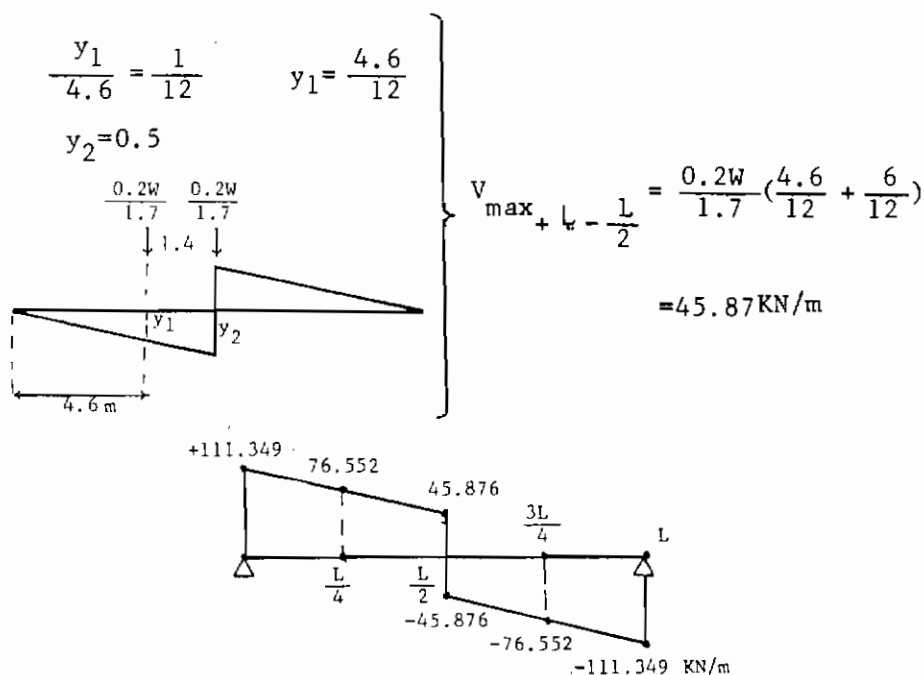


شکل (۵-۵) ه - پوشش لنگر خمی در اثر اعمال باریک کامیون



شکل (۵-۵) ی - بارگذاری طولی برای برش در  $\frac{3L}{4}$  یا  $\frac{L}{4}$

$$\left. \begin{array}{l} \frac{y_1}{1.6} = \frac{1}{12} \rightarrow y_1 = \frac{1.6}{12} \\ \frac{y_2}{7.6} = \frac{1}{12} \rightarrow y_2 = \frac{7.6}{12} \\ \frac{y_3}{9} = \frac{1}{12} \rightarrow y_3 = \frac{9}{12} \end{array} \right\} \quad \left. \begin{array}{l} v_{\max} = -\left(\frac{0.1}{1.25} \times \frac{1.6}{12} + \frac{0.2}{1.7} \times \frac{7.6}{12} + \frac{0.2}{1.7} \times \frac{9}{12}\right)W \\ = -76.552 \text{ KN/m} \end{array} \right\}$$



شکل (۵-۵) ن - پوش برش

$$I = \frac{6}{10+L}$$

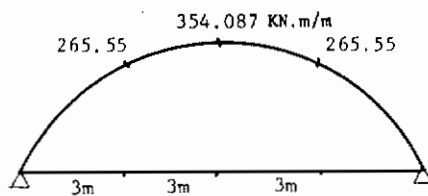
$$L \quad \text{طول بارگذاری} \rightarrow L=12 \text{ m} \rightarrow I = \frac{6}{10+12} = 0.273$$

$$\frac{3L}{4} \quad // \quad \rightarrow \frac{3L}{4} = gm \rightarrow I = \frac{6}{10+9} = 0.315 > 0.3 = 0.3$$

$$\frac{L}{2}, \frac{L}{4} \quad // \quad \rightarrow \frac{L}{2} = 6 \text{ m}, \frac{L}{4} = 3 \text{ m} \rightarrow I > 0.3 = 0.3$$

$$\frac{M_L}{4} = \frac{M_{3L}}{4} = 208.602 \times 1.273 = 265.55 \text{ KN.m/m}$$

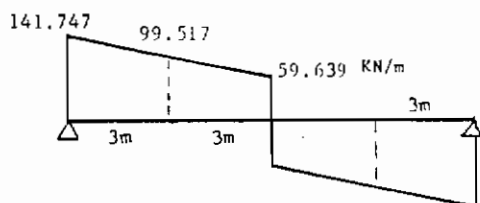
$$\frac{M_L}{2} = 278.152 \times 1.273 = 354.087 \text{ KN.m/m}$$



$$V_{0,L} = 111.349 \times 1.273 = 141.747 \text{ KN/m}$$

$$\frac{V_L}{4}, \frac{3L}{4} = 76.552 \times 1.3 = 99.517 \text{ KN/m}$$

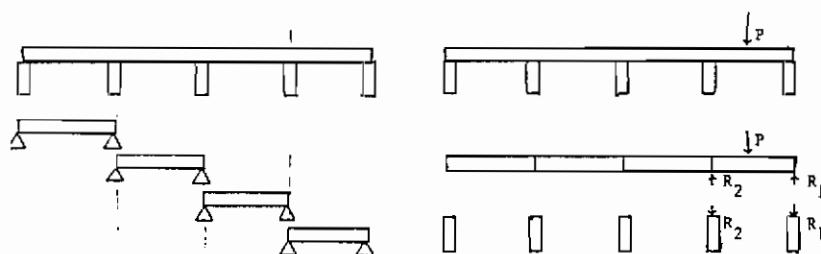
$$\frac{V_L}{2} = 45.876 \times 1.3 = 59.639 \text{ KN/m}$$



## ( ب ) - پل دال و تیر

در این حالت تیر عرضی بصورت دهانه ساده بر روی تیرهای طولی فرض می‌گردد شکل (۶ - ۵ الف) . اگر بار مرکز ۲ به محل انفصال یا تکیه‌گاه تیر عرضی وارد شود با استفاده از استاتیک مشخص است که این بار باعث ایجاد عکس العمل فقط در همان تیر طولی خواهد شد . اما اگر بار مرکز هر جا مابین دو تیر طولی به تیر عرضی وارد شود در این صورت فقط دو تیر

طولی مجاور محل اعمال بار تحت تأثیر بار قرار خواهد گرفت و سهم تیرهای طولی دیگر صفر خواهد بود (شکل ۵-۶ ب) ، در این سیستم نیروی برشی از یک قسمت تیر عرضی مابین دو تیر طولی قادر به انتقال به قسمتهای دیگر تیر عرضی نمی‌باشد .



شکل (۵-۶) ب - تعیین سهم تیرهای طولی      شکل (۵-۶) الف - دهانه ساده

مثال :

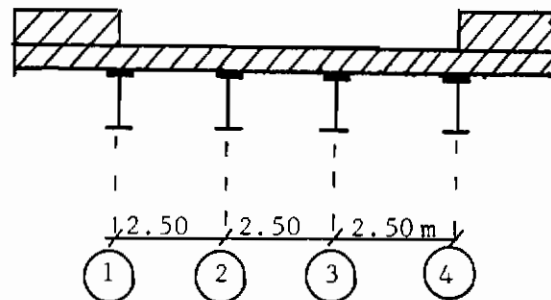
مطلوبست محاسبه لنگر خمشی حداکثر مطلق در تیر طولی شماره ۱ از عبورگاه نشان داده شده در شکل (۵-۷ الف) ، با دهانه ساده ۱۵ متر تحت اثر بار :

(الف) - یک کامیون H20

(ب) - بار تانک ارتشی استاندارد ایران

(ج) - بار خطی معادل ایران

تیر عرضی یا دال را بر روی تیرهای طولی با دهانه ساده فرض کنید .

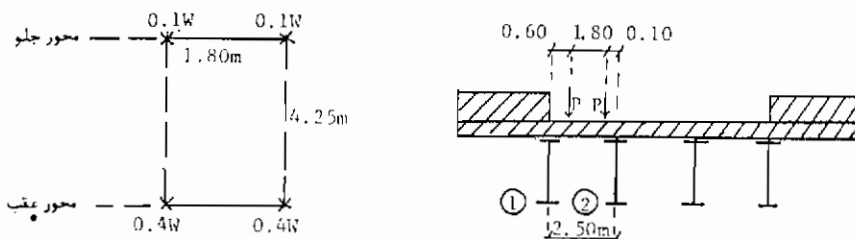


شکل (۵-۷) الف مقطع پل

حل :

(الف) - با توجه به آئین نامه بارگذاری آشتو برای ایجاد حد اکثر عکس العمل در تیر

کناری ۱ مقطع عرضی پل باید مطابق شکل (۵-۷) بارگذاری شود.

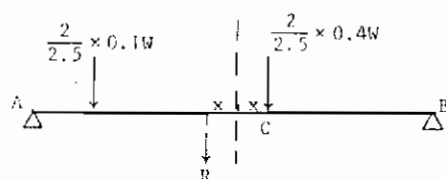


شکل (۵-۷) ج نحوه بارگذاری عرضی پل ب پلان کامیون HS20

برای تیر عرضی ۱-۲ با توجه به دهانه ساده آن سهم تیر شماره ۱ برابر است با:

$$R_1 = \frac{P(0.1) + P(0.1+1.8)}{2.5} = \frac{2}{2.5} P$$

برای ایجاد لنگرحداکثر مطلق بارگذاری طولی تیر شماره ۱ مطابق شکل (۵-۷ د) می‌باشد.



شکل (۵-۷) د بارگذاری تیر شماره ۱

با توجه به شکل (۵-۷ د) داریم.

$$x = 0.325$$

$$R_{By} = \frac{\frac{2}{2.5} \times 0.5W(7.5-0.325)}{15}$$

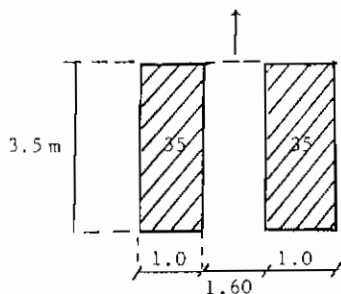
پس :

$$W = 178 \text{ KN}$$

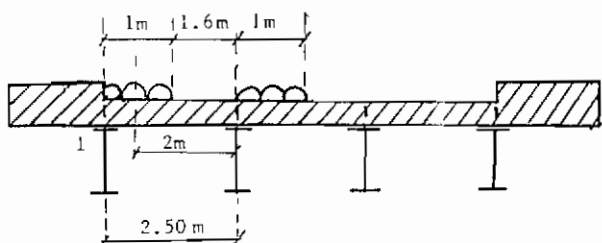
$$M_{max, 1} = M_c = R_{By} (7.5 - 0.325)$$

$$M_{\max 1} = 244.361 \text{ KN.m}$$

ب - بارگذاری عرضی در شکل (۵ - ۸ ب) نشان داده شده است.



شکل (۵ - ۸) الف) پلان تانک ارتشی استاندارد ایران



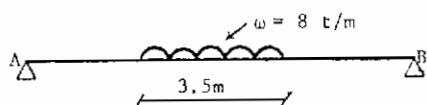
شکل (۵ - ۸) ب بدترین وضعیت بارگذاری مقطع برای تیر شماره ۱

بار هر زنجیر در واحد طول عبارت است از

$$\frac{35}{3.5} = 10 \text{ t/m}$$

با توجه به شکل (۵ - ۸ ب) :

$$R_1 = \frac{10 \times 2}{2.5} = \frac{20}{2.5} = 8 \text{ t/m}$$



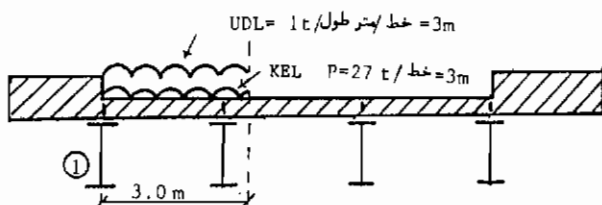
شکل (۵ - ۸) ج بارگذاری طولی تیر

$$\sum M_B = 0 \longrightarrow R_{Ay} = 14 t$$

$$M_c = M_{\max. 1} = 92.75 t.m / \text{تیر}$$

$$= 909.877 \text{ KN.m} / \text{تیر}$$

- ۲



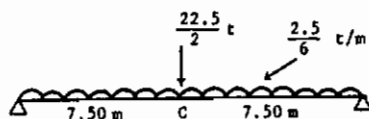
شکل (۵-۹) (الف) بارگذاری عرضی

عکس العمل در تیر شماره ۱ در اثر بار گستردۀ UDL:

$$R_1 = \frac{\frac{1}{3} \times 2.5}{2} = \frac{2.5}{6} t / \text{متر طول} = 2.5 t / \text{متر طول}$$

$$R_1 = \frac{\frac{27}{3} \times 2.5}{2} = \frac{22.5}{2} t / \text{متر طول} = 22.5 t / \text{متر طول}$$

و در اثر بار لبه‌ای:



شکل (۵-۹) (ب) بارگذاری طولی تیر شماره ۱

$$M_{\max.} = M_c = \frac{\omega L^2}{8} + \frac{P L}{4}$$

$$= \frac{(\frac{2.5}{6})(15)^2}{8} + \frac{(\frac{22.5}{2})(15)}{4}$$

$$= 53.906 \text{ t.m} / \text{تیر}$$

$$= 528.820 \text{ KN.m} / \text{تیر}$$

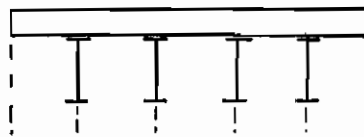
## ۵ - ۳ روش کوربن ۱

## پلهای شامل تیرهای حمال طولی

در این روش تیر عرضی صلب فرض می‌گردد که از خم شدن صرف نظر می‌شود یعنی تحت اثر هر بار متمرکز این تیر بصورت مستقیم باقی بماند اما تیرهای طولی می‌توانند تغییر شکل داشته باشند که در این صورت سیستم عبورگاه همانند تیر صلب بر روی فونداسیونهای الاستیک عمل خواهد کرد و سهم تیرهای کاری در اثر بار متمرکز واردہ بر تیر عرضی همواره بیشتر از سهم تیرهای میانی خواهد بود. این وضعیت بد لیل فرم تغییر شکل تیر عرضی می‌باشد (شکل ۱۰-۵).

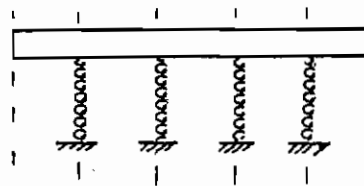
شکل (۱۰-۵) الف -

تیر صلب بر روی تیرهای طولی

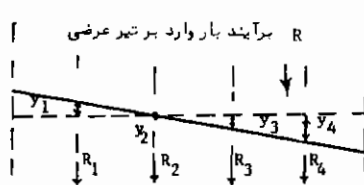


شکل (۱۰-۵) ب -

تیر صلب بر روی فونداسیونهای الاستیک

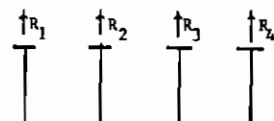


برآیند بار وارد بر تیر عرضی R



شکل (۱۰-۵) ج -

تغییر شکل و عکس العملهای تیرهای طولی



با استفاده از معادلات استاتیک و نیز تغییرشکل تیر عرضی می‌توان سهم هر یک از تیرهای طولی مثلاً "تیر شماره  $n$ " را مطابق زیر حساب کرد. این رابطه برای زمانی است که تیرهای طولی دارای معان اینترسی پکسان باشند.

$$R_i = \frac{R}{n} \left[ 1 + \left( \frac{n \cdot e}{\sum x_i^2} \right) x_i \right]$$

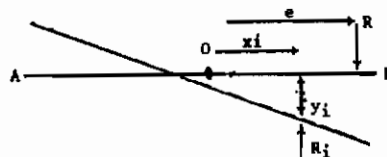
که در این فرمول:  $R_i$  عکس العمل در تیر طولی شماره  $n$  می‌باشد  
 $n$  تعداد تیرهای طولی

$e$  فاصله افقی برآیند بارهای وارد بر عبورگاه تا مرکز تیر عرضی

$x_i$  فاصله افقی تیر طولی شماره  $n$  از مرکز تیر عرضی

اثبات:

تیر عرضی  $AB$  را که مرکز آن  $O$  می‌باشد در نظر می‌گیریم. اگر  $R$  برآیند بار وارد بر این تیر باشد و فاصله  $T$  از  $O$  باشد تغییرشکل قائم این تیر در محل تیر طولی  $n$  برابر  $y_i$  فرض می‌گردد (شکل ۵-۱۱).



شکل (۵-۱۱) - تغییرشکل خطی تیر عرضی.

اگر  $K_i$  سختی تیر طولی شماره  $n$  باشد و تیر عرضی بدون خمش باقی بماند، داریم:

$$R_i = K_i y_i$$

$$y_i = ax_i + b$$

$$R_i = K_i (ax_i + b) \quad (1)$$

$$\sum_y F_y = 0 \rightarrow \sum R_i = R$$

$$1 \rightarrow \sum R_i = \sum K_i (ax_i + b) = R$$

$$a \sum K_i x_i + b \sum K_i = R$$

چون ۰ وسط تیر عرضی می‌باشد و تعداد تیرهای طولی در سمت راست و چپ ۰ برابرند پس

$$\sum K_i x_i = 0$$

$$b \sum K_i = R \rightarrow b = \frac{R}{\sum K_i}$$

$$\sum M_o = 0 \rightarrow \sum (R_i x_i) = R \cdot e$$

$$1 \rightarrow \sum [K_i (ax_i + b)x_i] = R \cdot e$$

$$a \sum K_i x_i^2 + b \sum K_i x_i = R \cdot e$$

$$a = \frac{R \cdot e}{\sum K_i x_i^2}$$

$$1 \rightarrow R_i = K_i \left[ \left( \frac{R \cdot e}{\sum K_i x_i^2} \right) x_i + \frac{R}{\sum K_i} \right]$$

$$R_i = \frac{K_i \cdot R}{\sum K_i} \left[ \left( \frac{n \cdot e}{\sum x_i^2} \right) x_i + 1 \right]$$

$$R_i = \frac{I \cdot R}{n I} \left[ \left( \frac{n \cdot e}{\sum x_i^2} \right) x_i + 1 \right]$$

$$R_i = \frac{R}{n} \left[ \left( \frac{n \cdot e}{\sum x_i^2} \right) x_i + 1 \right]$$

با توجه به فرمول بالا سهم تیر طولی مثل ن زمانی حداکثر خواهد بود که محل اثر نیروی متمرکز در دورترین فاصله ممکن است ۰ قرار گیرد و نیز تیر مربوطه دورترین تیر از وسط تیر عرضی باشد (یعنی تیرهای کناری عبورگاه).  
این روش زمانی قابل اجرا می‌باشد که:

الف - نسبت طول دهانه به عرض کلی عبورگاه کوچکتر از ۴ و بزرگتر از ۲ باشد.

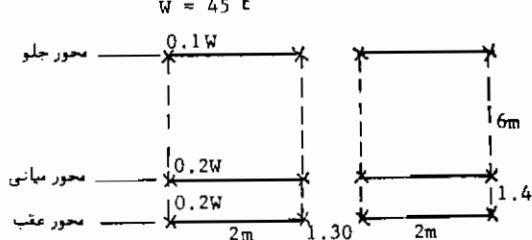
ب - تعداد تیرهای طولی n مساوی یا بزرگتر از ۵ باشد.

ج - نسبت ارتفاع تیر عرضی به ارتفاع تیر طولی بزرگتر یا مساوی  $\frac{3}{4}$  باشد.

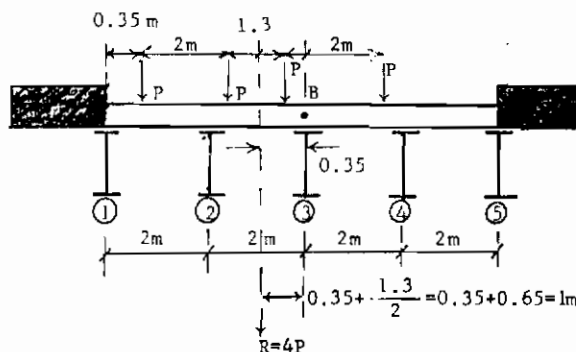
: مثال ۱

مطلوبست محاسبه لنگرخمشی ماکریم یکی از تیرهای کناری عبورگاه دهانه ساده بطول ۲۰ ها دو خط عبور در اثر بار کامیون ۴۵ تنی ایران با استفاده از روش کورین.

- حل -



شکل (۵ - ۱۲) (ا) الف پلان دو کامیون ۴۵ تنی



شکل (۵ - ۱۲) (ب) مقطع عرضی و بارگذاری آن

اگر P با هر چرخ جلو، میانی یا عقب فرض شود برآیند عرضی R برابر است با

$$R = 4P$$

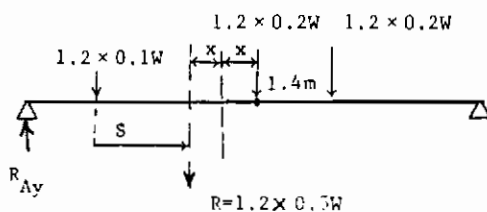
و فاصله برآیند از مرکز عرضی پل e عبارت است از:

$$e = 0.35 + \frac{1.3}{2} = 1 \text{ m}$$

$$\left. \begin{array}{l} x_1 = 4m = x_5 \\ x_2 = 2m = x_4 \\ x_3 = 0 \\ n = 5 \end{array} \right\} \sum x_i^2 = 2 \times 4^2 + 2 \times 2^2 + 0 = 32 + 8 = 40$$

$$R_i = \frac{R}{n} \left[ \left( \frac{n \cdot e}{\sum x_i^2} \right) x_i + 1 \right]$$

$$R_1 = \frac{4P}{5} \left[ \left( \frac{5 \times 1}{40} \right) 4 + 1 \right] = 1.2P = R_5$$



شکل (۱۲-۵) ج بارگذاری طولی تیر شماره ۱ یا ۵

$$S = \frac{1.2 \times 0.2W \times 6 + 1.2 \times 0.2W \times 7.4}{1.2 \times 0.5W}$$

$$= \frac{1.2 + 1.48}{0.5}$$

$$= 5.36 \text{ m}$$

$$S + 2x = 6m \longrightarrow x = \frac{6 - 5.36}{2} = \frac{0.64}{2} = 0.32 \text{ m}$$

$$R_{Ay} = \frac{1.2 \times 0.5W(10 + 0.32)}{20} = 0.3096 \text{ W}$$

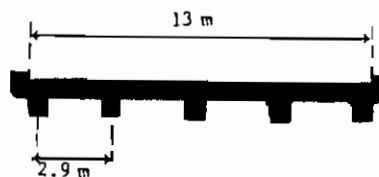
$$M_c = M_{max} = R_{Ay}(10 + 0.32) - 1.2 \times 0.1W(6)$$

$$= 2.475072W = 111.378 \text{ t.m / تیر }$$

$$= 1092.6 \text{ KN.m / تیر }$$

مثال ۲:

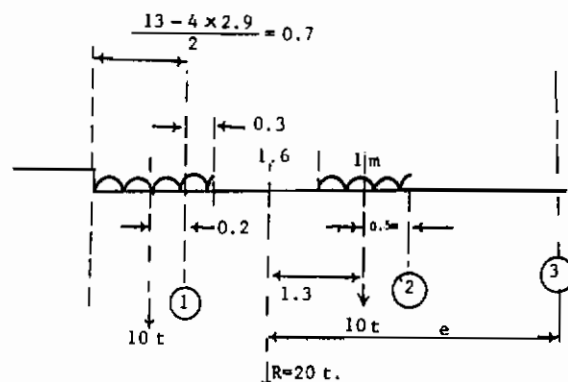
مطلوبست محاسبه لنگر خمشی حداکثر مطلق و نیروی برشی حداکثر در یکی از تیرهای طولی کناری عبورگاه بتی با دهانه ساده ۱۲ متر نشانده شده در شکل (۱۲-۵) الف-در اثر عبور یک تانک ارتشی ۷۵ تنی استندارد با استفاده از روش گورین.



شکل (۵-۱۳) الف - مقطع عرضی پل.

حل:

مقطع عرضی بارگذاری شده در شکل (۵-۱۳) ب نشان داده شده است.



شکل (۵-۱۳) ب - بارگذاری عرضی.



بارگذاری طولی برای لنگر و برش حد اکثر

$$R = 20 \times 9.81 = 196.2 \text{ KN/m}$$

$$n = 5$$

$$e = 1.3 + 0.5 + 2.9 = 4.7 \text{ m}$$

$$x_1 = 2 \times 2.9 = 5.8 \text{ m} , \quad x_2 = 2.9 \text{ m} , \quad x_3 = 0 , \quad x_4 = 2.9 \text{ m} , \quad x_5 = 5.8 \text{ m}$$

$$\sum x_i^2 = 2(5.8^2 + 2.9^2) = 84.1$$

$$R_1 = \frac{196.2}{5} \left[ 1 + \left( \frac{5 \times 4.7}{84.1} \right) (5.8) \right] = 102.836 \text{ KN/m / تیر}$$

$$= 10.483 \text{ t/m} / \text{تیر}$$

$$V_{\max.} = \frac{102.836 \times 3.5 \times (8.5 + \frac{3.5}{2})}{12} = 307.437 \text{ KN / تیر}$$

$$= 31.339 \text{ t/m}$$

$$M_{\max} = \frac{1017.872 \times 102.836}{113.491} = 922.310 \text{ KN.m / تیر}$$

$$= 94.017 \text{ t.m / تیر}$$

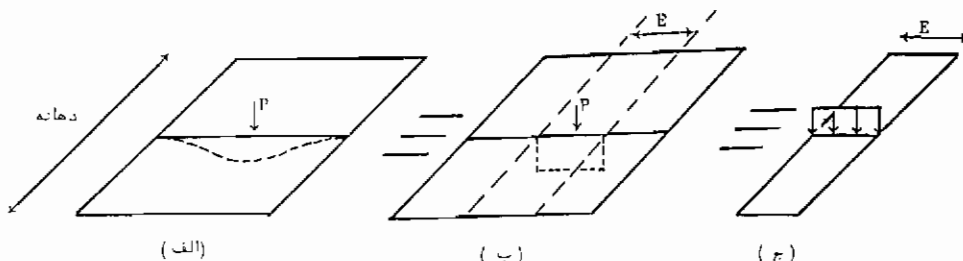
#### ۵ - ۴ روش آئین نامه آشتو

##### الف - دال تخت توپر

در عبورگاه دال تخت زمانی که یک چرخ وسیله سنجین از روی آن عبور کند دال در محل و اطراف اعمال بار متغیر شکل بشغاب مانندی را ایجاد می‌کند. این فرورفتگی همراه با حرکت بار متغیر شکل در جهت طولی یا عرضی نیز جایجا می‌شود. بنابراین سوراخ نوارهای مجاور محل اعمال بار متغیر شکل داده بدون اینکه بار مستقیماً به آن نقطه وارد شود. در آئین نامه آشتو با استفاده از عرض مؤثر E بار متغیر شکل پخش می‌گردد. رابطه برای دالهای بتی که می‌گردد های اصلی آنها در جهت دهانه پل می‌باشد از رابطه زیر بدست می‌آید، شکل (۵-۵) الف، ب و ج.

$$E = 1.22 + 0.06 S \leq 2.1 \text{ m}$$

که در این رابطه S طول دهانه پل بر حسب متر می‌باشد.



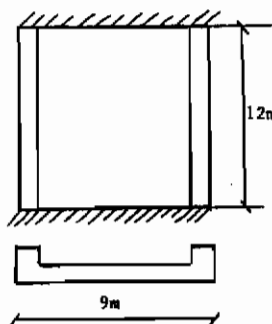
شکل (۵-۵) - (الف) تغییر شکل واقعی (ب) تغییر شکل متوسط (ج) بار

به شدت  $\frac{P}{E}$

برای محاسبه لنجر خمی و نیروی برشی حاصل از بار کامیون بر نواری از عبورگاه به عرض یک متر باید باریک ردیف چرخ را برابر  $E$  تقسیم کرد. اگر بار دو ردیف چرخ و یا کل کامیون در نظر گرفته شود باید آن بار برابر  $2E$  تقسیم گردد. و اگر بار وارد بار خطی معادل باشد در این صورت نیز این بار در بهنای  $2E$  توزیع می‌گردد.

**مثال:**

عبورگاهی بدنهانه ساده ساخته شده از دال تخت توپر مطابق شکل (۵-۱۵ الف) مفروض است لنجر حداقل مطلق را برای نواری به عرض واحد از دال در اثر باریک کامیون HS بهروش آئین نامه آشتو حساب کنید.



شکل (۵-۱۵) الف پلان عبورگاه

**حل:**

ابتدا عرض موئشر را حساب می‌کنیم.

$$E = 1.22 + 0.06 S \leq 2.1 \text{ m} \quad S = 12\text{m}$$

$$E = 1.22 + 0.06 \times 12 = 1.94 < 2.1 \quad \text{O.K.}$$

برای محاسبه بار پخش شده هر چرخ از یک ردیف چرخ کامیون، باید بار آن چرخ بر  $E$  تقسیم گردد.

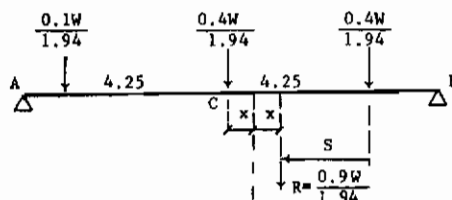
$$P = 0.1W \quad \text{بار یک چرخ جلو}$$

$$P' = \frac{0.1W}{E} = \frac{0.1W}{1.94} \quad \text{پس از پخش خواهیم داشت:}$$

بار یک چرخ میانی یا عقب  $P = 0.4 W$

$$P' = \frac{0.4 W}{E} = \frac{0.4 W}{1.94}$$

اگنون نواری به عرض یک متر از دال جهت ایجاد لنگر خمشی حد اکثر مطلق باید مطابق شکل (۱۵-۵) ب بارگذاری شود.



شکل (۱۵-۵) ب بارگذاری طولی

$$\left(\frac{0.5W}{1.94}\right)(S) = \left(\frac{0.4W}{1.94}\right)(4.25) + \left(\frac{0.1W}{1.94}\right)(8.50)$$

$$0.9S = (4.25)(0.4 + 0.2)$$

$$S = 2.833 \text{ m}$$

$$S + 2x = 4.25 \quad 2x = 1.417 \quad x = 0.708 \text{ m}$$

$$\sum M_A = 0 \rightarrow R_{By} = \frac{\left(\frac{0.9W}{1.94}\right)(6+0.708)}{12} = 0.2593 \text{ W}$$

$$M_c = R_{By}(6+0.708) - \left(\frac{0.4W}{1.94}\right)(4.25)$$

$$M_c = \frac{(0.9W)(6.708)^2}{1.94 \times 12} - \frac{(0.4W)(4.25)}{1.94} = 0.8633 \text{ W}$$

$$M_{\max, L} = 153.667 \text{ KN.m/m}$$

ضریب ضربه بار زنده استاندارد طبق آئین نامه آشتوبرابراست.

$$I = \frac{15}{L + 38} = 0.3$$

$$M_{\max(L+I)} = 1.3 \times 153.667 = 199.767 \text{ KN.m/m}$$

## ب - دال و تیر:

طبق این آئین نامه سهم هریک از تیرهای اصلی طولی بصورت کسری از باریک ردیف چرخ کامیون (مطابق جدول ۱-۵) بیان شده است. هرگاه این کسر در باریک ردیف چرخ کامیون ضرب گردد نتیجه را می‌توان برای محاسبه نیروی برشی و لنگر خمشی بطور یکسان بکار برد. فقط باید توجه شود که اگر بار چرخی برروی تکیه‌گاه و یا نزدیک آن قرار گیرد فقط برای محاسبه نیروی برشی، توزیع عرضی آن بار چرخ در نظر گرفته نمی‌شود.

سیستم عبورگاه	پله خط تراشه	دوها چند خط تراشه
	کسری از بار ردیف چرخ که برها همراه باشد و از بار دور	کسری از بار ردیف چرخ که برها همراه باشد
دال پنهان در روی چهار چرخی های بتنی پوش تبدیل از مربع (با I ظری)	$\frac{S}{1/12} (S_{\max} - 2 \text{ m}) \circ$	$\frac{S}{1/9A} (S_{\max} - 2/7 \text{ m}) \circ$
دال پنهان در روی چهار چرخی های بتنی T	$\frac{S}{1/9A} (S_{\max} - 1/4 \text{ m}) \circ$	$\frac{S}{1/8T} (S_{\max} - 2 \text{ m}) \circ$
دال پنهان در روی چهار چرخی های جعبه‌ای بتنی	$\frac{S}{1/22} (S_{\max} - 2/2 \text{ m}) \circ$	$\frac{S}{1/12} (S_{\max} - 2/4 \text{ m}) \circ$

\* اگر  $S > S_{\max}$  گردد در این صورت با فرض دهانه ساده باید حل گردد.

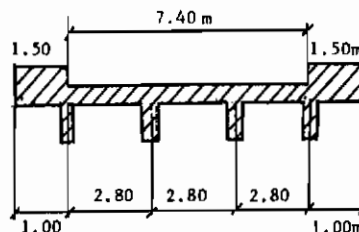
جدول (۱-۵)

سهم تیرهای اصلی طولی خارجی (کناری) را با فرض اتصال ساده بین دال و تیر طولی می‌توان حساب کرد. در این صورت باید توجه شود که ظرفیت باربری این تیرها نباید کمتر از تیرهای طولی اصلی داخلی باشد. برای اطلاعات بیشتر به آئین نامه آشتو مراجعه شود.

مثال ۱:

در عبورگاه شکل (۱۶-۵) الف مطلوبست تعایش ترسیمه‌های بارگذاری یکی از تیرهای

طولی داخلی برای محاسبه لنگر خمشی حد اکثر مطلق و نیز نیروی برشی حد اکثر، عبورگاه بهدهانه ساده  $20 \text{ m}$  فرض گردد و بار واردہ کامیون  $20 \text{ HS}$  می‌باشد.



شکل (۵-۱۶ الف) مقطع عرضی عبورگاه

حل:

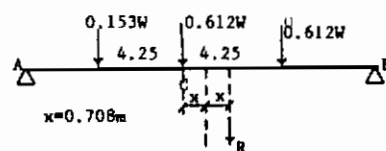
نتایج در شکل‌های (۱۶-۵) ب و ج نشان داده شده است.  
دال بر روی شاھتیرهای بتُنی  $T$  :

$$S = 2.8 \text{ m} < S_{\max.} = 3.00 \text{ m}$$

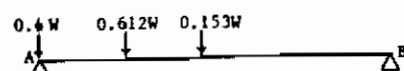
$$\text{کسر} = \frac{S}{1.83} = \frac{2.80}{1.83} = 1.53 \quad \text{دو خط عبور}$$

$$P' = (0.1W) \times 1.53 = 0.153 W, \quad W = 178 \text{ KN}$$

$$P' = (0.4W) \times 1.53 = 0.612 W$$



شکل (۵-۱۶) ب ترسیمه بارگذاری یک تیر طولی داخلی برای محاسبه  $M_{x_{\max.}}$



شکل (۵-۱۶) ج ترسیمه بارگذاری یک تیر طولی داخلی برای محاسبه  $V_{y_{\max.}}$

توجه که در شکل آخر ترسیمه، بارگذاری با استفاده از خط تأثیر برش حاصل گردیده است این ترسیمه، برش حد اکثر مثبت را که در تکیه‌گاه A می‌باشد نتیجه می‌شود. بارچرخ عقب (W/۴) که در روی تکیه‌گاه A قرار دارد بدون پخش عرضی در نظر گرفته شده است.

### ۵ - ۵ - روش تشابه‌سازی عبورگاه بهمیک صفحه معادل (ماسونت<sup>۲</sup>، موریس و لیتل<sup>۳</sup>)

این روش مبتنی بر مطالعه یک سیستم معادل الاستیک می‌باشد که از جانشین‌گردن سختی تعدادی تیر با یک سیستم گسترده پکتواخت با سختی کلی پکسان بدست می‌آید. در این روش فرض کلی برآنست که پروفیل عرضی این دال معادل در اثر هر نوع بار متمرکز اعمال شده به هر نقطه از طول دهانه دارای شکل ثابتی باشد. این بدان معنی است که یک سری ضرایب محاسباتی برای بیان منحنی تغییرشکل یافته مقطع عرضی بکار برده می‌شود و پروفیل تغییرشکل یافته طولی و لنگر خمی برای هر نقطه از عرض پل مشابهند.

کاربرد تئوری صفحه ارتوتروپیک (ضمیمه یک) برای تحلیل عبورگاه بتنی با دهانه ساده اولین بار توسط شخصی بنام موریس و لیتل ارائه گردید. منحنی‌های آمساده جهت اثرات بار متمرکز بر روی عبورگاه تهیه شده که با استفاده از آنها می‌توان لنگر خمی طولی و عرضی در عبورگاه را محاسبه کرد. برنامه‌های کامپیوتری نیز براساس این روش وجود دارد که جهت دقت و سرعت بخشیدن به محاسبات بکار برده می‌شوند.

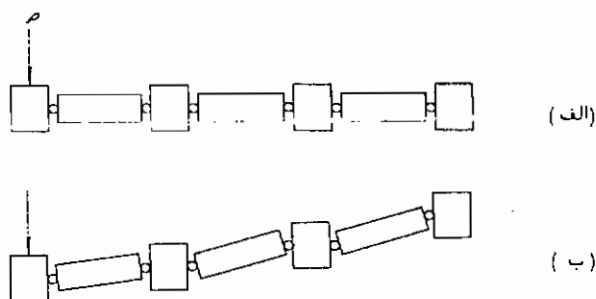
اگرچه از نظر تئوری این روش به تحلیل انواع عبورگاه‌های قائم و دهانه ساده شامل دال تخت توپر، دال حفره‌ای و سیستم دال و تیر با مقطع مربع مستطیل محدود می‌گردد، اما عمل<sup>۴</sup> باترمیمات لازم می‌توان عبورگاه مورب با زاویه کمتر از ۲۵° و همچنین عبورگاه ممتد را با این روش تحلیل کرد. حتی در مواقعی که این روش قابل اجرا نباشد استفاده از این روش جهت محاسبات مقدماتی مناسب خواهد بود.

نمودارهایی که برای ضرایب توزیع توسط موریس و لیتل تهیه شده است برای دو حالت حدی رفتار عبورگاه‌ها بنا شده بدون پیچش و شبکه تمام پیچشی می‌باشد.

شبکه بدون پیچش شامل عبورگاه‌هایی می‌شود که در آنها پخش بار به کمک مقاومت برشی بوجود آمده در اتصالات بین اجزاء تشکیل دهنده عبورگاه انجام می‌شود (شکل ۱۷-۵الف) و (۱۷-۵ب)، البته پخش بار توسط برش تنها وضعیت محدودی را برای بررسی رفتار سازه پل بیان می‌کند و این رفتار را به عنوان عملکرد یک سازه واقعی بتن مسلح و یا بتن پیش تنشیده که در عمل بکار برده می‌شود نمی‌توان عمومیت داد. در این گونه سازه‌های تیرهای

طولی و عرضی خود دارای مقداری مقاومت خمشی و برشی بوده و اتصالات آنها تا حدی مقاومتهای مربوطه را دارا می‌باشند.

در جهت بهبود کیفیت پخش بار واردہ به کلیه اعضای مجاور آن بار، یک حد بالارا می‌توان فرض کرد که توسط رفتار یک دال تخت توپر ایزوتروپیک بیان می‌شود. دال تخت ایزوتروپیک شکل (۱۸-۵ الف) را که تحت اثر یک بار متتمرکز می‌باشد در نظر می‌گیریم. پخش بار در این نوع عبورگاه خیلی بهتر از نوع عبورگاه شبکه بدون پیچش می‌باشد. تغییر شکل این دال در اثر بار متتمرکز در شکل (۱۸-۵ ب) ملاحظه می‌گردد. با مقایسه با شبکه بدون پیچش در این نوع عبورگاه تغییر شکل بطرف بالا ایجاد نخواهد شد. پخش بار در یک دال تخت توپر ایزوتروپیک و پیچش انجام می‌گیرد. با استفاده از تئوری ارجاعی ثابت می‌شود که یک دال تخت توپر ایزوتروپیک از نظر پخش بار متتمرکز حداکثر طرفیت را دارا می‌باشد. به این نوع عبورگاه اغلب دال تمام پیچشی نیز گفته می‌شود. البته پخش بار در پلهای واقعی به خوبی یک دال تمام پیچشی نمی‌باشد و معمولاً "وضعیتی بین شبکه بدون پیچش و دال تمام پیچشی" را دارد.



شکل (۱۷-۵)



شکل (۱۸-۵)

## ضریب پخش بار

نمودارها و جداول طرح براساس جوابهای حاصل از معادلات دیفرانسیل برای تغییر شکل نیک صفحه ارتوتروپیک (غیر ایزوتروپیک) می‌باشد.

$$D_x \frac{\partial^4 \omega}{\partial x^4} + 2H \frac{\partial^4 \omega}{\partial x^2 \partial y^2} + D_y \frac{\partial^4 \omega}{\partial y^4} = p(x, y) \quad (1)$$

که  $x$  و  $y$  محورهای مختصات می‌باشند،  $p(x, y)$  بارگستردۀ واردۀ به صفحه،  $\omega$  خیز (تغییر-شکل) می‌باشد.

$D_x$  سختی خمشی طولی در واحد عرض است ( $E_i =$ )

$D_y$  عرضی " " دهانه است. ( $E_j =$ )

$2H$  سختی پیچشی کل می‌باشد که:

$$2H = 2\alpha(D_x D_y)^{\frac{1}{2}}$$

$$\alpha = \frac{D_{xy} + D_{yx} + D_1 + D_2}{2(D_x D_y)^{\frac{1}{2}}}$$

$D_{xy}$  سختی پیچشی طولی در واحد عرض است ( $G_{i0} =$ )

$D_{yx}$  عرضی " " دهانه است ( $G_{j0} =$ )

$D_1$  سختی کوپلی در واحد عرض می‌باشد ( $VD_x =$ )

$D_2$  دهانه " " " "  $VD_y =$

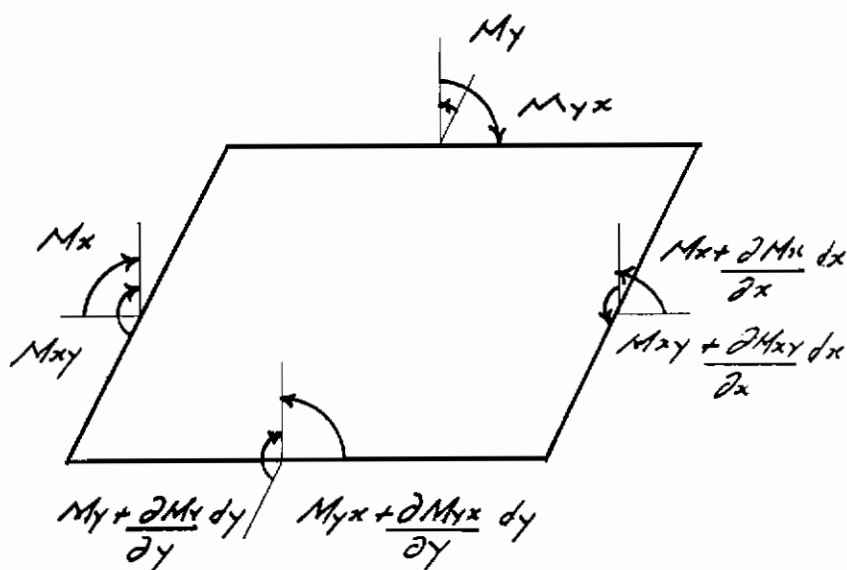
در روش ماسونت برای عبورگاه تمام پیچشی (حد بالا) مقدار  $\alpha = 1$  فرض کرده و از مقادیر  $D_1$  و  $D_2$  صرفنظر می‌شود.

معادله (۱) با استفاده از معادله تعادل یک جزء صفحه (معادله ۲) بدست می‌آید.

مراجعه شود به ضمیمه ۱ (شکل ۱۹-۵).

$$\frac{\partial^2 M_x}{\partial x^2} + \frac{\partial^2 M_y}{\partial y^2} - 2 \frac{\partial^2 M_{xy}}{\partial x \partial y} = -p \quad (2)$$

که  $p$  شدت بار می‌باشد.



شکل (۱۹-۵) تعادل یک جزء صفحه

با استفاده از یک سری ریاضی که بیانگر تغییرشکل می‌باشد ماسونت جوابی بصورت زیر را ارائه داد.

$$\omega = K_1 \omega_1 + K_2 \omega_2 + \dots + K_m \omega_m \quad (3)$$

تغییر شکل متوسطه عبارت است از:

برای محاسبه تغییرشکل  $\omega$  و یا لنگر خمشی طولی  $M_x$  مقدار ضریب پخش عرضی بار  $K$  حاصل از اولین جمله سری تغییرشکل بکار برده می‌شود یعنی:

$$K = \frac{\omega}{\omega_{\text{mean}}}$$

$$\omega_{\text{max}} = K \times \omega_{\text{mean}} \quad (4)$$

افزایش دلخواه ده درصد جهت اثرات ضریب پواسیون و نحوه محاسبه  $K$  برای محاسبه لنگر خمشی طولی در نظر گرفته می‌شود یعنی:

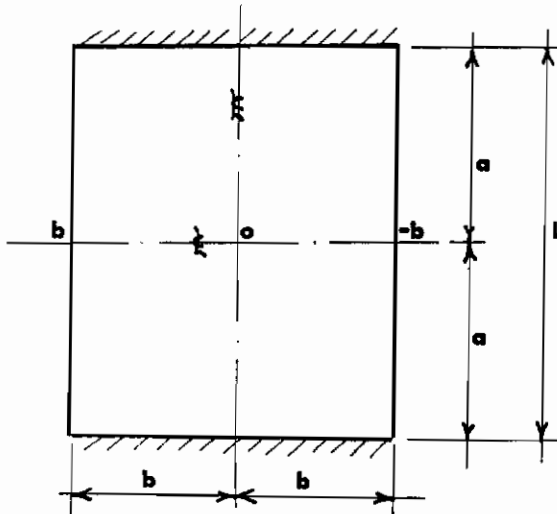
$$M_x = 1.1 K M_{x(\text{mean})} \quad (5)$$

مقادیر  $K$  بستگی به مقدار  $\alpha$  در دو حد بالا  $= 1$  و حد پائین  $= 0$  و نیز نقاطی بنام نقاط مرجع ( $y$ ) و محل اعمال بار ( $e$ ) دارد که بر حسب این پارامترها بصورت نمودارها و یا جداولی وجود دارند با  $(K_1)$  و  $(K_0)$   $\alpha = 0$  و  $\alpha = 1$  (جدول ۲۵) . برای تعیین نقاط مرجع کل عرض عبورگاه (در دالها) به هشت قسمت مساوی تقسیم می شود (شکل ۲۰-۵) و نقاط عبارتند از:

$$-b, -\frac{3b}{4}, -\frac{b}{2}, -\frac{b}{4}, 0, \frac{b}{4}, \frac{b}{2}, \frac{3b}{4}, b$$

برای  $\alpha$  بین ۰ و ۱ فرمول انتقالی زیر بکار برده می شود .

$$K_\alpha = K_0 + (K_1 - K_0) \alpha^{\frac{1}{2}}$$



شکل (۲۰-۵) پلان عبورگاه

مقادیر  $K$  در ارتباط با دو پارامتر زیر می باشد .

$$\theta = \frac{b}{2a} \left[ \frac{i}{j} \right]^{\frac{1}{4}} \quad \text{پارامتر خمشی}^4$$

$$\alpha = \frac{G}{2E} \frac{(i_o + j_o)}{(ij)^2} \quad \text{و پارامتر پیچشی}^5$$

$$G = \frac{E}{2(1+\gamma)} \approx \frac{E}{2} \quad \gamma \approx 0 \quad \text{برای بتن ضریب پواسیون}$$

$$\frac{G}{2E} \approx \frac{1}{4} \quad \text{پس با تقریب داریم:}$$

b = نصف عرض صفحه ارتوتروپیک معادل عبورگاه

2a = طول دهانه، مؤثر عبورگاه

i = معان اینرسی خمسی برای عرض واحد از مقطع عرضی عبورگاه

" " " " طول " " طولی " j

io = معان اینرسی پیچشی برای عرض واحد از مقطع عرضی عبورگاه

" " " " طول " " طولی " jo

G = ضریب ارجاعی برشی مصالح عبورگاه

" " " " مصالح عبورگاه L =

جداول تئوری صفحه ارتوتروپیک؛ ضرایب پخش عرضی

علام:

$\theta$  = پارامتر خمسی

$\alpha_1$  = ضریب پخش برای ۱ =  $K_1$

$\alpha_0$  = ضریب پخش برای ۰ =  $K_0$

e = خروج از مرکز بار

y = ایستگاه مرجع

K

$y \rightarrow$	-b	$-3b/4$	$-b/2$	$-b/4$	0	$b/4$	$b/2$	$3b/4$	b
$\downarrow$									
$\theta = 0.10 K_0$									
0	+0.9993	+0.9997	+1.0001	+1.0004	+1.0005	+1.0004	+1.0001	+1.0001	+0.9993
$b/4$	+0.2495	+0.4373	+0.6250	+0.8127	+1.0004	+1.1878	+1.3751	+1.5622	+1.7493
$b/2$	-0.5000	-0.1250	+0.2500	+0.6250	+1.0001	+1.3751	+1.7501	+2.1249	+2.4998
$3b/4$	-1.2495	-0.6873	-0.1250	+0.4373	+0.9997	+1.5622	+2.1249	+2.6877	+3.2505
b	-1.9989	-1.2495	-0.5000	+0.2495	+0.9993	+1.7493	+2.4998	+3.2505	+4.0015
$K_1$									
0	+0.9993	+0.9997	+1.0001	+1.0003	+1.0005	+1.0003	+1.0001	+0.9997	+0.9993
$b/4$	+0.8873	+0.9906	+0.9938	+0.9971	+1.0003	+1.0034	+1.0063	+1.0090	+1.0116
$b/2$	+0.8758	+0.9816	+0.9877	+0.9938	+1.0000	+1.0063	+1.0124	+1.0183	+1.0241
$3b/4$	+0.9841	+0.9728	+0.9816	+0.9906	+0.9997	+1.0090	+1.0183	+1.0276	+1.0309
b	+0.9527	+0.9641	+0.9758	+0.9873	+0.9993	+1.0118	+1.0241	+1.0369	+1.0498
$\theta = 0.20 K_0$									
0	+0.9884	+0.9948	+1.0000	+1.0057	+1.0078	+1.0057	+1.0009	+0.9948	+0.9884
$b/4$	+0.2421	+0.4336	+0.6251	+0.8160	+1.0057	+1.1929	+1.3767	+1.5583	+1.7394
$b/2$	-0.5008	-0.1257	+0.2405	+0.6251	+1.0009	+1.3787	+1.7514	+2.1242	+2.4861
$3b/4$	-1.2418	-0.6839	-0.1257	+0.4336	+0.9043	+1.5583	+2.1242	+2.8913	+3.2581
b	-1.9823	-1.2418	-0.5008	+0.2421	+0.8884	+1.7394	+2.4961	+3.2581	+4.0236
$K_1$									
0	+0.8912	+0.9060	+1.0006	+1.0044	+1.0061	+1.0044	+1.0006	+0.9980	+0.9912
$b/4$	+0.9488	+0.9810	+0.9755	+0.9902	+1.0044	+1.0187	+1.0257	+1.0328	+1.0392
$b/2$	+0.0058	+0.9281	+0.9513	+0.9755	+1.0006	+1.0257	+1.0498	+1.0708	+1.0906
$3b/4$	+0.8874	+0.8972	+0.9281	+0.9610	+0.9960	+1.0328	+1.0708	+1.1086	+1.1449
b	+0.8305	+0.8674	+0.9058	+0.9468	+0.9912	+1.0392	+1.0906	+1.1449	+1.2009
$\theta = 0.30 K_0$									
0	+0.9423	+0.9742	+1.0044	+1.0283	+1.0385	+1.0283	+1.0044	+0.9742	+0.9423
$b/4$	+0.2108	+0.4183	+0.6252	+0.8208	+1.0283	+1.2146	+1.3833	+1.5419	+1.6975
$b/2$	-0.5038	-0.1284	+0.2477	+0.6252	+1.0044	+1.3833	+1.7572	+2.1209	+2.4805
$3b/4$	-1.2085	-0.6698	-0.1284	+0.4183	+0.9742	+1.5419	+2.1209	+2.7062	+3.2901
b	-1.9123	-1.2095	-0.5038	+0.2109	+0.9428	+1.6975	+2.4805	+3.2901	+4.1177
$K_1$									
0	+0.9664	+0.9840	+1.0018	+1.0173	+1.0244	+1.0173	+1.0018	+0.9840	+0.9664
$b/4$	+0.8776	+0.9104	+0.9453	+0.9820	+1.0173	+1.0451	+1.0591	+1.0652	+1.0689
$b/2$	+0.8012	+0.8453	+0.8929	+0.9453	+1.0018	+1.0591	+1.1108	+1.1508	+1.1849
$3b/4$	+0.7345	+0.7876	+0.8453	+0.9104	+0.9840	+1.0652	+1.1508	+1.2351	+1.3126
b	+0.6733	+0.7345	+0.8012	+0.8776	+0.9664	+1.0689	+1.1849	+1.3126	+1.4474
$\theta = 0.40 K_0$									
0	+0.8273	+0.9225	+1.0129	+1.0851	+1.1160	+1.0851	+1.0129	+0.9225	+0.8273
$b/4$	+0.1337	+0.3800	+0.6250	+0.8637	+1.0851	+1.2096	+1.4005	+1.5005	+1.5916
$b/2$	-0.5106	-0.1350	+0.2426	+0.6250	+1.0129	+1.4005	+1.7725	+2.1128	+2.4400
$3b/4$	-1.1286	-0.6344	-0.1350	+0.3800	+0.9225	+1.5005	+2.1128	+2.7438	+3.3702
b	-1.7381	-1.1286	-0.5106	+0.1337	+0.8273	+1.5918	+2.4400	+3.3702	+4.3560

جدول (۵-۲) ضرایب پخش بار

K

$y \rightarrow$	-b	-3b/4	-b/2	-b/4	0	b/4	b/2	3b/4	b
Table I/8 contd.									
K <sub>1</sub>									
0	+0.9220	+0.9613	+1.0030	+1.0414	+1.0601	+1.0414	+1.0030	+0.9613	+0.9220
b/4	+0.7862	+0.8420	+0.9043	+0.9733	+1.0414	+1.0914	+1.1051	+1.0994	+1.0893
b/2	+0.6778	+0.7429	+0.8171	+0.9043	+1.0030	+1.1051	+1.1931	+1.2489	+1.2893
3b/4	+0.5903	+0.6613	+0.7429	+0.8420	+0.9813	+1.0994	+1.2489	+1.3940	+1.5188
b	+0.5148	+0.5903	+0.6778	+0.7862	+1.0220	+1.0893	+1.2803	+1.5188	+1.7880
$\nu = 0.50 K_0$									
0	+0.6203	+0.8288	+1.0273	+1.1877	+1.2575	+1.1877	+1.0273	+0.8288	+0.6203
b/4	-0.0021	+0.3111	+0.6223	+0.9226	+1.1877	+1.3721	+1.4338	+1.4250	+1.3908
b/2	-0.5198	-0.1406	-0.2317	+0.0223	+1.0273	+1.4336	+1.8038	+2.0981	+2.3613
3b/4	-0.9828	-0.5703	-0.1486	+0.3111	+0.8288	+1.4250	+2.0981	+2.8125	+3.5140
b	-1.4286	-0.9228	-0.5198	-0.0021	+0.6203	+1.3968	+2.3613	+3.5140	+4.7981
Table I/10									
K <sub>1</sub>									
0	+0.8609	+0.9276	(1.0028)	+1.0767	+1.1146	+1.0767	+1.0028	+0.9276	+0.8609
b/4	+0.6834	+0.7617	(0.8547)	+0.9642	+1.0767	+1.1557	+1.1603	+1.1293	+1.0937
b/2	+0.5516	+0.6326	(0.7308)	+0.8547	+1.0028	+1.1603	+1.2911	+1.3544	+1.3876
3b/4	+0.4538	+0.5340	+0.6326	+0.7617	+0.9276	+1.1293	+1.3544	+1.5704	+1.7409
b	+0.3751	+0.4538	+0.5516	+0.6834	+0.8609	+1.0937	+1.3876	+1.7409	+2.1362
$\nu = 0.60 K_0$									
0	+0.3347	+0.6968	+1.0447	+1.3316	+1.4594	+1.3316	+1.1447	+0.6968	+0.3347
b/4	-0.1808	+0.2154	+0.6119	+0.9977	+1.3316	+1.5237	+1.4853	+1.3177	+1.1155
b/2	-0.5241	-0.1615	+0.2117	+0.6119	+1.0447	+1.4853	+1.8575	+2.0778	+2.2358
3b/4	-0.7808	-0.4806	-0.1615	+0.2154	+0.9068	+1.3177	+2.0778	+2.9106	+3.7122
b	-1.0112	-0.7808	-0.5241	-0.1808	+0.3347	+1.1155	+2.2358	+3.7122	+5.4480
$\nu = 0.60 K_1$									
0	+0.7878	+0.8639	+0.9996	+1.1215	+1.1878	+1.1215	+0.9996	+0.8839	+0.7878
b/4	+0.5792	+0.6761	+0.7992	+0.9545	+1.1215	+1.2361	+1.2207	+1.1501	+1.0792
b/2	+0.4349	+0.5243	+0.6410	+0.7992	+0.9996	+1.2207	+1.3994	+1.4582	+1.4986
3b/4	+0.3362	+0.4171	+0.5243	+0.6761	+0.8839	(1.1501)	+1.4582	+1.7516	+1.9607
b	+0.2627	+0.3362	+0.4349	+0.5792	+0.7878	+1.0782	+1.4686	+1.9607	+2.5312
$\nu = 0.70 K_0$									
0	+0.0218	+0.5464	(1.0580)	+1.4938	+1.6055	+1.4938	+1.0580	+0.5404	+0.0216
b/4	-0.3588	+0.1095	(0.5862)	+1.0670	+1.4938	+1.7118	+1.5548	+1.1934	+0.7809
b/2	-0.5114	-0.1756	(0.1798)	+0.5802	+1.0580	+1.5548	+1.9392	+2.0554	+2.0018
3b/4	-0.5575	-0.3794	-0.1756	+0.1095	+0.5464	+1.1834	+2.0554	+3.0254	+3.9282
b	-0.5733	-0.5575	-0.5114	-0.3589	+0.0216	+0.7800	+2.0618	+3.9282	+6.2464
Table I/14									
K <sub>1</sub>									
0	+0.7080	+0.8319	+0.9023	+1.1737	+1.2783	+1.1737	+0.9923	+0.8319	+0.7080
b/4	+0.4808	+0.5905	+0.7407	+0.9437	+1.1737	+1.3307	+1.2824	+1.1589	+1.0461
b/2	+0.3342	+0.4253	+0.5535	+0.7407	+0.9923	+1.2824	+1.5134	+1.5539	+1.5262
3b/4	+0.2417	+0.3171	+0.4253	+0.5905	+0.8319	+1.1589	+1.5539	+1.9305	+2.1668
b	+0.1782	+0.2417	+0.3342	+0.4808	+0.7080	+1.0461	+1.5202	+2.1668	+2.9395
$\nu = 0.80 K_0$									
0	-0.2595	0.4010	+1.0595	+1.6478	+1.9348	+1.6478	+1.0595	+0.4010	-0.2595
b/4	-0.4898	+0.0123	+0.5394	+1.1076	+1.0478	+1.9191	+1.6383	+1.0694	+0.4362
b/2	-0.4719	-0.1844	+0.1348	+0.5394	+1.0595	+1.6383	+2.0526	+2.0353	+1.8428
3b/4	-0.3530	-0.2834	-0.1844	+0.0123	+0.4010	+1.0694	+2.0353	+3.1419	+4.1195
b	-0.2094	0.3530	0.4719	-0.4898	-0.2595	+0.4362	+1.8428	+4.1195	+7.1154
Table I/16									

K

$y \rightarrow$	-b	-3b/4	-b/2	-b/4	0	b/4	b/2	3b/4	b
Table I/16 contd.									
$K_1$									
0	+0.0258	+0.7738	+0.9802	+1.2308	+1.3841	+1.2308	+0.9802	+0.7738	+0.6259
b/4	+0.3923	+0.5089	+0.8812	+0.9313	+1.2308	+1.4371	+1.3426	+1.1547	+0.9971
b/2	+0.2516	+0.3389	+0.4720	+0.6812	+0.9602	+1.3426	+1.8305	+1.8381	+1.5588
3b/4	+0.1695	+0.2358	+0.3389	+0.5089	+0.7738	+1.1547	+1.6381	+2.1023	+2.3534
b	+0.1177	+0.1695	+0.2516	+0.3923	+0.6259	+0.9971	+1.5588	+2.3534	+3.3539
$\theta = 0.90 K_0$									
0	-0.4715	+0.2749	+1.0436	+1.7771	+2.1592	+1.7771	+1.0436	+0.2749	-0.4715
b/4	-0.5493	-0.0646	+0.4700	+1.1070	+1.7771	+2.1334	+1.7309	+0.9505	+0.1129
b/2	-0.4042	-0.1851	+0.0792	+0.4700	+1.0436	+1.7309	+2.1980	+2.0203	+1.5843
3b/4	-0.1919	-0.2028	-0.1851	-0.0646	+0.2749	+0.9565	+2.0203	+3.2519	+4.2579
b	+0.0299	-0.1919	-0.4042	-0.5493	-0.4715	+0.1129	+1.5843	+4.2579	+8.0034
$\theta = 0.90 K_1$									
0	+0.5452	+0.7110	+0.8631	+1.2903	+1.5028	+1.2903	+0.8631	+0.7110	+0.5452
b/4	+0.3155	+0.4335	+0.0224	+0.9184	+1.2903	+1.5534	+1.3996	+1.1380	+0.9359
b/2	+0.1884	+0.2683	+0.3987	+0.6224	+0.9631	+1.3996	+1.7493	+1.7094	+1.5677
3b/4	+0.1166	+0.1722	+0.2683	+0.4335	+0.7119	+1.1380	+1.7094	+2.2658	+2.5180
b	+0.0762	+0.1166	+0.1884	+0.3155	+0.5452	+0.0359	+1.5677	+2.5180	+3.7710
$\theta = 1.00 K_0$									
0	-0.8044	+0.1715	+1.0080	+1.8775	+2.3663	+1.8775	+1.0080	+0.1715	-0.6044
b/4	-0.5391	-0.1183	+0.3824	+1.0658	+1.8775	+2.3492	+1.8265	+0.8567	-0.1726
b/2	-0.3161	-0.1774	+0.0184	+0.3824	+1.0080	+1.8265	+2.3729	+2.0116	+1.2940
3b/4	-0.0796	-0.1402	-0.1774	-0.1183	+0.1715	+0.8567	+2.0116	+3.3546	+4.3335
b	+0.1460	-0.0796	-0.3161	-0.5391	-0.6044	-0.1726	+1.2940	+4.3335	+8.8915
$K_1$									
0	+0.4888	+0.6482	+0.9410	+1.3499	+1.6320	+1.3499	+0.9410	+0.6482	+0.4888
b/4	+0.2508	+0.3857	+0.5852	+0.8985	+1.3499	+1.6081	+1.4523	+1.1105	+0.8667
b/2	+0.1363	+0.2070	+0.3342	+0.5652	+0.0410	+1.4523	+1.8896	+1.7879	+1.5557
3b/4	+0.0789	+0.1240	+0.2070	+0.3656	+0.6482	+1.1105	+1.7879	+2.4213	+2.8805
b	+0.0484	+0.0789	+0.1363	+0.2508	+0.4688	+0.8667	+1.5557	+2.6805	+4.1892
$\theta = 1.10 K_0$									
0	-0.8652	+0.0880	+0.9531	+1.9518	+2.5621	+1.9518	+0.9531	+0.0880	-0.6652
b/4	-0.4770	-0.1515	+0.2842	+0.9025	+1.9518	+2.5643	+1.9180	+0.7675	-0.4129
b/2	-0.2209	-0.1626	-0.0403	+0.2842	+0.9531	+1.9180	+2.5717	+2.0089	+0.9824
3b/4	-0.0097	-0.0936	-0.1626	-0.1515	+0.0880	+0.7875	+2.0089	+3.4539	+4.3474
b	+0.1709	-0.0097	-0.2209	-0.4770	-0.8652	-0.4129	+0.9624	+4.3474	+9.7780
$K_1$									
0	+0.3985	+0.5846	+0.9142	+0.4075	+1.7691	+1.4075	+0.9142	+0.5846	+0.3985
b/4	+0.1989	+0.3055	+0.5103	+0.8771	+1.4075	+1.8095	+1.5003	+1.0740	+0.7931
b/2	+0.0985	+0.1593	+0.2783	+0.5103	+0.9142	+1.5003	+1.9915	+1.8145	+1.5263
3b/4	+0.0527	+0.0882	+0.1593	+0.3055	+0.5846	+1.0740	+1.8145	+2.5695	+2.7813
b	+0.0303	+0.0527	+0.0985	+0.1969	+0.3985	+0.7831	+1.5283	+2.7813	+4.6078

$y \rightarrow$	-b	$-3b/4$	$-b/2$	$-b/4$	0	$b/4$	$b/2$	$3b/4$	b	K
$\downarrow$										
$d = 1.20 K_0$										Table I/22
0	-0.6677	+0.0199	+0.8805	+2.0050	+2.7541	+2.0050	+0.8805	+0.0199	-0.6677	
$b/4$	-0.3856	-0.1685	+0.1841	+0.8977	+2.0050	+2.7777	+1.9887	+0.6851	-0.6038	
$b/2$	-0.1417	-0.1424	-0.0900	+0.1841	+0.8805	+1.9987	+2.7876	+2.0114	+0.6820	
$3b/4$	+0.0279	-0.0594	-0.1424	-0.1685	+0.0199	+0.6851	+2.0114	+3.5547	+4.3049	
b	+0.1439	+0.0279	-0.1317	-0.3856	-0.6677	-0.6038	+0.6820	+4.3049	+10.6646	
	$K_1$									
0	+0.3352	+0.5233	+0.8834	+1.4614	+1.9124	+1.4614	+0.8834	+0.5233	+0.3352	
$b/4$	+0.1533	+0.2534	+0.4582	+0.8520	+1.4614	+1.9468	+1.5432	+1.0306	+0.7182	
$b/2$	+0.0706	+0.1217	+0.2304	+0.458	+0.8834	+1.5432	+2.1156	+1.8501	+1.4827	
$3b/4$	+0.0348	+0.0621	+0.1217	+0.2534	+0.5233	+1.0306	+1.8501	+2.7114	+2.8817	
b	+0.0188	+0.0348	+0.0706	+0.1533	+0.3352	+0.7182	+1.4827	+2.8817	+5.0266	

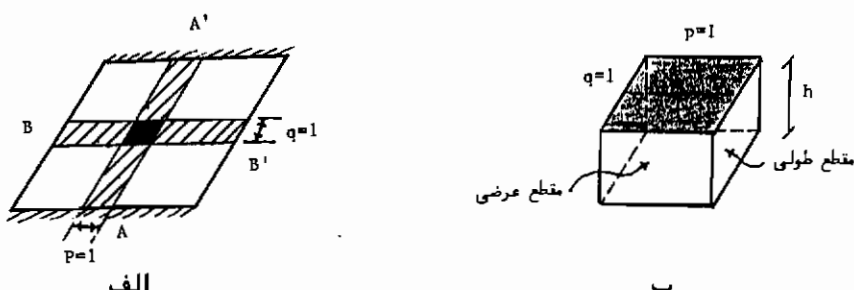
## ادامه جدول (۲۱-۵) قسمت چهارم

 $\alpha$  و  $\theta$  محاسبه

محاسبه ضرایب خمشی  $\theta$  و پیچشی  $\alpha$  برای مقاطع عرضی متفاوت عبورگاههای بتی  
بقرار زیر است :

عبورگاه دال تخت توپر

قطعه‌ای از دال تختی را مطابق شکل (۲۱-۵) با استفاده از تقاطع دو نوار هریک به  
عرض واحد یکی نوار طولی 'AA' و دیگری نوار عرضی 'BB' در نظر می‌گیریم :



شکل (۲۱-۵)

$$i = \frac{I}{p} = \frac{\frac{1}{12} \times h^3}{\frac{1}{12}} = \frac{h^3}{12}$$

برای مقطع عرضی

$$j = \frac{J}{q} = \frac{\frac{1 \times h^3}{12}}{1} = \frac{h^3}{12}$$

و برای مقطع طولی

برای قسمتهای ارسازه که در جهت طولی و عرضی مشترک می‌باشد لازم است که تأثیر سختی پیچشی در هر جهت نصف گردد، در غیر اینصورت قسمت مشترک در محاسبه سختی پیچشی مرکب  $(i_0 + j_0)$  دوبار بحساب آمده است.

برای یک مقطع به شکل مربع مستطیل به ابعاد  $x$  و  $y$ ، بطوریکه همواره  $y > x$  باشد، ممان اینرسی پیچشی توسط رابطه  $\beta_{xy}^3$  محاسبه می‌شود که مقدار  $\beta$  از جدول (۳-۵) زیر بدست می‌آید.

$\frac{x}{y}$	1.0	1.2	1.5	1.75	2.0	2.25	2.5	3.0	4.0	5.0	10.0	$\infty$
$\beta$	0.141	0.166	0.196	0.213	0.229	0.240	0.249	0.263	0.281	0.291	0.312	0.33

جدول (۳-۵)

اکنون برای شکل (۵-۲۱) ب برای مقاطع عرضی و طولی با فرض  $\beta = \frac{1}{3}$  خواهیم داشت:

$$i_{10} = \frac{\frac{I_0}{2}}{P} = \frac{\frac{\beta \times 1 \times h^3}{2}}{1} = \frac{h^3}{6}$$

مقاطع عرضی

$$j_{10} = \frac{J_0}{q} = \frac{\frac{\beta \times 1 \times h^3}{2}}{1} = \frac{h^3}{6}$$

مقاطع طولی

بنابراین برای یک دال تخت پارامتر خمی و پیچشی بصورت زیر ساده می‌شود:

$$\theta = \frac{b}{2a} \left[ \left( \frac{h^3}{12} \right) / \left( \frac{h^3}{12} \right) \right]^{\frac{1}{4}} = \frac{b}{2a}$$

$$\alpha = \frac{1}{4} \left[ \left( \frac{h^3}{6} + \frac{h^3}{6} \right) / \left( \frac{h^3}{12} \times \frac{h^3}{12} \right)^{\frac{1}{2}} \right] = 1$$

### عبورگاه دال و تیر

برای یک عبورگاه دال و تیر بدون دیافراگم های میانی (تیرهای عرضی) مقدار  $\Sigma \beta_{xy}^3$  سمت صفر میل می کند و بنابراین ضرایب  $I_0$  بکار برده می شوند. در غیر اینصورت مقدار  $\Sigma \beta_{xy}^3$  باید محاسبه گردد. برای مقطع مربع مستطیل معان اینرسی پیچشی از رابطه  $\Sigma \beta_{xy}^3$  داده می شود، و برای مقاطع T یا I شکل معان اینرسی مستطیل های تشکیل دهنده مقطع را جداگانه حساب کرده و نتیجه را باهم جمع می کنیم. بنابراین معان اینرسی پیچشی این مقاطع از رابطه  $\Sigma \beta_{xy}^3$  حاصل می گردد. در مقطع بسته مثلث "قوطی یک خانه" معان اینرسی پیچشی از رابطه  $(\frac{ds}{t})^2 / (4A^2)$  محاسبه می گردد که A عبارت است از سطح مقطع بین محیط متوسط مقطع  $ds$  جزئی از طول محیط و  $t$  ضخامت مقطع می باشد. بالاخره برای مقاطع قوطی چند خانه (شکل ۲۲-۵) معان اینرسی پیچشی از رابطه  $(\frac{ds}{t})^2 / (4A^2) + \Sigma \beta_{xy}^3$  حاصل می گردد.



شکل (۲۲-۵)

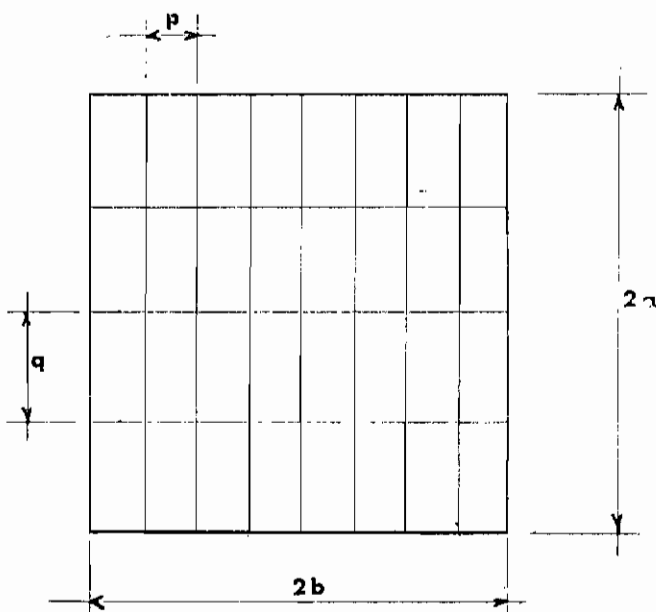
در شکل (۲۲-۵) به عنوان مثال خواهیم داشت:

$$I_0 = (\frac{ds}{t})^2 / (4A^2) + 2(\beta_{xy}^3)$$

برای عبورگاهی مشتمل از تیرهای طولی و عرضی با فواصل  $p$  و  $q$  مطابق شکل (۲۲-۵) سختیهای خمشی واحد عبارتند از:

$$i = \frac{I}{p} \quad , \quad i = \frac{J}{q}$$

$$i_0 = \frac{I_0}{p} \quad , \quad i_0 = \frac{J_0}{q} \quad \text{و سختیهای پیچشی واحد برابرند با:}$$



شکل (۲۳-۵)

سپس مقدار  $\theta$  و  $\alpha$  از روابط  $\theta = \frac{b}{2a} \left[ \frac{i}{j} \right]^{\frac{1}{4}}$  حاصل می‌گردد.

در محاسبه  $\theta$  برای عبورگاه دال و تیر باید به این نکته توجه شود که کمیت  $b$  بنام نصف عرض موئثر خوانده می‌شود که ممکن است با نصف عرض واقعی عبورگاه برابر نباشد. محاسبه  $2b$  موئثر و در نتیجه  $b$  موئثر را می‌توان از رابطه زیر تعیین کرد:

$$2b = n \cdot p \quad \text{فرمول تقریبی}$$

$$2b = \frac{(n-2)p+2p}{(n-2)p+2p} \quad \text{فرمول دقیقتر}$$

که در رابطه بالا  $n$  تعدادی تیرهای طولی و  $p$  فاصله مرکز تا مرکز تیرهای طولی می‌باشد. محاسبه ضرایب پخش برای مقادیر  $\theta = 0$  و  $1 \neq \alpha \neq 0$  باید از طریق فرمول زیر انجام می‌پذیرد.

$$k_{\alpha} = k_o + (k_1 - k_o)^{\alpha} \frac{1}{2}$$

در بخش‌های بعدی محاسبه کمیتهای زیر، با استفاده از روش ماسونت، مورد بررسی

قرار خواهد گرفت:

الف - محاسبه لنگر خمشی طولی  $M_x$

ب - محاسبه خیز  $\psi$

ج - محاسبه لنگر خمشی عرضی  $M_y$

د - محاسبه لنگر پیچشی  $M_{xy}$

ه - محاسبه نیروی برشی  $V_x$  و  $V_y$  و نیز عکس‌العمل‌های تکیه‌گاهی.

الف - محاسبه لنگر خمشی طولی حداکثر

لنگر خمشی طولی در عبورگاه دال تخت

مراحل تعیین  $M_{x_{\max}}$  به ترتیب زیر می‌باشد:

- لنگر خمشی متوسط را  $M_{x_{\text{mean}}}$ ، که عبارت است از لنگر خمشی ماکزیمم مطلق تمام

بارها تقسیم بر عرض مؤثر عبورگاه، محاسبه گردد.

- مقدار  $\alpha = \frac{b}{2a}$  فرض کرده و مقدار  $\theta$  را از رابطه  $\theta = \frac{b}{2a}$  محاسبه می‌کنیم.

- با توجه به مقدار  $\alpha$  و  $\theta$  جدول خاص ضرایب پخش بار را از جدول کلی (۵-۲)

تعیین می‌کنیم. مثلاً "اگر  $0.5 < \theta \leq 0.5k$ " باید از جدول  $k = 0.5$  استفاده شود.

- عرض کل عبورگاه را به هشت قسمت مساوی تقسیم کرده و آنها را توسط نه نقطه

استاندارد که نقطه سمت چپ  $b$  - و نقطه وسط  $0$  و نقطه سمت راست  $b$  + نشان می‌دهیم.

- بارگذاری در نیمه عرضی سمت راست عبورگاه انجام می‌شود. باید توجه داشت که

هر چقدر بار به لبه عبورگاه نزدیکتر باشد لنگر خمشی طولی ایجاد شده بیشتر خواهد بود.

در این مرحله دو روش برای تعیین لنگر خمشی طولی حداکثر در دالهای تخت به قرار زیر

پیشنهاد شده است:

روش ۱:

- محل برآیند بارهای عرضی را تعیین کرده و فرض می‌شود که این برآیند به نزدیکترین

نقطه استاندارد اعمال می‌شود و در این صورت محل بار که محل همان برآیند می‌باشد

معلوم است و با استفاده از جدول مربوطه مقدار  $K_{\max}$  پادداشت می‌شود. سپس با رابطه زیر

مقدار لنگر خمشی ماکزیمم طولی محاسبه می‌شود.

$$M_{x_{\max}} = 1.1 \times K_{\max} \times M_{x_{\text{mean}}}$$



باید توجه داشت که این  $M_{x\max}$  برای حالت خاص بارگذاری شده می‌باشد و حالات دیگر بارگذاری را نمی‌توان بررسی کرد. "ضمناً" لنگر بدست آمده بستگی دارد به اینکه در چه مقطعی از طول دهانه تعیین شده باشد و لنگر خمی حد اکثر طولی بدست آمده در همان مقطع خواهد بود.

### روش ۲ :

ادامهٔ مراحل تعیین  $M_{x\max}$  در این روش به قرار زیر است:

- بارهای چرخ را که هر یک بار واحد فرض می‌گردد در مقطع عرضی عبورگاه با فرض دهانه ساده به نقاط استاندارد انتقال می‌دهیم یعنی سهم نقاط استاندارد را از بارهای واحد وارد بر عبورگاه حساب می‌کیم. این ضرایب را ضرایب بار معادل نامند
- ضرایب بار معادل  $\lambda$  برای هر نقطه از محل بار (نقاط استاندارد که سهم دارند) در ضرایب توزیع بار  $K_1$  همان نقاط استاندارد ضرب می‌شوند و مجموع آنها برای هر نقطه مرجع بنام  $\sum \lambda K_1$  در جدول ثبت می‌کیم. این کار را برای تمام نقاط مرجع تکرار کرده و نهایتاً "ستونی از  $K_1 \sum \lambda$  بدست می‌آید. اگر مقدار ماکریم  $K_1 \sum \lambda$  را که مربوط به یک نقطه مرجع خاصی خواهد بود در نظر بگیریم با تقسیم آن بر تعداد ردیف چرخ وارد به عبورگاه ضرایب توزیع دقیقتری از روش ابدست می‌آید که همانند آن روش می‌توان  $M_{x\max}$  را حساب کرد.

$$M_{x\max} = 1.1 \times \frac{(\sum \lambda K_1)_{\max}}{\text{تعداد ردیف چرخ}} \times M_{x\text{mean}}$$

بنابراین:

در این روش دو کنترل را می‌توان بکار برد. اول اینکه مجموع ضرایب معادل بار در نقاط استاندارد باید برابر مجموع ردیف چرخها گردد، مثلاً "برای دو کامیون ایران باید رابطه  $\sum \lambda = 4$  برقرار باشد. کنترل دوم در ستون  $\sum \lambda K_1$  می‌باشد بدین ترتیب که اگر مجموع این ستون برای تمام نقاط مرجع از  $b-a$  حساب گردد این مجموع باید برابر با تعداد ردیف چرخ ضرب در تعداد نقاط استاندارد گردد، مثلاً "برای دو کامیون ایران این مجموعه باید برابر باشد:

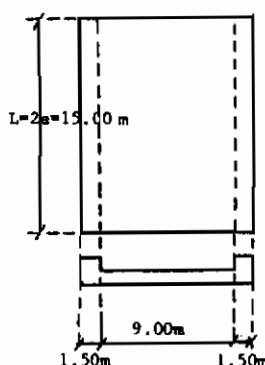
$$(\sum \lambda K_1) = 4 \times 9 = 36$$

لازم به یاد آوری است که با توجه به جدول ضرایب عرضی پخش بار  $K$  (جدول ۵-۲) ملاحظه می‌گردد که اگر  $\alpha = 1$  باشد یعنی عبورگاه از نوع دال توپر باشد، در دهانه ساده هیچگونه لنگر منفی در دال ایجاد نخواهد گردید. اما برای عبورگاه دال و تیر که  $\alpha \neq 1$

می‌باشد امکان وجود اعداد  $K$  منفی و درنتیجه لنگرخمشی طولی منفی (حتی دردهانه ساده) در نقاطی از عبورگاه غیرممکن نمی‌باشد که از نظر طرح حائز اهمیت است. حداکثر لنگر خمشی طولی منفی را در هر مقطع می‌توان بصورت تقریبی برابر با ده درصد حداکثر لنگر خمشی طولی مشتبث در آن مقطع فرض کرد.

**مثال:**

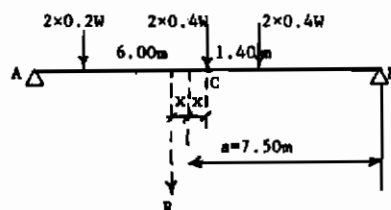
عبورگاهی ساخته شده از دال تخت توپر با دهانه ساده ۱۵ متر مطابق شکل (۲۴-۵) مفروض است مطلوبست محاسبه لنگر خمشی حداکثر مطلق در نواری به عرض یک متر از دال در اثر دو کامیون ۴۵ تنی ایران.



شکل (۵ - ۲۴) الف پلان و مقطع عرضی عبورگاه

**حل:**

روش ۱ - ابتدا با توجه به شکل (۲۴-۵) ب لنگر خمشی متوسط ( $M_{xmean}$ ) محاسبه می‌گردد.



شکل (۵ - ۲۴) ب - بارگذاری طولی عبورگاه با دو کامیون ،

$$x = 0.32 \text{ m}$$

$$\sum M_A = 0 \longrightarrow R_{By} = \frac{2w(a-x)}{2a}$$

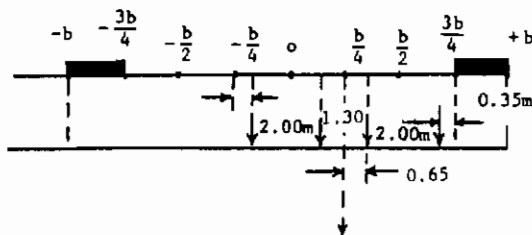
$$\frac{M_c}{2b} = M_{x\text{mean}} = \frac{(R_{By})(a-x) - (2 \times 0.4W)(1.4)}{2b} = 0.4795 \text{ W}$$

پارامترهای خمی و پیچشی مقطع :

$$\theta = \frac{b}{2a} = \frac{6}{15} = 0.4$$

$$\alpha = 1$$

$$\frac{b}{4} = 1.5 \text{ m}$$



شکل (۲۴-۵) ج بارگذاری عرضی عبورگاه

توجه که فاصلهٔ حداقل اولین چرخ از لبهٔ پیداده رو برابر با  $0/35$  متر طبق آئین نامه ایران فرض شده است.

با توجه به شکل (۲۴-۵) ج برآیند بارهای عرضی دقیقاً از نقطهٔ استاندارد  $\frac{b}{4}$  عبور می‌کند. اکنون با مراجعه به جدول (۲-۵) قسمت  $K_1 = 0.4$  با توجه به معلوم بودن محل بار که  $e = +\frac{b}{4}$  می‌باشد می‌توان ضریب توزیع ماکریم را پیدا کرد. در این جدول برای نقطهٔ مرجع  $y = +\frac{b}{2}$  مقدار  $K$  ماکریم است. یعنی لنگر خمی زیر نقطهٔ  $\frac{b}{2}$  + حداقل خواهد بود.

$$\left| \begin{array}{l} e = +\frac{b}{4} \\ y = +\frac{b}{2} \end{array} \right. \rightarrow K_{\max.} = +1.1051$$

پس داریم :

$$M_{x\max} = 1.1 \times 1.1051 \times 0.4795 \text{ W}$$

که در این فرمول  $t = 45 \times 9.81 \text{ KN}$  و  $\text{W} = 45 \times 45 \text{ می‌باشد} :$

$$M_{x\max} = 257.314 \quad \text{KN.m / m عرض} \quad \text{(با روش تقریبی ۱)}$$

حل با روش ۲ :

با توجه به شکل (۵-۴) ج ضرایب معادل بار در نقاط استاندارد با فرض دهانه ساده دال بین نقاط استاندارد بقرار زیر تعیین می‌گردند . آنها که حساب نشده‌اند صفر می‌باشند .

$$+\frac{3b}{4} = \frac{(1.5 - 0.35)}{1.5} = 0.7667 = \lambda - \frac{b}{4}$$

$$\lambda_+ \frac{b}{2} = \frac{0.35}{1.5} + \frac{0.65}{1.5} = 0.6667 = \lambda_0$$

$$\lambda_+ \frac{b}{4} = \frac{(1.5-0.65)}{1.5} + \frac{(1.5-0.65)}{1.5} = 1.1333$$

کنترل ۱ :

$$\Sigma \lambda = 2 \times 0.7667 + 2 \times 0.6667 + 1.1333 = 4.0001 \approx 4 \text{ o.k.}$$

اکنون جدول  $K_1$  مطابق جدول (۵-۴) زیر کامل می‌شود :

کنترل ۲ :

$$\sum \lambda k_1 = 35.8485 \approx 4 \times 9 = 36 \text{ o.k.}$$

اکنون با توجه به جدول (۴-۵) مقدار حد اکثر  $\Sigma \lambda$  در نقطه مرجع  $b$  واقع است پس داریم .

محل بار (e)	-b	$-\frac{3b}{4}$	$-\frac{b}{2}$	$-\frac{b}{4}$	0	$\frac{b}{4}$	$\frac{b}{2}$	$\frac{3b}{4}$	b	$\Sigma \lambda K_1$
ضریب معادلهای	0	0	0	0.7667	0.6667	1.1333	0.6667	0.7667	0	
$\lambda = \frac{1}{b}$	- b				1.0893	0.9220	0.7862	0.6778	0.5903	3.2453
	$-\frac{3b}{4}$				1.0994	0.9613	0.8420	0.7429	0.6613	3.4403
	$-\frac{b}{2}$				1.1051	1.0030	0.9043	0.8171	0.6429	3.655
	$-\frac{b}{4}$				1.0914	1.0414	0.9733	0.9043	0.8420	3.8825
					1.0414	1.0601	1.0414	1.003	0.9613	4.0911
	$\frac{b}{4}$				0.9733	1.0414	1.0914	1.1051	1.0994	4.2571
	$\frac{b}{2}$				0.9093	1.0030	1.1051	1.1931	1.2489	4.3674
	$\frac{3b}{4}$				0.8420	0.9613	1.0994	1.2489	1.3940	4.4338
	b				0.7862	0.9220	1.0893	1.2893	1.5188	4.4760

جدول (۴ - ۵)

$$(\Sigma \lambda K_1)_{\max.} = 4.4760$$

$$M_{x\max.} = 1.1 \times \frac{(\Sigma \lambda K_1)_{\max.}}{4} \times M_{x\text{mean}}$$

$$= 1.1 \times \frac{4.4760}{4} \times (0.4795 \times 45 \times 9.81) = 260.551 \text{ KN.m/m}$$

محاسبه لنگر خمی طولی حد اکثر مطلق در عبورگاه دال و تیر

روش حل مشابه با روش ۲ عبورگاه دال تخت بوده با تفاوت‌های زیر:

- پارامتر خمی  $\theta$  از رابطه کامل باید حساب شود.
- پارامتر پیچشی  $\alpha \neq 1$  خواهد بود و باید تعیین گردد.
- $\Sigma \lambda K$  هر تیر طولی باید حساب شود.
- با استفاده از رابطه زیر می‌توان لنگر حد اکثر هر یک از تیرهای طولی را حساب کرد.

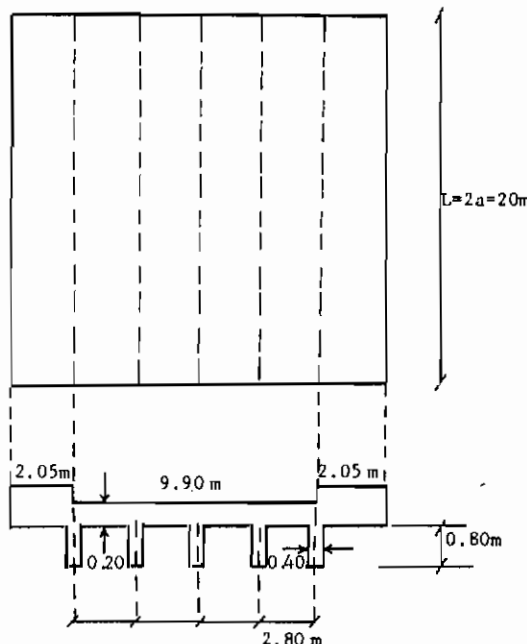
$$M_{x\max.} = 1.1 \times \frac{\text{همان تیر} (\Sigma \lambda K)}{\text{تعداد ردیف چرخ}} \times M_{x\text{mean}} \times P$$

که در رابطه بالا  $\rho$  فاصله مرکز ترا میرها طولی می‌باشد .  
یا ابتدا سهم هریک از تیرها طولی حساب شده و سپس همانند آئین نامه آشتو  
معان حداقل طولی محاسبه می‌گردد .

$$\text{همان تیر} = \frac{\sum k \lambda}{\text{تعداد تیرها طولی}} = 1.1 \times \text{سهم هر تیر}$$

**مثال ۱:**

برای عبورگاه بتی نشان داده شده در شکل (۵-۲۵) الف با دهانه ساده ۲۵ متر  
و بدون دیافراگم عرضی مطلوبست محاسبه  $M_{x\max}$  برای بار دو کامیون ۴۵ تنی ایران .

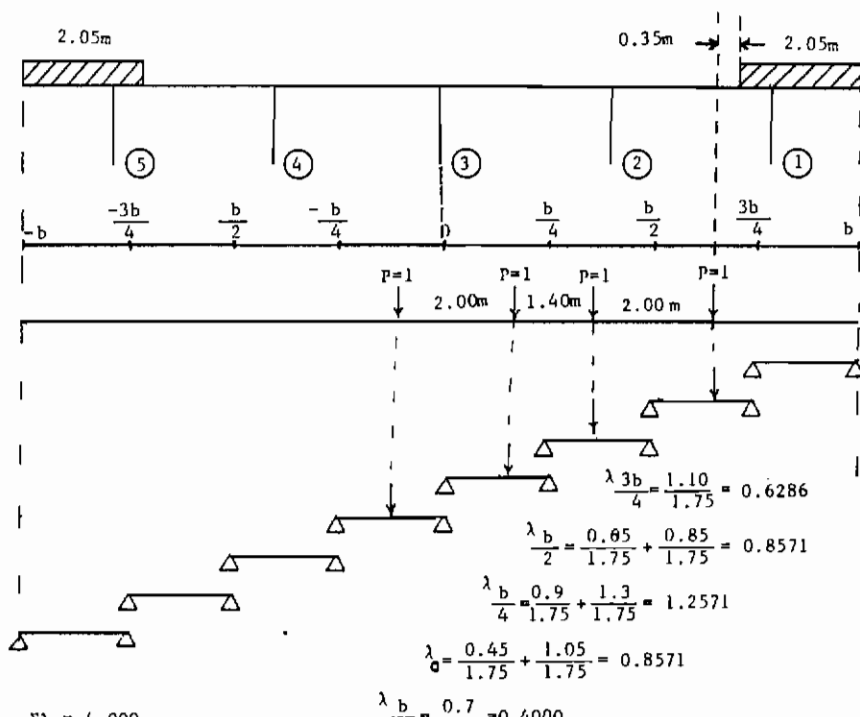


شکل (۵-۲۵الف) پلان و مقطع عرضی پل

**حل:**

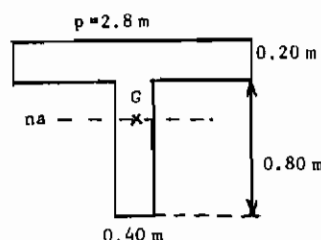
ابتدا با استفاده از شکل (۵-۲۵) ب ضرایب بار معادل حساب می‌شوند .

سپس با استفاده از اشکال (۵-۲۵) جود پارامتر خمی  $\theta$  محاسبه می‌گردد . پارامتر  
بیچشی مقطع برابر صفر است .



شکل (۲۵-۵) ب

$$2b = np = 5 \times 2.80 = 14.00 \text{ m} \rightarrow \frac{b}{4} = 1.75 \text{ m}$$



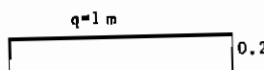
شکل (۲۵-۵) ج

$$\bar{y} = \frac{2.8 \times 0.2 \times 0.90 + 0.4 \times 0.8 \times 0.4}{2.8 \times 0.2 + 0.4 \times 0.8} = 0.718 \text{ m}$$

$$\bar{y} = 1 - 0.718 = 0.282 \text{ m}$$

$$\begin{aligned}
 I &= \frac{2.8 \times 0.20^3}{12} + (2.8 \times 0.2)(0.282 - 0.1)^2 \\
 &\quad + \frac{0.4 \times 0.8^3}{12} + (0.4 \times 0.8)(0.718 - 0.4)^2 \\
 &= 0.069842453 \text{ m}^4
 \end{aligned}$$

$$i = \frac{I}{P} = 0.024943733 \text{ m}^4/\text{m}$$



شکل (۲۵-۵)

$$\begin{aligned}
 j &= \frac{1 \times 0.2^3}{12} = 0.000666 \text{ m}^4/\text{m} \\
 \Theta &= \frac{b}{2a} \left[ \frac{i}{j} \right]^{\frac{1}{4}} = \frac{7}{20} \times 2.473 = 0.8656 \approx 0.86
 \end{aligned}$$

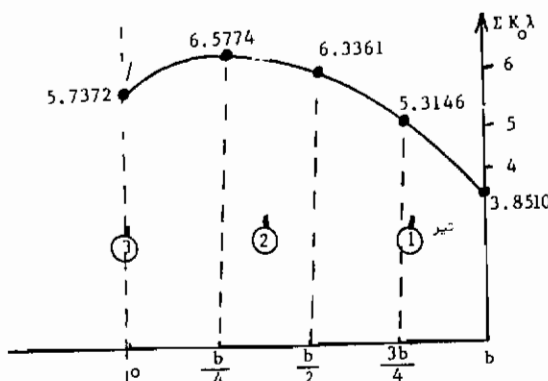
$$\alpha \approx 0 \rightarrow k_o \rightarrow \theta = \frac{0.8 \text{ ko}}{0.9 \text{ ko}}$$

اکنون جدول (۵-۵) زیر کامل می شود .

e	-b/4	0	b/4	b/2	3b/4	$\Sigma k_o \lambda$
$\lambda$	0.4000	0.8571	1.2571	0.8571	0.6286	
y	0	1.7254	2.0694	1.7254	1.0499	0.3253
	b/4	1.1072	1.7254	2.0477	1.6939	1.0017
	b/2	0.4977	1.0499	1.6939	2.1398	2.0263
	3b/4	0.0584	0.3253	1.0017	2.0263	3.2079
	b	-0.5255	-0.3867	0.2422	1.6877	4.2025
						3.8510

جدول (۵-۵)

با استفاده از جدول (۵-۵) ترسیمه های نمودار  $\Sigma \lambda K_o$  مطابق شکل (۲۵-۵) هر سمت شده که از آنجا  $\Sigma \lambda K_o$  هر تیر طولی قابل محاسبه است .



شکل (۲۵-۵) ه

با استفاده از شکل (۲۵-۵) حداکثریم :

$$\Sigma K_0 \lambda_1 \rightarrow \frac{5.3146 - 3.8510}{1.75} = \frac{h_1}{0.35} \rightarrow h_1 = 0.2927$$

$$\Sigma K_0 \lambda_1 = 5.3146 - 0.2927 = 5.0219$$

$$\Sigma K_0 \lambda_2 \rightarrow \frac{6.5774 - 6.3361}{1.75} = \frac{h_2}{1.05} \rightarrow h_2 = 0.1448$$

$$\Sigma K_0 \lambda_2 = 6.5774 - 0.1448 = 6.4326$$

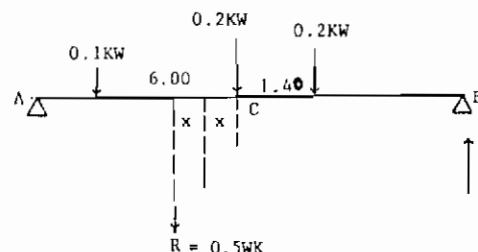
$$\Sigma K_0 \lambda_3 = 5.7372$$

و بالاخره لنگر خمی حداکثر که در تیر طولی شماره ۲ اتفاق می‌افتد را با استفاده از شکل (۲۵-۵) با یکی از روش‌های گفته شده می‌توان محاسبه کرد.

$$\text{سهم } 1 = \frac{\Sigma K_0 \lambda_1}{n} \times 1.1 = \frac{5.0219 \times 1.1}{5} =$$

$$\text{سهم } 2 = \frac{\Sigma K_0 \lambda_2}{n} \times 1.1 = \frac{6.4326 \times 1.1}{5} = \text{حداکثر} = 1.4152 = K$$

$$\text{سهم } 3 = \frac{\Sigma K_0 \lambda_3}{n} \times 1.1 = \frac{5.7372 \times 1.1}{5} =$$



شکل (۲۵ - ۵) ی

$$x=0.32 \text{ m}$$

$$\Sigma M_A = 0 \rightarrow R_{By} = \frac{0.5 W K (a-x)}{2a} = W K \frac{0.5(10-0.32)}{20} = \frac{0.5 \times 9.68}{20}$$

$$M_{x_{max.}} = M_{max.} = M_c = R_{By}(a-x) - 0.2 W K(1.4) = 2.0625 W K$$

$$M_{x_{max}(L)} = 2.06256 \text{ KW} = 2.06256 \times 1.4152 \times 45 \times 9.81 \\ = 1288.564 \text{ KN.m / متر}$$

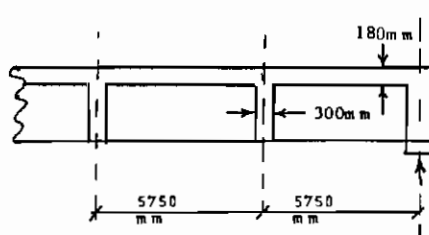
$$I = \frac{6}{10+1} = \frac{6}{10+20} = \frac{6}{30} = 0.2 < 0.3 \quad O.K.$$

$$M_{x\max \text{ (L+I)}} = 1288.564 \times 1.2 = 1546.3 \text{ KN.m / تیر} \\ = 157.625 \text{ t.m / تیر}$$

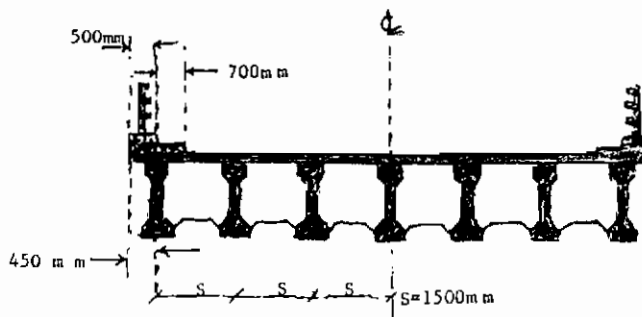
## مثال ۲:

برای عبورگاه بستی با تیرهای حمال پیش تنیده از نوع مقطع I شکل (۵-۲۶)

الف با دهانه ساده ۲۳ متر مطلوبست محاسبه  $M_{x_{max}}$ . برای محاسبه  $b$  مؤثر ازابطه دقیق استفاده شود. مقادیر ممان اینرسی خمی و پیچشی معلوم فرض گردند و  $\frac{G}{E} = 0.435$



مقطع طولی عبورگاه



شکل (۵-۲۶) الف

$$\text{تیرکاری با دال روی آن} \quad I = 315.57 \times 10^9 \text{ mm}^4$$

$$\left\{ \begin{array}{l} \text{تیر طولی داخلی با دال روی آن} \\ I = 210.38 \times 10^9 \text{ mm}^4 \\ I_o = 7.323 \times 10^9 \text{ mm}^4 \end{array} \right.$$

$$\left\{ \begin{array}{l} \text{تیر عرضی} \\ J = 90.182 \times 10^9 \text{ mm}^4 \\ J_o = 10.005 \times 10^9 \text{ mm}^4 \end{array} \right.$$

$$کاری_{داخلي} = (n-2)p + 2p \left( \frac{I}{I_o} \right)$$

$$2b = (7-2)(1.5) + 2 \times 1.5 \left( \frac{315.57 \times 10^9}{210.38 \times 10^9} \right) = 12.00 \text{ m}$$

$$2b = 6 \times 1.5 + 2 \times 0.45 = 9.90 \text{ m}$$

در این مثال ملاحظه می‌گردد که  $2b$  متر با  $b$  واقعی بماندازه  $5/0$  متر تفاوت دارد.

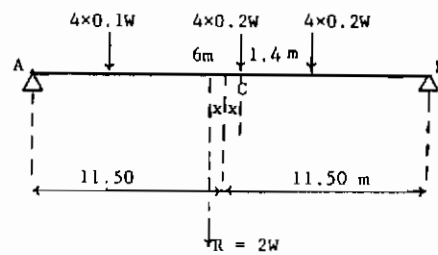
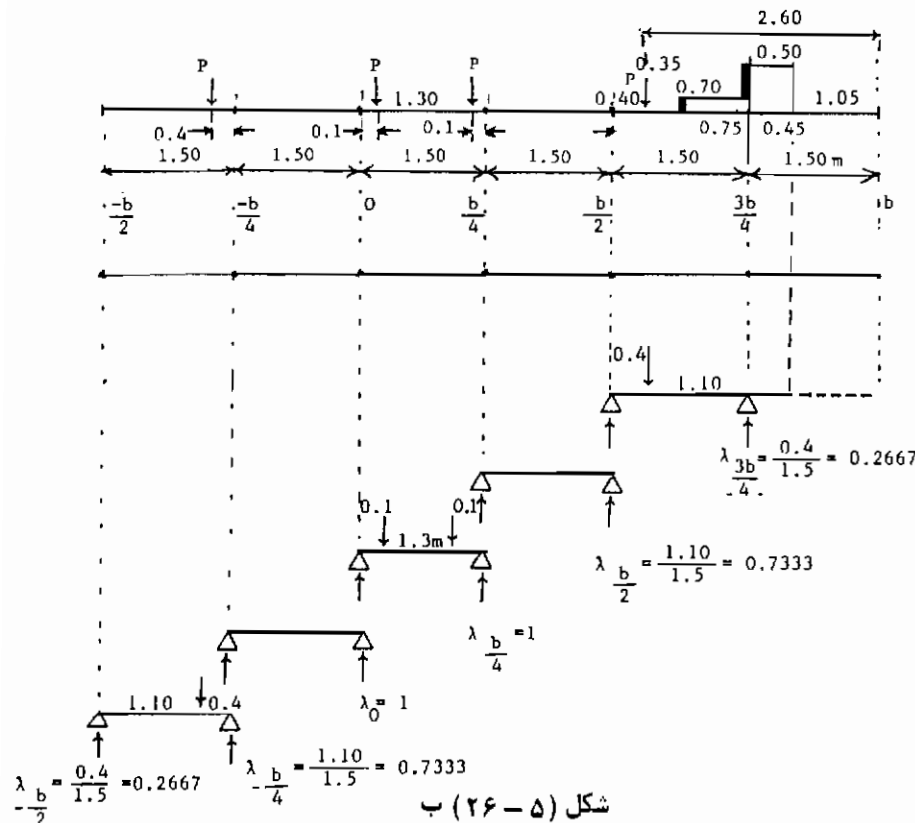
$$i = \frac{I}{p} = \frac{210.38 \times 10^9}{1500} = 140253333.3 \text{ mm}^4/\text{mm}$$

$$j = \frac{J}{q} = \frac{90.182 \times 10^9}{5750} = 15683826.09 \text{ mm}^4/\text{mm}$$

$$\theta = \frac{6.00}{23.00} \left( \frac{i}{j} \right)^{\frac{1}{4}} = 0.451$$

$$i_o = \frac{7.323 \times 10^9}{1500} = 4882000 \quad j_o = \frac{10.005 \times 10^9}{5750} = 1740000$$

$$\alpha = \frac{0.435}{2} \left[ \frac{4882000 + 1740000}{(140253333.3 \times 15683826.09)^2} \right] = 0.031$$



$$S = \frac{0.2 \times 6 + 0.2 \times 7.4}{0.5} = 5.36$$

$$2x = 6 - 5.36 \longrightarrow x = 0.32 \text{ m}$$

$$\sum M_A = 0 \longrightarrow R_{By} = \frac{2W \times (11.5 - 0.32)}{23} = 0.972W$$

$$\begin{aligned} M_{x \text{ mean}} &= \frac{M_c}{2b} = \frac{(R_{By})(11.5 - 0.32) - 4 \times 0.2W(1.4)}{2b} \\ &= \frac{9.749W}{2b} = 36.558 \text{ t.m/m} = 358.638 \times \text{KN.m/m} \end{aligned}$$

$$\theta = 0.451 \approx 0.45$$

$$\alpha = 0.031 \approx 0.03$$

- جدول  $\theta = 0.45 K_0$  و  $\theta = 0.5 K_0$  استفاده شده و جدول  $\theta = 0.4 K_0$  را محاسبه می‌نماییم.

- جدول  $\theta = 0.45 K_1$  " " " "  $\theta = 0.5 K_1$  و  $\theta = 0.4 K_1$  بدست می‌آید.

- فرمول  $\theta = 0.45 K_\alpha$  را به کار برده و جدول  $K = K_0 + (K_1 - K_0) \alpha \frac{1}{2}$  را محاسبه می‌نماییم و از آن در محاسبه  $M_{x \text{ max.}}$  استفاده می‌کنیم. در عمل چون مقدار  $\alpha$  خیلی کوچک است می‌توان از مقدار آن صرف نظر کرد یعنی  $\alpha \approx 0$  فرض می‌شود، اکنون جدول (۵-۶) کامل می‌گردد.

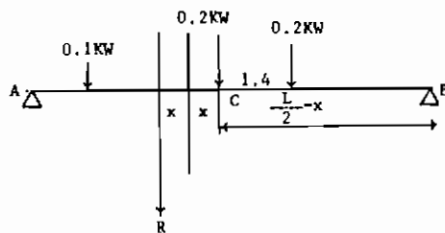
$$\theta = 0.45 K_0$$

(e)	محل بساز (e)	-b/2	-b/4	0	+b/4	+b/2	+3b/4	$\sum \lambda k_0$
(λ)	ضریب معادل (λ)	0.2667	0.7333	1.0000	1.0000	0.7333	0.2667	
↓	0	1.0201	1.1364	1.1867	1.1364	1.0201	0.8756	4.4100
	+b/4	0.6236	0.8931	1.1364	1.3208	1.4170	1.4627	4.7076
	+b/2	0.2371	0.6236	1.0201	1.4170	1.7881	2.1054	4.8303
	+3b/4	-0.1408	0.3455	0.8756	1.4627	2.1054	2.7781	4.8389
	+b	-0.5152	0.0658	0.7238	1.4942	2.4006	3.4421	4.8072

جدول (۵-۶)

$$(\sum K_O \lambda) + \frac{3b}{4} = (\sum K_O \lambda) = (\sum K_O \lambda)_{\max} = 4.8389 \quad \text{تیر بحرانی ۱}$$

$$\frac{1.1 \times 4.8389}{7} = \frac{\text{سهم تیر ۱}}{\text{تعداد تیرهای طولی}} = 0.7604 = K$$



شکل (۲۶-۵)

$$\begin{aligned} \sum M_A = 0 &\rightarrow R_{By} = \frac{0.5KW(\frac{L}{2} - x)}{L} \\ M_C &= \frac{0.5KW(\frac{L}{2} - x)^2}{L} - 0.2KW(1.4) = 2.437226 \text{ KW} \end{aligned}$$

$$M_{\max,1} = 2.437226 \times 0.7604 \times 45 = 83.396 \text{ t.m/تیر}$$

$$= 818.124 \text{ KN.m/تیر}$$

ب - محاسبه تغییرشکل  $\omega$  در اثر  $M_x$  رابطه تغییرشکل خمی حداقل بصورت زیر است.

$$\omega_{\max} = K_{\alpha \max} \cdot \omega_{\text{mean}}$$

$K_{\alpha \max}$  که  $\omega_{\text{mean}}$  تغییرشکل در اثر کل بار تقسیم بر کل عرض عبورگاه بوده و ضریب پخش عرضی بار بوده که از جدول (۲-۵) بدست می‌آید. چون محاسبه  $\omega_{\max}$  مشابه با محاسبه  $M_{\max}$  می‌باشد بنابراین در این مورد مسئله‌ای حل نمی‌شود و خواننده به بخش قبلی رجوع داده می‌شود.

ج - محاسبه لنگر خمی عرضی  
رابطه لنگر خمی عرضی را می‌توان بصورت زیر در نظر گرفت (ضمیمه ۱) :

$$M_y = \sum_{n=1}^{\infty} \mu_n \cdot H_n \cdot b \cdot \sin \frac{n\pi x}{2a}$$

که در آن  $\mu_n$  ضریب مشابه با ضریب توزیع بار  $K$  در معادله  $M_x$  باشد،  $H_n$  بنام جمله بار بوده که مطابق شکل (۲۷-۵) الف نا ه تعیین می‌گردد،  $a$  ۲ دهانه عبورگاه،  $b$  نصف عرض مؤثر عبورگاه و  $x$  مقطعی از طول دهانه که در آنجا  $M_y$  مورد نیاز می‌باشد.

- یک بار متغیرکر:

$$H_n = \frac{P}{a} \sin \frac{n\pi u}{2a}$$

شکل (۵-۲۷) الف

- چند بار متغیرکر:

$$H_n = \frac{P_1}{a} \sin \frac{n\pi u_1}{2a} + \frac{P_2}{a} \sin \frac{n\pi u_2}{2a} + \frac{P_3}{a} \sin \frac{n\pi u_3}{2a}$$

شکل (۵-۲۷) ب

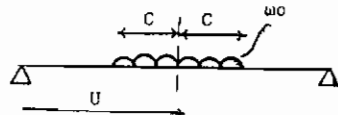
- بارگسترده در تمام دهانه:

$$H_n = \frac{4\omega_0}{n\pi} \sin^2 \frac{n\pi}{2a}$$

شکل (۵-۲۷) ج

- یک بار گسترده در قسمتی از دهانه:

$$H_n = \frac{4 \omega_0}{n\pi} \sin \frac{n\pi u}{2a} \sin \frac{n\pi c}{2a}$$

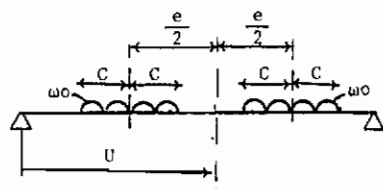


شکل (۲۷-۵) د

- دوبار گسترده در قسمتی از دهانه:

$$H_n = \frac{8 \omega_0}{n\pi} \sin \frac{n\pi u}{2a}$$

$$\sin \frac{n\pi c}{2a} \cos \frac{n\pi e}{2a}$$



شکل (۲۷-۵) ه

بنابراین برای یک با متغیر کم داریم:

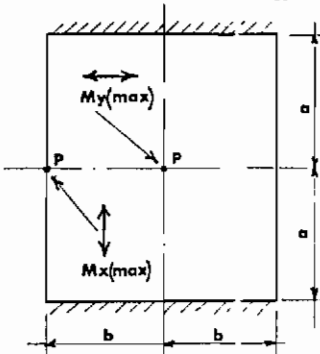
$$M_y = \sum_{n=1}^{\infty} u_{n\theta} \frac{pu}{a} \sin \frac{n\pi u}{2a} \sin \frac{n\pi x}{2a}$$

بسط ت

$$M_y = \frac{pb}{a} [u_{1\theta} \sin \frac{\pi u}{2a} \sin \frac{\pi x}{2a} + \dots + u_{n\theta} \sin \frac{n\pi u}{2a} \sin \frac{n\pi x}{2a}]$$

مقطع بحرانی برای  $M_{ymax}$  در وسط دهانه یعنی  $x=a$  می‌باشد (شکل ۲۸-۵)

$$M_y = \frac{pb}{a} [u_{1\theta} \sin \frac{\pi u}{2a} \sin \frac{\pi}{2} + \dots + u_{n\theta} \sin \frac{n\pi u}{2a} \sin \frac{n\pi}{2}]$$



شکل (۲۸-۵)

اکنون  $\pi, 2\pi, \dots, n\pi$  برابر صفر است (شکل ۲۹-۵).

بنابراین

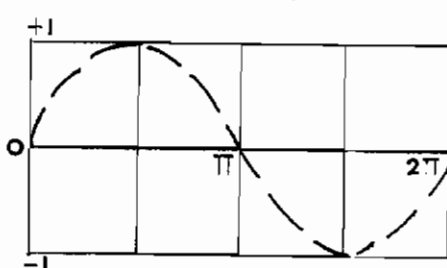
$$M_y = \frac{Pb}{a} [\mu_{10} \sin \frac{\pi u}{2a} - \mu_{30} \sin \frac{3\pi u}{2a} + \mu_{50} \sin \frac{5\pi u}{2a} + \dots]$$

که در آن

$\mu_{10}$  مربوط به پارامتر خمی  $\theta$  می‌باشد.

. "  $30$  " " "  $\mu_{30}$

. "  $50$  " " "  $\mu_{50}$



شکل (۲۹-۵)

$\alpha = 1 \rightarrow \mu = \mu_1 \rightarrow M_{y1}$  در عبورگاه دال تخت :

$\alpha = 0 \rightarrow \mu = \mu_0 \rightarrow M_{yo}$  در عبورگاه دال و تیر بدون دیافراگم :

$0 < \alpha < 1 \rightarrow \mu = \mu_\alpha \rightarrow M_{y\alpha}$  در عبورگاه دال و تیر با دیافراگم :

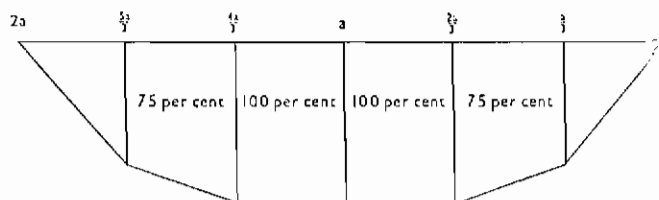
رابطه بین  $M_{y1}, M_{yo}$  و  $M_{y\alpha}$  مانند رابطه بین  $K_0, K_1$  و  $K_\alpha$  می‌باشد. یعنی:

$$M_{y\alpha} = M_{yo} + (M_{y1} - M_{yo})^\alpha \frac{1}{2}$$

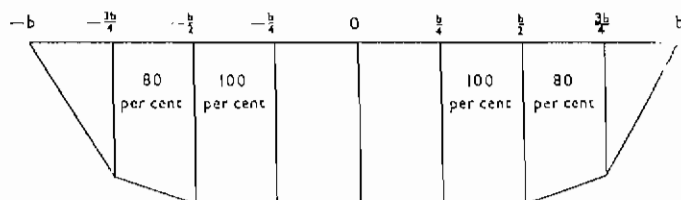
مقدار  $\mu$  که بستگی به  $\alpha, \theta$  و محل بار دارد در اشکال (۵-۳۱) الف و ب بصورت نمودار آمده است.

برای پخش بار کامیون لنگرهای خمی عرضی مشتبث را، برای موقعیت‌های مختلف کامیون، در مقاطع مختلف طولی و عرضی می‌توان مطابق اشکال (۵-۳۰) الف و ب فرض

کرد . در صورت لزوم تغییر دقیق‌تر  $M_y$  را در جهت عرضی و طولی عبورگاه می‌توان از رابطه کلی  $M_y$  تعیین کرد . در حالت کلی در نظر گرفتن اولین پنج جمله از سری  $M_y$  کافی خواهد بود .



شکل (۵ - ۳۰) الف گسترش  $M_y$  در مقاطع مختلف از طول دهانه



شکل (۵ - ۳۰) ب پخش  $M_y$  در مقطع عرضی عبورگاه

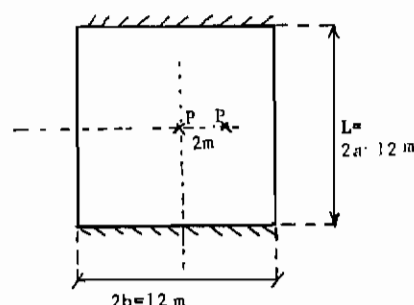
: مثال ۱

مطلوب است محاسبه لنگر خمی عرضی حداقل در اثر بارگذاری یک محور عقب کامیون ۴۵ تنی ایران برای دال تخت توپر شکل (۳۲-۵) الف .

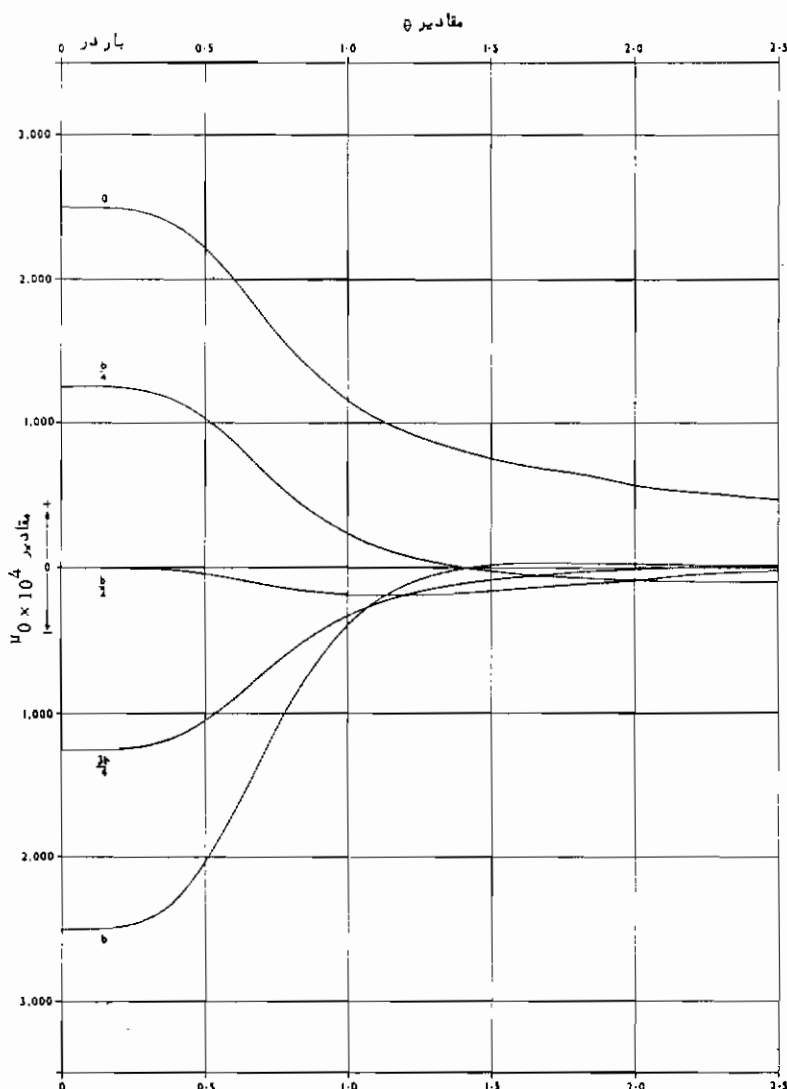
$$0.2 W = P \quad 0.2 W = P$$

$$x \leftarrow 2m \rightarrow x$$

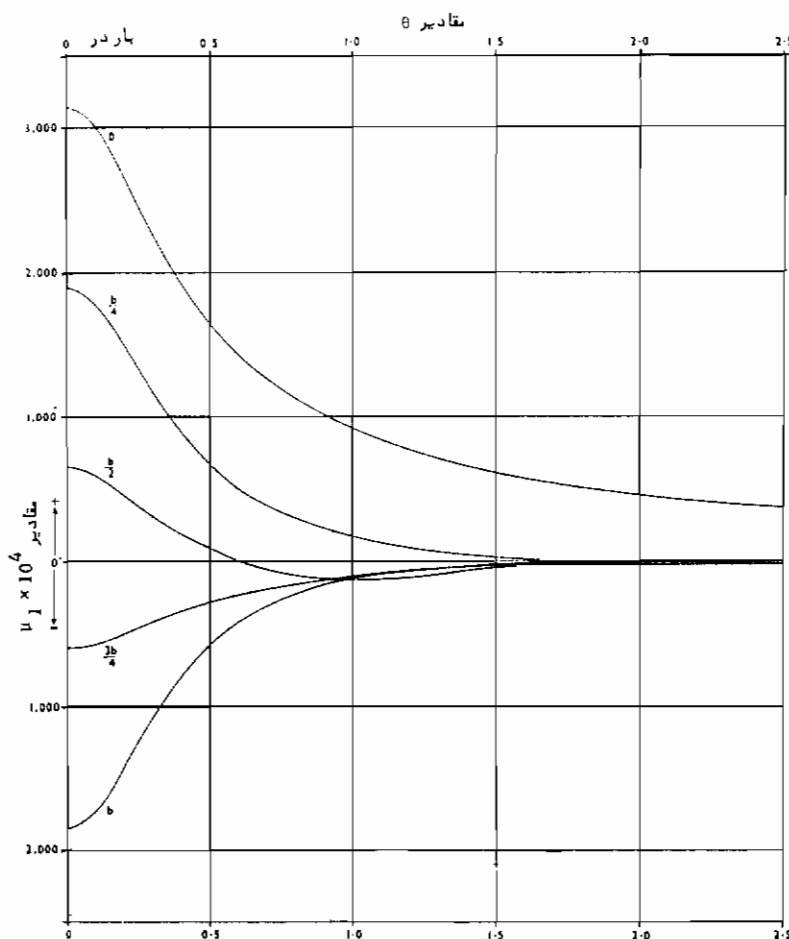
$$W = 45 t$$



شکل (۳۲ - ۵) الف



شکل (۵-۳۱) الف - نمودار  $u_0$  برای عبورگاه بدون مقاومت پیچشی



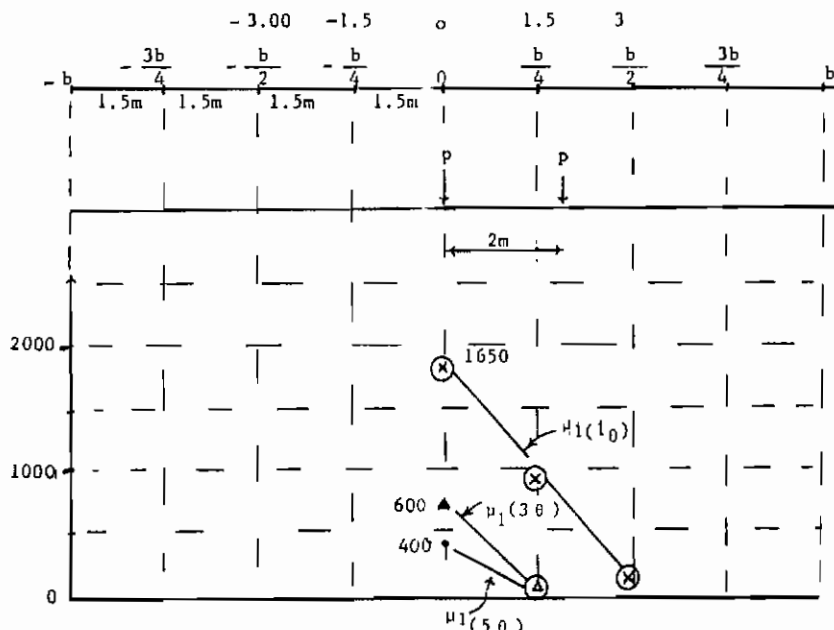
شکل (۵ - ۳۱) ب - نمودار  $\mu_1$  برای عبورگاه تمام پیچشی

- حل -

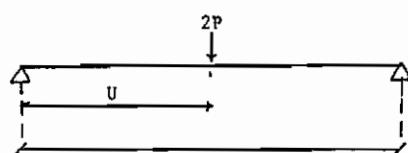
محل بار e	0	2 m	$\Sigma \mu_1$	کل بار = $\Sigma \mu_1 / 2$
$\mu_1 (\theta=0.5) \times 10^4$	1650	500	$2150 \times 10^{-4}$	0.215/2
$\mu_1 (3\theta=1.5) \times 10^4$	600	0	$600 \times 10^{-4}$	0.06/2
$\mu_1 (5\theta=2.5) \times 10^4$	400	0	$400 \times 10^{-4}$	0.04/2

جدول (۵ - ۷) - محاسبه  $\mu_1$

$$\left\{ \begin{array}{l} \theta = \frac{b}{2a} = 0.5 \rightarrow 3\theta = 1.5 \rightarrow 5\theta = 2.50 \\ \alpha = 1 \rightarrow \mu_1 \end{array} \right.$$



شکل (۳۲-۵) ب - نمودار  $\mu_1$



شکل (۳۲-۵) ج - بارگذاری طولی

	$U$	$\frac{u}{2a}$	$\sin \frac{\pi u}{2a}$	$\sin \frac{3\pi u}{2a}$	$\sin \frac{5\pi u}{2a}$
$u_1$	6	0.5	+1	-1	+1

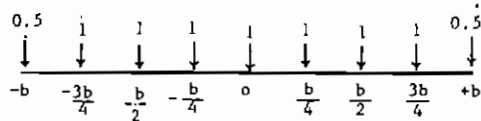
$$\begin{aligned}
 M_{y\max} &= \frac{Pb}{a} [\mu_1(\theta) \sin \frac{\pi u}{2a} - \mu_1(3\theta) \sin \frac{3\pi u}{2a} + \mu_1(5\theta) \\
 &\quad \sin \frac{5\pi u}{2a} + \dots] \\
 &= \frac{(2 \times 0.2 W)(6)}{6} \left[ \left(\frac{0.215}{2}\right)(+1) - \left(\frac{0.06}{2}\right)(-1) + \left(\frac{0.04}{2}\right)(+1) \right] \\
 &= \frac{0.126W}{2} = \frac{0.126 \times 45 \times 9.81}{2} = \frac{55.622}{2} = \frac{27.811}{2} \text{ KN.m/m}
 \end{aligned}$$

مثال ۲:

مطلوبست محاسبه لنگر خمشی عرضی حد اکثر مطلق در اثر بار مرده دال تخت بتی  
بهدهانه ۱۲m و عرض کلی ۱۲m وزن ۲۰ KN/m<sup>2</sup>

حل:

بار گسترده را به نقاط استاندارد انتقال می‌دهیم (شکل ۳۳-۵) (الف).



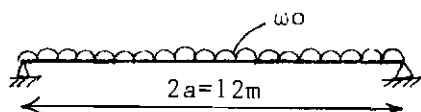
شکل (۳۳-۵) (الف) بارگذاری عرضی دال

اکنون جدول (۵-۸) تکمیل می‌گردد.

	-b	-3b/4	-b/2	-b/4	0	b/4	b/2	3b/4	b	$\sum \mu_0 \lambda$	$\sum \mu_0 \lambda / \sum \lambda = B$
$\theta = 0.5$	-600	-300	100	650	1650	650	100	-300	-600	$1950 \times 10^{-4}$	$243.7 \times 10^{-4}$
$3\theta = 1.5$	0	0	0	0	600	0	0	0	0	$600 \times 10^{-4}$	$75 \times 10^{-4}$
$5\theta = 2.5$	0	0	0	0	400	0	0	0	0	$400 \times 10^{-4}$	$50 \times 10^{-4}$

جدول (۵-۸)

$$H_n = \frac{4 \omega_0}{n \pi} \sin^2 \frac{n \pi}{2a}$$



شکل (۵-۳۳) ب بارگذاری طولی عبور گاه

$$M_{y \text{ max.}} = \sum_{n=1}^{\infty} \mu_n \theta \cdot H_n \cdot b \cdot \sin \frac{n \pi x}{2a}$$

:  $x=a$  در مقطع وسط دهانه

$$\begin{aligned} M_{y \text{ max.}} &= \frac{4 \omega_0 b}{\pi} \sum_{n=1}^{\infty} \mu_n \theta \cdot \frac{1}{n} \sin^2 \frac{n \pi}{2a} \sin \frac{n \pi a}{2a} \\ &= \frac{4 \omega_0 b}{\pi} \left[ \frac{1}{1} \mu_{1\theta} \sin^2 \frac{\pi}{12} + 0 - \frac{1}{3} \mu_{3\theta} \sin^2 \frac{3\pi}{12} + \dots \right. \\ &\quad \left. + \frac{1}{5} \mu_{5\theta} \sin^2 \frac{5\pi}{12} \right] \\ &= \frac{4 \times 20 \times 12 \times 6}{\pi} \left[ 0.0244 \sin^2 \frac{\pi}{12} - \frac{1}{3} \times 0.0075 \sin^2 \frac{\pi}{4} + \right. \\ &\quad \left. \frac{1}{5} \times 0.0050 \sin^2 \frac{5\pi}{12} \right] \\ &= 2.4156 \text{ KN.m/m} \end{aligned}$$

: مثال ۳

مطلوبست محاسبه  $M_{y \text{ max.}}$  در سیستم دال و تیر بدون دیافراگم عرضی شکل (۵-۳۴)

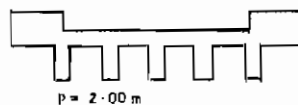
الف با دهانه ساده ۲۰ متر در اثر بار دو کامیون ۴۵ تنی ایران.

$$2b = np = 5 \times 2 = 10 \text{ m}$$

(الف)

$$\frac{b}{4} = \frac{5}{4} = 1.25$$

$$\alpha = 0 \longrightarrow \mu_0$$



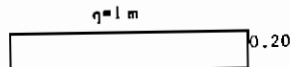
$$\bar{y} = \frac{0.4 \times 0.7 \times 0.35 + 0.2 \times 2 \times 0.8}{0.4 \times 0.7 + 0.2 \times 2} = 0.6147 \text{ m}$$

$$I = \frac{0.4 \times 0.7^3}{12} + (0.4 \times 0.7)(0.6147 - 0.35)^2$$

شکل (۳۴ - ۵)

$$+ \frac{2 \times 0.2^3}{12} + (2 \times 0.2)(0.8 - 0.6147)^2$$

$$T = 0.046119607 \text{ m}^4$$

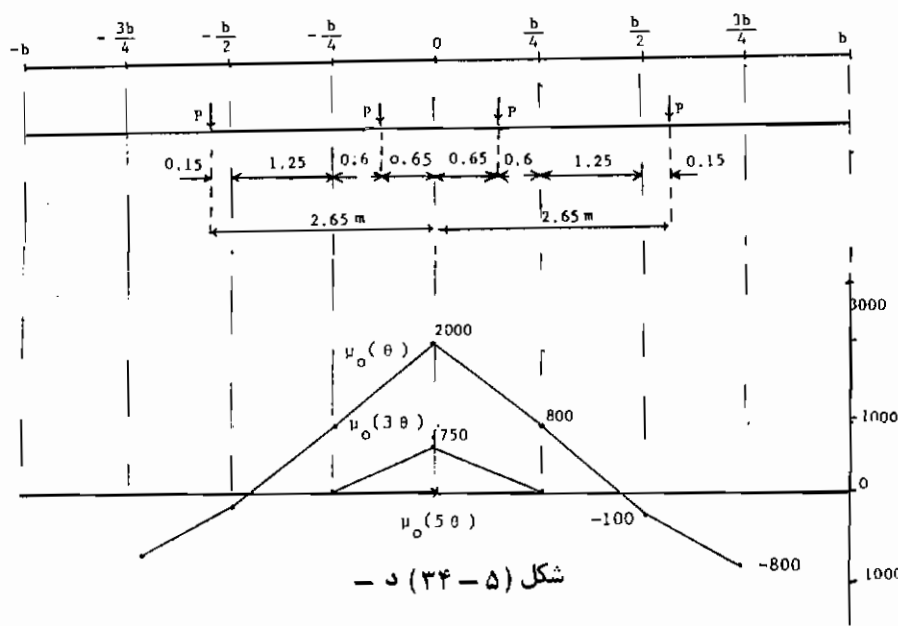


شکل (۵-۴) ج

$$i = \frac{I}{P} = 0.023059803 \text{ m}^4/\text{m}$$

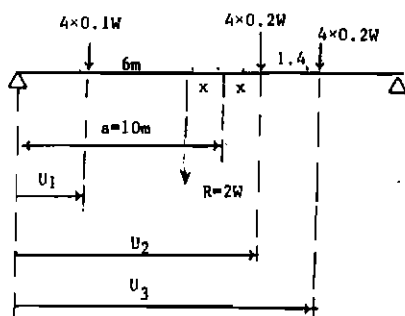
$$j = \frac{1 \times 0.2^3}{12} = 0.00067 \text{ m}^4/\text{m}$$

$$\frac{i}{j} = 34.5897 \quad \theta = \frac{b}{2a} \left( \frac{i}{j} \right)^{0.25} = 0.60 \quad 3\theta = 1.8 \quad 5\theta = 3.00$$



$\mu_o$	محل بار	-2.65 (m)	-0.65 (m)	+0.65 (m)	+2.65 (m)	$\Sigma \mu_o$	$\Sigma \lambda \mu_o / \Sigma \lambda$
$\mu_o(1\theta) \times 10^4$	-184	1376	1376	-184	0.2384	0.2384/4	
$\mu_o(3\theta) \times 10^4$	0	360	360	0	0.072	0.0720/4	
$\mu_o(5\theta) \times 10^4$	0	0	0	0	0	0	

جدول (۹-۵)



شکل (۳۴-۵)

$$u_1 = (10 + 0.32) - 6 = 4.32 \text{ m}$$

$$u_2 = 10.32 \text{ m}$$

$$u_3 = 10.32 + 1.4 = 11.72 \text{ m}$$

U	$\pi U / 2a$	$\sin \pi U / 2a$	$\sin 3\pi U / 2a$	$\sin 5\pi U / 2a$
$U_1 = 4.32$	0.678	0.627	0.894	-0.248
$U_2 = 10.32$	1.621	0.998	-0.988	0.968
$U_3 = 11.72$	1.841	0.964	-0.689	0.218

جدول (۴-۱۹)

$$M_{y\max} = \frac{Pb}{a} [\mu_0(\theta) \sin \frac{\pi u}{2a} - \mu_0(3\theta) \sin \frac{3\pi u}{2a} + \mu_0(5\theta) \sin \frac{5\pi u}{2a}]$$

$$M_{y\max 1} = \frac{0.4W \times 5}{10} \left[ \left( \frac{0.2384}{4} (0.627) - \left( \frac{0.072}{4} \right) (0.894) \right) + 0 \right]$$

$$M_{y\max 2} = \frac{0.8W \times 5}{10} \left[ \left( \frac{0.2384}{4} (0.998) - \left( \frac{0.072}{4} \right) (-0.988) \right) + 0 \right]$$

$$M_{y\max 3} = \frac{0.8W \times 5}{10} \left[ \left( \frac{0.2384}{4} (0.964) - \left( \frac{0.072}{4} \right) (-0.689) \right) + 0 \right]$$

$$M_{y\max.} = M_{y\max 1} + M_{y\max 2} + M_{y\max 3} =$$

$$\begin{aligned} &= \frac{1}{4} (0.0170 + 0.1236 + 0.1118) W = \frac{0.2524}{4} W = 2.8395 \text{ t.m/m} \\ &\quad = 27.855 \text{ KN.m/m} \end{aligned}$$

#### د - محاسبه لنگر پیچشی $M_{yx}$ و $M_{xy}$

لنگر پیچشی در تکیه گاهها حداکثر می باشد و لنگر پیچشی حداکثر در تکیه گاه بالنگر خمشی عرضی در وسط دهانه تقریباً "مساوی می باشد که محاسبه آنرا در بخش قبلی ملاحظه کردیم .

#### ه - محاسبه نیروی برشی و عکس العملهای تکیه گاهی

روابط زیر را می توان برای محاسبه نیروی برشی در مقطعی بفاصله  $x$  از تکیه گاه  $(T_x)$  ، عکس العمل تکیه گاهی تکیه گاه  $x=0$  ( $v_x=0$ ) و عکس العمل تکیه گاهی تکیه گاه  $x=2a$  ( $v_x=2a$ ) بدلیل پیچیدگی در اینجا موردنبحث قرار نمی گیرد .

$$T_x = \sum_{n=1}^{\infty} \frac{2a}{n\pi} \frac{Hn}{2b} \cos \frac{n\pi x}{2a} \left[ K_{n\theta 1} + 2(n\theta)^2 \pi^2 \mu'_{n\theta 1} \right]$$

$$v_x = 0 = \sum_{n=1}^{\infty} \frac{2a}{n\pi} \frac{Hn}{2b} \left[ K_{n\theta 1} + (2-\gamma) 2(n\theta)^2 \pi^2 \mu'_{n\theta 1} \right]$$

$$V_{x=2a} = \sum_{n=1}^{\infty} (-1)^n \frac{2a}{n\pi} \frac{H_n}{2b} [K_{n\theta_1} + (2-\gamma) 2(n\theta)^2 \pi^2 \mu'_{n01}]$$

که در روابط بالا  $H_n$  جمله بار مطابق بخش قبلی تعیین می‌گردد.

$2b$  عرض مؤثر عبورگاه.

$2a$  طول دهانه عبورگاه.

$K$  ضریب پخش جدول (۵-۲).

و ضریب پواسیون مصالح برای مصالح بتن می‌توان ۰.۱۵ فرض کرد.

' ضریب مشابه با  $K$  و نکه از جدول (۵-۱۰) بدست می‌آید.

$\theta = 0.10 \quad   \quad \mu'_1 \cdot 10^4$										
	$-b$	$-\frac{3b}{4}$	$-\frac{b}{2}$	$-\frac{b}{4}$	0	$\frac{b}{4}$	$\frac{b}{2}$	$\frac{3b}{4}$	$b$	
0	2362.43	1171.09	19.13	1161.26	2384.75	1161.26	19.13	1171.09	2362.43	
$b/4$	2157.68	1318.66	469.24	401.15	1303.37	2248.70	743.60	725.25	2176.30	
$b/2$	1724.14	1172.64	614.29	42.08	551.07	1172.61	1830.26	27.16	1753.89	
$3b/4$	1006.72	733.96	457.94	147.97	118.39	425.83	751.11	1098.58	1032.85	
$b$	0	0	0	0	0	0	0	0	0	

$\theta = 0.20 \quad   \quad \mu'_1 \cdot 10^4$										
	$-b$	$-\frac{3b}{4}$	$-\frac{b}{2}$	$-\frac{b}{4}$	0	$\frac{b}{4}$	$\frac{b}{2}$	$\frac{3b}{4}$	$b$	
0	1868.48	987.41	61.13	956.23	2116.23	956.23	61.13	987.31	1868.48	
$b/4$	1726.92	1109.45	460.83	252.12	1066.17	2022.84	649.53	601.57	1793.15	
$b/2$	1372.93	984.93	577.26	128.78	384.04	988.01	1714.20	78.49	1479.72	
$3b/4$	802.68	617.93	423.76	209.98	34.91	323.94	672.46	1098.43	897.28	
$b$	0	0	0	0	0	0	0	0	0	

جدول (۵-۱۰) ضریب  $\mu'$

$\theta = 0.30$		$\mu_1' \cdot 10^4$							
0	1401.34	787.36	102.49	734.11	1820.56	734.11	102.49	787.36	1401.34
b/4	1265.04	871.88	432.67	106.17	810.66	1764.98	532.20	480.50	1389.52
b/2	1008.36	771.37	511.06	194.52	219.10	782.01	1562.42	103.93	1210.92
3 b/4	580.08	480.69	369.20	230.77	46.46	208.53	567.03	1072.77	762.33
b	0	0	0	0	0	0	0	0	0

$\theta = 0.40$		$\mu_1' \cdot 10^4$							
0	1016.48	616.52	131.42	546.21	1563.32	546.21	131.42	616.52	1016.48
b/4	884.18	660.13	386.57	1.68	596.47	1530.71	416.12	390.74	1059.01
b/2	678.83	568.19	431.71	233.31	79.65	584.96	1397.86	106.19	967.14
3 b/4	393.82	353.78	303.53	227.65	102.61	107.15	455.09	1021.07	658.96
b	0	0	0	0	0	0	0	0	0

$\theta = 0.50$		$\mu_1' \cdot 10^4$							
	- b	$-\frac{3b}{4}$	$-\frac{b}{2}$	$-\frac{b}{4}$	0	$\frac{b}{4}$	$\frac{b}{2}$	$\frac{3b}{4}$	b
0	730.46	482.42	147.00	400.82	1355.96	400.82	147.00	482.42	730.46
b/4	603.93	489.95	332.01	61.65	432.79	1334.49	313.28	329.20	810.67
b/2	448.19	407.32	347.45	234.38	9.13	428.22	1244.07	82.57	795.12
3 b/4	256.51	249.96	237.73	206.78	132.44	28.59	349.92	954.51	584.70
b	0	0	0	0	0	0	0	0	0

ادامه جدول (۵-۱۰) ضریب  $\mu'$

$\theta = 0.60$		$\mu_1' \cdot 10^4$								
0	525.16	379.21	152.18	290.92	1190.61	290.92	152.18	379.21	525.16	
b/4	408.08	359.73	277.57	95.74	310.88	1173.99	227.79	285.27	626.21	
b/2	289.55	285.32	270.58	216.67	63.35	305.67	1107.50	51.26	664.29	
3 b/4	162.23	171.19	179.34	177.42	142.43	27.35	258.39	883.95	529.16	
b	0	0	0	0	0	0	0	0	0	

$\theta = 0.70$		$\mu_1' \cdot 10^4$								
0	378.84	299.42	150.19	207.76	1057.16	207.76	150.19	299.42	378.84	
b/4	274.47	262.62	228.19	111.50	220.05	1042.95	159.49	250.89	488.45	
b/2	184.44	196.68	206.11	190.75	93.41	212.21	990.50	20.84	561.01	
3 b/4	100.41	114.49	131.60	146.41	139.55	64.11	182.70	816.07	484.37	
b	0	0	0	0	0	0	0	0	0	

$\theta = 0.80$		$\mu_1' \cdot 10^4$								
0	274.28	237.14	143.64	144.37	947.62	144.37	143.64	237.14	274.28	
b/4	184.33	191.20	185.76	116.35	151.86	935.22	106.26	221.67	382.95	
b/2	116.42	134.10	154.75	162.98	107.53	141.94	891.97	4.97	476.68	
3 b/4	61.13	75.19	94.64	117.59	129.21	85.93	122.20	753.86	445.87	
b	0	0	0	0	0	0	0	0	0	

مباحث بنیادی پلهای بتنی

θ = 0.90		$\mu_1' \cdot 10^4$								
		- b	$\frac{3b}{4}$	$\frac{b}{2}$	$\frac{b}{4}$	0	$\frac{b}{4}$	$\frac{b}{2}$	$\frac{3b}{4}$	b
0		199.16	188.10	134.39	95.74	856.34	95.74	134.39	188.10	199.16
$b/4$		123.81	139.05	150.39	114.83	100.28	845.74	65.38	195.66	301.29
$b/2$		72.96	90.79	115.15	136.64	111.53	89.53	809.39	25.24	406.28
$3b/4$		36.76	48.71	67.09	92.61	115.24	96.79	74.96	698.13	411.46
b		0	0	0	0	0	0	0	0	0

θ = 1		$\mu_1' \cdot 10^4$								
		- b	$\frac{3b}{4}$	$\frac{b}{2}$	$\frac{b}{4}$	0	$\frac{b}{4}$	$\frac{b}{2}$	$\frac{3b}{4}$	b
0		144.91	149.27	123.77	58.35	779.35	58.35	123.77	149.27	144.91
$b/4$		83.21	101.07	121.37	109.67	61.08	770.61	34.28	172.14	237.51
$b/2$		45.69	61.19	85.23	113.13	109.33	50.61	739.94	40.37	346.79
$3b/4$		21.89	31.23	47.06	71.89	100.07	100.02	38.69	648.68	380.11
b		0	0	0	0	0	0	0	0	0

θ = 1.2		$\mu_1' \cdot 10^4$								
		- b	$\frac{3b}{4}$	$\frac{b}{2}$	$\frac{b}{4}$	0	$\frac{b}{4}$	$\frac{b}{2}$	$\frac{3b}{4}$	b
0		77.01	93.94	101.57	7.65	657.52	7.65	101.57	93.94	77.01
$b/4$		37.70	53.49	78.68	94.33	8.61	652.14	6.97	131.72	148.01
$b/2$		17.77	27.62	46.34	75.76	95.86	0.50	630.70	58.59	253.11
$3b/4$		7.62	12.56	22.67	41.99	71.50	93.28	9.28	545.45	324.71
b		0	0	0	0	0	0	0	0	0

ادامه جدول (۵-۱۰) ضریب  $\mu'$

$\theta = 1.4$   $\mu_1' \cdot 10^4$									
O	41.03	59.01	80.99	21.50	566.53	21.50	80.99	59.01	41.03
b/4	17.12	28.35	50.82	77.34	21.17	563.55	29.97	99.51	92.34
b/2	5.48	12.49	25.19	49.93	78.82	26.68	549.01	66.05	183.42
3b/4	2.60	4.97	9.83	23.84	48.77	79.01	34.32	500.77	277.52
b	0	0	0	0	0	0	0	0	0

$\theta = 1.6$   $\mu_1' \cdot 10^4$									
	- b	- $\frac{3b}{4}$	- $\frac{b}{2}$	- $\frac{b}{4}$	0	$\frac{b}{4}$	$\frac{b}{2}$	$\frac{3b}{4}$	b
O	21.88	37.00	63.27	37.30	496.74	37.30	63.27	37.00	21.88
b/4	7.79	15.05	32.68	61.54	37.19	495.22	41.97	74.54	57.64
b/2	2.68	5.61	13.58	32.33	62.39	40.41	485.82	67.14	135.01
3b/4	0.88	1.94	5.02	13.28	32.34	63.61	47.92	448.41	237.18
b	0	0	0	0	0	0	0	0	0

$\theta = 1.8$   $\mu_1' \cdot 10^4$									
O	11.67	23.18	48.79	44.84	441.89	44.84	48.79	23.18	11.67
b/4	3.55	8.00	20.95	47.99	44480	441.15	47.34	55.53	35.98
b/2	1.04	2.53	7.35	20.83	48.45	46.64	435.21	64.81	98.61
3b/4	0.29	0.76	2.33	7.31	21.06	49.70	52.81	405.74	202.70
b	0	0	0	0	0	0	0	0	0

$\theta = 2$	$\mu_1' \cdot 10^4$									
0	6.23	14.52	37.25	47.34	397.82	47.34	37.25	14.52	6.23	
b/4	1.62	4.26	13.39	36.88	47.33	397.47	48.65	41.23	22.46	
b/2	0.41	1.15	3.97	13.35	37.11	48.33	393.81	60.67	72.02	
3 b/4	0.10	0.30	1.08	3.99	13.55	38.12	53.19	370.41	173.23	
b	0	0	0	0	0	0	0	0	0	

ادامه جدول (۱۰ - ۵) ضریب  $\mu'$

مثال :

عبورگاه پلی متسلسل از دال تخت توپری بهدهانه ساده  $m = 12$  و عرض کل  $12m$  و وزن  $20KN/m^2$  مفروض است . نیروی برشی طولی حداکثر در مقطع  $x = \frac{L}{4}$  و  $\frac{L}{2}$  را در اثر بار مرده با روش ماسونت محاسبه نماید .

حل :

بدلیل تقارن بارگذاری مسلمان  $T_x = \frac{L}{2}$  و  $T_x = \frac{L}{4} = T_x = \frac{3L}{4}$  برابر صفر می باشد .  
بنابراین فقط در مقطع  $x = \frac{L}{4}$  نیروی برشی طولی حداکثر محاسبه می گردد .

$$T_x = \sum_{n=1}^{\infty} \frac{2a}{n\pi} \frac{H_n}{2b} \cos \frac{n\pi x}{2a} [ K_{n\theta 1} + 2(n\theta)^2 \pi^2 \mu'_{n\theta 1} ]$$

$$T_x = \frac{2a}{2b\pi} \sum_{n=1}^{\infty} \frac{1}{n} H_n \cos \frac{n\pi x}{2a} [ K_{n\theta 1} + 2(n\theta)^2 \pi^2 \mu'_{n\theta 1} ]$$

$$x = \frac{L}{4} = \frac{2a}{4} = \frac{a}{2}$$

$$T_x = \frac{L}{4} = \frac{2a}{2b\pi} \sum_{n=1}^{\infty} \frac{1}{n} H_n \cos \frac{n\pi}{4} [ K_{n\theta 1} + 2(n\theta)^2 \pi^2 \mu'_{n\theta 1} ]$$

$$H_n = \frac{4\omega_o}{n\pi} \sin^2 \frac{n\pi}{2a} \quad \text{از طرفی}$$

$$T_{x=0} = \frac{L}{4} = \frac{4 \omega_0^2 a}{b \pi^2} \sum_{n=1}^{\infty} \frac{1}{n^2} \sin^2 \frac{n\pi}{2a} \cos \frac{n\pi}{4} [K_{n\theta=1} + 2(n\theta)^2 \pi^2 \mu'_{n\theta=1}]$$

که در این صورت با بسط چهار جمله اول خواهیم داشت :

$$\begin{aligned} T_{x=0} = \frac{L}{4} &= \frac{4 \omega_0^2}{\pi^2} \left\{ \frac{1}{1} \sin^2 \frac{\pi}{12} \cos \frac{\pi}{4} [K_{\theta=1} + 2(\theta)^2 \pi^2 \mu'_{\theta=1}] \right. \\ &\quad + \frac{1}{4} \sin^2 \frac{\pi}{6} \cos \frac{\pi}{2} [K_{2\theta=1} + 2(2\theta)^2 \pi^2 \mu'_{2\theta=1}] \\ &\quad + \frac{1}{9} \sin^2 \frac{\pi}{4} \cos \frac{3\pi}{4} [K_{3\theta=1} + 2(3\theta)^2 \pi^2 \mu'_{3\theta=1}] \\ &\quad \left. + \frac{1}{16} \sin^2 \frac{\pi}{3} \cos \pi [K_{4\theta=1} + 2(4\theta)^2 \pi^2 \mu'_{4\theta=1}] \right\} \end{aligned}$$

اکنون مطابق جدول (۱۱-۵) مقادیر  $\mu'_{n\theta}$  را با استفاده از جدول (۱۰-۵) و با استفاده از جدول (۵-۲) تعیین می نماییم .

$\lambda$	-b	-3b/4	-b/2	-b/4	0	b/4	b/2	3b/4	b	$E\mu'_1 \times 10^6$	$t\lambda_y'/8$	
0.5	1	1	1	1	1	1	1	1	0.5	$E\mu'_1 \times 10^6$	$t\lambda_y'/8$	
1.8 * 0.5	-730.46	-482.42	-147.00	+400.82	1355.96	400.82	-147.00	-482.42	-730.46	168.3	0.0021	= u'18
2.8 * 1.0	-144.91	-149.27	-123.77	58.35	779.35	58.35	-123.77	-149.27	-144.91	205.06	0.0025	= u'2.8
3.8 * 1.5	-31.46	-48.00	-72.13	-29.40	531.83	-29.40	-72.13	-48.00	-31.45	201.12	0.0025	= u'3.8
4.8 * 2.0	-6.23	-14.52	-37.25	-47.34	397.82	-47.34	-37.25	-14.52	-6.23	199.37	0.0024	= u'4.8

جدول (۱۱-۵)

$$\begin{aligned} T_{x=0} = \frac{L}{4} &= \frac{4 \times 20 \times 12}{\pi^2} \left\{ \sin^2 \frac{\pi}{12} \cos \frac{\pi}{4} [0.9987 + 2(0.5)^2 \pi^2 (0.0021)] \right. \\ &\quad + \circ \\ &\quad + \frac{1}{9} \sin^2 \frac{\pi}{4} \cos \frac{3\pi}{4} [0.9967 + 2(1.5)^2 \right. \\ &\quad \left. \left. \pi^2 (0.0025) \right] \right. \\ &\quad + \frac{1}{16} \sin^2 \frac{\pi}{3} \cos \pi [0.9967 + 2(2)^2 \pi^2 (0.0024)] \} \end{aligned}$$

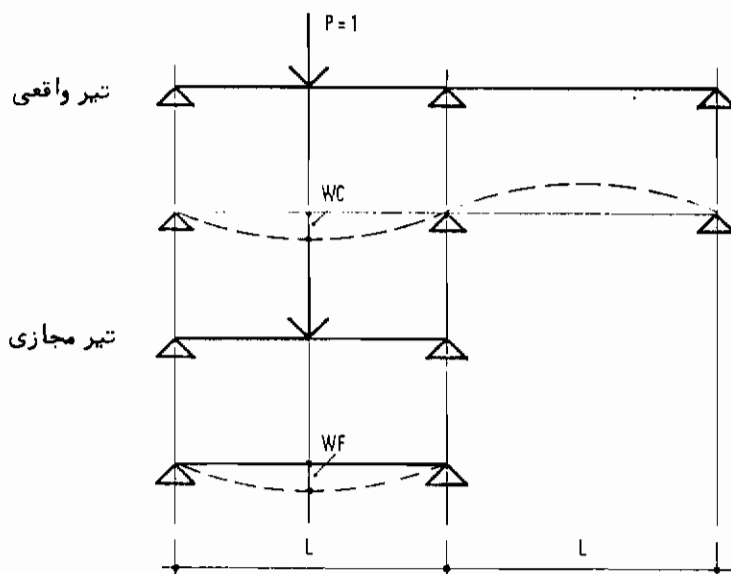
فقط سه جمله اول در نظر گرفته شده است.

$$T_x = \frac{L}{4} = \frac{4 \times 20 \times 12}{\pi^2} (0.0478 - 0.0435 - 0.0556) = -4.989 \text{ KN/m}$$

بطور مشابه می‌توان نیروی عکس العمل تکیه‌گاهی در  $x=2a$  را محاسبه کرد.

### روش ماسونت برای دهانه‌های یکسره

در این حالت ماسونت پیشنهاد می‌کند که تیر یکسره با یک تیر مجازی با دهانه ساده جانشین شود. ضریب سختی برای تیر ساده طوری محاسبه می‌گردد که تیروااقعی و تیر مجازی برای یک هارگذاری مشخص خیز یکسان را ایجاد نمایند (شکل ۲۵-۵).



شکل (۲۵-۵)

با توجه به شکل (۲۵-۵) در تیر دو دهانه در اثر اعمال  $P=1$  خیز در وسط دهانه اول

$$W_c = \frac{L^3}{CEI_B}$$

که در آن عدد ثابتی است برای تیر مجازی (دهانه ساده):

$$W_F = \frac{L^3}{48EI_B^F}$$

دو خیز را مساوی هم قرار می دهیم .

$$W_F = W_c$$

$$\frac{1}{CI_B} = \frac{1}{48 I_B^F}$$

$$I_B^F = \frac{C}{48} I_B = r I_B \quad \text{بنابراین}$$

$$r = \frac{C}{48} \quad \text{که :}$$

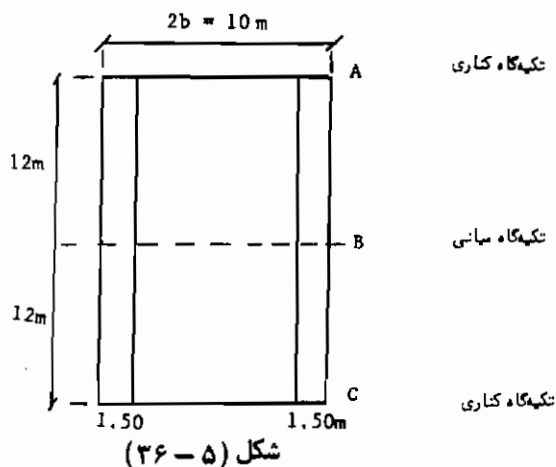
$$\theta_F = \frac{b}{2a} \left[ \frac{i_F}{j} \right]^{\frac{1}{4}} = \theta(r)^{\frac{1}{4}} \quad \text{پس}$$

$$\alpha_F = \frac{\alpha}{r^{\frac{1}{2}}} \quad \text{بطریق مشابه}$$

برای سازه های با دهانه پکسره متفاوت مقدار  $\theta_F$  و  $\alpha_F$  برای هر دهانه باید جداگانه حساب شود .

مثال :

مطلوبست محاسبه حداکثر لنگر خمشی در وسط دهانه AB از عبورگاه دال تخت دو دهانه شکل (۳۶-۵) در اثر اعمال یک بار متعرکز به مقدار P در نقطه استاندارد  $\frac{b}{4}$  + از عبورگاه .



حل:

برای دودهانه مساوی در وسط دهانه اول خیز ماکریم در اثر بار واحد برابر است با

$$y_{\max_c} = \frac{L^3}{66.7 EI_c}$$

$$r = \frac{66.7}{48} = 1.389 \quad \text{که در نتیجه .}$$

$$\theta^F = \frac{b}{2a} (r)^{\frac{1}{4}} = \frac{5}{12} (1.389)^{\frac{1}{4}} = 0.452 \quad \text{دال تخت پس :}$$

$$\alpha^F = (1)(r)^{-\frac{1}{2}} = (1.389)^{-\frac{1}{2}} = 0.849$$

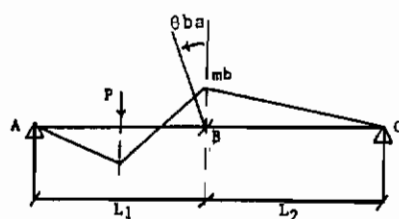
بار در محل نقطه استاندارد  $\frac{b}{4}$  + اعمال می شود ، محلی که لنگر طولی ماکریم خواهد بود  
 $y = +b$  می باشد . چون  $1 < \alpha < 0$  بوده و نیز  $0.4 < \theta < 0.5$  می باشد پس با انتربوله از  
 جداول  $\theta = 0.5 K_1$  و  $\theta = 0.5 K_0$  ،  $\theta = 0.4 K_1$  ،  $\theta = 0.4 K_0$  مقادیر لازم  
 مطابق جدول (۱۲-۵) محاسبه می گردند .

	$\theta=0.4k_0$	$0.5k_0$	$0.45k_0$	$0.4k_1$	$0.5k_1$	$0.45k_1$	$0.45k\alpha$
0	1.0851	1.1877	1.1364	1.0414	1.0767	1.0590	1.0651
$b/4$	1.2696	1.3721	1.3208	1.0914	1.1557	1.1235	1.3902
$b/2$	1.4005	1.4336	1.4170	1.1051	1.1607	1.1329	1.1552
$3b/4$	1.5005	1.4250	1.4627	1.0994	1.1293	1.1143	1.1417
$b$	1.5916	1.3968	1.4942	1.0893	1.0937	1.0915	1.1231

جدول (۱۲-۵)

$$K_{\max.} = 1.1552 \quad \text{بنابراین در } y = +\frac{b}{4} \text{ داریم .}$$

اکنون با استفاده از روش نیرو - تغییر مکان (ضمیمه ۲) لنگر خمشی متوسط در وسط دهانه AB را حساب می کیم (شکل ۳۷-۵) الف .



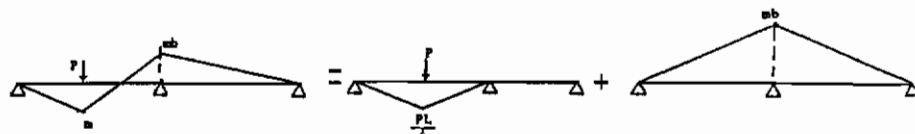
شکل (۵ - ۳۷) الف -

با استفاده از شکل (۳۷-۵) الف داریم :

$$m_b \left( \frac{L_1}{3E_1 I_1} \right) + m_b \left( \frac{L_1}{3E_2 I_2} \right) = \theta_{ba}$$

$$L_1 = L_2 = L, E_1 I_1 = E_2 I_2 = EI, \theta_{ba} = \frac{PL^2}{16EI_1}, \text{اما}$$

$$m_b = \frac{3}{32} PL \quad \text{بنابراین}$$



شکل (۳۷ - ۵) ب

با استفاده از شکل (۳۷ - ۵) ب خواهیم داشت :

$$m = \frac{PL}{4} - \frac{mb}{2} = 0.2031 PL$$

$$M_{xmean} = \frac{0.2031 L}{10} = 0.2437 P$$

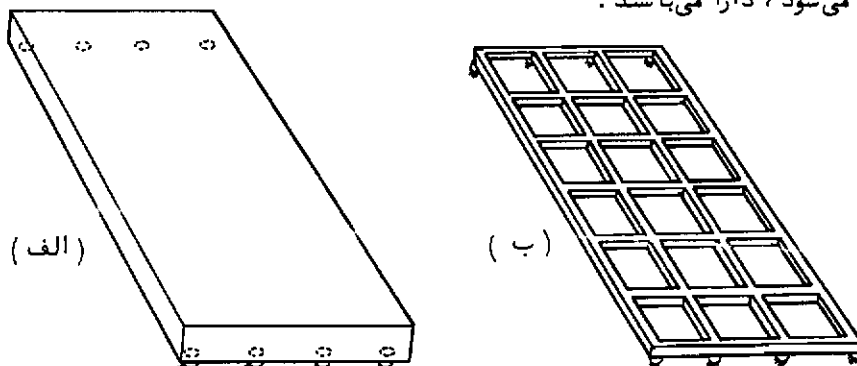
$$M_{xmax.} = 0.2437 P \times 1.1 \times 1.1552 = 0.3097 P$$

#### ۵ - ۶ روش تشابه سازی عبورگاه واقعی به یک شبکه معادل

در این روش عبورگاه واقعی توسط یک شبکه دو بعدی پس بعدی معادل متشکل از

تعدادی اعضای تیری جانشین می‌گردد. سپس شبکه حاصل حل شده و نیروهای داخلی لازم محاسبه می‌گردند. این روش مشابه با روش اجزاء محدود بوده که در آن عبورگاه واقعی به عددادی اجزاء کوچک تقسیم می‌گردد که برای هر یک معادلات خمشی تقریبی صفحه را می‌توان نوشت و در بخش بعدی (۵-۷) توضیح داده می‌شود. یکی از مزایای روش شبکه و یا اجزاء محدود استفاده از برنامه‌های کامپیوتربی می‌باشد که حل سریع و دقیق را امکان پذیر می‌سازد. مزیت عمده دیگر روش شبکه در این است که برای طراح توجیه فیزیکی خوبی از عملکرد سازه فراهم می‌سازد.

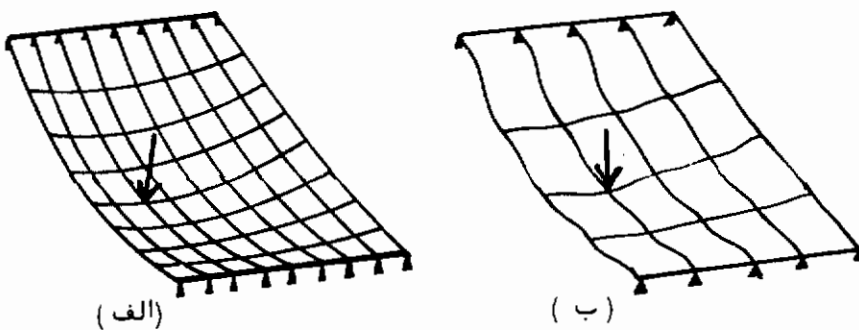
روش شبکه را می‌توان به عنوان یکی از مرسوم‌ترین روش‌های کاربردی کامپیوتربی برای تحلیل عبورگاه‌های پل نام برد. این موضوع بدلاطیل سادگی در درک واستفاده از آن، مخارج کم، و نتایج رضایت‌بخشی که برای تعداد عمدات از انواع پلها حاصل می‌گردد می‌باشد. این روش اولین بار با استفاده از کامپیوترب توسط شخصی بنام لایت فوت<sup>۲</sup> و ساکو<sup>۳</sup> تهیه گردید که در آن عبورگاه توسط شبکه معادلی از تیرها مطابق شکل (۵-۳۸) بیان شد. سختیهای خمشی و پیچشی‌گستردگر در هر قسمت از دال، برای منظور تحلیل، در نزدیکترین تیر شبکه معادل بصورت متمرکز فرض نمی‌گردد. سختیهای طولی دال در تیرهای طولی مرکز شده و سختیهای عرضی در تیرهای عرضی مرکز می‌شوند، درحالی ایده‌آل سختیهای تیرها باید طوری انتخاب شوند که اگر دال مورد نظر و شبکه معادل تحت اثر بارهای پیکانی قرار گیرند، دو سازه تغییرشکل پیکانی را از خودنشان دهنده و لنگرهای خمشی و پیچشی و نیروهای برشی ایجاد شده در هر تیر شبکه معادل با تنشهای حاصل در سطح مقطع قسمتی از دال که تیر بیانگر آن می‌باشد مساوی باشند. این ایده‌آل سازی در حقیقت فقط تقریبی بوده چه دو نوع سازه خواص مختلفی را، همانگونه که در زیر توضیح داده می‌شود، دارا می‌باشد.



شکل (۵-۳۸) (الف) دال مورد نظر و (ب) شبکه معادل

اولاً، تعادل هر جزئی از دال نیاز به برابر بودن پیچشها در دو جهت عمود بر هم دارد، و همچنین دوران  $\frac{\partial^2 \omega}{\partial x \partial y}$  در دو جهت متعادل پیکان است. در شبکه معادل هیچگونه اصل فیزیکی و یا ریاضی برای پیکان ساختن پیچشها و یا دوران‌ها در دو جهت متعادل در یک اتصال وجود ندارد. اما اگر شبکه به اندازه کافی ریز باشد، همانند شکل (۳۹-۵)(الف)، تغییر شکل آن نسبتاً یکواخت خواهد بود و دوران در دو جهت متعادل تقریباً مساوی می‌شود (پیچشها نیز به همین صورت خواهند بود اگر سختی‌های پیچشی در دو جهت برابر باشند). از طرف دیگر اگر شبکه خیلی درشت باشد همانند شکل ب، تغییر شکل آن تحت اثر بار یکواخت نخواهد بود که در نتیجه دورانها و پیچشها در دو جهت متعادل الزاماً پیکان نمی‌باشند. حتی در حالت اخیر این نوع شبکه را می‌توان برای موارد عملی بکار برد.

مسئله دیگری که در شبکه وجود دارد اینست که در این نوع سازه لنگر خمی در هر تیر تنها متناسب با عکس شعاع اتحنا می‌باشد، حال آنکه در دال تخت که مشابه یک صفحه



شکل (۵-۳۹) (الف) شبکه ریز، (ب) شبکه درشت

می‌باشد لنگر خمی در هر جهتی بستگی به شعاع اتحنا در آن جهت و امتداد عمود بر آن دارد. خوشبختانه از طریق مقایسه‌های عددی بین نتایج آزمایشگاهی و نتایج حاصل از روش‌های دقیق، ثابت شده است که تنشی‌ای خمی بوجود آمده در شبکه معادل در اثر لنگرهای گسترده برای اکثر اهداف عملی به اندازه کافی دقیق می‌باشد. در مجاورت بار وارد، که به مساحتی کوچکتر از فاصله بین تیرها شبکه بار وارد می‌شود، شبکه لنگرهای خمی و پیچشی حد اکثر موضعی را پیش‌بینی نمی‌کند.

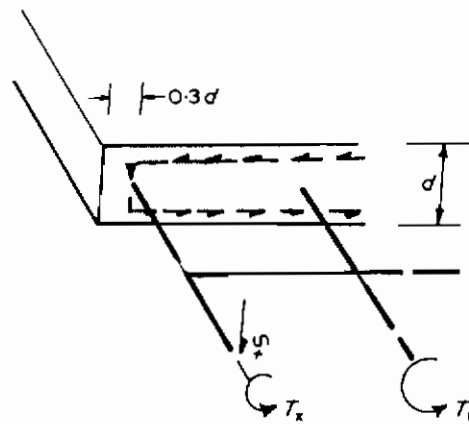
#### اجزاء شبکه پل‌های صفحه‌ای

بدلیل تعداد زیاد انواع مختلف شکل عبورگاه‌ها و نوع تکیه گاه‌های ایشان، وضع قوانین

دقیق کلی جهت انتخاب نوع شبکه مشکل است . اگرچه خلاصه کردن مشخصات تعدادی عبورگاه و بار واردہ مفید خواهد بود .

۱ - عملکرد سازه را از نقطه نظر طراح در نظر بگیرید ، و تیرهای شبکه را منطبق بر خطوط مقاومت طرح قرار دهید . (مثلًا "موازی پیش تنیدگی یا تیرهای اصلی ، در امتداد تیرهای کناری ، در امتداد خطوط مقاومت بزرگ روی تکیه‌گاهها و غیره ) .

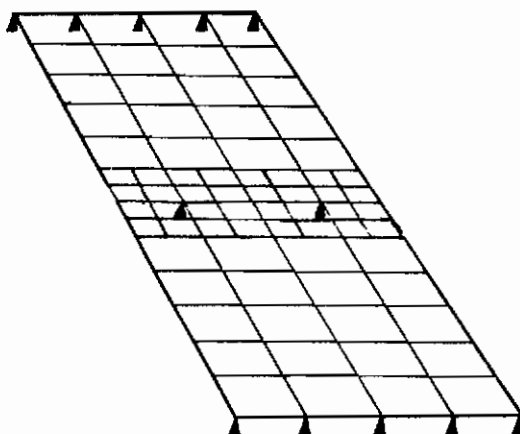
۲ - توجه در نحوه پخش نیروها در داخل سازه مورد نظر داشته باشد . به عنوان مثال اگر عبورگاهی سطح مقطعی مطابق شکل (۵ - ۴۰) را دارا باشد ، جریانهای برش پیچشی مطابق شکل می‌باشند . جریانهای برش در امتداد قائم در کناره‌های دال توسط مؤلفه  $S_x$  از نیروهای برشی قائم در اعضای کاری شبکه بیان می‌شوند . برای اینکه شبکه معادل خیلی نزدیک به دال واقعی باشد ، هر عضو کناری شبکه باید نزدیک به محل برآیند جریانهای برش قائم در کناره دال قرار داده شود . برای دال تخت توپر این فاصله تقریباً "برابر با ۳/۰ ضخامت دال از کناره دال می‌باشد .



شکل (۵ - ۴۰) نیروهای پیچشی در کناره شبکه

۳ - تعداد کل اعضای طولی را می‌توان از یک عدد (اگر دال به اندازه‌ای باریک باشد که رفتار تیر را بتوان برای آن فرض کرد) تا بیست عدد یا بیشتر (اگر عبورگاه خیلی پهن باشد و بدقت طرح گردد تا ارزش مخارج و کار اضافی را داشته باشد) در نظر گرفت ، قراردادن اعضاء نزدیکتر از ۲ تا ۳ برابر ضخامت دال ضرورتی ندارد چون پخش موضعی بار در داخل دال در نظر گرفته نمی‌شود . از طرف دیگر ، اگر اطلاعات بدست آمده جهت تعیین مقادیر حداقل موضعی باشد ، حداقل فاصله بین اعضای طولی برای دالهای ایزوتروپیک حدود  $\frac{1}{4}$  طول دهانه موثر در نظر گرفته می‌شود .

۴- فاصلهٔ بین اعضای عرضی باید به اندازهٔ کافی کم باشد تا بارهای گسترده در اعضاٰ طولی را بتوان با دقت کافی توسط چند بار متمرکز بیان کرد، یعنی فاصله‌ای حدوداً "کمتر از  $\frac{1}{4}$  دهانهٔ موئش" باشد. در نواحی جهش نیروهای داخلی مثل تکیه‌گاههای داخلی فاصلهٔ کمتری لازم است، همانند شکل (۵-۴۱).



شکل (۵-۴۱) شبکه ریز در نواحی تغییر ناگهانی روی تکیه‌گاه میانی

۵- فاصله‌های اعضاٰ طولی و عرضی باید تقریباً " مشابه باشند تا پخش استاتیکی بار در حد لازم امکان پذیر باشد .

۶- عبورگاههای با دهانهٔ ساده با زاویهٔ مورب کمتر از  $20^{\circ}$  را معمولاً می‌توان با شبکه قائم تحلیل کرد. اما اگر زاویهٔ عبورگاه نسبت به مهایها بیشتر از  $20^{\circ}$  درجه باشد و یا عبورگاه یکسره باشد در این صورت اختلاف زاویهٔ تکیه‌گاههای شبکه نسبت به تکیه‌گاههای عبورگاه واقعی نباید بیش از ۵ درجه باشد.

۷- در حالت کلی زاویهٔ بین اعضاٰ طولی و عرضی در شبکه باید قائم باشد ( حتی برای پلهای مورب ) مگر امتدادهای مقاومت مثلًا میلگردها مورب باشند .

۸- اگر عبورگاه زاویهٔ مورب زیادی داشته باشد یا محل اتصال تکیه‌گاهها به عبورگاه خیلی نزدیک به یکدیگر باشند ، فشرده شدن سیستم‌های تکیه‌گاهی اثر مهی در نیروهای برشی موضعی وغیره دارد و در نتیجه در مدل سازی آن باید دقت کافی صورت گیرد .

۹- در تحلیل شبکه فرض می‌شود که بارهای متمرکز توسط بارهای عرضی که توسط عضو جانشین می‌شود پخش گردد . گاهی اوقات عبورگاههای با تکیه‌گاههای نقطه‌ای منفرد بهتر است که با دو شبکه مستقل مورد مطالعه قرار گیرد . ابتدا توسط یک شبکه با فاصلهٔ اعضاٰ

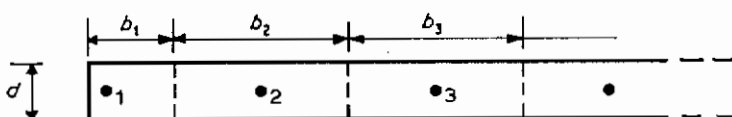
زیاد برای تمام عبورگاه جهت مطالعه گسترش لنگرها و غیره بین دهانهها . ثانیا " توسط یک شبکه ریز ، که فقط نواحی کوچکی در اطراف تکیهگاه را بیان کند . نیروها و تغییرشکلهای کرانه‌های مرزی این شبکه کوچک از نیروها و تغییرشکلهای خروجی همان نقاط در شبکه با فاصله اعضای زیاد تعیین می‌گردد .

### خواص مقطع اعضای شبکه پلهای صفحه‌ای

#### اینرسی‌های خمی

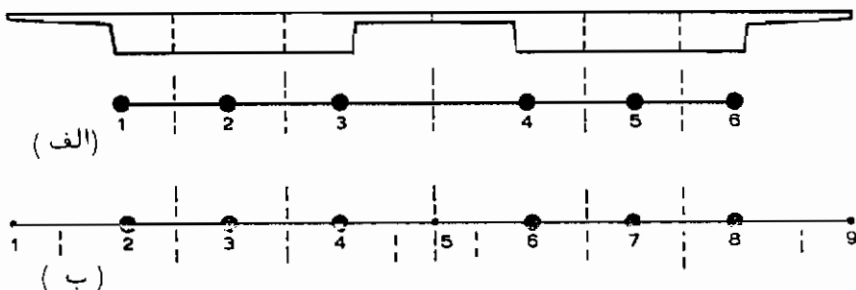
اینرسی خمی اعضای طولی و عرضی شبکه با در نظر گفتن قسمتی از دال که توسط عضوی از شبکه جانشین شده است محاسبه می‌شود ، شکل (۴۲-۵) . معان اینرسی حول تار خنثای عبورگاه تعیین می‌شود ، بنابراین برای یک دال ایزوتروپیک داریم :  $\frac{bd^3}{12} = I$  اگر عبورگاه کنسول نازک یا دالهای نازک مابین داشته باشد همانند شکل (۴۳-۵) ، در اینصورت اعضای طولی را می‌توان مثل (الف) یا مثل (ب) قرار داد . در شکل (الف) اینرسی‌های تمام اعضاء نسبت به تار خنثای عبورگاه محاسبه می‌شوند . اما در شبکه‌ای که اعضای آن مطابق شکل (ب) باشد ، دالهای نازک که در تراز بالای اعضای ۱، ۵ و ۹ قرار دارند ، عمدتاً "بعنوان بالهای اعضای ۲، ۶، ۴، ۸، ۰ به ترتیب ، عمل می‌کنند . درنتیجه اینرسی‌های ۱، ۵ و ۹ نسبت به مرکز سطح دال نازک محاسبه شده و حال آنکه برای اعضای ۲، ۰، ۴، ۲، ۰، ۹ اینرسی‌ها همانند شکل (الف) محاسبه می‌شوند ، اما اینرسی‌های ۱، ۰ و ۹ باید کم شوند . از نظر عرضی دال نازک حول تار خنثای خودش خم خواهد شد بطوری که ضخامت دال نازک در معادله معان اینرسی برای اعضای ۱-۲، ۴-۵، ۰-۶، ۴-۸، ۰-۹ استفاده می‌شود و ضخامت دال ضخیم در معادله مربوطه برای اعضای ۳-۴، ۰-۳، ۳-۶، ۰-۷ و ۰-۸ بکار برده می‌شود .

برای عبورگاه دال حفره‌ای همانند شکل (۴۴-۵) اینرسی اعضای طولی شبکه برای مقطع سایه خورده حول تار خنثی محاسبه می‌شوند . اینرسی در جهت عرضی معمولاً "نسبت به مرکز حفره‌ها محاسبه می‌شود . اگر عمق حفره کمتر از ۰۶ درصد عمق دال باشد ، اینرسی عرضی را می‌توان تقریباً "مساوی اینرسی طولی در واحد عرض فرض کرد . هیچیک از این محاسبات دقیق نبوده ، اما برای هدفهای عملی طرح هردو قابل قبول می‌باشند .



شکل (۵ - ۴۲) تقسیم بندی مقطع عرضی عبورگاه دال تخت برای تعیین

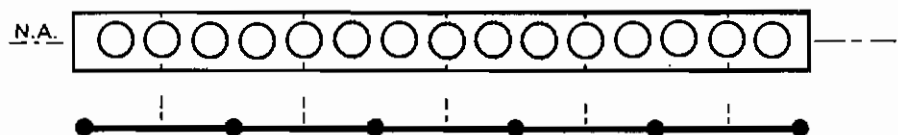
محل اعضای طولی شبکه



شکل (۵ - ۴۲) وضعیت‌های متفاوت برای اعضاي طولی شبکه عبورگاه شامل قسمتهای نازک

اگر معادله لنگر خمشی - شعاع انحنا برای یک دال با معادله مشابه برای یک تیر باهم مقایسه شوند ملاحظه می‌گردد که معادله دال برخلاف معادله تیر بستگی به شعاع انحنای عرضی داشته و نیز سختی دال ( $\frac{1}{v^2} - \frac{1}{l}$ ) برابر اثر سختی تیر می‌باشد. این اثر از دیاد سختی یک دال نسبت به تیر معادل "معمولًا" در تحلیل شبکه صرفنظر می‌شود چرا که سختی‌های طولی و عرضی به یک نسبت در آن اثر داشته و بنابراین در پخش بار تغییری حاصل نمی‌گردد.

عبورگاههای پلهای دال تخت بتن مسلح یا بتن پیش تنیده "معمولًا" در جهت طولی و عرضی دارای سختی‌های یکسان می‌باشند با این نتیجه که اگر کل سطح مقطع موئر بدون ترک فرض گردد و از اثر میلگرد ها صرفنظر شود نتایج بهاندازه کافی دقیق می‌باشند. از طرف دیگر اگر نسبت میلگرد های عرضی به میلگرد های طولی کم باشد یا پل پیش تنیده شود، اثر خمشی باید در نظر گرفته شود و اینرسی ها برای مقاطع معادل در دو جهت مختلف جداگانه محاسبه شوند.



شکل (۵ - ۴۴) موقعیت اعضاي طولی شبکه برای عبورگاههای دال تخت حفرهای.

## پیچش

دربخش (۵۵) نشان داده شد که ثابت پیچشی در واحد عرض پک دال از رابطه زیر بدست می‌آید.

$$C = \frac{d^3}{6}$$

بنابراین برای تیزی از شبکه که بیانگر عرض  $b$  از دال می‌باشد داریم

$$C = \frac{bd^3}{6}$$

این مقدار دو برابر مقدار معان اینرسی (یعنی  $\frac{bd^3}{12}$ ) می‌باشد و در حالت کلی فرض  $C=2I$  برای اعضای شبکه که بیانگر دالها می‌باشند امکان پذیر می‌باشد. روش ساده دقیقی برای محاسبه  $C$  مربوط به پک دال حفره‌ای وجود ندارد ولی رابطه  $C=2I$  را می‌توان قابل قبول فرض کرد.

در دالهای ارتوتروپیک واقعی، لنگرهای پیچشی در امتداد طولی و عرضی دال برابر می‌باشند. و نیز در هردو دوران یکسان بوده و مساوی با  $\frac{\partial^2 w}{\partial x \partial y}$  می‌باشد. در نتیجه اعضای طولی و عرضی شبکه باید ثابت‌های پیچشی یکسانی را در واحد عرض عبورگاه‌داشته باشند. با بکاربردن تقریب هوبر<sup>۹</sup> در معادلات صفحه ارتوتروپیک رابطه ثابت پیچشی تیزهای طولی و عرضی شبکه بصورت زیر پیشنهاد می‌گردد.

$$C = 2\sqrt{(i_x i_y)}$$

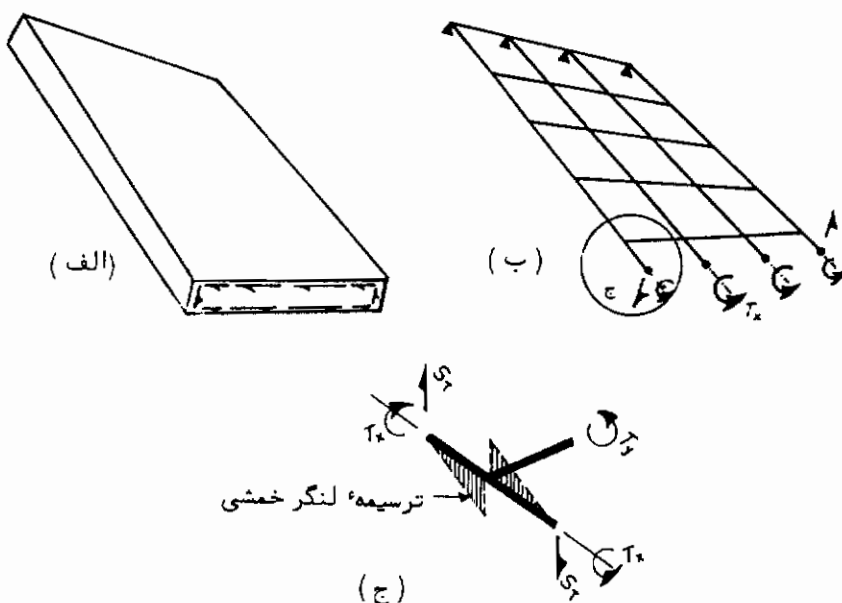
که  $C$  برابر ثابت پیچشی دال در واحد عرض دال  $i_x$  با برابر با اینرسی عضو طولی در واحد عرض و  $i_y$  اینرسی عضو عرضی در واحد طول دال می‌باشند.

در عبورگاه‌های دال و تیر و دال فولادی تقویت شده ارتوتروپیک، پیچش در دو امتداد عمود برهم مساوی نبوده و معادله بالا قابل اجرا نمی‌باشد و ثابت‌های پیچشی متفاوت می‌باشند.

در کناره‌های دال، برآیند جریانهای برشی افقی در نزدیکی بالا و یا عین مقطع (شکل (۴۵-۵) الف) در فاصله تقریباً  $3/2$  ضخامت دال از کناره دال وجود دارد. در صورتیکه عرض عضو کناری برای محاسبات  $C$  به  $(b-0.3d)$  کاهش یابد معادل بودن عبورگاه واقعی و

شبکه منطقی تر خواهد بود.

باید بهماین نکته توجه کرد که پیچش در دال فقط بیانگر پیچشی در مقطع در اثر جریانهای برش مقاوم افقی در نزدیکی بالا و پائین مقطع می‌باشد، حال آنکه جریانهای برش قائم در کتارهای برعکس قسمتی از نیروهای برش قائم در نظر گرفته می‌شود. شبکه نیز رفتار مشابهی را دارا می‌باشد، شکل (۴۵-۵) ب و ج.



شکل (۴۵-۵) پیچش (الف) یک دال (ب) شبکه معادل و (ج) نیروها در قسمتی از شبکه

نیروهای مقاطع اعضای شبکه (شکل ب) معادل با نیروهای موجود در مقطع شکل (الف) می‌باشد که پیچش‌های  $T_x$  اعضای شبکه، معادل پیچش در دال در اثر جریانهای برشی افقی بوده و نیروهای برشی  $T_y$  در شبکه معادل نیروهای برشی قائم در دال می‌باشند. دلیل بوجود آمدن نیروی برشی  $T_y$  در اعضای کتاری شبکه (و در کتارهای دال) در اثر پیچش در شکل (ج) تشریح شده است. دوران شبکه باعث بوجود آمدن دوران و پیچش در اعضای طولی و نیز عرضی می‌شود. در اتصال بین عضو عرضی و عضو طولی، پیچش عرضی باعث ایجاد لنگرهای خمشی و نیروهای برشی  $S_y$  در عضو طولی می‌شود. در اتصالات داخلی شبکه لنگر پیچشی عرضی اعضای عرضی دو طرف اتصال پکدیگر را خنثی می‌کند و فقط در صورت تفاوت لنگر پیچشی عرضی بین دو طرف اتصال لنگرهای خمشی و نیروهای

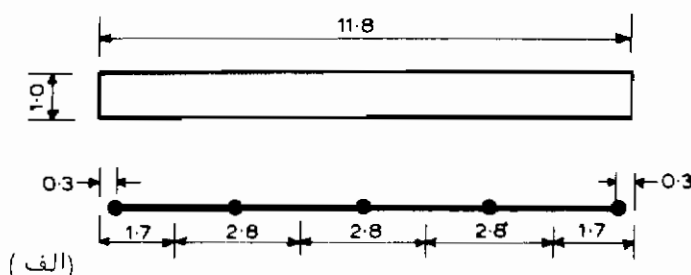
برشی ناچیزی در اعضای طولی بوجود می‌آید .  
یک حالت استثنای برای قانون بالا زمانی است که برای عبورگاههای تیری، شبکه‌مشکل از تنها یک عضو طولی و تعدادی اعضای عرضی باشد . در این صورت چون تیر طولی باید تمام پیچش در سطح مقطع در اثر جریانهای برش افقی مقاوم و نیروهای برشی قائم کاری مقاوم را تحمل نماید ، ثابت پیچش همانند حالت تیر دو بعدی باید محاسبه گردد .

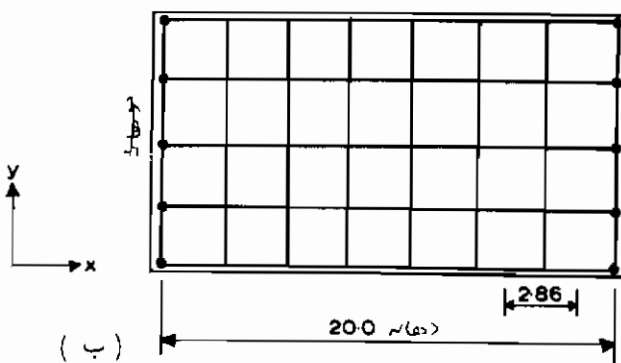
### مثالهای از شبکه

#### دال تخت توپر

شکل (۵-۴۶) یک دال تخت توپر بتن آرمه و نیز شبکه معادل آنرا نشان می‌دهد .  
چون شبکه کوچک می‌باشد ، همچنین مخارج آن پائین خواهد بود ، بهتر است که شبکه نسبتاً ریزی در اینجا انتخاب گردد بطوری که فاصله تیرهای طولی حدوداً ۵/۲ برابر ضخامت دال باشد . اعضای طولی کاری در فاصله  $\frac{1}{3}$  ضخامت دال از کاره آن قرار داده می‌شوند که محل نیروهای برشی قائم در اثر پیچش در دال می‌باشد .  
چون میلگردها در دو جهت تقریباً با هم برابرند ، سختی دال برابر با سختی یک دال ایزوتروپیک فرض می‌گردد . با محاسبه اینرسی‌ها در تمام سطح بتن ( یعنی از ترک خوردنگی بتن صرفنظر شود ) خواهیم داشت :

$$i_x = i_y = \frac{1.0^3}{12} = 0.0834 \quad / \quad \text{واحد عرض دال}$$





شکل (۵-۴۶) شبکه دال تخت توپر. (الف) مقطع عرضی، (ب) پلان.

$$c_x = c_y = \frac{1.0^3}{6} = 0.167$$

برای اعضای طولی داخلی با فاصله عرضی  $2/8$  متر از یکدیگر داریم :

$$I_x = 2.8 \times 0.0834 = 0.233 \quad C_x = 2.8 \times 0.167 = 0.466$$

برای عضو طولی کناری برای محاسبه  $I$  عرض  $1/2$  m بوده و برای محاسبه  $C$  عرض  $1.4$  m می‌باشد (یعنی عرضی که تحت اثر جریانهای برشی پیچش افقی قرار می‌گیرد). بنابراین :

$$I_x = 1.7 \times 0.0834 = 0.142 \quad , \quad C_x = 1.4 \times 0.167 = 0.233$$

اینرسی‌های عرضی نیز به طریق مشابه محاسبه می‌شوند.

### دال تخت توپر مرکب همراه با تیر تقویت کننده کناری

شکل (۴۷-۵) عبورگاه دال تخت پک دهانه که متتشکل از تیرهای پیش تنیده بتنی و بتن در جا می‌باشد نشان می‌دهد. تیرهای پیش تنیده نسبت به تکیه‌گاه قائم بوده اما عبورگاه از نوع مورب با زاویه زیاد می‌باشد.

شبکه طوری در نظر گرفته می‌شود که اعضای طولی آن موازی تیرهای پیش تنیده باشند و اعضای عرضی قائم بر اعضای طولی. هر تیر طولی بیانگر سه تیر پیش تنیده بوده و حال آنکه فاصله تیرهای عرضی از یکدیگر برابر  $\frac{1}{4}$  طول دهانه عبورگاه می‌باشد. تیر کناری نا

متقارن از نوع بطرف بالا می‌باشد.

بتن درجا ریخته شده مقاومت و سختی کمتری از بتن پیش تنشی دارد بطوری که ضریب تعدیل آن نسبت به بتن پیش تنشی برابر  $i = 0.8$  می‌باشد. اینرسی‌های مقطع ترک - خورده تبدیل یافته مختلف در دو جهت بکار برده می‌شود چون میلگردها در جهت عرضی نسبتاً کم می‌باشند. علاوه بر این، این میلگردها مساحت‌های متفاوتی را در حصیری بالا و پائین داشته بطوری که مقطع تبدیل یافته عرضی اینرسی‌های مختلفی را برای ممان مثبت و منفی دارند؛ متوسط دو تا بکار برده می‌شود. در نتیجه  $i = 0.7$  برای میلگردها (بارگذاری کوتاه مدت) داریم:

$$i_x = 0.0070 \quad \text{برای هر عضو در واحد عرض دال}$$

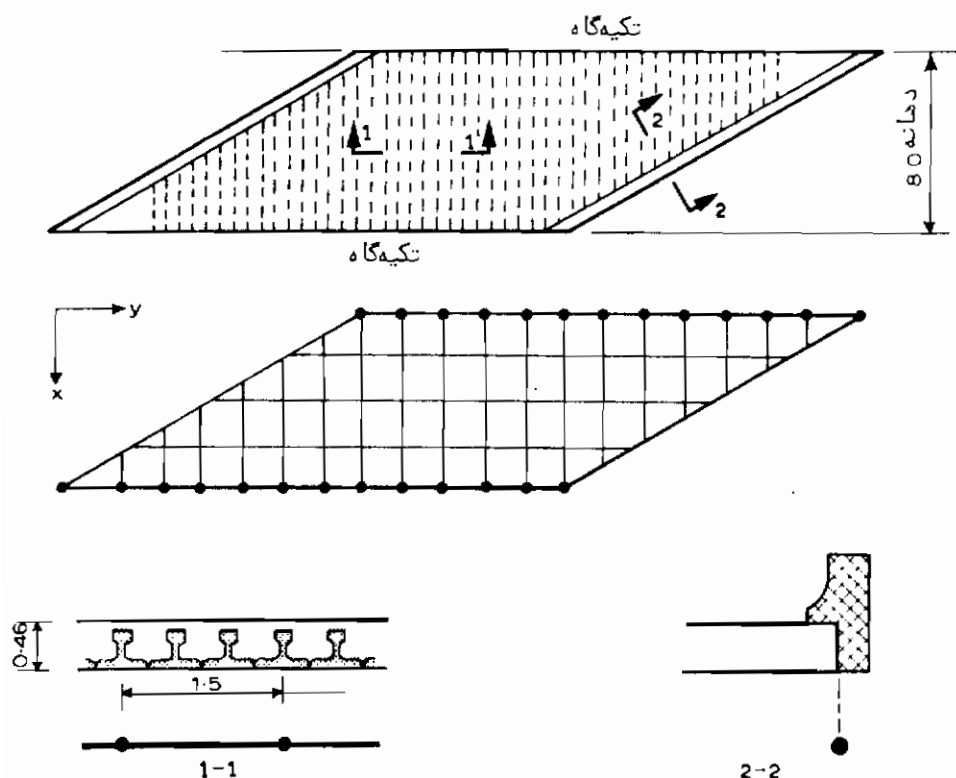
$$i_y = 0.00035 \quad \text{برای هر عضو در واحد عرض دال}$$

$$c_x = c_y = 2\sqrt{i_x i_y} = 0.0031 \quad \text{برای هر عضو در واحد عرض دال}$$

خواص مقطع تیرتقویت کننده کناری برای مساحت سایه خورده شکل (۴۷-۵) محاسبه می‌شوند. (فرض می‌شود که اثر دال مرکب در اعضای قائم برهم داخلی شبکه در نظر گرفته شده باشد). چون تقویت کننده کناری همانند یک تیر عمل می‌کند، ثابت پیچشی همانند یک تیر محاسبه می‌شود. باید توجه داشت که اینرسی تیر کناری بطریقی که در بخش‌های قبلی توضیح داده شد افزایش نیافته است چون سختی عرضی دال مرکب ممکن است کافی نباشد تا مثل یک بال موئر عمل نماید.

### دال تخت حفره‌ای دو دهانه

شکل (۴۸-۵) عبورگاه دال حفره‌ای دو دهانه‌ای را نشان می‌دهد که دال‌های کنسولی کناری جهت تحمل سرویس‌ها می‌باشند. شبکه دارای چهار عضو طولی می‌باشد. اعضای کناری نسبت به مرکز جانهای کناری که جریانهای برش پیچشی قائم متعرکز می‌باشند نامتقارن است. اعضای طولی داخلی از موقعیت محل تعاس عبورگاه با تکیه‌گاه می‌گذرند. اعضای عرضی بطور کلی نسبت به اعضای طولی قائم می‌باشند و در فاصله تقریبی  $\frac{1}{5}$  دهانه موئر قرار دارند. در نزدیکی تکیه‌گاه داخلی اعضاء نزدیک‌تر بوده تا تغییرات ناگهانی را بتوان تحلیل کرد و به علاوه یک عضو مورب بین نقاط تعاس تکیه‌گاهی با عبورگاه قرارداده شده است تا بیانگر تجمع مقاومت در فرم یک دیاگرافیک تیر بتن مسلح باشد.



شکل (۵ - ۴۷) شبکه عبورگاه دال تخت مرکب مورب

اینرسی طولی برای مساحت سایه خورده شکل (۴۸-۵) محاسبه می شود که داریم :

$$i_x = \frac{1.0^3}{12} - \frac{\pi \times 0.6^4}{64} = 0.077 \quad \text{در واحد عرض دال}$$

در صورتیکه رفتار دال ایزوتروپیک فرض گردد :

$$i_x = i_y \quad \text{در واحد عرض دال}$$

$$c_x = c_y = 2i_x = 0.154$$

بنابراین برای اعضای طولی داخلی داریم :

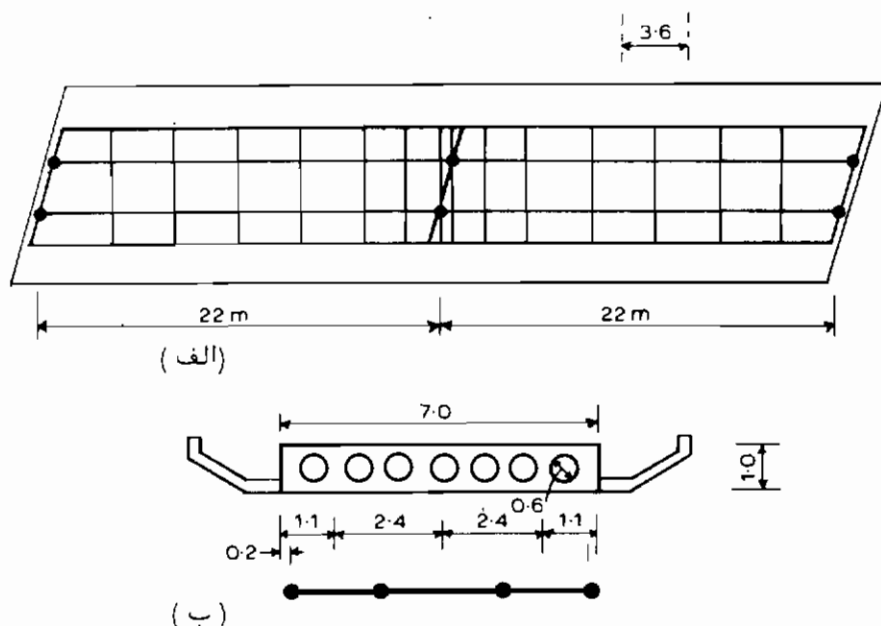
$$I_x = 2.4 \times 0.077 = 0.185 \quad , \quad C_x = 2.4 \times 0.154 = 0.37$$

و برای اعضای کناری :

$$I_x = 1.1 \times 0.077 = 0.085 , \quad C_x = 0.9 \times 0.154 = 0.14$$

برای اعضای کناری متعامد نزدیک وسط دهانه داریم :

$$I_y = 3.6 \times 0.077 = 0.277 , \quad C_y = 3.6 \times 0.154 = 0.55$$



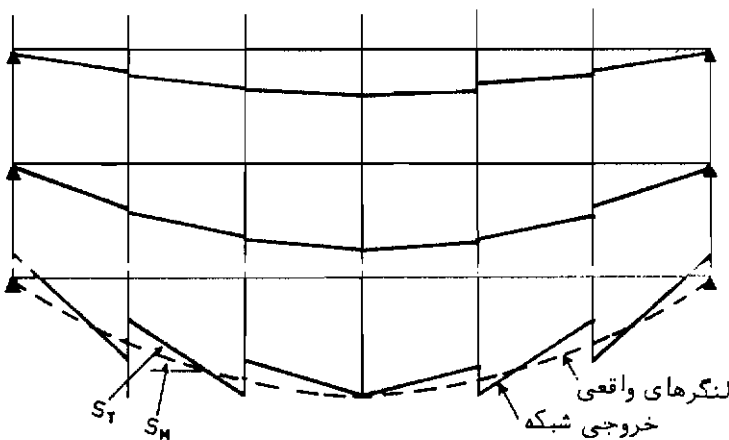
شکل (۵ - ۴۸) شبکه عبورگاه دال حفره‌ای پکسره. (الف) پلان، (ب) مقطع عرضی

محاسبه خواص مقطع دیافراگم‌های مورب دقیق نمی‌باشد. پیشنهاد می‌گردد که خواص آن بر اساس مقدار اضافه میلگرد بکار رفته شده در دیافراگم نسبت به سایر محلهای دال تعیین گردد.

### تفسیر نتایج حاصل از حل شبکه

#### ترسیمه‌های لنگر خمشی و نیروهای برشی

شکل (۴۹-۵) نمونه‌هایی از ترسیمه‌های لنگر خمشی سه عضو طولی نزدیک به یکدیگر، شبکه را نشان می‌دهد. ترسیمه برای اعضای داخلی معمولاً "یکسره خواهد بود و لنگرهای خمشی طرح را می‌توان مستقیماً از نتایج شبکه خواند. ترسیمه عضو کناری معمولاً "غیر-یکنواخت پله‌ای" بوده که بدلیل اثرات پیچش نمایش داده شده در شکل (۴۵-۴۵) می‌باشد. ترسیمه پله‌ای شکل (۴۹-۵) را می‌توان به عنوان مجموعه‌ای از ترسیمه‌های لنگر خمشی پله‌ای در این پیچش بر روی ترسیمه لنگر خمشی یکسره، بصورت خط چین نشان داده شده، در اثر خمش فرض کرد. در نتیجه، لنگرهای خمشی باید بصورت لنگرهای خمشی متوسط حاصل از شبکه در هر طرف اتصال در نظر گرفته شود.



شکل (۵-۴۹) قسمتی از نتایج لنگر خمشی شبکه

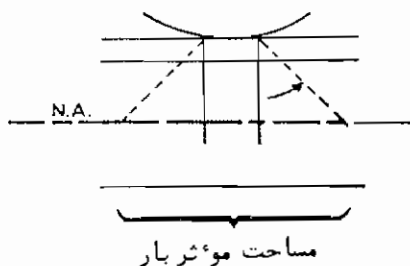
نیروی برشی حاصل از هر عضو شبکه عبارت است از شبیه ترسیمه لنگر خمشی پله‌ای حاصل از شبکه که شامل مولفه‌های لنگر خمشی واقعی و مولفه  $S_T$  و مولفه  $S_M$  در اثر پیچش نشان داده شده در شکل (۴۹-۵) می‌باشد. چون هردو مولفه در دال واقعی با یکدیگر عمل می‌کنند عبورگاه باید طوری طرح گردد تا تحمل لنگر خمشی کامل، و نیروی برشی پیچشی که نتایج حاصل از تحلیل شبکه می‌باشند را داشته باشد.

لنگر پیچشی یک دال ارتوتروپیک واقعی در دو جهت عمودبرهم باهم مساوی می‌باشد، اما اگر از نتایج تحلیل شبکه استفاده شود آنها معمولاً "متفاوت" اند. لنگر پیچشی طرح در هر

نقطه را باید به عنوان متوسط نتایج حاصل از شبکه برای اعضای طولی و عرضی در هر محل در واحد عرض دال در نظر گرفت.

### لنگرهای خمشی زیر بارهای متمرکز

مساحت موئثر اعمال بار متمرکز را می‌توان از طریق پخش مساحت واقعی تعاس بار با سطح عبورگاه تحت زاویه  $45^\circ$  تا محل صفحه خنثای مقطع در نظر گرفت مطابق شکل (۵-۵). اگر این مساحت بزرگتر از سطح حصیر شبکه باشد (یا اگر مساحت‌های در اثر چند بار در تعاس بزرگتر باشند)، برای ایجاد توزیع لنگرهای خمشی دیگر لازم نمی‌باشد. از نظر دیگر اگر مساحت اعمال بار نسبت به سطح حصیر شبکه کوچک باشد، هیچ‌گونه اصلاح لنگرهای خمشی دیگر لازم نمی‌باشد. از این‌نظر دیگر اگر مساحت حد اکثر موضعی زیر بار بدست نمی‌آید.



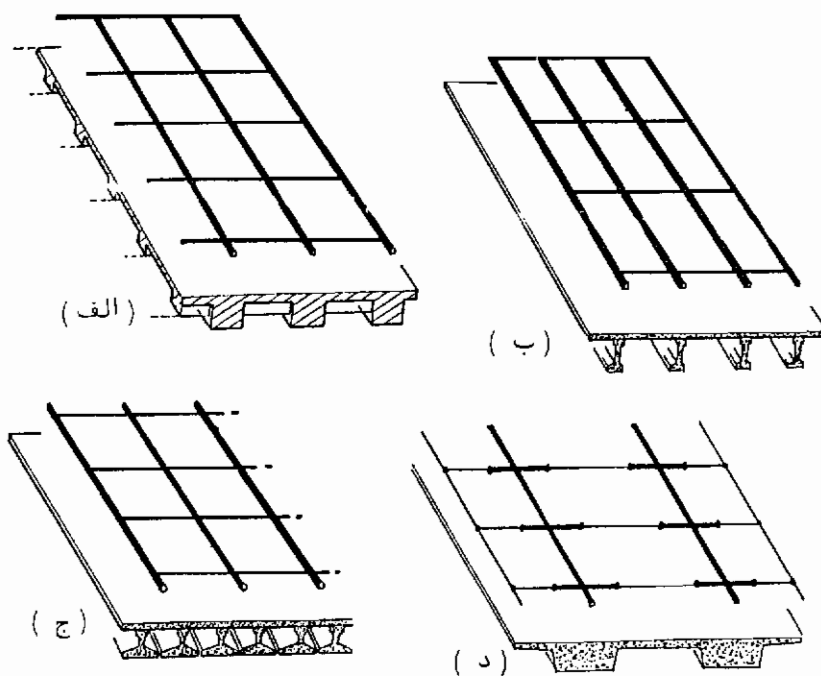
شکل (۵ - ۵۰) پخش بار متمرکز در صفحه خنثای عبورگاه

### اجزاء شبکه پلهای دال و تیر

نحوه انتخاب حصیری شبکه مناسب برای یک غبورگاه دال و تیر براساس رفتار آن سازهٔ خاص، تا اجرای یک سری قوانین، در نظر گرفته می‌شود. شکل (۵ - ۵۱).الف) ای د چهار مثال را همراه با حصیری‌های مناسب برای چهار نوع عبورگاه نشان می‌دهد.

شکل (الف) مجازاً یک شبکه متشکل از تیرهای طولی و عرض می‌باشد. چون سختی‌های خمشی متوسط طولی و عرضی قابل مقایسه با هم بوده و پخش بار تقریباً به نحوی مشابه با دال پیچشی انعطاف‌پذیر بوده، اما نیروها بصورت موضعی متمرکز می‌باشند، شبکه نزدیک به سازه واقعی خواهد بود در صورتیکه اعضای آن در محل محور تیرهای سازه واقعی قرار بگیرد.

شکل (ب) تیرهای طولی با فاصله عرضی قدری کمتر از عرض خط عبور طرح بوده و چه از نظر فیزیکی و نیز راحتی بهتر است که اعضای طولی شبکه منطبق بر محور تیرهای طولی عبورگاه واقعی انتخاب گردد. اگر دیافراگمی در هیچ محلی از عبورگاه وجود نداشته باشد فاصله اعضای عرضی شبکه اختیاری بوده، اما فاصله حدود  $\frac{1}{4}$  الی  $\frac{1}{6}$  طول دهانه "مُوشر معمولاً" مناسب است. اگر دیافراگم وجود داشته باشد مثلًا "بر روی تکیه‌گاهها در این صورت اعضای عرضی شبکه منطبق بر محور دیافراگم انتخاب می‌گردد.



شکل (۵-۵) حسیری‌های شبکه

شکل (ج) عبورگاهی با تیرهای طولی چسبیده بهم را نشان می‌دهد. چون شبکه‌ای که اعضای طولی آن منطبق بر محور تیرهای طولی باشد خیلی بزرگ و در نتیجه گران خواهد بود، معمول است که هر عضو طولی شبکه بجای چند تیر طولی عبورگاه اصلی بکاربرده شود. اما چون خاصیت پخش بار در عبورگاه دال و تیر ضعیف می‌باشد بهتر است که فاصله اعضای طولی شبکه بیش از  $\frac{1}{6}$  طول دهانه "مُوشر" انتخاب نگردد، در غیر اینصورت تمکز لنگر خمی در تحلیل شبکه مشخص نخواهد بود.

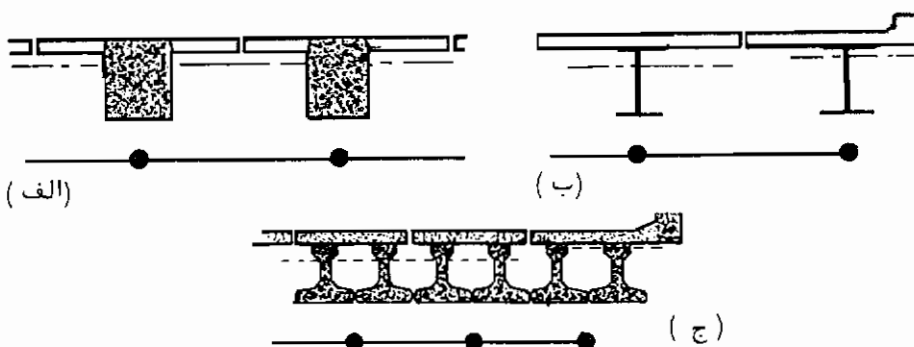
عبورگاه شکل (د) دارای تیرهای طولی بزرگی بوده بطوریکه نسبت عرض آنها به فاصله مرکز تا مرکز تیرها قابل توجه است. چون در طی خمش عرضی، دال نازک بیش از تیرهای ضخیم خم می‌شوند، شبکه نیز باید با بیشترین خمش بر روی عرض دال نازک خمیده گردد. در نتیجه اعضای عرضی، از اعضای نازک، طوری انتخاب می‌گردند که تغییرات سختی آنها در امتداد طولشان همانند سازه اصلی باشد. این عبورگاه را نیز می‌توان همانند یک دال با دو تیر طولی در نظر گرفت همانند شکل (۴۳-۵)، که در این صورت پارامترهای پیچشی همانند دال باید محاسبه گردند.

### خواص سطح مقطع اعضا طولی شبکه

شکل (۵-۵۲) قسمتی از سطح مقطع عرضی سه عبورگاه دال و تیر همراه با اعضای شبکه‌ای مربوطه آنها را نشان می‌دهد.

اینرسی خمی هر عضو شبکه نسبت به مرکز شقل مقطعی که بیانگر آن می‌باشد محاسبه می‌گردد. اغلب ترازهای مرکز نقل‌های مقاطع اعضا داخلی و کناری متفاوت می‌باشند. از اهمیت این تفاوت معمولاً "صرف‌نظر می‌شود مگر تحلیل سه بعدی مورد نظر باشد.

اگر فاصله عرضی تیرهای عبورگاه بیشتر از  $\frac{1}{6}$  دهانه مؤثر باشد، یا کنسول کناری بیش از  $\frac{1}{12}$  دهانه مؤثر باشد، عقب ماندگی برش  $1^{\circ}$  عرض مؤثر دال که به عنوان بال هر تیر عمل می‌کند نسبتاً کم خواهد گرد. اینرسی شبکه در این صورت باید با استفاده از کاوش عرض دال محاسبه گردد.



شکل (۵-۵) مقاطعی همراه با اعضای شبکه جانشین شده آن

گاهی اوقات برای اینکه بار اعمال شده را بهتر ببین کرد ، بهتر است که اعضای طولی شبکه با سختی‌های اسمی بین آنهایی که مقاطع سازه را جانشین شده‌اند مطابق شکل (۵۲-۵) فرض کردد. خواص مقطع این اعضاء مشابه با آنچه که در بخش قبلی برای عبورگاه شکل (۴۳-۵) بیان شد محاسبه می‌شوند.

هرگاه مقاطع مختلف نشان داده شده در شکل (۵۲-۵) تحت اثر پیچش قرار گیرند ، قسمت‌های تیر (که بصورت سایه خورده در شکل ۵۲-۵ نشان داده شده‌است) همانند تیرهایی که فقط تحت اثر پیچش طولی قرار گرفته‌اند عمل می‌کنند ، حال آنکه قسمت دال همانند دالها با پیچش در دو جهت عمل خواهد کرد . در نتیجه ثابت پیچشی یک عضو شبکه عبارت است از مجموع ثابت پیچشی تیر و ثابت پیچشی دال .

### خواص مقطع اعضای عرضی شبکه

خواص مقطع اعضای عرضی شبکه ، که فقط بیانگر دال می‌باشد ، همانند دال محاسبه می‌شود ، یعنی :

$$I = \frac{bd^3}{12}$$

$$C = \frac{bd^3}{6}$$

هرگاه عضو شبکه شامل یک دیافراگم باشد ، یک برآورد از عرض دالی که به عنوان بال عمل می‌کند باید انجام شود . اگر فاصله مرکز تا مرکز دیافراگم‌ها نزدیک بهم باشند بال هریک از دیافراگم‌ها را می‌توان از هر طرف تا وسط دهانه بین دو دیافراگم در نظر گرفت . اما اگر این بالها عریض تر از  $\frac{1}{12}$  دهانه مؤثر عرضی بین نقاط صفر لنگرهای خمشی باشد ، عقب ماندگی برش عرض مؤثر بال را کاهش خواهد داد . قبل از اطلاع از لنگرهای خمشی عرضی ، "عمولاً" در جهت اطمینان است اگر بال مؤثر را  $\frac{1}{3}$  فاصله بین اعضای طولی فرض کرد (یعنی دهانه در محاسبه عقب ماندگی برش دو برابر فاصله بین اعضای طولی است) .

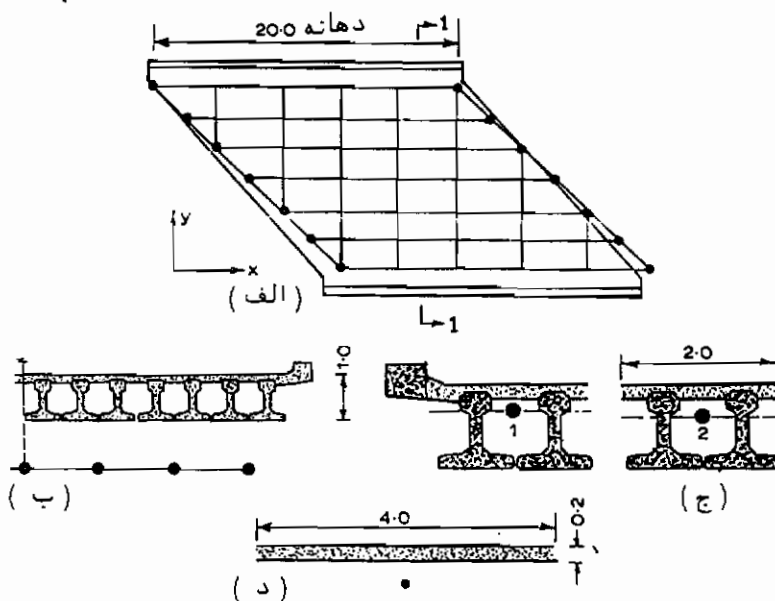
اگر مصالح بکار رفته شده در جهت طولی و عرضی خواص مختلفی داشته باشد ، در برآورد سختی‌های نسبی آنها باید دقت کافی بشود . به عنوان مثال ، یک دال بتن آرمه بر روی تیرهای بتن پیش‌تنیده یا فولادی می‌تواند در فشار برای لنگرهای طولی مثبت کامل "مؤثر باشد اما برای لنگر خمشی عرضی همانند مقطع ترک خورده تبدیل یافته عمل می‌کند . مضارفاً اگر دال بر روی تکیه‌گاهها یکسره باشد ، احتمال دارد که همان دال در اثر کشش حاصل از لنگر خمشی طولی روی تکیه‌گاه در تمام ضخامت دال ترک خورده باشد بطوری که

فقط فولاد بتُن مسلح موئر باشد . هرچند که باید سعی گردد . این خواص مختلف طوری در محاسبات منظور گردد اما ، بد لیل غیر قابل پیش بینی بودن رفتار مصالح بکار رفته شده در ساخت سازه ، برآورد دقیق سختی بهمندرت امکان پذیر است .

### مثالهای از شبکه بکار گرفته شده در عبورگاههای دال و تیر

#### عبورگاه دال و تیر با تیرهای چسبیده بهم

شکل (۵-۵) جزئیات یک عبورگاه یک دهانه مورب ساخته شده از تیرهای پیش‌تییده چسبیده بهم و دال بتُن مسطح رانشان می‌دهد . در مدل شبکه یک تیر برای دو تیر واقعی در نظر گرفته شده است . اعضای عرضی به تعداد کافی برای تحلیل جزئیات پیش بینی شده‌اند . موقعیت آنها طوری اختیار می‌شود که تیرهای تکیه‌گاهی را در همان نقاط تیرهای طولی تقاطع دهند ، مورب بودن شبکه ، اما نهدانه ، برای تشکیل حصاری یک‌باخت ، قادری با سازه واقعی متفاوت است . (این بهبود سازی احتمال خطای انسانی را در محاسبات خیلی کم می‌کند و در نتیجه دقت تحلیل را بالا خواهد برد ) .



شکل (۵-۵) شبکه عبورگاه دال و تیر مورب از نوع تیرهای چسبیده بهم  
 (الف) پلان (ب) قسمتی از برش ۱-۱ (ج) اعضای طولی (د) عضو عرضی

اعضای طولی برای مقاطع نشان داده شده در شکل (ج) با در نظر گرفتن تمام مساحت بتن به عنوان مساحت موئیز محاسبه می‌گردد، اما برای دال بتن درجا ضریب تعدیل ۰/۸۵ نسبت به بتن پیش تنیده بکار بردہ می‌شود.

$$I_{x1} = 0.24 \quad \text{و} \quad I_{x2} = 0.174$$

ثابت‌های پیچشی برای قسمت تیر و دال هر عضو جداگانه حساب می‌شود و نتیجه باهم جمع می‌شود:

$$c_{x1} = 2 \times 0.004 + \frac{2.0 \times 0.2^2 \times 0.85}{6} + 0.006 = 0.016$$

$$c_{x2} = 2 \times 0.004 + \frac{2.0 \times 0.2^3}{6} \times 0.85 = 0.010$$

در صد فولاد بکار بردہ شده در جهت عرضی چنان دالی نسبتاً "ریاد می‌باشد و اینرسی محاسبه شده بر اساس مقطع ترک خورده تبدیل یافته فرق چندانی با اینرسی محاسبه شده برای مقطع ترک‌نخورده با صرف نظر کردن فولاد نمی‌کند. درنتیجه چون ابتدا "مساحت فولاد معلوم نمی‌باشد، اینرسی برای مقطع ترک نخورده محاسبه می‌شود با  $0/85 = m$ . برای اعضای عرضی شبکه در اینصورت خواهیم داشت:

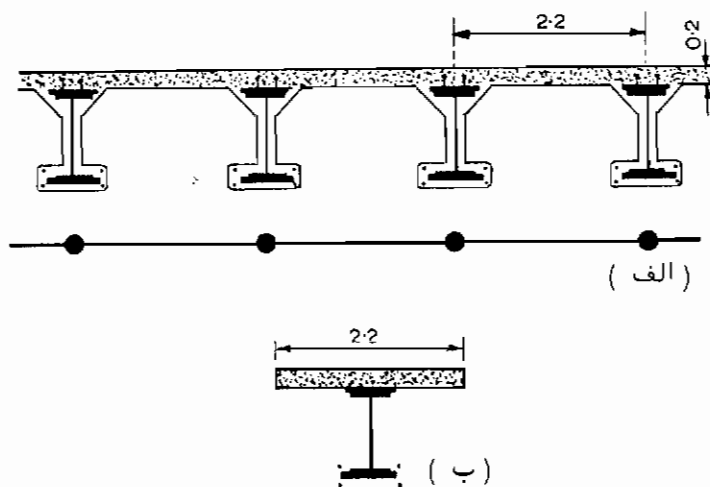
$$I_y = \frac{4.0 \times 0.2^3}{12} \times 0.85 = 0.0023$$

$$c_y = \frac{4.0 \times 0.2^3}{6} \times 0.85 = 0.0045$$

ثابت پیچشی بتن ترک خورده احتمالاً "به مقدار نامشخصی خطأ دارد، اما در اینجا اثر جزئی دارد. در صد فولاد در دیافراگم تکیه‌گاهی کم است، و بنابراین اینرسی بر اساس مقطع تبدیل یافته ترک خورده، با صرف نظر کردن از اثر دال به عنوان بال، محاسبه می‌شود، ثابت پیچشی چنان تیری نیز، به دلیل اینکه پیش تنیده نشده و از مقاطع غیر یکسره بتن درجا و جان تیر پیش تنیده تشکیل شده است، خیلی کم است، بد ون هیچگونه دلیل آزمایشگاهی مربوطه پیشنهاد می‌گردد که برای مساحت بتن ترک نخورده بکار رفته در محاسبه  $I$  تعیین گردد.

### تیرهای فاصله‌دار فولادی با دال بتن آرمه (تیرهای فولادی با دال رویه)

شکل (۵-۵) قسمتی از عبورگاه مرکب ساخته شده از تیرهای فولادی و دال بتن آرمه را نشان می‌دهد. اعضای طولی شبکه منطبق بر محور تیرهای فولادی قرارداده می‌شوند، که هر یک بیانگر قسمتی از عبورگاه می‌باشد و در شکل (ب) نشان داده شده است.



شکل (۵-۵) الف-قطع عرضی عبورگاه مرکب فولاد / بتن و شبکه ب  
قطع در نظر گرفته شده برای هر عضو طولی شبکه.

با استفاده از ضریب تعديل  $\gamma = 7$  برای فولاد (بارگذاری کوتاه مدت) و صرفنظر کردن از ترک خوردن بتن در کشش که حفاظت بالائی بال پائین تیرفولادی می‌باشد، نتیجه می‌شود که:

$$I_x = 0.21$$

$$C_x = 0.000031 \times 7 + \frac{2.2 \times 0.2^3}{6} = 0.0032$$

دال مشابه شکل (۵-۵) بوده بطوریکه خواص عضو عرضی شبکه به همان صورت محاسبه می‌شود.

عبورگاه تیرهای قوطی فاصله‌دار با دال.

شکل (۵-۵) مقطع عرضی عبورگاه دال و تیر ساخته شده از تیرهای قوطی بتنی پیش

نتیجه پیش ساخته فاصله دار و دال بتن مسلح روی آنها را نشان می دهد . اعضای طولی شبکه منطبق بر محورهای تیرها و اعضاً اضافی اسمی در امتداد خطوط مرکزی نوارهای دال قرار داده می شوند .

خواص مقطع اعضاً اسمی برای عرضی از دال برابر نصف عرض دال از هر طرف تا تیرهای مجاور محاسبه می شوند ، بنابراین :

$$I_x = 1.4 \times \frac{0.25^3}{12} = 0.0018$$

$$c_x = \frac{1.4 \times 0.25^3}{6} = 0.0036$$

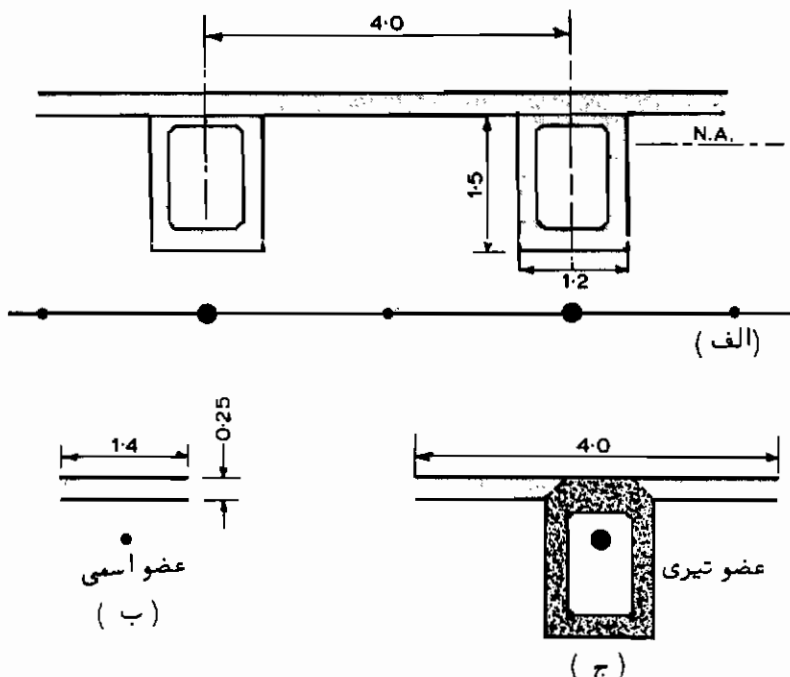
خواص اعضاً تیر برای مقاطع با بالها شامل مساحت اعضاً اسمی محاسبه می شوند (مگر عقب ماندگی برشی عرض موئیر بالها را به مقدار کمتری کاهش داده باشد) ، اما خواص محاسبه شده قبلی برای اعضاً اسمی باید کم شوند :

$$I_x = 0.57 - 2\left(\frac{0.0018}{2}\right) = 0.57$$

$$c_x = 0.34 - 2 \times \frac{0.0036}{2} = 0.34$$

اعضاً عرضی همانند مثالهای قبلی محاسبه می شوند

اگر تیرهای عرضی فاصله بیشتری نسبت به فاصله مرکز تیرهای طولی نشان داده شده در شکل (۵۵-۵) را دارا باشد ، در این صورت تغییرات سختی خمشی عرضی بین دال و تیر باید در نظر گرفته شود . اگر تیرها جداره ضخیمی داشته باشند بطوری که قوطی ها دوران نکنند ، شبکه ای مشابه شکل (۵۱-۵) د را می توان بکار برد . اما اگر جداره قوطی ها نازک باشد تغییر شکل سطح مقطع را باید در نظر گرفت . برای عبورگاههای با چند قوطی بزرگ ساده تر است که روش بکار برده شده برای مقاطع توخالی را بکار برد . در مقاطع توخالی برای هرجان یک عضو طولی شبکه و نرمی برشی <sup>۱۱</sup> جهت بوجود آوردن تغییر شکل قوطی در نظر گرفته می شود . از طرف دیگر ، اگر عبورگاه دارای تعداد زیادی تیر باشد ساده تر است که آنرا همانند عبورگاه با اتصال (کلید) برشی <sup>۱۲</sup> در نظر گرفت .



شکل (۵-۵۵) الف - مقطع عرضی عبورگاه با تیرهای فاصلدار و شکه با اعضای اسمی (ب) عضو اسمی (ج) عضو تیری

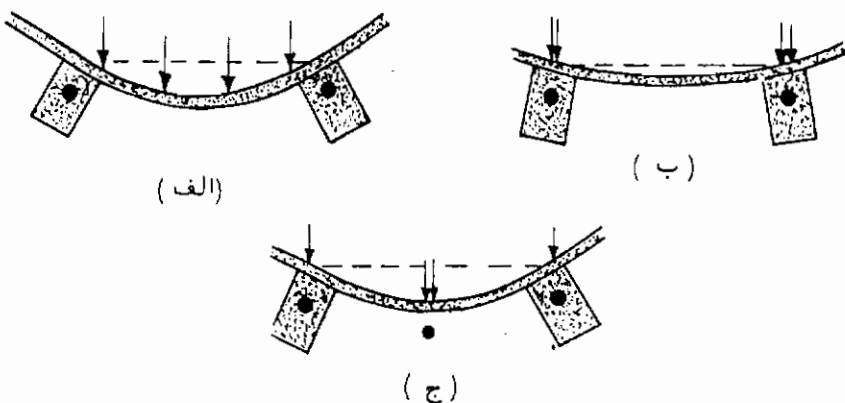
اما برای تعیین خواص عرضی معادل از تحلیل یک قاب دو بعدی استفاده می شود .

#### اعمال بار واردہ

بار اعمال شده بین دو تیر، همانند شکل (۵-۵۶) الف، می توان توسط نیروها و کوپلهای در اتصالات در معادلات شبکه برنامه کامپیوتی بیان کرد. بعضی از برنامه های کامپیوتی یک پخش ساده بار موضعی ثابت همانند شکل (ب) را می توانند در نظر بگیرند. متأسفانه عبورگاه های دال و تیر نسبت به چنان تحرك عرضی بار خیلی حساس می باشند، و تغییر شکل کلی عبورگاه و پخش معانها در دو حالت (الف) و (ب) می توانند خیلی متفاوت باشد. در حالت ایدهآل، بار باید به اعضای عرضی یا اتصالات اعمال گرددند.

اگرچه روتین های ایجاد بار بعضی کامپیوترا فقط پخش استاتیکی را انجام می دهند. و محاسبات دستی نیروهای لبه ثابت خیلی خسته کننده است. در چنین حالاتی بهتر است که فاصله عرضی اعضای شبکه کمتر از حدود  $\frac{3}{4}$  عرض وسیله نقلیه غیرعادی یا عرض بارگذاری

شده، خط عبور باشد. معمولاً این کار با قراردادن اعضای اسمی طولی در وسط اعضای تیر مطابق (ج) انجام می‌شود. پخش استاتیکی بار عرضی در این صورت نیروهای پیچشی در تیر را کاهش نخواهد داد.



شکل (۵-۵۶) خطاهای در اثر پخش استاتیکی بار (الف) بارگذاری (ب) پخش مجدد استاتیکی قابل خطای (ج) پخش مجدد استاتیکی اصلاح شده با عضو اسمی.

سیستم دو بعدی لنگرهای خمشی و پیچشی موضعی در دال نازک تحت اثر بار متغیر توسط شبکه داده نمی‌شود و آنرا یا باید از طریق معادلات مربوط به روش خاص وسترگارد<sup>۱۳</sup> (که در فصل بعدی آمده است) و یا با استفاده از نمودارهای تأثیر پوچر تعیین کرد. برای اینکه این روشها اجرا گردد، دهانه نوار دال بین تیرها برابر با فاصله بین لبه‌های داخلی تیرها به اضافه ضخامت مؤثر دال فرض می‌گردد. علاوه بر این اتصال دال با تیرهای طولی، صلب در نظر گرفته می‌شود. مساحت مؤثر بار متغیر کرامی توان با پخش تحت زاویه  $45^{\circ}$  نسبت به قائم بر روی سطح میانی دال بدست آورد. لنگرهای خمشی موضعی بدست آمده از نمودارها باید باللنگرهای حاصل از دال درنتیجه چرخش و تغییر شکل نسبی تیرهای تکیه‌گاهی جمع گردد. اگر اعضای اسمی شبکه بین تیرها وجود نداشته باشند و اگر اعضای عرضی بارگذاری نشده باشند، این مانها را می‌توان مستقیماً از نتایج شبکه برای عضو عرضی موضعی خواند. اگر یک عضو طولی اسمی شبکه تحت اثر بار قرار گیرد یا اگر اعضای عرضی بارگذاری شده باشند، مانهای دال در اثر چرخش تیرها از نتایج تغییر شکلها و چرخشهای تیرهای مجاور قابل محاسبه است.

## تفسیر نتایج

در شکل (۵۷-۵) نمونه ترسیمه لنگر خمی قسمتی از یک تیر طولی یک عبورگاه دال و تیر نشان داده شده است. زمانی که اعضای عرضی بیانگر فقط دال نازک باشند، غیر یکنواختی در معان در اثر پیچش‌های عرضی در دال کم می‌باشد. معان طرح در آنجا متوسط معانها در دو طرف اتصال در نظر گرفته می‌شود (همانند عبورگاه دال شکل (۴۹-۵)، در مقایسه، در جایی که عضو عرضی بیانگر یک تیر دیافراگم با سختی پیچشی نسبتاً زیاد باشد، غیر یکنواختی در معانها طولی بزرگتر است و بیانگر یک تغییر واقعی در معان در عرض اتصال است. معانهای طرح باید در اینصورت در دو طرف اتصال متفاوت در نظر گرفته شوند و برابر نتایج معانها شبکه باشد. بطريق مشابه، غیر یکنواختی در ترسیمه معان برای دال عرضی یا تیرهای دیافراگم تفسیرات واقعی معان را در اتصالات با تیرهای طولی با سختی پیچشی زیاد بیان می‌کند.



شکل (۵-۵۷) جهش در ترسیمه لنگر خمی شبکه برای عبورگاه دال و تیر در تقاطع تیر طولی و عرضی.

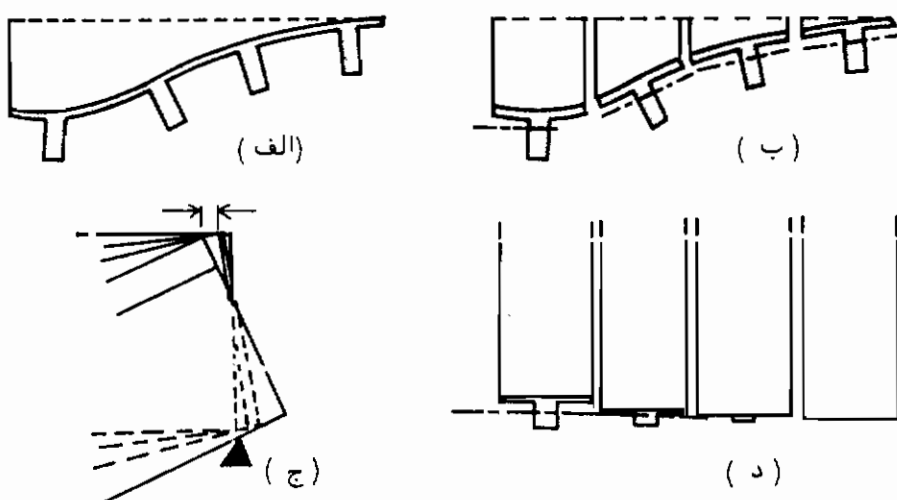
نیروهای برشی طرح و پیچش‌ها را می‌توان مستقیماً از نتایج شبکه بدون تغییرات خواند.

در حالی که سختی هر عضو شبکه با استفاده از خواص دو قطعه مجذای سازه‌ای چون تیر و دال در شکل (۵۲-۵) محاسبه می‌شود، پیچش خروجی (معان یا برش) مربوط به هر یک به نسبت سهم سختی خاص آن می‌باشد. بطrior کلی، تنشهای طرح سازه واقعی از خروجی شبکه، با اعمال معادلات تیر به مقطع فرض شده در بدست آوردن خواص عضو شبکه، باید محاسبه گردد.

### عمل پوسته‌ای دال در عبورگاه‌های دال و تیر

در بحث قبلی برای بررسی لنگر خمی طولی فرض بر این بود که دال را می‌توان مشکل از یک سری نوار که هر یک بال بالائی تیر T شکل را تشکیل می‌دهد در نظر گرفت. همچگونه کنترلی در مورد اینکه اگر عبورگاه به آن صورت بریده شود آیا تغییر شکلها سازگار خواهد بود یا نه، یعنی که قسمتها بدون نیروهای اضافی یا تغییرشکل بتوانند بهم وصل گردند، انجام نگرفت.

شکل (۵۸-۵) الف مقطع وسط دهانه عبورگاه دال و تیری را با تغییرشکل‌های بزرگ شده در اثر بار غیر یکنواخت نشان می‌دهد. شکل (ب) قطعات مرکب T شکل جدا شده همراه با تغییرشکل‌ها و دورانهای شکل (الف) را نشان می‌دهد. شبکه بخوبی می‌تواند این تغییرشکلها و انتقال بار با برش قائم و خمش عرضی دال را ایجاد نماید. اما با بررسی انتهای‌های تیرها جدا شده در پلان یا جانبی، همانند (ج) و (د) نشان می‌دهد که اگر تمام تیرها نسبت به محور خنثی که از مرکز ثقلهای آنها می‌گذرد تغییرشکل دهند، انتهای‌های بالهای دال نسبت به یکدیگر جابجا می‌شوند. در عمل این جایگاهی پلهای نمی‌توانند اتفاق بیفتد، و حرکت نسبی بالای تیرها توسط نیروهای برشی افقی در اتصال دالها نشان داده در شکل (۵۹-۵) الف تحمل شده و کم می‌شود. این نیروهای برشی با نیروهای کششی یا فشاری محوری در نزدیک وسط دهانه نشان داده شده در شکل (ب) در حال تعادلند.

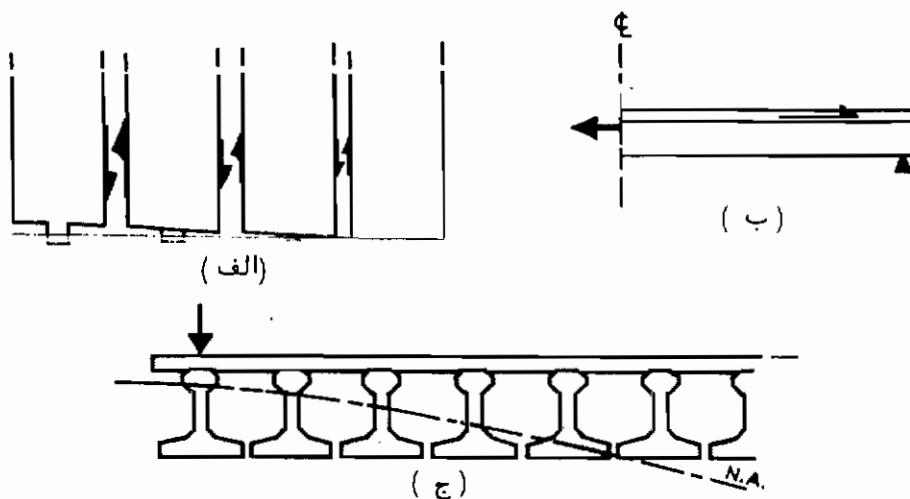


شکل (۵-۵) پیچیده شدن طولی دال یک عبورگاه دال و تیر (الف و ب)  
مقطع عرضی (ج) نمای جانبی در تکیه‌گاه (د) پلان تکیه‌گاه

این انتقال نیروی برشی بین تیرهارا با نیروهای محوری معادل در تحلیل شبکه معمولی نمی‌توان ایجاد کرد. نیروها سه اثر را در رفتار عبورگاه دارند:

- (۱) نیروهای برشی در دال از آنجه که از تحلیل شبکه پیش‌بینی می‌گردد خیلی بزرگ‌ترند.

- (۲) نیروهای محوری کششی در تیرهای با خیز بیشتر (یعنی زیر بار) باعث می‌شود که تار خنثی در محلی به قسمت بالا حرکت کد و حال اینکه نیروهای فشاری در جاهای دیگر باعث حرکت بطرف پائین تار خنثی می‌شوند همانند شکل (۵-۵۹) ج.



شکل (۵-۵۹) آثار عمل پوسته‌ای دال در عبورگاه دال و تیر. (الف) برشهای صفحه‌ای در دال. (ب) نیروی محوری در تیر (ج) جابجائی تار خنثی.

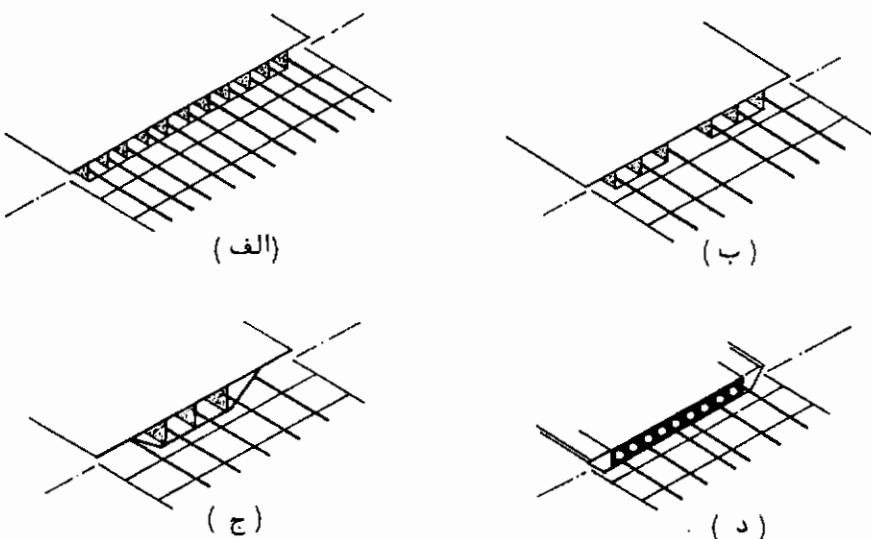
- (۳) خواص پخش بار عبورگاه اصلاح می‌گردد. نیروهای برشی طولی بین تیرها و نیروهای محوری در شکل (۵۹-۵) در ترازهای مختلف می‌باشند و بنابراین تشکیل کوپل داده که معان در تیرهای بارگذاری شده را کاهش می‌دهند و باعث افزایش معانه‌های محلهای دیگر می‌شود.

اغلب فرض می‌گردد که اگر عبورگاه دال تحت اثر نیروهای برشی بیش از مقاومت آن قرار گیرد، با استفاده از تحلیل شبکه طرح شده باشد، فقط ترک خواهد خورد پا بصورت جاری شدن درآمده و در نتیجه نیروهای شکل (۵۹-۵) را ازد می‌کند. اگر عبورگاه غیر-معمول باشد در اینصورت یک تحلیل سه بعدی ممکن است لازم باشد.

جابجایی تار خنثی در شکل (۵-۵۹) در نتیجه تفاوت ترازهای مرکز شلها و دالهای متصل بهم اتفاق می‌افتد. اگر تیرهای عرضی که مرکز آنها خارج از صفحه دال باشد وجود داشته باشند رفتار سازه پیچیده‌تر می‌گردد.

#### اجزاء شبکه پلهای توخالی

در شکل (۵-۶۰) تعدادی عبورگاه توخالی همراه با شبکه انتخابی آنها نمایش داده شده است. حصیری شبکه در صفحه خنثای افقی عبورگاه قرار داده می‌شود. اعضای طولی شبکه منطبق بر جانهای عبورگاه و اعضای عرضی شبکه در فاصله‌ای کمتر از  $\frac{1}{3}$  فاصله بین نقاط عطف و یا در محلهایی که دیافراگم عرضی عبورگاه وجود دارد قرار داده می‌شوند. فاصله زیاد بین اعضای عرضی شبکه باعث ایجاد گسیختگی‌های بزرگ در ترسیمه لنگرها می‌شود و فاصله‌اندک بین این اعضاء هرچند که جزئیات بیشتری را به ما می‌دهد اما در رفتار مشخصه شبکه نسبت به عبورگاه واقعی تأثیری نخواهد داشت.



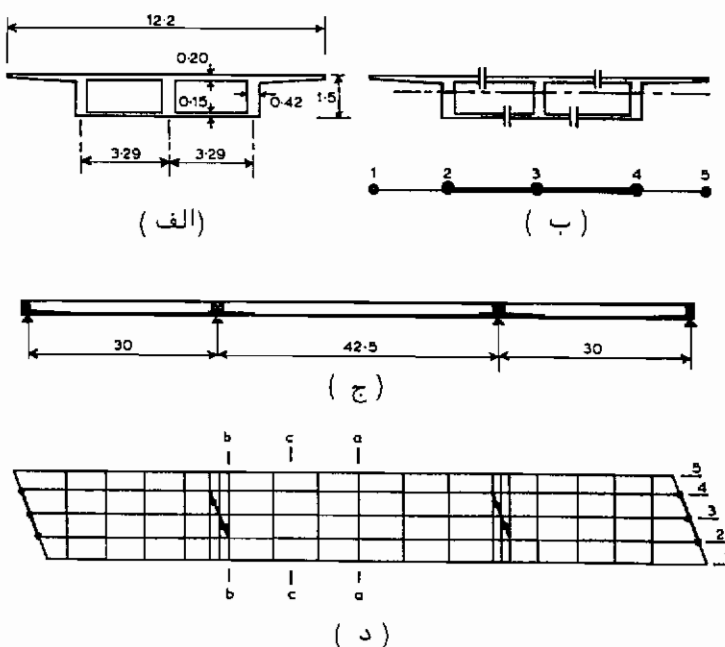
شکل (۵-۶۰) شبکه انتخابی برای چهار نوع عبورگاه توخالی

مثالهایی از شبکه بکار گرفته شده برای عبورگاههای توخالی

شبکه برای عبورگاه سه دهانه دو خانه قوطی

شکل (۵-۶۱) جزئیات یک عبورگاه سه دهانه دو خانه قوطی را که برروی تکیه‌گاهها

با زاویه اریب ۲۱ درجه قرار دارد نشان می‌دهد. حصیری شبکه مشکل از سه عضو "سازه‌ای" طولی ۲، ۳ و ۴ که منطبق به جانها می‌باشد انتخاب می‌گردد. دو عضو "اسعی" ۱ و ۵ در امتداد کناره‌های کنسولها واقع می‌باشد. اعضای عرضی که بینگر دالهای بالائی و پائینی می‌باشد متعامد با اعضای طولی هستند. در امتداد دهانه فاصله آنها حدوداً یک چهارم فاصله بین نقاط عطف می‌باشد، اما برروی تکیه‌گاههای میانی این فاصله، جهت جمع آوری جزئیات بیشتر در نزدیکی حداکثرهای ترسیمه‌های لنگر خمشی، کمتر می‌باشد. در دو انتهای اعضای مورب بینگر دالها و دیافراگم می‌باشد، حال آنکه در تکیه‌گاههای داخلی عضو مورب فقط بینگر دیافراگم توپر بدون بالها می‌باشد.



شکل (۵ - ۶) شبکه برای عبورگاه سه دهانه با مقطع قوطی دو خازه، (الف)  
قطع عبورگاه (ب) مقطع شبکه (ج) مقطع طولی عبورگاه (د) حصیری شبکه

اعضای "سازه‌ای" طولی ۲، ۳ و ۴ مان اینرسی تیرهای I را دارند که با بریدن عبورگاه مطابق شکل (ب) بدست می‌آید بطوری که مرکز ثقل هر تیر I منطبق بر محور اصلی عبورگاه می‌باشد. در این صورت هر تیر شامل یک سوم دال بالائی و یک سوم دال پائینی می‌باشد.

معان اینرسی هریک برابر یک سوم معان اینرسی کل عبورگاه می‌باشد.

$$I_2 = I_3 = I_4 = \frac{1.54}{3} = 0.51 \text{ m}^4$$

در محاسبه بالا از کاهش عرض‌های موئر بال مقطع در اثر عقب ماندگی برشی صرفنظر شده است که در این عبورگاه قابل توجه است، "مخصوصاً" در نزدیکی تکیه‌گاه‌های میانی، ثابت پیچشی در واحد عرض عبارت است از

$$C = \frac{2 h^2 d' d''}{(d' + d'')} \quad \text{در واحد عرض}$$

$$= \frac{2 \times 1.325^2 \times 0.2 \times 0.15}{(0.2 + 0.15)} = 0.30 \text{ m}^4 \cdot \text{m}^{-1}$$

عرضهای خانه در اعضای ۲، ۳ و ۴ به ترتیب برابر  $\frac{3/29}{3}$ ،  $\frac{3/29}{2}$  و  $\frac{3/29}{1}$  می‌باشند. بنابراین ثابت پیچشی آنها

$$C_2 = C_4 = \frac{3.29}{2} \times 0.30 = 0.49 \text{ m}^4$$

$$C_3 = 3.29 \times 0.30 = 0.99 \text{ m}^4$$

مساحت‌های برشی اعضای ۲، ۳ و ۴ برابر مساحت‌های جانبها می‌باشد.

$$A_{s2} = A_{s3} = A_{s4} = 0.42 \times 1.325 = 0.56 \text{ m}^2$$

نزدیک هر تکیه‌گاه دال پائینی عبورگاه ضخیم‌تر می‌باشد. در این نواحی، خواص هر عضو شبکه همانند بالا برای مقطع مابین دهانه محاسبه می‌گردد. اعضای "اسعی" کناره خواص مقطع نصف کنسول را دارند:

$$I_1 = I_5 = \frac{bd'^3}{12} = \frac{2.8}{2} \times \frac{0.2^3}{12} = 0.00094 \text{ m}^4$$

$$C_1 = C_5 = \frac{bd'^3}{6} = \frac{2.81}{2} \times \frac{0.2^3}{6} = 0.0019 \text{ m}^4$$

$$A_{s1} = A_{s5} = bd' = \frac{2.81}{2} \times 0.2 = 0.28 \text{ m}^2.$$

اعضای عرضی بیانگر خانه، خواص مقطع داده شده در زیر را دارند:

$$i_{23} = \frac{h^2 d' d''}{(d' + d'')} \quad \text{در واحد عرض}$$

$$= \frac{1.325^2 \times 0.2 \times 0.15}{(0.2 + 0.15)} = 0.15 \text{ m}^4 \cdot \text{m}^{-1}$$

$$c_{23} = \frac{2h^2 d' d''}{(d' + d'')} \quad \text{در واحد عرض}$$

$$= 2 \times 0.15 = 0.30 \text{ m}^4 \cdot \text{m}^{-1}$$

$$a_{s23} = \frac{(d'^3 + d''^3)}{L^2} \left[ \frac{d_w^3 L}{d_w^3 L + (d'^3 + d''^3) h} \right] \frac{E}{G} \quad \text{در واحد عرض}$$

$$= \frac{(0.2^3 + 0.15^3)}{3.29^3} \left[ \frac{0.42^3 \times 3.29}{0.42^3 \times 3.29 + (0.2^3 + 0.15^3) 1.325} \right] 2.3$$

$$= 0.0024 \text{ m}^2 \cdot \text{m}^{-1}$$

اعضای عرضی در کنسول خواص دال بالائی را دارند:

$$i_{12} = \frac{d^3}{12} \quad \text{در واحد عرض} = \frac{0.2^3}{12} = 0.00067 \text{ m}^4 \cdot \text{m}^{-1}$$

$$c_{12} = \frac{d^3}{6} \quad " " " = \frac{0.2^3}{6} = 0.00134 \text{ m}^4 \cdot \text{m}^{-1}$$

$$a_{s12} = d \quad " " " = 0.2 \text{ m}^2 \cdot \text{m}^{-1}.$$

اعضای مورب که دیافراگم داخلی را بیان می‌کنند (در اینجا  $1/5$  متر عرض) خواص مقطع توپر را دارا می‌باشند:

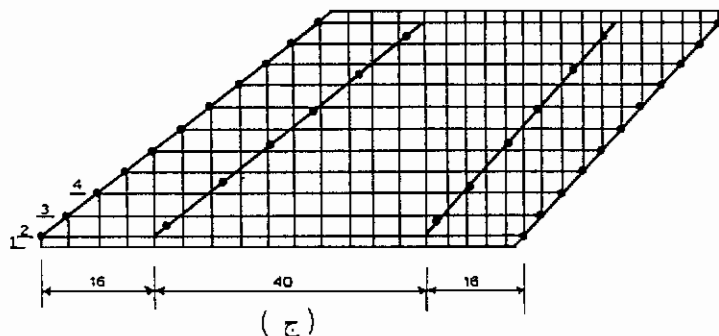
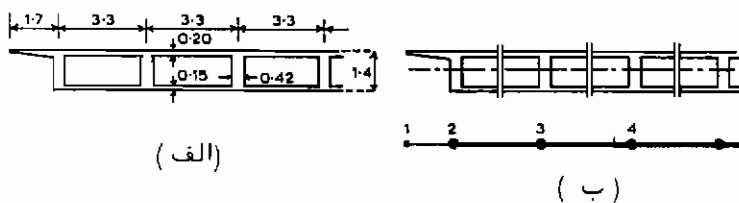
$$I = \frac{1.5 \times 1.325^3}{12} = 0.29 \text{ m}^4$$

$$C = \frac{3 \times 1.5^3 \times 1.325^3}{10(1.5^2 + 1.325^2)} = 0.59 \text{ m}^4$$

$$A_s = 1.5 \times 1.325 = 2.0 \text{ m}^2.$$

### شبکه برای عبورگاه چند خانه عریض

شکل (۶-۵) جزئیات یک عبورگاه چند خانه سدهانه را نشان می‌دهد که زاویه مورب آن زیاد است. خواص مقطع اعضا مورب مطابق مثال قبلی بدست می‌آید با این تفاوت

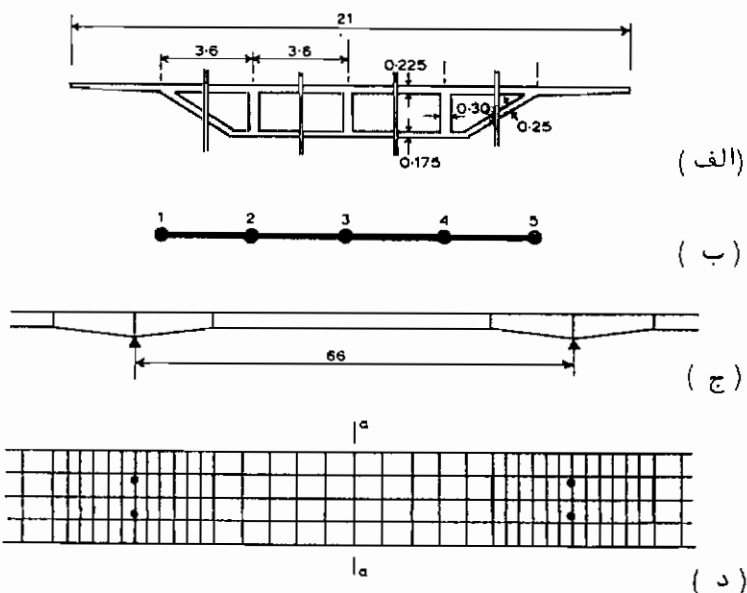


شکل (۵-۶) شبکه برای عبورگاه بتنی چندخانه سدهانه مورب . (الف)

که تقسیم عبورگاه به تیرهای با مرکز ثقلهای دقیقاً منطبق بر محور اصلی عبورگاه نامناسب است. درنتیجه، عبورگاه ازوسط جانها مطابق شکل (ب) بریده می‌شود. مرکز ثقلهای اعضای "سازه‌ای" داخلي ۳، ۴ و غیره تقریباً بر محور اصلی عبورگاه منطبق می‌باشد. عضو‌سازه‌ای "کناری ۲ مرکز ثقلش در تراز بالاتری قرار دارد، اما همانند اعضای دیگر مان اینرسی شبکه‌ای آن نسبت به محور اصلی عبورگاه محاسبه می‌گردد.

### شبکه برای عبورگاه توخالی با جانهای مایل

شکل (۶۳-۵) جزئیات قسمتی از یک عبورگاه چهارخانه چند دهانه با جانهای کناری مایل دارای مقطع ضخیم‌تر در قسمت تکیم‌گاهها را نشان می‌دهد. تقسیم عبورگاه به اعضای طولی با مرکز ثقلهای منطبق بر محور اصلی عبورگاه عملی نمی‌باشد، در نتیجه عبورگاه همانند شکل (الف) به پنج عضو "سازه‌ای" بریده می‌شود که اینرسی‌ها نسبت به محور اصلی پل محاسبه می‌گردند. به جهت اقتصادی ساختن اندازه شبکه اعضای "اسمی" کناری وجود ندارند.



شکل (۵ - ۶۳) قسمتی از شبکه برای عبورگاه با عمق متغیر در طول دهانه و جانهای مایل (الف) مقطع عبورگاه (ب) مقطع شبکه (ج) مقطع طولی عبورگاه (د) حصاری شبکه

برای خانه‌های غیر منشوری معادل دقیقی از شبکه با سختی پیچشی وجود ندارد . اگر چه ، نتایج حساسی با قراردادن  $h$  برابر ارتفاع متوسط خانه بدست می‌آید . در نتیجه :

$$c_1 = c_5 = \frac{3.6}{2} \times \frac{2 \times 0.5^2 \times 0.225 \times 0.25}{(0.225 + 0.25)} = 0.1 \text{ m}^4$$

$$c_2 = c_4 = 0.9 \times \frac{2 \times 1.35^2 \times 0.225 \times 0.25}{(0.225 + 0.25)} + 2.7 \times \frac{2 \times 1.7^2 \times 0.225 \times 0.175}{(0.225 + 0.175)} \\ = 1.9 \text{ m}^4$$

$$c_3 = 3.6 \times \frac{2 \times 1.7^2 \times 0.225 \times 0.175}{0.225 + 0.175} = 2.0 \text{ m}^4$$

مساحت‌های برشی اعضاً طولی با قضاوت مهندس باید تعیین گردند . برای اعضاً ۱، ۲ و ۳ و ۴ ، مساحت برشی عبارت است از مساحت جان ، برای اعضاً کناری ۱ و ۵ ، این مساحت بصورتی اختیاری است اما برای تحلیل حساس نمی‌باشد ، و اعداد زیر پیشنهاد می‌گردند :

$$A_{s1} = A_{s5} = 0.9 \times 0.25 = 0.21 \text{ m}^2$$

$$A_{s2} = A_{s3} = A_{s4} = 1.7 \times 0.3 = 0.51 \text{ m}^2$$

اعضاً عرضی شبکه نیز بررسی خاصی نیاز داشته و قضاوت در رابطه با شکل خاص سطح مقطع لازم می‌باشد . پیشنهاد می‌گردد که معان اینرسی و ثابت پیچشی با استفاده از مقدار متوسط  $h$  در عرض خانه محاسبه شوند و مساحت‌های برشی باید با استفاده از تحلیل قاب صفحه‌ای محاسبه گردند . یک چنان تحلیل مقطع عرضی مقادیر زیر را نتیجه می‌شوند ،

$$A_{s12} = 0.05 \text{ m}^2 \cdot \text{m}^{-1} \quad \text{خانه‌های کناری}$$

$$A_{s23} = 0.005 \text{ m}^2 \cdot \text{m}^{-1} \quad \text{خانه‌های داخلی}$$

### اعمال بار

جان خیلی از عبورگاه‌های توالی با تیرهای قوطی در فاصلهٔ بیشتری از خطوط عبور طرح قرار دارند . در نتیجه امکان قرارگیری تمام بارگذاری خط‌بین اعضاً شبکه وجود

دارد. این بارها را می‌توان به اتصالات شبکه در هر طرف با پخش استاتیکی بار اعمال کرد. چون عبورگاه سختی خمشی عرضی و پیچشی طولی زیادی را دارد، رفتار آن تحت اثر این پخش استاتیکی بار تقریباً همانند وضعیتی است که بارها بصورت دقیقتراً بصورت نیروهای برشی و لنگرهای کارهٔ ثابت به لبه‌های کناری دال بالائی اعمال گردند. این مقایسه‌ها با توجه به رفتار عبورگاه دال و تیر فاصله‌دار در بخش قبلی شرح داده شده است، جایی که نشان داده شد که با سختی‌های خمشی عرضی و پیچشی طولی کم، عبورگاه دال و تیر زمانی که بار بین آنها قرار داده شود تغییرشکل متفاوتی را خواهد داشت در مقایسه با زمانی که این تغییرشکل با استفاده از پخش استاتیکی بار به تیرها حساب شود.

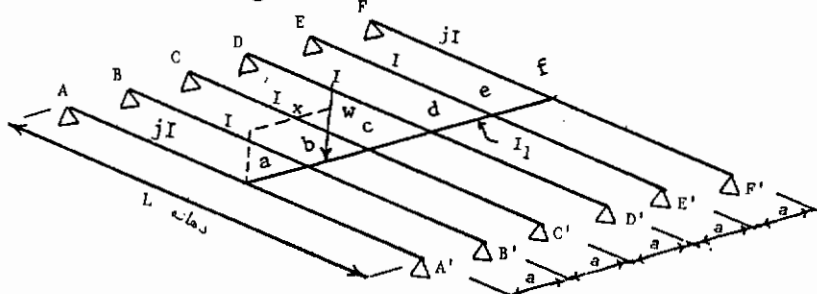
شبکهٔ یک عبورگاه حفره‌ای، همانند عبورگاه دال و تیر، فقط سیستم نیروهایی را که مربوط به تغییر شکل کلی سازه می‌باشد می‌دهد. اثرات موضعی لنگرهای و نیروهای برشی را در اثر بار متصرک وارد که بین اعضای شبکه بما نمی‌دهد. اینگونه نیروهای برشی و لنگرهای را باید مستقلانه<sup>۱۵</sup> با استفاده از نعمودارهای (مربوط به روش پوش) همانند آنچه که برای عبورگاه‌های دال و تیر در بخش قبل توضیح داده شد تعیین کردد و نتایج را با پخش بار حاصل از شبکه جمع کرد.

### ۱۵ تحلیل شبکه

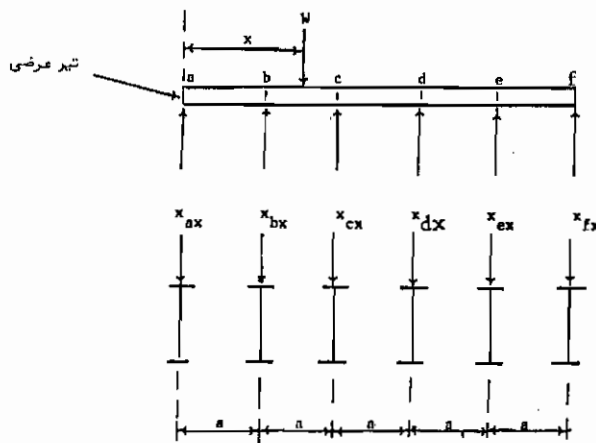
پس از تعیین شبکه معادل عبورگاه واقعی در حالت دو بعدی شبکه را می‌توان با روشهای دستی چون روش لئونارد<sup>۱۶</sup> یا توسط کامپیوتر حل کرد. در حالت ساده اگر فرض گردد که تیرهای عرضی بصورت ساده بر روی تیرهای طولی قرار گرفته باشند سهم تیرهای اصلی از بار را با استفاده از معادلات تعادل نیروها و معادلات سازگاری تغییرشکل تیرهای طولی و عرضی می‌توان، مطابق زیر محاسبه کرد. البته در حالت کلی با هر نوع اتصالی که بین تیرهای طولی و عرضی فرض گردد برای بار واحدی که به هر نقطه از شبکه وارد شود می‌توان سطح تأثیر عکس‌العملها را در محل اتصالات شبکه تعیین کرد و از آنجا نیروهای داخلی اعضاء مشخص می‌شوند. برای حالت اخیر جداولی نیز برای سرعت بخشیدن به محاسبات اولین بار توسط لئونارد تهیه شده‌اند.

به عنوان مثال شبکه‌ای متشکل از شش تیر طولی که توسط یک تیر عرضی در وسط بهم متصل شده‌اند را در نظر می‌گیریم (شکل ۱۶-۵). اگر یک بار متصرک خارجی مستقیماً

به تیر عرضی، در محلی به فاصله  $X$  از یکی از تیرهای کناری، وارد شود عکس العملهای قائم  $X$  را در محل اتصال تیرهای طولی و تیر عرضی ایجاد خواهد کرد (شکل (۶۴-۵) (ب)). تغییر شکل شبکه تحت اثر بار وارد مطابق شکل های (۶۴-۵) ج و د می باشد.

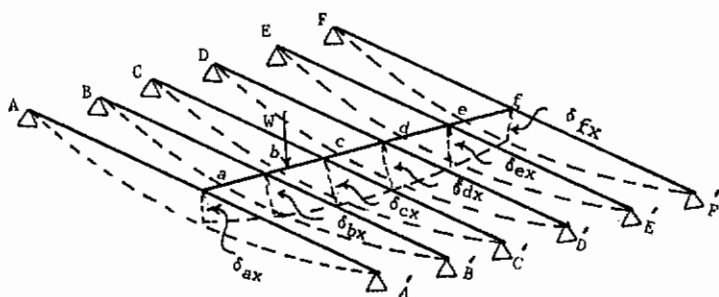


شکل (۶۴-۵) الف - شبکه تحت اثر بار  $W$

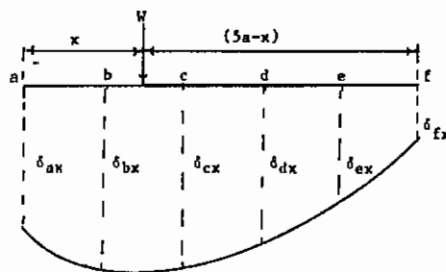


شکل (۶۴-۵) ب - عکس العملهای قائم در اتصالات

مسئله تعیین مقدار عکس العملهای  $x_{fx}, x_{bx}, x_{cx}, \dots, x_{ax}$  در اثر بار  $W$  از نظر استاتیکی نامعین می باشد. برای پلی که دارای تعداد  $m$  تیر اصلی (طولی) و  $n$  تیر عرضی باشد، تعداد کل نیروهای عکس العمل ایجاد شده در اتصالات داخلی آن برابر  $m \times n$  می باشد. برای هر تیر عرضی دو معادله مستقل استاتیکی  $\sum F_y = 0$  و  $\sum M = 0$  را می توان بکار برد و بنابراین درجه نامعینی شبکه پل برابر است با:



شکل (۵-۶۴) ج - تغییرشکل شبکه



شکل (۵-۶۴) ه - تغییرشکل تیر عرضی

$$N = m \times n - 2n = n(m-2) \quad (1)$$

در نتیجه قبل از اینکه متوان نیروهای داخلی اعضاء را تعیین کرد باید ابتدا تعداد  $(m-2)n$  معادله دیگر را با استفاده از تغییرشکل سازه تشکیل داد که همان معادلات سازگاری می‌باشند. معادلات مستقل تعادل برای تیر عرضی این شبکه (شکل ۵-۶۴ ب) مطابق زیرمی‌باشند:

$$\sum F_y = 0 \longrightarrow X_{ax} + X_{bx} + X_{cx} + X_{dx} + X_{ex} + X_{fx} = W \quad (2)$$

$$\sum M = 0 \longrightarrow a(5X_{ax} + 4X_{bx} + 3X_{cx} + 2X_{dx} + X_{ex}) = W(5a-x) \quad (3)$$

پس تعداد  $n(m-2)=6-2=4$  معادله دیگر را با استفاده از تغییرشکل تیرهای اصلی داخلی در نقاط اتصال با تیر عرضی باید نوشت.

با توجه به اینکه در محل اتصال هر تیر طولی با تیر عرضی تغییرشکل تیر طولی مربوطه با تیر عرضی باید برابر باشد، (شکل ۵-۶۴ج)، چهار معادله زیر حاصل می‌گردد:

$$\delta''_{bx} = \delta_{bx} \quad (4)$$

$$\delta''_{cx} = \delta_{cx} \quad (5)$$

$$\delta''_{dx} = \delta_{dx} \quad (6)$$

$$\delta''_{ex} = \delta_{ex} \quad (7)$$

ک

$\delta''_{bx}$  = تغییرشکل تیر اصلی 'B در نقطه b در اثر اعمال بار W در فاصله x از لبه پل و  $\delta$  = تغییرشکل تیر عرضی در همان نقطه b (شکل ۵-۶۴ه).

تغییرشکل تیر عرضی δ را مطابق شکل (۵-۶۴) الف می‌توان بصورت مجموع سه مؤلفه تغییرشکل فرض کرد. اولین دو مؤلفه تغییرشکل مربوط به تیر اصلی و مؤلفه آخر تغییرشکل در ارتباط با تیر عرضی می‌باشد.

$$\delta_{bx} = \delta_1 + \delta_2 + \delta''_{bx} = \frac{4}{5} \delta_{ax} + \frac{1}{5} \delta_{fx} + \delta'_{bx} \quad (8)$$

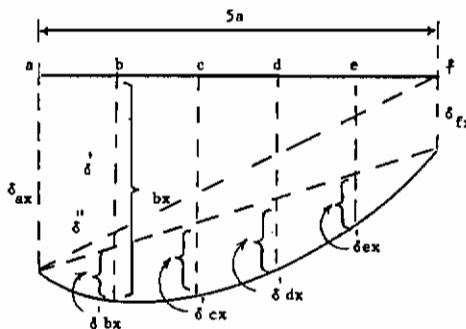
$$\delta_{cx} = \frac{3}{5} \delta_{ax} + \frac{2}{5} \delta_{fx} + \delta'_{cx} \quad (9)$$

$$\delta_{dx} = \frac{2}{5} \delta_{ax} + \frac{3}{5} \delta_{fx} + \delta'_{dx} \quad (10)$$

$$\delta_{ex} = \frac{1}{5} \delta_{ax} + \frac{4}{5} \delta_{fx} + \delta'_{ex} \quad (11)$$

که  $\delta'_{bx}$ ،  $\delta'_{cx}$ ،  $\delta'_{dx}$  و  $\delta'_{ex}$  تغییرشکل‌های نسبی تیر عرضی هستند در صورتی که تیر عرضی بصورت دهانه ساده بر روی تکیه‌گاه‌های صلب (بدون نشت) در دو انتهای a و f قرار داشته باشد.

تغییرشکل یا خیزیک تیر با دهانه ساده در اثر بار واحد برابر  $\delta = \frac{\frac{L^3}{48EI}}{}$  می‌باشد. با توجه به اینکه هر یک از تیرهای اصلی دارای دهانه ساده بوده و تحت اثر بار متغیر عکس العمل می‌باشند، خیز تیرهای اصلی را، که تحت اثر بارهای متغیر عکس العمل (عکس العملها)



شکل (۵-۶۵) الف - مولفه‌های تغییرشکل تیر عرضی

می‌باشند، در ارتباط با خیز تیر عرضی در اتصالات آنهامی توان  
طابق زیر نوشته:

$$\delta_{bx} = \delta_{bx} = \frac{X_{bx} L^3}{48 EI} = \frac{4}{5} \frac{X_{ax} L^3}{48 E j I} + \frac{1}{5} \frac{X_{fx} L^3}{48 E j I} + \delta'_{bx} \quad (12)$$

$$\delta_{cx} = \delta_{cx} = \frac{X_{cx} L^3}{48 EI} = \frac{3}{5} \frac{X_{ax} L^3}{48 E j I} + \frac{2}{5} \frac{X_{fx} L^3}{48 E j I} + \delta'_{cx} \quad (13)$$

$$\delta_{dx} = \delta_{dx} = \frac{X_{dx} L^3}{48 EI} = \frac{2}{5} \frac{X_{ax} L^3}{48 E j I} + \frac{3}{5} \frac{X_{fx} L^3}{48 E j I} + \delta'_{dx} \quad (14)$$

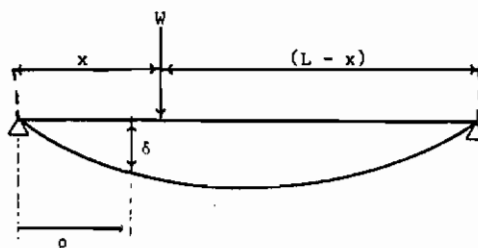
$$\delta_{ex} = \delta_{ex} = \frac{X_{ex} L^3}{48 EI} = \frac{1}{5} \frac{X_{ax} L^3}{48 E j I} + \frac{4}{5} \frac{X_{fx} L^3}{48 E j I} + \delta'_{ex} \quad (15)$$

بطور مشابه تغییرشکل نسبی یعنی  $\delta'$  را می‌توان بصورت تابعی از بارهای  $X$  و  $W$  که بر تیر عرضی وارد می‌شوند بیان کرد. تغییرشکل پک تیر با دهانه ساده  $L$  در فاصله  $m$  از یک تکیهگاه، در اثر بار خارجی متغیر  $W$  که در فاصله  $x$  از آن تکیهگاه به تیر اعمال می‌گردد، از رابطه کلی زیر حاصل می‌گردد (شکل ۵-۶۵ ب).

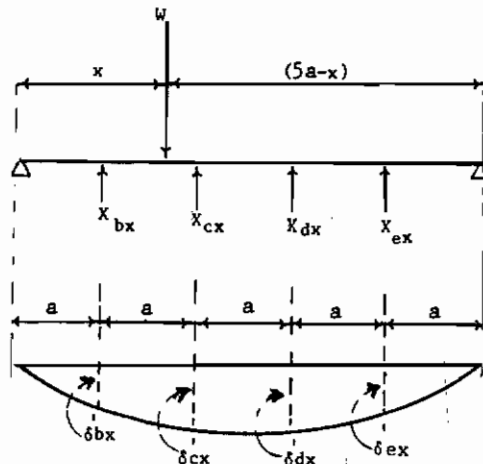
$$\delta = \frac{W}{EI} \left( \frac{x^2 (1-x)^2}{6L} \right) \left( \frac{\rho}{x} \right) \left( 2 + \frac{x}{L-x} - \frac{\rho^2}{x(1-x)} \right) \quad (16)$$

$$= \frac{W}{6LEI} (L-x) \cdot (2 \times L-x^2 - \rho^2) \quad \text{و با}$$

با استفاده از اصل روی هم گذاری آثار قوای تغییر شکل تیر عرضی در اتصال b را به صورت  
تابعی از بار خارجی وارد (معلوم) و عکس العملهای قائم  $X_{ex}$ ,  $X_{dx}$ ,  $X_{cx}$ ,  $X_{bx}$  (مجہولات)  
بیان می شود (شکل ۵-۶۵ج).



شکل (۵-۶۵) ب



شکل (۵-۶۵) ج

$$\delta'_{bx} = F(W) + F(X_{bx}) + F(X_{cx}) + F(X_{dx}) + F(X_{ex})$$

$$= \frac{W}{30EI_1} [ a^2(51x-5a) - x^2(15a+x) ] - \frac{a^3}{30EI_1} \\ (32X_{bx} + 45X_{cx} + 40X_{dx} + 23X_{ex})$$

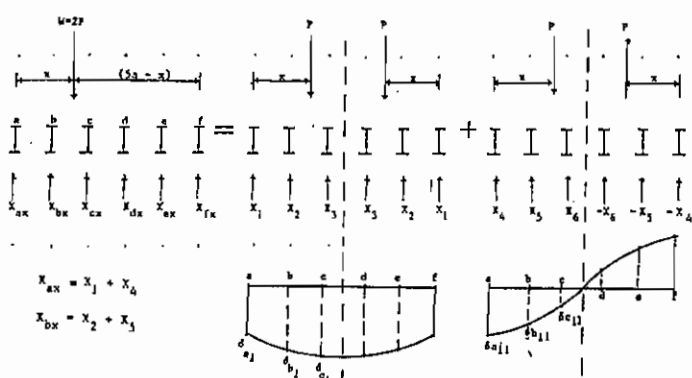
بنابراین معادله ۱۲ بصورت زیر در می‌آید:

$$\delta''_{bx} = \delta_{bx} = \delta_1 + \delta_2 + \delta'_{bx} = \\ = \frac{X_{bx} \cdot L^3}{48EI} = \frac{4}{5} \frac{X_{ax} \cdot L^3}{48EjI} + \frac{1}{5} \frac{X_{fx} \cdot L^3}{48EjI} + \frac{W}{30EI_1} \\ [ a^2(51x-5a) - x^2(15a+x) ] - \frac{a^3}{30EI_1} (32X_{bx} + 45X_{cx} + 40X_{dx} + 23X_{ex})$$

معادلات مشابهی را بجای معادلات ۱۳، ۱۴ و ۱۵ می‌توان نوشت.

بنابراین در مورد شبکه مت Shank از شش تیرو طولی و یک تیر عرضی کلا "شش معادله برای تعیین شش مجھول عکس العملها خواهیم داشت که با حل آنها مجھولات محاسبه می‌گردد. در حالت کلی ضرایب این سیستم معادلات که بر حسب  $I$ ،  $I_1$ ،  $j$ ،  $L$ ،  $a$  و  $x$  بیان می‌شوند پیچیده می‌باشند.

اما اگر سیستم بار نامتناصرن  $\neq$  را با دو سیستم معادل بار نشان داده شده در شکل (۶۶-۵) جانشین کنیم محاسبات انجام شده تقریباً به نصف تقلیل می‌یابد.



شکل (۶۶-۵)

## حالت ۱ - بارگذاری متقارن

با مقایسه تغییر شکل تیرهای اصلی و نیز عرضی در اتصالات b و c و نیز معرفی یک

$$\text{ضریب سختی بنام } Z = \frac{\frac{I_1}{I}}{\frac{L}{2a}} \left( \frac{L}{2a} \right)^3 \text{ دو معادله زیر حاصل می‌گردد.}$$

$$\begin{aligned} X_1 \cdot a^3 \left( 1 - \frac{z}{j} - \frac{75}{4} \right) + X_2 \cdot a^3 \left( z - \frac{27}{4} \right) - X_3 \cdot \frac{3}{4} a^3 - p(a-x)^3 \\ + 3pa \left( \frac{5a}{2} - z \right)^2 = 0 \end{aligned} \quad (17)$$

$$\begin{aligned} X_1 \cdot a^3 \left( 8 - \frac{z}{j} - \frac{75}{4} \right) - X_2 \cdot a^3 \cdot \frac{25}{2} + X_3 \cdot a^3 \left( z - \frac{3}{2} \right) - p(2a-x)^3 \\ + 6pa \left( \frac{5a}{z} - z \right)^2 = 0 \end{aligned} \quad (18)$$

معادله بعدی برای تعادل نیروها در تیر عرضی نوشته می‌شود.

$$\sum F_y = 0$$

$$X_1 + X_2 + X_3 - p = 0 \quad (19)$$

با استفاده از حل سه معادله ۱۷، ۱۸ و ۱۹ سه مجهول  $X_1, X_2, X_3$  و  $p$  بدست می‌آیند.

## حالت ۲ - بارگذاری متقارن کج

با مقایسه تغییر شکل‌های در b و c داریم.

$$\begin{aligned} -X_4 \left( 5.25 + 0.6 \frac{z}{j} \right) + X_5 \left( z - 1.35 \right) + 0.05 X_6 - p \left( \frac{a-x}{a} \right)^3 \\ + 0.4p \left( \frac{2.5a-x}{a} \right)^3 = 0 \end{aligned} \quad (20)$$

$$\begin{aligned} -X_4 \left( 4.5 + 0.2 \frac{z}{j} \right) - 1.7 X_5 + X_6 \left( z - 0.1 \right) - p \left( \frac{2a-x}{a} \right)^3 \\ + 0.8p \left( \frac{2.5a-x}{a} \right)^3 = 0 \end{aligned} \quad (21)$$

و معادله آخ ر معادله تعادل لنگرها می باشد .

$$\sum M = 0 \longrightarrow \frac{5}{4} X_4 + \frac{3}{2} X_5 + \frac{1}{2} X_6 = P \left( \frac{2.5a-x}{a} \right) \quad (22)$$

بنابراین با استفاده از معادلات ۲۰، ۲۱ و ۲۲ می توان  $X_4$ ،  $X_5$  و  $X_6$  را تعیین کرد .

با استفاده از اصل رویهم گذاری قوا داریم .

$$X_{ax} = X_1 + X_4$$

$$X_{bx} = X_2 + X_5$$

$$X_{cx} = X_3 + X_6$$

$$X_{dx} = X_3 - X_6$$

$$X_{ex} = X_2 - X_5$$

$$X_{fx} = X_1 - X_4$$

### خط تأثیر نیروهای عکس العمل در اتصالات

در فرمول کلی عکس العملهای قائم در اتصالات  $X$  تابعی از موقعیت بار وارد به شبکه یعنی فاصله  $x$  می باشند .

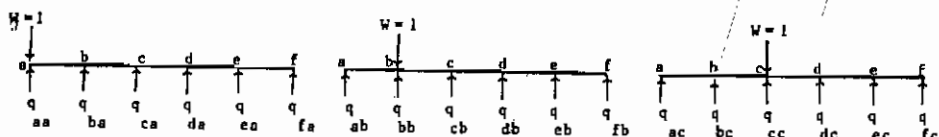
در عمل موقعیت بار  $W$  ثابت نمی باشد و نیز معکن است تعدادی بار متعرکز متتحرك به پل وارد شود . بنابراین تعیین خطوط تأثیر پخش عرضی بار از اهمیت زیادی برخوردار است .

برای حالت در نظر گرفته شده بالا تعیین خط تأثیر پخش عرضی بار برای بار واحدی که مستقیماً به تیر عرضی وارد شود ساده است . اگر موقعیت های مختلف بار  $W=1$  در روی تیر عرضی را در نظر بگیریم در فرمول کلی باید بجای  $x$  مقادیر  $0$ ،  $a$ ،  $2a$  و  $3a$  را قرار دهیم و با استفاده از تقارن ، جایگذاری مقادیر  $x$  برای  $4a$ ،  $5a$  ضروری نمی باشد .

عکس العملهای ایجاد شده در اثر بار واحد را ضرایب پخش عرضی بار می نامند که با  $q$  نمایش داده می شود . در حالتی که بار  $W=1$  در  $a$  اعمال شود طبق تعریف عکس العمل قائم ایجاد شده در اتصال  $a$  را بصورت مقابل نشان می دهند :

$$X_{ax} = X_{aa} = q_{aa}$$

شکل (۵ - ۶۷) این ضرایب را برای محلهای مختلف بار واحد نشان می‌دهد.



شکل (۵ - ۶۷) ضرایب پخش عرضی بار

بنابراین در حالت کلی  $q_{mn}$  ضرایب پخش عرضی بار در محل  $m$  برای بار اعمال شده واحد در  $n$  می‌باشد.

از طرفی طبق اصل کلرک ماکسول<sup>۱۷</sup> تغییر شکل  $\delta_{ik} = \delta_{ki}$  می‌باشد. اگر تیرهای اصلی کاری مان اینرسی I<sub>z</sub> و تیرهای اصلی داخلی مان اینرسی I را دارا باشند در این صورت خواهیم داشت:

$$q_{ik} = \frac{q_{ki}}{j}$$

یعنی اگر تیرهای اصلی مان اینرسی مساوی داشته باشند در این صورت  $q_{ik} = q_{ki}$  خواهد بود.

اگر مقادیر عددی  $I_1$ ,  $I_2$ ,  $a$  و  $b$  معلوم باشند با استفاده از جداول آمده به سرعت می‌توان ضرایب پخش عرضی بار را محاسبه کرد.

استفاده از اصل رویهم‌گذاری قوا ما را قادر می‌سازد که نیروهای عکس العمل X را با استفاده از جمع دو عکس العمل، یکی در اثر بار متقارن و دیگری در اثر بار متقارن کج تعیین کنیم.

بنابراین ضرایب پخش عرضی بار بطور کلی از دو قسمت تشکیل می‌شوند که می‌توان آنرا بصورت کلی زیر نشان داد.

$$q = \frac{\alpha}{N_1} + \frac{\beta}{N_2}$$

علامت مشتت بین دو کسر در ارتباط با نقاطی که در سمت چپ مرکز تقارن پل قرار دارند بکار برده می‌شود و علامت منفی منوط به تمام نقاطی که در سمت راست مرکز تقارن پل

واقع می باشد است .

عبارات کلی  $N_1$  و  $N_2$  بستگی به تعداد تیرهای اصلی در شبکه دارد ، به عنوان مثال برای شبکهای با تعداد شش تیر اصلی جواب معادلات ۱۷ الی ۲۲ بصورت زیر خواهد بود :

$$N_1 = \left[ \frac{38}{z} j + (78j + 10) + (2j + 4)z \right]$$

$$N_2 = \left[ \frac{22}{z} j + (130j + 6) + (50j + 20)z \right]$$

ضرایب  $\alpha$  و  $\beta$  ، که تابعی از موقعیت بار خارجی وارد و نیز محلی که نیروی عکس - العمل لازم است ، توسط جدول داده می شود .  
در حالت شبکه با شش تیر اصلی که توسط یک عرضی بهم متصل شده اند جدول مربوطه بصورت زیر می باشد .

Column A +	$\alpha$	$\beta$	Column B -
$q_{aa} - 1 =$	$(-5 - 2z)$	$\pm (-3 - 10z)$	$= q_{af}$
$q_{ab} =$	$(+11 + z)j$	$\pm (+7 + 15z)j$	$= q_{ae}$
$q_{ac} =$	$(-6 + z)j$	$\pm (-6 + 5z)j$	$= q_{ad}$
$q_{bb} - 1 =$	$[ -28j - (j+1)z ]$	$\pm [ -20j - (25j+1)z ]$	$= q_{be}$
$q_{bc} =$	$(+17j + z)$	$\pm (+25j + 3z)$	$= q_{bd}$
$q_{cc} - 1 =$	$[ -11j - (j+1)z ]$	$\pm [ -45j - (25j+9)z ]$	$= q_{cd}$

قسمت وسط جدول عبارات  $\alpha$  و  $\beta$  را می دهد . اگر ضریب  $q$  در ستون سمت چپ ( ستون A ) قرار داشته باشد عبارت  $\frac{\alpha}{N_2} - \frac{\beta}{N_1}$  با هم جمع می شوند ، اگر  $q$  در ستون سمت راست ( ستون B ) قرار داشته باشد عبارت  $\frac{\beta}{N_1} - \frac{\alpha}{N_2}$  از  $\frac{\alpha}{N_1}$  کم می شود .  
در استفاده از جدول بالا باید توجه داشت که مقدار ضریب پخش بار در هر نقطه  $q$  به سرعت محاسبه می شود و احتیاج به حل چند معادله و چند مجھول نمی باشد .  
این جداول اولین بار توسط لئونارڈ تهیه شدند و قابل استفاده برای شبکه های با سه

الى ده تیر اصلی که توسط یک تیر عرضی در وسط بین متصل شده اند می باشند (جدول ۵-۱۲) .

$N=4j/z + (4j+2)$
$(x_{aa}-1) = (q_{aa}-1) = -1:N = x_{ac} = q_{ac}$
$x_{ab} = q_{ab} = +2j:N$
$(x_{bb}-1) = (q_{bb}-1) = -4j:N$
$x_{ba} = x_{ab}/j \rightarrow q_{ba} = q_{ab}/j$
$(x_{bc} = x_{ba} \rightarrow q_{bc} = q_{ba})$

جدول (۵-۱۲) سه تیر اصلی ( $n=3$ )

-	$\alpha$	$\beta$	
	$N_1 = 10j/z + (2j + 2)$	$N_2 = 6j/z + (18j + 2)$	
	$q_{aa}-1 = [-1] \pm [-1] = q_{ad}$		$q_{ba} = q_{ab}/j$
	$q_{ab} = [+j] \pm [+3j] = q_{ac}$		$q_{bd} = q_{ac}/j$
	$q_{bb}-1 = [-j] \pm [-9j] = q_{bc}$		

جدول (۵-۱۴) چهار تیر اصلی ( $n=4$ )

-	$\alpha$	$\beta$	
$N_1 = 14j/Z + (64j+4) + (4j+6)z$		$N_2 = 8j/Z + (8j+2)$	
$q_{aa}^{-1} = [-2-3z]$	$\pm$	$[-1]$	$= q_{ae}$
$q_{ab} = [+5+2z]$	$\pm$	$[+2i]$	$= q_{ad}$
$q_{ac} = [-6+2z]j$	$\pm$	0	
$q_{bb}^{-1} = [-16j-(2j+1)z]$	$\pm$	$[-4j]$	$= q_{bd}$
$q_{bc} = [+22j+2z]$	$\pm$	0	
$q_{cc}^{-1} = [-32j-(4j+4)z]$	$\pm$	0	

$$\begin{aligned} q_{ba} &= q_{ab}/j \\ q_{be} &= q_{ad}/j \\ q_{ca} &= q_{ac}/j \\ q_{cb} &= q_{bc} \\ q_{cd} &= q_{cb} \\ q_{ce} &= q_{ca} \end{aligned}$$

جدول (۱۵ - ۵) پنج تیر اصلی ( $n=5$ )

-	$\alpha$	$\beta$	
$N_1 = [38j/Z + (78j+10) + (2j+4)z]$		$N_2 = [22j/Z + (130j+6) + (50j+20)z]$	
$q_{aa}^{-1} = (-5-2z)$	$\pm$	$(-3 - 10z)$	$= q_{af}$
$q_{ab} = (+11+z)j$	$\pm$	$(+7 + 15z)j$	$= q_{ae}$
$q_{ac} = (-6 + z)j$	$\pm$	$(-6 + 5z)j$	$= q_{ad}$
$q_{bb}^{-1} = [-28j-(j+1)z]$	$\pm$	$[-20j-(25j+1)z]$	$= q_{be}$
$q_{bc} = (+17j + z)$	$\pm$	$(+25j + 3z)$	$= q_{bd}$
$q_{cc}^{-1} = [-11j-(j+1)z]$	$\pm$	$[-45j-(25j+9)z]$	$= q_{cd}$

$$\begin{aligned} q_{ba} &= q_{ab}/j \\ q_{bf} &= q_{ae}/j \\ q_{ca} &= q_{ac}/j \\ q_{cb} &= q_{bc} \\ q_{ce} &= q_{be} \\ q_{cf} &= q_{ad}/j \end{aligned}$$

جدول (۱۶ - ۵) شش تیر اصلی ( $n=6$ )

	$\alpha$	$\beta$
$N_1 = [ +52j/z + (372j+14) + (324j+68)z + (4j+10)z^2 ] N_2 = [ 30j/z + (96j+8) + (18j+10)z ]$	$q_{af} = q_{ab}$	$q_{ba} = q_{ab}/j$
$q_{aa} - 1 = (-7 - 34.z - 5.z^2)$	$\pm (-4 - 5.z)$	$= q_{ag}$
$q_{ab} = (+16 + 62z + 2.z^2).j$	$\pm (+9 + 6.z).j$	$= q_{af}$
$q_{ac} = (-12 - 10.z + 2.z^2).j$	$\pm (-6 + 3.z).j$	$= q_{ae}$
$q_{ad} = (+6 - 36.z + 2.z^2).j$	$\pm 0$	$q_{cb} = q_{bc}$
$q_{bb} - 1 = [ -44.j - (134j+2).z - (2j+3).z^2 ] \pm [ -24j - (9j+1).z ] = q_{bf}$	$q_{cf} = q_{be}$	$q_{cg} = q_{ae}/j$
$q_{bc} = [ +46j + (46j+5).z + 2.z^2 ] \pm ( +21.j + 2.z ) = q_{be}$	$q_{da} = q_{da}/j$	$q_{db} = q_{bd}$
$q_{bd} = [ -36.j + (52j-6).z + 2.z^2 ] \pm 0 = q_{dc}$	$q_{dc} = q_{cd}$	$q_{de} = q_{dc}$
$q_{cc} - 1 = [ -80.j - (82j+16).z - (2j+3).z^2 ] \pm [ -24.j - (9.j+4).z ] = q_{ce}$	$q_{dg} = q_{da}$	$(n=7)$
$q_{cd} = [ +92j + (92j+22).z + 2.z^2 ] \pm 0$		$\text{جدول (۵ - ۱۷) هفت تیر اصلی}$
$q_{dd} - 1 = [ -24.j - (216j+32).z - (4j+8).z^2 ] \pm 0$		

	$\alpha$	$\beta$
$q_{aa} - 1 = [ -57 - 132.z - 9.z^2 ]$	$\pm [ -11 - 68.z - 35.z^2 ]$	$= q_{ab}$
$q_{ab} = [ +129 + 207.z + 3.z^2 ].j$	$\pm [ +25 + 133.z + 35.z^2 ].j$	$= q_{ag}$
$q_{ac} = [ -90 + 15.z + 3.z^2 ].j$	$\pm [ -18 - 49.z + 21.z^2 ].j$	$= q_{af}$
$q_{ad} = [ +18 - 90.z + 3.z^2 ].j$	$\pm [ +6 - 42.z + 7.z^2 ].j$	$= q_{ae}$
$q_{bb} - 1 = [ -348.j - (399.j + 15).z - (3.j + 6).z^2 ]$	$\pm [ -68.j - (315.j + 3).z - (49.j + 10).z^2 ]$	$= q_{bg}$
$q_{bc} = [ +327.j + (87.j + 33).z + 3.z^2 ]$	$\pm [ +67.j + (189.j + 7).z + 15.z^2 ]$	$= q_{bf}$
$q_{bc} = [ -108.j + (105.j - 18).z + 3.z^2 ]$	$\pm [ -36.j + (77.j - 6).z + 5.z^2 ]$	$= q_{be}$
$q_{cc} - 1 = [ -456.j - (294.j + 84).z - (3.j + 6).z^2 ]$	$\pm [ -104.j - (238.j + 20).z - (49.j + 26).z^2 ]$	$= q_{cf}$
$q_{cd} = [ +219.j + (192.j + 51).z + 3.z^2 ]$	$\pm [ +103.j + (112.j + 25).z + 3.z^2 ]$	$= q_{ce}$
$q_{dd} - 1 = [ -129.j - (207.j + 33).z - (3.j + 6).z^2 ]$	$\pm [ -171.j - (927.j + 45).z - (49.j + 39).z^2 ]$	$= q_{de}$

$\alpha$	$\beta$
$q_1 = 2 \left[ 97/z + (928j + 26) + (1868j + 193)z + (512j + 196)z^2 + (2j - 1)z^3 \right]$	$N_2^{-2} \left[ 55/z + (312j + 15) + (272j + 55)z + (16j + 14)z^2 \right]$
$q_{aa} - 1 = [-26 - 193z - 196z^2 - 7z^3]$	$\pm [-15 - 52z - 14z^2]$
$q_{ab} = [+59 + 390z + 267z^2 + 2z^3]$	$\pm [+34 + 92z + 12z^2]$
$q_{ac} = [-42 - 179z + 62z^2 + 2z^3]$	$\pm [-24 - 16z + 8z^2]$
$q_{ad} = [+12 - 60z - 73z^2 + 2z^3]$	$\pm [+6 - 36z + 4z^2]$
$q_{ae} = [-6 + 84z - 120z^2 + 2z^3]$	$\pm 0$
$q_{bb}^{-1} = [-160j - (953j + 7)z - (472j + 34)z^2 - (2j + 5)z^3]$	$\pm [-92j - (200j + 4)z - (16j + 5)z^2]$
$q_{bc} = [+155j + (688j + 16)z + (70j + 62)z^2 + 2z^3]$	$\pm [+88j + (88j + 9)z + 6z^2]$
$q_{bd} = [-72j + (25j + 12)z + (88j - 10)z^2 + 2z^3]$	$\pm [-36j + (56j - 6)z + 3z^2]$
$q_{be} = [+36j - (288j + 6)z + (94j - 36)z^2 + 2z^3]$	$\pm 0$
$q_{cc} - 1 = [-232j - (934j + 44)z - (384j + 138)z^2 - (2j + 5)z^3]$	$\pm [-128j - (144j + 24)z - (16j + 10)z^2]$
$q_{cd} = [+191j + (400j + 46)z + (164j + 51)z^2 + 2z^3]$	$\pm [+88j + (88j + 21)z + 2z^2]$
$q_{ce} = [-144j + (50j - 36)z + (176j + 46)z^2 + 2z^3]$	$\pm 0$
$q_{ad} - 1 = [-304j - (909j + 80)z - (296j + 98)z^2 - (2j + 5)z^3]$	$\pm [-92j - (200j + 24)z - (16j + 13)z^2]$
$q_{de} = [+346j + (1088j + 92)z + (234j + 114)z^2 + 2z^3]$	$\pm 0$
$q_{eb} - 1 = [-464j - (1858j + 124)z - (768j + 248)z^2 - (4j + 12)z^3]$	$0$

$q_{ba} = q_{ab}/j, q_{ca} = q_{ac}/j, q_{ch} = q_{ba}, q_{da} = q_{ad}/j, q_{dc} = q_{ad}/q_{ch}, q_{ad} = q_{ch}, q_{ec} = q_{ae}/j, q_{ef} = q_{ed}, q_{eh} = q_{eb}$ ,  
 $q_{bi} = q_{ah}/j, q_{cb} = q_{bc}, q_{ci} = q_{ag}/j, q_{ba} = q_{af}/j, q_{cf} = q_{di}, q_{af} = q_{bf}, q_{de} = q_{er}, q_{ec} = q_{ei}, q_{er} = q_{ea}$ ,

جدول (۵-۱) نه تیرا اصلی (n=9)

مباحث بنیادی پلهای بتی

	$\alpha$	$\beta$
$N_1 = 2 \left[ 26zj / 7 + (1793zj + 71)z^2 + (2373z^3 + 330)z^4 + (410z^5 + 134)z^6 + (1z^7 + 4z^8)z^9 \right]$	$N_2 = 2 \left[ 153 / 2 + (164zj + 41)z + (429z^2 + 334)z^3 + (221z^4 + 558)z^5 + (8z^6 + 64)z^7 \right]$	
$q_{aa} = -1 = (-71 - 330z^2 - 194z^4 - 4z^3)$	$\pm (-41 - 354z^2 - 558z^4 - 842z^3)$	$= q_{ak}$
$q_{ab} = (+61 + 6232z^4 + 236z^6 + 2z^3)z$	$\pm (+93 + 7292 + 8822z^2 + 632z^3)z$	$= q_{ai}$
$q_{ac} = (-114 - 197z^2 + 81z^4 + 2z^3)z$	$\pm (-66 - 3692 - 9z^2 + 452z^3)z$	$= q_{ah}$
$q_{ad} = (+30 - 174z^2 - 31z^4 + 2z^3)z$	$\pm (+18 - 542 - 315z^2 + 272z^3)z$	$= q_{ag}$
$q_{ae} = (-6 + 78z^2 - 90z^4 - z^3)z$	$\pm (-6 + 902 - 162z^2 + 9z^3)z$	$= q_{af}$
$q_{bb} = [ -462zj - (1443zj + 19)z^2 - (387z^3 + 44)z^4 - (z^5 + 3)z^6 ]$	$\pm [-252zj - (1827z^3 + 11)z^2 - (1773z^4 + 68)z^3 - (61z^5 + 35)z^4 ]$	$= q_{bi}$
$q_{bc} = [+419zj + (84z^3 + 43)z^2 + (41z^5 + 69)z^4 = z^3]$	$\pm [+243zj + (1413z^3 + 25)z^2 + (585z^5 + 133)z^2 + 352z^3]$	$= q_{bh}$
$q_{bd} = [ 180zj + (229z^3 + 30)z^2 + (53z^5 + 5)z^4 + z^3 ]$	$\pm [-108zj - 171z^3 + 18)z^2 + (459z^5 - 49)z^2 + 2/z^2 ]$	$= q_{bc}$
$q_{be} = [+36zj - (252z^3 - 6)z^2 + (59z^5 - 30)z^4 + z^3 ]$	$\pm [+36zj - (324z^5 - 6)z^2 + (171z^3 - 42)z^2 + 7z^3 ]$	$= q_{bf}$
$q_{cc} = -1 = [ -616zj - (1214z^3 + 116)z^2 - (354z^5 + 138)z^4 - (z^6 + 3)z^3 ]$	$\pm [ -360zj - (1998z^5 + 68)z^2 - (1314z^3 + 318)z^4 - (81z^6 + 59)z^3 ]$	$= q_{ch}$
$q_{cd} = [+455zj + (59z^3 + 109)z^2 + (100z^5 + 46)z^4 + z^3 ]$	$\pm [ +279zj + (1089z^5 + 67)z^2 + (756z^3 + 196)z^4 + 15z^5 ]$	$= q_{cg}$
$q_{ce} = [-144zj - (23z^3 + 36)z^2 + (112z^5 + 29)z^4 + z^3 ]$	$\pm [ -144zj + (153z^5 - 36)z^2 + (285z^3 + 71)z^4 + 5z^5 ]$	$= q_{cf}$
$q_{dd} = -1 = [ -580zj - (1466z^3 + 152)z^2 - (275z^5 - 126)z^4 - (z^6 + 3)z^3 ]$	$\pm [ -396zj - (1674z^5 + 104)z^2 - (1485z^3 + 259)z^4 - (81z^6 + 75)z^3 ]$	$= q_{dg}$
$q_{de} = [+275zj + (820z^3 + 73)z^2 + (153z^5 + 81)z^4 + z^3 ]$	$\pm [ +387zj + (1260z^5 + 103)z^2 + (297z^3 + 137)z^4 + 3z^5 ]$	$= q_{df}$
$q_{ee} = -1 = [ -161zj - (622z^3 + 43)z^2 - (234z^5 + 80)z^4 - (z^6 + 3)z^3 ]$	$\pm [ +639zj + (3087z^5 + 177)z^2 - (2070z^3 + 472)z^4 - (81z^6 + 83)z^5 ]$	$= q_{ef}$

$q_{ba} = q_{ab}/j, q_{ca} = q_{ac}/j, q_{ci} = q_{bh}/q_{ad}/j, q_{ac} = q_{ca}, q_{ai} = q_{bg}, q_{ea} = q_{ae}/j, q_{ec} = q_{ce}, q_{eg} = q_{df},$   
 $q_{ei} = q_{eq}, q_{bk} = q_{ai}/j, q_{cb} = q_{bc}, q_{ck} = q_{ah}/j, q_{ab} = q_{ba}, q_{ah} = q_{cg}, q_{dk} = q_{ak}/j, q_{ab} = q_{de}, q_{ad} = q_{de},$   
 $q_{eh} = q_{cf}, q_{ek} =$

جدول (۵ - ۲۰) ده تیر اصلی (n=10)

مثال :

شبکه‌ای با شعاع تیراصلی و یکتیر عرض در وسط دهانه‌ها مشخصات '  $a=11'$  ،  $L=100$  ،  $I=1$  مفروض است . خطوط تأثیر نیروهای عکس العمل قائم در اتمالات  $\frac{I_1}{I} = 0.316$  ،  $j=1.853$  را رسم کنید .

حل :

$$z = \frac{I_1}{I} \left( \frac{L}{2a} \right)^3 = 0.316 \left( \frac{100}{22} \right)^3 = 29.677$$

$$N_1 = \left[ \frac{38}{z} j + (78j + 10) + (2j + 4) z \right] = 385.6$$

$$N_2 = \left[ \frac{22}{z} j + (130j + 6) + (150j + 20) z \right] = 3591.3$$

با استفاده از جدول (۱۶-۵) داریم :

$$q_{aa} = 1 + \left( \frac{-5-2t}{N} \right) + \left( \frac{-3-10t}{M} \right) = 0.7495$$

$$q_{af} = -0.0843$$

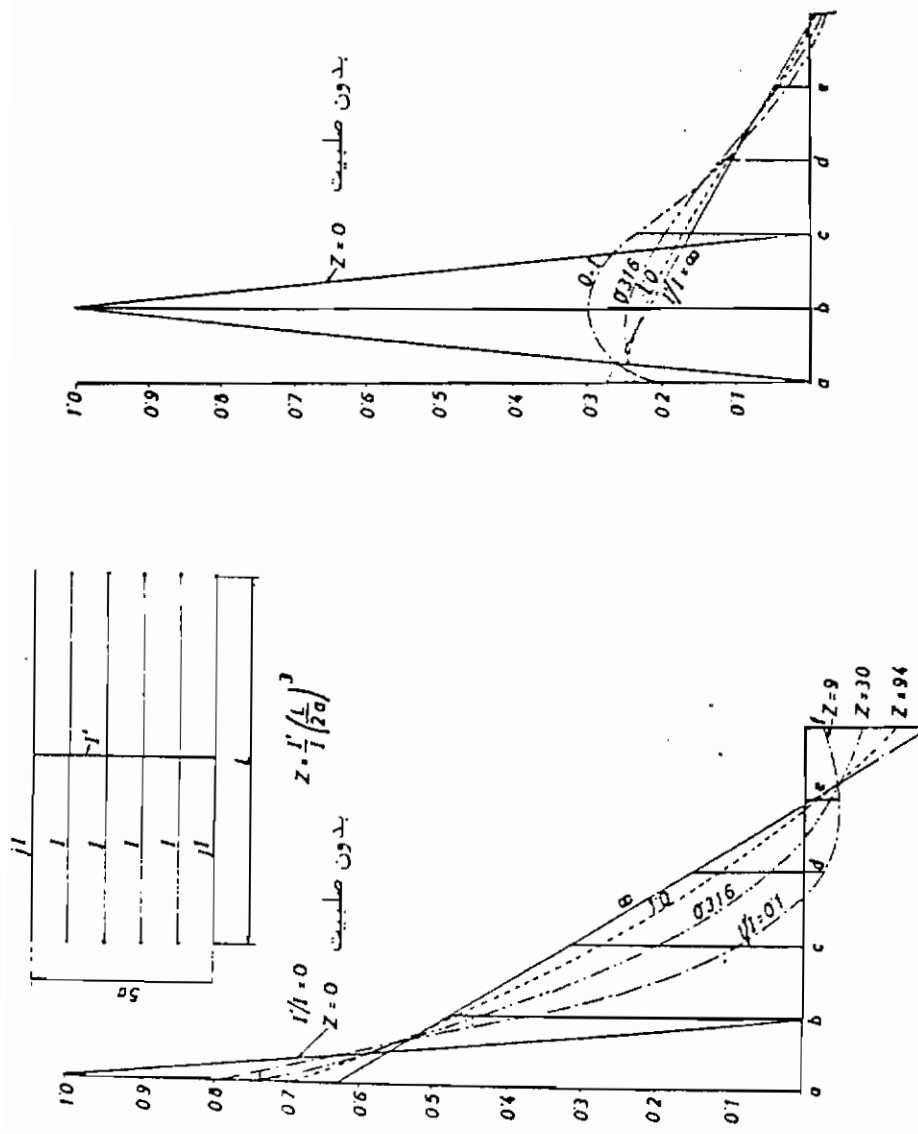
و بطور مشابه

نتایج کلی در جدول (۲۱-۵) نشان داده شده‌اند .

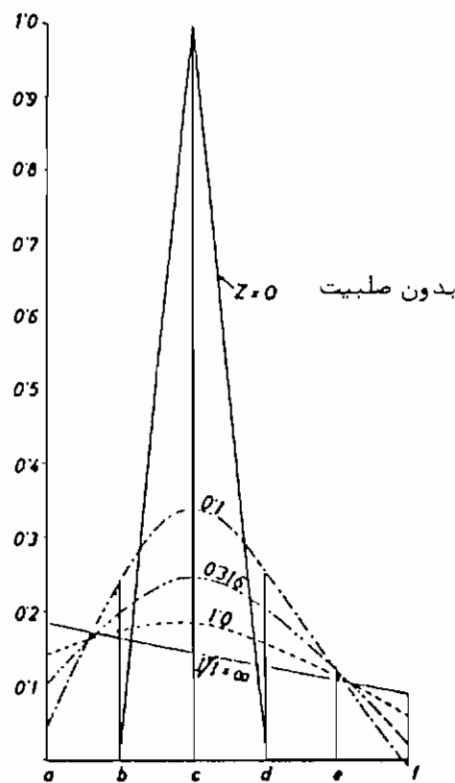
با معلوم بودن ضرایب تأثیر برآحتی می‌توان خطوط تأثیر پخش عرضی بار را رسم کرد .  
نتایج مطابق شکل (۵-۸-۱۶) الف ، ب و ج نشان داده شده‌اند .

	$I_1/I = \infty$	$I_1/I = 1$	$I_1/I = 0.316$	$I_1/I = 0.1$
$q_{aa}$	0.652	0.694	0.750	0.825
$q_{ab}$	0.488	0.463	0.429	0.370
$q_{ac}$	0.323	0.265	0.187	0.085
$q_{ad}$	0.158	0.106	0.040	-0.031
$q_{ae}$	-0.006	-0.021	-0.038	-0.048
$q_{af}$	-0.171	-0.132	-0.083	-0.027
$q_{ba}$	0.263	0.250	0.231	0.200
$q_{bb}$	0.210	0.222	0.245	0.297
$q_{bc}$	0.157	0.173	0.196	0.231
$q_{ba}$	0.103	0.112	0.121	0.118
$q_{be}$	0.050	0.050	0.047	0.032
$q_{bf}$	-0.003	-0.011	-0.020	-0.026
$q_{ca}$	0.174	0.143	0.101	0.046
$q_{cb}$	0.157	0.173	0.196	0.231
$q_{cc}$	0.139	0.184	0.247	0.338
$q_{cd}$	0.121	0.160	0.208	0.259
$q_{ce}$	0.103	0.112	0.121	0.118
$q_{cf}$	0.085	0.057	0.022	-0.017
$z$	$\infty$	94	30	9

(۵ - ۲۱) جدول



شکل (۵ - ۸۶) ب خط تأثیر برای نیرو اصلی داخلی نقطه a  
شکل (۵ - ۸۶) الف خط تأثیر برای نیرو اصلی خارجی نقطه a



شکل (۵-۶۸)ج خط تأثیر تیر اصلی داخلی نقطه c

## ۵- آشنائی با روش‌های کامپیوتری

در طی سالهای اخیر با پیشرفت علم کامپیوتر روش‌های تحلیلی قوی جهت تحلیل پل‌ها ارائه شده است که مهمترین آنها عبارتند از:

۱۸- روش تحلیل شبکه

۱۹- روش صفحه ارتوتروپیک

۳ - روش صفحه ارتیکولیت <sup>۲۰</sup>

۴ - روش اجزاء محدود <sup>۲۱</sup> ، نواز <sup>۲۲</sup> و صفحه محدود <sup>۲۳</sup>

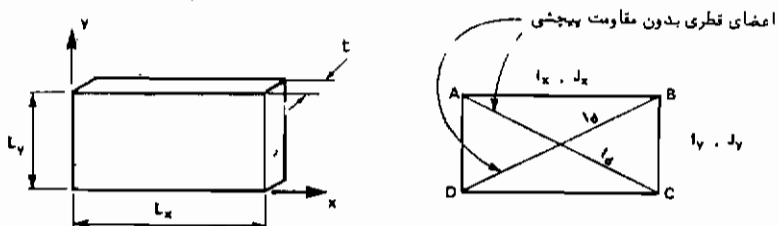
۵ - روش نیمه پیوسته <sup>۲۴</sup>

### ۱ - روش تحلیل شبکه

شبکه به مجموعه‌ای از تیرهای یک بعدی گفته می‌شود که بار واردۀ به آن عمود بر صفحه مجموعه باشد و برخلاف یک قاب دو بعدی ، سختی پیچشی تیرها در نظر گرفته می‌شوند .

### پلهای دال تخت

مشخصات تغییر شکل یک جزء صفحه مربع مستطیل شکل از یک صفحه ایزوتروپیک که تحت اثر بارهای خارج از صفحه قرار داشته باشد را می‌توان توسط مجموعه‌ای مشکل از این تیر بیان کرد . چهار تیر در امتداد اضلاع آن جزء و دو تیر دیگر در امتداد قطر مربع مستطیل قرار دارند ، عبارات مربوط به خواص هر تیر مطابق زیر است (شکل (۵-۶۹)) .



شکل (۵-۶۹) ایده‌آل‌سازی یک جزء صفحه به شبکه (الف) جزء دال ، (ب) مجموعه تیرهای معادل

$$I_x = \left[ L_y - \frac{v L_x^2}{L_y} \right] \frac{t^3}{24(1 - v^2)}$$

$$I_y = \left[ L_x - \frac{v L_y^2}{L_x} \right] \frac{t^3}{24(1 - v^2)}$$

20 - Articulated plate    23 - Finite plate

21 - Finite Element        24 - Semi - continioim

22 - Fimfe stvip

$$J_x = \left[ \frac{E L_y (1 - 3v)}{G} \right] \left[ \frac{t^3}{24(1 - v^2)} \right]$$

$$J_y = \left[ \frac{E L_x (1 - 3v)}{G} \right] \left[ \frac{t^3}{24(1 - v^2)} \right]$$

$$I_d = \left[ \frac{v(L_x^2 + L_y^2)^{1.5}}{L_x L_y} \right] \left[ \frac{t^3}{24(1 - v^2)} \right]$$

I و J ممان اینرسی و ممان قطبی (پیچشی) می‌باشند. v ضریب پواسون صالح صفحه، اندیس x، y و d به ترتیب مربوط به جهت‌های x، y و قطرالمان می‌باشند. در عمل یک دال تخت بتی را می‌توان به عنوان یک صفحه ایزوتروپیک در نظر گرفت بنابراین دال تخت را می‌توان به تعدادی اجزاء مربع مستطیل تقسیم کرد که هر جزء مربع مستطیل از نظر ایده‌آل شامل یک شبکه متشکل از شش تیغ می‌باشد. همچنانکه در شکل (۵-۵) الف و ب نشان داده شده است پلهای فاعم و مورب را می‌توان به این طریق مدل‌سازی کرد. البته در اینصورت شبکه بوجود آمده پیچیده بوده و تعبیر نتایج تحلیل حاصل مشکل است. ولی اگر از اثر ضریب پواسیون صرفنظر شود در اینصورت از تیغهای قطری شبکه می‌توان صرفنظر کرد و در نتیجه عبارات مربوط به خواص تیغهای دیگر را می‌توان به صورت ساده‌تر زیر نوشت، شکل (۵-۵) ج.

$$I_x = \frac{L_y t^3}{24}$$

$$I_y = \frac{L_x t^3}{24}$$

$$J_x = \frac{E}{G} \frac{L_y t^3}{24}$$

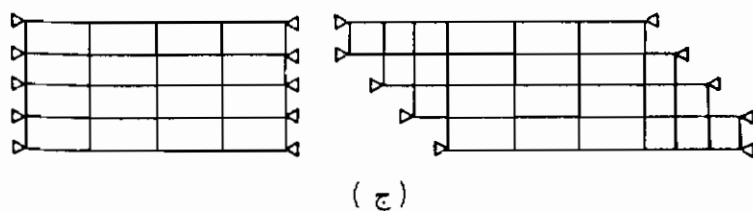
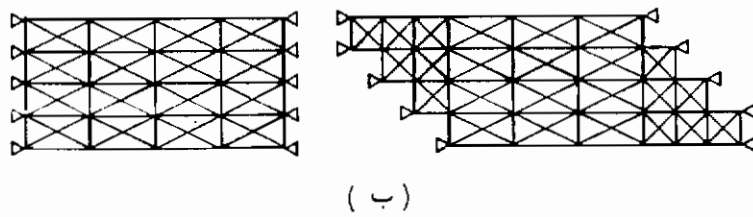
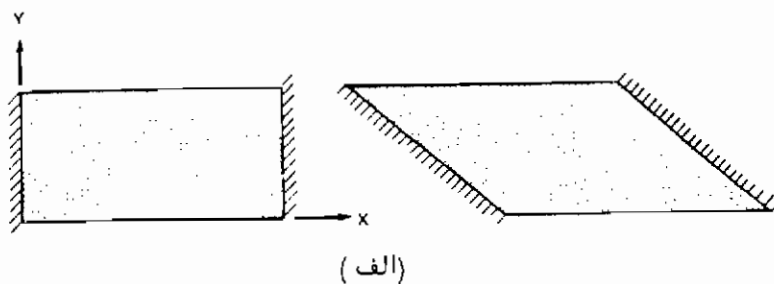
$$J_y = \frac{E}{G} \frac{L_x t^3}{24}$$

اثر غیر صفر بودن ضریب پواسیون مصالح را می‌توان با روابط زیر بطور تقریبی در نظر گرفت.  
که زمانی قابل قبول است که تغییر شکل صفحه خود مستقل از ضریب پواسیون باشد.

$$(M_x)_v = (M_x)_0 + v(M_y)_0$$

$$(M_y)_v = (M_y)_0 + v(M_x)_0$$

که اندیس  $v = 0$  به ترتیب مربوط به حالات ضریب پواسیون مخالف صفر و مساوی صفر می‌باشد.



شکل (۵-۲۰) ایده‌آل ساختن یک دال توسط یک شبکه. (الف) دالهای واقعی (ب) شبکه برای  $v \neq 0$  (ج) شبکه برای  $v = 0$

## دال بر روی تیرهای طولی

روش شابه سازی شبکه برای پلهای از نوع دال بر روی تیرهای طولی خیلی مناسب می باشد. تیرهای طولی در شبکه در محل محور تیرهای طولی واقعی در نظر گرفته می شوند و تیرهای عرضی شبکه بیانگر رفتار دال تخت یا تیرهای عرضی (دیافراگم) عبورگاه می باشند. تعداد تیرهای عرضی در شبکه برای انواع عبورگاه های بتی حداقل هفت عدد پیشنهاد می گردد.

### ۲- روش صفحه ارتوتروپیک

بنا به تعریف یک صفحه ارتوتروپیک صفحه ای است با خواص ثابت ولی با خواص خمشی و پیچشی مختلف در دو جهت عمود برهم (شکل ۵-۷). علاوه استاندارد برای سختی های یک صفحه مربع مستطیل ارتوتروپیک و نیز معادله تغییر شکل صفحه مطابق آنچه که در بخش (۵-۵) این کتاب بحث شد می باشد. واکنشهای چون لنگرها و نیروهای برشی در واحد عرض یا واحد طول محاسبه می شوند. علاوه استاندارد برای واکنشهای مختلف صفحه در مقابل بار مطابق زیراند:

$$\begin{aligned} M_x & \text{ لنگر خمشی طولی در واحد عرض} \\ M_y & \text{ لنگر خمشی عرضی در واحد طول} \\ M_{xy} & \text{ لنگر پیچشی طولی در واحد عرض} \\ M_{yx} & \text{ لنگر پیچشی عرضی در واحد طول} \\ Q_x & \text{ نیروی برشی طولی در واحد عرض} \\ Q_y & \text{ نیروی برشی عرضی در واحد طول} \\ Q_y & \text{ و } Q_x \text{ را عکس العملهای لبه عبورگاه نیز می نامند. نیروی برشی دیگری، به نام نیروی برشی کمکی، در تئوری صفحه ارتوتروپیک بکار برده می شود، که از جانشین کردن لنگرهای پیچشی در مرزها بوسیله گسترش نیروهای قائم جهت کم کردن تعداد شرایط مرزی به کار برده شده، این دو نیروی برشی کمکی عبارتند از:} \end{aligned}$$

$$\begin{aligned} v_x & \text{ نیروی برشی کمکی طولی در واحد عرض} \\ v_y & \text{ نیروی برشی کمکی عرضی در واحد طول} \\ \text{معادلات مربوط به واکنشهای یک صفحه ارتوتروپیک مطابق زیراند:} \end{aligned}$$

$$M_x = - \left[ D_x \frac{\partial^2 \omega}{\partial x^2} + D_1 \frac{\partial^2 \omega}{\partial y^2} \right]$$

$$M_y = - \left[ D_y \frac{\partial^2 \omega}{\partial y^2} + D_2 \frac{\partial^2 \omega}{\partial x^2} \right]$$

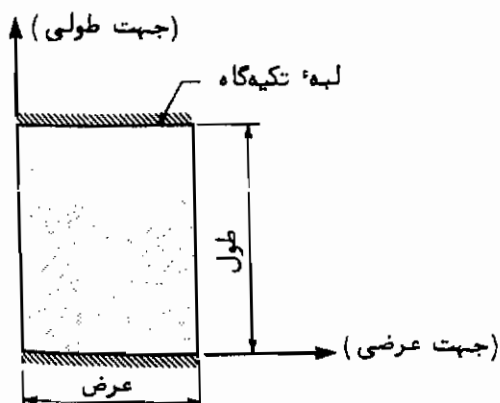
$$M_{xy} = D_{xy} \frac{\partial^2 \omega}{\partial x \partial y}$$

$$Q_x = - \left[ D_x \frac{\partial^3 \omega}{\partial x^3} + (D_{yx} + D_1) \frac{\partial^3 \omega}{\partial x \partial y^2} \right]$$

$$Q_y = - \left[ D_y \frac{\partial^3 \omega}{\partial y^3} + (D_{xy} + D_2) \frac{\partial^3 \omega}{\partial y \partial x^2} \right]$$

$$V_x = - \left[ D_x \frac{\partial^3 \omega}{\partial x^3} + (D_{xy} + D_{yx} + D_1) \frac{\partial^3 \omega}{\partial x \partial y^2} \right]$$

$$V_y = - \left[ D_y \frac{\partial^3 \omega}{\partial y^3} + (D_{xy} + D_{yx} + D_2) \frac{\partial^3 \omega}{\partial y \partial x^2} \right]$$



شکل (۵ - ۲۱) پلان صفحه ارتوتروپیک

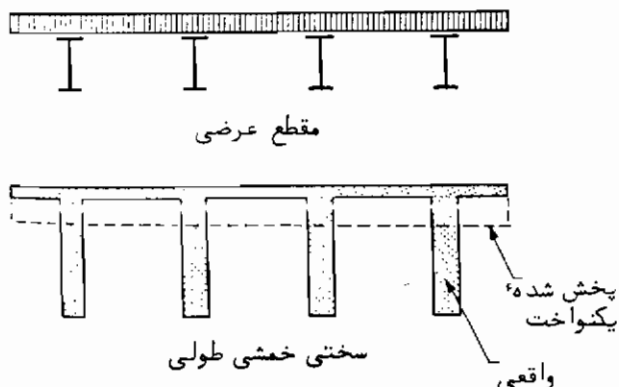
### پلهای با مقطع دال

صفحة ایزوتروپیک حالت خاصی از صفحه ارتوتروپیک می‌باشد که در آن سختی‌های طولی با سختی‌های عرضی مربوطه برابرند. پلهای ساخته شده با مقطع دال بتی راه‌مچانکه قبله ذکر شد بصورت صفحه ایزوتروپیک می‌توان در نظر گرفت.

### پلهای دال و تیر

عملکرد پلهای دال و تیر بیان‌گر رفتار یک صفحه ارتوتروپیک می‌باشد. عبورگاه دال و تیر از نظر تحمل لنگر خمشی در جهت طولی مقاومتر از جهت عرضی می‌باشد. دلیل این رفتار آنست که درجهت طولی تیرهای طولی و نیز دال روی آنها در مقابل بار خمشی مقاومت می‌کنند و حال آنکه در جهت عرضی این مقاومت فقط مربوط به دال روی تیرهای طولی می‌باشد.

این تفاوت در سختی‌های خمشی را می‌توان در صفحه ارتوتروپیک با قرار دادن  $D_x$  بزرگتر از  $D_y$  بیان گرد. در ضمن تفاوت سختی‌های پیچشی در دو جهت را می‌توان با انتخاب مقادیر مناسب برای  $D_{xy}$  و  $D_{yx}$  نشان داد. اگرچه در پلهای دال و تیر در محلهای تیرهای طولی تمرکز سختی‌های خمشی و پیچشی وجود دارد (شکل ۷۲-۵) ولی در استفاده از روش صفحه ارتوتروپیک از این گونه تغییرات شدید موضعی صرف نظر می‌شود و بجای آن سختی‌های  $D_x$  و  $D_{xy}$  طوری انتخاب می‌گردد که در عرض پل بصورت یکنواخت پخش شده باشند.

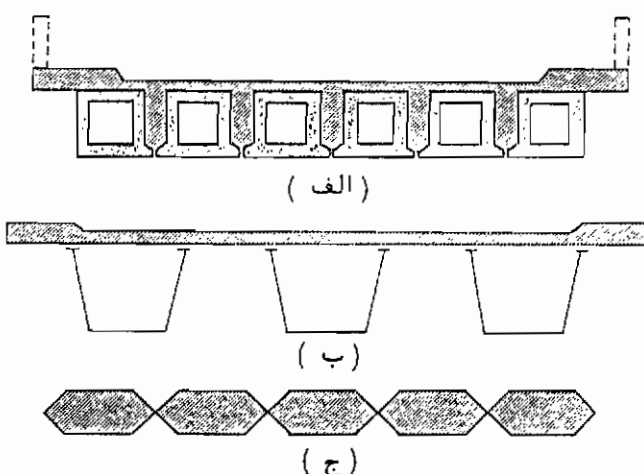


شکل (۵ - ۷۲) گسترش عرضی سختی خمشی در پل دال و تیر مرکب

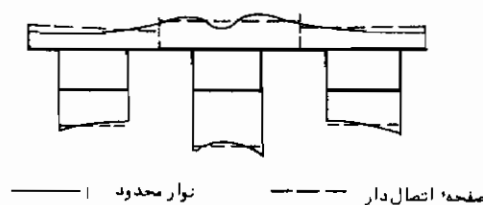
- در دو مورد زیر نتایج حاصل از روش صفحه ارتوتروپیک ایجاد خطاب خواهد کرد .
- ۱ - در پلهای دال و تیرپهن که تعداد تیرهای طولی در آنها کمتر از چهار عدد باشند و بار واردۀ فقط به قسمتی از عرض پل وارد شود ، نتایج بدست آمده برای لنگرهای خمی و نیروهای برشی قابل قبول نمی باشند .
  - ۲ - محاسبه لنگر خمی عرضی ، که ترکیب پیچیده‌ای از خمش بین تیرهای طولی و خمش در اثر تغییرشکل غیر پکتواخت تیرهای حمال می باشد بدون خطاب خواهد بود .

### ۳ - صفحات متصل بهم

حالت خاصی از پک صفحه ارتوتروپیک ، که در آن  $y_D$  برابر صفر است ، صفحه اتصال دار نامیده می شود . این روش زمانی مناسب است که پخش عرضی بار از طریق نیروی برشی فقط انجام گیرد و در نتیجه سختی خمی عرضی ناچیز باشد . شکل (۷۳-۵) (الف) و (ب) دو نوع عبورگاه را که برای تحلیل با این روش مناسب‌اند نشان می دهد . شکل (۷۳-۵) (ج) مقطع عرضی ایده‌آل را نشان می دهد که در آن تیرهای طولی در جهت عرضی توسط مفصل بدون اصطکاک بهم متصل شده‌اند . قابل توجه است که روش استفاده از تئوری صفحه اتصال دار ، همانند دیگر روش‌های ایده‌آل را دو بعدی فرض کرده و قادر نیست تغییرات تنفس در بالها را محاسبه نماید . شکل (۷۴-۵) مقایسه بین دو روش صفحه اتصال دار و روش نوار محدود در محاسبه تنفسها در ناحیه بال را نشان می دهد .



شکل (۵-۷۳) مقطع عرضی که در آنها پخش بار عمدتاً "از طریق نیروی برشی صورت می‌گیرد . (الف) و (ب) مقطع واقعی ، (ج) مقطع ایده‌آل .

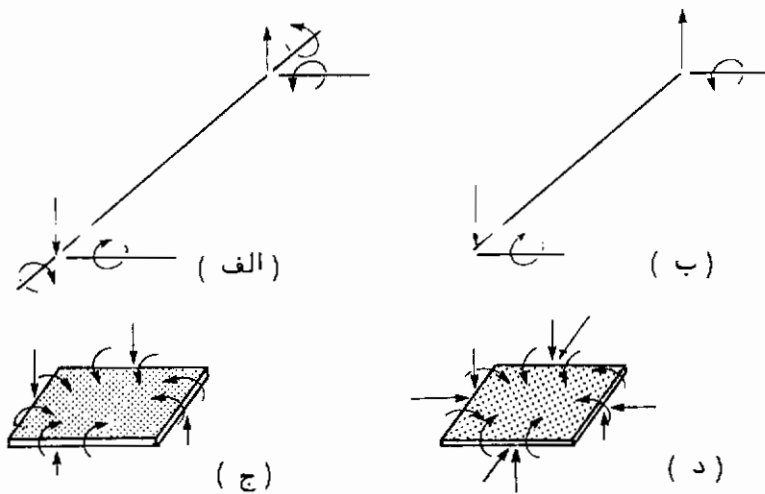


شکل (۵ - ۷۴) تنشهای طولی در بال

## ۴ - روش اجزاء محدود

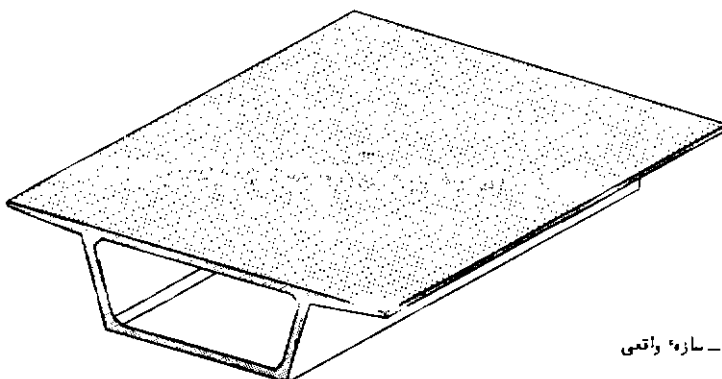
چنانچه این روش در تحلیل پلها بکار برده شود ، یک جزء محدود می تواند یک تیر یک بعدی ، یا یک قطعه از صفحه تحت اثر خمش خالص ، یا قطعه ای از صفحه تحت اثر خمش و نیروهای در صفحه باشد . این اجزاء در شکل (۷۵-۵) نشان داده شده اند .

روش اجزاء محدود حل مدل ریاضی که با ایدهآل سازی یک سازه به عنوان یک مجموعه متشكل از اجزاء مختلف بدست می آید می باشد . روش تحلیل شبکه که قبلاً توضیح داده شد در حقیقت حالت خاصی از روش اجزاء محدود است که در آن سازه رویه هیل بصورت مجموعه ای متشكل از اجزاء تیر یک بعدی فرض می گردد . اما اکثر اوقات ، استفاده از روش اجزاء محدود به معنی ایدهآل سازی سازه بهوسیله اجزاء پیوسته ای ، چون اجزاء صفحه یا پوسته می باشد .

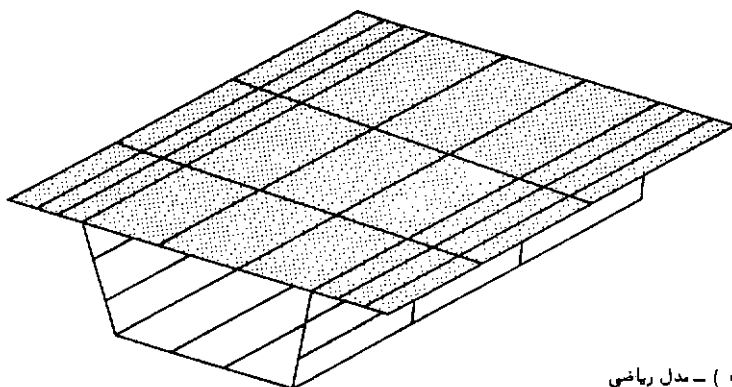


شکل (۵ - ۷۵) مثالهای از اجزاء محدود . (الف) تیر شبکه . (ب) تیر قاب (ج) جزء صفحه خمشی (د) جزء صفحه پوسته

برای تحلیل به روش اجزاء محدود با استفاده از اجزاء پیوسته، یک سازه روبه پل را می‌توان بصورت ایده‌آل متشکل از اجزاء صفحه خمی یا اجزاء پوسته در نظر گرفت. در نوع اول، سازه اصولاً " مثل یک صفحه ارتوتروپهیک که سختی‌های آن بصورت ایده‌آل فرض می‌گردد در نظر گرفته می‌شود. ایده‌آل سازی بوسیله اجزاء صفحه پوسته می‌تواند سه بعدی باشد و بنابراین، در بعضی موارد نزدیکتر به واقعیت خواهد بود. این نوع ایده‌آل سازی برای قطعه‌ای از پل قوطی در شکل (۵-۷۶) نشان داده شده است.



(الف) - سازه راقمی



(ب) - مدل ریاضی

شکل (۵-۷۶) ایده‌آل سازی یک قسمت از پل قوطی توسط اجزاء صفحه‌پوسته

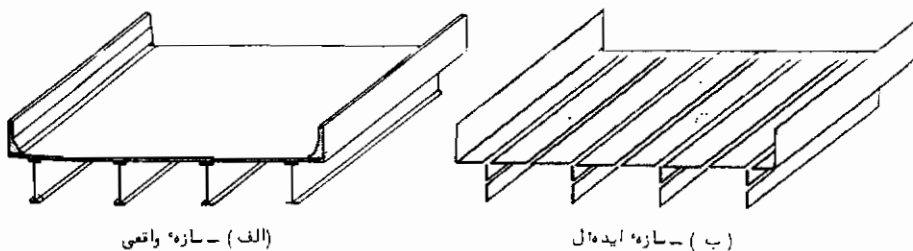
قدرت و وسعت بکارگیری روش اجزاء محدود بر همه آشکار است. اگرچه باید توجه داشت که خواص اجزاء تشکیل‌دهنده با دقت کافی انتخاب گردد تا نتایج به واقعیت نزدیکتر

باشد. اما در مقابل معایب این روش عبارتند از:

- ۱- نتایج تحلیل یکسانه بصورت عددی بوده و نمی‌توان به آن عمومیت داد بطوری که تغییرات در طرح معمولاً نیاز به تحلیل مجدد دارد.
- ۲- برای بیان سازه پل توسط مدل ریاضی که خیل نزدیک به واقعیت باشد، تعداد زیادی اجزاء لازم است که در این صورت احتیاج به کامپیوتری با حافظه بیشتر خواهد بود.

### روش نوار محدود

روش نوار محدود حالت خاصی از روش اجزاء محدود می‌باشد که در آن اجزاء، مشکل از نوارهای طولی می‌باشد. با استفاده از این روش سازه روبه پل را می‌توان بصورت یک مجموعه سه بعدی از نوارها بیان کرد. مثالی از مدل ریاضی پل دال و تیر با این روش در شکل (۵-۷۷) نشان داده شده است.



شکل (۵-۷۷) مدل ریاضی یک پل دال و تیر با روش نوار محدود

این روش در مقایسه با روش اجزاء محدود بطورکلی از نظر وقت کامپیوتری و درنتیجه هزینه تحلیل با صرفه‌تر می‌باشد.

### روش نیمه پیوسته

با توجه به مشخصات فیزیکی انواع پلهای مشخص است که در تمام حالات گسترش سختی خمشی و پیچشی عرضی آنها در طول پل تقریباً بصورت یکنواخت می‌باشد. از طرف دیگر تمرکز صلبیت خمشی و پیچشی در اکثر پلهای، به استثنای دال تخت توپر در محلهای مشخص وجود دارد. مثلاً برای پل دال حفره‌ای این محلها در موقعیت جانها یعنی بین حفره‌ها، برای نوع دال بر روی تیرهای طولی در موقعیت تیرهای طولی و در انواع پلهای توخالی این محلها جانها می‌باشند. این بررسی منتهی به نوعی ایده‌آل سازی می‌گردد که در آن سختی خمشی و پیچشی طولی پل در تعدادی تیر طولی یک بعدی متمرکز گشته و حال

## فصل پنجم - تحلیل عبورگاه پل

۲۵۹

آنکه سختی خمی و پیچشی عرضی در طول بصورت گسترده بکواخت در قالب بینهایت تیر عرضی که تشکیل دهنده پوشش عرضی می‌باشد در نظر گرفته می‌شود. این نوع ایده‌آل سازی را بنابراین می‌توان حالت خاصی از مدل شبکه دانست که در آن تعداد تیرهای عرضی بینهایت می‌باشد.



## فصل ششم

### تحلیل اثرات ثانوی در عبورگاه

#### ۶ - ۱ مقدمه

- بطورکلی اثرات ثانوی بوجود آمده در هر سازه را می‌توان به سه نوع زیر تقسیم کرد :
- الف ) اثرات هندسی
  - ب ) اثرات مصالح
  - ج ) اثرات بار
- الف ) اثرات هندسی

این اثرات شامل موارد زیر می‌باشند .

- ۱ - اثر نیروی محوری در سختی خمشی عضو
  - ۲ - اثر جابجایی افقی اتصال تیر به ستون
  - ۳ - تغییرات ایجاد شده در طول اولیهٔ اعضاء در اثر کرنش محوری و کمانش آنها
  - ۴ - تغییرات ایجاد شده اتفاقی در شکل هندسی اولیهٔ اعضاء
  - ۵ - تغییرات سطح مقطع از حالت ایده‌آل
  - ۶ - تغییر شکل‌های برشی
  - ۷ - کمانش محلی و تغییر شکل‌های محلی دیگر
  - ۸ - جابجایی خارج از صفحهٔ سازه
- ب ) اثرات مصالح

این اثرات شامل موارد زیر می‌شوند :

- ۱ - غیرخطی بودن رابطهٔ تنش کرنش
- ۲ - تنشهای داخلی بوجود آمده در اعضاء قبل از بارگذاری ، در موقع ساخت و یا نصب سازه.

### ج) اثرات بار واردہ

این اثرات عبارتند از:

۱- بارگذاری نامتناسب

۲- بارگذاری متغیر تکراری

البته باید توجه داشت که این اثرات ثانوی بصورت پیچیده‌ای در یکدیگرنیز اثرا شده و تحلیل دقیق آنها مشکل است، از این جهت در عمل هر اثر ثانوی را مستقل "تحلیل کرده و نتایج را باهم جمع می‌کنند.

از طرفی زمانی که تنشهای اعضاء از حد تنش مجاز آنها تجاوز نکند بعضی از اثرات ثانوی که بیشتر اتفاق می‌افتد مهتر از بقیه خواهند بود. به عنوان مثال در پلهای فلزی بارگذاری تکراری، با از بین بردن اتصالات، می‌تواند عامل اصلی خرابی این نوع پلهای باشد و حال آنکه در پلهای بتی تغییرشکل حاصل از عواملی چون نشت تکیه‌گاهها، خروش و انقباض بتن، انقباض و انبساط حرارتی، وقتی که همزمان با بارگذاری پل در نظر گرفته شود ممکن است باعث ایجاد تنشهای بیش از تنش مجاز مصالح سازه کردد.

در این بخش اثرات ثانوی حاصل از بار متعرکز، که بنام اثرات موضعی بار معروف است و اثرات نشت تکیه‌گاهها در پلهای نامعین استاتیکی و نیز اثر تغییرات درجه حرارت در پلهای معین و نامعین مورد بررسی قرار می‌گیرد. در هریک از این حالات نیروها و پاتنشهای حاصل از اثرات با روشهای معمول تحلیلی محاسبه می‌شوند. مسلماً در طرح کلی سازه پل تنشهای حاصل از این اثرات را باید با تنشهای حاصل از بارگذاری‌های دیگر جمع کرد.

اثرات حاصل از نشت تکیه‌گاهها و تغییرات دما را می‌توان با طرح سازه بصورت معین استاتیکی به حداقل رسانید.

### ۶-۲ اثرات موضعی بار چرخ بر روی عبورگاه

در فصل پنجم با روشهای پخش یک یا چند بار متعرکز واردہ به سطح عبورگاه آشنا شدیم. همانگونه که ملاحظه گردید از طریق این توزیع بار توانستیم نیروهای داخلی و نهایتاً توزیع تنش را در اعضای اصلی باربر عبورگاه محاسبه کیم. اما علاوه بر این توزیع تنش موضعی یا ثانوی می‌گویند. بطور کلی این توزیع تنش مختص آن قسمت از دال فوکانی می‌باشد که بر روی تیرهای طولی و عرضی تکیه دارد. "الراما" برای اینکه توزیع تنش نهائی یک عبورگاه حاصل گردد باید توزیع تنش اولیه و ثانوی باهم ترکیب گردد.

با توجه به اینکه هر عبورگاه معمولاً "یک سازه" سه بعدی است و در اثر اعمال بار وارد بر آن تغییرشکل پیدا می‌کند ولی این تغییرشکل برای تمام تیرهای طولی و عرضی پیکان نمی‌باشد نتیجتاً تعیین دقیق شرایط تکیه‌گاهی دال فوکانی که متصل به تیرهای طولی و عرضی می‌باشد دشوار است. از این‌رو از نقطه نظر تحلیل وضعیت تکیه‌گاه‌های دال با تیرهای طولی و عرضی را با فرض ضریب مناسبی می‌توان در نظر گرفت، بر این اساس تنشهای حاصل از بار چرخ را می‌توان با دو روش پیگاد<sup>۱</sup> و وسترگارد<sup>۲</sup> تعیین کرد.

### ۱ - روش پیگاد

در این روش پیگاد معادله لاغرانژ<sup>۳</sup> را برای دامنه وسیعی از مقادیر نسبت ابعاد اضلاع دال و نسبت‌های ابعاد اضلاع سطح بارگذاری شده به ابعاد اضلاع دال مربوطه حل کرد. علام بکار رفته در این روش مطابق شکل (۱-۶) می‌باشد. اضلاع مساحت بارگذاری شده مرکزی با استفاده از سطح تعاس بار متتمرکز، مثلاً "چرخ کامیون" بر روی سطح عبورگاه ویژه آن تحت زاویه ۴۵ درجه با افق در کل ضخامت مصالح غیرسازهای و نصف ضخامت دال بدست می‌آید بنابراین اگر بار متتمرکز یکی از چرخهای عقب و یا میانی کامیون ۴۵ درجه ایران باشد ابعاد بار عبارتند از



شکل (۱-۶)

$U = 700 + h + 2e$	mm	عمود بر جهت ترافیک
$V = 200 + h + 2e$	mm	در جهت ترافیک

که  $h$  عمق دال و  $e$  ضخامت مصالح غیرسازهای (اسفالت) عبورگاه بر حسب میلی‌متر می‌باشد

1 - Pigeaud

2 - Westergaard

3 - Lagrange

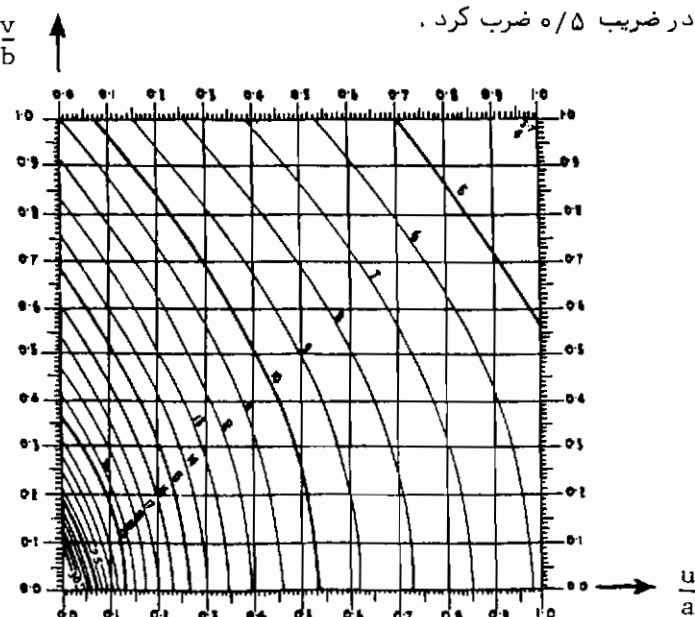
نمودارهای پیگاد در اشکال (۶-۲) تا (۶-۱۱) آمده است. در این منحنی‌ها مقدار  $M_1$  و  $M_2$  را بر حسب تابعی از  $\frac{v}{b}$  و  $\frac{u}{a}$  برای مقادیر مختلف  $\frac{a}{b}$  مساوی با  $0.9, 1.0, 1.1, 1.2, 1.3, 1.4, 1.5, 1.6, 1.7, 1.8, 1.9, 2.0$  و مشخص شده است. لنگرخمشی ماکزیم در دال را می‌توان با استفاده از مقادیر  $M_1$  و  $M_2$  بصورت زیر محاسبه کرد:

$$M_a = (\ln \text{نگرخمشی ماکزیم در جهت } a) P$$

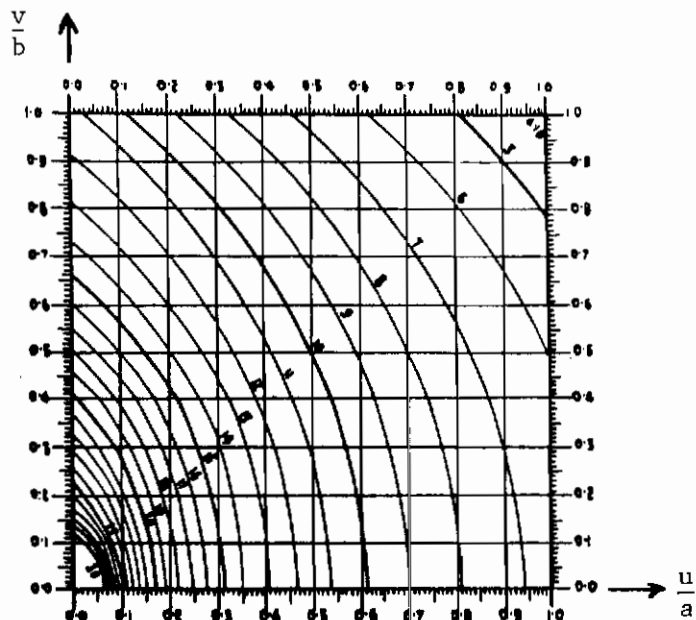
$$M_b = (\ln \text{نگرخمشی ماکزیم در جهت } b) P$$

که  $P$  مقدار بار مرکز (بار کل) وارد بر دال می‌باشد.

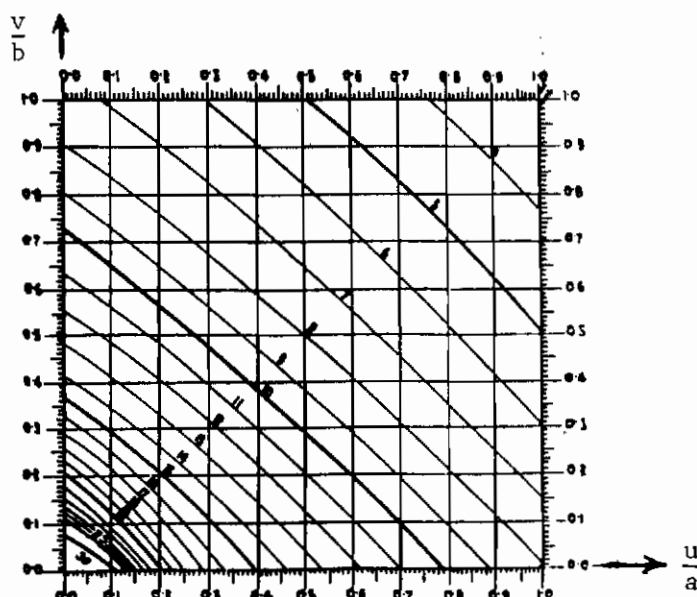
معادلات بالا برای مصالح بتن  $A$  رمه و بتن پیش تنشیده که ضریب پواسیون آنها برابر  $15\%$  فرض می‌گردد قابل اجرا می‌باشد. اگر تکیه‌گاه دال با تیرهای طولی و عرضی ساده فرض گردد در این صورت  $M_a$  و  $M_b$  لنگرهای ماکزیم مثبت در وسط دهانه  $a$  و وسط دهانه  $b$  خواهند بود و اگر تکیه‌گاه مربوطه گیردار فرض گردد در این حالت برای محاسبه لنگرخمشی ماکزیم مثبت در هر جهت  $a$  یا  $b$  باید لنگرهای حاصل از معادلات بالا را در ضریب  $8\%$  ضرب کرد و برای محاسبه لنگرخمشی تکیه‌گاهی که منفی می‌باشد باید معادلات بالا را در ضریب  $5\%$  ضرب کرد.



شکل (۶-۲) - نمودار مقادیر  $10^2 M_1 \times 10^2 M_2$  و یا  $(\rho = 1.0)$  (حالات

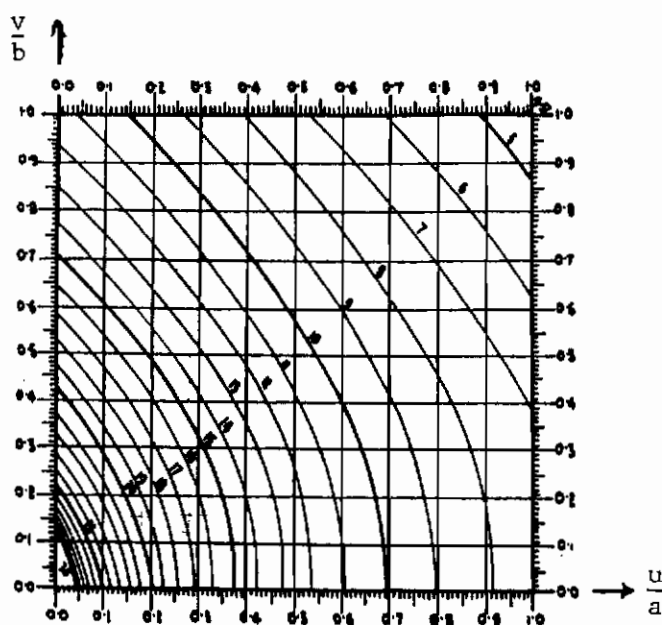


الف ) - مقادیر  $M_1 \times 10^2$

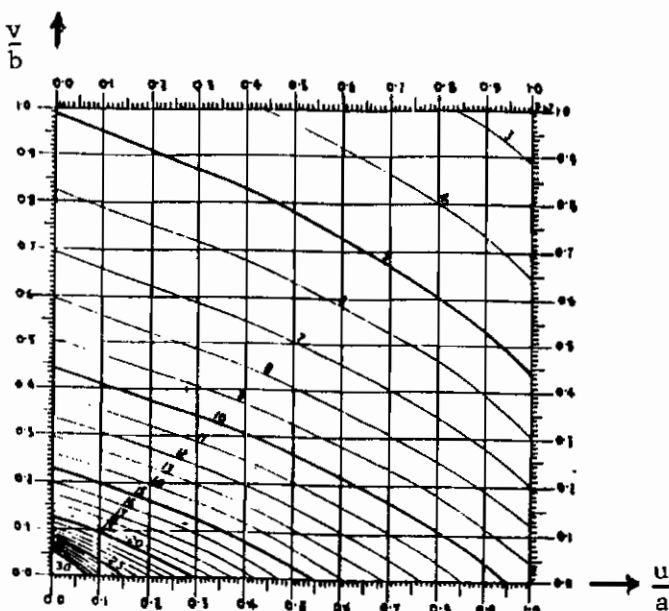


ب ) - مقادیر  $M_2 \times 10^2$

شکل (۳-۶) - حالت  $\rho = 0.9$

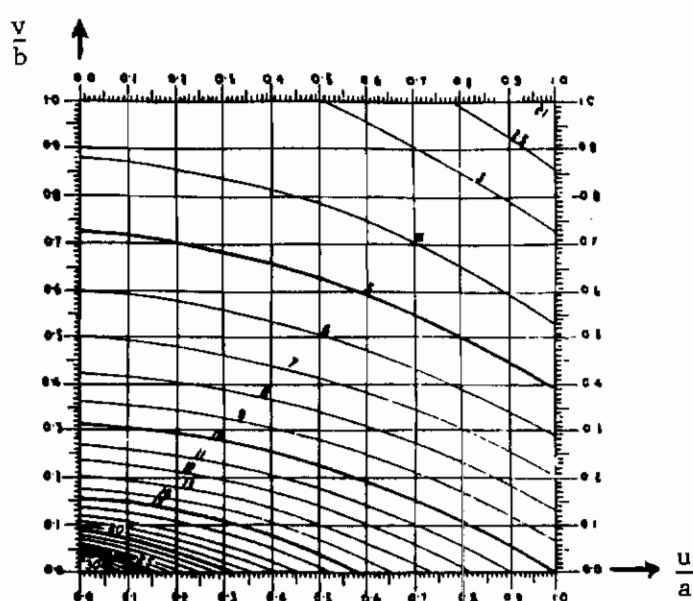
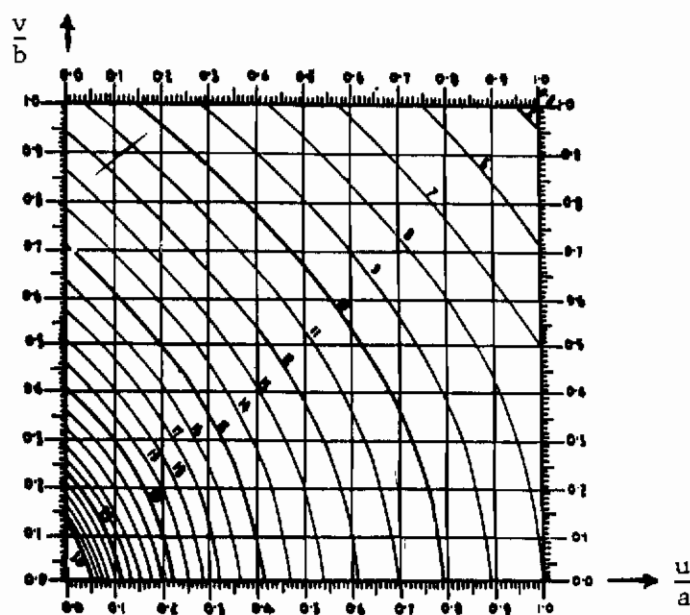


الف ) مقادیر  $M_1 \times 10^2$



ب ) مقادیر  $M_2 \times 10^2$

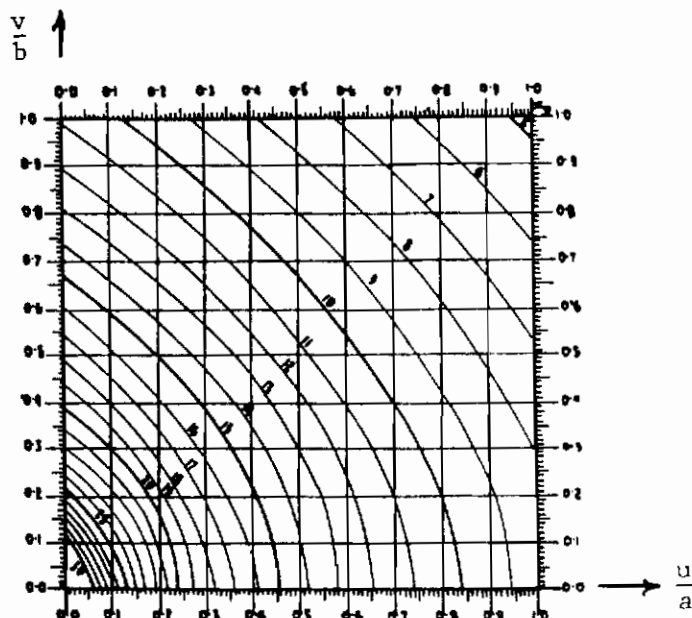
شکل (۶ - ۴) - حالت  $\rho = 0.8$



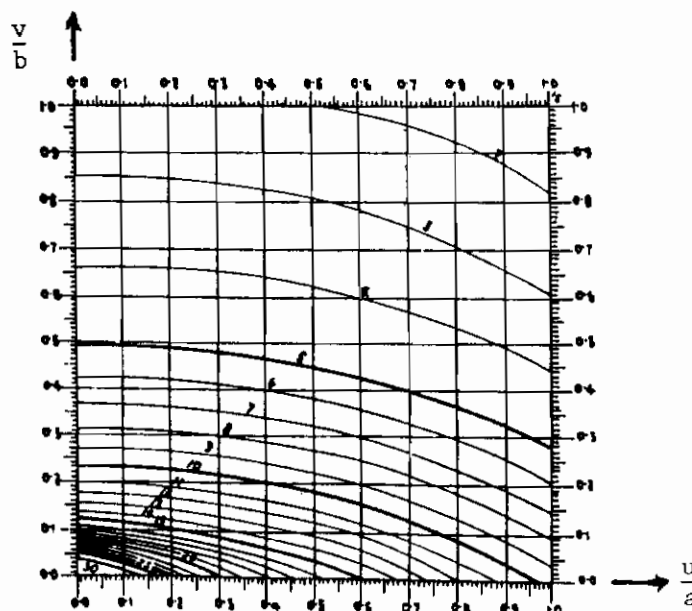
ب ) مقادیر  $M_2 \times 10^2$

شکل (۶-۵) - حالت  $\rho = 0.707$

مباحث بنیادی پلهای بتی

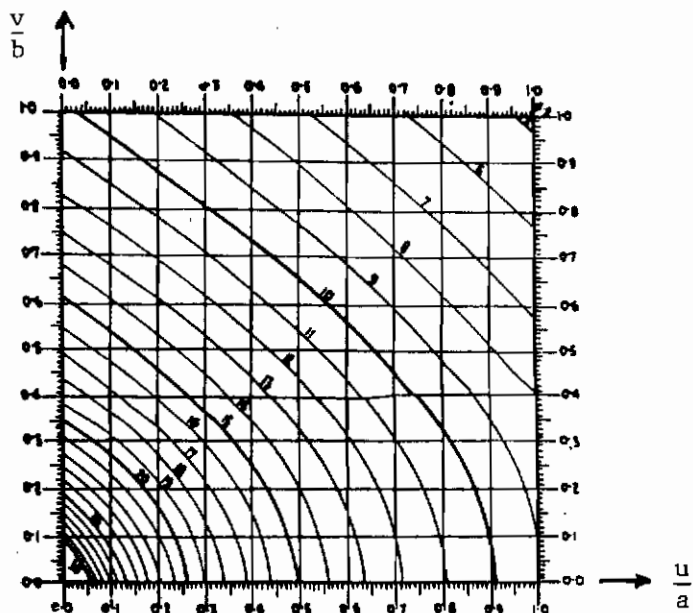


الف) مقادیر  $M_1 \times 10^2$

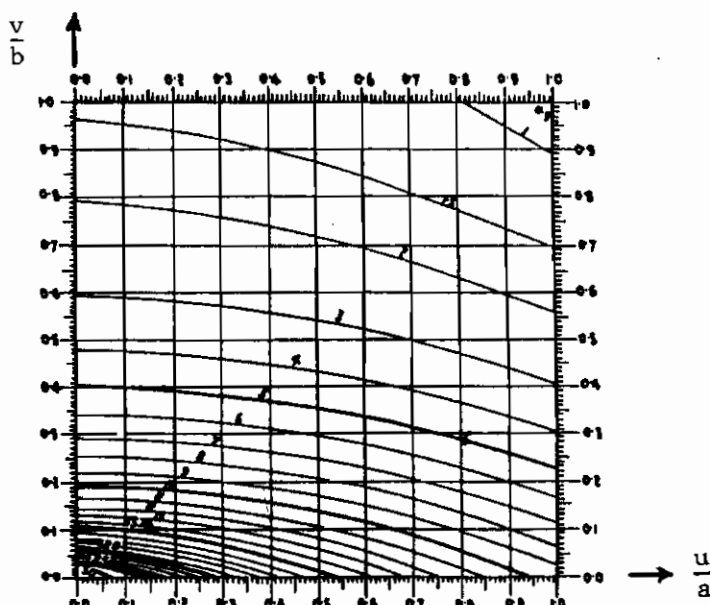


ب) مقادیر  $M_2 \times 10^2$

$\rho = 0.6$  — حالت

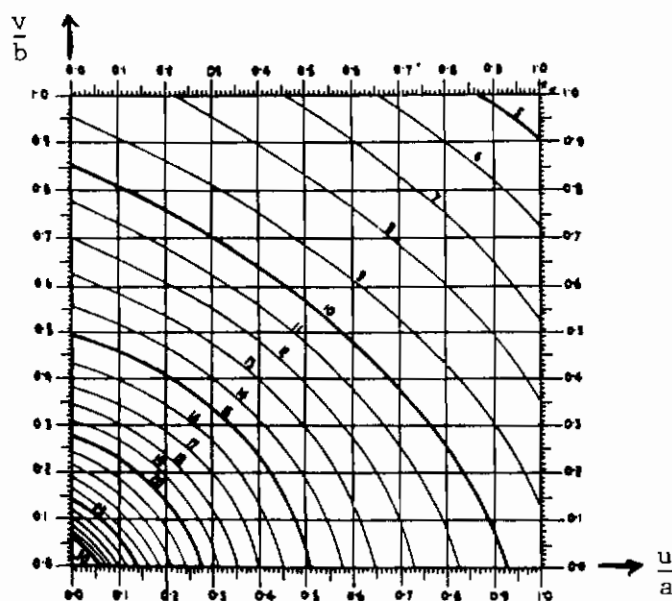


الف ) - مقادیر  $M_1 \times 10^2$

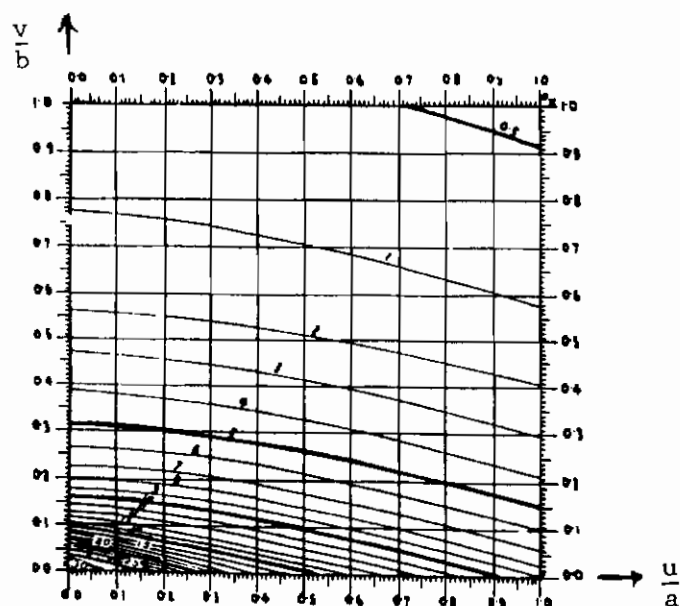


ب ) - مقادیر  $M_2 \times 10^2$

شکل (۶ - ۲) - حالت  $\rho = 0.5$

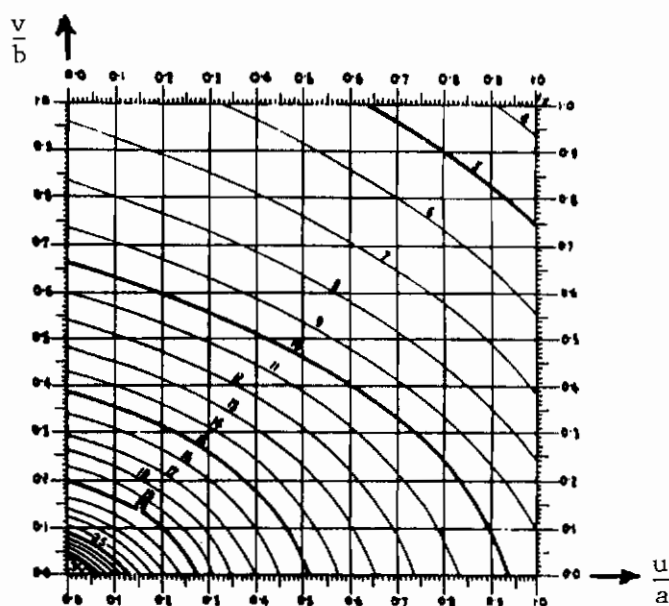


الف ) - مقادیر  $M_1 \times 10^2$

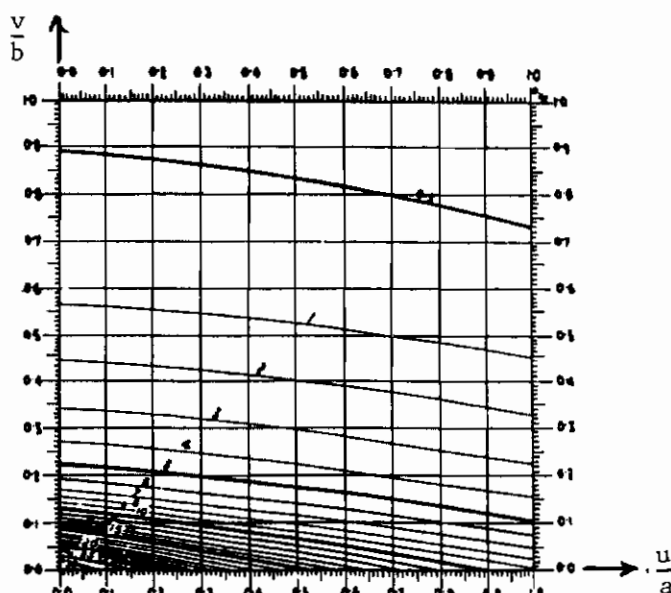


ب ) - مقادیر  $M_2 \times 10^2$

شکل (۸-۶) - حالت  $\rho = 0.4$

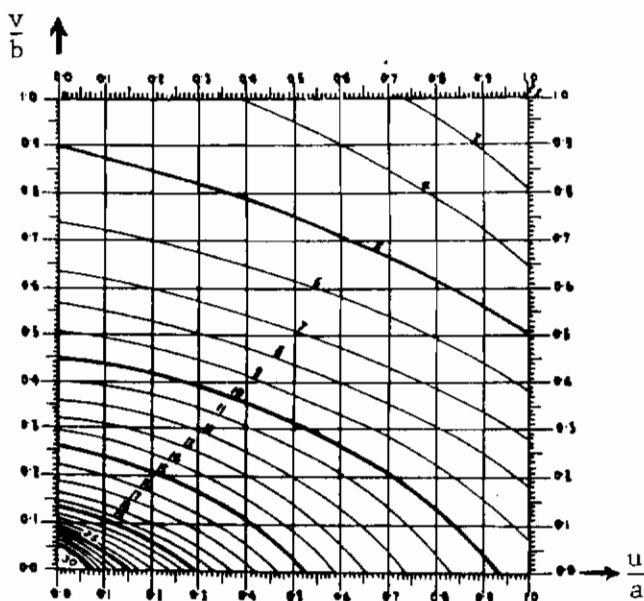


الف ) - مقادیر  $M_1 \times 10^2$

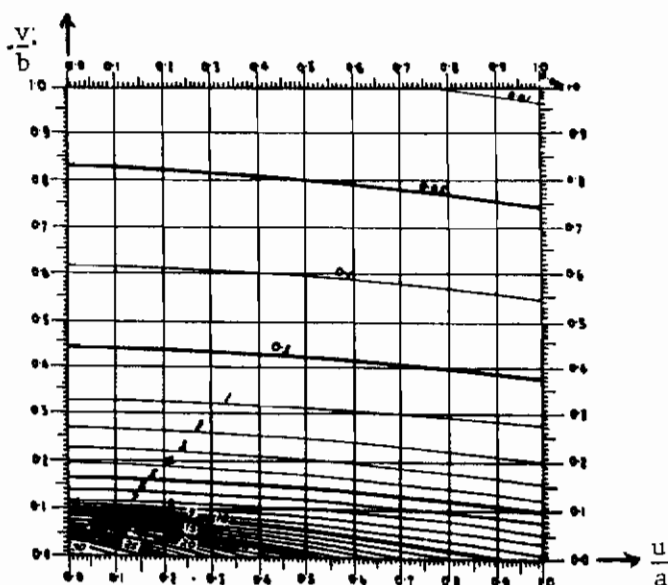


ب ) - مقادیر  $M_2 \times 10^2$

$\rho = 0.3$  - حالت ۹ - ۶

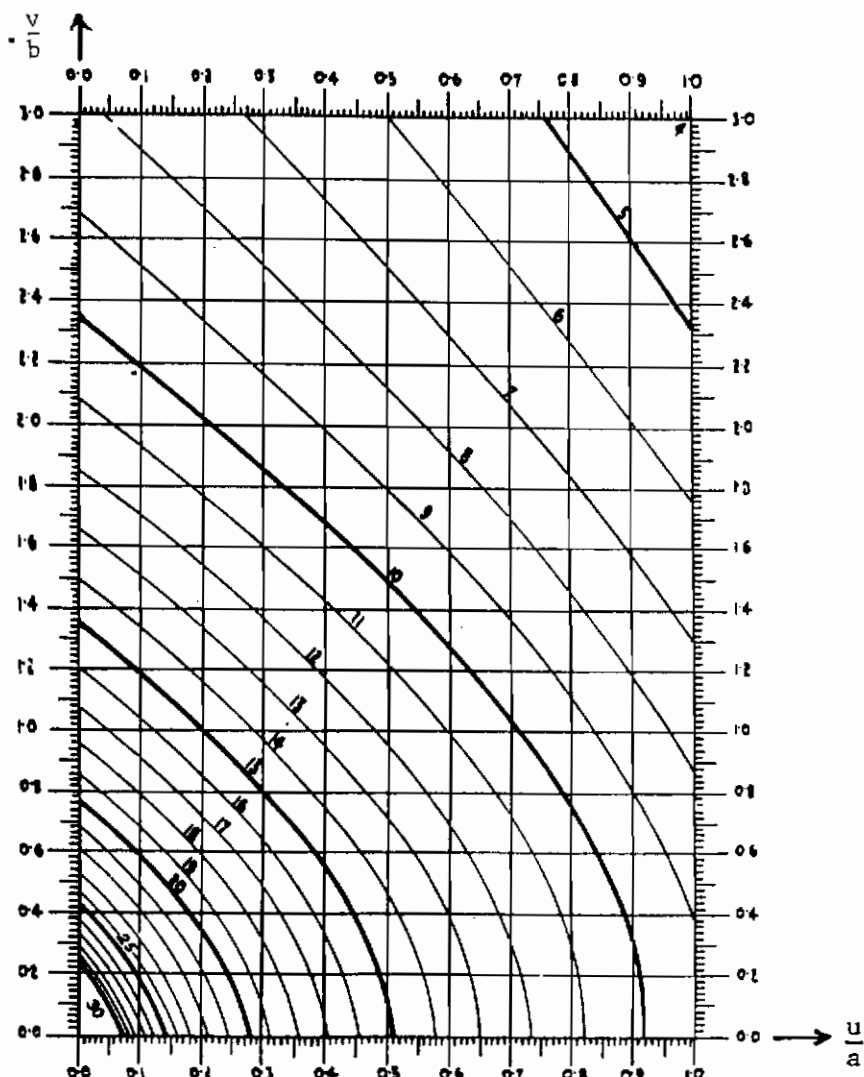


الف ) - مقادیر  $M_1 \times 10^2$



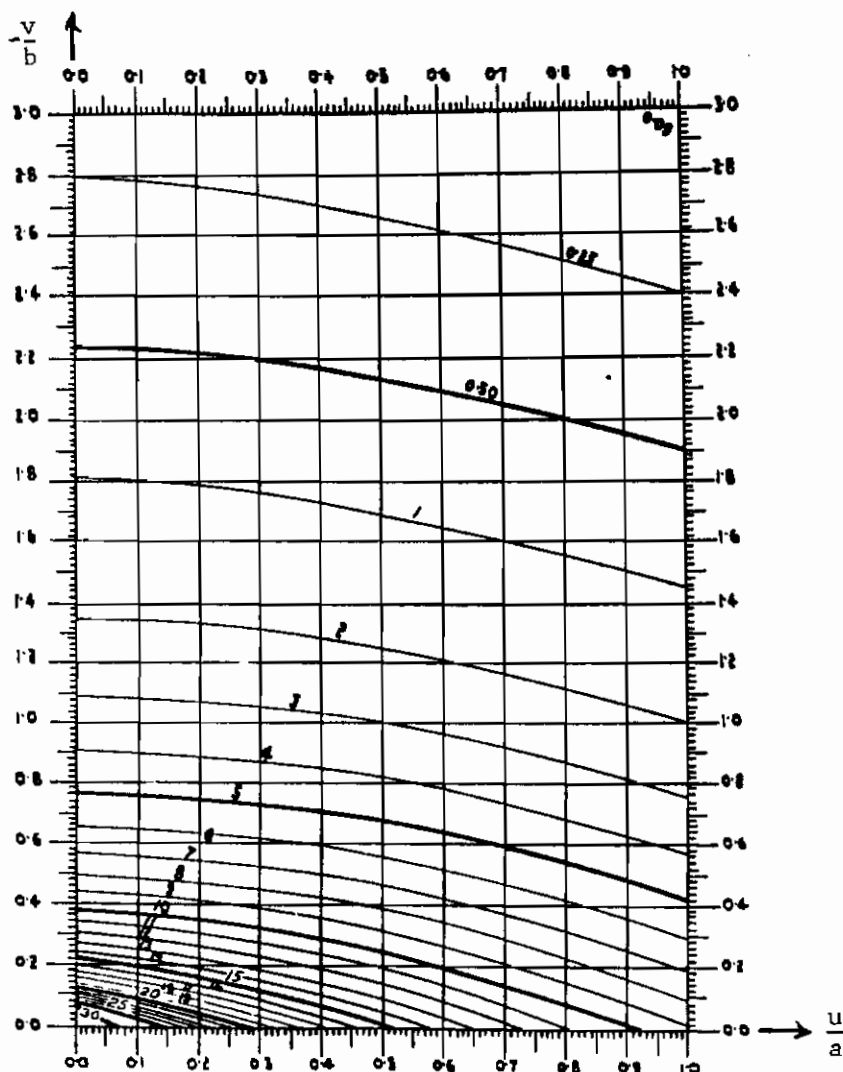
ب ) - مقادیر  $M_2 \times 10^2$

شکل (۶ - ۱۰) - حالت  $\rho = 0.2$



### الف) - مقادير $M_1 \times 10^2$

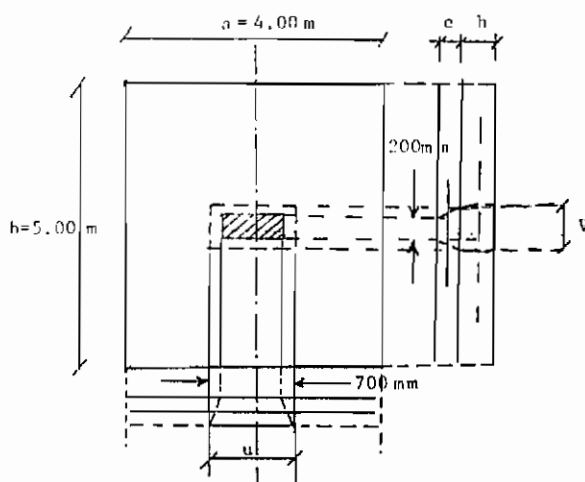
شكل (٦ - ١١) - حالت  $O = 0$



شکل (۶-۱۱) - حالت  $\rho = 0$  - مقادیر  $M_2 \times 10^2$

## مثال ۱:

مطلوبست محاسبه حداکثر لنگر خمینی طولی و عرضی در دال بتنی به ابعاد  $4 \times 5$  متر مربع در اثر اعمال بار تک چرخ آئین نامه ایران . ضخامت متوسط آسفالت ۱۵ سانتی متر و ضخامت دال بتنی ۲۰ سانتی متر فرض گردد . تکیه گاهها در چهار ضلع را گیردار فرض کنید ، (شکل ۶-۶ الف) ضلع ۵ متر در جهت دهانه پل در نظر گرفته شود .



شکل (۶-۶) الف

بار کل :  $P = 9t$

$$u = 700 + 2 \times 100 + 200 = 1110 \text{ mm}$$

$$v = 200 + 2 \times 100 + 200 = 600 \text{ mm}$$

پارامترهای لازم برای محاسبه  $M_1$  و  $M_2$  عبارتند از :

$$\rho = \frac{a}{b} = \frac{4}{5} = 0.8 \quad \frac{u}{a} = \frac{1110}{4000} = 0.28 \quad \frac{v}{b} = \frac{600}{5000} = 0.12$$

با استفاده از نمودار شکل (۶-۴) داریم :

$$M_1 = 15.8 \times 10^{-2} \quad M_2 = 15.00 \times 10^{-2}$$

$$M_a = P(M_1 + vM_2) = 9 \times 9.81 \times (15.8 \times 10^{-2} + 0.15 \times 15.0 \times 10^{-2}) \\ = 15.936 \text{ KN m/m}$$

$$\begin{aligned} M_b &= P(M_2 + v M_1) = 9 \times 9.81 \times (15.0 \times 10^{-2} + 0.15 \times 15.8 \times 10^{-2}) \\ &= 15.336 \text{ KN.m/m} \end{aligned}$$

مقادیر لنگر خمشی بالا برای دهانه ساده می‌باشند.

چون تکیه‌گاهها گیردار می‌باشند پس:

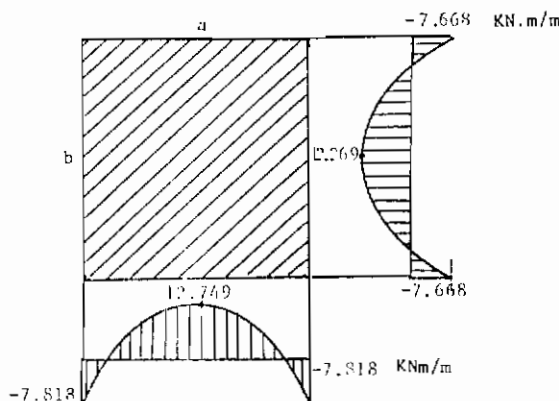
وسط دهانه  $M_a = 0.8 \times 15.936 = 12.749 \text{ KN.m/m}$

تکیه‌گاه  $M_a = -0.5 \times 15.936 = -7.818 \text{ KN.m/m}$

وسط دهانه  $M_b = 0.8 \times 15.336 = 12.269 \text{ KN.m/m}$

تکیه‌گاه  $M_b = -0.5 \times 15.336 = -7.668 \text{ KN.m/m}$

ترسیمه این لنگرها در شکل (۱۲-۶) ب رسم شده‌اند.



شکل (۱۲-۶) ب

مثال ۲:

در مثال قبل لنگر خمشی حد اکثر طولی و عرضی در اثر بار یک چرخ تانک ارتشی ۷۰

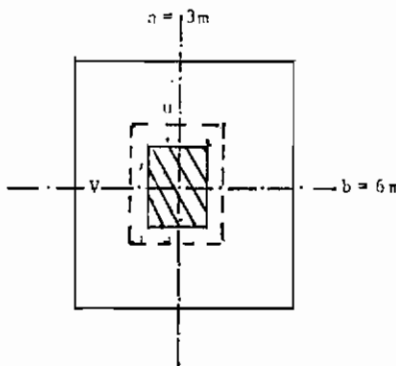
تنی ایران باضافه وزن خود دال را حساب کنید . وزن مخصوص بتن را  $24 \text{ KN/m}^3$  و آسفالت را  $22 \text{ KN/m}^3$  فرض کنید . تکیه گاههای دال را در چهار ضلع ساده فرض کنید .

حل :

دال برای ایجاد حداقل لنگر خمشی طولی و عرضی باید مطابق شکل (۱۳-۶) بارگذاری شود .

$$P = 24 \times 3 \times 6 \times 0.20 + 22 \times 3 \times 6 \times 0.10 \quad \text{بار مرده کل :}$$

$$P = 126 \text{ KN}$$



شکل (۱۳-۶)

(الف) - بارگستردۀ پکتواخت (وزن دال) در تمام سطح دال :

$$\rho = \frac{a}{b} = 0.5 \quad \text{پس نمودار شکل (۱۳-۶) را باید استفاده کرد .}$$

$$\frac{u}{a} = 1 \quad , \quad \frac{v}{b} = 1$$

در نتیجه :

$$M_1 = 4.8 \times 10^{-2} \quad , \quad M_2 = 0.9 \times 10^{-2} \quad , \quad P = 126 \text{ KN}$$

$$M_a = P(M_1 + v M_2) = 126(0.048 + 0.25 \times 0.009) = 6.331 \text{ KN.m/m}$$

$$M_b = P(M_2 + v M_1) = 126(0.009 + 0.25 \times 0.048) = 2.646 \text{ KN.m/m}$$

ب) بار چرخ تانک ارتشی :

$$u = 1000 + 2 \times 100 + 200 = 1400 \text{ mm}$$

$$v = 3500 + 2 \times 100 + 200 = 3900 \text{ mm}$$

$$\frac{u}{a} = \frac{1400}{3000} = 0.47 \quad \frac{v}{b} = \frac{3900}{6000} = 0.65$$

$$M_1 = 10.3 \times 10^{-2} \quad M_2 = 2.4 \times 10^{-2}$$

$$M_a = 35 \times 9.81 (10.3 \times 10^{-2} + 0.15 \times 2.4 \times 10^{-2}) = 36.601 \text{ KN.m/m}$$

$$M_b = 35 \times 9.81 (2.4 \times 10^{-2} + 0.15 \times 10.3 \times 10^{-2}) = 13.545 \text{ KN.m/m}$$

بنابراین در اثر بار مرده و بار یک زنجیر تانک ارتشی استاندارد داریم :

$$M_a = 6.331 + 36.601 = 42.932 \text{ KN.m/m}$$

$$M_b = 2.646 + 13.545 = 16.191 \text{ KN.m/m}$$

### محدودیت روش پیگاد

بعضی از محدودیتهای این روش بقرار زیر است .

- ۱ - مرکز بار فقط باید در مرکز صفحه قرار داشته باشد و حال اینکه در عمل ممکن است تعدادی بار چرخ روی دال قرار گیرند که فقط یکی از آنها ممکن است بصورت مرکزی در دال واقع شود . دیگر بارها در لنگر خمشی طولی و عرضی دال مؤثر خواهد بود . این مسئله با استفاده از قرینه سازی قابل حل است که بعداً "توضیح داده می شود .
- ۲ - در عمل مقدارهای  $\frac{v}{b}$  خیلی کوچک‌اند که در نتیجه آن قسمت از منحنی‌ها برای  $M_1$  و  $M_2$  به راحتی قابل خواندن نمی‌باشد .

روش پیگاد زمانی مغاید است که رابطه  $a < b$  بین ابعاد دال وجود داشته باشد .

اگر  $a > b$  باشد در اینصورت دال را بینهایت بلند می‌توان فرض کرد که در این صورت تحلیل و سترگارد مناسب خواهد بود .

## قرینه‌سازی

اگر بار  $P$  بعاید  $a \times b$  بطور متقارن در مرکز صفحه نباشد برای محاسبه ممان خمشی حاصل ابتدا با امتداد دادن اضلاع مستطیل (سطح بار)، سه مستطیل متقارن آن نسبت به محورها و مرکز تقارن، مطابق شکل (۱۴-۶) الف بدست می‌آید، بهمین ترتیب مستطیل I برابر است با:

$$I = 4A + 2B + 2C + D$$

بهمین ترتیب مستطیل‌های اضافه شده میانی II و III برابر با:

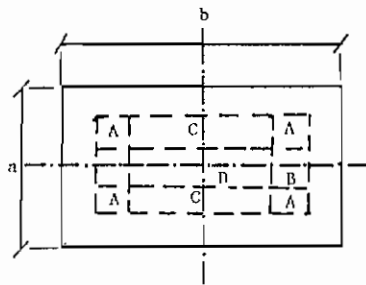
$$II = 2B + D$$

$$III = 2C + D$$

$$IV = D$$

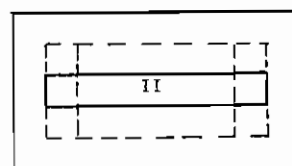
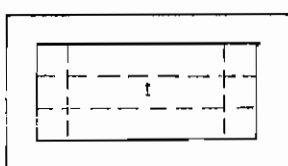
با استفاده از روابط ذکر شده مقدار A برابر است با:

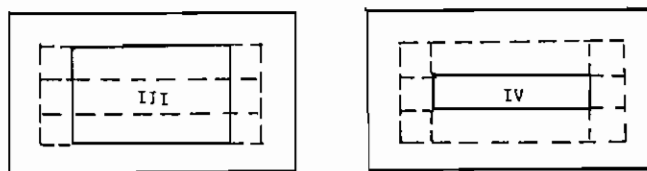
$$A = \frac{I - II - III - IV}{4}$$



شکل (۱۴-۶) الف

نظر باینکه بارهای مستطیلی I و II و III و IV همه‌نسبت به مرکز صفحه متقارن می‌باشد لنگرهای خمشی حاصل از آنها را می‌توان با استفاده از نمودارهای مربوطه به دست آورد و سپس از رابطه بالا مقدار لنگر خمشی مربوط به سطح بار A را تعیین نمود (شکل (۱۴-۶) ب).





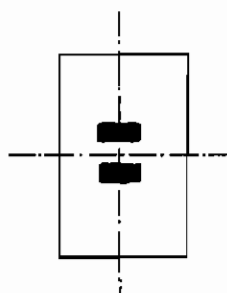
شکل (۶ - ۱۴) ب

مثال:

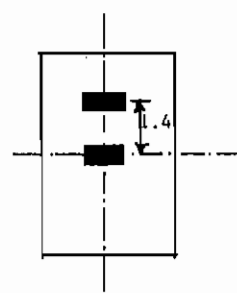
دالی به ابعاد ۶ متر در جهت ترافیک و ۳ متر عمود بر ترافیک مفروض است ضخامت متوسط آسفالت  $15\text{ cm}$  و ضخامت متوسط بتن  $25$  سانتی متر می باشد . لنگر خمی حداکثر طولی و عرضی دال را در اثر اعمال یک ردیف چرخ کامیون  $45$  تنی ایران حساب کنید .

حل:

با توجه به اینکه فاصله مرکز تا مرکز چرخ جلو یا چرخ میانی در کامیون  $45$  تنی استاندارد ایران  $6$  متر و فاصله چرخ میانی تا چرخ عقب  $1/4$  متر می باشد بنابراین فقط دو چرخ عقب و میانی از ردیف چرخهای کامیون می توانند در روی دال قرار گیرد . در این صورت یکی از دو حالت بارگذاری نشان داده شده در شکل (۶-۱۵) الف یا ب لنگر ماکزیمم را ایجاد خواهد کرد . ثابت می شود که حالت بارگذاری (الف) بحرانی تر می باشد . اما چون بار - گذاری نسبت به صفحه متقارن نمی باشد باید از روش قرینه سازی استفاده شود(شکل (۶-۱۵) ج ، د و ه) . ضریب پواسیون صفحه  $15/0$  فرض می گردد .



شکل (۶-۱۵) ب



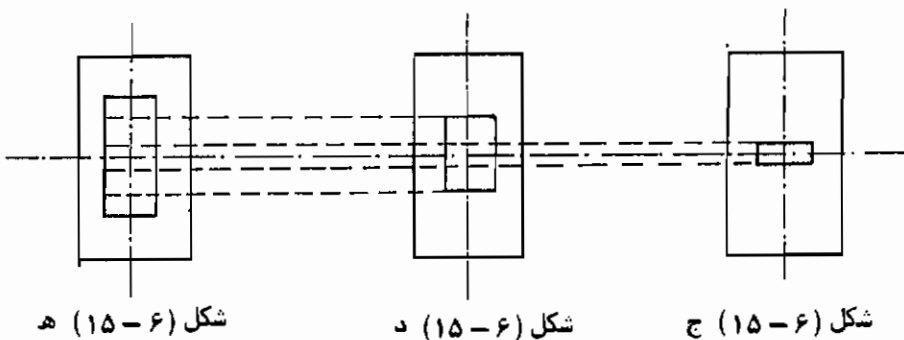
شکل (۶-۱۵) الف

ابعاد پخش شده یک چرخ کامیون عبارتند از :

$$u = 700 + 2 \times 100 + 200 = 1110 \text{ mm}$$

$$v = 200 + 2 \times 100 + 200 = 600 \text{ mm}$$

$$\rho = \frac{a}{b} = \frac{3}{6} = 0.5$$



$$A = \frac{(h)-(d)}{2} + (j)$$

$$u = 1110 \text{ mm}, v = 600 \text{ mm} \quad : \text{ شکل (ج)}$$

$$v = 1400 - 600 = 800 \text{ mm}, u = 1110 \text{ mm} \quad : \text{ شکل (د)}$$

$$u = 1400 + 600 = 2000 \text{ mm}, v = 1110 \text{ mm} \quad : \text{ شکل (ه)}$$

در هریک از سه شکل شدت بار برابراست با:

$$\omega = \frac{9 \times 9.81}{1.11 \times 0.6} = 132.567 \text{ KN/m}^2$$

$$\rho = 0.5 \quad : \text{ شکل (ج)}$$

$$\frac{u}{a} = \frac{1.110}{6.000} = 0.185$$

$$\frac{v}{b} = \frac{0.600}{3.000} = 0.2$$

با استفاده از منحنی شکل (۶-۷) داریم:

$$M_1 = 19.7 \times 10^{-2}$$

$$M_2 = 9.5 \times 10^{-2}$$

بنابراین:

$$\begin{aligned} M_a &= P(M_1 + v M_2) = (132.567 \times 1.11 \times 0.6)(0.197 + 0.15 \times 0.095) \\ &= 18.651 \text{ KN.m/m} \end{aligned}$$

$$\begin{aligned} M_b &= P(M_2 + v M_1) = (132.567 \times 1.11 \times 0.6)(0.095 + 0.15 \times 0.197) \\ &= 10.996 \text{ KN.m/m} \end{aligned}$$

شکل (د):

$$\frac{u}{a} = \frac{1.11}{6.00} = 0.185$$

$$\frac{v}{b} = \frac{0.8}{3.0} = 0.267$$

با استفاده از منحنی شکل (۶-۷):

$$M_1 = 18.5 \times 10^{-2}$$

$$M_2 = 7.25 \times 10^{-2}$$

بنابراین:

$$\begin{aligned} M_a &= (132.567 \times 0.8 \times 1.11)(0.185 + 0.15 \times 0.0725) \\ &= 23.058 \text{ KN.m/m} \end{aligned}$$

$$\begin{aligned} M_b &= (132.567 \times 0.8 \times 1.11)(0.0725 + 0.15 \times 0.185) \\ &= 11.801 \text{ KN.m/m} \end{aligned}$$

شکل (ه):

$$\cdot \quad \frac{u}{a} = \frac{2}{6} = 0.333$$

$$\frac{v}{b} = \frac{1.11}{3.00} = 0.370$$

با استفاده از منحنی مربوطه

$$M_1 = 14.5 \times 10^{-2}$$

$$M_2 = 5.2 \times 10^{-2}$$

در نتیجه:

$$\begin{aligned} M_a &= (132.567 \times 2 \times 1.11)(0.145 + 0.15 \times 0.052) \\ &= 44.969 \text{ KN.m/m} \end{aligned}$$

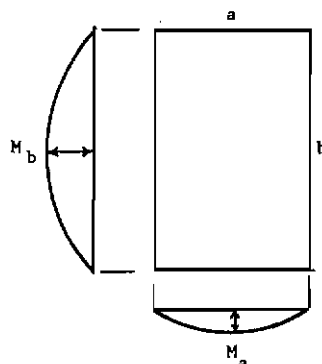
$$\begin{aligned} M_b &= (132.567 \times 2 \times 1.11)(0.052 + 0.15 \times 0.145) \\ &= 21.704 \text{ KN.m/m} \end{aligned}$$

در نتیجه با استفاده از نتایج سه شکل (ج) ، (د) و (ه) خواهیم داشت :

$$M_a = \frac{(44.969) - (23.058)}{2} + (18.651) = 29.606 \text{ KN.m/m}$$

$$M_b = \frac{(21.704) - (11.801)}{2} + (10.996) = 15.947 \text{ KN.m/m}$$

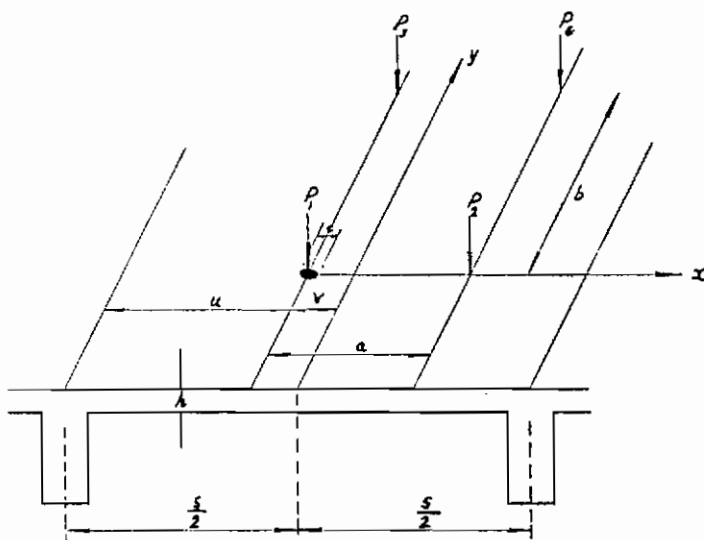
بدین ترتیب ترسیمه این لنگرها مطابق شکل (۱۶-۶) می‌باشد.



شکل (۱۶-۶) . ترسیمه لنگر خمشی طولی و عرضی مثبت در وسط دهانه‌ها با فرض تکیدگاه ساده.

## ۲- روش وسترگارد

وسترگارد تنشهای ایجاد شده در قسمت دال سازه پل را در اثر اعمال بار کامیون بدقت بررسی کرد . تحلیل وی بر اساس تئوری کلاسیک خمش دالها و نیز تئوری خاص نادیا<sup>۴</sup> که در رابطه با تنشهای ایجاد شده در محدوده زیر مساحت چرخ تحت فشار بود انجام شده است . علام بکار رفته توسط وسترگارد در شکل (۱۲-۶) نشان داده است .



شکل (۱۲-۶)

فرض اولیه در این روش برآنست که دال درجهت  $y \pm$  بدون اینکه بر روی دیافراگمی تکیه داشته باشد ، به اندازه کافی ادامه داشته باشد تا آنرا بتوان بصورت دال بینهایت فرض کرد ، ضریب پواسیون ۱۵/۰ فرض گردیده است .

(الف) لنگرهای در هر نقطه ( $y$  و  $x$ ) در اثر یک بار  $P_1$  در محل  $(-v, 0)$

$$\left. \begin{array}{l} M_x \\ M_y \end{array} \right\} = 0.10536 P_1 \log \frac{A}{B} \pm 0.10625 \frac{P_1 y}{s} \sinh \frac{\pi y}{s} \left( \frac{1}{B} - \frac{1}{A} \right)$$

$$M_{xy} = -0.10625 \frac{P_1 y}{s} \left[ \frac{1}{B} \sin \frac{\pi(x + v)}{s} + \frac{1}{A} \sin \frac{\pi(x - v)}{s} \right]$$

$$A = \cosh \frac{\pi y}{s} + \cos \frac{\pi(x - v)}{s}$$

$$B = \cosh \frac{\pi y}{s} - \cos \frac{\pi(x + v)}{s}$$

(ب) لنگرها در زیر بار یعنی در  $(-v, 0)$  برای بار  $P_1$  در  $(-V, 0)$  فرض می‌شود که بار  $P_1$  بر روی سطح دایره شکلی به قطر  $C$  بصورت پکنواخت گسترده باشد.

$$\begin{cases} M_x \\ M_y \end{cases} = 0.21072 P_1 \left[ \log \left( \frac{s}{C_1} \cos \frac{\pi v}{s} \right) + 0.32206 \right] \pm 0.03382 P_1$$

که، در صورتیکه  $C < 3.45h$  باشد، در این صورت

$$C_1 = 2 \left( \sqrt{0.4 C^2 + h^2} - 0.675h \right)$$

وقتی که بار  $P_1$  در مرکز دهانه باشد، یعنی  $v=0$ ، لنگرها با  $M_{oy}$  و  $M_{ox}$  بیان شده و توسط رابطه‌های زیر داده می‌شوند.

$$M_{ox} = 0.21072 P_1 \left( \log \frac{S}{C_1} + 0.48253 \right)$$

$$M_{oy} = M_{ox} - 0.0676 P_1$$

وستراکارد روش دیگری برای محاسبه  $M_{ox}$  پیشنهاد کرده است. این روش بر اساس عرض موئر پر یک تیر ساده قرار دارد که بار  $P_1$ ، بصورت یک بار خطی معادل اعمال شده به وسط دهانه فرض می‌گردد، اگر  $b_e$  عرض موئر باشد در اینصورت وستراکارد رابطه زیر را برای محاسبه  $b_e$  پیشنهاد می‌کند.

$$b_e = 0.58S + 2C$$

که، برای یک بار  $P_1$  در وسط دهانه به دهانه  $S$ ،

$$M_{ox} = \frac{P_1 S}{2.32S + 8C}$$

(ج) لنگرها در اثر  $P_1$  و  $P_3$  ، به فاصله $x$  از یکدیگر، در روی خط  $x=0$  از دیاد لنگرها در نقطه اعمال بار  $[P_1, 0]$  در نقطه  $(0, 0)$  در اثر  $P_3$  در نقطه  $(y, 0)$  توسط رابطه زیر داده می شود .

$$\left. \begin{array}{l} M_x \\ M_y \end{array} \right\} = 0.21072 P_3 \log (\coth \frac{\pi y}{2s}) \pm \frac{0.2125 P_3 y}{s \sinh \frac{\pi y}{s}}$$

اگر  $P_1=P_2=P$  باشد در اینصورت رابطه اخیر را برای منظور طراحی می توان مطابق زیر بیان کرد .

$$\frac{100}{1+10(\frac{y}{s})^2} \quad \text{درصد افزایش } M_{ox} \text{ در اثر } P_3 \text{ برابر است با}$$

معدلۀ مشابهی برای درصد افزایش  $M_{oy}$  وجود ندارد .

(د) لنگرها در اثر بارهای  $P_1$  و  $P_2$  به فاصله $x$  از یکدیگر در امتداد دهانه . اگر به فرض  $P_1$  در نقطه  $(0, 0)$  و  $P_2$  در نقطه  $(X, 0)$  قرار داشته باشد ، در این صورت افزایش لنگرها در نقطه  $(P_1, 0, 0)$  برابر است با

$$M_x = M_y = 0.21072 P_2 \log (\cot \frac{\pi x}{2s})$$

اگر  $P_1=P_2=P$  و فاصله بین  $P_1$  و  $P_2$  باشد ، با حرکت دادن بارها در امتداد دهانه بطول  $S$  ، ثابت می شود که لنگرهای حداکثر زمانی ایجاد خواهند شد که  $P_1$  در  $(-V, 0)$  و  $P_2$  در نقطه  $(a-V, 0)$  که  $\frac{a}{4} = V$  قرار دارند .

بنابراین ، برای دوبار ، لنگرهای حداکثر زمانی ایجاد می گردد که مرکز نقل دوبار مساوی و یکی از بارها بصورت متقارن نسبت به مرکز پل قرار داده شوند ، این موضوع برای تیزهای در بخش (۴-۴) این کتاب ثابت شده است .

حداکثر لنگر ، که زیر بار  $P_1$  بوجود می آید ، توسط رابطه زیر داده می شود :

$$M_x = M_{ox} + 0.21072 P \log \left( \frac{\cot \frac{\pi a}{4s}}{2} \right)$$

$$M_y = M_{oy} + 0.21072 P \log \left( \frac{\cot \frac{\pi a}{4s}}{2} \right)$$

در معادلات اخیر برای  $M_{Oy}$  و  $M_{Ox}$  از معادلات قسمت (ب) این بخش استفاده می‌شود.

زمانی که  $a > 0.5903S$  باید عبارت جمله دوم معادله بالا منفی می‌شود

و در نتیجه لنگر حد اکثر زمانی ایجاد می‌گردد که  $P_1$  به تنها یعنی در مرکز پل یعنی نقطه  $(0,0)$  اعمال گردد.

(ه) - لنگرها در اثر چهار بار مساوی  $P$  در نقاط  $P_1$  ،  $P_2$  ،  $P_3$  و  $P_4$  لنگرها در نقطه  $(0, \frac{a}{4})$  زیر  $P_1$  ، در اثر بارهای  $P_3$  و  $P_4$  مطابق شکل (۱۸-۶) عبارتند از :

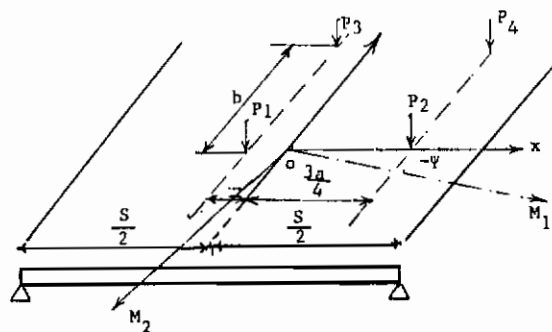
$$\left. \begin{array}{l} M_x \\ M_y \end{array} \right\} = 0.10536 P \log \frac{A^2}{B_3 B_4} \pm 0.10625 \frac{Pb}{S} \sinh \frac{\pi b}{S} \left( \frac{1}{B_3} + \frac{1}{B_4} - \frac{2}{A} \right)$$

$$M_{xy} = -0.10625 \frac{Pb}{SB_4} \sin \frac{\pi a}{S}$$

$$A = \cosh \frac{\pi b}{S} + \cos \frac{\pi a}{2S}$$

$$B_3 = \cosh \frac{\pi b}{S} - 1$$

$$B_4 = \cosh \frac{\pi b}{S} - \cos \frac{\pi a}{S}$$



شکل (۱۸-۶) علائم بکار رفته برای بار مساوی  $P_1$  ،  $P_2$  ،  $P_3$  و  $P_4$

### ۶ - ۳ اثر جابجایی تکیه‌گاهها

منظور از جابجایی تکیه‌گاه عبارت است از انتقال و یا دوران اجزاء تکیه‌گاهی که از تغییر شکل خاک زیر شالوده زیرسازی ایجاد می‌شود.

اگر سازه از نظر استاتیکی معین باشد این جابجایی نیروهای داخلی را تغییر نمی‌دهد، اما در عین حال این جابجایی باید از مقدار معینی تجاوز کند تا باعث نایابداری سازه شود. در موقع لازم باید محل تجهیزاتی را در طرح پل در نظر گرفت که وسایل تکیه‌گاهی را دوباره به حالت اول درآورد و برای این امر از جک معمولاً "استفاده می‌شود.

در سازه‌های نامعین جابجایی یک یا چند تکیه‌گاه باعث ایجاد نیروی برشی و لنگر خمی در سرتاسر طول پل می‌شود که با روش نیرو - تغییر مکان (ضمیمه ب) می‌توان برآحتی این اثرات را محاسبه کرد.

#### مثال ۱ :

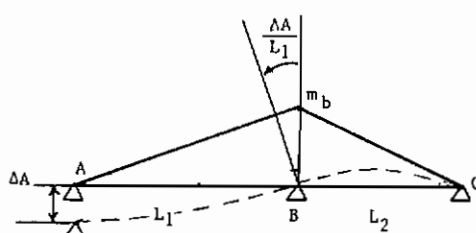
پل دو دهانه‌ای مفروض است. طول دهانه اول  $L_1$ ، سختی خمی  $E_1 I_1$  و طول دهانه دوم  $L_2$ ، سختی خمی  $E_2 I_2$  می‌باشد. در هریک از حالات زیر مطلوبست محاسبه و رسم نیروی برشی و لنگر خمی ایجاد شده در سرتاسر پل:

الف) - تکیه‌گاه سمت چپ نشست  $A$  را دارد (شکل ۶-۱۹ الف)،

ب) - تکیه‌گاه میانی نشست  $B$  را دارد (شکل ۶-۲۰ الف).

ج) - تکیه‌گاه سمت چپ نشست  $A$  و تکیه‌گاه میانی نشست  $B$  را همزمان دارند.  
(شکل ۶-۲۱ الف).

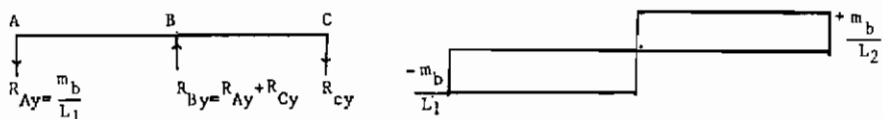
حل:  
الف



شکل (۶-۱۹ الف)

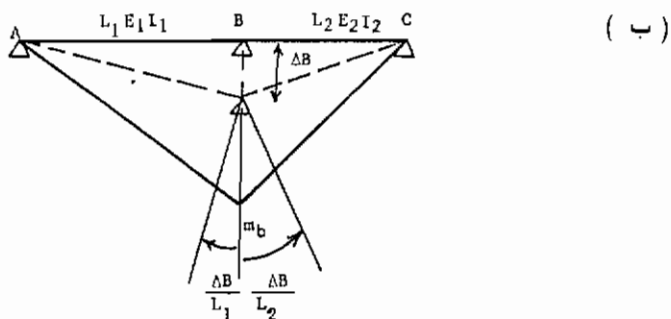
$$m_b \left( \frac{L_1}{3E_1 I_1} + \frac{L_2}{3E_2 I_2} \right) = \frac{\Delta A}{L_1} \rightarrow m_b \left( \frac{L_1 E_2 I_2 + L_2 E_1 I_1}{3E_1 I_1 E_2 I_2} \right) = -\frac{\Delta A}{L}$$

$$m_b = \frac{\Delta A}{L} \left( \frac{3E_1 I_1 E_2 I_2}{L_1 E_2 I_2 + L_2 E_1 I_1} \right)$$



شكل (۶ - ۱۹) ب عکس العملها

شكل (۶ - ۱۹) ج ترسیمه نیروی برشی

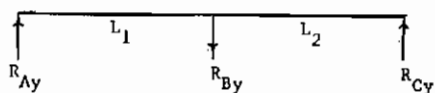


شكل (۶ - ۲۰) الف ترسیمه تغییر شکل و لنگر خمی

$$m_b \left( \frac{L_1}{3E_1 I_1} + \frac{L_2}{3E_2 I_2} \right) = \frac{\Delta B}{L_1} + \frac{\Delta B}{L_2}$$

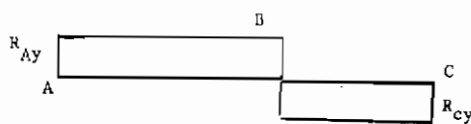
$$m_b = \frac{\left( \frac{\Delta B}{L_1} + \frac{\Delta B}{L_2} \right)}{\left( \frac{L_1}{3E_1 I_1} + \frac{L_2}{3E_2 I_2} \right)}$$

لنگر مثبت در b

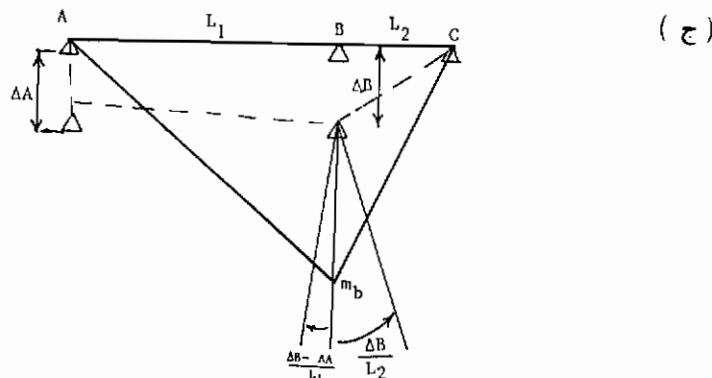


$$R_{Ay} = \frac{m_b}{L_1} \quad R_{Cy} = \frac{m_b}{L_2} \quad R_{By} = m_b \left( \frac{1}{L_1} + \frac{1}{L_2} \right)$$

شكل (۶ - ۲۰) ب عکس العملها



شکل (۶ - ۲۰) ج - ترسیمه نیروی برشی

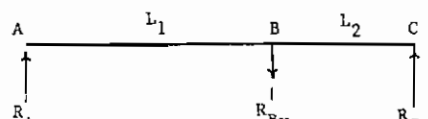


شکل (۶ - ۲۱) الف - ترسیمه تغییر شکل و لنگر خمشی با فرض  $\Delta B > \Delta A$

$$m_b \left( \frac{L_1}{3E_1 I_1} + \frac{L_2}{3E_2 I_2} \right) = \frac{\Delta B - \Delta A}{L_1} + \frac{\Delta B}{L_2}$$

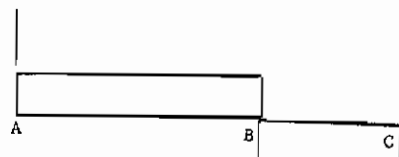
$$m_b = \frac{\left( \frac{\Delta B - \Delta A}{L_1} \right) + \left( \frac{\Delta B}{L_2} \right)}{\left( \frac{L_1}{3E_1 I_1} \right) + \left( \frac{L_2}{3E_2 I_2} \right)}$$

$$R_{Ay} = \frac{m_b}{L_1}$$



شکل (۶ - ۲۱) ب

$$R_{Cy} = \frac{m_b}{L_2}$$



$$R_{By} = \frac{m_b}{L_1} + \frac{m_b}{L_2}$$

شکل (۶ - ۲۱) ج - ترسیمه نیروی برشی

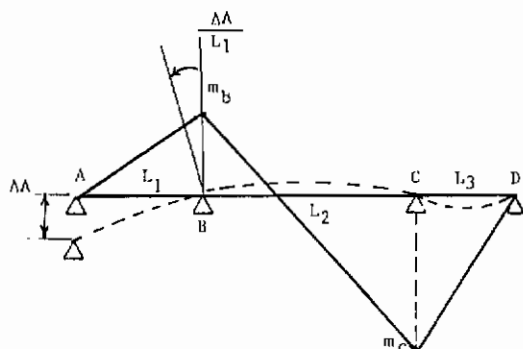
مثال ۲:

تیر سه دهانهای به دهانهای  $L_1$ ,  $L_2$  و  $L_3$  مفروض است . ترسیمه نیروهای داخلی برشی و لنگر خمی را ، در دو حالت زیر محاسبه و رسم کنید :

- (الف) - تکیهگاه کناری سمت چپ نشت  $\Delta A$  را فقط دارا باشد (شکل ۶-۲۲ الف) .  
 (ب) - یکی از تکیهگاههای میانی فقط نشت  $\Delta B$  را داشته باشد (شکل ۶-۲۲ ب) .

حل :

(الف)

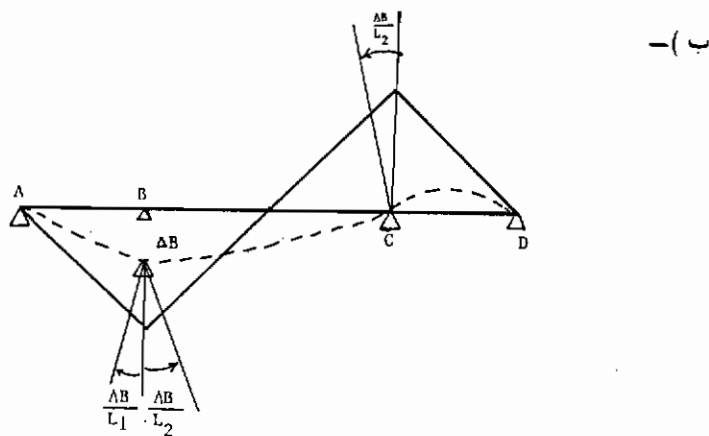


شکل (۶-۲۲) الف - ترسیمه تغییرشکل فرضی و لنگر خمی .

$$m_b \left( \frac{L_1}{3E_1 I_1} + \frac{L_2}{3E_2 I_2} \right) - m_c \left( \frac{L_2}{6E_2 I_2} \right) = \frac{\Delta A}{L_1} \quad \text{در نقطه B داریم :}$$

$$m_c \left( \frac{L_2}{3E_2 I_2} + \frac{L_3}{3E_3 I_3} \right) - m_b \left( \frac{L_2}{6E_2 I_2} \right) = 0 \quad \text{و در نقطه C داریم :}$$

با حل دو معادله دو مجهول  $m_b$  و  $m_c$  محاسبه می‌گردند . اکنون اگر در B برش بزنیم با استفاده از قطعه AB می‌توان عکس العمل  $R_{Ay}$  را محاسبه کرد . در C برش زده و با استفاده از قطعه CD عکس العمل  $R_{Dy}$  تعیین می‌گردد و اکنون با دو معادله  $\Sigma F_y = 0$  و  $\Sigma M = 0$  برای کل تیر می‌توان  $R_{By}$  و  $R_{Dy}$  را بدست آورد و در نتیجه نیروهای داخلی قابل رسم می‌باشند .



شکل (۶ - ۲۲) ب - ترسیمه منحنی ارتجاعی و لنگر خمی  $m_b$  مثبت و  $m_c$  منفی فرض شده است.

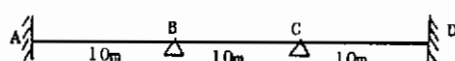
$$B: \quad m_b \left( \frac{L_1}{3E_1 I_1} + \frac{L_2}{3E_2 I_2} \right) - m_c \left( \frac{L_2}{6E_2 I_2} \right) = \frac{\Delta B}{L_1} + \frac{\Delta R}{L_2}$$

$$C: \quad m_c \left( \frac{L_2}{3E_2 I_2} + \frac{L_3}{3E_3 I_3} \right) - m_b \left( \frac{L_2}{6E_2 I_2} \right) = \frac{\Delta B}{L_2}$$

مشابه با قسمت قبل مسئله می‌توان با حل دو معادله دو مجهول  $m_b$  و  $m_c$  را حساب کرد و سپس نیروهای عکس العمل تکیه‌گاهی را تعیین کرده و سپس ترسیمه نیروی برشی را رسم کرد.

### مثال ۳:

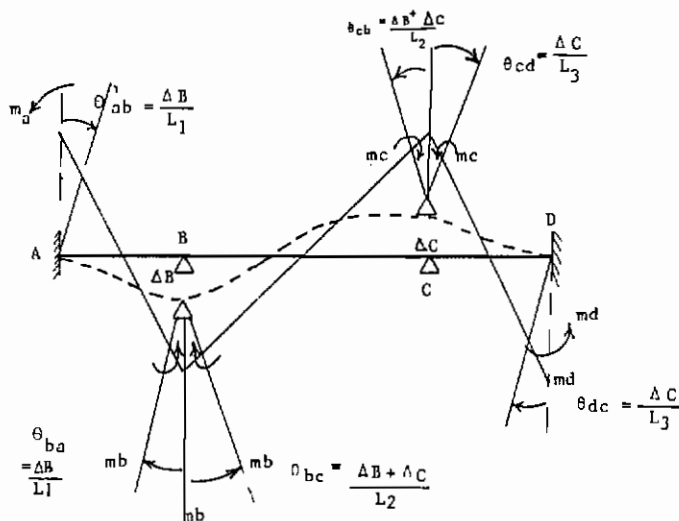
برای عبورگاه نشان داده شده در شکل زیر با جابجایی قائم تکیه‌گاه B بسمت پائین به اندازه ۱۰cm و جابجایی قائم تکیه‌گاه C بسمت بالا به اندازه ۱۰cm ترسیمه‌های نیروی برشی و لنگر خمی ایجاد شده در عبورگاه را محاسبه کنید. طول سدهانه برابر و هریک مساوی ۱۰m می‌باشد و EI هر دهانه برابر می‌باشد (شکل (۶ - ۲۳) (الف)).



شکل (۶ - ۲۳) (الف).

حل:

روش نیرو - تغییر مکان را بکار برد و ابتدا تغییرشکل فرضی و سپس ترسیمه لنگر خمی فرضی در اثر نشست تکیه‌گاهها را تعیین می‌نماییم، شکل (۲۳-۶) ب.



شکل (۶-۲۳) ب.

$$A \longrightarrow m_a \left( \frac{L_1}{3EI_1} \right) - m_b \left( \frac{L_1}{6EI_1} \right) = \theta_{ab} = \frac{\Delta B}{L_1}$$

$$B \longrightarrow m_b \left( \frac{L_1}{3EI_1} + \frac{L_2}{3EI_1} \right) - m_a \left( \frac{L_1}{6EI_1} \right) - m_c \left( \frac{L_2}{6EI_2} \right) = \theta_{ba} + \theta_{bc} \\ = \frac{\Delta B}{L_1} + \frac{\Delta B + \Delta C}{L_2}$$

$$C \longrightarrow m_c \left( \frac{L_2}{3EI_3} + \frac{L_3}{3EI_3} \right) - m_b \left( \frac{L_2}{6EI_2} \right) - m_d \left( \frac{L_3}{6EI_3} \right) \\ = \theta_{cb} + \theta_{cd} = \frac{\Delta B + \Delta C}{L_2} + \frac{\Delta C}{L_3}$$

$$D \longrightarrow m_d \left( \frac{L_3}{3EI_3} \right) - m_c \left( \frac{L_3}{6EI_3} \right) = \Theta_{dc} = \frac{\Delta C}{L_3}$$

$$L_1 = L_2 = L_3 = L , \quad EI_1 = EI_2 = EI_3 = EI , \quad \Delta_B = \Delta_C = \Delta$$

$$m_a = m_d = \frac{36 \Delta EI}{5L^2} , \quad m_b = m_c = \frac{42 \Delta EI}{5L^2} \\ = 7.2 \left( \frac{\Delta EI}{L^2} \right) \quad \quad \quad = 8.4 \left( \frac{\Delta EI}{L^2} \right)$$

$$L = 10 \text{ m} , \quad \Delta = 10 \text{ cm}$$

$$m_a = m_d = 7.2 \times \frac{100}{10000^2} EI = 7.2 EI \times 10^{-6} \text{ N.m.m}$$

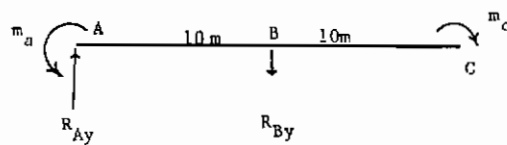
$$m_b = m_c = 8.4 \times \frac{100}{(10000)^2} EI = 8.4 EI \times 10^{-6} \text{ N.m.m}$$



$$\sum M_B = 0 \longrightarrow R_{Ay} = \frac{(7.2 + 8.4)EI \times 10^{-6}}{10 \times 1000}$$

$$R_{Ay} = (15.6)EI \times 10^{-10} \text{ N}$$

$$R_{Ay} = 15.6 \frac{EI}{L^3} \Delta$$

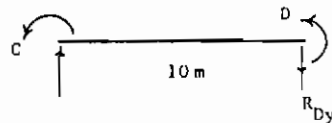


$$\sum M_C = 0 \longrightarrow R_{By} \times 10 \times 10^3 + 7.2 \times 10^{-6} EI$$

$$= 15.6 \times 10^{-10} EI \times 20 \times 10^3 + 8.4 EI \times 10^{-6}$$

$$R_{By} = (31.2 - 7.2 + 8.4) \times 10^{-6} EI \times 10^{-4} = 32.4 EI \times 10^{-10} \text{ N}$$

$$R_{Ay} = 32.4 \frac{EI}{L^3} \Delta$$



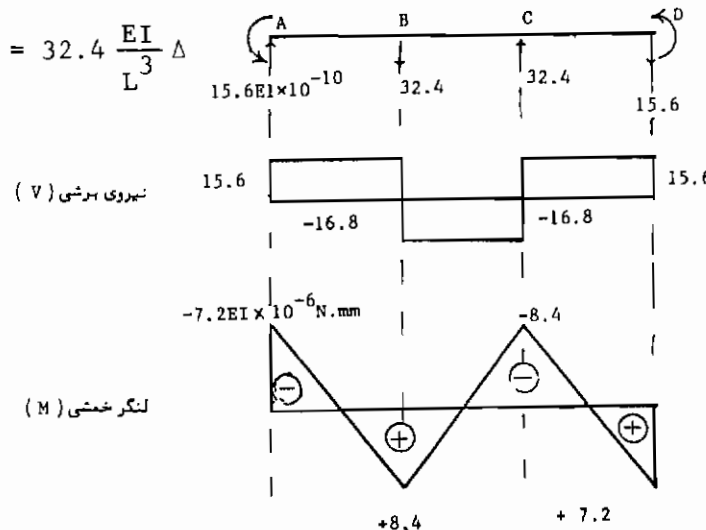
$$\sum M_C = 0 \longrightarrow R_{Dy} \times 10 \times 10^3 = (8.4 + 7.2) EI \times 10^{-6}$$

$$R_{Dy} = 15.6 EI \times 10^{-10} \text{ N}$$

$$R_{Dy} = 15.6 \frac{EI}{L^3} \Delta$$

$$\sum F_y = 0 \longrightarrow R_{cy} = 32.4 EI \times 10^{-10} \text{ N}$$

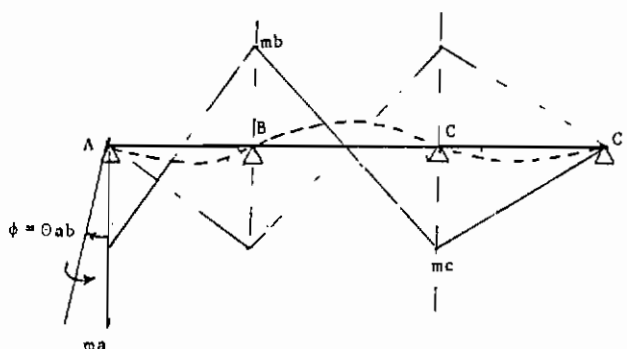
$$R_{cy} = 32.4 \frac{EI}{L^3} \Delta$$



شکل (۶-۲۳) ج، د و ه

## مثال ۴:

پل سه دهانه‌ای بعد مانه‌های مساوی هریک برابر  $10\text{ m}$  مفروض است . اگر تکیه‌گاه کناری دورانی برابر ا درجه را در جهت عقربه‌های ساعت داشته باشد . ترسیمه نیروهای داخلی برشی و خمشی را تعیین کنید .



حل:

شکل (۶-۲۴) الف

$$A \longrightarrow m_a \left( \frac{L_1}{3EI_1} \right) - m_b \left( \frac{L_1}{6EI_1} \right) = \phi$$

$$B \longrightarrow m_b \left( \frac{L_1}{3EI_1} + \frac{L_2}{3EI_2} \right) - m_a \left( \frac{L_1}{6EI_1} \right) - m_c \left( \frac{L_2}{6EI_2} \right) = 0$$

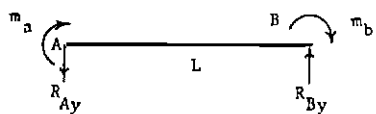
$$C \longrightarrow m_c \left( \frac{L_2}{3EI_2} + \frac{L_3}{3EI_3} \right) - m_b \left( \frac{L_2}{6EI_2} \right) = 0$$

$$L_1 = L_2 = L_3 = L \quad , \quad EI_1 = EI_2 = EI_3 = EI$$

$$m_a = \frac{45}{13} \frac{EI}{L} \phi \quad , \quad m_b = \frac{12}{13} \frac{EI}{L} \phi \quad , \quad m_c = \frac{3}{13} \frac{EI}{L} \phi$$

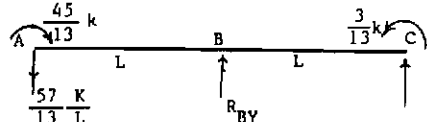
$$K = \frac{EI}{L} \phi \quad , \quad m_a = \frac{45}{13} K \quad , \quad m_b = \frac{12}{13} K \quad , \quad m_c = \frac{3}{13} K$$

$$\sum M_B = 0 \longrightarrow R_{Ay} = \frac{57}{13} \frac{k}{L}$$

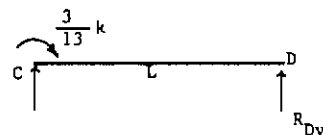


$$\sum M_C = 0 \longrightarrow R_{By} = \frac{57}{13} \frac{k}{L} \times 2L + \frac{3}{13} k - \frac{45}{13} k$$

$$R_{By} = \frac{72}{13} \frac{k}{L}$$



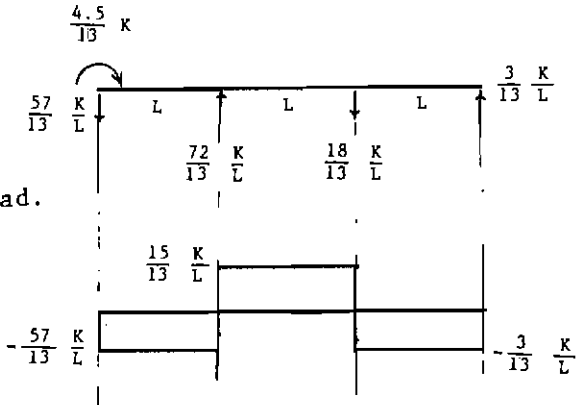
$$\sum M_C = 0 \longrightarrow R_{Dy} = \frac{3}{13} \frac{k}{L}$$



$$K = \frac{EI}{L} \phi$$

$$\phi = 10^\circ = \frac{10 \times \pi}{180} = \frac{\pi}{18} \text{ rad.}$$

$$L = 10 \text{ m}$$



شکل (۶-۲۴-ب و ج)

## ۶-۴ اثر تغییرات درجه حرارت در سطح مقطع عبورگاه

### مقدمه

سازه حفاظت نشده پلها در طول عمر خود تحت عوامل طبیعی پیچیده متغیری بر حسب زمان قرار می‌گیرند . عوامل تغییردهنده درجه حرارت اعمال شده به پلها عبارتند از : درجه حرارت هوای اطراف سازه ، میزان تشعشعت خورشید بر سازه ، سرعت باد، رطوبت هوای اطراف سازه و غیره . . . بطورکلی تغییرات درجه حرارت محیط در اثر تابش مستقیم خورشید تابع دو سیکل کلی می‌باشد . سیکل اول مربوط به تغییرات درجه حرارت در طی یک شبانه روز بوده و دیگری مربوط به تغییرات درجه حرارت در طی یک سال می‌باشد . سیکل شبانروزی تغییرات درجه حرارت به عواملی چون میزان تشعشعت خورشید ، وجود ابر، باد و جریانهای هوای گرم یا سرد در منطقه دارد . میزان تشعشعت در این سیکل بستگی به زاویه تابش خورشید با سطح منطقه دارد که حداکثر آن در وسط روز اتفاق می‌افتد . از طرفی درجه حرارت محیط قبل از طلوع آفتاب به حداقل کاهش می‌یابد . در سیکل سالی گرمای حاصل از تابش خورشید زمانی حداکثر است که فاصله خورشید از زمین به حداقل برسد و مدت تابش یعنی طول روز حداکثر باشد که این وضعیت در اوایل تابستان منطقه اتفاق می‌افتد .

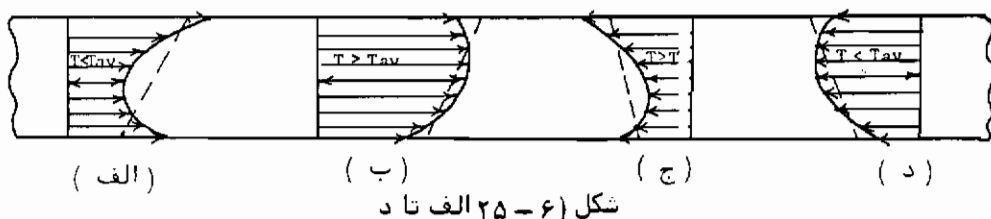
عوامل ذکر شده در بالا به علاوه پارامترهای دیگری در رابطه با سازه پل از جمله شکل سطح مقطع ، محل جغرافیائی و نحوه قرارگیری پل ، خواص حرارتی مصالح پل و حرارت حاصل از هیدراته شدن سیمان در صورت موجود بودن ، باعث ایجاد پروفیل درجه حرارت در سطح مقطع عبورگاه می‌گردد . این گسترش تغییر درجه حرارت ممکن است مثبت (عمولاً در تابستان) یا منفی (عمولاً در زمستان) باشد که هریک گسترش تنشهای حرارتی متفاوتی را در مقطع عبورگاه پلهای معین و نامعین بوجود می‌آورند . در تحلیل تنشهای موجود در مقطع باید تنشهای حرارتی را با تنشهای حاصل از سایر بارها از جمله بار مرده، بار زنده و غیره جمع جبری کرد و سپس مقطع را طرح کرد .

### پروفیل درجه حرارت در سطح مقطع عبورگاه

عبورگاه یک پل همواره در حال جذب و دفع حرارت است . در طی روز ، مخصوصاً "در تابستان" ، حرارت جذب شده بیش از حرارت دفع شده می‌باشد که باعث افزایش درجه حرارت می‌گردد . در شب عکس این موضوع صادق است و درجه حرارت سازه کاهش می‌یابد . اگر قسمتی از یک عضو را که تحت اثر اعمال درجه حرارت ، مثلًا "تابش اشعه خورشید

قرار گرفته در نظر بگیریم ابتدا بدلیل جذب حرارت توسط مصالح درجه<sup>۰</sup> حرارت سطحی آن افزایش می‌باید. این افزایش، در صورت موجود بودن منبع حرارت، تا زمانی ادامه‌خواهد داشت که گرمای جذب شده در واحد زمان توسط عضو برابر با گرمای دفع شده از آن باشد که در این صورت شرایط وضعیت پایدار حرارتی بوجود می‌آید. در این وضعیت نمودار تغییرات درجه<sup>۰</sup> حرارت در عمق مصالح را می‌توان بیان کرد.

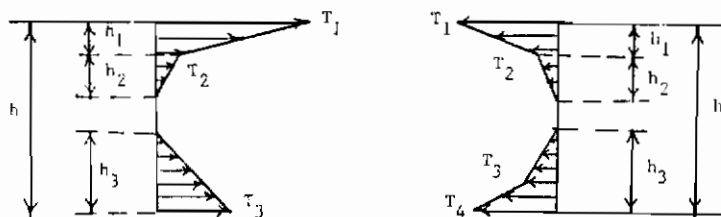
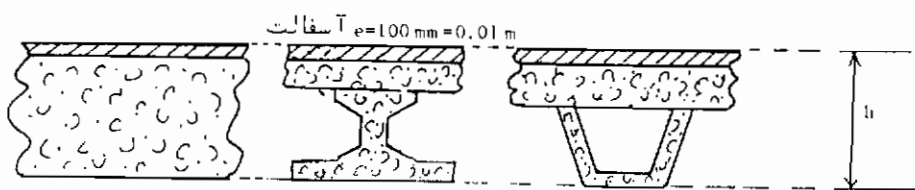
بدلیل اینکه حرارت جذب شده و دفع شده از یک عبورگاه به عواملی متغیر زیادی بستگی دارد و نیز انتقال حرارت توسط بتون از یک نقطه به نقطه "دیگر نسبتاً" کند انجام می‌گیرد، تغییرات درجه<sup>۰</sup> حرارت در سطح مقطع عبورگاه غیر خطی است. با این گونه‌گشترش درجه<sup>۰</sup> حرارت تنشهای حرارتی در پلها معین بوجود می‌آید. نمونه‌ای از این گونه گشترش درجه<sup>۰</sup> حرارت در شکل (۲۵-۶) (الف) تا د ملاحظه می‌شود. شکل (۲۵-۶) (الف) و (ب) تغییرات مثبت درجه حرارت را نشان می‌دهد که در اولی درجه حرارت در وسط مقطع  $T$  کوچکتر از درجه حرارت متوسط  $T_{av}$  می‌باشد و در شکل (ب) درجه حرارت  $T$  بزرگ‌تر از درجه حرارت  $T_{av}$  است. همان‌گونه که بعداً "با محاسبه نشان داده خواهد شد در پلها معین برای حالتی که  $T < T_{av}$  باشد بطورکلی در بالا و پائین مقطع تنشهای فشاری و درناوی وسط مقطع تنشهای کششی ایجاد می‌گردد. در حالتی که  $T > T_{av}$  باشد عکس این اتفاق می‌افتد. شکل (ج) و (د) تغییرات منفی درجه حرارت را نشان می‌دهد که در شکل (ج)  $T > T_{av}$  و در شکل (د)  $T < T_{av}$  می‌باشد.



شکل (۶-۲۵) الف تا د

در آئین نامه پل‌سازی کشور آمریکا آشتو (AASHTO) از گشترش تغییرات درجه حرارت در سطح مقطع پلها صرفنظر شده است و فقط یک سری تغییرات درجه حرارتی عددی را برای پیش‌بینی انبساط و انقباض کل عبورگاه پیشنهاد کرده است.

در آئین نامه ۵۱۹ اداره راه و تراپری کشور ایران نیز از این موضوع صرفنظر شده است. آئین نامه جدید پل‌سازی کشور انگلستان ۵۴۰۰ BS در بخش دوم که مربوط به بارهای وارد بر سازه پل می‌باشد گشترش درجه حرارت در سطح مقطع پلها از جمله پلهاي بتونی که مورد بحث این کتاب است مطابق شکل (۶-۶) پیشنهاد کرده است.



$$h_1 = 0.3 h \leq 0.15 \text{ m}$$

$$h_1 = h_4 = 0.2h \leq 0.25 \text{ m}$$

$$h_2 = 0.3 h \geq 0.10 \text{ m}$$

$$h_2 = h_3 = 0.25h \leq 0.2 \text{ m}$$

$$\leq 0.25 \text{ m}$$

$$h_3 = 0.3 h \leq (0.1 \text{ m} + e)$$

(تغییرات منفی درجه حرارت)

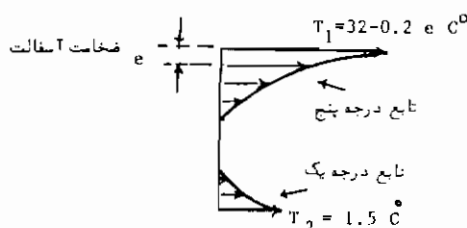
$h(\text{m})$	$T_1(\text{C}^\circ)$	$T_2(\text{C}^\circ)$	$T_3(\text{C}^\circ)$	$T_4(\text{C}^\circ)$
$\leq 0.2$	2.0	0.5	0.5	1.5
0.4	4.5	1.4	1.0	3.5
0.6	6.5	1.8	1.5	5.0
0.8	7.6	1.7	1.5	6.0
1.0	8.0	1.5	1.5	6.3
$\geq 1.5$	8.4	0.5	1.0	6.5

## (تغییرات مثبت درجه حرارت)

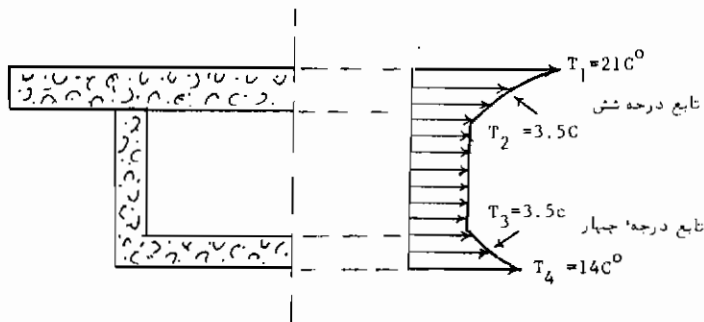
$h(m)$	$T_1(^{\circ}C)$	$T_2(^{\circ}C)$	$T_3(^{\circ}C)$
$\leq 0.2$	8.5	3.5	0.5
0.4	12.0	3.0	1.5
0.6	13.0	3.0	2.0
$>0.80$	13.5	3.0	2.5

شکل (۶ - ۲۶) گسترش  $T$  در سطح مقطع پلهای بتُنی طبق BS

اگرچه آئین نامه BS تغییرات خطی درجه حرارت را پیشنهاد می‌کند اما در عمل همانگونه که قبلاً ذکر شد تابع تغییرات درجه حرارت در سطح مقطع عبورگاه غیرخطی است. به عنوان مثال تغییرات درجه حرارت برای پلی بتُنی با مقطع قوطی ساخته شده در زلاند نو مطابق شکل (۶ - ۲۷) فرض شده است.

شکل (۶ - ۲۷) تابع  $T$  برای پلی بتُنی در زلاند نو

اما در تحلیل تنشهای حرارتی در پلهای بتُنی با مقطع قوطی می‌توان از تابع  $T$  شکل (۶ - ۲۸) نیز استفاده کرد. این نوع تغییرات  $T$  معمولاً "بدترین وضعیت آب و هوایی منطقه" را بیان می‌کند.



شکل (۲۸ - ۶)

در عمل در پلهاي با مقطع قوطی برای يكسان کردن درجه حرارت داخل قوطی و خارج آن از سیستمهای مجهز تهیه استفاده می شود که در این صورت تنشهای حرارتی ایجاد شده در مقطع اين گونه عبورگاهها تا حد زیادی کاهش پیدا می کند .

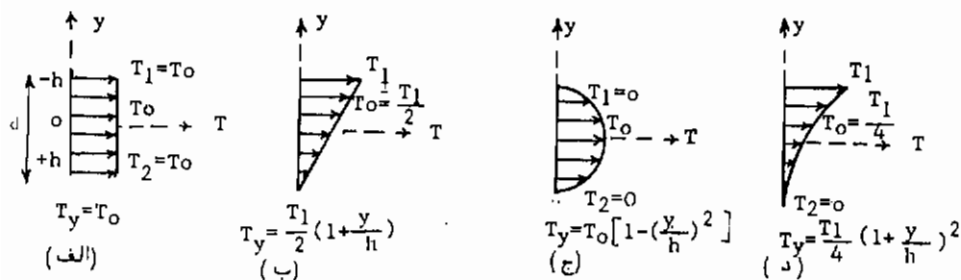
#### تنشهای حرارتی در پلهاي معین

در پلهاي معین تنشهای حرارتی بستگی به تابع تغیيرات درجه حرارت در سطح مقطع عبورگاه ، ضریب انساط حرارتی (  $\alpha$  ) برابر  $10^{-6} \times 12^{\circ}\text{C}$  برای مصالح بتن می باشد ، ضریب ارجاعی مصالح بکار برده شده در ساخت عبورگاه ( E ) و ابعاد مقطع عرضی دارد . روشهاي زير را می توان برای محاسبه تنشهای حرارتی بکار برد :

روش ۱ - در اين روش رابطه کلي زير برای محاسبه تنشهای حرارتی بکار برده می شود .

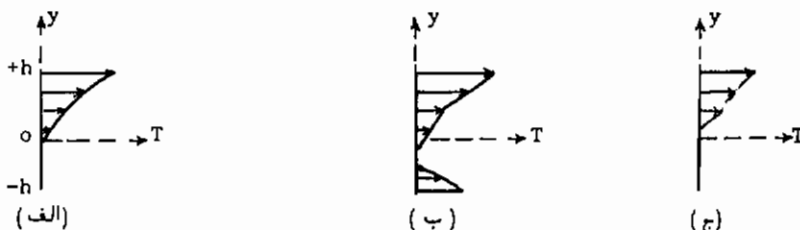
$$\sigma_x = \alpha \cdot E \left[ -T_y + \frac{1}{2h} \int_{-h}^{+h} T_y \cdot dy + \frac{3y}{2h^3} \int_{-h}^{+h} T_y \cdot y \cdot dy \right]$$

در رابطه بالا ارتفاع مقطع  $2h$  فرض شده و  $y$  از مرکز سطح مقطع بطرف بالا مشبت و بطرف پائين منفي در نظر گرفته می شود .  $T_y$  معادله تغیيرات درجه حرارت در سطح مقطع عبورگاه می باشد که برای توجيه از اشكال ساده شکل ( ۲۹ - ۶ ) استفاده می شود و تابع  $T_y$  برای هر کدام نوشته می شود .



شكل (٦-٢٩) چند پروفیل ساده تغییرات درجه حرارت

اگر پروفیل درجه حرارت  $T_y$  نسبت به محور عضو متقاضن باشد ، مثل اشکال (۶-۲۹) الف و چهارم ، در اینصورت از جمله سوم داخل کروشه صرفنظر می شود ، در غیر اینصورت تمام جملات در محاسبه  $\chi_5$  در نظر گرفته می شوند . باید توجه داشت که رابطه فوق را فقط زمانی می توان بکاربرد که پروفیل  $T_y$  بصورت یکواخت در عمق عضو وجود داشته باشد . بنابراین اگر ناتایع  $T_y$  مطابق اشکال (۶-۳۰) الف تاج باشد از این روش نمی توان استفاده کرد .



شکل (۶ - ۳۰) - مواردی که نمی‌توان روش ۱ را بکار برد:

三

نتش حرارتی حاصل از هریک از توابع  $T_y$  نشانده شده در اشکال (۲۹-۶) اعمال شده بهتری با دهانه ساده و ضخامت  $2h$  را محاسبه کنید.

حل:

برای شکل (۲۹-۶) الف که در آن  $T_y = T_o$  تابعی متقارن می‌باشد داریم:

$$\begin{aligned}\sigma_x &= \alpha E \left[ -T_o + \frac{1}{2h} \int_{-h}^{+h} T_y dy \right] \\ &= \alpha E \left[ -T_o + \frac{T_o}{2h} (y) \Big|_{-h}^h \right] \\ \sigma_x &= \alpha E \left[ -T_o + \frac{T_o}{2h} (h - -h) \right] = 0\end{aligned}$$

یعنی تابع  $T_y = T_o$  هیچگونه تنشی را در تیز مذکور ایجاد نخواهد کرد.  
در شکل (۲۹-۶) ب تابع  $T_y$  نامتقارن بوده و برابر است با  $T_y = \frac{T_1}{2} (1 + \frac{y}{h})$  بنابراین:

$$\begin{aligned}\sigma_x &= \alpha E \left[ -\frac{T_1}{2} \left(1 + \frac{y}{h}\right) + \frac{T_1}{4h} \int_{-h}^h \left(1 + \frac{y}{h}\right) dy + \frac{3v T_1}{4h^3} \int_{-h}^h \left(1 + \frac{y}{h}\right) y dy \right] \\ &= \alpha E \frac{T_1}{2} \left[ -1 - \frac{y}{h} + \frac{1}{2h} \left(y + \frac{y^2}{2h}\right) \Big|_{-h}^h + \frac{2y}{2h} \left(\frac{y^2}{2} + \frac{y^3}{3h}\right) \Big|_{-h}^h \right] \\ &= \alpha E \frac{T_1}{2} \left[ -1 - \frac{y}{h} + \frac{1}{2h} \left(h + \frac{h^2}{2h} + h - \frac{h^2}{2h}\right) + \frac{3y}{2h} \left(\frac{h^2}{2} + \frac{h^3}{3h} - \frac{h^2}{2}\right. \right. \\ &\quad \left. \left. + \frac{h^3}{3h}\right) \right] \\ &= \alpha E \frac{T_1}{2} \left[ -1 - \frac{y}{h} + 1 + \frac{y}{h} \right] = 0\end{aligned}$$

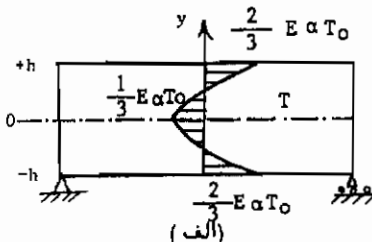
شکل (۲۹-۶) ج که تابعی متقارن نیز می‌باشد پس:

$$\sigma_x = \alpha E \left[ -T_o \left(1 - \frac{y^2}{h^2}\right) + \frac{1}{2h} \int_{-h}^h T_o \left(1 - \frac{y^2}{h^2}\right) dy \right]$$

$$\begin{aligned}
 &= \alpha ET_0 \left[ -1 + \frac{y^2}{h^2} + \frac{1}{2h} \left( y - \frac{y^3}{3h^2} \right) \Big|_{-h}^h \right] \\
 &= \alpha ET_0 \left[ -1 + \frac{y^2}{h^2} + \frac{1}{2h} \left( h - \frac{h^3}{3h^2} + h - \frac{h^3}{3h^2} \right) \right] \\
 &= \alpha ET_0 \left[ -1 + \frac{y^2}{h^2} + \frac{1}{2h} \left( 2h - \frac{2}{3}h \right) \right] \\
 &= \alpha ET_0 \left[ -\frac{1}{3} + \frac{y^2}{h^2} \right]
 \end{aligned}$$

نتایج در شکل (۶-۳۱) نشان داده شده است.

$$\begin{cases} y = \pm h \\ \sigma_x = +\frac{2}{3} E \alpha T_0 \\ y = 0 \\ \sigma_x = -\frac{1}{3} E \alpha T_0 \end{cases}$$



شکل (۶-۳۱) نمایش  $\sigma_x$  برای حالت شکل (۶-۲۹) ج.

و بالاخره تابع  $T_y$  در شکل (۶-۲۹) د عبارت است از  $T_y = \frac{T_1}{4} \left( 1 + \frac{y}{h} \right)^2$  که تابعی متقارن است بنابراین:

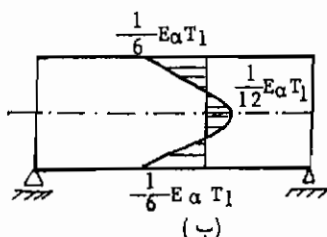
$$\begin{aligned}
 \sigma_x &= \alpha E \left[ -\frac{T_1}{4} \left( 1 + \frac{y}{h} \right)^2 + \frac{1}{2h} \int_{-h}^h \frac{T_1}{4} \left( 1 + \frac{y}{h} \right)^2 \cdot dy + \frac{3y}{2h^3} \right. \\
 &\quad \left. \int_{-h}^h \frac{T_1}{4} \left( 1 + \frac{y}{h} \right)^2 \cdot y \cdot dy \right] \\
 &= \alpha E \frac{T_1}{4} \left[ -\left( 1 + \frac{y^2}{h^2} + \frac{2y}{h} \right) + \frac{1}{2h} \left( y + \frac{y^3}{3h^2} + \frac{2y^2}{2h} \right) \Big|_{-h}^h \right]
 \end{aligned}$$

$$\begin{aligned}
 & + \frac{3y}{2h^3} \left( -\frac{y^2}{2} + \frac{y^4}{4h^2} + \frac{2y^3}{3h} \right) \frac{h}{-h} ] \\
 & = \alpha E \frac{T_1}{4} \left[ -1 - \frac{y^2}{h^2} - \frac{2y}{h} + \frac{1}{2h} \left( h + \frac{h^3}{3h^2} + \frac{h^2}{h} + h + \frac{h^3}{3h^2} - \frac{h^2}{h} \right) \right. \\
 & \quad \left. + \frac{3y}{2h^3} \left( \frac{h^2}{2} + \frac{h^4}{4h^2} + \frac{2h^3}{3h} - \frac{h^2}{2} - \frac{h^4}{4h^2} + \frac{2h^3}{3h} \right) \right] \\
 & = \alpha E \frac{T_1}{4} \left[ -1 - \frac{y^2}{h^2} - \frac{2y}{h} + \frac{1}{2h} \left( 2h + \frac{2}{3}h \right) + \frac{3y}{2h^3} \left( \frac{4}{3}h^2 \right) \right] \\
 & = \alpha E \frac{T_1}{4} \left[ -1 - \frac{y^2}{h^2} - \frac{2y}{h} + \frac{4}{3} + 2 \frac{y}{h} \right] \\
 & = \alpha E \frac{T_1}{4} \left( \frac{1}{3} - \frac{y^2}{h^2} \right)
 \end{aligned}$$

بنابراین :

نتایج در شکل (۳۲-۶) نشان داده شده است.

$$\left| \begin{array}{l} y = \pm h \\ \sigma_x = -\frac{1}{6} E \alpha T_1 \\ y = 0 \\ \sigma_x = \frac{1}{12} E \alpha T_1 \end{array} \right.$$



شکل (۳۲-۶) نمایش  $\sigma_x$  برای حالت شکل (۳۲-۵)

## روش ۲

در این روش تنش حاصل از حرارت در دو مرحله محاسبه می‌گردد و سپس نتایج در

طی مرحلهٔ بعدی با هم جمع جبری می‌شوند . این روش را می‌توان برای حالاتی که تابع  $T_y$  نیز نامتقارن است بکار برد .

مرحلهٔ اول - با اعمال نیروهای خارجی لازم از تغییرشکل عضو در اثر تغییرات درجه حرارت جلوگیری می‌شود و از این طریق تنש‌های داخلی که در اثر اعمال نیروهای خارجی  $E \propto T_y$  و نیز درجهٔ حرارت می‌باشد محاسبه می‌گردد . این تنش را  $1_5$  می‌نامیم که برابر  $T_y$  می‌باشد .

مرحلهٔ دوم - اکنون نیروهای اعمال شده خارجی در مرحلهٔ دوم را با اعمال نیروهای مخالف آنها حذف می‌نماییم و بدین ترتیب تنش‌های حاصل از نیروهای خارجی که مخالف حالت اول می‌باشد تعیین می‌گردد . این تنش را  $2_5$  برای نیروی محوری و  $3_5$  حاصل از خمش فرض می‌کنیم .

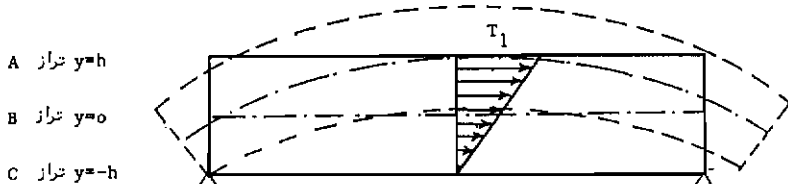
مرحلهٔ سوم - تنش‌های حاصل از مرحلهٔ اول و دوم با هم جمع جبری می‌شوند تا فقط تنش‌های حاصل از تغییرات درجهٔ حرارت محاسبه گردد . این تنش را  $5_5$  می‌نامیم . بنابراین تنش حاصل از این سه مرحله برابر است با :

$$\sigma_x = \sigma_1 + \sigma_2 + \sigma_3$$

#### مثال ۱

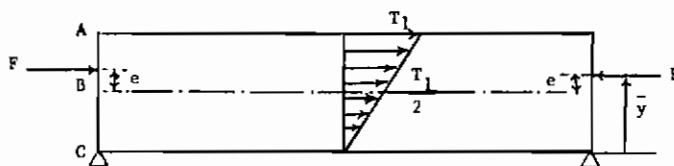
تنشی‌ای حرارتی حاصل از تابع خطی  $T_y$  نشان داده شده در شکل (۶-۲۹) ب را مجدداً "با این روش محاسبه کنید . عرض تیر را  $b$  فرض کنید .

حل - تغییرشکل تیر تحت اثر  $T_y$  خطی مطابق شکل (۶-۳۳) الف می‌باشد .



شکل (۶-۳۳) الف تغییرشکل تیر

مرحلهٔ ۱ - نیروهای خارجی طوری به تیر AB وارد می‌شوند تا از افزایش طول و خمش تیر در اثر  $T_y$  جلوگیری شود ، شکل (۶-۳۳) ب .



شکل (۳۳-۶) ب

در واحد طول تنש حاصل از درجه حرارت برابر است با

$$\sigma_1 = -E \alpha T_y$$

بس

$$\sigma_{1A} = -E \alpha T_1$$

در تراز A

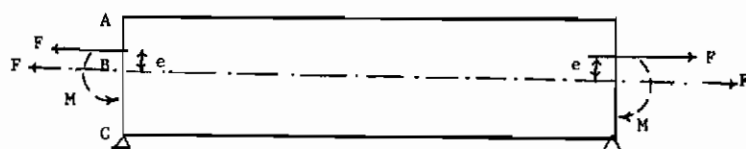
$$\sigma_{1B} = -E \alpha \frac{T_1}{2}$$

در تراز B

در تراز C

$$\sigma_{1C} = 0$$

مرحله ۲ - در این مرحله نیروهای خلاف مرحله ۱ به تیر اعمال می‌گردد و تنشها محاسبه می‌گردند.



شکل (۳۳-۶) ج

اگر نیروی F در شکل (۳۳-۶) ج را به محور تیر انتقال دهیم کوپلی نیز در تیر بوجود می‌آید.

$$F = \int_A \sigma_1 \cdot dA = \left( \frac{E \alpha T_1}{2} \right) (b \times 2h) = E \alpha T_1 b h$$

نیروی کششی

$$\sigma_{2A} = +\frac{F}{A} = \frac{E \alpha T_1 b h}{2 b h} = \frac{E \alpha T_1}{2} = \sigma_{2B} = \sigma_{2C}$$

بنابراین

کوپل حاصل از انتقال F به محور تیر می‌باشد و e خروج از مرکز که با استفاده از گسترش

$T_y$  و شکل سطح مقطع تیر با روش کلی انتگرال قابل محاسبه است:

$$B_e = \frac{\int_A \sigma_1 \cdot dA \cdot y}{F}$$

$$e = \frac{1}{3} h$$

$$M = F \cdot e$$

$$M = (E \alpha T_1 b h) \left( \frac{1}{3} h \right) = E \alpha T_1 \frac{bh^2}{3}$$

بنابراین

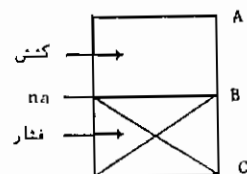
لنگر منفی

اگون تنش حاصل از این خمچ  $M$  را  $\sigma_3$  می نامیم که از رابطه کلی خمچ  $\sigma = \frac{My}{I}$  قابل محاسبه است:

$$\sigma_{3A} = \frac{(E \alpha T_1 \frac{bh^2}{3})(h)}{\frac{b(2h)^3}{12}} = \frac{1}{2} E \alpha T_1$$

$$\sigma_{3B} = 0$$

$$\sigma_{3C} = -\frac{(E \alpha T_1 \frac{bh^2}{3})(h)}{\frac{b(2h)^3}{12}} = -\frac{1}{2} E \alpha T_1$$



مرحله ۳ - نتایج محاسبات دومرحله فوق را می توان مستقیماً در جدول مشابه جدول (۱-۶) نوشت و از روی آن تنشهای نهائی را محاسبه کرد.

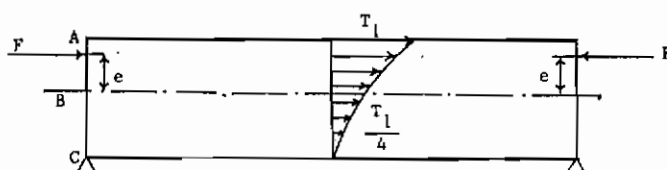
تراز	y	$\sigma_1 = -E \alpha T_y$	$\sigma_2 = F/A$	$\sigma_3 = My/I$	$\sigma_x = \sigma_1 + \sigma_2 + \sigma_3$
A	+h	$-E \alpha T_1$	$+ E \alpha T_1 / 2$	$+ E \alpha T_1 / 2$	0
B	0	$-E \alpha T_1 / 2$	$+ E \alpha T_1 / 2$	0	0
C	-h	0	$+ E \alpha T_1 / 2$	$- E \alpha T_1 / 2$	0

جدول (۱-۶)

## مثال ۲.

تش حاصل از  $T_y = \frac{T_1}{4}(1 + \frac{y}{h})^2$  که مربوط به شکل (۶-۲۹) د می باشد را محاسبه کنید.

حل:



شکل (۶-۲۹) الف - مرحله اول



شکل (۶-۲۹) ب - مرحله دوم

$$\begin{aligned}
 F &= + \int_A \sigma_1 \cdot dA = E\alpha \int_A T_y \cdot dA = E\alpha b \int_{y=-h}^{y=h} T_y \cdot dy \\
 &= E\alpha b \int_{y=-h}^{y=h} \frac{T_1}{4} \left(1 + \frac{y}{h}\right)^2 \cdot dy = E\alpha b \frac{T_1}{4} \int_{-h}^h \left(1 + \frac{y^2}{h^2} + \frac{2y}{h}\right) \cdot dy \\
 &= E\alpha b \frac{T_1}{4} \left[ y + \frac{y^3}{3h^2} + \frac{y^2}{h} \right]_{-h}^h \\
 &= E\alpha b \frac{T_1}{4} \left[ h + \frac{h}{3} + h + h + \frac{h}{3} - h \right] \\
 &= \frac{2}{3} E\alpha T_1 b h
 \end{aligned}$$

نتایج تش حاصل در جدول (۶-۲۹) محاسبه شده است.

$$M = \int_A \sigma_1 \cdot dA \cdot y = E\alpha \int_A T_y \cdot dA \cdot y = E\alpha b \int_{-h}^{y=h} T_y \cdot y \cdot dy$$

$$\begin{aligned}
 &= E \alpha b \int_{-h}^h -\frac{T_1}{4} \left( y + \frac{y^3}{h^2} + \frac{2y^2}{h} \right) dy \\
 &= \frac{E \alpha b T_1}{4} \left[ y^2 + \frac{y^4}{4h^2} + \frac{2y^3}{3h} \right]_{-h}^h \\
 &= \frac{E \alpha b T_1}{4} \left[ h^2 + \frac{h^2}{4} + \frac{2}{3} h^2 - \frac{h^2}{4} + \frac{2}{3} h^2 \right] \\
 &= \frac{1}{3} E \alpha b T_1 h^2
 \end{aligned}$$

در نتیجه لنگر حاصل برابر است با :

تنشیهای حاصل در جدول (۲-۶) محاسبه شده است .

$$\frac{M}{I} = \frac{\frac{E \alpha T_1 b h^2}{3b(2h)^3}}{\frac{12}{12}} = \frac{1}{2h} E \alpha T_1$$

تراز	y	$\sigma_1 = -E \alpha T_1 y$	$\sigma_2 = \frac{F}{A}$	$\sigma_3 = \frac{M}{I} y$	$x = \sigma_1 + \sigma_2 + \sigma_3$
A	+h	$-E \alpha T_1$	$+\frac{1}{3} E \alpha T_1$	$+\frac{1}{2} E \alpha T_1$	$-\frac{1}{6} E \alpha T_1$
B	o	$-\frac{1}{4} E \alpha T_1$	$+\frac{1}{3} E \alpha T_1$	o	$+\frac{1}{12} E \alpha T_1$
C	-h	o	$+\frac{1}{3} E \alpha T_1$	$-\frac{1}{2} E \alpha T_1$	$-\frac{1}{6} E \alpha T_1$

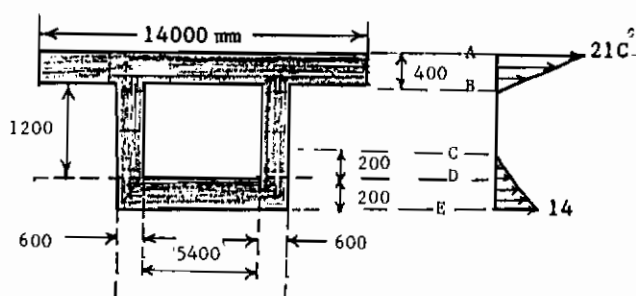
جدول (۲-۶) نتایج مثال ۲

نتایج  $x$  حاصل همانند شکل (۳۲-۶) می‌باشد که قبلاً با روش ۱ محاسبه گردیدند .

مثال ۳

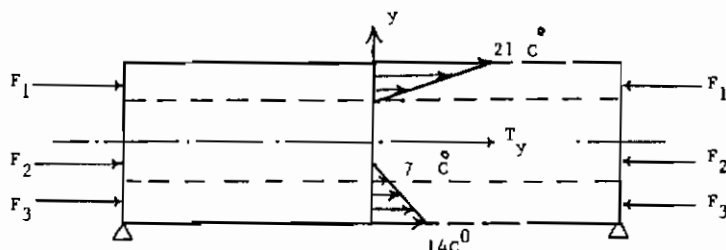
پل بتنی با دهانه ساده و مقطع قوطی مطابق شکل (۳۵-۶) الگ مفروض است . مطلوب

است محاسبه تنش حاصل از تغییرات درجه حرارت خطی مطابق شکل، در مقطعی از پل .  
 $A=8.36 \times 10^6 \text{ mm}^2$  و  $I=2.912 \times 10^{12} \text{ mm}^4$  از نار یائین مقطع و  $\bar{y}=1225.4 \text{ mm}$   
 فرض گردد .

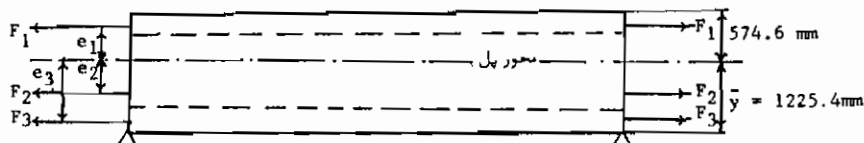


شکل (۶ - ۳۵) الف

: حل



شکل (۶ - ۳۵) ب - مرحله اول



شکل (۶ - ۳۵) ج ) - مرحله دوم

$$F_1 = F_{AB} = E \alpha \left( \frac{21+0}{2} \right) (400 \times 14000) = 58.8 \times 10^6 \text{ E } \alpha$$

$$F_2 = F_{CD} = E \alpha \left( \frac{7+0}{2} \right) (2 \times 600 \times 200) = 0.84 \times 10^6 \text{ E } \alpha$$

$$F_3 = F_{DE} = E\alpha \left( \frac{14+7}{2} \right) (200 \times 6600) = 13.86 \times 10^6 \text{ E}\alpha$$

$$F = \Sigma F = F_1 + F_2 + F_3 = 73.5 \times 10^6 \text{ E}\alpha$$

$$e_1 = e_{AB} = (574.6) - \left( \frac{1}{3} \times 400 \right) = 441.3 \text{ mm}$$

$$e_2 = e_{CD} = (1225.4 - 200) - \left( \frac{1}{3} \times 200 \right) = 958.7 \text{ mm}$$

$$e_3 = e_{DE} = 1225.4 - \frac{200 \times 6600 \times \left( \frac{14}{2} \times \frac{200}{2} + \frac{6}{2} \times \frac{1}{3} \times 200 \right)}{200 \times 6600 (7 + 3.5)}$$

$$e_3 = 1225.4 - \frac{700 + \frac{700}{3}}{10.5} = 1136.5 \text{ mm}$$

$$M_{F1} = F_1 \times e_1 = (58.8 \times 10^6 \text{ E}\alpha) \times (441.3)$$

$$= 25948.44 \text{ E}\alpha \times 10^6 \text{ N.mm} \quad \curvearrowleft$$

$$M_{F2} = F_2 \times e_2 = (0.84 \times 10^6 \text{ E}\alpha) \times (958.7)$$

$$= 805.308 \text{ E}\alpha \times 10^6 \quad \curvearrowleft$$

$$M_{F3} = F_3 \times e_3 = (13.86 \times 10^6 \text{ E}\alpha) \times (1136.5)$$

$$= 15751.89 \text{ E}\alpha \times 10^6 \quad \curvearrowleft$$

$$M = M_{F1} - M_{F2} - M_{F3} = 9391.242 \text{ E}\alpha \times 10^6 \quad \curvearrowleft$$

: فرض گردد در این صورت داریم :  $\alpha_c = 12 \times 10^{-6}/C^\circ$ ,  $E_c = 0.345 \times 10^5 \text{ MPa}$

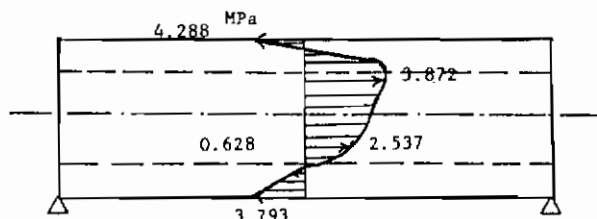
$$E\alpha = 0.414$$

$$F = 73.5 \times 10^6 \times 0.414 = 30.429 \times 10^6 \text{ N} \quad M = 3887.974 \times 10^6 \text{ N.mm}$$

$$\frac{F}{A} = \frac{30.429 \times 10^6}{8.36 \times 10^6} = 3.639 \quad \frac{M}{I} = \frac{3887.974 \times 10^6}{2.9122 \times 10^{12}} = 0.0013$$

تراز	y	$\sigma_1 = -E \alpha T_y$	$\sigma_2 = F/A$	$\sigma_3 = M/I y$	$\sigma_x = \sigma_1 + \sigma_2 + \sigma_3$
A	574.6	-8.694	+3.639	+0.767	-4.288
B	174.6	0	+3.639	+0.233	+3.872
C	825.4	0	+3.639	-1.102	+2.537
D	1025.4	-2.898	+3.639	-1.369	-0.628
E	1225.4	-5.796	+3.639	-1.636	-3.793

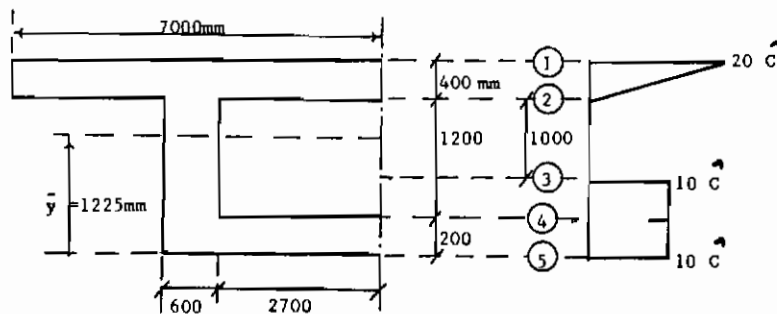
جدول (۶-۳) نتایج مثال ۲



شکل (۶-۳۵ د) - تنشهای حرارتی مثال ۳

## مثال ۴

پل مثال ۳ را برای تغییرات درجه حرارت داده شده در شکل (۶-۳۶) (الف) نمایید.

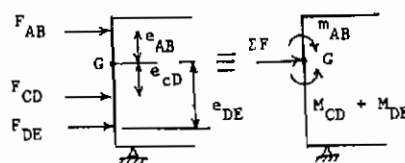


شکل (۶-۳۶) (الف)

$$\sigma_1 = - E \times T \quad \left\{ \begin{array}{l} \sigma_{1A} = - 0.414 \times 20 = - 8.28 \text{ MPa} \\ \sigma_{1B} = - 0 = 0 \\ \sigma_{1C} = - 0.414 \times 10 = - 4.14 \\ \sigma_{1D} = - 0.414 \times 10 = - 4.14 \\ \sigma_{1E} = - 0.414 \times 10 = - 4.14 \end{array} \right. \quad \text{حل:}$$

$$F = \left\{ \begin{array}{l} F = -(E \alpha)(A_T)(b) \\ F_{AB} = -(0.414)(\frac{1}{2} \times 20 \times 400)(2 \times 7000) = - 23184000 \text{ N} \\ F_{BC} = 0 \\ F_{CD} = -(0.414)(10 \times 200)(2 \times 600) = - 993600 \text{ N} \\ F_{DE} = -(0.414)(10 \times 200)(2 \times 3300) = - 5464800 \text{ N} \end{array} \right.$$

$$\Sigma F = - 29.6424 \times 10^6 \text{ N}$$



شکل (۶-۲۶)

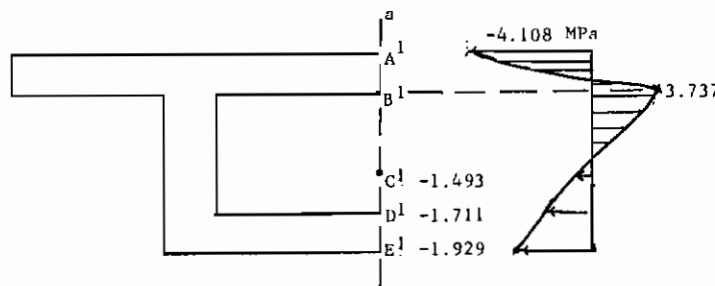
$$e \quad \left\{ \begin{array}{l} e_{AB} = 575 - \frac{1}{3} \times 400 = 441.7 \text{ mm} \\ e_{CD} = 1225 - 300 = 926 \text{ mm} \\ e_{DE} = 1225 - 100 = 1125 \text{ mm} \end{array} \right. \quad \text{از نارختای مقطع}$$

$$\begin{cases}
 M_{AB} = F_{AB} \times e_{AB} = (23.184 \times 10^6)(441.7) = 10240.4 \times 10^6 \text{ N.mm} \\
 M_{CD} = F_{CD} \times e_{CD} = (0.9936 \times 10^6)(925) = 919.08 \times 10^6 \text{ " "} \\
 M_{DE} = F_{DE} \times e_{DE} = (5.4648 \times 10^6)(1125) = 6147.9 \times 10^6 \text{ " "}
 \end{cases}$$

$$M = \sum M = M_{AB} - M_{CD} - M_{DE} = 10240.4 \times 10^6 - 919.08 \times 10^6 - 6147.9 \times 10^6 \\
 M = 3173.42 \times 10^6 \text{ N.mm} \quad \text{Q}$$

	y	$\sigma_1 = -E \cdot T$	$\sigma_2 = F/A$	$\sigma_3 = Mc/I$	$\sigma$ (MPa)
A <sup>1</sup>	-575	-8.28	+3.546	$\frac{(-3173.42 \times 10^6)(-575)}{2.9122 \times 10^{12}} = +0.626$	-4.108
B <sup>1</sup>	-175	0	+3.546	$= +0.191$	+3.737
C <sup>1</sup>	+825	-4.14	+3.546	$= -0.899$	-1.493
D <sup>1</sup>	+1025	-4.14	+3.546	$= -1.117$	-1.711
E <sup>1</sup>	+1225	-4.14	+3.546	$= -1.335$	-1.929

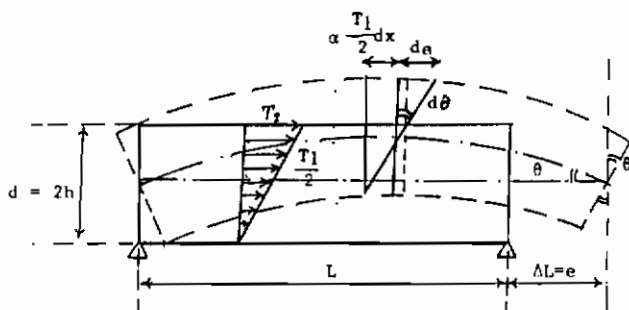
جدول (۶-۴) نتایج مثال ۴



شکل (۶-۴) ج - نمودار تنش

## تفییرشکل‌های حرارتی

تفییرشکل یک تیر ساده تحت اثر تغییرات خطی درجه حرارت مطابق شکل (۶-۴) الف می‌باشد.



شکل ۶ - ۳۷ الف - تغییر شکلهای حاصل حرارتی

### لنگر خمی معادل حرارتی

قطعه‌ای بطول  $dx$  را در نظر می‌گیریم که تحت اثر تغییرات درجه حرارت قرار می‌گیرد. در این صورت کرنش محوری حرارتی متوسط یعنی در محل محور تیر برابر است با:

$$\epsilon = \alpha \cdot T = \alpha \frac{T_1}{2} = \frac{de}{dx} \quad \rightarrow \quad de = \alpha \frac{T_1}{2} \cdot dx$$

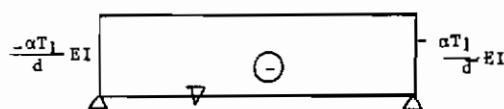
$$d\theta = \frac{de}{h} = \frac{\alpha \frac{T_1}{2} \cdot dx}{h} \quad \rightarrow \quad \theta = \int_{0}^{\frac{L}{2}} \frac{\alpha \frac{T_1}{2} \cdot dx}{h} = \frac{\alpha T_1 L}{4h} = \frac{\alpha T_1 L}{2d}$$

از طرفی

$$\frac{d\theta}{dx} = \frac{\alpha T_1}{2h} = \frac{dy'}{dx} = y'' = \frac{M}{EI}$$

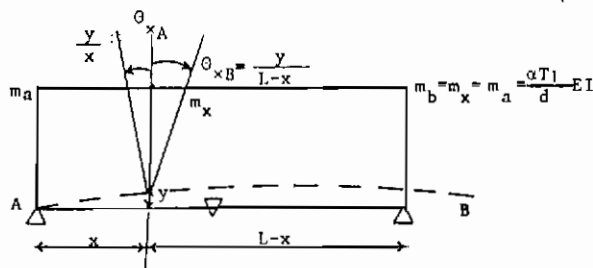
$$\frac{M}{EI} = \frac{\alpha T_1}{2h} \quad \rightarrow \quad M = \frac{\alpha T_1}{2h} EI = \frac{\alpha T_1}{d} EI$$

معادله اخیر لنگر معادل در اثر درجه حرارت می‌باشد. این لنگر در دهانه ساده در کل تیر ثابت است شکل (۶-۳۷) ب.



شکل (۶-۳۷) ب - لنگر خمی معادل

## خیز ماکزیم حاصل از حرارت



شکل (۶ - ۳۷) ج - تغییرشکل و لنگر خمشی معادل حرارتی

روش نیرو - تغییرمکان ( Force-Displacement ) را می‌توان برای محاسبه خیز  $y$  و در نتیجه خیز ماکزیم  $y_{max}$  بکار برد. در مقطع  $x$  داریم :

$$m_x \left( \frac{x}{3EI} + \frac{L-x}{3EI} \right) + m_a \left( \frac{x}{6EI} \right) + m_b \left( \frac{L-x}{6EI} \right) = \frac{y}{x} + \frac{y}{L-x}$$

$$\frac{\alpha T l}{d} EI \left( \frac{x}{3EI} + \frac{L-x}{3EI} + \frac{x}{6EI} + \frac{L-x}{6EI} \right) = \frac{y}{x} + \frac{y}{L-x}$$

$$y = \frac{\alpha T l (xL-x)^2}{2d} \quad \text{معادله تغییرشکل حرارتی}$$

$$\frac{dy}{dx} = 0 \quad \text{برای تعیین خیز ماکزیم :}$$

$$\frac{\alpha T l}{2d} (L - 2x) = 0 \quad \rightarrow \quad x = \frac{L}{2}$$

$$y_{max.} = \frac{\alpha T l}{2d} (xL - x^2) = \frac{\alpha T l}{2d} \left( \frac{L^2}{2} - \frac{L^2}{4} \right)$$

$$y_{max.} = \frac{\alpha T l L^2}{8h} \quad \text{تغییرشکل یا خیز حد اکثر حرارتی در وسط دهانه}$$

نیروهای داخلی حاصل از تغییرات درجه حرارت در پلهای نامعین

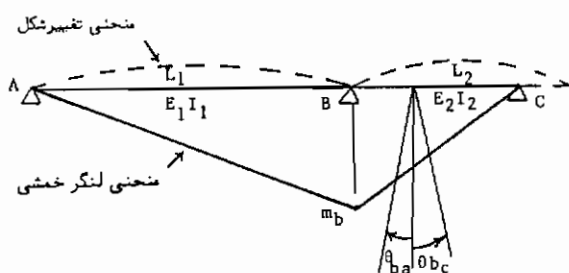
با استفاده از روش نیرو - تغییر مکان می‌توان نیروهای داخلی داشت از جمله لنگر خمشی و نیروی برشی حاصل از اعمال تغییرات درجه حرارت را در هر سازه نامعین از جمله تپیرهای

یکسره محاسبه کرد.

مثال ۴

مطلوبست محاسبه و رسم لنگر خمشی و نیروی برشی تیر دو دهانه‌ای که در دهانه‌اول طول آن  $L_1$  و سختی خمشی  $E_1 I_1$  را دارا بوده و در دهانه دوم طول دهانه  $L_2$  و سختی خمشی  $E_2 I_2$  می‌باشد. درجه حرارت اعمال شده به دو دهانه تیر خطی با مقدار ماکزیمم  $T_1$  بوده و از وزن تیر صرف نظر شود. ضخامت تیر در دهانه اول  $d_1$  و در دهانه دوم  $d_2$  فرض گردد.

حل - ترسیمه تغییرشکل و لنگر خمشی حاصل از تغییرات درجه حرارت خطی مطابق شکل (۶-۳۸) الف می‌باشد.



شکل (۶-۳۸) الف

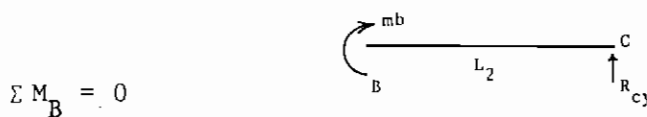
طبق روش نیرو - تغییرمکان در B داریم:

$$m_B \left( \frac{L_1}{3E_1 I_1} + \frac{L_2}{3E_2 I_2} \right) = \theta_{ba} + \theta_{bc} = \frac{T_1 L_1 \alpha}{2d_1} + \frac{T_1 L_2 \alpha}{2d_2}$$

اگر  $L_1 = L_2 = L$  و  $E_1 I_1 = E_2 I_2 = EI$  باشند داشت.

$$m_B = 1.5 \frac{T_1 \alpha}{d} EI$$

باید توجه داشت که این لنگر خمشی مستقل از طول هر دهانه می‌باشد ولی به نسبت طول دهانه‌ها مربوط می‌شود.



$$R_{cy} = \frac{mb}{L_2}$$

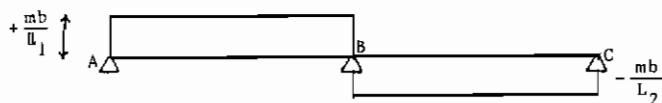
$$R_{Ay} = \frac{mb}{L_1}$$

$$R_{By} = mb \left( \frac{1}{L_1} + \frac{1}{L_2} \right)$$

بطور مشابه

در نتیجه

و به این ترتیب ترسیمه نیروی برشی حاصل از تغییرات درجه حرارت مطابق شکل (۳۸-۶) ب خواهد بود.



شکل (۳۸-۶) ب - ترسیمه نیروی برشی

مثال ۵

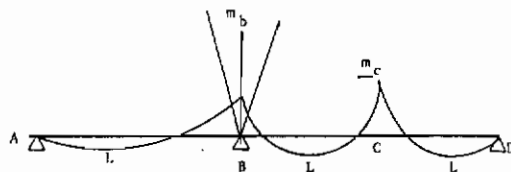
پل سه دهانه‌ای به عرض ثابت  $b$  و ضخامت ثابت  $h$  مفروض است، مطلوبست:

(الف) محاسبه لنگر خمشی تکیه‌گاهها در B و C در اثر اعمال بار گسترده یکساخت به شدت  $w$  این لنگرها را به ترتیب  $m_b^T$  و  $m_c^T$  فرض کرده و بر حسب  $w$  و  $L$  محاسبه شود، (۳۹-۶) الف.

(ب) اگر تغییرات درجه حرارت خطی با مقدار ماکزیمم  $2T$  به هر یک از دهانه‌ها وارد شود در این صورت لنگرهای خمشی تکیه‌گاهی  $m_b^T$  و  $m_c^T$  را حساب کنید. این لنگرها را بر حسب  $E$ ،  $I$ ،  $\alpha$  و  $T$  تعیین کنید (شکل ۳۹-۶ ب).

(ج) اگر اون اگر بار گسترده و درجه حرارت بطور همزمان به پل وارد شوند و در نتیجه لنگرهای تکیه‌گاهی برابر صفر گردند در این صورت درجه حرارت  $T$  باید چقدر باشد؟

: حل :



شكل (٤ - ٣٩) الف

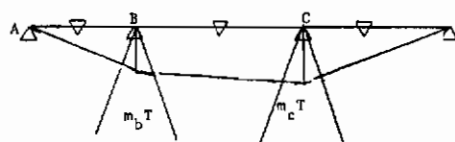
$$B: \quad m_b^\omega \left( \frac{L_1}{3E_1 I_1} + \frac{L_2}{3E_2 I_2} \right) + m_c^\omega \left( \frac{L_2}{6E_2 I_2} \right) = \frac{\omega L_1^3}{24E_1 I_1} + \frac{\omega L_2^3}{24E_2 I_2}$$

$$C: \quad m_c^\omega \left( \frac{L_2}{3E_2 I_2} \frac{L_3}{3E_3 I_3} \right) + m_b^\omega \left( \frac{L_2}{6E_2 I_2} \right) = \frac{\omega_2 L_2^3}{24E_2 I_2} + \frac{\omega_3 L_3^3}{24E_3 I_3}$$

$$2m_b^\omega + \frac{1}{2} m_c^\omega = \frac{\omega L^2}{4} \quad \rightarrow \quad m_b^\omega = m_c^\omega$$

$$2m_c^\omega + \frac{1}{2} m_b^\omega = \frac{\omega L^2}{4}$$

$$2m_b^\omega + \frac{1}{2} m_b^\omega = \frac{\omega L^2}{4} \quad \rightarrow \quad \frac{5}{2} m_b^\omega = \frac{\omega L^2}{4} = m_b^\omega = \frac{\omega L^2}{10} = m_c^\omega$$



شكل (٤ - ٣٩ - ب)

$$B: \quad m_b^T \left( \frac{L_1}{3E_1 I_1} + \frac{L_2}{3E_2 I_2} \right) + m_c^T \left( \frac{L_2}{6E_2 I_2} \right) = \frac{\alpha T L_1}{2h_1} + \frac{\alpha T L_2}{2h_2}$$

$$C: \quad m_c^T \left( \frac{L_2}{3E_2 I_2} + \frac{L_3}{3E_3 I_3} \right) + m_b^T \left( \frac{L_2}{6E_2 I_2} \right) = \frac{\alpha T L_2}{2h_2} + \frac{\alpha T L_3}{2h_3}$$

$$\frac{1}{EI} \left( \frac{2}{3} m_b^T + \frac{1}{6} m_c^T \right) = \frac{\alpha T}{h}$$

با تقارن  $m_b^T = m_c^T$

$$\frac{1}{EI} \left( \frac{2}{3} m_c^T + \frac{1}{6} m_b^T \right) = \frac{\alpha T}{h}$$

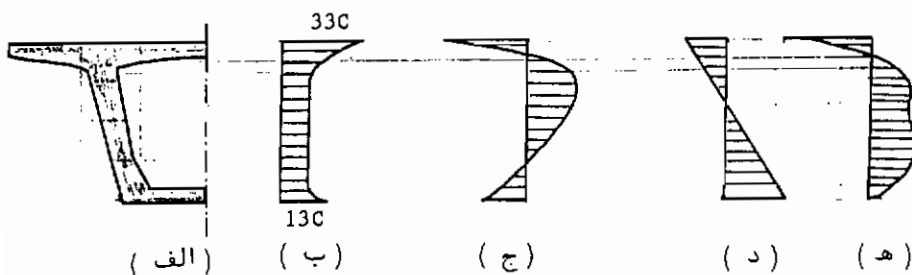
$$\frac{1}{EI} \left( \frac{2}{3} + \frac{1}{6} \right) m_b^T = \frac{\alpha T}{h} = \frac{5}{6EI} m_b^T \rightarrow m_b^T = \frac{6EI \alpha T}{5h} = m_c^T$$

$$\frac{\omega L^2}{10} = \frac{6EI \alpha T}{5h} \rightarrow \omega L^2 h = 12EI \alpha T$$

$$T = \frac{\omega L^2 h}{12EI\alpha}$$

### تنشهای حرارتی در پلهای نامعین

تنشهای حرارتی حاصل از تغییرات درجه حرارت در سطح مقطع پلهای یکسره (یا نامعین) را می‌توان با استفاده از جمع جبری تنشهای حرارتی در حال تعادل و تنشهای حاصل از لنگر خمشی بوجود آمده در اثر تغییرات درجه حرارت محاسبه کرد. به عنوان مثال نتایج تحلیل تنشهای حرارتی پل سه دهانه بتی به مقطع قوطی برای یک تغییرات درجه حرارت فرض شده در شکل (۴۰-۶) نشان داده شده است.



شکل (۶ - ۴۰) تنشهای حرارتی در پلهای نامعین (یکسره) - (الف) نصف سطح مقطع عبورگاه ، (ب) گسترش فرضی تغییرات درجه حرارت در سطح مقطع عبورگاه ، (ج) تنشهای حرارتی در حال تعادل (برای پل معین) ، (د) تنشهای حاصل از لنگر خمشی نتیجه شده از تغییرات درجه حرارت در عبورگاه نامعین ، (ه) نتیجه تنشهای حرارتی در مقطع عبورگاه یکسره .

## فصل هفتم

### تحلیل پایه‌های کناری پل

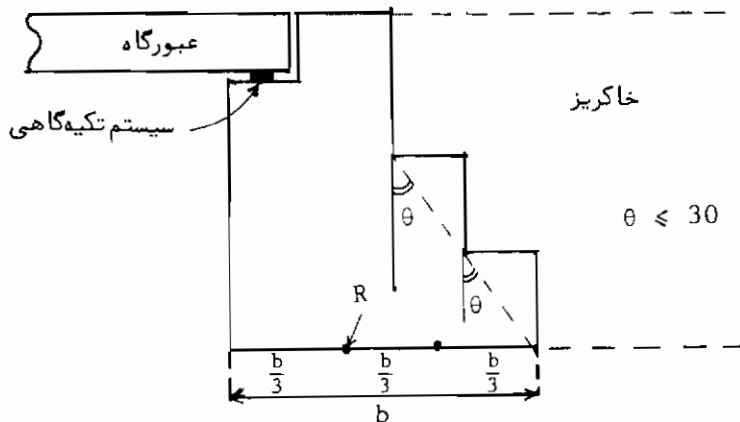
#### ۱ - مقدمه

پایه‌های کناری پل‌ها را می‌توان به انواع زیر تقسیم کرد .

- ۱ - پایه‌های وزنی که با استفاده از مصالح بنایی عمدتاً " و یا بتن ساخته می‌شوند ؛
- ۲ - پایه‌های کنسولی ساخته شده از مصالح بتن آرمه ؛
- ۳ - پایه‌های توحالی ولا شکل با استفاده از مصالح بتن آرمه ؛
- ۴ - پایه‌های نامرئی یا مخفی که در خاکریزها ایجاد می‌گردد .

#### پایه‌های وزنی

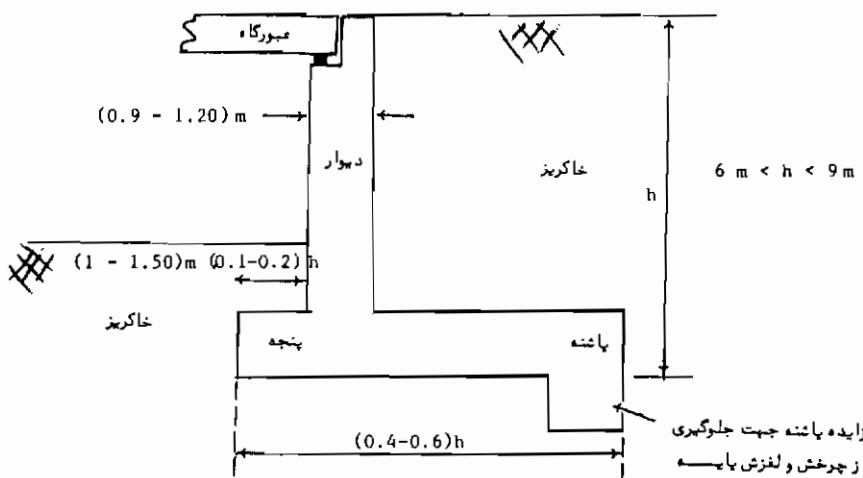
اینگونه پایه‌ها بدلیل سادگی اجرا در ایران مخصوصاً مناطق دورافتاده بوفور مورد استفاده قرار می‌گیرد . همانگونه که از نام آن پیداست تعادل نیروهای واردہ به پایه باید توسط وزن پایه خنثی گردد ، بنابراین در اکثر موارد پایه‌ها حجمیم بوده اما با استفاده از مصالح لاشه سنگ و ملات سیمان اجرای آن مقرن به صرفه و ساده می‌باشد . اگر پایه با استفاده از مصالح بتن تنشا ساخته شود احتمال تشکیل ترک در پایه در اثر حرارت ایجاد شده از بتن زیاد می‌باشد که در این شرایط باید از نوع سیمان پرتلند با گرمای کم استفاده شود . برای اینکه پایه بصورت وزنی عمل کند باید برآینده نیروهای واردہ به پایه شامل وزن خود پایه در منطقه هسته مرکزی پایه قرار داشته باشد تا هیچ مقطوعی از پایه تحت تنشهای قائم کششی که مصالح بنایی در تحمل آن عاجز می‌باشند ، قرار نگیرد . این نوع پایه‌ها برای مناطقی که احتمال نشست نامتقارن پایه‌ها وجود داشته باشد پیشنهاد نمی‌گردد . شکل (۱-۷) نمونه‌ای از پایه کناری وزنی را که با استفاده از مصالح بتن می‌توان ساخت نشان می‌دهد .



شکل (۲ - ۱) نمونه‌ای از پایه کناری وزنی بتنی

### پایه‌های کنسولی

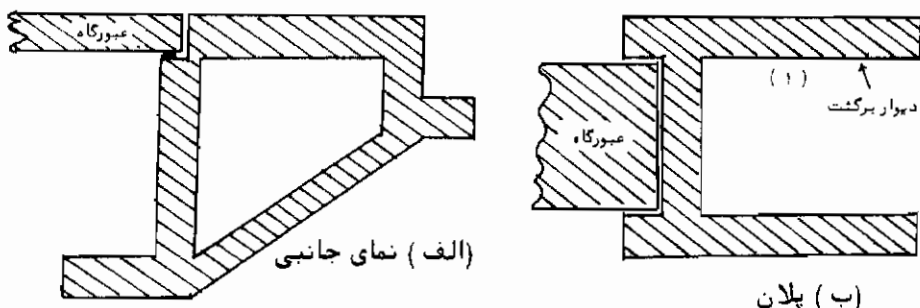
این نوع پایه‌ها که از مصالح بتن آرمه ساخته می‌شود در پلهای بتنی خیلی مرسوم می‌باشد که نمونه‌ای از آن در شکل (۲-۲) نشان داده شده است. محاسبات مربوط به این نوع پایه را در بخش‌های بعدی همین فصل خواهیم خواند.



شکل (۲ - ۲) پایه کناری کنسولی بتن مسلح

### پایه گناری توخالی و ۷ شکل

جهت مقاومت افقی بیشتر پایه گناری از این نوع پایه با استفاده از مصالح بتن آرمه استفاده می‌شود . شکل (۳-۲) نمونه‌ای از آنرا نشان می‌دهد .



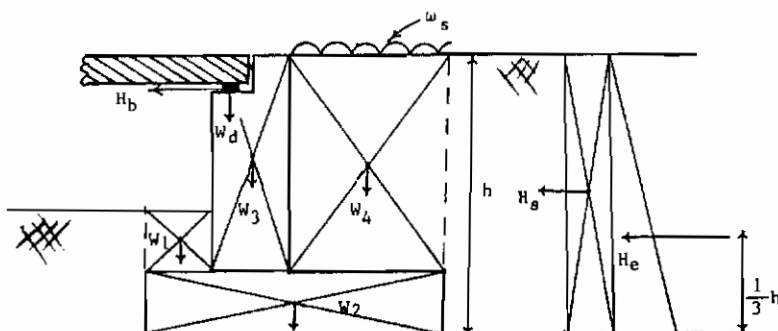
شکل (۳-۲) پایه گناری توخالی

### پایه گناری نامرئی

این نوع پایه‌ها را در شرایطی که جاده ورود به پل در خاکریز قرار داشته باشد اجرا می‌شود و ظاهراً "در معرض دید قرار نمی‌گیرند .

### ۷-۲ بارهای وارد بر پایه گناری پل

عمده نیروهای وارد بر پایه گناری پل که در طرح اولیه می‌توان در نظر گرفت در شکل (۴-۲) نشان داده شده‌اند .



شکل (۴-۲) نیروهای عمده وارد بر پایه گناری کنسولی

در شکل (۴-۷) نیروها عبارتند از:

$H_b$  = نیروی حاصل از ترمز یا شتاب گرفتن وسایل نقلیه بر روی پل

$W_d$  = عکس العمل قائم حاصل از کلیه بارهای نقلی واردہ بر عبورگاه پل

$\omega_s$  = شدت بار در اثر سربار زنده که به پل وارد می‌شود یا از آن خارج می‌شود.

$H_s$  = نیروی افقی ایجاد شده در خاک زیر قسمت ورودی یا خروجی پل در اثر سربار زنده.

$H_e$  = رانش افقی خاک پشت پایه

$W_1$  = وزن خاک روی پنجه پایه

$W_4$  = وزن خاک روی پاشنه پایه

$W_3$  = وزن دیواره پایه

$W_2$  = وزن قسمت افقی پایه

### نیروی ترمز $H_b$

ضوابط آئین نامه‌ای این بار افقی به صورت زیر است.

### آئین نامه آشتو:

نیروی برابر ۵٪ کل بار خطی معادل یک خط عبور در تمام مسیرهایی که ترافیک آنها در یک جهت باشد در نظر گرفته شود (بدون اثر ضربه). اگر در آینده پل احتمالاً "یک طرفه اعلام شود باید نیروی ترمز را برابر ۵٪ کل بار خطی تمام خطوط پل در نظر گرفت. این بار افقی را، که شامل بار گستردۀ معادل به علاوه بار متتمرکز برای لنگر می‌باشد، باید در ارتفاع ۱/۸ متری بالای سطح عبورگاه در نظر گرفت.

### دستور فنی شماره ۱۱ آئین نامه ایران:

باری معادل ۱۶ تن برای پلهای با دهانه ۸ متر و کمتر و برای دهانه‌های بزرگترها زای هر دو متر ۱ تن به بار فوق اضافه شود تا حداقل ۲۴ تن.

### آئین نامه بی اس:

برای کامیون HB مقدار KN 450 در عرض سه متر از عبورگاه در نظر گرفته می‌شود و

برای بار HA برای دهانه‌های ۳ متر و کوچکتر باری برابر 100KN و برای دهانه‌های بزرگتر از

سه متر بهزای هر متر 17KN به بار فوق اضافه شود تا حداقل KN 253.

شدت بار حاصل از سربار زنده  $\omega_S$

آئین نامه بی‌اس برای بار HA مقدار  $10/\text{KN/m}^2$  و برای بار HB مقدار  $20\text{KN/m}^2$  را پیشنهاد می‌کند.

رانش افقی خاک در اثر سربار زنده  $H_S$  و رانش افقی خاک  $H_e$

مقدار  $H_S$  و  $H_e$  را می‌توان از رابطه‌های زیر تعیین کرد. ثابت‌های رابطه‌ها ( $C$  و  $K_h$ ) بستگی به نوع خاک دارد که در جدول (۷-۱) مده است.

$$H_S = C \cdot \omega_S \cdot h \quad \text{یا}$$

$$H_S = \frac{\sigma_h^2}{2} \tan^2\left(\frac{\pi}{4} - \frac{\phi}{2}\right)$$

که  $\sigma_h$  وزن مخصوص خاک و  $\phi$  زاویه اصطکاک داخلی خاک یا زاویه شیب طبیعی خاک با افق می‌باشد.

$$H_e = \frac{1}{2} K_h \cdot h^2 \quad \text{یا}$$

$$H_e = Wh \tan^2\left(\frac{\pi}{4} - \frac{\phi}{2}\right) \quad \text{که } W \text{ وزن چرخهای کامیون استاندارد می‌باشد،}$$

#### جدول (۷-۱) تعیین ثابت‌های $k_h$ و $C$

انواع خاک	$K_h (\text{KN/m}^2/\text{m})$	$C$
-1 - مصالح منی با دانه‌های درشت	4.9	0.27
-2 - مصالح منی با دانه‌های ریز	5.7	0.3
-3 - مصالح مخلوط	7.3	0.39
-4 - مصالح خیلی نرم	16.3	1.0
-5 - مصالح سخت غیر قابل نفوذ آب	19.5	1.0

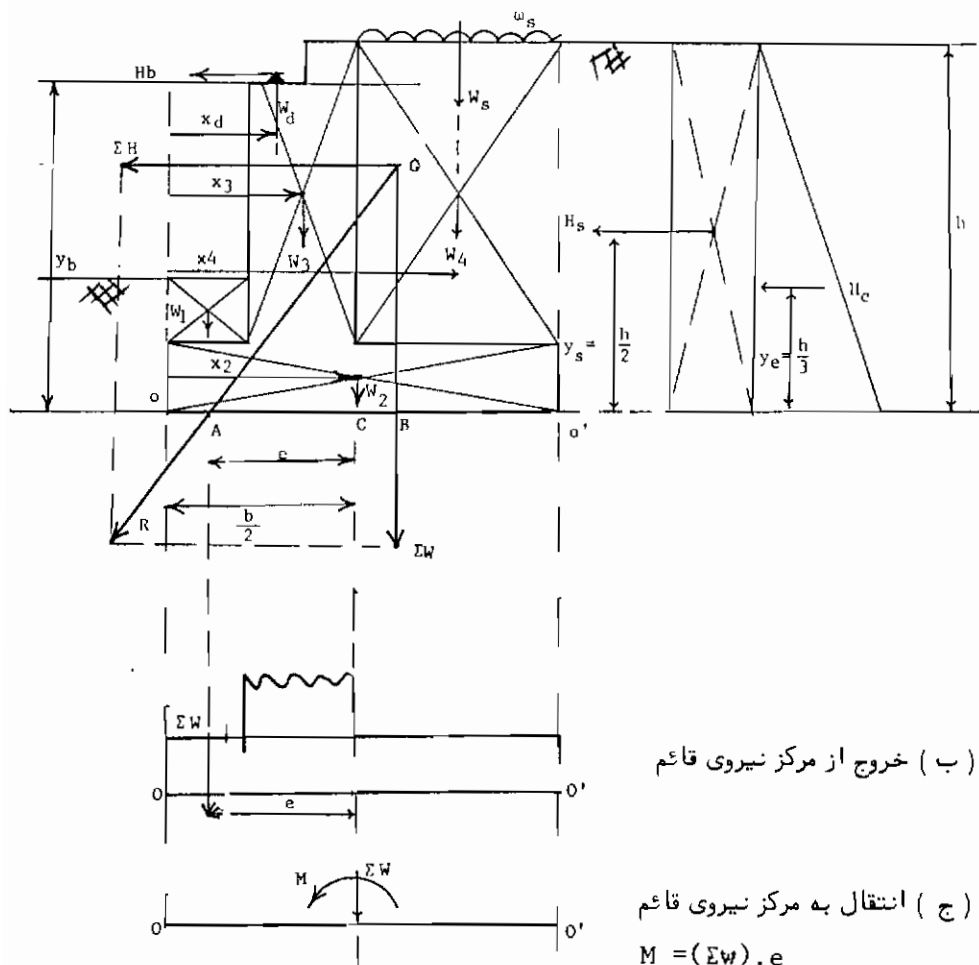
#### ۷-۳ تحلیل پایه‌های کناری کنسولی

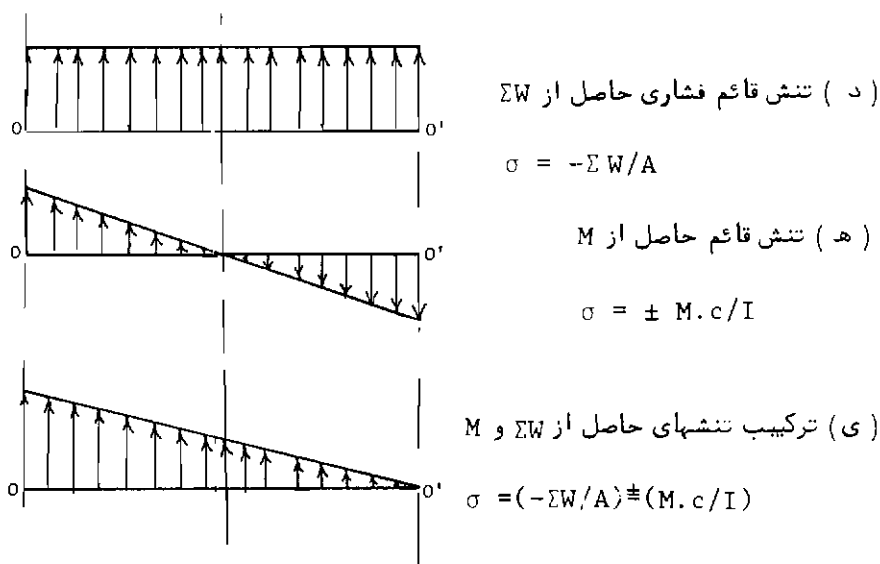
برای تحلیل پایه ابتدا باید گسترش فشار در قسمت تحتانی پایه تعیین گردد و سپس

لنگرهای خمی در مقاطع بحرانی پایه محاسبه شود.

### تعیین گسترش فشار در زیر پایه

اگر نیروی برآیند اعمال شده به پایه پل از محلی به فاصله خروج از مرکز  $e$  (در کف پایه) بگذرد، مطابق شکل (۵-۷)، در اینصورت مؤلفه قائم این نیروی برآیند ایجاد نیروی محوری و خمش در مقطع کف پایه خواهد کرد. با استفاده از محاسبه تنش قائم حاصل از نیروی محوری و تنش قائم حاصل از لنگر خمی و ترکیب آنها می‌توان به راحتی گسترش تنش قائم در کف پایه را محاسبه کرد، این گسترش تنش همراه با سایر نیروهای اعمال شده بر پایه پل را می‌توان برای محاسبه نیروهای داخلی در مقاطع بحرانی پایه بکار برد.





شکل (۵-۷)

با توجه به شکل (۵-۷) الف داریم :

$$OB = \frac{\Sigma(W.x)}{\Sigma W} \quad , \quad GB = \frac{\Sigma(H.y)}{\Sigma H}$$

$$\tan \theta = \frac{\Sigma H}{\Sigma W} = \frac{AB}{GB} \longrightarrow AB = GB \cdot \frac{\Sigma H}{\Sigma W} \quad \text{از طرفی}$$

$$OB = OA + AB \longrightarrow OA = OB - AB$$

$$OA = \frac{\Sigma(W.x)}{\Sigma W} - \frac{\Sigma H}{\Sigma W} \cdot \frac{\Sigma(H.y)}{\Sigma H}$$

$$OA + e = \frac{b}{2} \longrightarrow e = \frac{b}{2} - OA$$

$$e = \frac{b}{2} - \left[ \frac{\Sigma(W.x)}{\Sigma W} - \frac{\Sigma(H.y)}{\Sigma W} \right]$$

$$e = \frac{b}{2} - \left[ \frac{\Sigma(W.x) - \Sigma(H.y)}{\Sigma W} \right] \quad \text{بنابراین :}$$

در رابطه بالا

$$\Sigma W = W_1 + W_2 + W_3 + W_4 + W_d + W_s$$

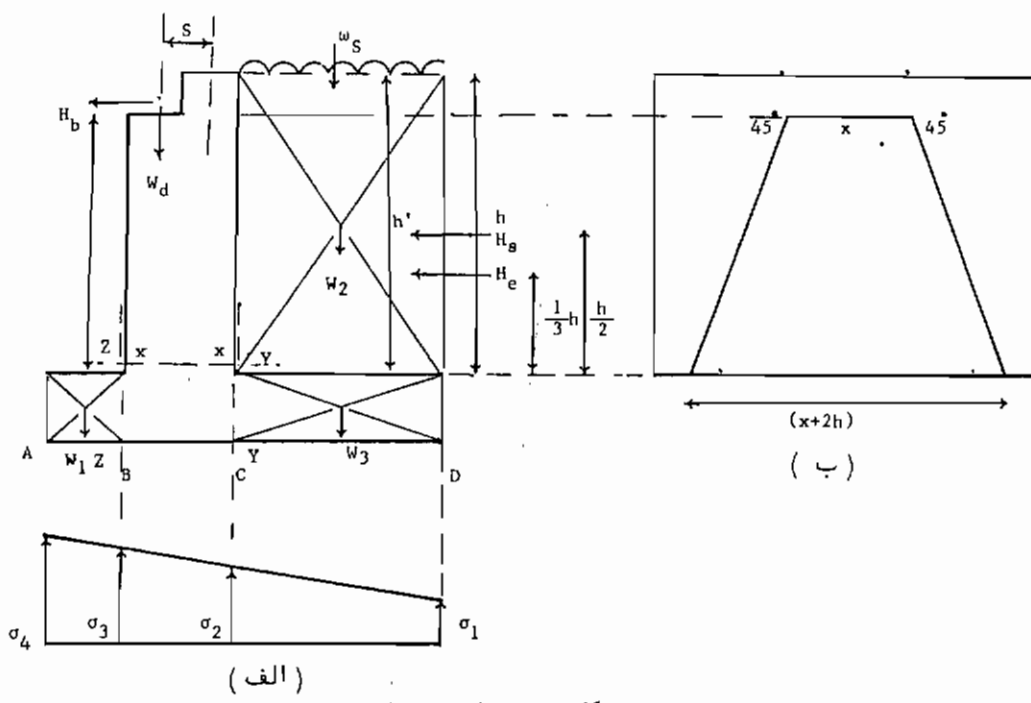
$$\Sigma H = H_b + H_s + H_e$$

$$\Sigma(W \cdot x) = W_1 x_1 + W_2 x_2 + W_3 x_3 + W_4 x_4 + W_d x_d + W_s x_s$$

$$\Sigma(H \cdot y) = H_b y_b + H_s y_s + H_e \cdot y_e$$

حداگر  $e$  بهتر است کوچکتر یا مساوی  $\frac{b}{6}$  باشد و به هیچ وجه بزرگتر از  $\frac{b}{4}$  نباشد. در حالت اخیر که تنشهای کششی نیز در مقطع کف پایه ایجاد می‌گردد، در محاسبات نیروهای داخلی مقاطع بحرانی از این تنشهای صرفنظر می‌شود.

محاسبه لنگر خمی در سه مقطع بحرانی پایه کنسولی:



شكل (۶-۷)

در شکل (۷-۶) الف مقاطع بحرانی پایه جهت محاسبه لنگرهای خمشی و نیز گسترش تنش‌های قائم پا فشار خاک بر کف پایه نشان داده شده است. در شکل (ب) پخش بار ترمز را در ارتفاع دیوار کنسول پایه تحت زاویه<sup>۵</sup> ۴۵ نشان می‌دهد. تحلیل پایه برای واحد طول دیوار پایه و یا برای واحد عرض عبورگاه انجام می‌شود. بنابراین در محاسبات بجای نیروی افقی  $H_b$  نیروی  $\frac{H_b}{x+2h}$  در نظر گرفته می‌شود، در این رابطه  $x$  معمولاً ۳ متر می‌باشد. لنگرهای خمشی در مقاطع ZZ, YY, XX به ترتیب از روابط زیر محاسبه می‌شوند، (شکل ۷-۶):

$$M_{XX} = \left( \frac{Hb}{x+2h} \right) h' + (H_s) \frac{h}{2} + H_e \left( \frac{h}{3} \right) + W_d(s)$$

$$M_{YY} = -(W_2 + W_3) \frac{\overline{CD}}{2} + (\sigma_2 - \sigma_1) \frac{\overline{CD}}{2} \times \frac{\overline{CD}}{3} + (\sigma_1) \overline{CD} \times \frac{\overline{CD}}{2}$$

$$M_{ZZ} = -(W_1) \frac{\overline{AB}}{2} + (\sigma_4 - \sigma_3) \frac{\overline{AB}}{2} \times \frac{\overline{AB}}{3} + (\sigma_3) \overline{AB} \times \frac{\overline{AB}}{2}$$

کنترل چرخش پایه با ضریب اطمینان ۱/۵:

$$\frac{\sum(W \cdot x)}{\sum(H \cdot y)} \geq 1.5$$

کنترل لغزش پایه با ضریب اطمینان ۱/۵:

$$\frac{\mu \sum W}{\sum H} \geq 1.5$$

که با ضریب اصطکاک بین بتن و خاک زیر پایه می‌باشد که بستگی به نوع خاک زیر پی دارد.

برای خاک رس مقدار ۰/۲، ماسه ۰/۴ و شن ۰/۴ را می‌توان در نظر گرفت.

و برای فرو نرفتن پایه در زمین با تنش مجاز  $\sigma_{max}$  داریم.

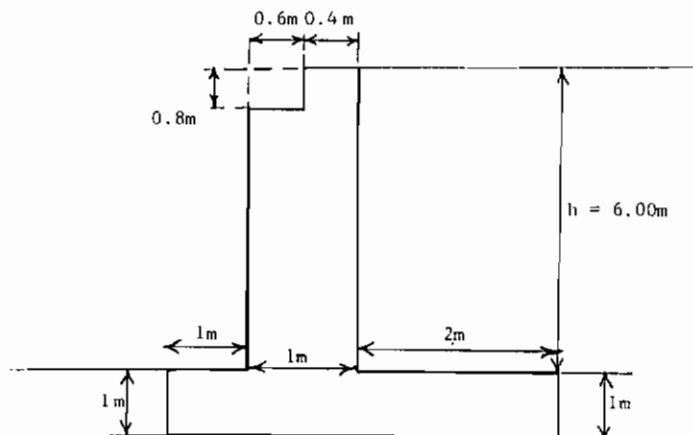
$$\sigma_{45} \leq \sigma_{max}$$

مثال:

پایه کنسولی بتن مسلحی مطابق شکل (۷-۷) مفروض است. در صورتکیه حداکثر عکس العمل قائم عبورگاه ۲۰۰KN/m<sup>3</sup>، جرم مخصوص بتن ۲۴KN/m<sup>3</sup>، جرم مخصوص خاک در مجاورت پایه ۱۸KN/m<sup>3</sup>، سریار در قسمت ورودی پل ۱۰KN/m<sup>2</sup>، نیروی ترمز خط = ۳ m، ثابت‌های  $C = ۰/۳$  و  $K_h = ۵/۷$  و ضریب اصطکاک بین بتن و خاک

۴) فرض گردد مطلوبست :

- الف) - محاسبه و رسم گسترش فشار در زیر پایه.
- ب) - محاسبه لنگر خمشی در مقاطع بحرانی پایه.
- ج) - کنترل چرخش و لغزش پایه.



شکل (۷-۷) ابعاد پایه کناری

حل (الف)

با توجه به نیروها و فواصل شکل (۵-۷) الف داریم :

$$H_b = \frac{150}{3} = 50 \text{ KN/m} \quad \text{در تراز تکیهگاه عبورگاه}$$

$$H_e = \frac{1}{2} K_h \cdot h^2 = \frac{1}{2} \times 5.7 \times 6^2 = 102.6 \text{ KN/m}$$

$$H_s = C \cdot \omega_s \cdot h = 0.3 \times 10 \times 6 = 18 \text{ KN/m}$$

$$\Sigma H = 50 + 102.6 + 18 = 170.6 \text{ KN/m}$$

$$W_d = 200 \text{ KN/m}$$

$$W_s = 2 \times 1 \times 10 = 20 \text{ KN/m}$$

## فصل هفتم - تحلیل پایه‌های کناری پل

۳۲۳

$$W_1 = 0$$

$$W_2 = 4 \times 1 \times 2 \times 24 = 96 \text{ KN/m}$$

$$W_3 = 6 \times 1 \times 1 \times 24 = 144 \text{ KN/m}$$

(از مساحت  $8 \times 6 \times 0\%$  ساقه صرف نظر شده)

$$W_4 = 6 \times 2 \times 1 \times 18 = 216 \text{ KN/m}$$

$$\Sigma W = 200 + 20 + 96 + 144 + 216 = 676 \text{ KN/m}$$

فاصله‌های  $x$  و  $y$  از نقطه A تا محل بارها عبارتند از:

$$x_d = 1.3 \text{ m}$$

$$y_b = 6.2 \text{ m}$$

$$x_s = 3 \text{ m}$$

$$y_e = \frac{6}{3} + 1 = 3 \text{ m}$$

$$x_2 = 2 \text{ m}$$

$$y_s = \frac{6}{2} + 1 = 4 \text{ m}$$

$$x_3 = 1.5 \text{ m}$$

$$\Sigma(H.y) = 50 \times 6.2 + 102.6 \times 3 + 18 \times 4$$

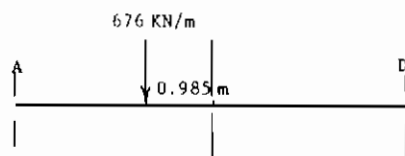
$$x_4 = 3 \text{ m}$$

$$\Sigma(H.y) = 689.8$$

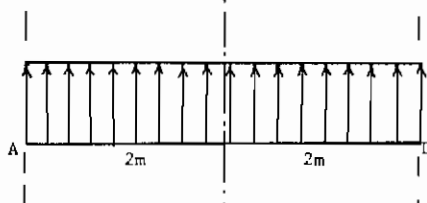
$$\Sigma(W.x) = 200 \times 1.3 + 20 \times 3 + 96 \times 2 + 144 \times 1.5 + 216 \times 3$$

$$\Sigma(W.x) = 1376$$

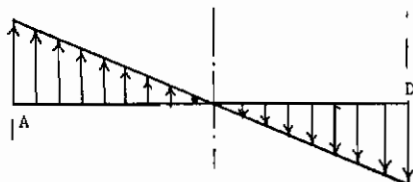
$$e = \frac{4}{2} - \left[ \frac{1376 - 689.8}{676} \right] = 0.985 < \frac{b}{4} = 1 \text{ m}$$



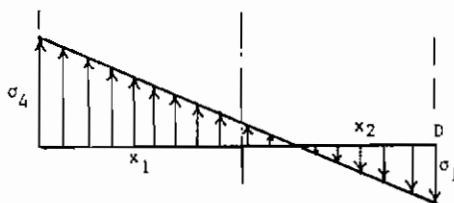
$$\text{محوری} \quad \sigma = -\frac{\sum W}{b \times I} = -\frac{676}{4} = -169 \text{ KN/m}^2/\text{m}$$



$$\begin{array}{l} \text{خمشی} \\ \text{حداکثر} \end{array} \quad \sigma = \pm \frac{Mc}{I} = \frac{(676 \times 0.985)(2)}{\frac{1 \times 4^3}{12}} = \pm 249.69 \text{ KN/m}^2/\text{m}$$



$$\sigma_A = \sigma_1 = -169 - 249.69 = -418.69 \text{ KN/m}^2/\text{m}$$



$$\sigma_D = \sigma_1 = -169 + 249.69 = +80.69 \text{ KN/m}^2/\text{m}$$

$$\frac{\sigma_4}{\sigma_1} = \frac{x_1}{x_2} \rightarrow x_1 = \frac{\sigma_4}{\sigma_1} x_2 = \frac{418.69}{80.69} x_2 = 5.189 x_2$$

$$x_1 + x_2 = 4 \rightarrow 6.189 x_2 = 4 \rightarrow x_2 = 0.646 \text{ m}$$

بنابراین :

$$x_1 = 4 - 0.646 = 3.354 \text{ m}$$

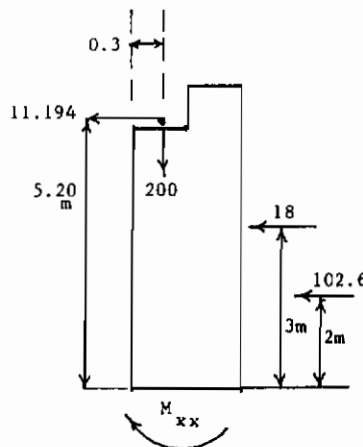
$$\frac{\sigma_3}{\sigma_4} = \frac{2.354}{3.354} \rightarrow \sigma_3 = \frac{-2.354}{3.354} \times 418.69 = -293.85 \text{ KN/m}^2 / \text{m}$$

$$\frac{\sigma_2}{\sigma_4} = \frac{1.354}{3.354} \rightarrow \sigma_2 = \frac{-1.354}{3.354} \times 418.69 = -169.02 \text{ KN/m}^2 / \text{m}$$

نیروی ترمز پخش شده  $\frac{H_b}{2h'+3} = \frac{150}{2 \times 5.2 + 3} = 11.194 \text{ KN/m}$

حل (ب)

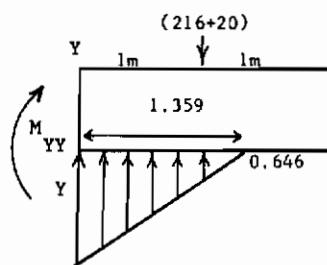
در بالای تراز XX داریم:



$$H_e = \frac{1}{2} \times 5.7 \times 6^2 = 102.6$$

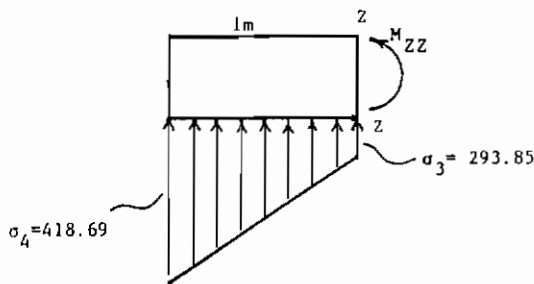
$$H_s = 0.3 \times 10 \times 6 = 18$$

$$M_{XX} = 11.194 \times 5.2 + 18 \times 3 + 102.6 \times 2 + 200 \times 0.2 = 357.409 \text{ KN.m/m}$$



$$M_{YY} = -(236)(1) + \frac{169.02 \times 1.354}{2} \times \frac{1}{3} \times 1.354$$

$$M_{YY} = \underline{\underline{-184.355}} \quad \text{KN.m/m}$$



$$M_{ZZ} = (\frac{418.69 - 293.85}{2}) \times 1 \times \frac{2}{3} + 293.85 \times 1 \times 0.5$$

$$M_{ZZ} = \underline{\underline{188.538}} \quad \text{KN.m/m}$$

حل (ج)

$$\frac{\Sigma(W.x)}{\Sigma(H.y)} = \frac{1376}{689.8} = 1.995 > 1.5 \quad \text{O.K.} \quad \text{چرخش:}$$

$$\frac{\mu \Sigma W}{\Sigma H} = \frac{0.4 \times 676}{203.933} = 1.326 < 1.5 \quad \text{N.G.} \quad \text{لغزش:}$$

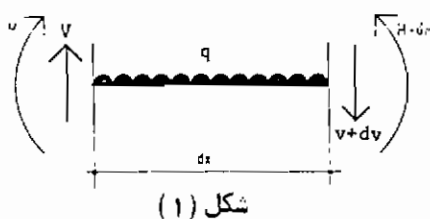
ضریب اطمینان لغزش کم است.  
برای طرح می‌توان از زایده، پاشنه برای پایه استفاده کرد.

## ضمیمه (الف)

### تئوری صفحات ارتوتروپیک

#### معادلات صفحه ارتوتروپیک

معادلات یک صفحه ارتوتروپیک اساس روش ماسونت در تعیین لنگر خشی طولی و تغییرشکل یک عبورگاه پل می‌باشد. معادلات تعادل استاتیکی صفحه‌ای به عرض واحد و طول  $dx$  (شکل ۱) مطابق زیر می‌باشد.



شکل (۱)

$$\sum F_y = 0 \longrightarrow -q \cdot dx + v - (v + dv) = 0$$

$$\frac{dv}{dx} = -q \quad (1)$$

مان نسبت به وسط طول  $dx$ :

$$\sum M = 0 \longrightarrow M - (M + dM) + v \cdot \frac{dx}{2} + (v + dv) \cdot \frac{dx}{2} = 0$$

$$\frac{dM}{dx} = +v \quad (2)$$

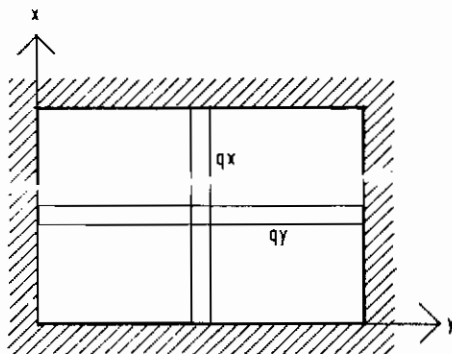
با استفاده از رابطه (۱) و (۲) داریم:

$$\frac{d^2 M}{dx^2} = \frac{dv}{dx} = -q \quad (3)$$

$$EI \frac{d^2\omega}{dx^2} = M \quad \text{رابطه خیز } \omega \text{ عبارت است از} \quad (4)$$

$$\frac{d^4\omega}{dx^4} = -\frac{q}{EI} \quad \text{با استفاده از رابطه (۳) و (۴) داریم:} \quad (5)$$

معادله شماره (۶) در حقیقت تغییرشکل خمشی  $\omega$  یک صفحه به عرض واحد (یک تیر) را در رابطه با شدت باروارده بیان می‌کند. برای تجسم رفتار یک صفحه برای سادگی می‌توان آنرا متشکل از دوسری تیرهای (به عرض واحد) عمود برهم در امتداد طول و عرض صفحه در نظر گرفت (شکل ۲).



شکل (۲)

اگر شدت باروارده به صفحه در امتداد  $x$  را  $q_x$  و در امتداد  $y$  را  $q_y$  فرض کیم در آن صورت با استفاده از اصل رویهم‌گذاری قوا و منظور کردن ضریب پواسیون صالح صفحه خواهیم داشت:

$$\frac{d^4\omega}{dx^4} + \frac{d^4\omega}{dy^4} = -(q_x + q_y) \left( \frac{1 - \gamma^2}{EI} \right) \quad (6)$$

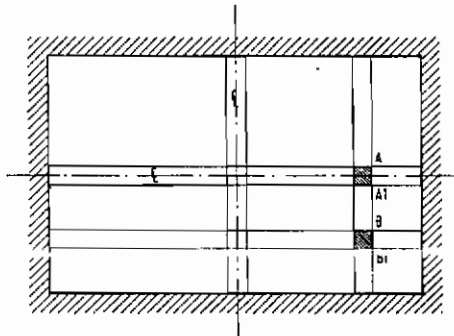
اگر  $\tau$  ضخامت صفحه باشد معان اینرسی مقطع هر نوار طولی و عرضی به عرض واحد برابر است با:

$$I = \frac{1 \times t^3}{12} = \frac{t^3}{12}$$

و برای بتن ضریب پواسیون تقریباً برابر  $1/15$  می‌باشد در نتیجه  $1 - \gamma^2 \approx 1$  بنا بر این معادله (۶) را می‌توان بصورت ساده زیر نوشت:

$$\frac{d^4 \omega}{dx^4} + \frac{d^4 \omega}{dy^4} = -(q_x + q_y) \frac{1}{EI}, \quad I = \frac{t^3}{12} \quad (2)$$

مقدار کمیت  $D=EI$  صفحه در رابطه با نوارهای مرکزی که تغییرشکل آنها تحت خمش می‌باشد صادق است اما نوارهای کناری علاوه بر خمش تحت پیچش نیز می‌باشند. تنها حاصل از پیچش بخصوص در گوشها مقدار حداقل را دارا می‌باشند. بنابراین در کل بار وارد بر دال توسط خمش در دو جهت و نیز پیچش تحمل می‌شود. برای درک اثر مقاومت پیچشی در دال‌ها، دال تخت توپری به اضلاع واحد را که بر روی چهار تکیه‌گاه به صورت ساده قرار گرفته باشد و تحت اثر بار گستردگی به شدت ۹ در واحد سطح قرار دارد در نظر می‌گیریم. اگر لنگر خمشی مشبт حداقل با استفاده از نوارهای موازی جدا از هم حساب شود مقدار این لنگر برابر  $0.0625 L^2$  خواهد بود اما اگر اثر لنگر پیچشی در اتصال بین این نوارها در نظر گرفته شود مقدار این لنگر خمشی حداقل برابر  $0.048 L^2$  خواهد بود که نشان می‌دهد لنگر پیچشی در این حالت باعث کاهش لنگر خمشی حداقل به مقدار حدود ۲۵٪ شده است. بنابراین مقاومت پیچشی دال باعث مقاومتر شدن دال در مقابل بار وارد می‌شود. اثر پیچش در دال‌های تخت تحت اثر بار وارد می‌توان با توجه به تغییر شکل نقاط مختلف دال نسبت به یکدیگر مشاهده کرد (شکل ۳). در این شکل ملاحظه می‌گردد که تغییرشکل قائم A و A' که در وسط دهانه قرار دارند به یک مقدار می‌باشند اما تغییرشکل نقاط B و B' از همان نوار یکسان نمی‌باشند که نشان دهنده اثر پیچش می‌باشد.

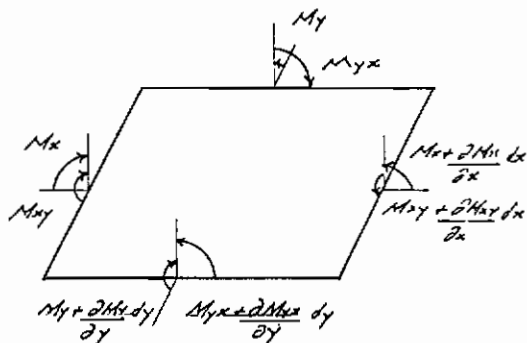


شکل (۲)

با در نظر گرفتن تعادل جزئی از صفحه تحت اثر لنگرهای خمشی و پیچشی معادله زیر را می‌توان نتیجه گرفت (شکل ۴):

$$\frac{\partial^2 M_x}{\partial x^2} + \frac{\partial^2 M_y}{\partial y^2} - 2 \frac{\partial^2 M_{xy}}{\partial x \partial y} = -q \quad (8)$$

$$\frac{\partial^4 \omega}{\partial x^4} + \frac{\partial^4 \omega}{\partial x^2 \partial y^2} + \frac{\partial^4 \omega}{\partial y^4} = \frac{q}{D} \quad (9)$$



در معادلات بالا فرض بر این است که مصالح صفحه ایزوتروپیک بوده یعنی خاصیت ارجاعی آن در دو جهت  $x$ ,  $y$  یکسان باشد. برای یک صفحه ارتوتروپیک معادله (۹) بالا را می‌توان مطابق زیر نوشت:

$$A \frac{\partial^4 \omega}{\partial x^4} + B \frac{\partial^4 \omega}{\partial x^2 \partial y^2} + C \frac{\partial^4 \omega}{\partial y^4} = q \quad (10)$$

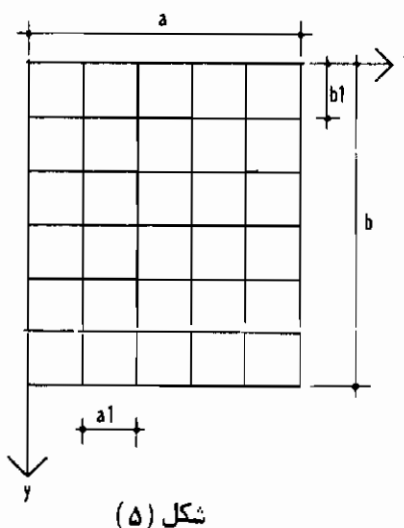
که  $A$ ,  $B$  و  $C$  خواص خمی و پیچشی سیستم را بیان می‌کنند.

کاربرد در شبکه‌ها:

دو سری تیرها موازی باهم با فاصله‌های یکسان از یکدیگر را مطابق شکل (۵) در نظر می‌گیریم. سختی تیرها در امتداد محور  $X$  را  $B_1$  و در امتداد  $y$  را  $B_2$  می‌نامیم.

در آن صورت خواهیم داشت.

$$A = \frac{B_1}{b_1}, \quad C = \frac{B_2}{a_1}$$



اگر  $C_1$  و  $C_2$  به ترتیب سختی پیچشی‌ها در امتدادهای موازی با محورهای  $x$  و  $y$  باشند معادله تغییرشکل سطح را می‌توان بصورت زیر نوشت.

$$\left( \frac{B_1}{b_1} \right) \frac{\partial^4 \omega}{\partial x^4} + \left( \frac{c_1}{b_1} + \frac{c_2}{a_1} \right) \frac{\partial^4 \omega}{\partial_x^2 \partial y^2} + \left( \frac{B_2}{a_1} \right) \frac{\partial^4 \omega}{\partial y^4} = q$$

معادله بالا اساس تئوری پخش بار توسط روش ماسونت را تشکیل می‌دهد با فرضیات زیر:

الف) سختی‌های گروهی یک سیستم شبکه توسط سختی‌های پخش شده خمشی و پیچشی جانشین می‌شوند. این سختی‌ها طوری تعیین می‌شوند که خواص ارتجاعی در واحد طول برای سیستم معادل و سیستم اولیه باهم برابر باشند. سهی صفحه جانشین شده را با استفاده از ضرائب پخش تحلیل می‌شود.

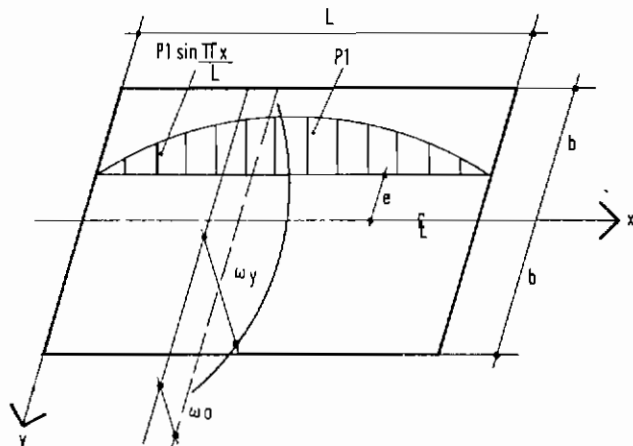
ب) بارگذاری یک بار لبه‌ای باشد  $P_1 \sin \frac{\pi x}{L}$  که بر روی خطی به موازات محور پل (با خروج از مرکز  $e$ ) اثر می‌کند فرض می‌شود (شکل ۶).

معادله سطح تغییرشکل یافته عبورگاه بصورت  $\omega(x, y) = \sin \frac{\pi x}{L} \omega(y)$  خواهد بود اگر پل بجای بار خطی فوق، تحت اثر یک بار با تغییرات طولی مثابه بار ذکر شده اما بصورت گستردگی تمام عرض  $b$  پل بر روی یکنواخت باشد، در این صورت معادله شدت بار عبارت است از:

$$P_o(x) = P_o \sin \frac{\pi x}{L}$$

$$P_o = \frac{P_1}{2b} \quad \text{بطوریکه:}$$

و در این صورت معادله سطح تغییرشکل یافته عبورگاه بصورت خواهد بود،



بنابراین ضریب پخش عرضی بار عبارت است از نسبت تغییر مکان عمودی یک نقطه تحت اثر بار خطی  $P(x)$  به تغییر مکان همان نقطه تحت اثر همان بار که روی تمام سطح گسترده شده باشد یعنی:

$$k(y) = \frac{\omega(xy)}{\omega_o(x)}$$

ضریب  $K$  به پارامترهای زیر بستگی دارد:

الف) - پارامتر خمسی  $\theta$

ب) - پارامتر پیچشی  $\alpha$

ج) - موقعیت بار  $\frac{e}{b}$

د) - محل تعیین تغییرشکل پا لنگر خمسی در روی پل  $\frac{y}{b}$

یک بار خارجی سینوسی در جهت  $x$  با شدت  $\frac{\pi x}{L}$  که بطور یکنواخت

در عرض  $b$  پخش شود معادله سطح تغییرشکل یافته  $\omega_o(x) = \omega_o \sin \frac{\pi x}{L}$  را بوجود می‌آورد

ضمیمه (الف) - تئوری صفحات ارتوتروپیک

شعاع انحنای  $R$  این صفحه از رابطه  $\frac{1}{R} = \frac{d^2 \omega_o(x)}{dx^2}$  تعیین می‌گردد و لنگر خمشی در واحد عرض برابر است با

$$M_o(x) = EI \frac{d^2 \omega_o(x)}{dx^2} = \omega_o \frac{\pi^2}{L^2} EI \sin \frac{\pi x}{L}$$

$$M_o(x) = \omega_o(x) \frac{\pi^2}{L^2} EI$$

ولنگر خمشی حاصل از بار سینوسی با خروج از مرکز  $e$  عبارت است از

$$M_x(xy) = EI \frac{d^2 \omega(xy)}{dx^2} = \omega(xy) \frac{\pi^2}{L^2} EI$$

در هردو حالت لنگر خمشی متناسب با خیز صفحه است، در نتیجه داریم:

$$K(y) = \frac{\omega(xy)}{\omega_o(x)} = \frac{Mx(xy)}{Mo(x)}$$

برای تعدادی بار خطی به شدت  $P_2 \sin \frac{\pi x}{L}$ ،  $P_1 \sin \frac{\pi x}{L}$  وغیره تغییرشکل و لنگر خمشی در هر نقطه  $(xy)$  توسط اصل رویهم گذاری قوا عبارت است از:

$$\omega_{xy} = \sum_{i=1}^n P_i \omega_i(1)(y) \sin \frac{\pi x}{L}$$

عکس شعاع انحنا

$$\frac{d^2 \omega_{xy}}{dx^2} = \frac{\pi^2}{L^2} \sum_{i=1}^n P_i \omega_i(1)(y) \sin \frac{\pi x}{L}$$

$$M_x(xy) = EI \frac{\pi^2}{L^2} \sum_{i=1}^n P_i \omega_i(1)(y) \sin \frac{\pi x}{L}$$

که در آنها  $\omega_i(1)(y) \sin \frac{\pi x}{L}$  بهانگر خیز در اثر یک بار سینوسی با مقدار جداگشتر واحد و خروج از مرکز  $e$  می‌باشد. اکنون

$$M_o(x) = EI \omega_o \frac{\pi}{L^2} \sin \frac{\pi x}{L}$$

$$M_o(1)(x) = EI \omega_o(1) \frac{\pi^2}{L^2} \sin \frac{\pi x}{L}$$

پس

اگر از تقسیم  $M_x(xy) = M_o(1)(x)$  خواهیم داشت

$$M_x(xy) = M_o(1)(x) \sum_{i=1}^n p_i K_i(y)$$

$$K_i(y) = \frac{\omega_i(1)(y)}{\omega_o(1)}$$

اگر بار بطور یکنواخت در عرض  $2b$  پخش گردد در این صورت لنگر خمشی متوسط  $M_o(x)$  برابر است با:

$$M_o(x) = M_o(1)(x) \sum_{i=1}^n p_i$$

از تقسیم  $M_x(xy) = M_o(x)$  داریم:

$$K(y) = \frac{M_x(xy)}{M_o(x)} = \frac{\sum_{i=1}^n p_i K_i(y)}{\sum_{i=1}^n p_i}$$

$$\frac{M_x(xy)}{M_o(x)} = K(y) = \frac{\sum_{i=1}^n p_i K_i(y)}{\sum_{i=1}^n p_i}$$

و با بطور کلی

برای بار سینوسی روش بکار برده در بالا قابل قبول است اما اگر بارهای متتمرکز بکار گرفته شوند جوابها تقریبی خواهند بود چه روش براساس خطوط تأثیر برای بارهای سینوسی در جهت  $x$  می‌باشد. اگر دقیق‌تری لازم باشد در این صورت باید بار واقعی  $P(x)$  را به صورت سری فوریه درجهت  $x$  بیان کرد. اعداد جدول مربوط به ضرایب پخش براساس فرض پخش ساده سینوسی بار در جهت  $x$  تعیین شده‌اند. اما فقط اولین جمله از سری مربوطه به حساب آمده است (ضریب تصحیح ۱/۱ در فرمول  $M_{x\max}$  برای این منظور در نظر گرفته شده است). ضمناً از ضریب پواسیون مصالح بتن یعنی ۱۵٪ صرف نظر شده است که خطای

## ضمیمه (الف) - تئوری صفحات ارتوتروپیک

۳۴۵

بوجود آمده ناچیز است . ضرایب پخش بار عرضی برای نه نقطه استاندارد برای یک شبکه بدون پیچش  $K_0$  و شبکه پیچشی کامل  $K_1$  محاسبه شده است . برای سیستم مابین دو حالت ، ماسونت رابطه زیر را پیشنهاد کرده است :

$$k_\alpha = k_0 + (k_1 - K_0) \alpha^{\frac{1}{2}}$$

در این رابطه  $\alpha$  پارامتر پیچشی بین ۰ و ۱ باشد .

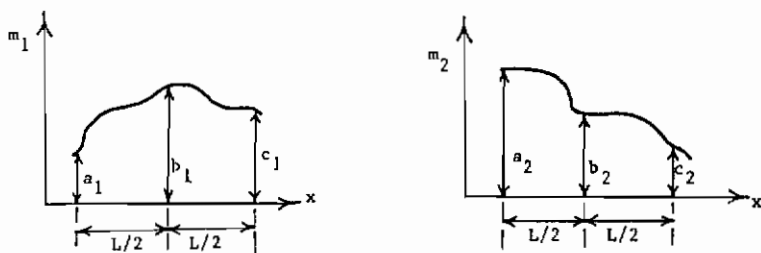
## ضمیمه (ب)

کاربرد روش نیرو - تغییر مکان<sup>۱</sup> (FDM) در تحلیل سازه‌ها

در این روش از تغییرشکل سازه جهت تعیین نیروهای عکس العمل مجھول استفاده می‌شود. این روش در اکثر موارد در مقایسه با روش‌های کلاسیک پخشنگر، استفاده از معادلات شب تغییر مکان، قضیه سه لنگر و غیره از سرعت بالاتری در حل مسائل نامعین برخوردار است ضمن اینکه معادلات حاصل را نیز می‌توان توسط کامپیوتر حل کرد. در این روش از حاصلضرب انتگرال‌ها استفاده می‌شود که مختصرانه "در زیر به آن اشاره می‌شود.

### انتگرال‌های حاصلضرب

دوتابع  $m_1$  و  $m_2$  را مطابق شکل (۱) در نظر بگیرید. حاصل عبارت  $\int m_1 \cdot m_2 \cdot dx$  را می‌توان به یکی از سه روش زیر تعیین کرد.



شکل (۱)

: روش ۱

معادله  $m_1$  و  $m_2$  را بر حسب  $x$  نوشتند و سپس انتگرال  $\int m_1 \cdot m_2 \cdot dx$  را تشکیل داده و بعد برای کرانه‌های مربوطه حل می‌نماییم.

روش ۲ :

با استفاده از قانون سیمپسون<sup>۲</sup> می توان حاصل طبق قانون سیمپسون داریم :

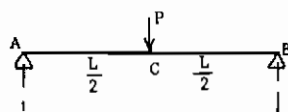
$$\int m_1 \cdot m_2 \cdot dx = \frac{L}{6} (a_1 a_2 + 4b_1 b_2 + c_1 c_2)$$

روش ۳ :

با توجه به اینکه ترسیمه لنگر خمی  $m_1$  یا  $m_2$  معمولاً "اشکال ساده و تعریف شده می باشند در این صورت حاصل ضرب انتگرال را می توان مستقیماً با استفاده از جدول (۱) محاسبه کرد :

مثال ۱ :

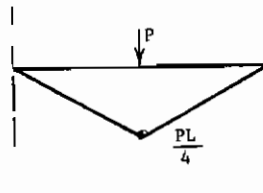
خیز حداکثر در وسط تیر ساده AB تحت اثر بار P را محاسبه کنید (شکل ۲ الف) .



شکل (۲ - الف)

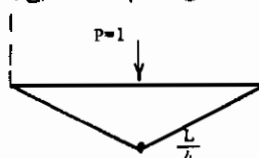
حل :

ترسیمه لنگر خمی در اثر بار P را رسم می کنیم که آنرا M می نامیم ، شکل (ب) .



شکل (۲ - ب)

بار واحدی بجای P به تیر در همان جهت P به تیر وارد می کنیم و ترسیمه لنگر خمی آنرا تعیین می کنیم که آنرا m می نامیم ، شکل (ج) .



شکل (۲ - ج)

اکنون خیز نقطه C از رابطه زیر تعیین می گردد .

$$x=L$$

$$y_c = \int_0^L -\frac{M \cdot m}{EI} \cdot dx$$

$$M = \frac{P}{2} x, \quad m = -\frac{x}{2}$$

$$\int \frac{M \cdot m}{EI} dx = \frac{1}{EI} \int_0^L M \cdot m \cdot dx = \frac{2}{EI} \int_0^{\frac{L}{2}} M \cdot m \cdot dx$$

$$y_c = \frac{2}{EI} \int_0^{\frac{L}{2}} \left( \frac{P}{2} x \right) \left( \frac{x}{2} \right) \cdot dx = \frac{P}{2EI} \int_0^{\frac{L}{2}} x^2 \cdot dx = \frac{PL}{48EI}$$

روش ۲ :

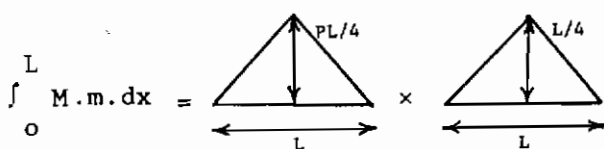
قانون سیمپسون را از A تا C و بعد از C تا B اجرا می‌کنیم، ضمناً "ترسیمه" M و m دارند.

$$y_c = 2 \int_0^{\frac{L}{2}} \frac{M \cdot m}{EI} \cdot dx = 2 \left( \frac{L}{6EI} \left[ (0 \times 0) + (4 \times \frac{PL}{8} \times \frac{L}{8}) + (\frac{PL}{4} \times \frac{L}{4}) \right] \right)$$

$$y_c = \frac{PL^3}{48EI}$$

روش ۳ :

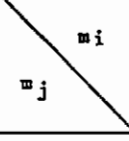
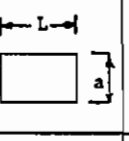
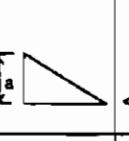
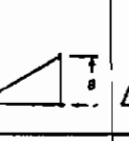
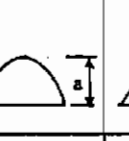
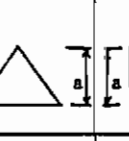
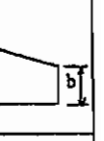
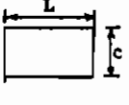
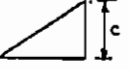
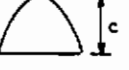
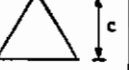
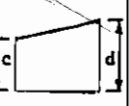
با توجه به جدول ۱ داریم:



$$= \frac{1}{3} \times L \times \frac{PL}{4} \times \frac{L}{4} = \frac{PL^3}{48} \rightarrow y_c = \frac{PL^3}{48EI}$$

حاصل ضرب انتگرالها

$$\int_0^L m_i \ m_j \ ds$$

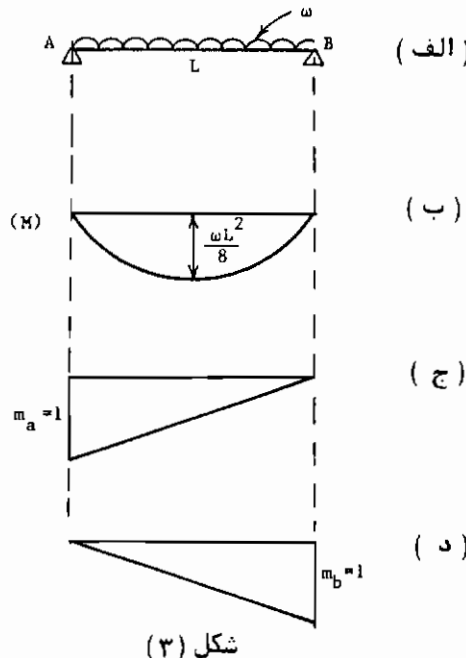
						
	Lac	$\frac{1}{2} Lac$	$\frac{1}{2} Lac$	$\frac{2}{3} Lac$	$\frac{1}{2} Lac$	$\frac{1}{2} L(a+b)c$
	$\frac{1}{2} Lac$	$\frac{1}{3} Lac$	$\frac{1}{6} Lac$	$\frac{1}{3} Lac$	$\frac{1}{4} Lac$	$\frac{1}{6} L(2a+b)c$
	$\frac{1}{2} Lac$	$\frac{1}{6} Lac$	$\frac{1}{3} Lac$	$\frac{1}{3} Lac$	$\frac{1}{4} Lac$	$\frac{1}{6} L(a+2b)c$
	$\frac{2}{3} Lac$	$\frac{1}{3} Lac$	$\frac{1}{3} Lac$	$\frac{8}{15} Lac$	$\frac{5}{12} Lac$	$\frac{1}{3} L(a+b)c$
	$\frac{1}{2} Lac$	$\frac{1}{4} Lac$	$\frac{1}{4} Lac$	$\frac{5}{12} Lac$	$\frac{1}{3} Lac$	$\frac{1}{4} L(a+b)c$
	$\frac{1}{2} La(c+d)$	$\frac{1}{6} La(2c+d)$	$\frac{1}{6} La(c+2d)$	$\frac{1}{3} La(c+d)$	$\frac{1}{4} La(c+d)$	$\frac{1}{6} L[a(2c+d) + b(2d+c)]$

جدول (۱)

شدت بار یکنواخت  $\omega$  به تیر ساده AB اعمال می‌گردد. زاویه منحنی ارتیجاعی در تکیه‌گاه A و B را حساب کنید (شکل ۳ الف).

حل :

ترسیمه لنگر در اثر بار اعمال شده را رسم می‌کیم، شکل (ب). ممانی به اندازه واحد در A اعمال شده و ترسیمه آنرا رسم می‌کنیم، شکل (ج). از شکل (ب) و (ج)  $\theta_A$  محاسبه می‌گردد. ممان واحدی به B اعمال شده و ترسیمه آن رسم می‌شود، شکل (د). با استفاده از شکلها (ب) و (د)  $\theta_B$  تعیین می‌گردد.



$$\theta_A = \frac{1}{EI} \int M \cdot m \cdot dx = \frac{1}{EI} (\text{---} \times \triangle)$$

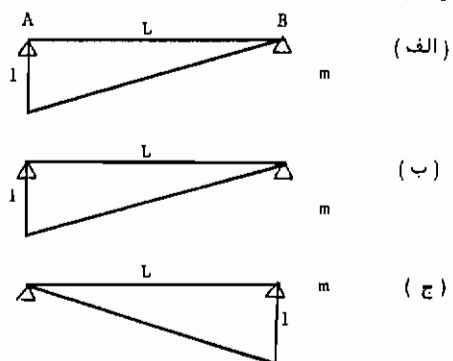
$$\theta_A = \frac{1}{EI} \left( \frac{1}{3} \times L \times \frac{\omega L^2}{8} \times 1 \right) = \frac{\omega L^3}{24EI} = \theta_{ab}$$

$$\theta_B = \frac{\omega L^3}{24EI} = \theta_{ba}$$

بطور مشابه خواهیم داشت :

مثال ۳:

زاویه دو انتهای تیز ساده شکل (۴-الف) را در اثر اعمال لنگر خمشی واحد یکبار در A و بار دیگر در B محاسبه نمایید.



شکل (۴)

حل: با استفاده از شکل (الف) و (ب) داریم:

$$\theta_{ab} = \alpha_{ab} = \frac{1}{EI} \int M \cdot m \cdot dx$$

$$= \frac{1}{EI} \times \frac{1}{3} \times L \times 1 \times 1 = \frac{L}{3EI}$$

و با استفاده از شکل (الف) و (ج) داریم:

$$\theta_{ba} = \beta_{ba} = \frac{1}{EI} \int M \cdot m \cdot dx$$

$$= \frac{1}{EI} \times \frac{1}{6} \times L \times 1 \times 1 = \frac{L}{6EI}$$

### تحلیل سازه های نامعین با استفاده از ضرایب $\alpha$ و $\beta$ و $\theta$

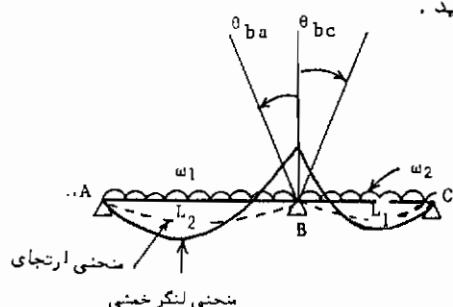
برای تحلیل سازه های نامعین با استفاده از روش نیرو - تغییر مکان، ابتدا با برشهای مناسب سازه بصورت معین در آورده می شود. در این مرحله مقادیر  $\theta$  برای اعضاء در اثر بارهای اعمال شده به سازه محاسبه می شوند. سپس با اعمال لنگرهای لازم زوایای  $\theta$  کمتر اثر برش زدن بوجود آمدene است می شوند. در این شرایط معادله سازگاری برای هر اتصال نوشته می شود و از حل آنها لنگرهای در اتصالات محاسبه می گردند. از آن پس سازه را می توان همانند یک سازه معین تحلیل کرد و نیروهای داخلی آنرا بدست آورد. نکته مهم در تحلیل

سازه به این روش فرض صحیح منحنی ارجاعی سازه می‌باشد که از روی آن ترسیمه لنجرخمشی تعیین می‌گردد.

#### مثال ۴:

با استفاده از روش نیرو - تغییر مکان تغییرات نیروی برشی و لنجرخمشی تیر دودهانه

شکل (۵ - الف) را تعیین کنید.



حل: در اتصال B داریم:

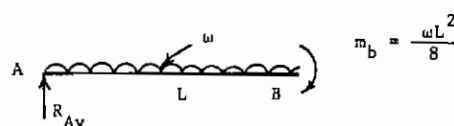
شکل (۵ - الف)

$$m_b \alpha_{ba} + m_b \alpha_{bc} = \theta_{ba} + \theta_{bc}$$

$$m_b \left( \frac{L_1}{3E_1 I_1} \right) + m_b \left( \frac{L_2}{3E_2 I_2} \right) = \frac{\omega_1 L_1^3}{24 E_1 I_1} + \frac{\omega_2 L_2^3}{24 E_2 I_2}$$

که از این معادله مقدار  $m_b$  محاسبه می‌گردد. اما اگر فرض شود که  
خواهیم داشت:  $L_1 = L_2 = L$  و  $\omega_1 = \omega_2 = \omega$

$$m_b \left( \frac{2L}{3EI} \right) = \frac{\omega L^3}{12EI} \longrightarrow m_b = \frac{\omega L^2}{8}$$



$$\sum M_B = 0 \longrightarrow R_{Ay} L + \frac{\omega L^2}{8} = \frac{\omega L^2}{2} \longrightarrow R_{Ay} = \frac{3}{8} \omega L$$

$$R_{Cy} = R_{Ay} = \frac{3}{8} \omega L$$

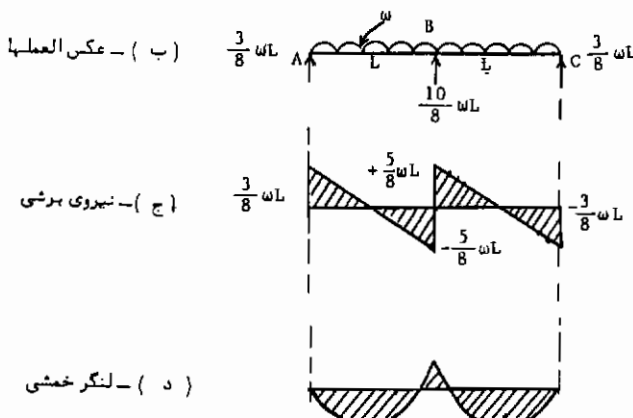
با تقارن داریم

۴۵۳

ضیمه (ب) - کاربرد روش نیرو - تغییر مکان در تحلیل سازه ها

$$\sum F_y = 0 \longrightarrow R_{By} = -\frac{10}{8} \omega L \quad \text{و برای کل سازه داریم}$$

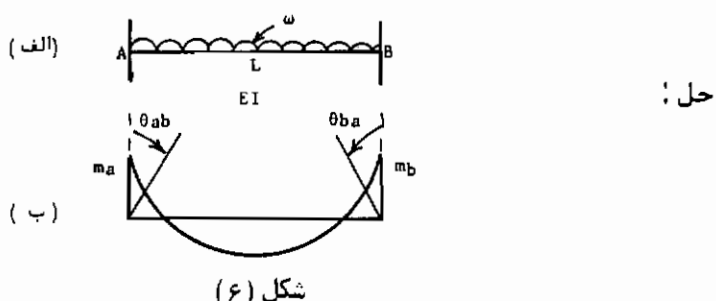
نتایج در اشکال ۵ (ب) الی (د) نشان داده شده است.



بقیه شکل (۵)

مثال ۵:

تیر دوانتهای گیردار با بار گسترده هموار به شدت  $\omega$  شکل ع\_الف را تحلیل کنید.



شکل (۶)

$$A \longrightarrow m_a \left( \frac{L}{3EI} \right) + m_b \left( \frac{L}{6EI} \right) = \theta_{ab} = \frac{\omega L^3}{24EI}$$

$$B \longrightarrow m_b \left( \frac{L}{3EI} \right) + m_a \left( \frac{L}{6EI} \right) = \theta_{ba} = \frac{\omega L^3}{24EI}$$

$$m_a + \frac{1}{2}m_b = \frac{\omega L^2}{8} \quad -(1)$$

$$m_b + \frac{1}{2}m_a = -\frac{\omega L^2}{8} \quad \times (2) \longrightarrow -2m_b - m_a = -\frac{\omega L^3}{4} \quad -(2)$$

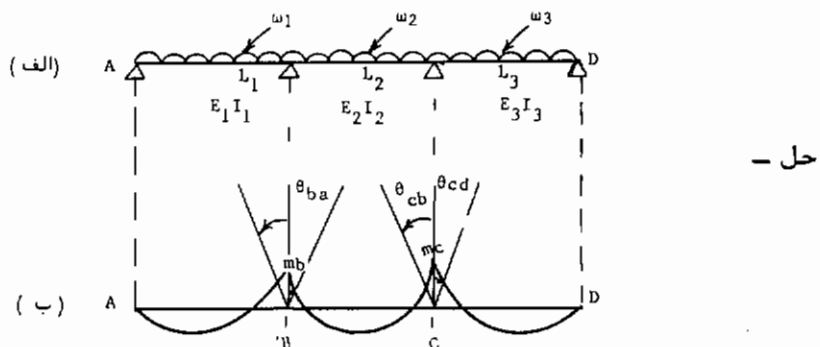
$$1 + 2 \quad \frac{3}{2}m_b = -\frac{\omega L^2}{8} \rightarrow m_b = \frac{\omega L^2}{12}$$

$$(1) \rightarrow m_a = \frac{\omega L^2}{8} - \frac{1}{2} \times \frac{\omega L^2}{12} = \frac{3-1}{24} \omega L^2 = \frac{\omega L^2}{12}$$

نتایج در شکل (ع-ب) نشان داده شده است.

: مثال ۶

تیر سه دهانه با بارگستردۀ هموار شکل (۷-الف) را تحلیل کنید.



شکل (۷)

$$B \rightarrow m_b \alpha_{ba} + m_b \alpha_{bc} + m_c \beta_{bc} = \theta_{ba} + \theta_{bc}$$

$$C \rightarrow m_c \alpha_{cb} + m_c \alpha_{cd} + m_b \beta_{cb} = \theta_{cb} + \theta_{cd}$$

$$m_b \left( \frac{L_1}{3E_1 I_1} \right) + m_b \left( \frac{L_2}{3E_2 I_2} \right) + m_c \left( \frac{L^2}{6E_2 I_2} \right) = \frac{\omega_1 L_1^3}{24 E_1 I_1} + \frac{\omega_2 L_2^3}{24 E_2 I_2}$$

$$m_c \left( \frac{L_2}{3E_2 I_2} \right) + m_c \left( \frac{L_3}{3E_2 I_2} \right) + m_c \left( \frac{L_2}{6E_2 I_2} \right) = \frac{\omega_2 L_2^3}{24E_2 I_2} + \frac{\omega_3 L_3^3}{24E_3 I_3}$$

$$E_1 I_1 = E_2 I_2 = E_3 I_3 = EI , \quad \text{اگر}$$

$$L_1 = L_2 = L_3 = 1 ,$$

$$\omega_1 = \omega_2 = \omega_3 = \omega ,$$

$$\begin{cases} \frac{1}{3} m_b + \frac{1}{3} m_b + \frac{1}{6} m_c = \frac{1}{24} \omega L^2 + \frac{1}{24} \omega L^2 \\ \frac{1}{3} m_c + \frac{1}{3} m_c + \frac{1}{6} m_b = \frac{1}{24} \omega L^2 + \frac{1}{24} \omega L^2 \end{cases}$$

$$\begin{cases} 2m_b + \frac{1}{2} m_c = \frac{1}{4} \omega L^2 \\ 4m_b + m_c = \frac{1}{2} \omega L^2 \end{cases} \quad (1)$$

$$\begin{cases} 2m_c + \frac{1}{2} m_b = \frac{1}{4} \omega L^2 \\ 4m_c + m_b = \frac{1}{2} \omega L^2 \end{cases} \quad \times (-4) \rightarrow \begin{cases} 4m_c + m_b = \frac{1}{2} \omega L^2 \\ -15m_c = -\frac{3}{2} \omega L^2 \end{cases} \quad (2)$$

$$\begin{cases} 4m_b + m_c = \frac{1}{2} \omega L^2 \\ -16m_c - 4m_b = -2 \omega L^2 \end{cases} \Rightarrow -15m_c = -\frac{3}{2} \omega L^2 \rightarrow m_c = \frac{1}{10} \omega L^2$$

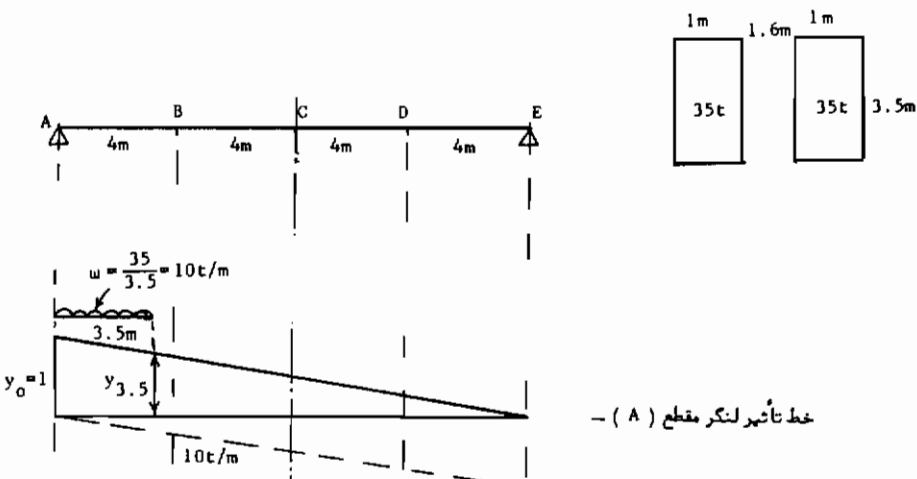
$$(1) \rightarrow 4mb + \frac{1}{10} \omega L^2 = \frac{1}{2} \omega L^2 \rightarrow 4mb = \frac{4}{10} \omega L^2 \rightarrow mb = \frac{1}{10} \omega L^2$$

## مسائل ضمیمه و حل آنها

مسئله ۱ - مطلوبست تعیین منحنی پوش برش و لنگر خمشی بار تانک ارتشی ایران، برای عبورگاهی بهدهانه ساده ۱۶ متر.

حل

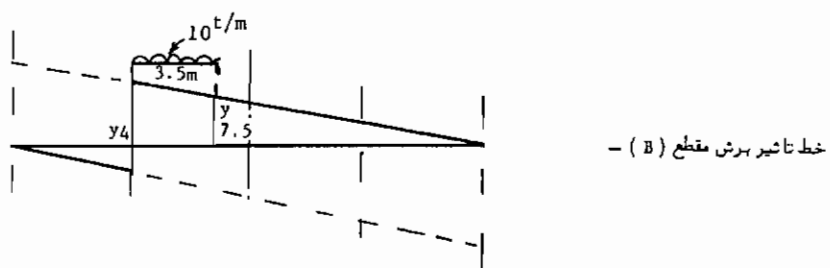
ابتداً مقادیر را در  $\sigma$  ،  $L$  و  $\frac{3L}{4}$  برای واحد عرض عبورگاه محاسبه می‌شود.



$$y_{3.5} = \frac{12.5}{16} \text{ m}$$

$$v_{0(+)} = \left( \frac{1 + \frac{12.5}{16}}{2} \times 3.5 \right) (10) = 31.172 \text{ t/m}$$

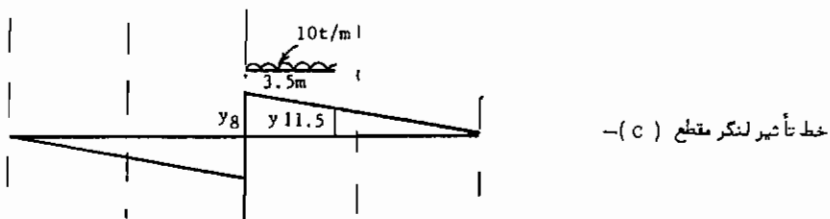
$$= 305.796 \text{ KN/m}$$



$$y_4 = \frac{12}{16} = \frac{3}{4} \text{ m} \quad , \quad y_{7.5} = \frac{8.5}{16} \text{ m}$$

$$V_{4(+)} = \left( \frac{\frac{3}{4} + \frac{8.5}{16}}{2} \right) (3.5)(10) = 22.422 \text{ t/m}$$

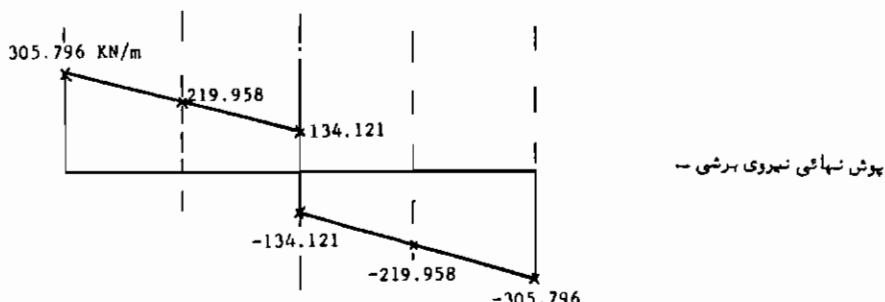
$$= 219.958 \text{ KN/m}$$

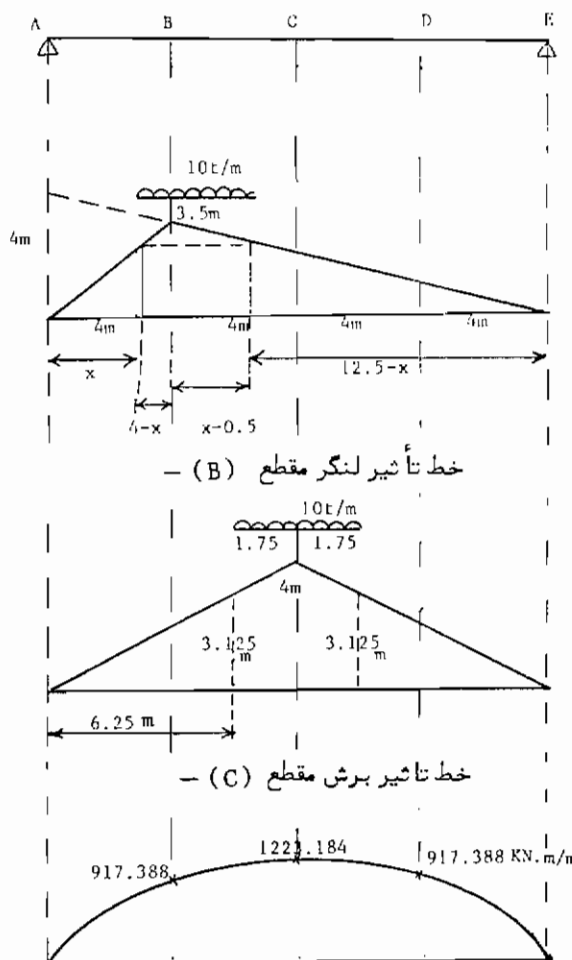


$$y_8 = 0.5 \text{ m} \quad , \quad y_{11.5} = \frac{4.5}{16} \text{ m}$$

$$V_{8(+)} = \left( \frac{0.5 + \frac{4.5}{16}}{2} \right) (3.5)(10) = 13.672 \text{ t/m}$$

$$= 134.121 \text{ KN/m}$$





$$y_B = \frac{12}{16} \times 4 = 3\text{m}$$

$$a = \frac{x}{4} \times 3 = \frac{3}{4}x, \quad b = -\frac{12.5-x}{12} \times 3 = \frac{12.5-x}{4}$$

مساحت زیر منحنی خط تأثیر:

$$S = \frac{a+3}{2} \times (4-x) + \left( \frac{b+3}{2} \right) (x-0.5) \\ = \left( \frac{\frac{3}{4}x+3}{2} \right) (4-x) + \left( \frac{\frac{12.5-x}{4}+3}{2} \right) (x-0.5)$$

$$\begin{aligned}
 &= \frac{1}{2} \left[ (3x - \frac{3}{4}x^2 + 12 - 3x) + (\frac{12.5}{4}) - \frac{x}{4} \right] x \\
 &\quad - 0.5 \left( \frac{12.5-x}{4} \right) + 3x - 1.5 \\
 &= \frac{1}{2} \left[ -\frac{3}{4}x^2 + 12 + \frac{12.5}{4}x - \frac{x^2}{4} - \frac{12.5}{8} + \frac{x}{8} + 3x - 1.5 \right] \\
 &= \frac{1}{2} \left[ -x^2 + \frac{25+1+24}{8}x + \frac{96-12.5-12}{8} \right] \\
 S &= \frac{1}{2} \left[ -x^2 + \frac{25}{4}x + \frac{71.5}{8} \right]
 \end{aligned}$$

$$\frac{ds}{dx} = 0 \longrightarrow -2x + \frac{25}{4} = 0 \longrightarrow x = \frac{25}{8} \quad m = 3.125 \quad m$$

$$S_{max.} = \frac{1}{2} \left[ -\left(\frac{25}{8}\right)^2 + \left(\frac{25}{4}\right)\left(\frac{25}{8}\right) + \frac{71.5}{8} \right] = 9.35156 \quad m^2$$

$$M_{4m} = 9.35156 \times 10 = 93.5156 \quad t.m/m = 917.388 \quad KN.m/m$$

$$y_{6.25} = 3.125 \quad , \quad y_{9.75} = 3.125$$

$$S=2 \quad \left( \frac{3.125+4}{2} \right) (1.75) = 12.46875 \quad m^2 \quad \text{پس :}$$

$$M_{8m} = 12.46875 \times 10 = 124.6875 \quad t.m/m = 1223.184 \quad KN.m/m$$

روش دوم برای  $M_{4m}$  حد اکثر :

$$a = b \rightarrow \frac{3}{4}x = \frac{12.5-x}{4} \rightarrow x = 3.125 \quad m$$

$$a = b = \frac{3}{4}x = 2.34375 \quad m$$

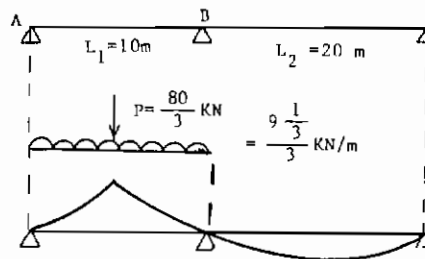
$$S = \left( \frac{a+3}{2} \right) (4-x) + \left( \frac{b+3}{2} \right) (x-0.5) = 9.35156 \quad m^2$$

مسئله ۲ - برای واحد عرض عبورگاه شکل زیر در اثر بارخطی معادل آشتو مطلوبست:

الف) - ممان حداکثر در وسط دهانه AB

BC " " " " = ب )

ج ) - تکیه گاه B " " " =



حل الف ) -

خط تأثیر و بارگذاری برای لنگر مثبت حداکثر در مقطع وسط دهانه AB

با استفاده از جدول (۱-۴) برای  $L_2 : L_1 = 1:2$  داریم :

$$S_{AB} = \left( \frac{10}{6} \right) (0.070 + 0.142 + 0.219 + 0.136 + 0.062) = 1.0483 \text{ m}$$

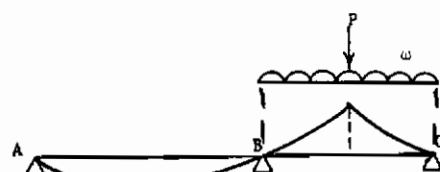
$$y_{5\text{m}} = 0.219$$

لنگر مثبت وسط دهانه AB برابر است با :

$$M_{(+)} \text{ AB } = (\omega \cdot S_{AB} \cdot L_1) + (P \cdot y \cdot L_1)$$

$$= \left( \frac{9 \frac{1}{3}}{3} \times 1.0483 \times 10 \right) + \left( \frac{80}{3} \times 0.219 \times 10 \right)$$

$$= 32.614 + 58.4 = 91.014 \text{ KN.m/m AB وسط}$$



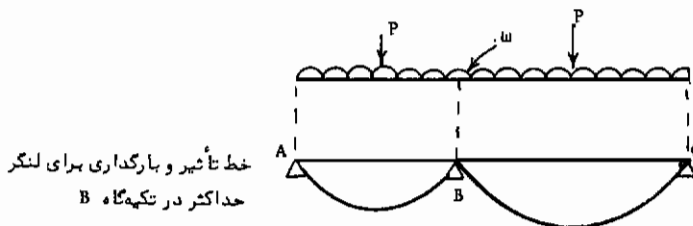
خط تأثیر و بارگذاری برای لنگر مثبت حداکثر در مقطع وسط دهانه BC

$$S_{BC} = \left( \frac{20}{6} \right) (0.082 + 0.210 + 0.375 + 0.233 + 0.113) = 3.377 \text{ m}$$

$$y_{20\text{m}} = 0.375$$

$$M_{(+)}_{BC} = \left( \frac{9\frac{1}{3}}{3} \times 3.377 \times 20 \right) + \left( \frac{80}{3} \times 0.375 \times 20 \right)$$

= 210.124 + 200 = 410.124 KN.m/m      BC      در مقطع وسط



$$S_{ABC} = \frac{10}{6} (0.027 + 0.049 + 0.063 + 0.062 + 0.042) + \\ \frac{20}{6} (0.170 + 0.247 + 0.250 + 0.198 + 0.108) \\ = 0.405 + 3.243 = S_{AB} + S_{BC}$$

$$y_{5m} = 0.063 \quad , \quad y_{20m} = 0.250$$

$$M_{(-)}_{B} = - \left[ \left( \frac{9\frac{1}{3}}{3} \times 0.405 \times 10 \right) + \left( \frac{9\frac{1}{3}}{3} \times 3.243 \times 20 \right) \right] \\ - \left[ \left( \frac{80}{3} \times 0.063 \times 10 \right) + \left( \frac{80}{3} \times 0.25 \times 20 \right) \right]$$

= -214.387 - 150.133 = -364.520 KN.m/m      B      دو مقطع تکیهگاه

مسئله ۳ - عبورگاهی ساخته شده از دال تخت توپر با دهانه ساده  $L=12m$ ، ضخامت دال  $80 cm$  و ضخامت متوسط آسفالت  $10 cm$  مفروض است. با استفاده از روش (۱) پخش عرضی مستقیم بار متتمرکز برای کامیون ۴۵ تنی ایران مطابقت محاسبه:

- الف) - مقدار عرض موئر  
ب) - پرش حداکثر و لنگر حداکثر مطلق در عرض واحد از دال، آیا تعداد کامیون

موئر است؟

ج ) - پوش برش و لنگر برای بار زنده یک کامیون

د ) - پوش برش و لنگر برای بار زنده یک کامیون و ضریب ضربه آئین نامه ایران .

حل الف ) -

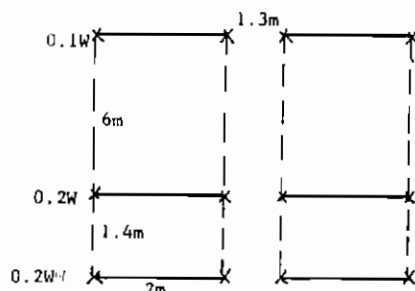
$$E = b + e + h$$

عقب یا میانی  $E = 0.7 + 0.1 + 0.8 = 1.6 \text{ m} > 1.3$

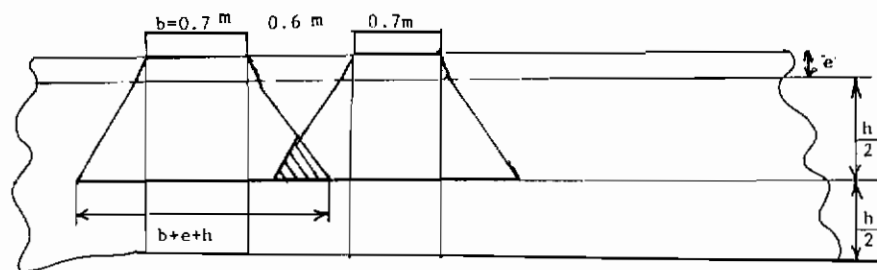
تداخل ندارد

جلو  $E = 0.25 + 0.1 + 0.8 = 1.15 \text{ m} < 1.3$

تداخل دارد



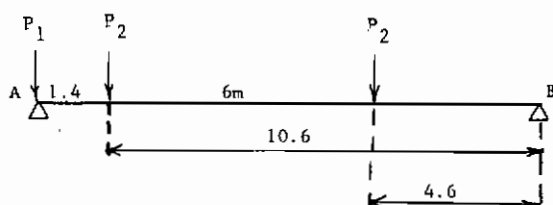
پلان دو کامیون ۴۵ تنی ایران



حل ب ) - همانگونه که در شکل بالا دیده می شود شدت بار برای دو چرخ عقب یا میانی

مجاور دو کامیون تداخل داشته و بنابراین تعداد کامیون موثر است .

برای یک کامیون برای برش حداکثر مثبت در A داریم :

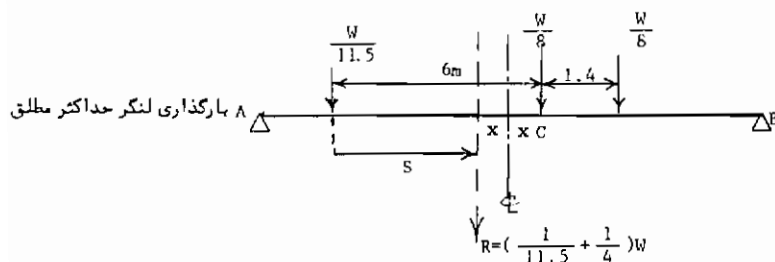


$$\text{جلو} \quad P_1 = \frac{0.1W}{1.15} = \frac{W}{11.5} \quad \text{که}$$

$$\text{عقب} \quad P_2 = \frac{0.2W}{1.6} = \frac{W}{8} \quad \text{میانی یا عقب}$$

$$V_{\max.} = R_{Ay} = \frac{\frac{W}{8} \times 12 + \frac{W}{8} \times 10.6 + \frac{W}{11.5} \times 4.6}{12} \quad \text{بنابراین}$$

$$= 0.26875 W = 12.09375 \text{ t/m} = 118.64 \text{ KN/m}$$



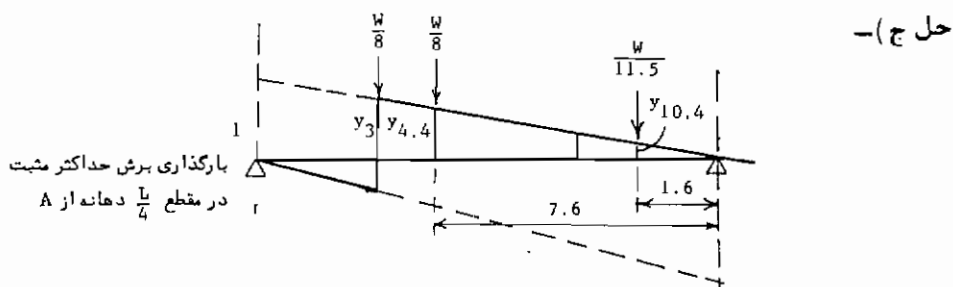
$$S = \frac{\frac{1}{8} \times 6 + \frac{1}{8} \times 7.4}{\left( \frac{1}{11.5} + \frac{1}{4} \right)} = 4.971 \text{ m}$$

$$2x = 6 - 4.971 \rightarrow x = 0.514 \text{ m}$$

$$R_{By} = \frac{\left( \frac{1}{11.5} + \frac{1}{4} \right) W \times (6 - 0.514)}{12} = 0.154 W$$

$$M_C = M_{\max.} = 0.154W \times (6 - 0.514) - \frac{W}{8} \times 1.4 = 0.669 W$$

$$= 30.142 \text{ t.m/m} = 295.703 \text{ KN.m/m}$$



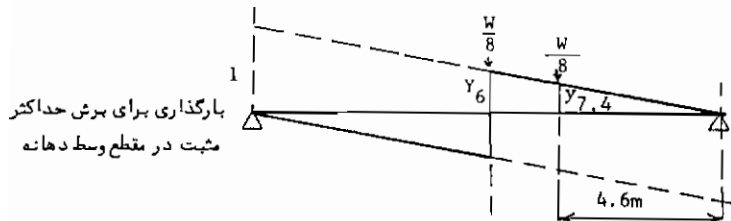
$$y_{3m} = \frac{9}{12} = \frac{3}{4}$$

$$y_{4.4} = \frac{7.6}{12} = \frac{1.9}{3}$$

$$y_{10.4} = \frac{1.6}{12} = \frac{0.4}{3}$$

$$V_{+3m} = W \left( \frac{1}{8} \times \frac{3}{4} + \frac{1}{8} \times \frac{1.9}{3} + \frac{1}{11.5} \times \frac{0.4}{3} \right)$$

$$= 0.1845W = 8.303 \text{ t/m} = 81.452 \text{ KN/m}$$

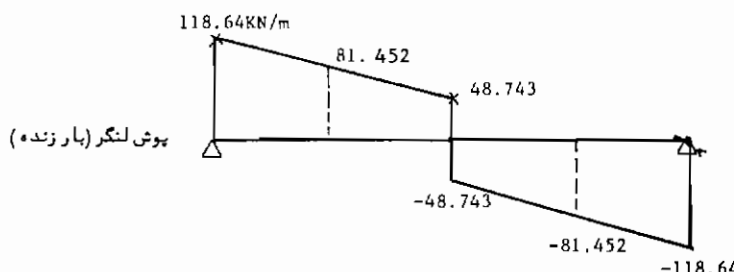


$$y_{6m} = 0.5$$

$$y_{4.6} = \frac{4.6}{12} = \frac{2.3}{6}$$

$$V_{+6m} = W \left( \frac{1}{8} \times 0.5 + \frac{1}{8} \times \frac{2.3}{6} \right) = 0.1104 W$$

$$= 4.968 \text{ t/m} = 48.743 \text{ KN/m}$$



$$\text{معادله منحنی بوش لنگر} \quad M = ax^2 + bx + c$$

$$A \left| \begin{array}{l} x = 0 \\ M = 0 \end{array} \right. \rightarrow c = 0$$

$$B \left| \begin{array}{l} x = 12 \\ M = 0 \end{array} \right. \rightarrow 0 = 144a + 12b$$

$$C \quad \left| \begin{array}{l} x \approx 6m \\ M = M_c \end{array} \right. \rightarrow M_c = 36a + 6b \quad , \quad b = -12a$$

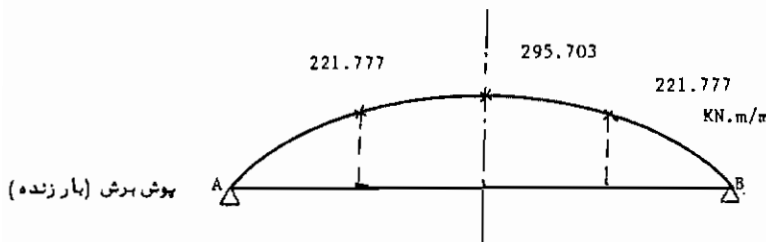
$$-36a = M_c \longrightarrow a = -\frac{M_c}{36} \longrightarrow b = -12 \times \left(-\frac{M_c}{36}\right) = +\frac{M_c}{3}$$

$$M = -\frac{M_c}{36}x^2 + \frac{M_c}{3}x \quad \text{بنابراین}$$

$$M = \frac{295.703}{3} \left( -\frac{1}{12}x^2 + x \right)$$

$$x = 3m \longrightarrow M_{3m} = \frac{295.703}{3} \left( \frac{-9}{12} + 3 \right) = 221.777 \text{ KN.m/m}$$

$$= 22.607 \text{ t.m/m}$$



- حل د (-)

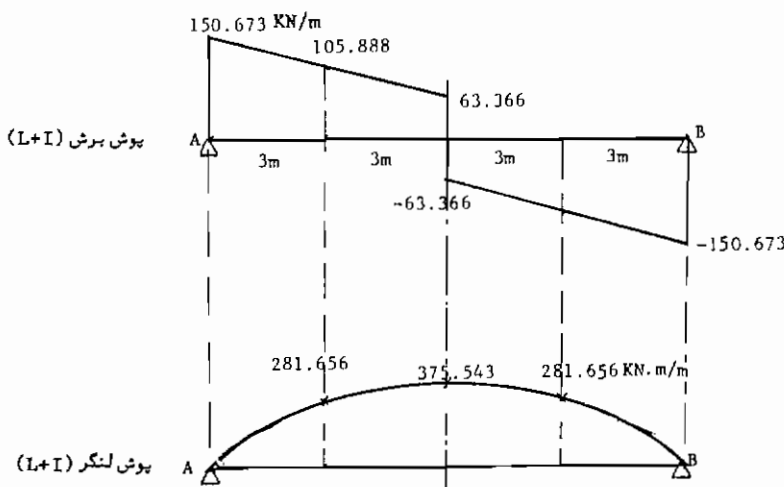
$$I = \frac{6}{10+L}$$

$$V \quad \left| \begin{array}{l} x = 0 \longrightarrow L_v = 12m \longrightarrow I_v = \frac{6}{10+12} = 0.27 < 0.3 \end{array} \right.$$

$$V \quad \left| \begin{array}{l} x = 3m \rightarrow L_v = 9m \rightarrow I_v = \frac{6}{10+9} = 0.32 > 0.3 \rightarrow I_v = 0.3 \end{array} \right.$$

$$V \quad \left| \begin{array}{l} x = 6m \longrightarrow L_v = 6m \longrightarrow I_v = 0.3 \end{array} \right.$$

$$M \quad \left| \begin{array}{l} L = 12m \longrightarrow I_M = 0.27 \end{array} \right.$$



$$V_{+0} = 118.64 \times 1.27 = 150.673 \text{ KN/m}$$

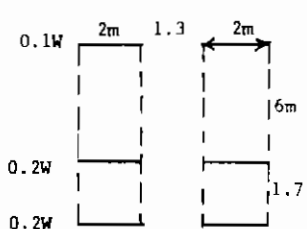
$$V_{+3} = 81.452 \times 1.30 = 105.888 \text{ KN/m}$$

$$V_{+6} = 48.743 \times 1.30 = 63.366 \text{ KN/m}$$

$$M_{3m} = 221.777 \times 1.27 = 281.656 \text{ KN.m/m}$$

$$M_{6m} = 295.703 \times 1.27 = 375.543 \text{ KN.m/m}$$

مسئله ۴ - عبورگاهی ساخته شده از دال تخت توپر مفروض است.  
دهانه ساده ۱۲ توسط دو کامیون ۴۵ تنی استاندارد ایران بارگذاری می‌شود (تداخل  
بررسی شود) ، با استفاده از روش ساده ۲ مطلوبست :

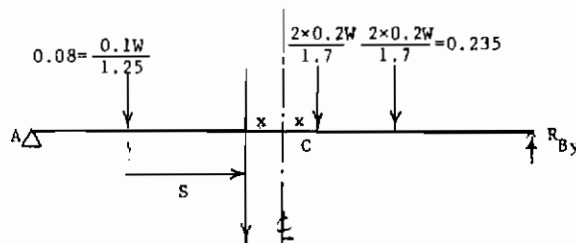


- الف - محاسبه لنگر خمشی حد اکثر مطلق
- ب - محاسبه و رسم منحنی پوش لنگر خمشی
- ج - محاسبه نیروی برشی حد اکثر
- د - محاسبه و رسم منحنی پوش نیروی برشی

حل الف (-)

بدون تداخل E = 0.25 + 0.20 + 0.8 = 1.25 < 1.3 جلو

بـ تـداـخـل E = 0.7 + 0.20 + 0.8 = 1.70 > 1.3 مـيـانـى بـا عـقـب



$$R = W \left( \frac{0.1}{1.25} + \frac{0.8}{1.7} \right) = 0.551 \text{ W}$$

$$6 \times 0.235 \text{ W} + 7.4 \times 0.235 \text{ W} = S \times 0.551$$

$$S = 5.726 \text{ m}$$

$$2x = 0.273 \rightarrow x = 0.137 \text{ m}$$

$$R_{By} = \frac{0.551W(6-0.137)}{12} = 0.269W$$

لنگر حد اکثر مطلق برابر است با :

$$M_c = (0.269W)(6-0.137) - (0.235)(1.4)W = 1.248W$$

$$= 56.166 \text{ t.m} = 550.994 \text{ KN.m/m}$$

$$M = ax^2 + bx + c$$

$$\left| \begin{array}{l} x=0 \\ M=0 \end{array} \right. \rightarrow c=0 \quad \left| \begin{array}{l} x=L \\ M=0 \end{array} \right. \rightarrow 0=aL^2 + bL \rightarrow b=-aL$$

$$\left| \begin{array}{l} x=\frac{L}{2} \\ M=M_c \end{array} \right. \rightarrow M_c = \frac{aL^2}{4} + \frac{bL}{2} \rightarrow M_c = \frac{aL^2}{4} - \frac{aL^2}{2} = -\frac{aL^2}{4}$$

$$a = -\frac{4M_c}{L^2}, \quad b = +\frac{4M_c}{L}$$

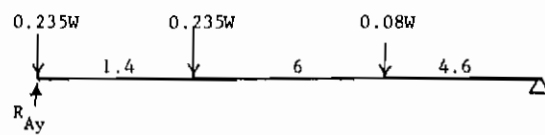
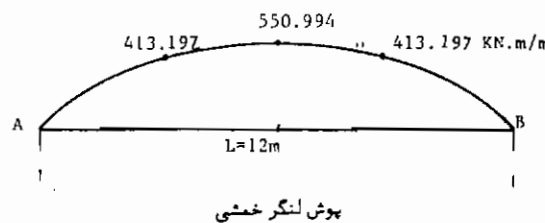
بنابراین داریم :

بنابراین معادله پوش لنگر عبارت است از:

$$M = -\frac{4M_c}{L^2}x^2 + \frac{4M_c}{L}x \quad \left| \begin{array}{l} x = \frac{L}{4} \\ M_{\max.} = -\frac{4M_c}{L^2} \frac{L^2}{16} + \frac{4M_c}{L} \frac{L}{4} = +\frac{3}{4} M_c \end{array} \right.$$

$$\frac{M_{\max}}{\frac{L}{4}} = \frac{3}{4} \times 1.248 W = 0.936W = 42.12 \text{ t.m/m}$$

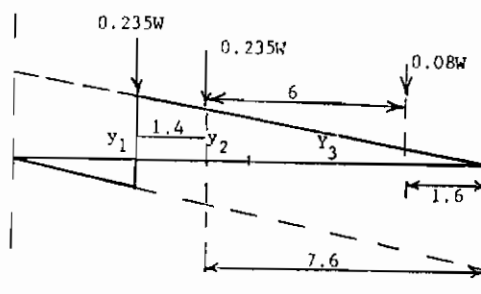
$$= 413.197 \text{ KN.m/m} = M_{\max} \frac{3L}{4}$$



بارگذاری بر روی حداکثر مشبт در A

$$V_{\max(+)} = R_{Ay} = \left( \frac{0.235 \times 12 + 0.235 \times 10.6 + 0.08 \times 4.6}{12} \right) W$$

$$= 0.473W = 21.296 \text{ t/m} = 208.916 \text{ KN/m}$$



بارگذاری بر روی حداکثر مشبт در  $\frac{L}{4}$

$$\frac{y_1}{1} = \frac{9}{12} = \frac{3}{4} \text{ m}$$

$$\frac{y_2}{1} = \frac{7.6}{12}$$

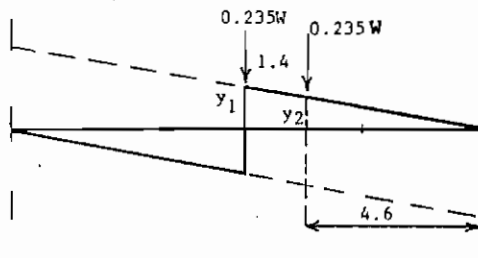
$$\frac{y_3}{1} = \frac{1.6}{12}$$

$$V_{\max} = \left[ (0.235 \times \frac{3}{4}) + (0.235 \times \frac{7.6}{12}) (0.08 \times \frac{1.6}{12}) \right] W$$

$$+ \frac{L}{4}$$

$$= 0.336 W = 15.108 \text{ t/m} = 148.216 \text{ KN/m}$$

$$= V_{\max} \frac{3L}{4}$$



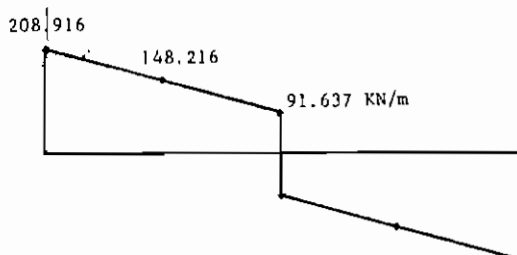
بارگذاری برش حداکثر مثبت در وسط دهانه

$$y_1 = 0.5 \quad \frac{y_2}{1} = \frac{4.6}{12}$$

$$V_{\max} \frac{L}{2} = \left[ (0.235 \times 0.5) + (0.235 \times \frac{4.6}{12}) \right] W$$

$$= 0.207 W = 9.341 \text{ t/m} = 91.637 \text{ KN/m}$$

$$= V_{\max} - \frac{L}{2}$$



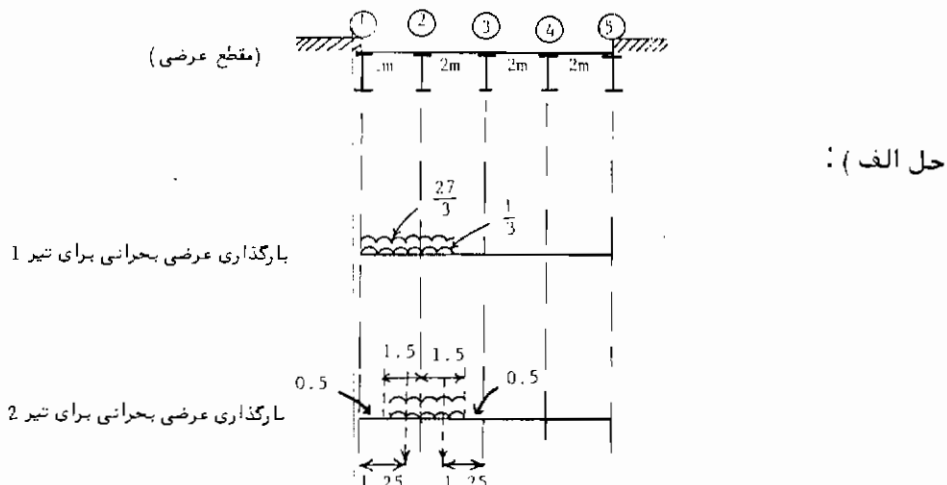
منحنی پوش برش

مسئله ۵ - عبورگاسی متشکل از پنج نیز طولی با دهانه ساده  $L=20m$  مطابق شکل زیر مفروض است. با استفاده از روش ساده برای بار خطی معادل ایران ( فقط یک خط عبور) مطلوبست :

الف - محاسبه سهم تیرهای طولی :

ب - رسم منحنی پوش برش تیر بحرانی :

ج - " " " خمس " "



بار خطی معادل ایران عبارت است از :

$$UDL = 1 \text{ t/m} / \text{خط} = 3\text{m}$$

$$\text{مان } \rho = 27 \text{ t} / \text{خط} \approx 3\text{m}$$

$$\rho = 31 \text{ t} / \text{خط} = 3\text{m}$$

$$R_{1V} = \frac{1}{2} \left[ \left( \frac{1}{3} \times 2 \right) + \left( \frac{27}{3} \times 2 \right) \right] = \frac{1}{3}\text{t/m} + 9 \text{ t}$$

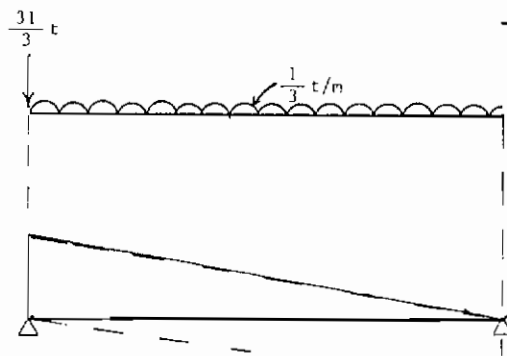
$$R_1 = R_5 , \quad R_{1M} = \frac{1}{3} \text{ t/m} + \frac{31}{3} \text{ t}$$

$$R_{2M} = 2 \left[ \frac{1.5 \times \frac{1}{3} \times 1.25}{2} + \frac{1.5 \times \frac{27}{3} \times 1.25}{2} \right]$$

$$R_{2M} = 0.625 \text{ t/m} + 16.875 \text{ t}$$

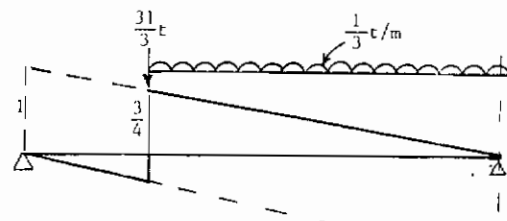
$$R_{2V} = 0.625 \text{ t/m} + 19.375 \text{ t}$$

حل بـ -



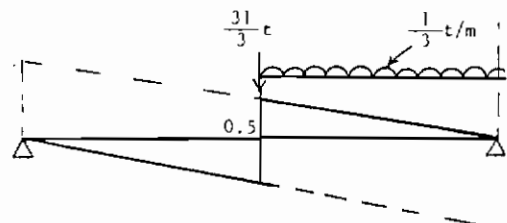
$$\text{تیر 1} \quad v_0 = \frac{31}{3} + \frac{1}{3} \times 20 \times \frac{1}{2} = 13.667 \text{ t/m}$$

$$\text{تیر 2} \quad v_0 = 19.375 + 0.625 \times 20 \times \frac{1}{2} = 25.625 \text{ t/m}$$



$$1 \quad v_5 = \frac{31}{3} \times \frac{3}{4} + \frac{1}{3} \times \frac{3}{4} \times 15 \times \frac{1}{2} = 9.625 \text{ t/m}$$

$$2 \quad v_5 = 19.375 \times \frac{3}{4} + 0.625 \times \frac{3}{4} \times 15 \times \frac{1}{2} = 18.047 \text{ t/m}$$



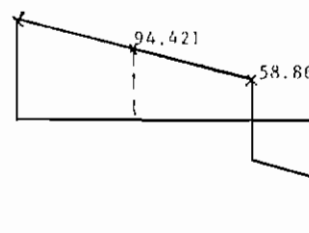
$$1 \quad v_{10} = \frac{31}{3} \times 0.5 + \frac{1}{3} \times 10 \times 0.5 \times \frac{1}{2} = 6 \text{ t/m}$$

$$2 \quad v_{10} = 19.375 \times 0.5 + 0.625 \times 0.5 \times 10 \times \frac{1}{2}$$

$$= 11.25 \text{ t/m}$$

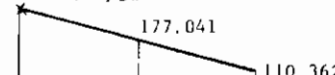
پوش برش تیر ۱ با ۵

تیر / KN



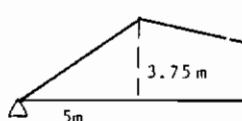
پوش برش تیر ۲ با ۴

تیر / KN



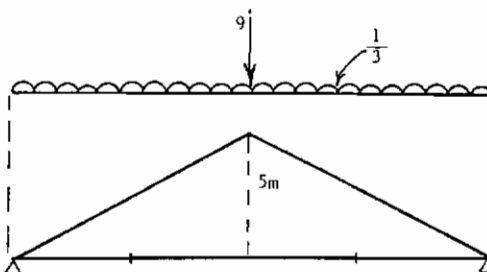
$\frac{1}{3} t/m$

حل (ج)



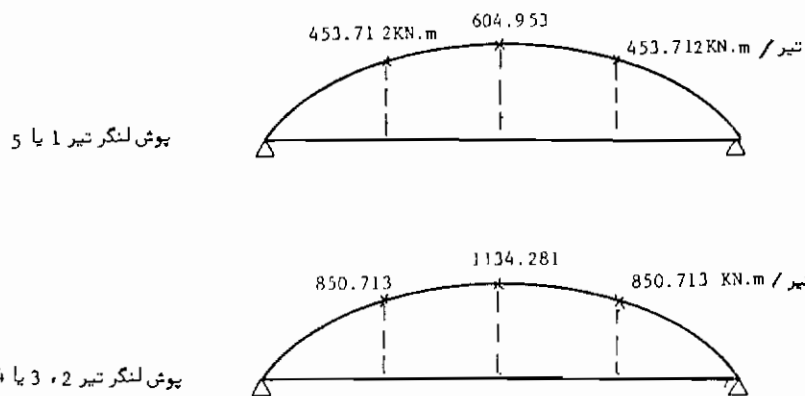
$$\text{تیر ۱} \quad M_{5m} = 9 \times 3.75 + \frac{1}{3} \times 3.75 \times 20 \times \frac{1}{2} = 46.25 \text{ t.m / تیر}$$

$$\text{تیر ۲} \quad M_{5m} = 16.875 \times 3.75 + 0.625 \times 3.75 \times 20 \times \frac{1}{2} = 86.719 \text{ t.m / تیر}$$

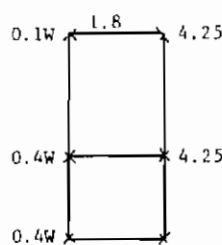


$$1 \quad M_{10m} = 9 \times 5 + \frac{1}{3} \times 5 \times 20 \times \frac{1}{2} = 61.667 \text{ t.m / تیر}$$

$$2 \quad M_{10m} = 16.875 \times 5 + 0.625 \times 5 \times 20 \times \frac{1}{2} = 115.625 \text{ t.m / تیر}$$



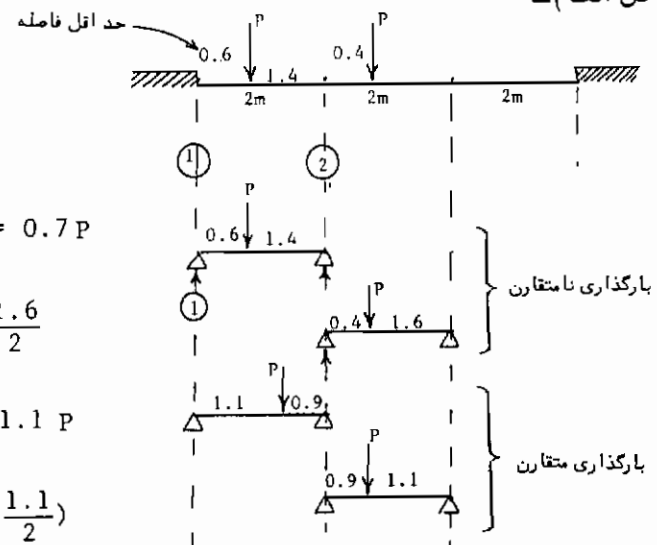
مسئله ۶ - مطلوب است محاسبه و رسم منحنی پوش لنگر تیر (۱) و (۲) برای عبورگاه دال و تیر با روش ساده به دهانه ساده ۲۰ m برای :



الف - یک بار کامیون HS20

ب - یک بار خطی معادل آشتو

حل الف ) -



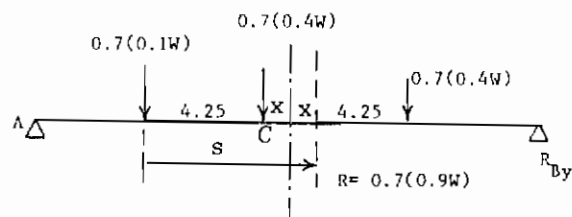
$$R_1 = \frac{1.4}{2} P = 0.7 P$$

$$R_2 = \frac{0.6}{2} + \frac{1.6}{2}$$

$$= \frac{2.2}{2} = 1.1 P$$

$$\therefore R_2 = \left( \frac{1.1}{2} + \frac{1.1}{2} \right)$$

$$= 1.1 P$$



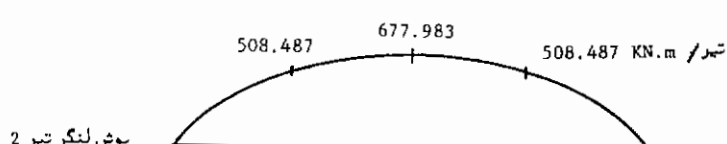
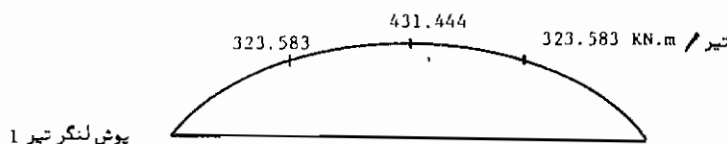
$$(0.7 \times 0.9) S = (4.25 \times 0.7 \times 0.4) + (8.50 \times 0.7 \times 0.4)$$

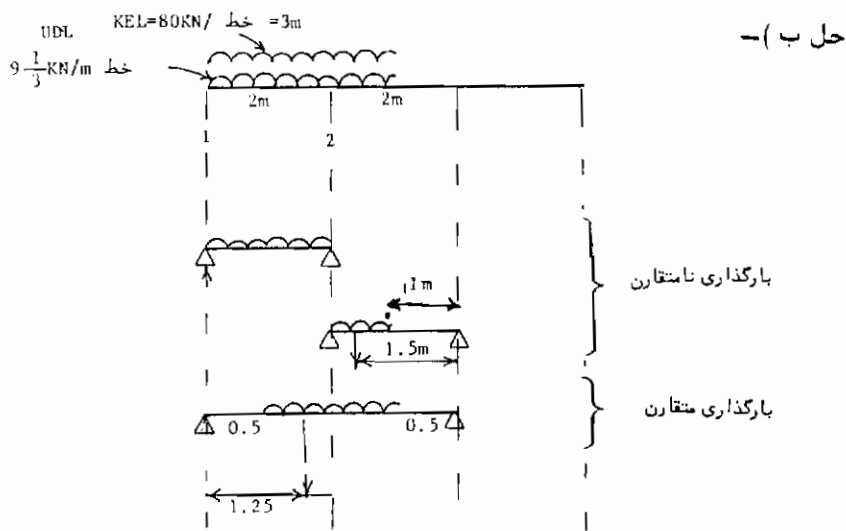
$$S = 5.667 \text{ m}$$

$$x = \frac{5.667 - 4.25}{2} = 0.708 \text{ m}$$

$$(0.7 \times 0.9) W \times 10.708 = R_{By} \times 20 \longrightarrow R_{By} = 0.3373 \text{ W}$$

$$\begin{aligned} M_c &= (0.3373 \text{ W})(10.708) - (0.7 \times 0.4W)(4.25) = 2.422 \text{ W} \\ &= 48.436 \text{ تیر/مریکائی} \\ &= 43.98 \text{ t/تیر} \\ &= 431.444 \text{ KN/تیر} \\ M_{(\frac{L}{4})} &= M_{(\frac{3L}{4})} = \frac{3}{4} \times 2.422 \text{ W} = 1.8165 \text{ W} \\ &= 32.985 \text{ t/تیر} \\ &= 323.583 \text{ KN/تیر} \end{aligned}$$





$$R_1 = \left( \frac{9 \frac{1}{3}}{3} \right) \left( \frac{2}{2} \right) + \left( \frac{80}{3} \right) \left( \frac{2}{2} \right)$$

$$= 3.111 + 26.667$$

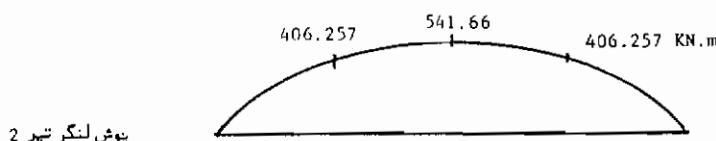
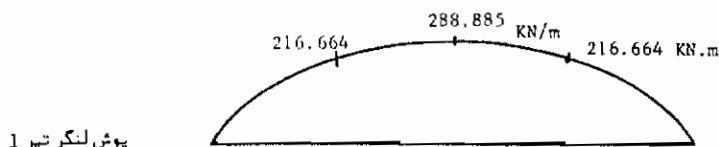
$$R_2 = \left[ 3.111 + \left( \frac{9 \frac{1}{3}}{3} \times \frac{1.5}{2} \right) \right] + \left[ 26.667 + \left( \frac{80}{3} \times \frac{1.5}{2} \right) \right]$$

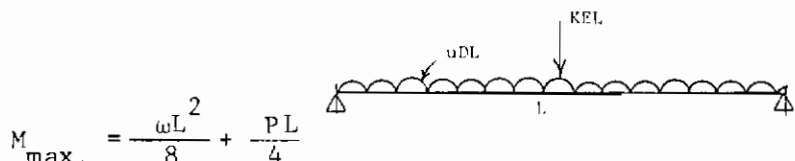
$$= 5.444 + 46.667$$

با استفاده از بارگذاری متقارن داریم :

$$\frac{1.25}{2} \times 2 \times \left( \frac{9 \frac{1}{3}}{3} \times 1.5 + \frac{80}{3} \times 1.5 \right) = \left( 9 \frac{1}{3} + 80 \right) 0.625$$

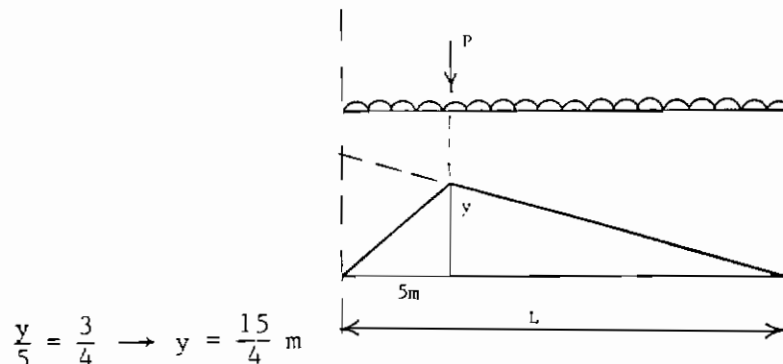
$$R_2 = 5.833 + 50 = R_{2\max}$$





$$M_{\max.1} = \frac{3.111 \times 20^2}{8} + \frac{26.667 \times 20}{4} = 288.885 \text{ KN.m}$$

$$M_{\max.2} = \frac{5.833 \times 20^2}{8} + \frac{50 \times 20}{4} = 541.65 \text{ KN.m}$$



$$M_{\max} \frac{L}{4} = \frac{1}{2} y \times L \times \omega + P \times y$$

$$M_{\max} \frac{L}{4} = \frac{1}{2} \times \frac{15}{4} \times 20 \times 3.111 + 26.667 \times \frac{15}{4} = 216.664 \text{ KN.m}$$

$$M_{\max} \frac{L}{4} = \frac{1}{2} \times \frac{15}{4} \times 20 \times 5.833 + 50 \times \frac{15}{4} = 406.237 \text{ KN.m}$$

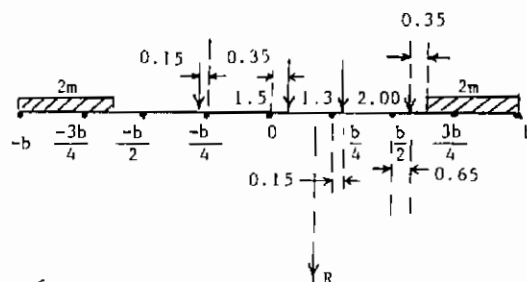
**مسئله ۷ - عبورگاه پلی با دهانه ساده**  $2a=L=12\text{m}$  ساخته شده از دال تخت توپر

به عرض کلی  $12\text{m}$  مطابق شکل زیر مفروض است. در صورتیکه دوبار کامیون ۴۵ تنی ایران

به عبورگاه اعمال گردد مطلوبست محاسبه لنگر خمشی طولی حداقل مطلق با استفاده از

روش ماسونت (روش تقریبی).

حل :



$$\theta = \frac{b}{2a} = \frac{6}{12} = 0.5$$

$$\frac{b}{4} = \frac{6}{4} = 1.5 \text{ m}$$

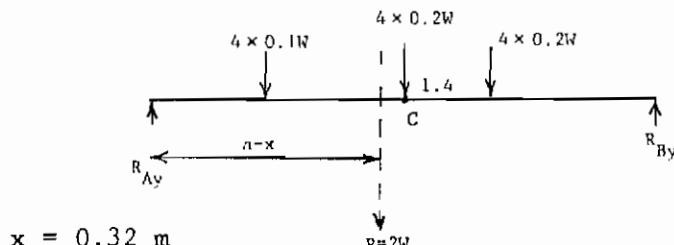
برآیند تقریباً نزدیک به  $\frac{b}{4}$  می باشد بنابراین :

$$\alpha = 1$$

$$e \approx \frac{b}{4}$$

$$\theta = 0.5 K_1$$

$$y = \frac{b}{2} \rightarrow K_{\max.} \approx 1.1603$$



$$x = 0.32 \text{ m}$$

$$a = 6 \text{ m}$$

$$R_{By} = \frac{2W \times (a-x)}{12}$$

$$M_{xmean} = \frac{1}{2b} \times [(R_{By})(a-x) - (0.8 W)(1.4)]$$

$$= \frac{1}{2b} \left[ \frac{W(a-x)^2}{6} - 0.8 W \times 1.4 \right]$$

$$= 0.3547 \text{ W}$$

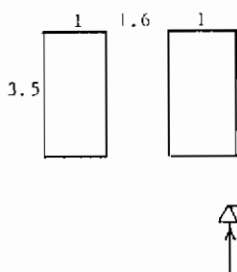
$$\begin{aligned}
 M_{x\max.} &= 1.1 \times 1.1603 \times 0.3547 \text{ W} = 0.4528 \text{ W} \\
 &= 20.375 \text{ t.m/m} \\
 &= 199.882 \text{ KN.m/m}
 \end{aligned}$$

**مسئله ۸ - عبورگاه بتُنی دال با مشخصات دهانه ساده ۱۵ m، عرض ۱۲ m مفروض است برای بار یک تانک ارتشی مطلوبست است محاسبه  $M_{x\max.}$  با استفاده از روش‌های زیر، عرض پیاده رو در هر طرف ۱/۵ متر فرض گردد.**

**الف - روش ساده (نواری به عرض واحد بدون پخش عرضی بار).**

**ب - روش تقریبی ماسونت.**

**ج - روش دقیق ماسونت.**

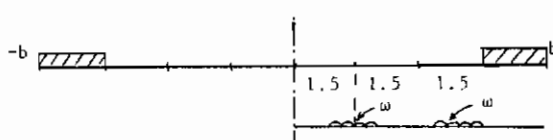


$$\omega = \frac{35}{3.5} = 10 \text{ t/m}$$

**حل الف) -**

$$\begin{aligned}
 M_c &= \left( \frac{35}{2} \times \left( \frac{15}{2} \right) \right) - \left( \frac{35}{2} \right) \left( \frac{1.75}{2} \right) \\
 &= 115.937 \text{ t.m/m} = 1137.347 \text{ KN.m/m}
 \end{aligned}$$

**حل ب) -**

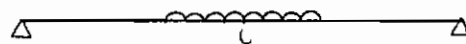


$$\frac{b}{4} = \frac{6}{4} = 1.5 \text{ m}$$

$$\theta = \frac{b}{2a} = \frac{6}{15} = 0.4 \longrightarrow \theta = 0.4 k_1$$

$$e \approx \frac{b}{2} \longrightarrow K_{\max.} = 1.2893$$

$$\omega = \frac{70}{3.5} = 20 \text{ t/m}$$



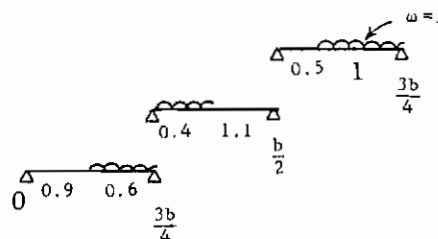
$$M_{xmean.} = M_c = \frac{(الـ) M_c \times 2}{12}$$

$$M_{xmean.} = \frac{115.937 \times 2}{12} = 19.323 \text{ t.m/m} = 189.557 \text{ KN.m/m}$$

$$= 1.1 \times 1.2893 \times 189.557 = 268.835 \text{ KN.m/m}$$

$$= 27.404 \text{ t.m/m}$$

حل ج -



$$\lambda_{\frac{3b}{4}} = \frac{\omega \times 1}{1.5} = \frac{1}{1.5} \quad \omega = 0.6667$$

$$\lambda_{\frac{b}{2}} = \frac{0.5 + (0.4)(0.2)}{1.5} = 0.3866$$

$$\lambda_{\frac{b}{4}} = \frac{(0.4)(1.3) + (0.6)(1.2)}{1.5} = 0.8267$$

$$\lambda_o = \frac{(0.6)(0.3)}{1.5} = 0.1200$$

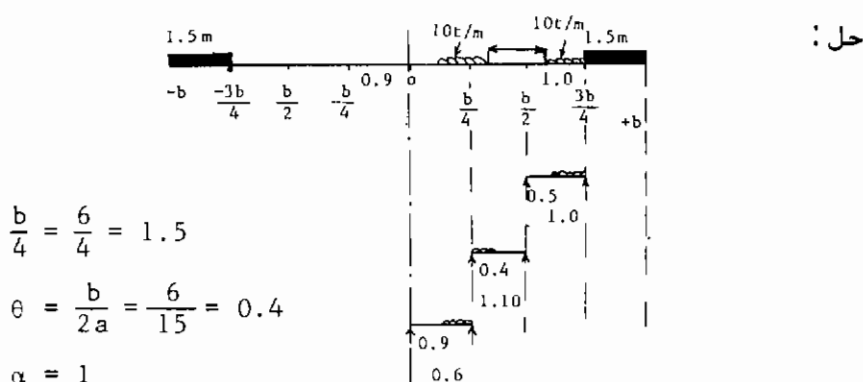
e	0	b/4	b/2	3b/4	$\Sigma \lambda k_1 / 2$
y	0.1200	0.8267	0.3866	0.6667	
0	1.0601	1.0414	1.0030	0.9613	1.0084
b/4	1.0414	1.0914	1.1051	1.0994	1.0937
b/2	1.0030	1.1051	1.1931	1.2489	1.1639
3b/4	0.9613	1.0994	1.2489	1.3940	1.2182
b	0.9220	1.0893	1.2893	1.5188	1.2611

$$M_{x\max.} = 1.1 \times \left( \frac{\sum \lambda k_1}{2} \right)_{\max.} \times M_{x\text{mean.}}$$

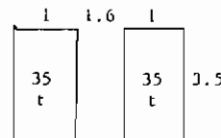
$$= 1.1 \times 1.2611 \times 189.557 = 262.955 \text{ KN.m/m}$$

$$= 26.805 \text{ t.m/m}$$

مسئله ۹ - عبورگاهی با دهانه ساده ۱۵m ساخته شده از دال نخت توپر مطابق شکل زیر مفروض است . مطلوبست محاسبه لنگر خمی طولی حداقل مطلق در اثر بار یک تانک ارتشی استاندارد ۷۰ تنی ایران با استفاده از روش ماسونت (دقیق ) .



$$\lambda_o = \frac{10 \times 0.6 \times 0.3}{1.5} = 1.2$$



$$\frac{\lambda b}{4} = \frac{10 \times 0.6 \times 1.2}{1.5} + \frac{10 \times 0.4 \times 1.3}{1.5} = 8.267$$

$$\frac{\lambda_b}{2} = \frac{10 \times 0.4 \times 0.2}{1.5} + \frac{10 \times 1 \times 0.5}{1.5} = 3.867$$

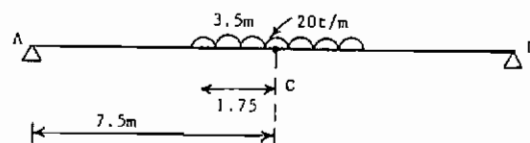
$$\frac{\lambda_{3b}}{4} = \frac{10 \times 1 \times 1}{1.5} = 6.666$$

$$\Sigma \lambda = 20.00 \text{ O.K.}$$

y \ e	0	b/4	b/2	3b/4	$\Sigma \lambda K_1$
$\lambda$	1.2	8.267	3.867	6.666	
0	1.0601	1.0414	1.0030	0.9613	20.1680
b/4	1.0414	1.0914	1.1051	1.0994	21.8743
b/2	1.0030	1.1051	1.1931	1.2489	23.2783
3b/4	0.9613	1.0994	1.2489	1.3940	24.3642
b	0.9220	1.0893	1.2893	1.5188	25.2217

$$(\Sigma \lambda K_1)_{\max.} = 25.2217 \rightarrow K_{\max.} = \frac{(\Sigma \lambda k_1)_{\max.}}{\Sigma \lambda}$$

$$K_{\max.} = \frac{25.2217}{20} = 1.2611$$



$$M_{x\text{mean.}} = \frac{Mc}{2b} = \frac{1}{12} (35 \times 7.5 - 20 \times \frac{1.75^2}{2}) = 19.3229 \text{ t.m/m}$$

$$\begin{aligned} M_{x\text{max.}} &= 1.1 \times 1.2611 \times 19.3229 = 26.8049 \text{ t.m/m} \\ &= 262.956 \text{ KN.m/m} \end{aligned}$$

اگر با روش تقریبی ماسونت محاسبه گردد با توجه به اینکه  $\frac{b}{2} = e$  است پس داریم:

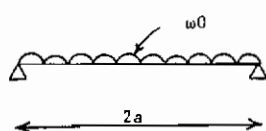
$$K_{\text{max.}} = 1.2893$$

$$\begin{aligned} M_{x\text{max.}} &= 1.1 \times 1.2893 \times 19.3229 = 27.4043 \text{ t.m/m} \\ &= 268.836 \text{ KN.m/m} \end{aligned}$$

مسئله ۱۰- عبورگاهی با دهانه ساده  $2a=12m$  ساخته شده از دال تخت توپر به وزن مخصوص  $24\text{KN/m}^3$  و عرض کلی  $2b=8m$  مفروض است. ضخامت دال  $0.7m$  بوده، مطلوبست تعیین لنگر خمشی عرضی در اثر بار مرده با استفاده از روش ماسونت (لنگر حد اکثر).

$$M_y = \sum_{n=1}^{\infty} \mu_{n\theta} \cdot H_n \cdot b \cdot \sin \frac{n\pi x}{2a}$$

$$H_n = \frac{4 \omega_0}{n\pi} \sin^2 \frac{n\pi}{2a}$$



$$M_y = \frac{4 \omega_0 b}{\pi} \sum_{n=1}^{\infty} \frac{1}{n} \cdot \mu_{n\theta} \cdot \sin^2 \frac{n\pi}{2a} \cdot \sin \frac{n\pi x}{2a}$$

$$x = a \longrightarrow M_y = M_{y\text{max.}}$$

$$M_{y\text{max.}} = \frac{4 \omega_0 b}{\pi} \left( \frac{1}{1} \cdot \mu_{1\theta} \cdot \sin^2 \frac{\pi}{2a} \cdot \sin \frac{\pi}{2} \right)$$

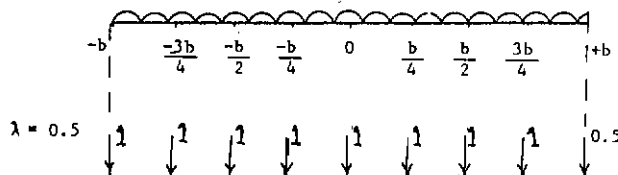
$$+ \frac{1}{2} \cdot \mu_{2\theta} \cdot \sin^2 \frac{\pi}{a} \cdot \sin \pi$$

$$\begin{aligned}
 & + \frac{1}{3} \cdot \mu_{3\theta} \cdot \sin^2 \frac{3\pi}{2a} \cdot \sin \frac{3\pi}{2} \\
 & + \frac{1}{4} \cdot \mu_{4\theta} \cdot \sin^2 \frac{2\pi}{a} \cdot \sin 2\pi \\
 & + \frac{1}{5} \cdot \mu_{5\theta} \cdot \sin^2 \frac{5\pi}{2a} \cdot \sin \frac{5\pi}{2} + \dots ) \\
 M_{y_{max.}} & = \frac{4\omega_0 b}{\pi} \left( \mu_{10} \cdot \sin^2 \frac{\pi}{2a} - \frac{1}{3} \mu_{3\theta} \right. \\
 & \quad \left. \cdot \sin^2 \frac{3\pi}{2a} + \frac{1}{5} \mu_{5\theta} \sin^2 \frac{5\pi}{2a} \right)
 \end{aligned}$$

$$\text{وزن دال در هر متر مربع} = 24 \times 0.7 = 16.8 \text{ KN/m}^2$$

$$\text{کل بار عرضی} \omega_0 = 16.8 \times 8 = 134.4 \text{ KN/m طول} / 12m$$

$$\theta = \frac{b}{2a} = \frac{4}{12} = 0.33$$



$e$	$-b$	$-3b/4$	$-b/2$	$-b/4$	$0$	$b/4$	$b/2$	$3b/4$	$b$	$\Sigma \lambda \mu_1 \times 10^4$	$\Sigma \lambda \mu_1 / \Sigma \lambda$
$\lambda$	0.5	1.0	1.0	1.0	1.0	1.0	1.0	1.0	0.5		
$1\theta=0.33$	-1000	-400	300	1050	2050	1050	300	-400	-1000	2950	0.0368
$3\theta=1.00$	-100	-100	-100	180	900	180	-100	-100	-100	760	0.0095
$5\theta=1.67$	0	0	0	0	550	0	0	0	0	68	0.0068

$$\begin{aligned}
 M_{y\max.} &= \frac{4 \times 134.4 \times 4}{\pi} \left[ 0.0368 \sin^2 \frac{\pi}{12} - \frac{1}{3} \times 0.0095 \sin^2 \frac{3\pi}{12} \right. \\
 &\quad \left. + \frac{1}{5} \times 0.0068 \sin^2 \frac{5\pi}{12} \right] \\
 &= \frac{4 \times 134.4 \times 4}{\pi} [0.0025 - 0.0016 + 0.0013] \\
 M_{y\max.} &= 1.5059 \text{ KN.m/m}
 \end{aligned}$$

## منابع اصلی کتاب

- 1 . Design of Modern Concrete Highway Bridges C.P. Heins + R.A. Lawrie.
- 2 . Handbook of structural Concrete Kong. Evans.Cohen. Roll.
- 3 . Bridge Analysis Ry Microcomputer Leslie G. Jaeger+ Baidor Bakht.
- 4 . Bridge Analysis Simplified Bakht/Jaeger.
- 5 . Concrete Bridges D.Bekett.
- 6 . Concrete Bridge Design R.E. Rowe.
- 7 . Methods of Analysis And Design of Concrete Boxbeams with side Cantilevers (Technical Report)- B.I. Maisel.
- 8 . Analysis of structures M. Smolira.
- 9 . Bridge Aeshetics and Design F.Leonhardt.
10. British standard BS 5400.
11. Design of concrete bridges M.G. Aswani+V.N.vazirani + M.M Ratwani.
12. AASHTO





**FERDOWSI UNIVERSITY OF MASHHAD**

*Publication, No. 123*

**Fundamentals of**

# **CONCRETE BRIDGES**

by :

**M. HOSSEINI**

*Ferdowsi University Press*

*1992*

